# ANEJO Nº 10: CÁLCULOS ESTRUCTURALES

ÍNDICE

1. INTRODUCCIÓN ..... 1
2. BASES DE CÁLCULO ..... 1
2.1. Normativa utilizada ..... 1
2.2. Bases de cálculo. Estados límite. ..... 2
2.3. Bases de cálculo orientadas a la durabilidad ..... 6
2.4. Características de los materiales constitutivos ..... 8
2.5. Condiciones geotécnicas en cimentación de estructuras ..... 9
2.5.1. Módulo de balasto ..... 9
2.5.2. Cimentación de estación depuradora ..... 10
2.6. Acciones consideradas ..... 10
2.6.1. Acciones permanentes ..... 10
2.6.2. Sobrecarga de uso ..... 12
2.6.3. Empuje de agua ..... 12
2.6.4. Acciones sísmicas ..... 12
2.7. Valores representativos y de cálculo de las acciones ..... 13
2.8. Hipótesis de carga ..... 14
2.8.1. Estados límites últimos ..... 14
2.8.2. Estados límites de servicio ..... 15
3. ESTUDIO DE FLOTACIÓN ..... 15

ANEJOS DE CÁLCULO:

1. EDIFICIO
2. ARQUETA DE LLEGADA, POZO DE GRUESOS Y CÁMARA DE BOMBEO

3. AR□UETA DE MEDIDA CAUDAL A BIOL□GICO
4. REACTOR BIOL□GICO
5. DECANTADOR SECUNDARIO
6. AR□UETA DE CAPTACI□N AGUA INDUSTRIAL
7. AR□UETA DE MEDIDA AGUA TRATADA
8. AR□UETA DE RESTITUCI□N
9. AR□UETA DE RECIRCULACI□N DE FANGOS
10. ESPESADOR DE FANGOS
11. TOLVA DE FANGOS
12. MUROS DE ESCOLLERA
13. ALIVIADEROS
14. POZO DE BOMBEO (SANTA CRUZ DEL VALLE)
15. ANCLAJE CONDUCCIÓN EN PUENTE DE CARRETERA N-502

# 1. INTRODUCCIÓN

El presente documento tiene como objetivo el dimensionamiento y cálculo de las estructuras que componen el proyecto “COLECTORES Y EDAR DE CUEVAS DEL VALLE, VILLARE□O DEL VALLE, SAN ESTEBAN DEL VALLE, SANTA CRUZ DEL VALLE Y MOMBELTRÁN”, estableciendo en primer lugar las bases de cálculo a emplear.

A continuación se establecen las acciones a considerar para finalmente adoptar una metodología de cálculo de esfuerzos que sirva para definir las cuantías de armadura a disponer en las estructuras.

# 2. BASES DE CÁLCULO

## 2.1. Normativa utilizada

Para el dimensionamiento estructural de la obra civil se seguirá la siguiente normativa:

- Instrucción de Hormigón Estructural (EHE).
- Código Técnico de la Edificación CTE DB SE-AE “Seguridad estructural. Acciones en la edificación”.
- Código Técnico de la edificación CTE-DB-SE “Seguridad estructural”.
- Código Técnico de la edificación CTE-DB-SE-A “Seguridad estructural. Acero”
- Código Técnico de la edificación CTE-DB-SE-C “Seguridad estructural. Cimientos”.
- Instrucción para el proyecto y la ejecución de forjados unidireccionales de hormigón estructural realizados con elementos prefabricados (EFHE).
- Norma de Construcción Sismorresistente. Parte general y edificación (NCSE-02).
- Eurocódigos.

## 2.2. Bases de cálculo. Estados límite.

La seguridad de una estructura frente a un riesgo puede ser expresada en términos de la probabilidad global de fallo, que está ligada a un determinado índice de fiabilidad.

En la Instrucción española EHE se asegura la fiabilidad requerida adoptando el Método de los Estados Límite (Artículo 8º). Este método permite tener en cuenta de manera sencilla el carácter aleatorio de las variables de solicitación, de resistencia y dimensionales que intervienen en el cálculo. El valor de cálculo de una variable se obtiene a partir de su principal valor representativo, ponderándolo mediante su correspondiente coeficiente parcial de seguridad.

Los coeficientes parciales de seguridad no tienen en cuenta la influencia de posibles errores humanos groseros. Estos fallos deben ser evitados mediante mecanismos adecuados de control de calidad que deberán abarcar todas las actividades relacionadas con el proyecto, la ejecución, el uso y el mantenimiento de una estructura.

Se definen como Estados Límite aquellas situaciones para las que, de ser superadas, puede considerarse que la estructura no cumple alguna de las funciones para las que ha sido proyectada.

Generalmente, los Estados Límite se clasifican en:

- Estados Límite Últimos
- Estados Límite de Servicio

Debe comprobarse que una estructura no supere ninguno de los Estados Límite anteriormente definidos en cualquiera de las situaciones de proyecto indicadas en el Artículo 7º, considerando los valores de cálculo de las acciones, de las características de los materiales y de los datos geométricos.

El procedimiento de comprobación, para un cierto Estado Límite, consiste en deducir, por una parte, el efecto de las acciones aplicadas a la estructura o a parte de ella y, por otra, la respuesta de la estructura para la situación límite en estudio. El Estado Límite quedará garantizado si se verifica, con una fiabilidad aceptable, que la respuesta estructural no es inferior que el efecto de las acciones aplicadas.

Independientemente de las generalizaciones aquí expuestas, en cada fase de desarrollo del cálculo que presente una cierta entidad, se expondrán con mayor detalle las hipótesis y criterios considerados, así como las simplificaciones aplicadas y su justificación.

**Estados Límite Últimos (E.L.U.):**

La denominación de Estados Límite □ltimos engloba todos aquellos que producen una puesta fuera de servicio de la estructura, por colapso o rotura de la misma o de una parte de ella.

Como Estados Límite □ltimos que deben considerarse en el cálculo están:

- Fallo por deformaciones plásticas excesivas, rotura o pérdida de la estabilidad de la estructura o parte de ella.
- Pérdida del equilibrio de la estructura o parte de ella, considerada como un sólido rígido.

Para esto, las solicitaciones deberán estar mayoradas (valores de cálculo) y las resistencias de las materiales minoradas (resistencias de cálculo).

En la comprobación de los Estados Límite □ltimos que consideran la rotura de una sección o elemento, se debe satisfacer la condición:

$$R_d \geq S_d$$

donde:

$R_d$ Valor de cálculo de la respuesta estructural.

$S_d$ Valor de cálculo del efecto de las acciones.

Para la evaluación del Estado Límite de Equilibrio (Artículo 41º) se debe satisfacer la condición:

$$E_{d,estab} \geq E_{d,desestab}$$

donde:

$E_{d,\ estab}$ Valor de cálculo de los efectos de las acciones estabilizadoras.

$E_{d,\ desestab}$ Valor de cálculo de los efectos de las acciones desestabilizadoras

**Estados Límites de Servicio (E.L.S.)**

Se incluyen bajo la denominación de Estados Límite de Servicio todas aquellas situaciones de la estructura para las que no se cumplen los requisitos de funcionalidad, de comodidad, de durabilidad o de aspecto requeridos.

Como Estados Límite de servicio que deben considerarse en el cálculo están:

- Fisuración excesiva orientado a la durabilidad
- Deformación excesiva orientado a la funcionalidad y estética.

Para esto, las solicitaciones deberán ser las características y las resistencias de los materiales deberán ser las características

En la comprobación de los Estados Límite de Servicio se debe satisfacer la condición:

$$C_d \geq E_d$$

donde:

$C_d$ Valor límite admisible para el Estado Límite a comprobar

$E_d$ Valor de cálculo del efecto de las acciones

**Comprobación de la Fisuración:**

A continuación se expone de forma más completa como tener en cuenta la fisuración, pues es el estado límite a emplear en estructuras propias de una E.D.A.R., depósitos de gran volumen, arquetas.

Se utiliza la formulación habitual basada en la anchura características de fisuras equiespaciadas, definida en el artículo 49º de la EHE.

De acuerdo con el artículo 49º de la instrucción EHE se tendrá en cuenta:

- Máxima abertura de fisura en paramentos de hormigón en contacto con aguas residuales según ambiente IIa+□b será de 0,30 mm.

- Máxima abertura de fisura en elementos en contacto con tierras o aéreas según ambiente IIa+□a será de 0,30 mm.

La abertura característica de fisura se calculará mediante la siguiente expresión:

$$w_k = \beta\, s_m\, \varepsilon_{sm}$$

donde:

β Coeficiente que relaciona la abertura media de fisura con el valor característico y vale 1,3 para fisuración producida por acciones indirectas solamente y 1,7 para el resto de los casos.

$s_m$ Separación media de fisuras, expresada en mm.

$$s_m = 2\,c + 0{,}2\,s + 0{,}4\,k_1\,\frac{\phi\, A_{c,eficaz}}{A_s}$$

$\varepsilon_{sm}$ Alargamiento medio de las armaduras, teniendo en cuenta la colaboración del hormigón entre fisuras.

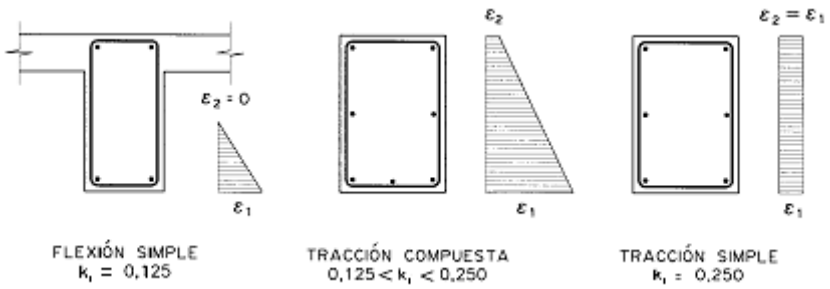
$$\varepsilon_{sm} = \frac{\sigma_s}{E_s}\left[1 - k_2\left(\frac{\sigma_{sr}}{\sigma_s}\right)^2\right] \not< 0{,}4\,\frac{\sigma_s}{E_s}$$

$c$ Recubrimiento de hormigón en mm

$s$ Distancia entre barras longitudinales en mm. Si $s>15\varnothing$ se tomará $s=15\varnothing$.

En el caso de vigas armadas con $n$ barras, se tomará $s=b/n$ siendo $b$ el ancho de la viga.

$k_1$ Coeficiente que representa la influencia del diagrama de tracciones en la sección, Figura




de valor $$k_1 = \frac{\varepsilon_1 + \varepsilon_2}{8\,\varepsilon_1}$$

$K_2$ coeficiente de valor 0,5 para casos de carga no instantánea

□ diámetro de la barra traccionada más gruesa en mm

$A_{c,eficaz}$ área de hormigón en la zona de recubrimiento en donde las barras a tracción influyen de forma efectiva en el ancho de las fisuras, que puede considerarse como el área rectangular a no más de 7,5$\phi$ alrededor de cada barra, sin superar la cuarta parte del canto.

$A_s$ sección total de las barras situadas en el área $A_{c,eficaz}$

$\sigma_s$ tensión de servicio de la armadura en hipótesis de sección fisurada en N/mm2

$E_s$ módulo de elasticidad del acero en N/mm2

$K_3$ coeficiente de valor 0,5

$\sigma_{sr}$ tensión de la armadura, en el instante en que se fisura el hormigón, lo que se supone ocurre cuando la tracción máxima en el hormigón alcanza el valor:

$$f_{ct,m} = 1{,}5 \cdot f_{ct,k} = 0{,}30\sqrt[3]{f_{ck}^{\,2}}$$

donde $f_{ct,m}$, y $f_{ck}$ se expresan en N/mm$^2$, siendo $f_{ck}$ la resistencia característica del hormigón.

## 2.3. Bases de cálculo orientadas a la durabilidad

Para conseguir una durabilidad adecuada, se deberá establecer en el proyecto, y en función del tipo de ambiente, una estrategia acorde con los criterios expuestos en el Capítulo VII de la EHE.

El tipo de ambiente al que está sometido un elemento estructural viene definido por el conjunto de condiciones físicas y químicas a las que está expuesto, y que puede llegar a provocar su degradación como consecuencia de efectos diferentes a los de las cargas y solicitaciones consideradas en el análisis estructural.

El tipo de ambiente viene definido por la combinación de:

- una de las clases generales de exposición, frente a la corrosión de las armaduras, de acuerdo con 8.2.2.

- las clases específicas de exposición relativas a los otros procesos de degradación que procedan para cada caso, de entre las definidas en 8.2.3.

En el caso de que un elemento estructural esté sometido a alguna clase específica de exposición, en la designación del tipo de ambiente se deberán reflejar todas las clases, unidas mediante el signo de adición □+□

Para las estructuras de la E.D.A.R. se define:

Clases generales de exposición en relación a la corrosión de las armaduras

| Clase general de exposición | | | | |
|---|---|---|---|---|
| Clase | Subclase | Designación | Tipo de proceso | Descripción |
| Normal | Humedad alta | IIa | Corrosión de origen diferente de los cloruros | Cimentaciones, sótanos no ventilados y elementos aéreos |

Clase específica de exposición relativas a otro proceso de deterioro distinto de la corrosión

| Clase específica de exposición | | | | |
|---|---|---|---|---|
| Clase | Subclase | Designación | Tipo de proceso | Descripción |
| □uímica agresiva | Media | □b | Ataque químico | Elementos situados en ambientes con contenidos de sustancias químicas capaces de provocar la alteración del hormigón con velocidad media |

De aquí se deducen los recubrimientos mínimos que garantizan dicho durabilidad expuestos a continuación:

**ELEMENTOS EN CONTACTO CON LAS AGUAS RESIDUALES. Exposición IIa+Qb**

40 ( expos.IIa+ □b ) + 10 ( control normal )= 50 mm

**RESTO DE ELEMENTOS. Exposición IIa +Qa.**

- Alzados de muros: 25 ( expos. IIa ) + 10 ( control normal )= 35 mm

- Zapatas: 25 ( expos. IIa ) + 10 ( control normal )= 35 mm

- Vigas y pilares 25 ( expos. IIa ) + 10 ( control normal )= 35 mm

## 2.4. Características de los materiales constitutivos

**HORMIGONES**

De acuerdo con el artículo 37.3 de la EHE acerca de la durabilidad del hormigón se imponen unos requisitos y limitaciones del tipo de hormigón

Por ello se empleará en los elementos estructurales:

- **HA-30/P/20/IIa+Qb** en depósitos de aguas residuales
- **HA-30/B/20/IIa+Qa** en sótanos y cimentaciones

El diagrama adoptado es el de la parábola rectángulo admitido por la EHE

El diagrama característico tensión-deformación del hormigón depende de numerosas variables: edad del hormigón, duración de la carga, forma y tipo de la sección, naturaleza de la solicitación, tipo de árido, estado de humedad, etc.

Dada la dificultad de disponer del diagrama tensión-deformación del hormigón, aplicable al caso concreto en estudio, a efectos prácticos se utilizará el siguiente diagrama simplificado

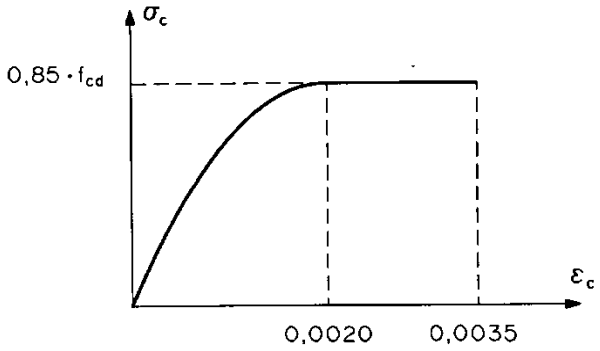



*Diagrama tensión-deformación de cálculo para el hormigón*

**ACERO PASIVO**

El acero empleado en todas las estructuras de hormigón armado es el siguiente:

- **B-500 S** Límite elástico fyk≥ 500 N/mm2

El diagrama tensión-deformación de cálculo del acero para armaduras pasivas (en tracción o en compresión) se deduce del diagrama característico mediante una afinidad oblicua, paralela a la recta de Hooke, de razón $1/\gamma_s$.

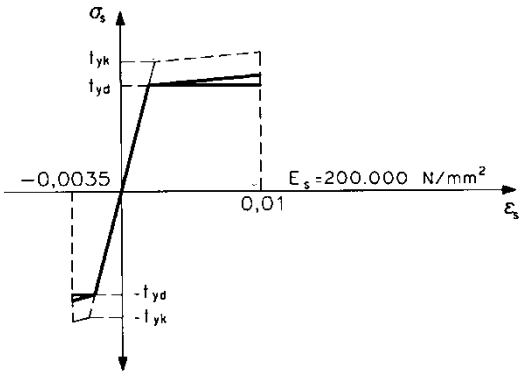



*Diagrama tensión-deformación de cálculo para armaduras pasivas*

**ACERO ESTRUCTURAL**

El acero empleado es el siguiente

- S275JR Límite elástico $f_y$ 275 N/mm$^2$

## 2.5. Condiciones geotécnicas en cimentación de estructuras

### 2.5.1. Módulo de balasto

El coeficiente de balasto de una cimentación se puede calcular a partir del coeficiente $K_{30}$ que es el que corresponde a una placa de 30x30 cm.

Este valor de $K_{30}$ esta tabulado en varias tablas. El código de la edificación señala un rango entre 9 y 20 kg/cm$^3$ para arenas compactas y entre 12 y 30 kg/cm$^3$ para gravas arenosas compactas. Otros autores proponen valores semejantes.

Del lado de la seguridad consideramos $K_{30}$= 10 kg/cm$^3$

Aplicando las correlaciones correspondientes para las dimensiones de nuestras estructuras, se obtienen los siguientes Módulos de balasto:

Reactor biológico: 2.104 t/m$^3$

Decantador secundario: 2.621 t/m$^3$

Espesador: 2.780 t/m$^3$

Arqueta de bombeo de fangos: 2.650 t/m$^3$

Para los elementos circulares, aplicando el criterio de considerar el Módulo de balasto como:

Ks= 1,57 E0/D se obtienen los siguientes valores:

Decantador secundario: 2.250 kg/cm$^3$

Espesador: 2.374 kg/cm$^3$

Esta última fórmula considera que el suelo deformable tiene un espesor de 2 veces la anchura de la placa; por lo que aplicado a nuestro caso obtiene valores muy conservadores ya que el sustrato de granito aparece a 9,50 m de profundidad desde el suelo.

Como conclusión, se tiene que el valor de 2.000 t/m$^3$ para el Módulo de balasto vertical, es un valor que está del lado de la seguridad en todos los casos analizados.

### 2.5.2. Cimentación de estación depuradora

La cimentación de las diversas estructuras se proyecta mediante un relleno estructural que remplace el terreno existente hasta los 2.60 metros de profundidad, donde, según el estudio geotécnico la tensión admisible es de 2 Kp/cm$^2$.

## 2.6. Acciones consideradas

### 2.6.1. Acciones permanentes

**Peso propio**

La carga se deduce de la geometría teórica de la estructura, considerando para el peso específico del hormigón armado el valor 30 KN/m$^3$.

Para los demás materiales usuales en la construcción se toma su peso específico del Documento básico SE-AE. Seguridad Estructural Acciones en la Edificación (CTE DE SE-AE.)

**Acciones permanentes de valor no constante.**

Acciones reológicas: La retracción produce esfuerzos auto equilibrados en el alzado de los muros que no se tienen en cuenta en el cálculo de esfuerzos dado que no tienen ninguna trascendencia en la evaluación de la capacidad última de los muros. Sólo influyen en su comportamiento en servicio dado que producen fisuras verticales que afectan a su aspecto estético pudiendo afectar a la durabilidad de los elementos estructurales. Sus efectos se neutralizan por dos vías:

- Disponiendo juntas de dilatación a distancias variables entre 20 y 40 m.
- Disponiendo armadura mínima de retracción.

Juntas de construcción y de dilatación: Las juntas de construcción se resuelven con cordón expansivo. Las juntas de dilatación se resolverán mediante la colocación de bandas de PVC con bulbo, y sellado de la junta con masilla elástica de poliuretano.

Acciones debidas al terreno: La acción del terreno sobre la estructura es doble: peso sobre elementos horizontales y empuje sobre elementos verticales:

- El peso se determinará aplicando al volumen de terreno que gravita sobre la superficie del elemento horizontal, el peso específico del relleno vertido y compactado. En nuestro caso, se considera una densidad aparente seca de 20,00 KN/m$^3$.

**Empuje al reposo**

A efectos del cálculo de estabilidad y tensiones en el terreno, se considera una ley triangular, actuando sobre un plano vertical desde la parte final del talón. La ley de empujes es efectiva desde la superficie del terreno.

Peso específico aparente: 20,00 KN/m$^3$

Ángulo de rozamiento interno: $\Phi = 30^{\circ}$

Coeficiente de empuje al reposo: $K_0 = 0{,}50$

### 2.6.2. Sobrecarga de uso

Sobre las cubiertas de los elementos se ha considerado una sobrecarga de uso de 1,0 KN/m$^2$, correspondiente al mantenimiento de las mismas.

Para las losas de cimentación se consideran diversas sobrecargas, según el uso y la maquinaria a disponer, en cada apartado correspondiente de cálculo se explicará por separado las sobrecargas tenidas en cuenta, considerando en cualquier caso una sobrecarga uniformemente repartida de 4,00 KN/m$^2$.

Así mismo se considera una sobrecarga de 10 KN/m$^2$ adyacente al trasdós de los muros, lo que supone un empuje horizontal en su alzado de valor $p = K_0 \cdot q$.

### 2.6.3. Empuje de agua

Se considera la acción del líquido sobre las paredes y la solera de los diferentes depósitos. Para su evaluación se ha considerado una densidad del líquido (agua y fangos) de 10 KN/m$^3$ . Sobre las paredes actúa una ley triangular de presiones y sobre la solera actúa una carga uniforme variable en función de la inclinación de la solera.

### 2.6.4. Acciones sísmicas

Situación de parcela en Mombeltrán (Ávila).

Según NCSE-02:

- Aceleración sísmica básica ≤ 0,04 g.
- Construcción de importancia normal.

Según el artículo 1.2.3. “Criterios de aplicación de la Norma”, no es preceptiva la consideración de acciones sísmicas en el cálculo de estructuras.

## 2.7. Valores representativos y de cálculo de las acciones

Las acciones se definen, en su magnitud, por sus valores representativos.

Una misma acción puede tener un único o varios valores representativos, según se indica a continuación en función del tipo de acción.

**Acciones permanentes (G)**

Para las acciones permanentes se considera un único valor representativo, coincidente con el valor característico $G_k$.

**Acciones permanentes de valor no constante (G*)**

Acciones para el empuje del terreno, se considerará el valor representativo de acuerdo con lo expuesto en 3.5.1.

**Acciones variables (Q)**

Cada una de las acciones variables puede considerarse con los siguientes valores representativos:

- Valor característico $Q_k$: valor de la acción cuando actúa aisladamente
- Valor de combinación $\Psi_0 Q_k$ : valor de la acción cuando actúa en compañía de alguna otra acción variable.
- Valor frecuente $\Psi_1 Q_k$ : valor de la acción que es sobrepasado durante un periodo de corta duración respecto a la vida útil de la estructura.
- Valor casi-permanente $\Psi_2 Q_k$: valor de la acción que es sobrepasado durante una gran parte de la vida útil de las estructuras.

Los valores de los coeficientes $\Psi$ son los siguientes:

| $\Psi_0$ | $\Psi_1$ | $\Psi_2$ |
|---|---|---|
| 0,70 | 0,60 | 0,50 |

## 2.8. Hipótesis de carga

### 2.8.1. Estados límites últimos

**Situaciones persistentes y transitorias**

Las combinaciones de las distintas acciones consideradas en estas situaciones, se realiza de acuerdo con el siguiente criterio:

$$\sum_{j\geq 1}\gamma_{G,j}G_{k,j} + \sum_{i\geq 1}\gamma_{G^*,i}G^*_{Q,1} + \gamma_{Q,i} * Q_{k,i} + \sum_{i>1}\gamma_{Q,i} * \psi_{0,i} * Q_{k,i}$$

donde:

| | |
|---|---|
| $G_{k,j}$ | valor representativo de cada acción permanente |
| $G^*_{k,i}$ | valor representativo de cada acción permanente de valor no constante |
| $Q_{k,1}$ | valor representativo (valor característico) de la acción variable dominante |
| $\gamma_{0,i}Q_{k,i}$ | valores representativos (valores de combinación) de las acciones variables concomitantes con la acción variable dominante |

Se han analizado todas las combinaciones que resultan de considerar como acción dominante el empuje del agua.

**Situaciones accidentales**

$$\sum_{j\geq 1}\gamma_{G,j}G_{k,j} + \sum_{i\geq 1}\gamma_{G^*,i}G^*_{Q,1} + \gamma_{A} * A_{E,k} + \sum_{i>1}\gamma_{Q,i} * \psi_{2,i} * Q_{k,i}$$

**Coeficiente de mayoración de acciones**

- Peso propio y carga permanente $\gamma = 1{,}50$
- Sobrecargas $\gamma = 1{,}60$
-

### 2.8.2. Estados límites de servicio

Para estos estados se consideran únicamente las situaciones persistentes y transitorias, excluyéndose las accidentales.

Las combinaciones de las distintas acciones consideradas en estas situaciones, se realizarán de acuerdo con el siguiente criterio:

- Combinaciones a realizar para depósitos.

  Situación I

  Peso Propio + Cargas muertas + Empuje del agua .

  Situación II

  Peso Propio + Cargas muertas + Empuje del terreno .

  Situación III

  Combinación de I y II

## 3. ESTUDIO DE FLOTACIÓN

Debido a la presencia de un nivel freático elevado, se procede a las comprobaciones relativas a la flotabilidad general o parcial de la misma.

Se debe verificar que la estructura es estable, estableciéndose este criterio en función de la relación entre el peso de la estructura y el empuje ascensional debido a la subpresión del agua, esta relación debe ser mayor que el coeficiente de seguridad correspondiente:

- En situaciones permanentes o transitorias: $C_{sd} \leq 1{,}10$.

$$C_{sd} = \frac{PP_{PP+CP}}{E_{agua}}$$

Se considera que el nivel freático se encuentra a 2 m de profundidad de la cota de terreno natural, es decir, a la cota media de 527,50 m.

De los resultados que se adjuntan a continuación se concluye que con el NF a 2 m de profundidad, no hay problemas de flotación para ninguno de los elementos estudiados.

| ARQUETA MEDIDA CAUDAL A BIOLÓGICO | | | |
|---|---|---|---|
| | | | |
| PESO DEL APARATO VACIO | | | |
| VOLUMEN DE HORMIGON Va | 10,615 | $m^3$ | |
| DENSIDAD | 2,5 | $t/m^3$ | |
| PESO DEL APARATO VACIO Pa | 26,5375 | ton | |
| EMPUJE HIDROSTATICO | | | |
| SUPERFICIE APARATO Sh | 9,25 | $m^2$ | |
| COTA NIVEL FREATICO | 525,4 | m | |
| COTA SOLERA APARATO | 524,8 | m | |
| ESPESOR SOLERA | 0,3 | m | |
| ALTURA AGUA H | 0,9 | m | |
| EMPUJE HIDROSTATICO Eh | 8,325 | ton | |
| | | | |
| Pa/Eh > 1.10 | 3,19 | | NO SE PRODUCE FLOTACIÓN |

| REACTOR BIOLÓGICO | | | |
|---|---|---|---|
| | | | |
| PESO DEL APARATO VACIO | | | |
| VOLUMEN DE HORMIGON Va | 988,51 | $m^3$ | |
| DENSIDAD | 2,5 | $t/m^3$ | |
| PESO DEL APARATO VACIO Pa | 2471,275 | ton | |
| EMPUJE HIDROSTATICO | | | |
| SUPERFICIE APARATO Sh | 117,05 | $m^2$ | |
| COTA NIVEL FREATICO | 525,36 | m | |
| COTA SOLERA APARATO | 523,36 | m | |
| ESPESOR SOLERA | 0,5 | m | |
| ALTURA AGUA H | 2,5 | m | |
| EMPUJE HIDROSTATICO Eh | 292,625 | ton | |
| | | | |
| Pa/Eh > 1.10 | 8,45 | | NO SE PRODUCE FLOTACIÓN |

| DECANTADOR SECUNDARIO | | | |
|---|---|---|---|
| | | | |
| PESO DEL APARATO VACIO | | | |
| VOLUMEN DE HORMIGON Va | 248,17 | $m^3$ | |
| DENSIDAD | 2,5 | $t/m^3$ | |
| PESO DEL APARATO VACIO Pa | 620,425 | ton | |
| EMPUJE HIDROSTATICO | | | |
| SUPERFICIE APARATO Sh | 147,41 | $m^2$ | |
| COTA NIVEL FREATICO | 525,7 | m | |
| COTA SOLERA APARATO | 524,5 | m | |
| ESPESOR SOLERA | 0,4 | m | |
| ALTURA AGUA H | 1,6 | m | |
| EMPUJE HIDROSTATICO Eh | 235,856 | ton | |
| | | | |
| Pa/Eh > 1.10 | 2,63 | | NO SE PRODUCE FLOTACIÓN |

| ARQUETA CAPTACIÓN AGUA INDUSTRIAL | | | |
|---|---|---|---|
| | | | |
| PESO DEL APARATO VACIO | | | |
| VOLUMEN DE HORMIGON Va | 19,464 | $m^3$ | |
| DENSIDAD | 2,5 | $t/m^3$ | |
| PESO DEL APARATO VACIO Pa | 48,66 | ton | |
| EMPUJE HIDROSTATICO | | | |
| SUPERFICIE APARATO Sh | 12,98 | $m^2$ | |
| COTA NIVEL FREATICO | 525,5 | m | |
| COTA SOLERA APARATO | 524,77 | m | |
| ESPESOR SOLERA | 0,3 | m | |
| ALTURA AGUA H | 1,03 | m | |
| EMPUJE HIDROSTATICO Eh | 13,3694 | ton | |
| | | | |
| Pa/Eh > 1.10 | 3,64 | | NO SE PRODUCE FLOTACIÓN |

| ARQUETA MEDIDA AGUA PRETRATADA | | | |
|---|---|---|---|
| | | | |
| PESO DEL APARATO VACIO | | | |
| VOLUMEN DE HORMIGON Va | 10,8 | $m^3$ | |
| DENSIDAD | 2,5 | $t/m^3$ | |
| PESO DEL APARATO VACIO Pa | 27 | ton | |
| EMPUJE HIDROSTATICO | | | |
| SUPERFICIE APARATO Sh | 10 | $m^2$ | |
| COTA NIVEL FREATICO | 525,25 | m | |
| COTA SOLERA APARATO | 525,1 | m | |
| ESPESOR SOLERA | 0,25 | m | |
| ALTURA AGUA H | 0,4 | m | |
| EMPUJE HIDROSTATICO Eh | 4 | ton | |
| | | | |
| Pa/Eh > 1.10 | 6,75 | | NO SE PRODUCE FLOTACIÓN |

| ARQUETA RESTITUCIÓN | | | |
|---|---|---|---|
| | | | |
| PESO DEL APARATO VACIO | | | |
| VOLUMEN DE HORMIGON Va | 13,34 | $m^3$ | |
| DENSIDAD | 2,5 | $t/m^3$ | |
| PESO DEL APARATO VACIO Pa | 33,35 | ton | |
| EMPUJE HIDROSTATICO | | | |
| SUPERFICIE APARATO Sh | 11,6 | $m^2$ | |
| COTA NIVEL FREATICO | 525,27 | m | |
| COTA SOLERA APARATO | 523,83 | m | |
| ESPESOR SOLERA | 0,4 | m | |
| ALTURA AGUA H | 1,84 | m | |
| EMPUJE HIDROSTATICO Eh | 21,344 | ton | |
| | | | |
| Pa/Eh > 1.10 | 1,56 | | NO SE PRODUCE FLOTACIÓN |

| ARQUETA RECIRCULACIÓN DE FANGOS | | | |
|---|---|---|---|
| | | | |
| PESO DEL APARATO VACIO | | | |
| VOLUMEN DE HORMIGON Va | 177,97 | $m^3$ | |
| DENSIDAD | 2,5 | $t/m^3$ | |
| PESO DEL APARATO VACIO Pa | 444,925 | ton | |
| EMPUJE HIDROSTATICO | | | |
| SUPERFICIE APARATO Sh | 58,58 | $m^2$ | |
| COTA NIVEL FREATICO | 527,36 | m | |
| COTA SOLERA APARATO | 521,57 | m | |
| ESPESOR SOLERA | 0,5 | m | |
| ALTURA AGUA H | 6,29 | m | |
| EMPUJE HIDROSTATICO Eh | 368,4682 | ton | |
| | | | |
| Pa/Eh > 1.10 | 1,21 | | NO SE PRODUCE FLOTACIÓN |

| ESPESADOR DE FANGOS | | | |
|---|---|---|---|
| | | | |
| PESO DEL APARATO VACIO | | | |
| VOLUMEN DE HORMIGON Va | 31,37 | $m^3$ | |
| DENSIDAD | 2,5 | $t/m^3$ | |
| PESO DEL APARATO VACIO Pa | 78,425 | ton | |
| EMPUJE HIDROSTATICO | | | |
| SUPERFICIE APARATO Sh | 34,21 | $m^2$ | |
| COTA NIVEL FREATICO | 525,2 | m | |
| COTA SOLERA APARATO | 524,74 | m | |
| ESPESOR SOLERA | 0,4 | m | |
| ALTURA AGUA H | 0,86 | m | |
| EMPUJE HIDROSTATICO Eh | 29,4206 | ton | |
| | | | |
| Pa/Eh > 1.10 | 2,67 | | NO SE PRODUCE FLOTACIÓN |

| DESARENADO | | | |
|---|---|---|---|
| | | | |
| PESO DEL APARATO VACIO | | | |
| VOLUMEN DE HORMIGON Va | 58,27 | $m^3$ | |
| DENSIDAD | 2,5 | $t/m^3$ | |
| PESO DEL APARATO VACIO Pa | 145,675 | ton | |
| EMPUJE HIDROSTATICO | | | |
| SUPERFICIE APARATO Sh | 31,7 | $m^2$ | |
| COTA NIVEL FREATICO | 525,5 | m | |
| COTA SOLERA APARATO | 524,03 | m | |
| ESPESOR SOLERA | 0,6 | m | |
| ALTURA AGUA H | 2,07 | m | |
| EMPUJE HIDROSTATICO Eh | 65,619 | ton | |
| | | | |
| Pa/Eh > 1.10 | 2,22 | | NO SE PRODUCE FLOTACIÓN |

# ANEJOS DE CÁLCULO

# ANEJO DE CÁLCULO

# 1.- EDIFICIO DE CONTROL

## DATOS DE LA OBRA

| | | | |
|---|---|---|---|
| OBRA | | | EDAR MOMBELTRÁN |
| EMPLAZAMIENTO | | | MOMBELTRÁN (ÁVILA) |

| | | | |
|---|---|---|---|
| DATOS DE PARTIDA | S.C. NIEVE | | 0,6 KN/m² |
| | VIENTO | PRESIÓN DINÁMICA | 0,42 KN/m² |
| | | GRADO DE ASPEREZA | IV |
| | SISMO | $a_b/g$ = | No Aplica |
| | | K = | No Aplica |
| SUPERFICIE | FORJADOS | | No Aplica |
| | ESTRUCTURA PRINCIPAL | | No Aplica |

CE

0370

EN 13225

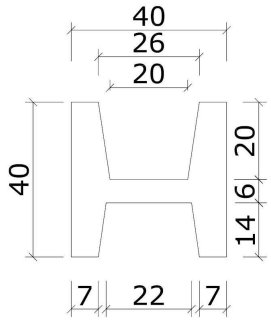
FICHA TÉCNICA | VIGA PORTA CANALÓN | DECLARACIÓN PRESTACIONES Nº 006/13

## EMPLEO DEL PRODUCTO

La viga porta canalón está diseñada para encauzar las aguas procedentes de la cubierta. Colabora en la estabilidad de la estructura y sirve de sujeción del panel.

## DESCRIPCIÓN

Elemento de hormigón pretensado con sección transversal constante en forma de H. El ancho y el canto de la pieza es de 40 cm, consiguiendo un radio hidráulico de 460 $cm^2$.




## CARACTERÍSTICAS DEL MATERIAL.

| Material | Nomenclatura | Resistencia característica N/mm² | Tensión admisible N/mm² |
|---|---|---|---|
| Hormigón | HP 45 | $F_{ck}$ 〈 45 | Compresión: $\sigma_c \leq 25.5$<br>tracción: $\sigma_c \leq 2.66$ |
| Armadura activa | Y 1860 S7 | $F_{ptk}$ 〈 1860 | tracción: $\sigma_s \leq 1130$ |
| Armadura pasiva | B 500 S | $F_{yk}$ 〈 510 | tracción: $\sigma_s \leq 260$ |
| Mallazo | B 500 T | $F_{yk}$ 〈 510 | tracción: $\sigma_s \leq 260$ |

## RESISTENCIA AL FUEGO

Según el anejo 6 de la norma EHE-08: R-60

Otros requisitos, según planos

## LONGITUD MÁXIMA

La luz máxima estándar es de 10,5 metros.

Se pueden alcanzar medidas superiores en función de las cargas actuantes.

## MÉTODO

Para la obtención del marcado se ha elegido el método 1

CE

0370

EN 13225

FICHA TÉCNICA | VIGA DELTA | DECLARACIÓN PRESTACIONES Nº 007/13

## EMPLEO DEL PRODUCTO

La viga DELTA se emplea como elemento principal de cubierta. Forma cubiertas a dos aguas con una inclinación del 10%. Sobre este elemento se colocan las correas.

## DESCRIPCIÓN

Elemento de hormigón pretensado de sección I y canto variable.

Se produce en dos secciones transversales de 8 a 12 metros ancho de alma constante de 19 cm. Y de 11 a 33 metros con tres secciones transversales con anchura de alma de 26 cm en los apoyos, de 8 cm de ancho de alma en el centro de la viga y una zona de transición entre los dos tramos.

## CARACTERÍSTICAS DE LOS MATERIALES

| Material | Nomenclatura | Resistencia característica N/mm² | Tensión admisible N/mm² |
|---|---|---|---|
| Hormigón | HP 45 | $F_{ck}$ 〈 45 | Compresión: $\sigma_c \leq 25.5$<br>tracción: $\sigma_c \leq 2.66$ |
| Armadura activa | Y 1860 S7 | $F_{ptk}$ 〈 1860 | tracción: $\sigma_s \leq 1130$ |
| Armadura pasiva | B 500 S | $F_{yk}$ 〈 510 | tracción: $\sigma_s \leq 260$ |
| Mallazo | B 500 T | $F_{yk}$ 〈 510 | tracción: $\sigma_s \leq 260$ |

## RESISTENCIA AL FUEGO

Según el anejo 6 de la norma EHE-08: R-30.

Otros requisitos, según planos

## LONGITUD MÁXIMA

La longitudes de fabricación son

Ancho de alma 19 cm: de 8 m a 12 metros.

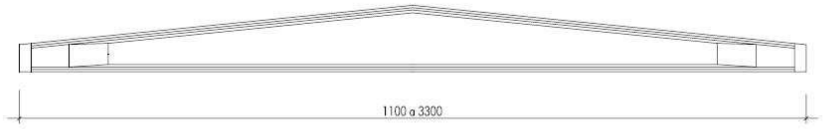
Ancho de alma 8 cm: de 11 a 33 m.

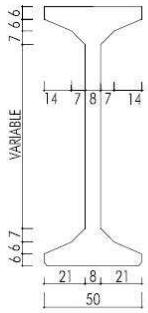
## MÉTODO

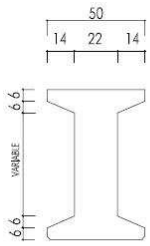
Para la obtención del marcado se ha elegido el método 1

## GEOMETRÍA DEL ELEMENTO

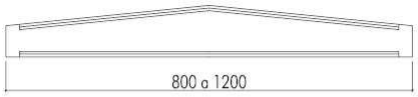
### Desde 11 a 33 metros.

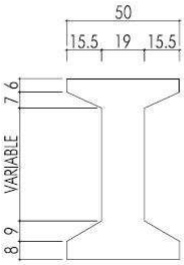



### De 8 a 12 metros.



CE

0370

EN 13225

FICHA TÉCNICA | PILAR | DECLARACIÓN PRESTACIONES Nº 010/13

## EMPLEO DEL PRODUCTO

Elemento de soporte para la realización de edificación industrial. Se realiza de forma estándar con cajeado para el apoyo de las vigas de cubierta.

Se pueden fabricar con ménsulas para apoyo de las vigas carrileras de puente grúa y para apoyo de forjados.

Se une a la cimentación por medio de cálices realizados en obra en las zapatas o por soluciones atornilladas

## DESCRIPCIÓN

Elemento de hormigón armado de sección rectangular constante en toda la longitud o en varios tramos.

Las secciones varían desde 40 x 50 a 60 x 110.

## CARACTERISTICAS DE LOS MATERIALES

| Material | Nomenclatura | Resistencia característica N/mm² | Tensión admisible N/mm² |
|---|---|---|---|
| Hormigón | HA 50 | $F_{ck}$ 〈 45 | Compresión: $\sigma_c \leq 22.4$<br>tracción: $\sigma_c \leq 2..45$ |
| Armadura pasiva | B 500 S | $F_{yk}$ 〈 510 | tracción: $\sigma_s \leq 260$ |

## RESISTENCIA AL FUEGO

Según el anejo 6 de la norma EHE-08: R-90

Otros requisitos, según planos

## MÉTODO

Para la obtención del marcado se ha elegido el método 1

CE

EN 14992

FICHA TÉCNICA | PANEL DE CERRAMIENTO | DECLARACIÓN PRESTACIONES Nº 009/13

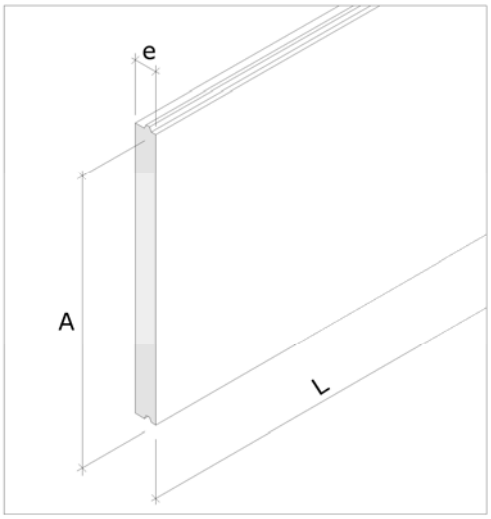
## EMPLEO DEL PRODUCTO

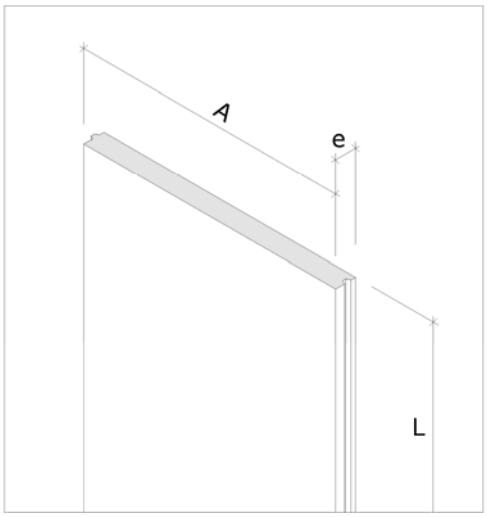
Elementos para la realización del cerramiento exterior y divisiones interiores de edificios.

## DESCRIPCIÓN

Elemento de hormigón armado para realizar las fachadas de los edificios o divisiones interiores.

Se presenta en tres espesores 16, 20 y 24 centímetros, salvo en cerramiento con rotura de puente térmico que se fabrican en espesores 20 y 24 centímetros. Puede ser aligerado o macizo. Se realiza en varios tipos de acabados. La colocación puede ser horizontal o vertical.




## CARACTERÍSTICAS DEL MATERIAL

| Material | Nomenclatura | Resistencia característica N/mm² | Tensión admisible N/mm² |
|---|---|---|---|
| Hormigón | HA 30 | $F_{ck} \geq 30$ | compresión: $\sigma_c \leq 17.0$<br>tracción: $\sigma_c \leq 1.93$ |
| Armadura Pasiva | B 500 S | $F_{yk} \geq 510$ | tracción: $\sigma_s \leq 260$ |
| Mallazo | B 500 T | $F_{yk} \geq 510$ | tracción: $\sigma_s \leq 260$ |
| Poliestileno | Tipo I | | |
| Perfil | ECO | $F_{yk} \geq 465$ | tracción: $\sigma_s < 360$ |

Condiciones de durabilidad: recubrimiento mínimo 25 mm

## PARÁMETROS

| Nomenclatura | Espesor (cm) | Peso (kN/m²) | L max (m) | EI (Estabilidad y aislamiento) | Coeficiente transmisión calor (watio/°C·m²) | Aislamiento acústico (dBA) |
|---|---|---|---|---|---|---|
| T16 aligerado | 16 | 2,80 | 7,50 | EI-30 | 1,06 | 50,8 |
| T16 macizo | 16 | 4,00 | 7,50 | EI-120 | 3,73 | 56,5 |
| T20 aligerado | 20 | 3,20 | 11,50 | EI-30 | 0,83 | 52,9 |
| T20 macizo | 20 | 5,00 | 11,50 | EI-180 | 3,41 | 60,0 |
| T24 aligerado | 24 | 3,60 | 14,00 | EI-30 | 0,71 | 54,8 |
| T24 macizo | 24 | 6,00 | 14,00 | EI-240 | 3,15 | 62,9 |
| T20 rotura puente térmico | 20 | 3,40 | 11,00 | EI-30 | 0,58 | 53,9 |
| T24 rotura puente térmico | 24 | 3,65 | 14,00 | EI-30 | 0,38 | 55,0 |

Otros requisitos, según planos

## GEOMETRÍA DEL ELEMENTO

Ancho estándar 249 cm

Ancho máximo 348 cm.

## TOLERANCIAS DE PRODUCCIÓN

Según norma de aplicación EN 14992: Clase A

## MÉTODO

Para la obtención del marcado se ha elegido el método 1

# ANEJO DE CÁLCULO

# ARQUETA DE LLEGADA, POZO DE GRUESOS Y CÁMARA DE BOMBEO

# INDICE

**1. INTRODUCCIÓN. ..... 1**

**2. ACCIONES A CONSIDERAR ..... 2**

2.1. PESO PROPIO ..... 2

2.2. PRESION DE AGUA ..... 2

2.3. PRESION DE TIERRAS ..... 3

2.4. SOBRECARGAS DE USO ADYACENTES. ..... 3

**3. DISCRETIZACIÓN DE LA ESTRUCTURA ..... 3**

**4. ACCIONES DE CÁLCULO ..... 4**

**5. COMBINACIÓN DE ACCIONES ..... 5**

**6. COMPROBACIÓN DE LA CIMENTACIÓN. ..... 5**

**7. GRÁFICOS DE ESFUERZOS. ..... 7**

7.1. GRÁFICOS ESFUERZOS ELU - CIMENTACIONES ..... 7

7.2. GRÁFICOS ESFUERZOS ELU – MURO. ..... 10

**8. LISTADOS DE SALIDA DE ESFUERZOS ELU - ELS. ..... 13**

8.1. LISTADOS ESFUERZOS E.L.U. - FLEXIÓN. ..... 13

8.2. LISTADOS ESFUERZOS E.L.U. - CORTANTE. ..... 15

8.3. LISTADOS ESFUERZOS E.L.S. ..... 17

**9. DIMENSIONAMIENTO DE ARMADURAS PARA ELU. ..... 19**

9.1. ARMADURAS PARA E.L.U. DE FLEXIÓN. ..... 19

9.2. ARMADURAS PARA ELU DE CORTANTE ..... 19

**10. COMPROBACIONES DEL ELS DE FISURACIÓN. ..... 20**

**11. COMPROBACIONES EN PAREDES DE DEPÓSITOS INFERIORES. 21**

11.1. AGOTAMIENTO POR FLEXIÓN ..... 21

11.2. AGOTAMIENTO POR ESFUERZO CORTANTE. ..... 22

11.3. ESTADO LÍMITE DE FISURACIÓN. ..... 23

**12. COMPROBACIONES EN CIMENTACIONES ..... 24**

12.1. AGOTAMIENTO POR FLEXIÓN ..... 24

12.2. AGOTAMIENTO POR ESFUERZO CORTANTE. ..... 27

12.3. ESTADO LÍMITE DE FISURACIÓN. ..... 29

# 1. INTRODUCCIÓN.

En esta parte se calcula y dimensiona las siguientes estructuras:

- Arqueta de llegada
- Pozo de gruesos
- Cámara de bombeo

# 2. ACCIONES A CONSIDERAR

## 2.1. PESO PROPIO

Se obtiene aplicando un peso específico del hormigón de 25 KN/$m^3$.

## 2.2. PRESION DE AGUA

Se tiene en cuenta como un fluido de peso específico 10 KN/$m^3$.

La altura máxima de aguas en el interior de Arqueta de llegada, Pozo de gruesos y Cámara de bombeo es de 2.25 metros.

## 2.3. PRESION DE TIERRAS

Se tiene en cuenta una acción vertical de las tierras con un peso específico de 20,00 KN/m$^3$.

Por otro lado se tiene en cuenta un empuje horizontal triangular de las tierras con ángulo de rozamiento de 30º y coeficiente de empuje horizontal al reposo de 0,50.

La altura de las tierras se ha considerado, a efectos de cálculo, de 3,50 metros sobre el nivel superior de la solera.

## 2.4. SOBRECARGAS DE USO ADYACENTES.

Se consideran 10 KN/m$^2$ en trasdós de muros y coeficiente de empuje horizontal al reposo de 0,50.

## 3. DISCRETIZACIÓN DE LA ESTRUCTURA.

Para el análisis se ha realizado un modelo de elementos finitos tridimensional del bloque.

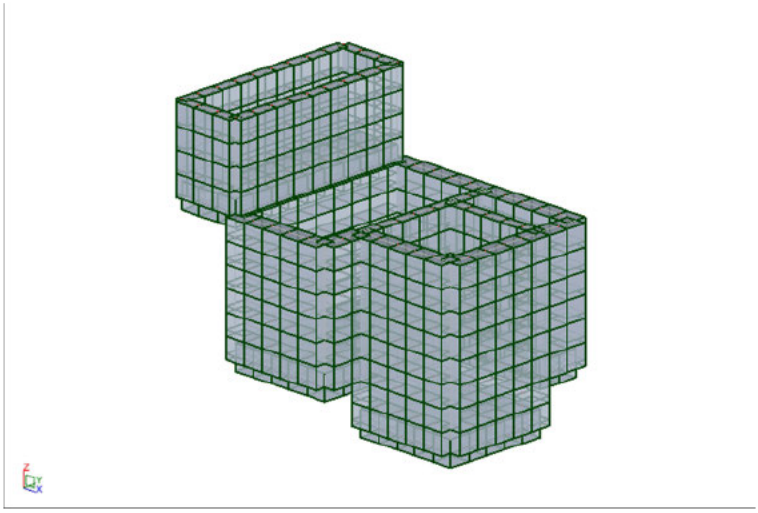
Se han usado elementos tipo placa rectangulares asignando los espesores adecuados.

**Características: Paneles**

| Nombre de espesor | Lista de paneles | Material | Tipo de espesor | Espesor (cm) | KZ (T/m3) | E (T/m2) | NI |
|---|---|---|---|---|---|---|---|
| ESP60_KZ | 1A3 9 | HA - 30 | constante | 60.000 | 2000.00 | 2693070.52 | 0.20 |
| ESP50 | 4A6 | HA - 30 | constante | 50.000 | 0.0 | 2693070.52 | 0.20 |
| ESP30 | 7 8 10 | HA - 30 | constante | 30.000 | 0.0 | 2693070.52 | 0.20 |

El apoyo en el terreno se modeliza según el coeficiente de balasto vertical KZ estimado de 2000 t/m$^3$.

## MODELO 3D



## 4. ACCIONES DE CÁLCULO

En el modelo de cálculo se introducen las acciones antes indicadas, como cargas independientes actuando en los distintos paneles.

Se resumen a continuación cada una de las acciones independientes.

**Cargas**

**- Casos: 1A6**

| Caso | Tipo de carga | Lista | Valores de carga | Nombre del caso |
|---|---|---|---|---|
| 1 | peso propio | 1A10 | PZ Menos Coef=1 00 | PP |
| 2 | (EF) presión hydrostática | 5 LADO(2) | P=-0 50(T/m2) Gama=-1 00(T/m3) H=3 500(m) Dirección=-Z | EMPUJE DE TIERRAS |
| 2 | (EF) presión hydrostática | 5 LADO(1) | P=0 50(T/m2) Gama=1 00(T/m3) H=3 500(m) Dirección=-Z | EMPUJE DE TIERRAS |
| 2 | (EF) presión hydrostática | 4 LADO(1 4 5) | P=-0 50(T/m2) Gama=-1 00(T/m3) H=3 500(m) Dirección=-Z | EMPUJE DE TIERRAS |
| 2 | (EF) presión hydrostática | 4 LADO(2 3) | P=0 50(T/m2) Gama=1 00(T/m3) H=3 500(m) Dirección=-Z | EMPUJE DE TIERRAS |
| 3 | (EF) presión hydrostática | 5 LADO(2) | Gama=1 00(T/m3) H=2 500(m) Dirección=-Z | EMPUJE HIDROSTÁTICO |
| 3 | (EF) presión hydrostática | 5 LADO(1) | Gama=-1 00(T/m3) H=2 500(m) Dirección=-Z | EMPUJE HIDROSTÁTICO |
| 3 | (EF) presión hydrostática | 4 LADO(1 4 5) | Gama=1 00(T/m3) H=2 500(m) Dirección=-Z | EMPUJE HIDROSTÁTICO |
| 3 | (EF) presión hydrostática | 4 LADO(2 3) | Gama=-1 00(T/m3) H=2 500(m) Dirección=-Z | EMPUJE HIDROSTÁTICO |
| 3 | (EF) presión hydrostática | 1A3 | Gama=-1 00(T/m3) H=2 500(m) Dirección=-Z | EMPUJE HIDROSTÁTICO |
| 3 | (EF) presión hydrostática | 10 LADO(3 4) | Gama=1 00(T/m3) H=5 500(m) Dirección=-Z | EMPUJE HIDROSTÁTICO |
| 3 | (EF) presión hydrostática | 10 LADO(1 2) | Gama=-1 00(T/m3) H=5 500(m) Dirección=-Z | EMPUJE HIDROSTÁTICO |
| 3 | (EF) presión hydrostática | 9 | Gama=-1 00(T/m3) H=5 500(m) Dirección=-Z | EMPUJE HIDROSTÁTICO |

## 5. COMBINACIÓN DE ACCIONES.

Para la comprobación de los estados límites ELU y ELS las acciones independientes se combinan de acuerdo a la instrucción EHE, de manera que se puedan obtener las distintas hipótesis de cálculo con las acciones combinadas y siendo afectadas por los correspondientes coeficientes de mayoración.

Se adjunta una tabla con las distintas hipótesis de cálculo consideradas para las comprobaciones de los estados límites últimos y de servicio.

**Combinaciones de casos**

**- Casos: 4A11**

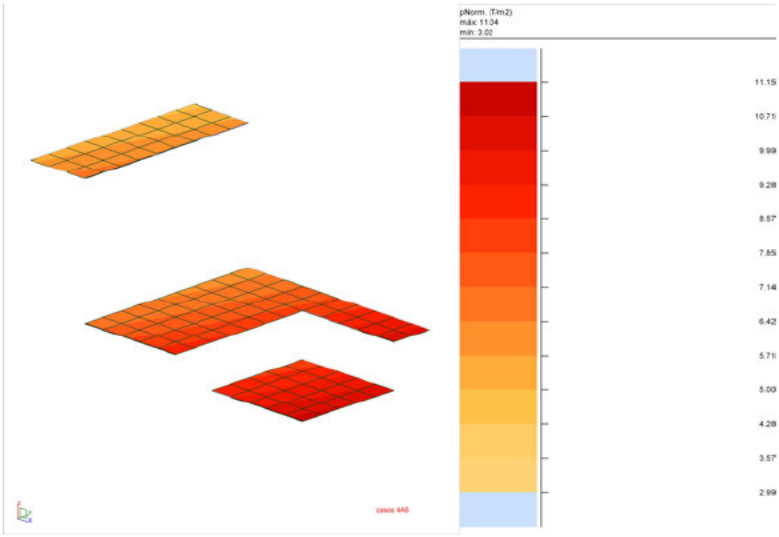
| Combinación | Nombre | Tipo de análisis | Naturaleza de combinación | Naturaleza de caso | Definición |
|---|---|---|---|---|---|
| **4 (C)** | ELS1 | Combinación lineal | ELU | | (1+2)*1.00 |
| **5 (C)** | ELS2 | Combinación lineal | ELU | | (1+3)*1.00 |
| **6 (C)** | ELS3 | Combinación lineal | ELU | | (1+2+3)*1.00 |
| **7 (C)** | ELU1 | Combinación lineal | ELU | | 1*1.00+2*1.60 |
| **8 (C)** | ELU2 | Combinación lineal | ELU | | 1*1.50+2*1.60 |
| **9 (C)** | ELU3 | Combinación lineal | ELU | | 1*1.00+3*1.60 |
| **10 (C)** | ELU4 | Combinación lineal | ELU | | 1*1.50+3*1.60 |
| **11 (C)** | ELU5 | Combinación lineal | ELU | | 1*1.50+(2+3)*1.60 |

## 6. COMPROBACIÓN DE LA CIMENTACIÓN.

Se comprueba que con la combinación de acciones características pésima las tensiones que se obtienen en cimentación son inferiores a la tensión media admisible asignada en el informe geotécnico.

$$\sigma_{\max,cal} = 11.04T/m^2 \leq \sigma_{media,adm} = 20{,}0T/m^2$$

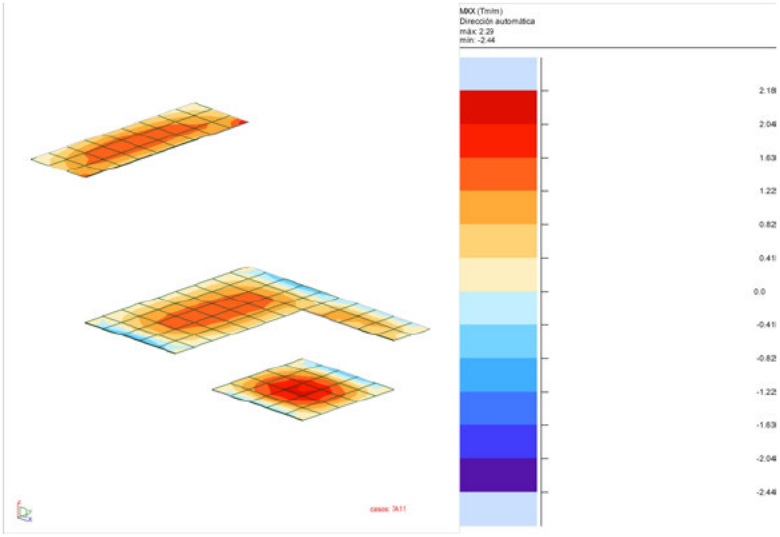
## pNorm. (T/m2) casos: 4A6 (+)



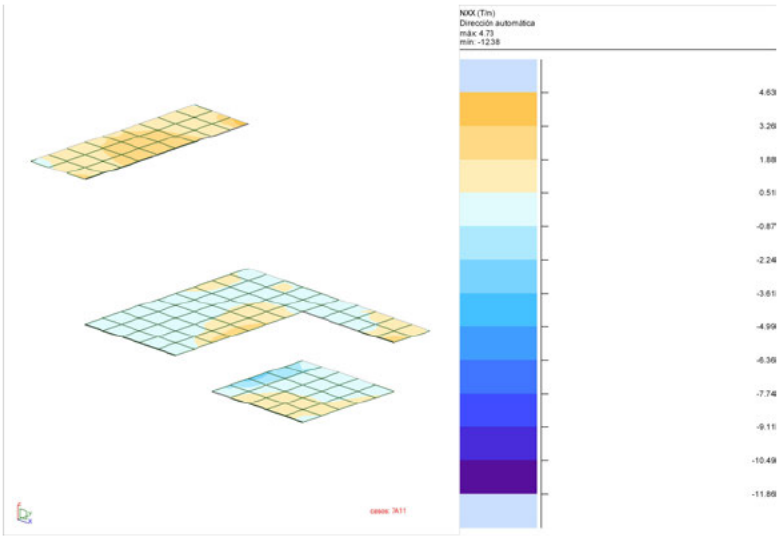
# 7. GRÁFICOS DE ESFUERZOS.

## 7.1. GRÁFICOS ESFUERZOS ELU - CIMENTACIONES

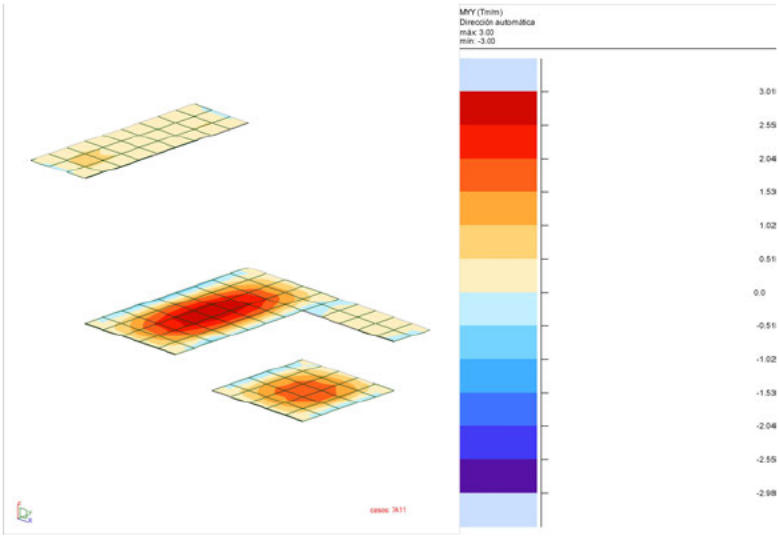
**MXX (Tm/m) Dirección automática casos: 7A11 (+)**



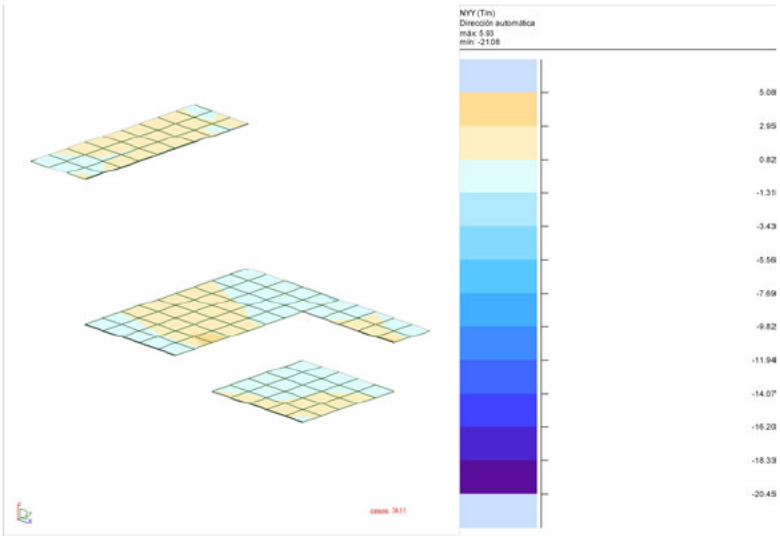

**NXX (T/m) Dirección automática casos: 7A11 (+)**



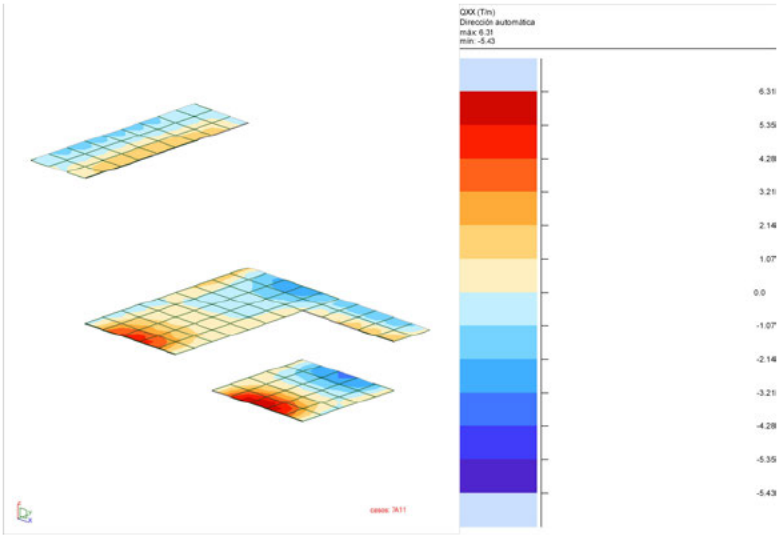
## MYY (Tm/m) Dirección automática casos: 7A11 (+)



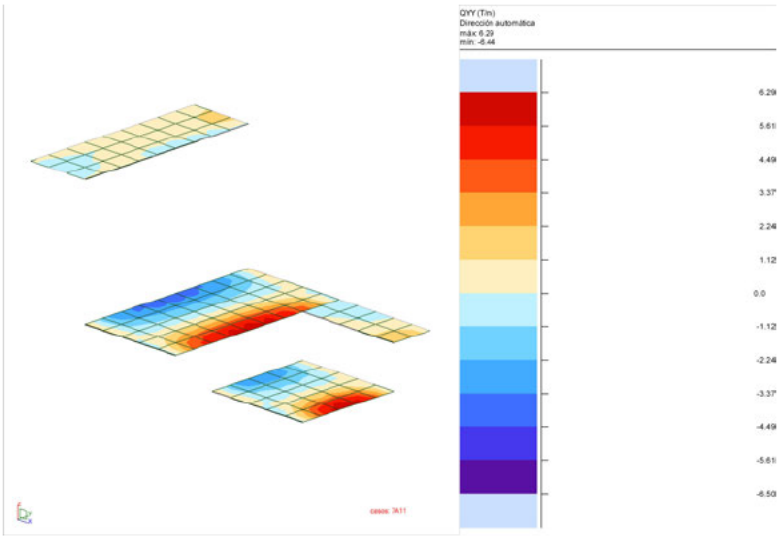

## NYY (T/m) Dirección automática casos: 7A11 (+)



## QXX (T/m) Dirección automática casos: 7A11 (+)

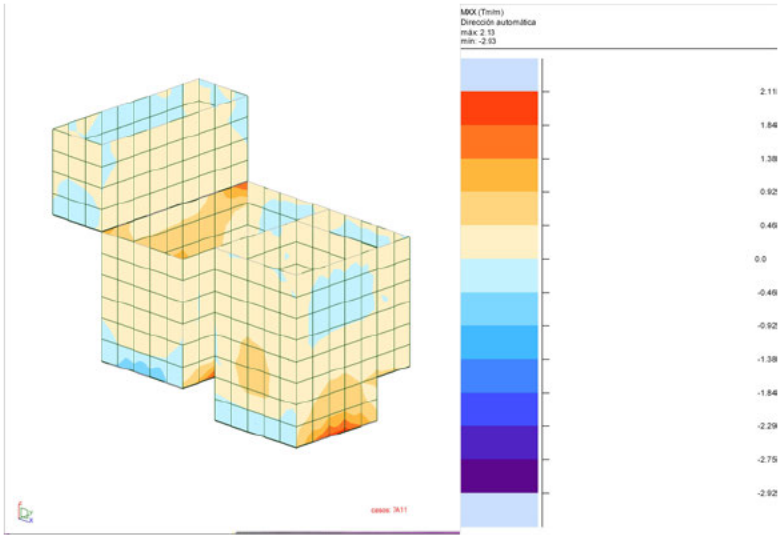



## QYY (T/m) Dirección automática casos: 7A11 (+)

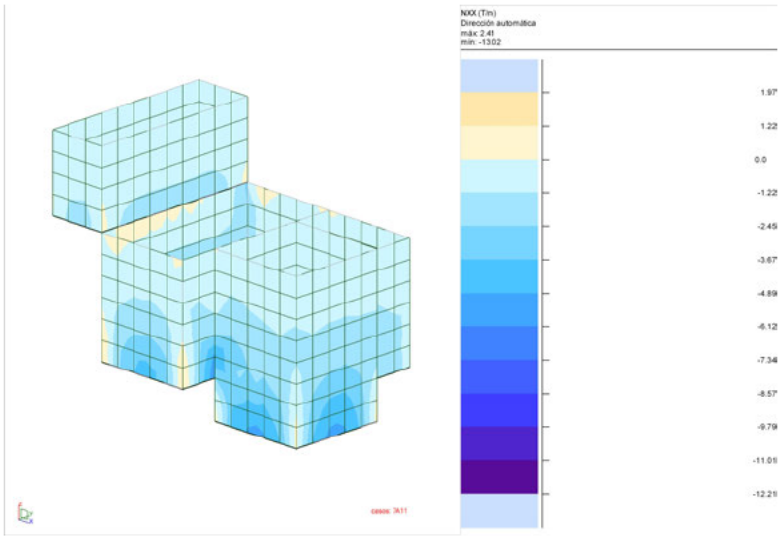


## 7.2. GRÁFICOS ESFUERZOS ELU – MURO.

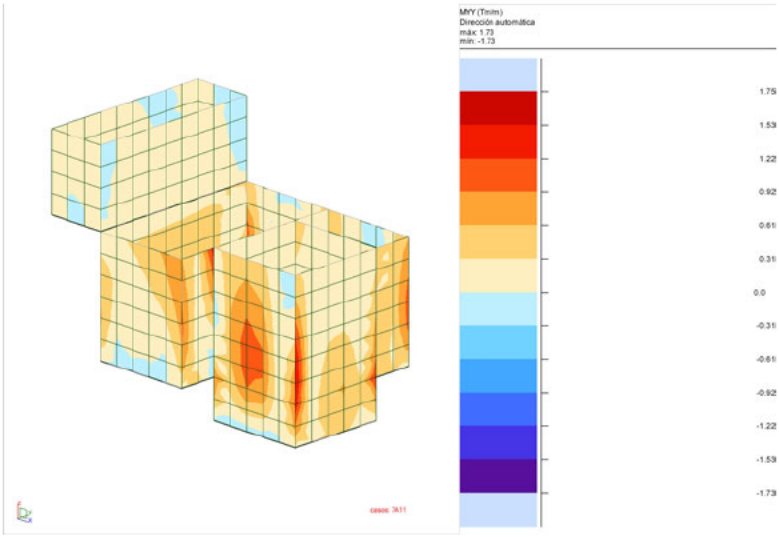
**MXX (Tm/m) casos: 7A11 (+)**



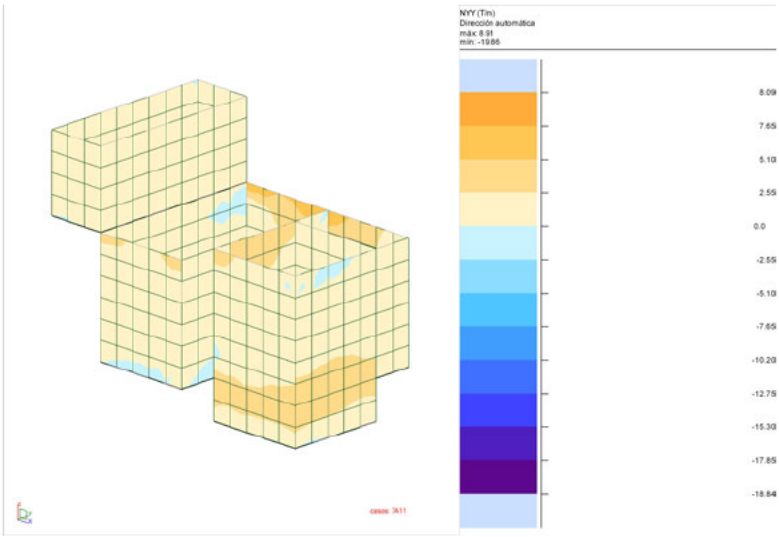

**NXX (T/m) casos: 7A11 (+)**



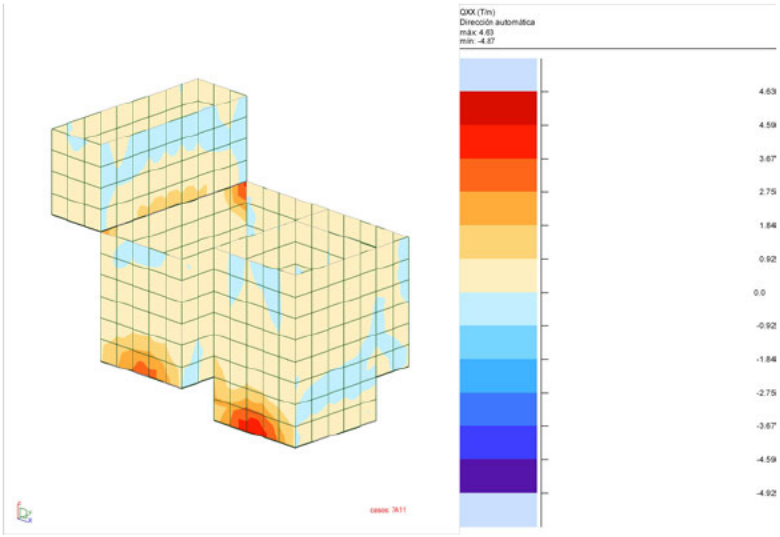
## MYY (Tm/m) casos: 7A11 (+)



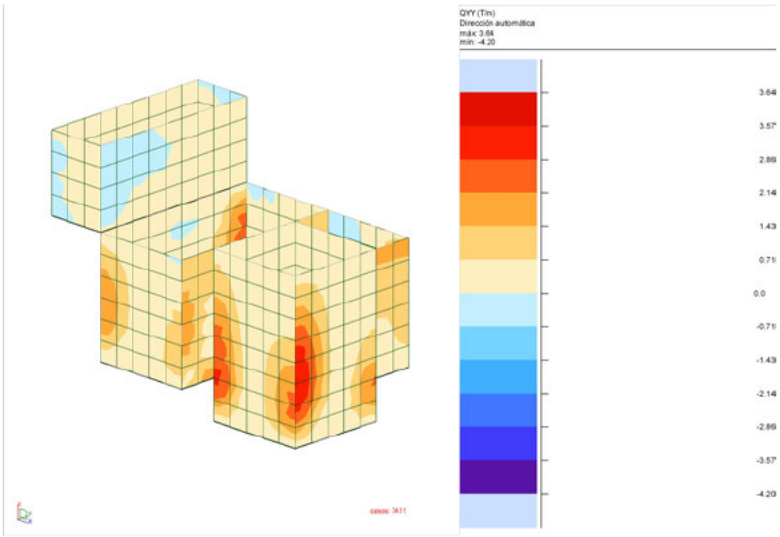

## NYY (T/m) casos: 7A11 (+)



## QXX (T/m) casos: 7A11 (+)




## QYY (T/m) casos: 7A11 (+)



# 8. LISTADOS DE SALIDA DE ESFUERZOS ELU - ELS.

## 8.1. LISTADOS ESFUERZOS E.L.U. - FLEXIÓN.

| Panel/Nudo/Caso | MXX (Tm/m) | MYY (Tm/m) | NXX (T/m) | NYY (T/m) | Definición |
|---|---|---|---|---|---|
| 1/ 34/ 10 (C) | 1.55>> | 2 94 | 0 15 | 0 90 | 1*1 50+3*1 60 |
| 1/ 4/ 8 (C) | -1.99<< | -0 11 | -3 18 | -1 43 | 1*1 50+2*1 60 |
| 1/ 28/ 10 (C) | 1 54 | 2.98>> | -0 02 | 1 40 | 1*1 50+3*1 60 |
| 1/ 25/ 8 (C) | -0 34 | -2.98<< | -4 04 | -6 20 | 1*1 50+2*1 60 |
| 1/ 24/ 9 (C) | 0 11 | -0 91 | 3.05>> | 2 54 | 1*1 00+3*1 60 |
| 1/ 18/ 8 (C) | -0 06 | -1 29 | -11.74<< | -20 45 | 1*1 50+2*1 60 |
| 1/ 18/ 9 (C) | -0 17 | -0 78 | 2 11 | 5.03>> | 1*1 00+3*1 60 |
| 1/ 18/ 8 (C) | -0 06 | -1 29 | -11 74 | -20.45<< | 1*1 50+2*1 60 |
| 2/ 75/ 10 (C) | 2.16>> | 1 88 | 0 00 | 0 01 | 1*1 50+3*1 60 |
| 2/ 63/ 8 (C) | -2.42<< | -0 31 | -5 51 | -2 80 | 1*1 50+2*1 60 |
| 2/ 82/ 10 (C) | 2 05 | 2.05>> | -0 46 | 0 37 | 1*1 50+3*1 60 |
| 2/ 84/ 8 (C) | -0 10 | -2.25<< | -3 70 | -4 37 | 1*1 50+2*1 60 |
| 2/ 63/ 9 (C) | -0 51 | 0 10 | 1.89>> | 2 50 | 1*1 00+3*1 60 |
| 2/ 63/ 8 (C) | -2 42 | -0 31 | -5.51<< | -2 80 | 1*1 50+2*1 60 |
| 2/ 63/ 10 (C) | -1 01 | 0 10 | 1 58 | 2.72>> | 1*1 50+3*1 60 |
| 2/ 84/ 8 (C) | -0 10 | -2 25 | -3 70 | -4.37<< | 1*1 50+2*1 60 |
| 3/ 106/ 10 (C) | 0.97>> | 0 49 | 0 16 | 0 80 | 1*1 50+3*1 60 |
| 3/ 111/ 8 (C) | -1.14<< | -0 08 | -3 37 | -5 02 | 1*1 50+2*1 60 |
| 3/ 107/ 10 (C) | 0 80 | 0.51>> | 0 73 | 0 40 | 1*1 50+3*1 60 |
| 3/ 108/ 8 (C) | -0 01 | -0.77<< | -4 32 | -1 73 | 1*1 50+2*1 60 |
| 3/ 102/ 10 (C) | -0 40 | -0 48 | 3.41>> | 4 05 | 1*1 50+3*1 60 |
| 3/ 48/ 8 (C) | 0 77 | -0 47 | -8.15<< | -8 16 | 1*1 50+2*1 60 |
| 3/ 102/ 10 (C) | -0 40 | -0 48 | 3 41 | 4.05>> | 1*1 50+3*1 60 |
| 3/ 48/ 8 (C) | 0 77 | -0 47 | -8 15 | -8.16<< | 1*1 50+2*1 60 |
| 4_Lado(1)/ 18/ 8 (C) | 1.95>> | -0 31 | -12 21 | -8 20 | 1*1 50+2*1 60 |
| 4_Lado(3)/ 25/ 8 (C) | -2.92<< | -0 55 | -7 40 | -3 73 | 1*1 50+2*1 60 |
| 4_Lado(1)/ 133/ 10 (C) | 0 45 | 1.42>> | -0 95 | 0 41 | 1*1 50+3*1 60 |
| 4_Lado(3)/ 159/ 7 (C) | -0 17 | -1.27<< | -2 40 | -2 76 | 1*1 00+2*1 60 |
| 4_Lado(3)/ 1/ 10 (C) | -0 62 | -0 14 | 1.95>> | 0 31 | 1*1 50+3*1 60 |
| 4_Lado(1)/ 18/ 8 (C) | 1 95 | -0 31 | -12.21<< | -8 20 | 1*1 50+2*1 60 |
| 4_Lado(4)/ 247/ 10 (C) | -0 41 | 0 07 | -1 72 | 8.09>> | 1*1 50+3*1 60 |
| 4_Lado(1)/ 18/ 8 (C) | 1 95 | -0 31 | -12 21 | -8.20<< | 1*1 50+2*1 60 |
| 5_Lado(2)/ 84/ 8 (C) | 2.11>> | 0 34 | -8 50 | -3 88 | 1*1 50+2*1 60 |
| 5_Lado(1)/ 63/ 8 (C) | -2.29<< | -0 36 | -7 73 | -2 79 | 1*1 50+2*1 60 |
| 5_Lado(2)/ 369/ 7 (C) | 0 30 | 1.73>> | -2 75 | -4 83 | 1*1 00+2*1 60 |
| 5_Lado(1)/ 369/ 7 (C) | -0 27 | -1.73<< | -2 77 | -4 93 | 1*1 00+2*1 60 |
| 5_Lado(1)/ 61/ 10 (C) | -0 73 | -0 16 | 0.72>> | 1 38 | 1*1 50+3*1 60 |
| 5_Lado(1)/ 18/ 8 (C) | -0 17 | -0 99 | -11.46<< | -18 84 | 1*1 50+2*1 60 |
| 5_Lado(1)/ 18/ 9 (C) | 0 19 | 0 81 | -2 45 | 4.73>> | 1*1 00+3*1 60 |
| 5_Lado(1)/ 18/ 8 (C) | -0 17 | -0 99 | -11 46 | -18.84<< | 1*1 50+2*1 60 |

| | | | | | | | |
|---|---|---|---|---|---|---|---|
| 6_Lado(1)/ (C) | 93/ | 8 | 1.53>> | 0 29 | -6 83 | -2 39 | 1*1 50+2*1 60 |
| 6_Lado(2)/ (C) | 73/ | 8 | -1.60<< | -0 31 | -5 60 | -4 14 | 1*1 50+2*1 60 |
| 6_Lado(1)/ (C) | 102/ | 7 | -0 34 | 1.15>> | -3 15 | -5 26 | 1*1 00+2*1 60 |
| 6_Lado(2)/ (C) | 18/ | 7 | 0 45 | -1.59<< | -6 39 | -9 11 | 1*1 00+2*1 60 |
| 6_Lado(1)/ (C) | 411/ | 9 | -0 04 | -0 47 | 0.36>> | 2 14 | 1*1 00+3*1 60 |
| 6_Lado(1)/ (C) | 48/ | 8 | -1 36 | 0 14 | -8.73<< | -7 48 | 1*1 50+2*1 60 |
| 6_Lado(1)/ (C) | 102/ | 10 | -0 09 | -0 82 | -0 57 | 3.23>> | 1*1 50+3*1 60 |
| 6_Lado(2)/ (C) | 18/ | 8 | 0 40 | -1 54 | -7 62 | -9.72<< | 1*1 50+2*1 60 |
| 7/ | 24/ | 8 (C) | 0.90>> | 0 30 | -6 54 | -4 56 | 1*1 50+2*1 60 |
| 7/ | 118/ | 8 (C) | -0.31<< | -0 87 | -5 54 | -4 27 | 1*1 50+2*1 60 |
| 7/ | 133/ | 10 (C) | 0 14 | 0.35>> | -0 26 | 1 85 | 1*1 50+3*1 60 |
| 7/ | 118/ | 8 (C) | -0 31 | -0.87<< | -5 54 | -4 27 | 1*1 50+2*1 60 |
| 7/ | 543/ | 7 (C) | 0 01 | 0 00 | -0.04>> | 0 25 | 1*1 00+2*1 60 |
| 7/ | 48/ | 8 (C) | 0 35 | -0 09 | -8.89<< | -4 66 | 1*1 50+2*1 60 |
| 7/ | 541/ | 10 (C) | 0 00 | 0 07 | -0 28 | 4.50>> | 1*1 50+3*1 60 |
| 7/ | 18/ | 8 (C) | 0 58 | -0 43 | -7 49 | -6.01<< | 1*1 50+2*1 60 |
| 8/ | 48/ | 10 (C) | 0.26>> | 0 03 | -7 54 | -1 78 | 1*1 50+3*1 60 |
| 8/ | 101/ | 7 (C) | -0.24<< | -0 08 | -2 41 | -2 76 | 1*1 00+2*1 60 |
| 8/ | 543/ | 10 (C) | 0 04 | 0.44>> | -0 61 | 1 53 | 1*1 50+3*1 60 |
| 8/ | 345/ | 10 (C) | -0 07 | -0.39<< | -0 82 | -1 91 | 1*1 50+3*1 60 |
| 8/ | 345/ | 7 (C) | 0 04 | 0 21 | -0.02>> | 0 69 | 1*1 00+2*1 60 |
| 8/ | 48/ | 8 (C) | 0 24 | 0 19 | -8.27<< | -5 68 | 1*1 50+2*1 60 |
| 8/ | 330/ | 10 (C) | -0 07 | -0 28 | -1 64 | 1.91>> | 1*1 50+3*1 60 |
| 8/ | 48/ | 8 (C) | 0 24 | 0 19 | -8 27 | -5.68<< | 1*1 50+2*1 60 |
| 9/ | 247/ | 8 (C) | 2.09>> | 0 54 | -6 99 | -0 92 | 1*1 50+2*1 60 |
| 9/ | 626/ | 8 (C) | -0.13<< | 0 12 | -0 42 | -0 83 | 1*1 50+2*1 60 |
| 9/ | 605/ | 11 (C) | 1 43 | 0.57>> | 1 52 | 0 38 | 1*1 50+(2+3)*1 60 |
| 9/ | 598/ | 10 (C) | 0 09 | -0.31<< | 3 20 | 1 21 | 1*1 50+3*1 60 |
| 9/ | 247/ | 10 (C) | 0 30 | 0 16 | 4.63>> | 1 35 | 1*1 50+3*1 60 |
| 9/ | 247/ | 7 (C) | 1 94 | 0 49 | -7.38<< | -1 10 | 1*1 00+2*1 60 |
| 9/ | 242/ | 11 (C) | 0 47 | 0 19 | 2 92 | 2.15>> | 1*1 50+(2+3)*1 60 |
| 9/ | 622/ | 8 (C) | -0 00 | 0 13 | -0 10 | -3.76<< | 1*1 50+2*1 60 |
| 10_Lado(1)/ (C) | 622/ | 11 | 0.54>> | 0 12 | -2 48 | -1 40 | 1*1 50+(2+3)*1 60 |
| 10_Lado(3)/ (C) | 242/ | 9 | -0.52<< | -0 11 | -1 48 | -0 18 | 1*1 00+3*1 60 |
| 10_Lado(1)/ (C) | 677/ | 10 | 0 13 | 0.33>> | -0 43 | 0 02 | 1*1 50+3*1 60 |
| 10_Lado(3)/ (C) | 747/ | 11 | -0 14 | -0.37<< | -0 44 | 0 06 | 1*1 50+(2+3)*1 60 |
| 10_Lado(3)/ (C) | 177/ | 7 | 0 21 | 0 00 | 0.72>> | 0 42 | 1*1 00+2*1 60 |
| 10_Lado(2)/ (C) | 607/ | 11 | -0 06 | -0 00 | -3.39<< | -1 31 | 1*1 50+(2+3)*1 60 |
| 10_Lado(4)/ (C) | 247/ | 10 | 0 03 | 0 15 | -1 17 | 2.15>> | 1*1 50+3*1 60 |
| 10_Lado(4)/ (C) | 247/ | 7 | 0 08 | -0 10 | -0 97 | -3.09<< | 1*1 00+2*1 60 |

## 8.2. LISTADOS ESFUERZOS E.L.U. - CORTANTE.

| Panel/Nudo/Caso | NXX (T/m) | NYY (T/m) | QXX (T/m) | QYY (T/m) | Definición |
|---|---|---|---|---|---|
| 1/ 24/ 9 (C) | 3.05>> | 2 54 | 0 36 | 4 01 | 1*1 00+3*1 60 |
| 1/ 18/ 8 (C) | -11.74<< | -20 45 | 0 53 | 4 78 | 1*1 50+2*1 60 |
| 1/ 18/ 9 (C) | 2 11 | 5.03>> | -0 11 | 3 46 | 1*1 00+3*1 60 |
| 1/ 18/ 8 (C) | -11 74 | -20.45<< | 0 53 | 4 78 | 1*1 50+2*1 60 |
| 1/ 4/ 11 (C) | -2 39 | -1 52 | 4.78>> | -0 29 | 1*1 50+(2+3)*1 60 |
| 1/ 58/ 11 (C) | -2 81 | -3 47 | -4.61<< | -0 17 | 1*1 50+(2+3)*1 60 |
| 1/ 30/ 10 (C) | 2 92 | 1 31 | 0 34 | 6.05>> | 1*1 50+3*1 60 |
| 1/ 25/ 11 (C) | -3 43 | -4 47 | -0 41 | -6.44<< | 1*1 50+(2+3)*1 60 |
| 2/ 63/ 9 (C) | 1.89>> | 2 50 | 3 21 | 0 51 | 1*1 00+3*1 60 |
| 2/ 63/ 8 (C) | -5.51<< | -2 80 | 6 31 | -0 11 | 1*1 50+2*1 60 |
| 2/ 63/ 10 (C) | 1 58 | 2.72>> | 5 09 | 0 66 | 1*1 50+3*1 60 |
| 2/ 84/ 8 (C) | -3 70 | -4.37<< | 0 13 | 6 29 | 1*1 50+2*1 60 |
| 2/ 63/ 8 (C) | -5 51 | -2 80 | 6.31>> | -0 11 | 1*1 50+2*1 60 |
| 2/ 93/ 8 (C) | -2 83 | -2 10 | -5.43<< | 0 44 | 1*1 50+2*1 60 |
| 2/ 84/ 8 (C) | -3 70 | -4 37 | 0 13 | 6.29>> | 1*1 50+2*1 60 |
| 2/ 79/ 8 (C) | -4 30 | -2 31 | 0 46 | -5.09<< | 1*1 50+2*1 60 |
| 3/ 102/ 10 (C) | 3.41>> | 4 05 | 1 33 | 1 71 | 1*1 50+3*1 60 |
| 3/ 48/ 8 (C) | -8.15<< | -8 16 | -1 39 | -0 44 | 1*1 50+2*1 60 |
| 3/ 102/ 10 (C) | 3 41 | 4.05>> | 1 33 | 1 71 | 1*1 50+3*1 60 |
| 3/ 48/ 8 (C) | -8 15 | -8.16<< | -1 39 | -0 44 | 1*1 50+2*1 60 |
| 3/ 100/ 10 (C) | 0 05 | 2 31 | 1.56>> | 0 98 | 1*1 50+3*1 60 |
| 3/ 111/ 8 (C) | -3 37 | -5 02 | -3.94<< | -0 38 | 1*1 50+2*1 60 |
| 3/ 108/ 8 (C) | -4 32 | -1 73 | -0 90 | 2.42>> | 1*1 50+2*1 60 |
| 3/ 54/ 8 (C) | -5 51 | -5 51 | -1 57 | -1.72<< | 1*1 50+2*1 60 |
| 4_Lado(3)/ 1/ 10 (C) | 1.95>> | 0 31 | 0 97 | -0 43 | 1*1 50+3*1 60 |
| 4_Lado(1)/ 18/ 8 (C) | -12.21<< | -8 20 | -4 87 | 2 27 | 1*1 50+2*1 60 |
| 4_Lado(4)/ 247/ 10 (C) | -1 72 | 8.09>> | -0 75 | -0 49 | 1*1 50+3*1 60 |
| 4_Lado(1)/ 18/ 8 (C) | -12 21 | -8.20<< | -4 87 | 2 27 | 1*1 50+2*1 60 |
| 4_Lado(3)/ 25/ 8 (C) | -7 40 | -3 73 | 4.63>> | 0 13 | 1*1 50+2*1 60 |
| 4_Lado(1)/ 18/ 8 (C) | -12 21 | -8 20 | -4.87<< | 2 27 | 1*1 50+2*1 60 |
| 4_Lado(3)/ 217/ 7 (C) | -2 28 | -2 76 | 0 04 | 2.48>> | 1*1 00+2*1 60 |
| 4_Lado(1)/ 133/ 10 (C) | -0 95 | 0 41 | 0 64 | -2.98<< | 1*1 50+3*1 60 |
| 5_Lado(1)/ 61/ 10 (C) | 0.72>> | 1 38 | 1 35 | 0 08 | 1*1 50+3*1 60 |
| 5_Lado(1)/ 18/ 8 (C) | -11.46<< | -18 84 | 1 56 | 2 81 | 1*1 50+2*1 60 |
| 5_Lado(1)/ 18/ 9 (C) | -2 45 | 4.73>> | 1 21 | -2 33 | 1*1 00+3*1 60 |
| 5_Lado(1)/ 18/ 8 (C) | -11 46 | -18.84<< | 1 56 | 2 81 | 1*1 50+2*1 60 |
| 5_Lado(1)/ 63/ 8 (C) | -7 73 | -2 79 | 4.28>> | -0 30 | 1*1 50+2*1 60 |
| 5_Lado(2)/ 84/ 8 (C) | -8 50 | -3 88 | -3.69<< | 0 33 | 1*1 50+2*1 60 |
| 5_Lado(2)/ 369/ 7 (C) | -2 75 | -4 83 | -0 04 | 3.64>> | 1*1 00+2*1 60 |
| 5_Lado(1)/ 369/ 7 (C) | -2 77 | -4 93 | -0 04 | -3.72<< | 1*1 00+2*1 60 |

| | | | | | | | |
|---|---|---|---|---|---|---|---|
| 6_Lado(1)/ (C) | 411/ | 9 | 0.36>> | 2 14 | -0 13 | -0 88 | 1*1 00+3*1 60 |
| 6_Lado(1)/ (C) | 48/ | 8 | -8.73<< | -7 48 | -3 44 | -1 14 | 1*1 50+2*1 60 |
| 6_Lado(1)/ (C) | 102/ | 10 | -0 57 | 3.23>> | -0 10 | -1 62 | 1*1 50+3*1 60 |
| 6_Lado(2)/ (C) | 18/ | 8 | -7 62 | -9.72<< | 2 92 | -4 17 | 1*1 50+2*1 60 |
| 6_Lado(2)/ (C) | 18/ | 8 | -7 62 | -9 72 | 2.92>> | -4 17 | 1*1 50+2*1 60 |
| 6_Lado(1)/ (C) | 48/ | 8 | -8 73 | -7 48 | -3.44<< | -1 14 | 1*1 50+2*1 60 |
| 6_Lado(1)/ (C) | 102/ | 7 | -3 15 | -5 26 | -1 93 | 2.62>> | 1*1 00+2*1 60 |
| 6_Lado(2)/ (C) | 18/ | 7 | -6 39 | -9 11 | 2 84 | -4.20<< | 1*1 00+2*1 60 |
| 7/ 543/ | 7 (C) | | -0.04>> | 0 25 | 0 04 | -0 32 | 1*1 00+2*1 60 |
| 7/ 48/ | 8 (C) | | -8.89<< | -4 66 | -0 95 | 0 17 | 1*1 50+2*1 60 |
| 7/ 541/ | 10 (C) | | -0 28 | 4.50>> | -0 01 | 0 25 | 1*1 50+3*1 60 |
| 7/ 18/ | 8 (C) | | -7 49 | -6.01<< | -2 02 | -1 73 | 1*1 50+2*1 60 |
| 7/ 127/ | 10 (C) | | -1 23 | 2 03 | 0.29>> | 0 13 | 1*1 50+3*1 60 |
| 7/ 18/ | 8 (C) | | -7 49 | -6 01 | -2.02<< | -1 73 | 1*1 50+2*1 60 |
| 7/ 544/ | 10 (C) | | -0 47 | 0 78 | 0 02 | 1.10>> | 1*1 50+3*1 60 |
| 7/ 18/ | 7 (C) | | -5 46 | -5 51 | -1 90 | -1.75<< | 1*1 00+2*1 60 |
| 8/ 345/ | 7 (C) | | -0.02>> | 0 69 | -0 01 | 0 12 | 1*1 00+2*1 60 |
| 8/ 48/ | 8 (C) | | -8.27<< | -5 68 | -0 60 | -0 47 | 1*1 50+2*1 60 |
| 8/ 330/ | 10 (C) | | -1 64 | 1.91>> | -0 33 | -0 42 | 1*1 50+3*1 60 |
| 8/ 48/ | 8 (C) | | -8 27 | -5.68<< | -0 60 | -0 47 | 1*1 50+2*1 60 |
| 8/ 101/ | 7 (C) | | -2 41 | -2 76 | 0.56>> | 0 67 | 1*1 00+2*1 60 |
| 8/ 48/ | 10 (C) | | -7 54 | -1 78 | -0.76<< | 0 11 | 1*1 50+3*1 60 |
| 8/ 102/ | 7 (C) | | -2 16 | -3 33 | 0 34 | 1.09>> | 1*1 00+2*1 60 |
| 8/ 102/ | 10 (C) | | -1 82 | 1 68 | -0 46 | -0.67<< | 1*1 50+3*1 60 |
| 9/ 247/ | 10 (C) | | 4.63>> | 1 35 | -0 87 | -0 66 | 1*1 50+3*1 60 |
| 9/ 247/ | 7 (C) | | -7.38<< | -1 10 | -2 66 | -0 20 | 1*1 00+2*1 60 |
| 9/ 242/ | 11 (C) | | 2 92 | 2.15>> | 2 05 | -0 28 | 1*1 50+(2+3)*1 60 |
| 9/ 622/ | 8 (C) | | -0 10 | -3.76<< | -1 86 | 0 22 | 1*1 50+2*1 60 |
| 9/ 242/ | 8 (C) | | 1 29 | 1 90 | 2.10>> | -0 17 | 1*1 50+2*1 60 |
| 9/ 247/ | 8 (C) | | -6 99 | -0 92 | -3.01<< | -0 38 | 1*1 50+2*1 60 |
| 9/ 598/ | 11 (C) | | -2 51 | 0 31 | -1 97 | 1.71>> | 1*1 50+(2+3)*1 60 |
| 9/ 607/ | 11 (C) | | -2 14 | 0 33 | -0 95 | -1.74<< | 1*1 50+(2+3)*1 60 |
| 10_Lado(3)/ (C) | 177/ | 7 | 0.72>> | 0 42 | -0 35 | -0 07 | 1*1 00+2*1 60 |
| 10_Lado(2)/ (C) | 607/ | 11 | -3.39<< | -1 31 | -0 10 | 0 02 | 1*1 50+(2+3)*1 60 |
| 10_Lado(4)/ (C) | 247/ | 10 | -1 17 | 2.15>> | 0 07 | 0 36 | 1*1 50+3*1 60 |
| 10_Lado(4)/ (C) | 247/ | 7 | -0 97 | -3.09<< | -0 25 | -0 17 | 1*1 00+2*1 60 |
| 10_Lado(3)/ (C) | 242/ | 11 | -2 58 | 0 33 | 1.14>> | 0 05 | 1*1 50+(2+3)*1 60 |
| 10_Lado(1)/ (C) | 622/ | 11 | -2 48 | -1 40 | -1.16<< | -0 02 | 1*1 50+(2+3)*1 60 |
| 10_Lado(3)/ (C) | 727/ | 11 | -0 57 | 0 84 | -0 36 | 0.66>> | 1*1 50+(2+3)*1 60 |
| 10_Lado(3)/ (C) | 689/ | 11 | -0 37 | 0 77 | -0 33 | -0.60<< | 1*1 50+(2+3)*1 60 |

## 8.3. LISTADOS ESFUERZOS E.L.S.

| Panel/Nudo/Caso | NXX (T/m) | NYY (T/m) | MXX (Tm/m) | MYY (Tm/m) | Definición |
|---|---|---|---|---|---|
| 1/ 30/ 5 (C) | 1.85>> | 0 81 | 0 18 | -0 81 | (1+3)*1 00 |
| 1/ 18/ 4 (C) | -7.46<< | -12 92 | -0 04 | -0 85 | (1+2)*1 00 |
| 1/ 18/ 5 (C) | 0 60 | 2.34>> | -0 11 | -0 72 | (1+3)*1 00 |
| 1/ 18/ 4 (C) | -7 46 | -12.92<< | -0 04 | -0 85 | (1+2)*1 00 |
| 1/ 34/ 5 (C) | 0 04 | 0 54 | 1.03>> | 1 96 | (1+3)*1 00 |
| 1/ 4/ 4 (C) | -2 04 | -0 97 | -1.31<< | -0 06 | (1+2)*1 00 |
| 1/ 28/ 5 (C) | -0 06 | 0 86 | 1 02 | 1.98>> | (1+3)*1 00 |
| 1/ 25/ 4 (C) | -2 56 | -3 91 | -0 22 | -1.93<< | (1+2)*1 00 |
| 2/ 63/ 5 (C) | 0.95>> | 1 73 | -0 70 | 0 06 | (1+3)*1 00 |
| 2/ 63/ 4 (C) | -3.48<< | -1 73 | -1 57 | -0 19 | (1+2)*1 00 |
| 2/ 63/ 5 (C) | 0 95 | 1.73>> | -0 70 | 0 06 | (1+3)*1 00 |
| 2/ 84/ 4 (C) | -2 35 | -2.77<< | -0 05 | -1 47 | (1+2)*1 00 |
| 2/ 75/ 5 (C) | -0 06 | -0 04 | 1.44>> | 1 26 | (1+3)*1 00 |
| 2/ 63/ 4 (C) | -3 48 | -1 73 | -1.57<< | -0 19 | (1+2)*1 00 |
| 2/ 82/ 5 (C) | -0 35 | 0 18 | 1 37 | 1.37>> | (1+3)*1 00 |
| 2/ 84/ 4 (C) | -2 35 | -2 77 | -0 05 | -1.47<< | (1+2)*1 00 |
| 3/ 102/ 5 (C) | 2.13>> | 2 57 | -0 25 | -0 32 | (1+3)*1 00 |
| 3/ 48/ 4 (C) | -5.24<< | -5 19 | 0 51 | -0 31 | (1+2)*1 00 |
| 3/ 102/ 5 (C) | 2 13 | 2.57>> | -0 25 | -0 32 | (1+3)*1 00 |
| 3/ 48/ 4 (C) | -5 24 | -5.19<< | 0 51 | -0 31 | (1+2)*1 00 |
| 3/ 106/ 5 (C) | 0 07 | 0 48 | 0.65>> | 0 32 | (1+3)*1 00 |
| 3/ 111/ 4 (C) | -2 14 | -3 18 | -0.74<< | -0 05 | (1+2)*1 00 |
| 3/ 107/ 5 (C) | 0 44 | 0 24 | 0 53 | 0.34>> | (1+3)*1 00 |
| 3/ 108/ 4 (C) | -2 71 | -1 10 | -0 01 | -0.50<< | (1+2)*1 00 |
| 4_Lado(3)/ 55/ 5 (C) | 1.29>> | 0 47 | -0 42 | -0 09 | (1+3)*1 00 |
| 4_Lado(1)/ 18/ 4 (C) | -8.08<< | -5 33 | 1 25 | -0 21 | (1+2)*1 00 |
| 4_Lado(4)/ 247/ 5 (C) | -1 16 | 5.19>> | -0 27 | 0 03 | (1+3)*1 00 |
| 4_Lado(1)/ 18/ 4 (C) | -8 08 | -5.33<< | 1 25 | -0 21 | (1+2)*1 00 |
| 4_Lado(1)/ 18/ 4 (C) | -8 08 | -5 33 | 1.25>> | -0 21 | (1+2)*1 00 |
| 4_Lado(3)/ 25/ 4 (C) | -4 92 | -2 41 | -1.89<< | -0 36 | (1+2)*1 00 |
| 4_Lado(1)/ 133/ 5 (C) | -0 63 | 0 30 | 0 30 | 0.94>> | (1+3)*1 00 |
| 4_Lado(1)/ 135/ 5 (C) | -0 81 | -0 49 | -0 38 | -0.80<< | (1+3)*1 00 |
| 5_Lado(1)/ 61/ 5 (C) | 0.46>> | 0 91 | -0 49 | -0 11 | (1+3)*1 00 |
| 5_Lado(1)/ 18/ 4 (C) | -7.45<< | -11 90 | -0 10 | -0 60 | (1+2)*1 00 |
| 5_Lado(2)/ 102/ 5 (C) | -1 02 | 2.77>> | -0 02 | -0 50 | (1+3)*1 00 |
| 5_Lado(1)/ 18/ 4 (C) | -7 45 | -11.90<< | -0 10 | -0 60 | (1+2)*1 00 |
| 5_Lado(2)/ 84/ 4 (C) | -5 67 | -2 51 | 1.37>> | 0 22 | (1+2)*1 00 |
| 5_Lado(1)/ 63/ 4 (C) | -5 17 | -1 77 | -1.48<< | -0 24 | (1+2)*1 00 |
| 5_Lado(2)/ 369/ 4 (C) | -2 23 | -2 81 | 0 19 | 1.03>> | (1+2)*1 00 |
| 5_Lado(1)/ 369/ 4 (C) | -2 26 | -2 96 | -0 16 | -1.03<< | (1+2)*1 00 |

| | | | | | | | |
|---|---|---|---|---|---|---|---|
| 6_Lado(1)/ (C) | 96/ | 5 | 0.22>> | -0 60 | 0 26 | -0 03 | (1+3)*1 00 |
| 6_Lado(1)/ (C) | 48/ | 4 | -5.74<< | -4 78 | -0 90 | 0 08 | (1+2)*1 00 |
| 6_Lado(1)/ (C) | 102/ | 5 | -0 43 | 2.04>> | -0 06 | -0 52 | (1+3)*1 00 |
| 6_Lado(2)/ (C) | 18/ | 4 | -4 91 | -6.15<< | 0 24 | -0 96 | (1+2)*1 00 |
| 6_Lado(1)/ (C) | 93/ | 4 | -4 57 | -1 59 | 1.01>> | 0 19 | (1+2)*1 00 |
| 6_Lado(2)/ (C) | 73/ | 4 | -3 75 | -2 77 | -1.05<< | -0 20 | (1+2)*1 00 |
| 6_Lado(1)/ (C) | 102/ | 4 | -2 42 | -3 13 | -0 26 | 0.66>> | (1+2)*1 00 |
| 6_Lado(2)/ (C) | 18/ | 4 | -4 91 | -6 15 | 0 24 | -0.96<< | (1+2)*1 00 |
| 7/ | 543/ | 4 (C) | -0.08>> | 1 03 | 0 03 | 0 03 | (1+2)*1 00 |
| 7/ | 48/ | 4 (C) | -5.91<< | -3 03 | 0 23 | -0 06 | (1+2)*1 00 |
| 7/ | 541/ | 5 (C) | -0 19 | 3.01>> | 0 00 | 0 05 | (1+3)*1 00 |
| 7/ | 18/ | 4 (C) | -4 93 | -3.82<< | 0 37 | -0 27 | (1+2)*1 00 |
| 7/ | 24/ | 4 (C) | -4 38 | -2 91 | 0.57>> | 0 19 | (1+2)*1 00 |
| 7/ | 118/ | 4 (C) | -3 67 | -2 66 | -0.19<< | -0 54 | (1+2)*1 00 |
| 7/ | 133/ | 5 (C) | -0 17 | 1 26 | 0 09 | 0.23>> | (1+3)*1 00 |
| 7/ | 118/ | 4 (C) | -3 67 | -2 66 | -0 19 | -0.54<< | (1+2)*1 00 |
| 8/ | 585/ | 4 (C) | -0.15>> | 0 52 | 0 00 | 0 03 | (1+2)*1 00 |
| 8/ | 48/ | 4 (C) | -5.50<< | -3 66 | 0 16 | 0 12 | (1+2)*1 00 |
| 8/ | 330/ | 5 (C) | -1 11 | 1.20>> | -0 05 | -0 18 | (1+3)*1 00 |
| 8/ | 48/ | 4 (C) | -5 50 | -3.66<< | 0 16 | 0 12 | (1+2)*1 00 |
| 8/ | 48/ | 5 (C) | -5 04 | -1 22 | 0.17>> | 0 02 | (1+3)*1 00 |
| 8/ | 101/ | 4 (C) | -2 61 | -1 79 | -0.14<< | -0 05 | (1+2)*1 00 |
| 8/ | 543/ | 5 (C) | -0 41 | 1 01 | 0 02 | 0.29>> | (1+3)*1 00 |
| 8/ | 345/ | 5 (C) | -0 54 | -1 25 | -0 04 | -0.25<< | (1+3)*1 00 |
| 9/ | 247/ | 5 (C) | 2.94>> | 0 87 | 0 21 | 0 10 | (1+3)*1 00 |
| 9/ | 247/ | 4 (C) | -4.32<< | -0 55 | 1 33 | 0 34 | (1+2)*1 00 |
| 9/ | 242/ | 6 (C) | 1 81 | 1.36>> | 0 30 | 0 12 | (1+2+3)*1 00 |
| 9/ | 622/ | 4 (C) | -0 06 | -2.37<< | -0 00 | 0 09 | (1+2)*1 00 |
| 9/ | 247/ | 4 (C) | -4 32 | -0 55 | 1.33>> | 0 34 | (1+2)*1 00 |
| 9/ | 626/ | 4 (C) | -0 27 | -0 53 | -0.08<< | 0 08 | (1+2)*1 00 |
| 9/ | 605/ | 6 (C) | 0 94 | 0 24 | 0 93 | 0.37>> | (1+2+3)*1 00 |
| 9/ | 598/ | 5 (C) | 2 03 | 0 76 | 0 06 | -0.21<< | (1+3)*1 00 |
| 10_Lado(3)/ (C) | 177/ | 6 | 0.36>> | 0 33 | 0 18 | 0 03 | (1+2+3)*1 00 |
| 10_Lado(2)/ (C) | 607/ | 6 | -2.21<< | -0 82 | -0 04 | -0 00 | (1+2+3)*1 00 |
| 10_Lado(4)/ (C) | 247/ | 5 | -0 79 | 1.36>> | 0 02 | 0 10 | (1+3)*1 00 |
| 10_Lado(4)/ (C) | 247/ | 4 | -0 99 | -1.85<< | 0 06 | -0 05 | (1+2)*1 00 |
| 10_Lado(1)/ (C) | 622/ | 6 | -1 66 | -0 90 | 0.34>> | 0 08 | (1+2+3)*1 00 |
| 10_Lado(3)/ (C) | 242/ | 6 | -1 71 | 0 20 | -0.31<< | -0 05 | (1+2+3)*1 00 |
| 10_Lado(1)/ (C) | 677/ | 5 | -0 28 | 0 02 | 0 08 | 0.21>> | (1+3)*1 00 |
| 10_Lado(3)/ (C) | 747/ | 6 | -0 29 | 0 05 | -0 09 | -0.24<< | (1+2+3)*1 00 |

# 9. DIMENSIONAMIENTO DE ARMADURAS PARA ELU.

## 9.1. ARMADURAS PARA E.L.U. DE FLEXIÓN.

Para dimensionar la armadura se parte de la cuantía mínima indicada en la norma E.H.E., y se comprueba su validez para los máximos esfuerzos obtenidos en las estructuras modelizadas.

Las armaduras se obtienen empleando una hoja de cálculo, especialmente programada para el dimensionamiento de secciones rectangulares de hormigón armado sometidas a esfuerzos de flexión compuesta.

Las cuantías mínimas indicadas en la instrucción E.H.E. son las siguientes:

**Cuantía mecánica:** $A_s \geq 0.04 \cdot A_c \cdot \frac{f_{cd}}{f_{yd}}$

**Losa:** $A_s \geq 0.0018 \cdot A_c$ (a repartir entre ambas caras)

**Muro:** $A_{sh} \geq 0.0032 \cdot A_c$ (a repartir entre ambas caras)

$A_{sv} \geq 0.0009 \cdot A_c$ (en cara de tracción)

## 9.2. ARMADURAS PARA ELU DE CORTANTE.

El Estado Límite de Agotamiento por esfuerzo cortante se puede alcanzar, ya sea por agotarse la resistencia a compresión del alma, o por agotarse su resistencia a tracción. En consecuencia, es necesario comprobar que se cumple simultáneamente:

$$V_{rd} \leq V_{u1}$$

$$V_{rd} \leq V_{u2}$$

Las comprobaciones se realizan empleando una hoja de cálculo, especialmente programada para el dimensionamiento de secciones rectangulares de hormigón armado sometidas a esfuerzos de cortante, inicialmente se tantea como armadura de flexión con la máxima de las cuantías mínimas necesarias, bien geométrica o mecánica.

En la hoja se introducen las características de las secciones y de los materiales, hormigón y acero, y los esfuerzos obtenidos de los modelos en la combinación más desfavorable.

## 10. COMPROBACIONES DEL ELS DE FISURACIÓN.

La comprobación general del Estado Límite de Fisuración por tracción consiste en satisfacer la siguiente inecuación:

$$w_k \leq w_{max}$$

Las aberturas de fisuras se obtienen empleando una hoja de cálculo, especialmente programada para el caso de secciones rectangulares de hormigón armado sometidas a esfuerzos de flexión compuesta.

En la hoja se introducen las características de las secciones y de los materiales, hormigón y acero, y los esfuerzos obtenidos de los modelos en la combinación más desfavorable y para la situación cuasipermanente.

La fisuración no se produce si el momento de servicio actuante es inferior al momento de fisuración de la sección, que es aquel para el que la fibra más traccionada de hormigón alcanza el valor $f_{ct,m}$.

Caso de que no se cumpliese la inecuación de partida se elevará la cuantía de la armadura hasta que la abertura sea inferior a la máxima admisible.

# 11. COMPROBACIONES EN PAREDES DE DEPÓSITOS INFERIORES

## 11.1. AGOTAMIENTO POR FLEXIÓN

| REFERENCIA SECCIÓN | MATERIALES | | GEOMETRÍA DE LA SECCIÓN | | | | | SOLICITACIONES | |
|---|---|---|---|---|---|---|---|---|---|
| | Resistencia del hormigón (T/m2) | Resistencia del acero (T/m2) | Ancho (m) | Canto (m) | Recubrimiento (m) | Canto útil (m) | Disposición: Pilar 1 Losa 2 Viga 3 Muro 4 | Momento (T m) | Axil (T) Compresión (+) |
| PANEL 4 | 3000.000 | 51000.000 | 1.000 | 0.500 | 0.050 | 0.450 | 4 | 1.950 | 12.210 |
| PANEL 4 | 3000.000 | 51000.000 | 1.000 | 0.500 | 0.050 | 0.450 | 4 | -2.920 | 7.400 |
| PANEL 4 | 3000.000 | 51000.000 | 1.000 | 0.500 | 0.050 | 0.450 | 4 | -0.620 | -1.950 |
| PANEL 4 | 3000.000 | 51000.000 | 1.000 | 0.500 | 0.050 | 0.450 | 4 | 1.950 | 12.210 |
| PANEL 4 | 3000.000 | 51000.000 | 1.000 | 0.500 | 0.050 | 0.450 | 4 | 1.420 | -0.410 |
| PANEL 4 | 3000.000 | 51000.000 | 1.000 | 0.500 | 0.050 | 0.450 | 4 | -1.270 | 2.760 |
| PANEL 4 | 3000.000 | 51000.000 | 1.000 | 0.500 | 0.050 | 0.450 | 4 | 0.070 | -8.090 |
| PANEL 4 | 3000.000 | 51000.000 | 1.000 | 0.500 | 0.050 | 0.450 | 4 | -0.310 | 8.200 |
| PANEL 5 | 3000.000 | 51000.000 | 1.000 | 0.500 | 0.050 | 0.450 | 4 | 2.110 | 8.500 |
| PANEL 5 | 3000.000 | 51000.000 | 1.000 | 0.500 | 0.050 | 0.450 | 4 | -2.290 | 7.730 |
| PANEL 5 | 3000.000 | 51000.000 | 1.000 | 0.500 | 0.050 | 0.450 | 4 | -0.730 | -0.720 |
| PANEL 5 | 3000.000 | 51000.000 | 1.000 | 0.500 | 0.050 | 0.450 | 4 | -0.170 | 11.460 |
| PANEL 5 | 3000.000 | 51000.000 | 1.000 | 0.500 | 0.050 | 0.450 | 4 | 1.730 | 4.830 |
| PANEL 5 | 3000.000 | 51000.000 | 1.000 | 0.500 | 0.050 | 0.450 | 4 | -1.730 | 4.930 |
| PANEL 5 | 3000.000 | 51000.000 | 1.000 | 0.500 | 0.050 | 0.450 | 4 | 0.810 | -4.730 |
| PANEL 5 | 3000.000 | 51000.000 | 1.000 | 0.500 | 0.050 | 0.450 | 4 | -0.990 | 18.840 |

| RESULTADOS Md<=Mlim | | | | | |
|---|---|---|---|---|---|
| $M_{As}$ | $E_{yd}$ | $x_{lim}$ | $M_{lim}$ | x | As |
| 4.392 | 0.002217 | 0.275 | 127.309 | 0.007 | -0.000054 |
| 4.400 | 0.002217 | 0.275 | 127.309 | 0.007 | 0.000055 |
| 0.230 | 0.002217 | 0.275 | 127.309 | 0.000 | 0.000055 |
| 4.392 | 0.002217 | 0.275 | 127.309 | 0.007 | -0.000054 |
| 1.338 | 0.002217 | 0.275 | 127.309 | 0.002 | 0.000076 |
| 1.822 | 0.002217 | 0.275 | 127.309 | 0.003 | 0.000029 |
| -1.548 | 0.002217 | 0.275 | 127.309 | -0.003 | 0.000105 |
| 1.950 | 0.002217 | 0.275 | 127.309 | 0.003 | -0.000087 |
| 3.810 | 0.002217 | 0.275 | 127.309 | 0.006 | 0.000000 |
| 3.836 | 0.002217 | 0.275 | 127.309 | 0.006 | 0.000019 |
| 0.586 | 0.002217 | 0.275 | 127.309 | 0.001 | 0.000046 |
| 2.462 | 0.002217 | 0.275 | 127.309 | 0.004 | -0.000135 |
| 2.696 | 0.002217 | 0.275 | 127.309 | 0.004 | 0.000027 |
| 2.716 | 0.002217 | 0.275 | 127.309 | 0.004 | 0.000025 |
| -0.136 | 0.002217 | 0.275 | 127.309 | 0.000 | 0.000100 |
| 4.758 | 0.002217 | 0.275 | 127.309 | 0.008 | -0.000185 |

| CUANTÍAS MÍNIMAS | | ARMADURA NECESARIA | | ARMADURA DISPUESTA | | | | | |
|---|---|---|---|---|---|---|---|---|---|
| Mecánica | Geométrica | Cara de tracción (cm2) | Cara de compresión (cm2) | NÚMERO | DIÁMETRO | ÁREA ARMADURA DE TRACCIÓN DISPUESTA | NÚMERO | DIÁMETRO | ÁREA ARMADURA DE COMPRESIÓN DISPUESTA |
| 0.000940 | 0.000450 | 9.40 | 9.40 | 5 | 16 | 10.053 | 5 | 16 | 10.053 |
| 0.000940 | 0.000450 | 9.40 | 9.40 | 5 | 16 | 10.053 | 5 | 16 | 10.053 |
| 0.000940 | 0.000450 | 9.40 | 9.40 | 5 | 16 | 10.053 | 5 | 16 | 10.053 |
| 0.000940 | 0.000450 | 9.40 | 9.40 | 5 | 16 | 10.053 | 5 | 16 | 10.053 |
| 0.000940 | 0.000450 | 9.40 | 9.40 | 5 | 16 | 10.053 | 5 | 16 | 10.053 |
| 0.000940 | 0.000450 | 9.40 | 9.40 | 5 | 16 | 10.053 | 5 | 16 | 10.053 |
| 0.000940 | 0.000450 | 9.40 | 9.40 | 5 | 16 | 10.053 | 5 | 16 | 10.053 |
| 0.000940 | 0.000450 | 9.40 | 9.40 | 5 | 16 | 10.053 | 5 | 16 | 10.053 |
| 0.000940 | 0.000450 | 9.40 | 9.40 | 5 | 16 | 10.053 | 5 | 16 | 10.053 |
| 0.000940 | 0.000450 | 9.40 | 9.40 | 5 | 16 | 10.053 | 5 | 16 | 10.053 |
| 0.000940 | 0.000450 | 9.40 | 9.40 | 5 | 16 | 10.053 | 5 | 16 | 10.053 |
| 0.000940 | 0.000450 | 9.40 | 9.40 | 5 | 16 | 10.053 | 5 | 16 | 10.053 |
| 0.000940 | 0.000450 | 9.40 | 9.40 | 5 | 16 | 10.053 | 5 | 16 | 10.053 |
| 0.000940 | 0.000450 | 9.40 | 9.40 | 5 | 16 | 10.053 | 5 | 16 | 10.053 |
| 0.000940 | 0.000450 | 9.40 | 9.40 | 5 | 16 | 10.053 | 5 | 16 | 10.053 |

## 11.2. AGOTAMIENTO POR ESFUERZO CORTANTE.

| REFERENCIA SECCIÓN | MATERIALES | | GEOMETRÍA DE LA SECCIÓN | | | | | SOLICITACIONES | |
|---|---|---|---|---|---|---|---|---|---|
| | Resistencia del hormigón (T/m2) | Resistencia del acero (T/m2) | Ancho (m) | Anchura neta mínima del elemento (m) | Canto (m) | Recubrimiento (m) | Canto útil (m) | Cortante (T) | Axil (T) Compresión (+) |
| PANEL 4 | 3000.000 | 51000.000 | 1.000 | 1.000 | 0.500 | 0.050 | 0.450 | 4.630 | 7.400 |
| PANEL 4 | 3000.000 | 51000.000 | 1.000 | 1.000 | 0.500 | 0.050 | 0.450 | 4.870 | 12.210 |
| PANEL 4 | 3000.000 | 51000.000 | 1.000 | 1.000 | 0.500 | 0.050 | 0.450 | 2.480 | 2.760 |
| PANEL 4 | 3000.000 | 51000.000 | 1.000 | 1.000 | 0.500 | 0.050 | 0.450 | 2.980 | -0.410 |
| PANEL 5 | 3000.000 | 51000.000 | 1.000 | 1.000 | 0.500 | 0.050 | 0.450 | 4.280 | 7.730 |
| PANEL 5 | 3000.000 | 51000.000 | 1.000 | 1.000 | 0.500 | 0.050 | 0.450 | 3.690 | 8.500 |
| PANEL 5 | 3000.000 | 51000.000 | 1.000 | 1.000 | 0.500 | 0.050 | 0.450 | 3.640 | 4.830 |
| PANEL 5 | 3000.000 | 51000.000 | 1.000 | 1.000 | 0.500 | 0.050 | 0.450 | 3.720 | 4.930 |

| Vu1 (Agotamiento por compresión oblicua en el alma) | | | | Vu2 (Agotamiento por tracción en el alma) Sin armadura de cortante | | | Vu2 (Agotamiento por tracción en el alma) Con armadura de cortante | |
|---|---|---|---|---|---|---|---|---|
| K | cotg(Alfa) | cotg(Teta) | Vu1 | Cuantía geométrica de armadura longitudinal traccionada | Epsilon | Vu2 (T) | Vcu (T) (Contribución del hormigón) | Área necesaria de cortante (cm2) $A_{90}$ |
| 1.654 | 0.000000 | 1.000 | 270.000 | 0.002 | 1.667 | 17.589 | 13.825 | 0.00 |
| 1.646 | 0.000000 | 1.000 | 270.000 | 0.002 | 1.667 | 18.239 | 13.825 | 0.00 |
| 1.662 | 0.000000 | 1.000 | 270.000 | 0.002 | 1.667 | 16.963 | 13.825 | 0.00 |
| 1.667 | 0.000000 | 1.000 | 270.000 | 0.002 | 1.667 | 16.535 | 13.825 | 0.00 |
| 1.654 | 0.000000 | 1.000 | 270.000 | 0.002 | 1.667 | 17.634 | 13.825 | 0.00 |
| 1.653 | 0.000000 | 1.000 | 270.000 | 0.002 | 1.667 | 17.738 | 13.825 | 0.00 |
| 1.659 | 0.000000 | 1.000 | 270.000 | 0.002 | 1.667 | 17.242 | 13.825 | 0.00 |
| 1.658 | 0.000000 | 1.000 | 270.000 | 0.002 | 1.667 | 17.256 | 13.825 | 0.00 |

## 11.3. ESTADO LÍMITE DE FISURACIÓN.

| | | | MATERIALES | | | | GEOMÉTRIA | | | As Tracc. | | As Comp. | | | | Esf. Caracterist. | |
|---|---|---|---|---|---|---|---|---|---|---|---|---|---|---|---|---|---|
| Tipo Amb. | Wk,adm (mm) | Viga Losa | fck (Kg/cm2) | γc | fyk (Kg/cm2) | γs | Ancho b(cm) | Canto h(cm) | Recu (cm) | ϕ (mm) | n°ϕ | ϕ (mm) | n°ϕ | k1 | k2 | Nk (T) | Mk (mT) |
| Qb | 0 10 | L | 300 | 1 5 | 5100 | 1 15 | 100 | 50 | 5 | 16 | 5 | 16 | 5 | 0 125 | 0 5 | 1 29 | 0 42 |
| Qb | 0 10 | L | 300 | 1 5 | 5100 | 1 15 | 100 | 50 | 5 | 16 | 5 | 16 | 5 | 0 125 | 0 5 | -8 08 | 1 25 |
| Qb | 0 10 | L | 300 | 1 5 | 5100 | 1 15 | 100 | 50 | 5 | 16 | 5 | 16 | 5 | 0 125 | 0 5 | -4 92 | 1 89 |
| Qb | 0 10 | L | 300 | 1 5 | 5100 | 1 15 | 100 | 50 | 5 | 16 | 5 | 16 | 5 | 0 234 | 0 5 | 5 19 | 0 03 |
| Qb | 0 10 | L | 300 | 1 5 | 5100 | 1 15 | 100 | 50 | 5 | 16 | 5 | 16 | 5 | 0 125 | 0 5 | 0 3 | 0 94 |
| Qb | 0 10 | L | 300 | 1 5 | 5100 | 1 15 | 100 | 50 | 5 | 16 | 5 | 16 | 5 | 0 125 | 0 5 | -0 49 | 0 8 |
| Qb | 0 10 | L | 300 | 1 5 | 5100 | 1 15 | 100 | 50 | 5 | 16 | 5 | 16 | 5 | 0 125 | 0 5 | 0 46 | 0 49 |
| Qb | 0 10 | L | 300 | 1 5 | 5100 | 1 15 | 100 | 50 | 5 | 16 | 5 | 16 | 5 | 0 125 | 0 5 | -5 67 | 1 37 |
| Qb | 0 10 | L | 300 | 1 5 | 5100 | 1 15 | 100 | 50 | 5 | 16 | 5 | 16 | 5 | 0 125 | 0 5 | -5 17 | 1 48 |
| Qb | 0 10 | L | 300 | 1 5 | 5100 | 1 15 | 100 | 50 | 5 | 16 | 5 | 16 | 5 | 0 125 | 0 5 | 2 77 | 0 5 |
| Qb | 0 10 | L | 300 | 1 5 | 5100 | 1 15 | 100 | 50 | 5 | 16 | 5 | 16 | 5 | 0 125 | 0 5 | -2 81 | 1 03 |
| Qb | 0 10 | L | 300 | 1 5 | 5100 | 1 15 | 100 | 50 | 5 | 16 | 5 | 16 | 5 | 0 125 | 0 5 | -2 96 | 1 03 |

| Sm (cm) | Nfis (T) | Mfis (mT) | σsr (Kg/cm2) | σs (Kg/cm2) | εsm | wk (mm) | Comentario |
|---|---|---|---|---|---|---|---|
| 23 95 | 32 07 | 10 44 | 4165 31 | 7 19 | 0 00000 | 0 001 | Cumple |
| 23 95 | -188 60 | 29 18 | 364 77 | 4 56 | 0 00000 | 0 000 | Cumple |
| 23 95 | -43 99 | 16 90 | 1914 07 | 17 21 | 0 00000 | 0 001 | Cumple |
| 32 63 | 145 16 | 0 84 | 7437 18 | 265 90 | 0 00005 | 0 028 | Cumple |
| 23 95 | 4 09 | 12 82 | 3268 27 | 12 44 | 0 00000 | 0 001 | Cumple |
| 23 95 | -8 51 | 13 89 | 2885 81 | 9 54 | 0 00000 | 0 001 | Cumple |
| 23 95 | 11 45 | 12 19 | 3498 38 | 6 92 | 0 00000 | 0 001 | Cumple |
| 23 95 | -84 00 | 20 30 | 1103 52 | 9 50 | 0 00000 | 0 001 | Cumple |
| 23 95 | -65 37 | 18 71 | 1435 18 | 11 62 | 0 00000 | 0 001 | Cumple |
| 23 95 | 49 60 | 8 95 | 4750 77 | 10 31 | 0 00000 | 0 001 | Cumple |
| 23 95 | -46 74 | 17 13 | 1847 23 | 9 20 | 0 00000 | 0 001 | Cumple |
| 23 95 | -50 04 | 17 41 | 1768 91 | 8 99 | 0 00000 | 0 001 | Cumple |

# 12. COMPROBACIONES EN CIMENTACIONES

## 12.1. AGOTAMIENTO POR FLEXIÓN

| REFERENCIA SECCIÓN | MATERIALES | | GEOMETRÍA DE LA SECCIÓN | | | | | SOLICITACIONES | |
|---|---|---|---|---|---|---|---|---|---|
| | Resistencia del hormigón (T/m2) | Resistencia del acero (T/m2) | Ancho (m) | Canto (m) | Recubrimiento (m) | Canto útil (m) | Disposición: Pilar 1 Losa 2 Viga 3 Muro 4 | Momento (T m) | Axil (T) Compresión (+) |
| PANEL 1 | 3000.000 | 51000.000 | 1.000 | 0.600 | 0.050 | 0.550 | 2 | 1.550 | -0.150 |
| PANEL 1 | 3000.000 | 51000.000 | 1.000 | 0.600 | 0.050 | 0.550 | 2 | -1.990 | 3.180 |
| PANEL 1 | 3000.000 | 51000.000 | 1.000 | 0.600 | 0.050 | 0.550 | 2 | 0.110 | -3.050 |
| PANEL 1 | 3000.000 | 51000.000 | 1.000 | 0.600 | 0.050 | 0.550 | 2 | -0.060 | 11.740 |
| PANEL 1 | 3000.000 | 51000.000 | 1.000 | 0.600 | 0.050 | 0.550 | 2 | 5.030 | 0.780 |
| PANEL 1 | 3000.000 | 51000.000 | 1.000 | 0.600 | 0.050 | 0.550 | 2 | -20.450 | 1.290 |
| PANEL 1 | 3000.000 | 51000.000 | 1.000 | 0.600 | 0.050 | 0.550 | 2 | 1.400 | -2.980 |
| PANEL 1 | 3000.000 | 51000.000 | 1.000 | 0.600 | 0.050 | 0.550 | 2 | -6.200 | 2.980 |
| PANEL 2 | 3000.000 | 51000.000 | 1.000 | 0.600 | 0.050 | 0.550 | 2 | 2.160 | 0.000 |
| PANEL 2 | 3000.000 | 51000.000 | 1.000 | 0.600 | 0.050 | 0.550 | 2 | -2.420 | 5.510 |
| PANEL 2 | 3000.000 | 51000.000 | 1.000 | 0.600 | 0.050 | 0.550 | 2 | -0.510 | -1.890 |
| PANEL 2 | 3000.000 | 51000.000 | 1.000 | 0.600 | 0.050 | 0.550 | 2 | -2.420 | 5.510 |
| PANEL 2 | 3000.000 | 51000.000 | 1.000 | 0.600 | 0.050 | 0.550 | 2 | 2.720 | -0.100 |
| PANEL 2 | 3000.000 | 51000.000 | 1.000 | 0.600 | 0.050 | 0.550 | 2 | -4.370 | 2.250 |
| PANEL 2 | 3000.000 | 51000.000 | 1.000 | 0.600 | 0.050 | 0.550 | 2 | 0.370 | -2.050 |
| PANEL 2 | 3000.000 | 51000.000 | 1.000 | 0.600 | 0.050 | 0.550 | 2 | -4.370 | 2.250 |
| PANEL 3 | 3000.000 | 51000.000 | 1.000 | 0.600 | 0.050 | 0.550 | 2 | 0.970 | -0.160 |
| PANEL 3 | 3000.000 | 51000.000 | 1.000 | 0.600 | 0.050 | 0.550 | 2 | -1.140 | 3.370 |
| PANEL 3 | 3000.000 | 51000.000 | 1.000 | 0.600 | 0.050 | 0.550 | 2 | -0.400 | -3.410 |
| PANEL 3 | 3000.000 | 51000.000 | 1.000 | 0.600 | 0.050 | 0.550 | 2 | 0.770 | 8.150 |
| PANEL 3 | 3000.000 | 51000.000 | 1.000 | 0.600 | 0.050 | 0.550 | 2 | 4.050 | 0.480 |
| PANEL 3 | 3000.000 | 51000.000 | 1.000 | 0.600 | 0.050 | 0.550 | 2 | -8.160 | 0.470 |
| PANEL 3 | 3000.000 | 51000.000 | 1.000 | 0.600 | 0.050 | 0.550 | 2 | 0.400 | -0.510 |
| PANEL 3 | 3000.000 | 51000.000 | 1.000 | 0.600 | 0.050 | 0.550 | 2 | -1.730 | 0.770 |
| PANEL 9 | 3000.000 | 51000.000 | 1.000 | 0.600 | 0.050 | 0.550 | 2 | 2.090 | 6.990 |
| PANEL 9 | 3000.000 | 51000.000 | 1.000 | 0.600 | 0.050 | 0.550 | 2 | -0.130 | 0.420 |
| PANEL 9 | 3000.000 | 51000.000 | 1.000 | 0.600 | 0.050 | 0.550 | 2 | 0.300 | -4.630 |
| PANEL 9 | 3000.000 | 51000.000 | 1.000 | 0.600 | 0.050 | 0.550 | 2 | 1.940 | 7.380 |
| PANEL 9 | 3000.000 | 51000.000 | 1.000 | 0.600 | 0.050 | 0.550 | 2 | 2.150 | -0.190 |
| PANEL 9 | 3000.000 | 51000.000 | 1.000 | 0.600 | 0.050 | 0.550 | 2 | -3.760 | -0.130 |
| PANEL 9 | 3000.000 | 51000.000 | 1.000 | 0.600 | 0.050 | 0.550 | 2 | 0.380 | -0.570 |
| PANEL 9 | 3000.000 | 51000.000 | 1.000 | 0.600 | 0.050 | 0.550 | 2 | 1.210 | 0.310 |

| RESULTADOS Md<=Mlim | | | | | |
|---|---|---|---|---|---|
| $M_{As}$ | $E_{yd}$ | $x_{lim}$ | $M_{lim}$ | x | As |
| 1.513 | 0.002217 | 0.337 | 190.177 | 0.002 | 0.000065 |
| 2.785 | 0.002217 | 0.337 | 190.177 | 0.004 | 0.000043 |
| -0.653 | 0.002217 | 0.337 | 190.177 | -0.001 | 0.000042 |
| 2.995 | 0.002217 | 0.337 | 190.177 | 0.004 | -0.000142 |
| 5.225 | 0.002217 | 0.337 | 190.177 | 0.007 | 0.000198 |
| 20.773 | 0.002217 | 0.337 | 190.177 | 0.028 | 0.000840 |
| 0.655 | 0.002217 | 0.337 | 190.177 | 0.001 | 0.000094 |
| 6.945 | 0.002217 | 0.337 | 190.177 | 0.009 | 0.000219 |
| 2.160 | 0.002217 | 0.337 | 190.177 | 0.003 | 0.000089 |
| 3.798 | 0.002217 | 0.337 | 190.177 | 0.005 | 0.000032 |
| 0.038 | 0.002217 | 0.337 | 190.177 | 0.000 | 0.000044 |
| 3.798 | 0.002217 | 0.337 | 190.177 | 0.005 | 0.000032 |
| 2.695 | 0.002217 | 0.337 | 190.177 | 0.004 | 0.000113 |
| 4.933 | 0.002217 | 0.337 | 190.177 | 0.007 | 0.000152 |
| -0.143 | 0.002217 | 0.337 | 190.177 | 0.000 | 0.000040 |
| 4.933 | 0.002217 | 0.337 | 190.177 | 0.007 | 0.000152 |
| 0.930 | 0.002217 | 0.337 | 190.177 | 0.001 | 0.000042 |
| 1.983 | 0.002217 | 0.337 | 190.177 | 0.003 | 0.000005 |
| -0.453 | 0.002217 | 0.337 | 190.177 | -0.001 | 0.000058 |
| 2.808 | 0.002217 | 0.337 | 190.177 | 0.004 | -0.000068 |
| 4.170 | 0.002217 | 0.337 | 190.177 | 0.006 | 0.000161 |
| 8.278 | 0.002217 | 0.337 | 190.177 | 0.011 | 0.000332 |
| 0.273 | 0.002217 | 0.337 | 190.177 | 0.000 | 0.000023 |
| 1.923 | 0.002217 | 0.337 | 190.177 | 0.003 | 0.000062 |
| 3.838 | 0.002217 | 0.337 | 190.177 | 0.005 | 0.000000 |
| 0.235 | 0.002217 | 0.337 | 190.177 | 0.000 | 0.000000 |
| -0.858 | 0.002217 | 0.337 | 190.177 | -0.001 | 0.000069 |
| 3.785 | 0.002217 | 0.337 | 190.177 | 0.005 | -0.000011 |
| 2.103 | 0.002217 | 0.337 | 190.177 | 0.003 | 0.000091 |
| 3.728 | 0.002217 | 0.337 | 190.177 | 0.005 | 0.000156 |
| 0.238 | 0.002217 | 0.337 | 190.177 | 0.000 | 0.000023 |
| 1.288 | 0.002217 | 0.337 | 190.177 | 0.002 | 0.000046 |

| CUANTÍAS MÍNIMAS | | ARMADURA NECESARIA | | ARMADURA DISPUESTA | | | | | |
|---|---|---|---|---|---|---|---|---|---|
| Mecánica | Geométrica | Cara de tracción (cm2) | Cara de compresión (cm2) | NÚMERO | DIÁMETRO | ÁREA ARMADURA DE TRACCIÓN DISPUESTA | NÚMERO | DIÁMETRO | ÁREA ARMADURA DE COMPRESIÓN DISPUESTA |
| 0.001127 | 0.000540 | 11 27 | 11.27 | 4 | 20 | 12 566 | 4 | 20 | 12.566 |
| 0.001127 | 0.000540 | 11 27 | 11.27 | 4 | 20 | 12 566 | 4 | 20 | 12.566 |
| 0.001127 | 0.000540 | 11 27 | 11.27 | 4 | 20 | 12 566 | 4 | 20 | 12.566 |
| 0.001127 | 0.000540 | 11 27 | 11.27 | 4 | 20 | 12 566 | 4 | 20 | 12.566 |
| 0.001127 | 0.000540 | 11 27 | 11.27 | 4 | 20 | 12 566 | 4 | 20 | 12.566 |
| 0.001127 | 0.000540 | 11 27 | 11.27 | 4 | 20 | 12 566 | 4 | 20 | 12.566 |
| 0.001127 | 0.000540 | 11 27 | 11.27 | 4 | 20 | 12 566 | 4 | 20 | 12.566 |
| 0.001127 | 0.000540 | 11 27 | 11.27 | 4 | 20 | 12 566 | 4 | 20 | 12.566 |
| 0.001127 | 0.000540 | 11 27 | 11.27 | 4 | 20 | 12 566 | 4 | 20 | 12.566 |
| 0.001127 | 0.000540 | 11 27 | 11.27 | 4 | 20 | 12 566 | 4 | 20 | 12.566 |
| 0.001127 | 0.000540 | 11 27 | 11.27 | 4 | 20 | 12 566 | 4 | 20 | 12.566 |
| 0.001127 | 0.000540 | 11 27 | 11.27 | 4 | 20 | 12 566 | 4 | 20 | 12.566 |
| 0.001127 | 0.000540 | 11 27 | 11.27 | 4 | 20 | 12 566 | 4 | 20 | 12.566 |
| 0.001127 | 0.000540 | 11 27 | 11.27 | 4 | 20 | 12 566 | 4 | 20 | 12.566 |
| 0.001127 | 0.000540 | 11 27 | 11.27 | 4 | 20 | 12 566 | 4 | 20 | 12.566 |
| 0.001127 | 0.000540 | 11 27 | 11.27 | 4 | 20 | 12 566 | 4 | 20 | 12.566 |
| 0.001127 | 0.000540 | 11 27 | 11.27 | 4 | 20 | 12 566 | 4 | 20 | 12.566 |
| 0.001127 | 0.000540 | 11 27 | 11.27 | 4 | 20 | 12 566 | 4 | 20 | 12.566 |
| 0.001127 | 0.000540 | 11 27 | 11.27 | 4 | 20 | 12 566 | 4 | 20 | 12.566 |
| 0.001127 | 0.000540 | 11 27 | 11.27 | 4 | 20 | 12 566 | 4 | 20 | 12.566 |
| 0.001127 | 0.000540 | 11 27 | 11.27 | 4 | 20 | 12 566 | 4 | 20 | 12.566 |
| 0.001127 | 0.000540 | 11 27 | 11.27 | 4 | 20 | 12 566 | 4 | 20 | 12.566 |
| 0.001127 | 0.000540 | 11 27 | 11.27 | 4 | 20 | 12 566 | 4 | 20 | 12.566 |
| 0.001127 | 0.000540 | 11 27 | 11.27 | 4 | 20 | 12 566 | 4 | 20 | 12.566 |
| 0.001127 | 0.000540 | 11 27 | 11.27 | 4 | 20 | 12 566 | 4 | 20 | 12.566 |
| 0.001127 | 0.000540 | 11 27 | 11.27 | 4 | 20 | 12 566 | 4 | 20 | 12.566 |
| 0.001127 | 0.000540 | 11 27 | 11.27 | 4 | 20 | 12 566 | 4 | 20 | 12.566 |
| 0.001127 | 0.000540 | 11 27 | 11.27 | 4 | 20 | 12 566 | 4 | 20 | 12.566 |
| 0.001127 | 0.000540 | 11 27 | 11.27 | 4 | 20 | 12 566 | 4 | 20 | 12.566 |
| 0.001127 | 0.000540 | 11 27 | 11.27 | 4 | 20 | 12 566 | 4 | 20 | 12.566 |
| 0.001127 | 0.000540 | 11 27 | 11.27 | 4 | 20 | 12 566 | 4 | 20 | 12.566 |
| 0.001127 | 0.000540 | 11 27 | 11.27 | 4 | 20 | 12 566 | 4 | 20 | 12.566 |
| 0.001127 | 0.000540 | 11 27 | 11.27 | 4 | 20 | 12 566 | 4 | 20 | 12.566 |

## 12.2. AGOTAMIENTO POR ESFUERZO CORTANTE.

| REFERENCIA SECCIÓN | MATERIALES | | GEOMETRÍA DE LA SECCIÓN | | | | | SOLICITACIONES | |
|---|---|---|---|---|---|---|---|---|---|
| | Resistencia del hormigón (T/m2) | Resistencia del acero (T/m2) | Ancho (m) | Anchura neta mínima del elemento (m) | Canto (m) | Recubrimiento (m) | Canto útil (m) | Cortante (T) | Axil (T) Compresión (+) |
| PANEL 1 | 3000.000 | 51000.000 | 1.000 | 1.000 | 0.600 | 0.050 | 0.550 | 0.360 | -3.050 |
| PANEL 1 | 3000.000 | 51000.000 | 1.000 | 1.000 | 0.600 | 0.050 | 0.550 | 0.530 | 11.740 |
| PANEL 1 | 3000.000 | 51000.000 | 1.000 | 1.000 | 0.600 | 0.050 | 0.550 | 4.780 | 2.390 |
| PANEL 1 | 3000.000 | 51000.000 | 1.000 | 1.000 | 0.600 | 0.050 | 0.550 | -4.610 | 2.810 |
| PANEL 1 | 3000.000 | 51000.000 | 1.000 | 1.000 | 0.600 | 0.050 | 0.550 | 3.460 | -5.030 |
| PANEL 1 | 3000.000 | 51000.000 | 1.000 | 1.000 | 0.600 | 0.050 | 0.550 | 4.780 | 20.450 |
| PANEL 1 | 3000.000 | 51000.000 | 1.000 | 1.000 | 0.600 | 0.050 | 0.550 | 6.050 | -1.310 |
| PANEL 1 | 3000.000 | 51000.000 | 1.000 | 1.000 | 0.600 | 0.050 | 0.550 | -6.440 | 4.470 |
| PANEL 2 | 3000.000 | 51000.000 | 1.000 | 1.000 | 0.600 | 0.050 | 0.550 | 3.210 | -1.890 |
| PANEL 2 | 3000.000 | 51000.000 | 1.000 | 1.000 | 0.600 | 0.050 | 0.550 | 6.310 | 5.510 |
| PANEL 2 | 3000.000 | 51000.000 | 1.000 | 1.000 | 0.600 | 0.050 | 0.550 | 6.310 | 5.510 |
| PANEL 2 | 3000.000 | 51000.000 | 1.000 | 1.000 | 0.600 | 0.050 | 0.550 | -5.430 | 2.830 |
| PANEL 2 | 3000.000 | 51000.000 | 1.000 | 1.000 | 0.600 | 0.050 | 0.550 | 0.660 | -2.720 |
| PANEL 2 | 3000.000 | 51000.000 | 1.000 | 1.000 | 0.600 | 0.050 | 0.550 | 6.290 | 4.370 |
| PANEL 2 | 3000.000 | 51000.000 | 1.000 | 1.000 | 0.600 | 0.050 | 0.550 | 6.290 | 4.370 |
| PANEL 2 | 3000.000 | 51000.000 | 1.000 | 1.000 | 0.600 | 0.050 | 0.550 | -5.090 | 2.310 |
| PANEL 3 | 3000.000 | 51000.000 | 1.000 | 1.000 | 0.600 | 0.050 | 0.550 | 1.330 | -3.410 |
| PANEL 3 | 3000.000 | 51000.000 | 1.000 | 1.000 | 0.600 | 0.050 | 0.550 | -1.390 | 8.150 |
| PANEL 3 | 3000.000 | 51000.000 | 1.000 | 1.000 | 0.600 | 0.050 | 0.550 | 1.560 | -0.050 |
| PANEL 3 | 3000.000 | 51000.000 | 1.000 | 1.000 | 0.600 | 0.050 | 0.550 | -3.940 | 3.370 |
| PANEL 3 | 3000.000 | 51000.000 | 1.000 | 1.000 | 0.600 | 0.050 | 0.550 | 1.710 | -4.050 |
| PANEL 3 | 3000.000 | 51000.000 | 1.000 | 1.000 | 0.600 | 0.050 | 0.550 | -0.440 | 8.160 |
| PANEL 3 | 3000.000 | 51000.000 | 1.000 | 1.000 | 0.600 | 0.050 | 0.550 | 2.420 | 1.730 |
| PANEL 3 | 3000.000 | 51000.000 | 1.000 | 1.000 | 0.600 | 0.050 | 0.550 | -1.720 | 5.510 |
| PANEL 9 | 3000.000 | 51000.000 | 1.000 | 1.000 | 0.600 | 0.050 | 0.550 | -0.870 | -4.630 |
| PANEL 9 | 3000.000 | 51000.000 | 1.000 | 1.000 | 0.600 | 0.050 | 0.550 | -2.660 | 7.380 |
| PANEL 9 | 3000.000 | 51000.000 | 1.000 | 1.000 | 0.600 | 0.050 | 0.550 | 2.100 | -1.290 |
| PANEL 9 | 3000.000 | 51000.000 | 1.000 | 1.000 | 0.600 | 0.050 | 0.550 | -3.010 | 6.990 |
| PANEL 9 | 3000.000 | 51000.000 | 1.000 | 1.000 | 0.600 | 0.050 | 0.550 | -0.280 | -2.150 |
| PANEL 9 | 3000.000 | 51000.000 | 1.000 | 1.000 | 0.600 | 0.050 | 0.550 | 0.220 | 3.760 |
| PANEL 9 | 3000.000 | 51000.000 | 1.000 | 1.000 | 0.600 | 0.050 | 0.550 | 1.710 | -0.310 |
| PANEL 9 | 3000.000 | 51000.000 | 1.000 | 1.000 | 0.600 | 0.050 | 0.550 | -1.740 | -0.330 |

| Vu1 (Agotamiento por compresión oblicua en el alma) | | | | Vu2 (Agotamiento por tracción en el alma) Sin armadura de cortante | | | Vu2 (Agotamiento por tracción en el alma) Con armadura de cortante | |
|---|---|---|---|---|---|---|---|---|
| K | cotg(Alfa) | cotg(Teta) | Vu1 | Cuantía geométrica de armadura longitudinal traccionada | Epsilon | Vu2 (T) | Vcu (T) (Contribución del hormigón) | Área necesaria de cortante (cm2) $A_{90}$ |
| 1 671 | 0.000000 | 1.000 | 330.000 | 0.002 | 1 603 | 18.964 | 16.153 | 0 00 |
| 1 650 | 0.000000 | 1.000 | 330.000 | 0.002 | 1 603 | 20.998 | 16.153 | 0 00 |
| 1 663 | 0.000000 | 1.000 | 330.000 | 0.002 | 1 603 | 19.712 | 16.153 | 0 00 |
| 1 663 | 0.000000 | 1.000 | 330.000 | 0.002 | 1 603 | 19.770 | 16.153 | 0 00 |
| 1 674 | 0.000000 | 1.000 | 330.000 | 0.002 | 1 603 | 18.692 | 16.153 | 0 00 |
| 1 638 | 0.000000 | 1.000 | 330.000 | 0.002 | 1 603 | 22.196 | 16.153 | 0 00 |
| 1 668 | 0.000000 | 1.000 | 330.000 | 0.002 | 1 603 | 19.204 | 16.153 | 0 00 |
| 1 660 | 0.000000 | 1.000 | 330.000 | 0.002 | 1 603 | 19.998 | 16.153 | 0 00 |
| 1 669 | 0.000000 | 1.000 | 330.000 | 0.002 | 1 603 | 19.124 | 16.153 | 0 00 |
| 1 659 | 0.000000 | 1.000 | 330.000 | 0.002 | 1 603 | 20.141 | 16.153 | 0 00 |
| 1 659 | 0.000000 | 1.000 | 330.000 | 0.002 | 1 603 | 20.141 | 16.153 | 0 00 |
| 1 663 | 0.000000 | 1.000 | 330.000 | 0.002 | 1 603 | 19.773 | 16.153 | 0 00 |
| 1 670 | 0.000000 | 1.000 | 330.000 | 0.002 | 1 603 | 19.010 | 16.153 | 0 00 |
| 1 661 | 0.000000 | 1.000 | 330.000 | 0.002 | 1 603 | 19.985 | 16.153 | 0 00 |
| 1 661 | 0.000000 | 1.000 | 330.000 | 0.002 | 1 603 | 19.985 | 16.153 | 0 00 |
| 1 663 | 0.000000 | 1.000 | 330.000 | 0.002 | 1 603 | 19.701 | 16.153 | 0 00 |
| 1 671 | 0.000000 | 1.000 | 330.000 | 0.002 | 1 603 | 18.915 | 16.153 | 0 00 |
| 1 655 | 0.000000 | 1.000 | 330.000 | 0.002 | 1 603 | 20.504 | 16.153 | 0 00 |
| 1 667 | 0.000000 | 1.000 | 330.000 | 0.002 | 1 603 | 19.377 | 16.153 | 0 00 |
| 1 662 | 0.000000 | 1.000 | 330.000 | 0.002 | 1 603 | 19.847 | 16.153 | 0 00 |
| 1 672 | 0.000000 | 1.000 | 330.000 | 0.002 | 1 603 | 18.827 | 16.153 | 0 00 |
| 1 655 | 0.000000 | 1.000 | 330.000 | 0.002 | 1 603 | 20.506 | 16.153 | 0 00 |
| 1 664 | 0.000000 | 1.000 | 330.000 | 0.002 | 1 603 | 19.622 | 16.153 | 0 00 |
| 1 659 | 0.000000 | 1.000 | 330.000 | 0.002 | 1 603 | 20.141 | 16.153 | 0 00 |
| 1 673 | 0.000000 | 1.000 | 330.000 | 0.002 | 1 603 | 18.747 | 16.153 | 0 00 |
| 1 656 | 0.000000 | 1.000 | 330.000 | 0.002 | 1 603 | 20.398 | 16.153 | 0 00 |
| 1 668 | 0.000000 | 1.000 | 330.000 | 0.002 | 1 603 | 19.206 | 16.153 | 0 00 |
| 1 657 | 0.000000 | 1.000 | 330.000 | 0.002 | 1 603 | 20.345 | 16.153 | 0 00 |
| 1 670 | 0.000000 | 1.000 | 330.000 | 0.002 | 1 603 | 19.088 | 16.153 | 0 00 |
| 1 661 | 0.000000 | 1.000 | 330.000 | 0.002 | 1 603 | 19.901 | 16.153 | 0 00 |
| 1 667 | 0.000000 | 1.000 | 330.000 | 0.002 | 1 603 | 19.341 | 16.153 | 0 00 |
| 1 667 | 0.000000 | 1.000 | 330.000 | 0.002 | 1 603 | 19.338 | 16.153 | 0 00 |

## 12.3. ESTADO LÍMITE DE FISURACIÓN.

| | | | MATERIALES | | | | GEOMÉTRIA | | | As Tracc. | | As Comp. | | | | Esf. Caracterist. | |
|---|---|---|---|---|---|---|---|---|---|---|---|---|---|---|---|---|---|
| Tipo Amb. | Wk,adm (mm) | Viga Losa | fck (Kg/cm2) | γc | fyk (Kg/cm2) | γs | Ancho b(cm) | Canto h(cm) | Recu (cm) | ϕ (mm) | n°ϕ | ϕ (mm) | n°ϕ | k1 | k2 | Nk (T) | Mk (mT) |
| Qb | 0 10 | L | 300 | 1 5 | 5100 | 1 15 | 100 | 60 | 5 | 20 | 4 | 20 | 4 | 0 128 | 0 5 | 1 85 | 0 18 |
| Qb | 0 10 | L | 300 | 1 5 | 5100 | 1 15 | 100 | 60 | 5 | 20 | 4 | 20 | 4 | 0 125 | 0 5 | 0 04 | 1 03 |
| Qb | 0 10 | L | 300 | 1 5 | 5100 | 1 15 | 100 | 60 | 5 | 20 | 4 | 20 | 4 | 0 125 | 0 5 | 0 95 | 0 7 |
| Qb | 0 10 | L | 300 | 1 5 | 5100 | 1 15 | 100 | 60 | 5 | 20 | 4 | 20 | 4 | 0 125 | 0 5 | -0 06 | 1 44 |
| Qb | 0 10 | L | 300 | 1 5 | 5100 | 1 15 | 100 | 60 | 5 | 20 | 4 | 20 | 4 | 0 125 | 0 5 | 2 13 | 0 25 |
| Qb | 0 10 | L | 300 | 1 5 | 5100 | 1 15 | 100 | 60 | 5 | 20 | 4 | 20 | 4 | 0 125 | 0 5 | 0 07 | 0 65 |
| Qb | 0 10 | L | 300 | 1 5 | 5100 | 1 15 | 100 | 60 | 5 | 20 | 4 | 20 | 4 | 0 147 | 0 5 | 2 94 | 0 21 |
| Qb | 0 10 | L | 300 | 1 5 | 5100 | 1 15 | 100 | 60 | 5 | 20 | 4 | 20 | 4 | 0 125 | 0 5 | -4 32 | 1 33 |

| Sm (cm) | Nfis (T) | Mfis (mT) | σsr (Kg/cm2) | σs (Kg/cm2) | εsm | wk (mm) | Comentario |
|---|---|---|---|---|---|---|---|
| 27 24 | 95 48 | 9 29 | 5339 02 | 103 45 | 0 00002 | 0 009 | Cumple |
| 26 94 | 0 74 | 18 99 | 3359 04 | 9 52 | 0 00000 | 0 001 | Cumple |
| 26 94 | 22 71 | 16 74 | 3650 13 | 7 56 | 0 00000 | 0 001 | Cumple |
| 26 94 | -0 80 | 19 14 | 3337 82 | 13 18 | 0 00000 | 0 001 | Cumple |
| 26 94 | 86 75 | 10 18 | 97 89 | 4 81 | 0 00000 | 0 000 | Cumple |
| 26 94 | 2 03 | 18 85 | 3376 84 | 6 06 | 0 00000 | 0 001 | Cumple |
| 29 06 | 109 69 | 7 84 | 5663 38 | 151 79 | 0 00003 | 0 014 | Cumple |
| 26 94 | -92 74 | 28 55 | 2085 39 | 7 15 | 0 00000 | 0 001 | Cumple |

# ANEJO DE CÁLCULO

# 3.- ARQUETA DE MEDIDA DE CAUDAL A BIOLÓGICO

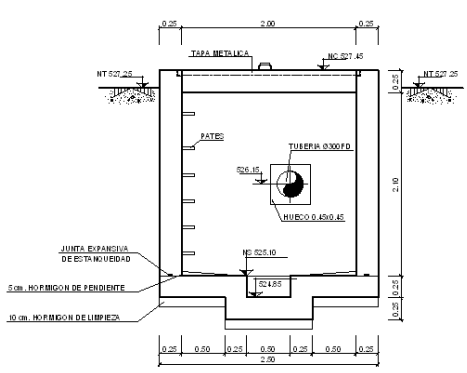
# □NDICE

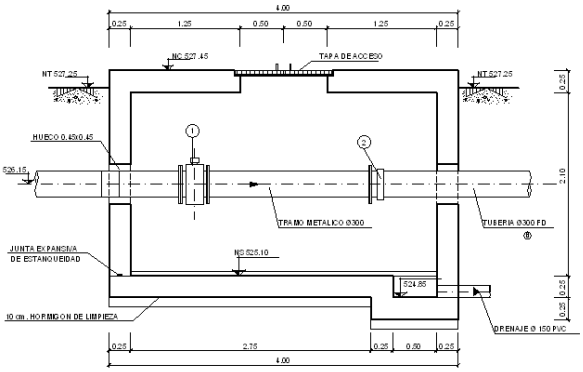
1. INTRODUCCI□N. ..... 1
2. ACCIONES A CONSIDERAR ..... 1
2.1. PESO PROPIO ..... 1
2.2. PRESION DE TIERRAS ..... 1
2.3. SOBRECARGAS DE USO ADYACENTES. ..... 1
2.4. SOBRECARGAS DE USO. ..... 2
3. DISCRETIZACI□N DE LA ESTRUCTURA. ..... 2
4. ACCIONES DE C□LCULO ..... 3
5. COMBINACI□N DE ACCIONES. ..... 3
6. COMPROBACI□N DE LA CIMENTACI□N. ..... 4
7. GR□FICOS DE ESFUERZOS. ..... 5
7.1. GR□FICOS ESFUERZOS ELU - CIMENTACI□N ..... 5
7.2. GR□FICOS ESFUERZOS ELU – MURO. ..... 8
7.3. GR□FICOS ESFUERZOS ELU – LOSA SUPERIOR. ..... 10
8. LISTADOS DE SALIDA DE ESFUERZOS ELU - ELS. ..... 13
8.1. LISTADOS ESFUERZOS E.L.U. - FLE□I□N. ..... 13
8.2. LISTADOS ESFUERZOS E.L.U. - CORTANTE. ..... 13
8.3. LISTADOS ESFUERZOS E.L.S. ..... 14
9. DIMENSIONAMIENTO DE ARMADURAS PARA ELU. ..... 15
9.1. ARMADURAS PARA E.L.U. DE FLE□I□N. ..... 15
9.2. ARMADURAS PARA ELU DE CORTANTE. ..... 15
10. COMPROBACIONES DEL ELS DE FISURACI□N. ..... 16
11. COMPROBACIONES ..... 17
11.1. AGOTAMIENTO POR FLE□I□N ..... 17
11.2. AGOTAMIENTO POR ESFUERZO CORTANTE. ..... 18
11.3. ESTADO L□MITE DE FISURACI□N. ..... 19

# 1. INTRODUCCIÓN.

La arqueta de medida de caudal al biológico tiene una altura de 2.35 metros y unas dimensiones en planta de 2.50 x 4.00 metros.

Las paredes de la arqueta tienen un espesor de 0.25 metros, la solera tiene 0.25 metros de canto y la losa superior tiene también 0.25 metros.




# 2. ACCIONES A CONSIDERAR

## 2.1. PESO PROPIO

Se obtiene aplicando un peso específico del hormigón de 25 KN/m3.

## 2.2. PRESION DE TIERRAS

Se tiene en cuenta una acción vertical de las tierras con un peso específico de 20,0 KN/$m^3$.

Por otro lado se tiene en cuenta un empuje horizontal triangular de las tierras con ángulo de rozamiento de 30º y coeficiente de empuje horizontal al reposo de 0,50.

La altura de las tierras se ha considerado, a efectos de cálculo, de 2.15 metros sobre el nivel superior de la solera.

## 2.3. SOBRECARGAS DE USO ADYACENTES.

Se consideran 10 KN/m2 en trasdós de muros y coeficiente de empuje horizontal al reposo de 0,50.

## 2.4. SOBRECARGAS DE USO.

Se considera una sobrecarga de 4,0 KN/m2 actuando sobre la losa superior.

## 3. DISCRETIZACIÓN DE LA ESTRUCTURA.

Para el análisis se ha realizado un modelo de elementos finitos tridimensional de la arqueta.

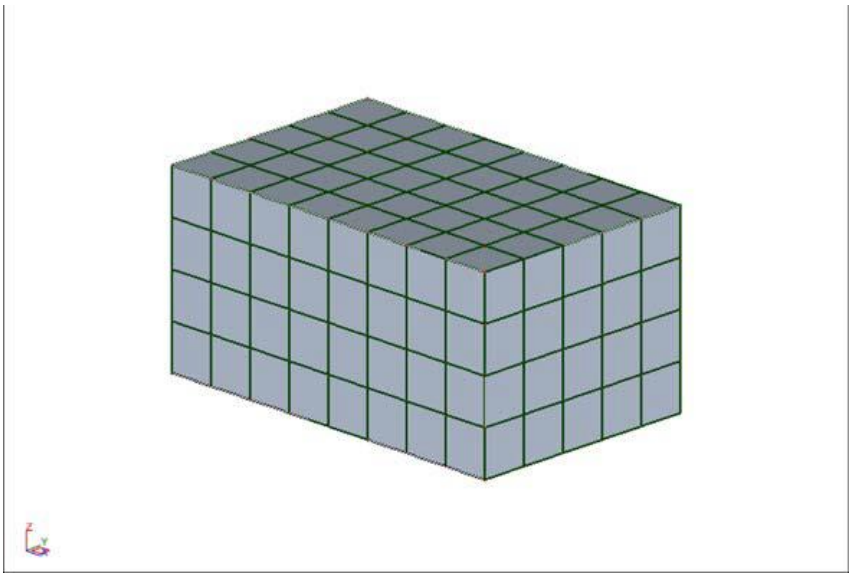
Se han usado elementos tipo placa rectangulares asignando los espesores adecuados.

**Características: Paneles:**

| Nombre de espesor | Lista de paneles | Material | Tipo de espesor | Espesor (cm) | KZ (T/m3) | E (T/m2) | NI |
|---|---|---|---|---|---|---|---|
| ESP25 | 2 3 | HA - 30 | constante | 25.000 | 0.0 | 2693070.52 | 0.20 |
| ESP25_KZ | 1 | HA - 30 | constante | 25.000 | 2000.00 | 2693070.52 | 0.20 |

El apoyo en el terreno se modeliza según el coeficiente de balasto vertical KZ estimado de 2000 t/m$^3$.

**MODELO 3D**



## 4. ACCIONES DE CÁLCULO

En el modelo de cálculo se introducen las acciones antes indicadas, como cargas independientes actuando en los distintos paneles.

Se resumen a continuación cada una de las acciones independientes.

### Cargas

**- Casos: 1A7**

| Caso | Tipo de carga | Lista | Valores de carga | Nombre del caso |
|---|---|---|---|---|
| 1 | peso propio | 1A3 | PZ Menos Coef=1.00 | PP |
| 2 | (EF) presión hydrostática | 2_LADO(1 4) | P=0.50(T/m2) Gama=2.00(T/m3) H=2.000(m) Dirección=-Z | EMPUJE DE TIERRAS |
| 2 | (EF) presión hydrostática | 2_LADO(2 3) | P=-0.50(T/m2) Gama=-2.00(T/m3) H=2.000(m) Dirección=-Z | EMPUJE DE TIERRAS |
| 3 | (EF) uniforme | 3 | PZ=-0.40(T/m2) | SOBRECARGA |

## 5. COMBINACIÓN DE ACCIONES.

Para la comprobación de los estados límites ELU y ELS las acciones independientes se combinan de acuerdo a la instrucción EHE, de manera que se puedan obtener las distintas hipótesis de cálculo con las acciones combinadas y siendo afectadas por los correspondientes coeficientes de mayoración.

Se adjunta una tabla con las distintas hipótesis de cálculo consideradas para las comprobaciones de los estados límites últimos y de servicio.

### Combinaciones de casos

**- Casos: 4A7**

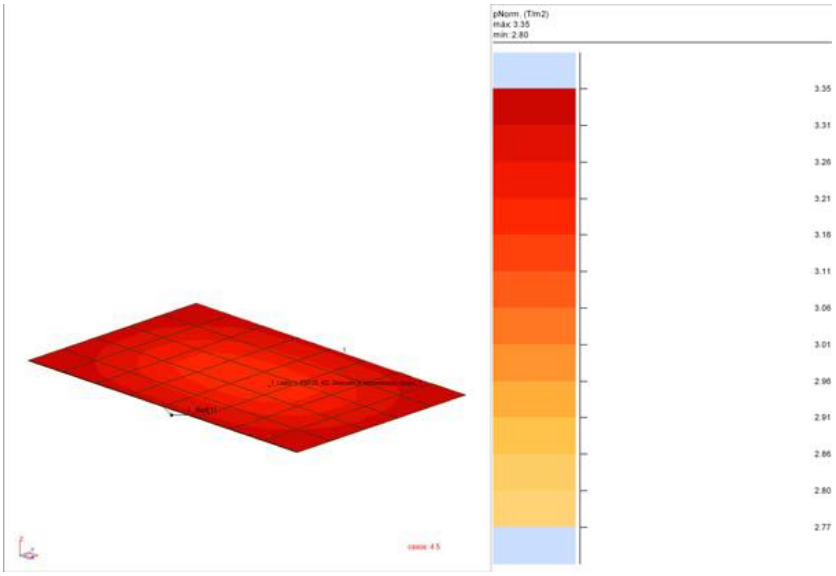
| Combinación | Nombre | Tipo de análisis | Naturaleza de combinación | Naturaleza de caso | Definición |
|---|---|---|---|---|---|
| 4 (C) | ELS1 | Combinación lineal | ELU | permanente | (1+2)*1.00 |
| 5 (C) | ELS2 | Combinación lineal | ELU | permanente | (1+2+3)*1.00 |
| 6 (C) | ELU1 | Combinación lineal | ELU | permanente | 1*1.00+2*1.60 |
| 7 (C) | ELU2 | Combinación lineal | ELU | permanente | 1*1.50+(2+3)*1.60 |

## 6. COMPROBACIÓN DE LA CIMENTACIÓN.

Se comprueba que con la combinación de acciones características pésima las tensiones que se obtienen en cimentación son inferiores a la tensión media admisible asignada en el informe geotécnico.

$$\sigma_{max,cal} = 3{,}35\, T/m^2 \leq \sigma_{media,adm} = 20{,}0\ T/m^2$$

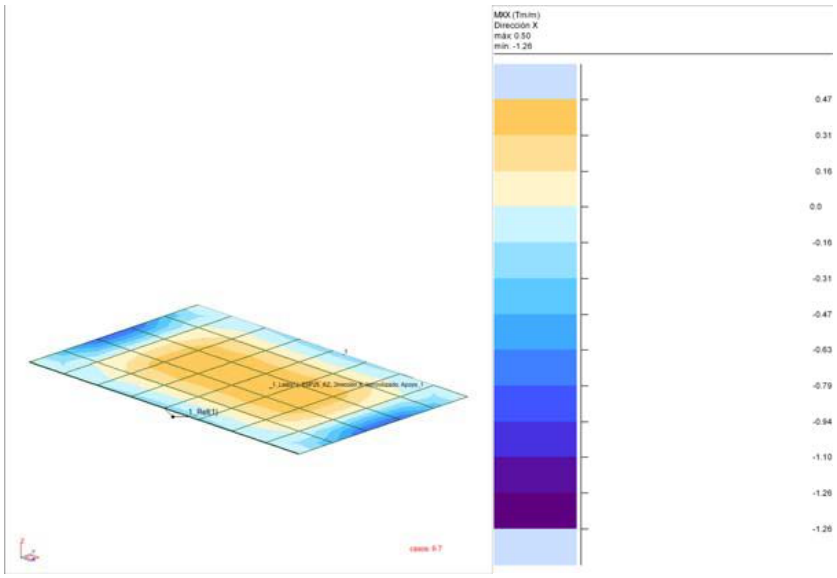
**pNorm. (T/m2) casos: 4 5 (+)**



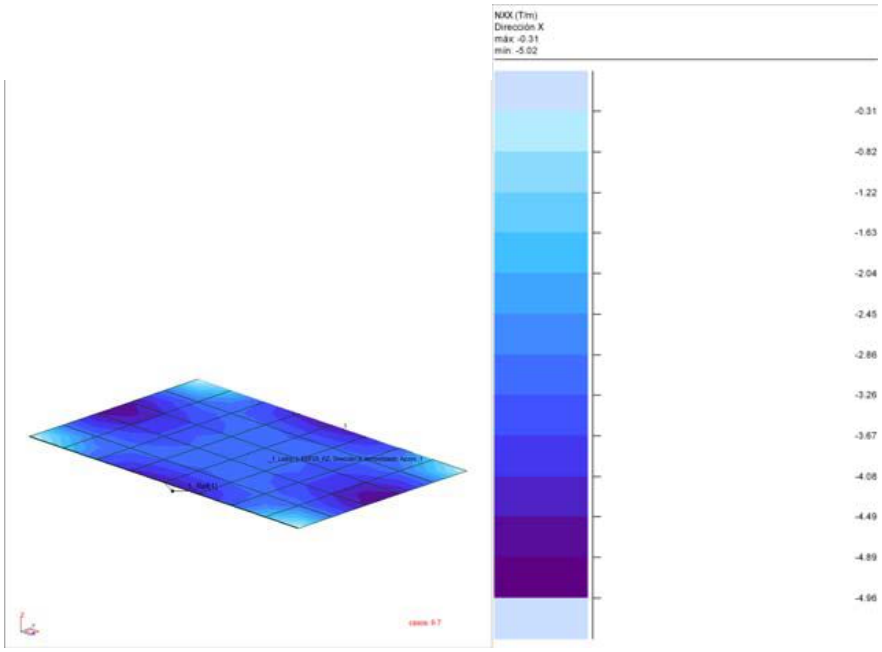
# 7. GRÁFICOS DE ESFUERZOS.

## 7.1. GRÁFICOS ESFUERZOS ELU - CIMENTACIÓN

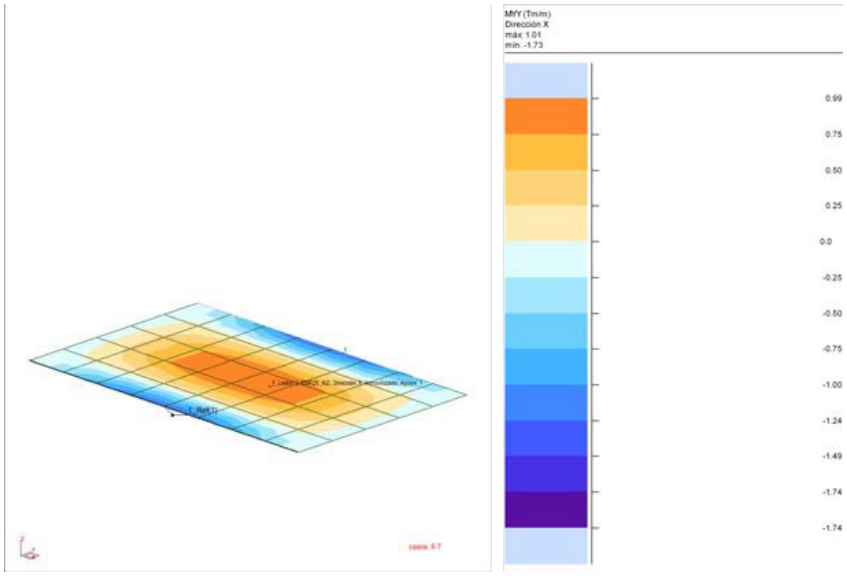
### MXX (Tm/m) Dirección X casos: 6 7 (+)



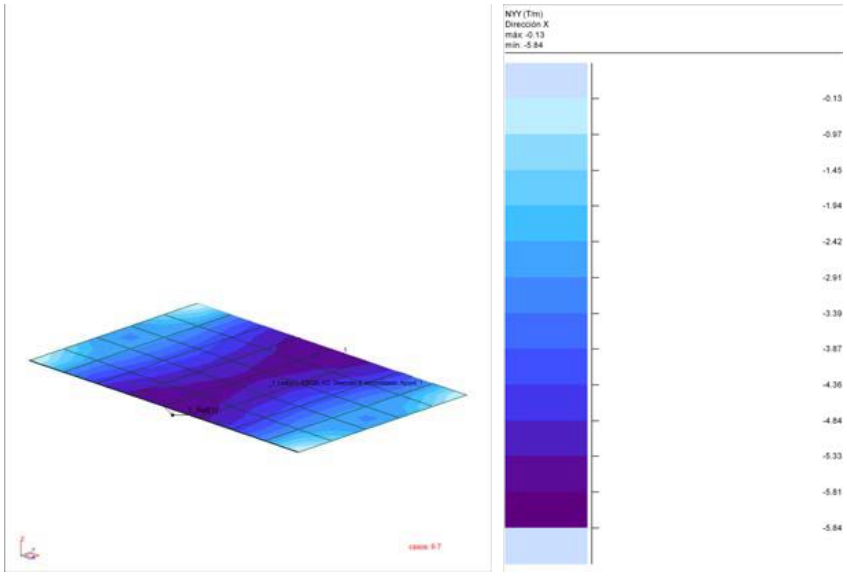

### NXX (T/m) Dirección X casos: 6 7 (+)



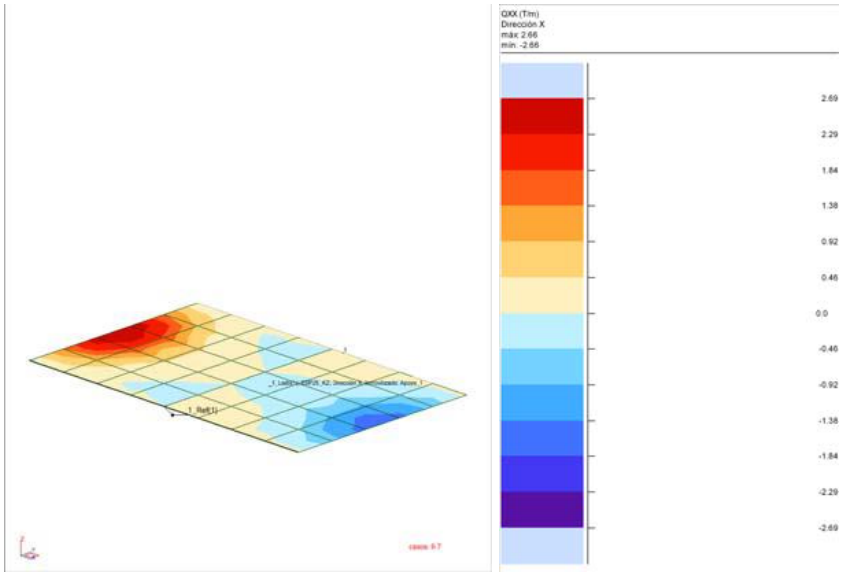
## NXX (T/m) Dirección X casos: 6 7 (+)



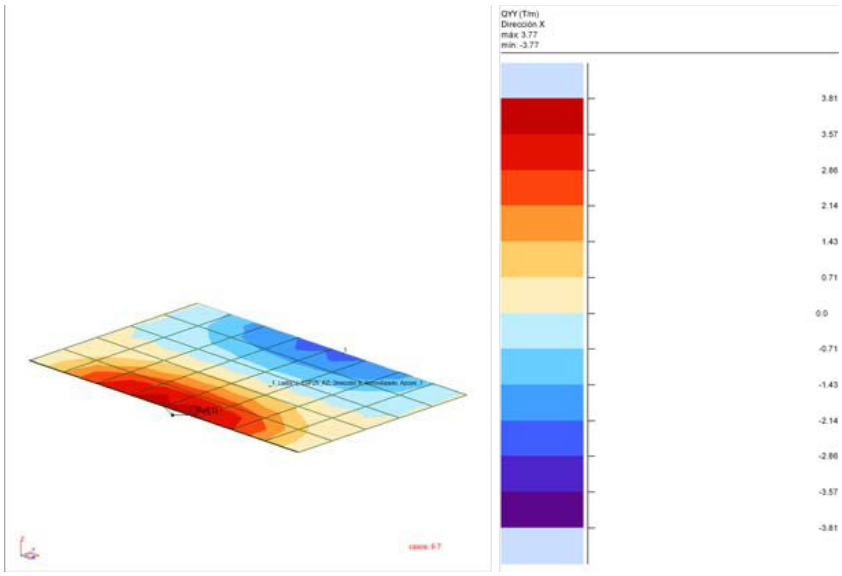

## NYY (T/m) Dirección X casos: 6 7 (+)



## QXX (T/m) Dirección X casos: 6 7 (+)

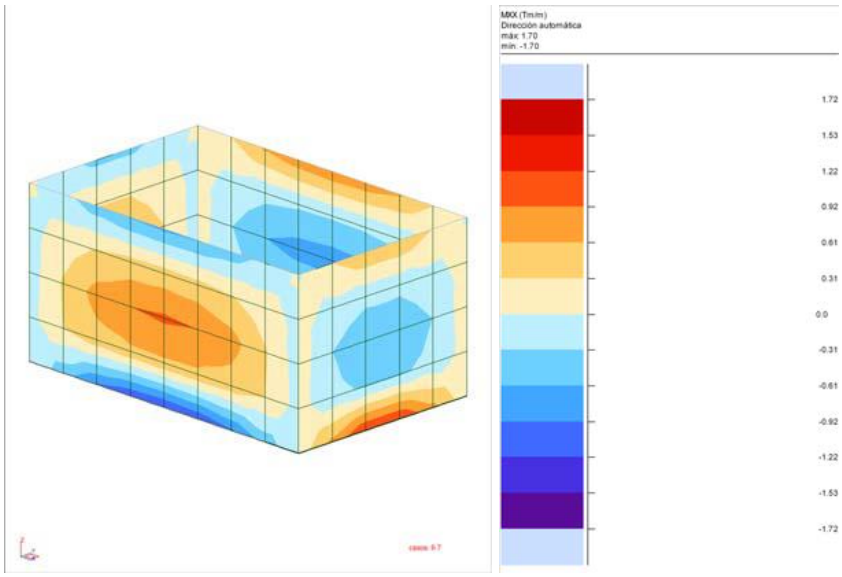



## QYY (T/m) Dirección X casos: 6 7 (+)

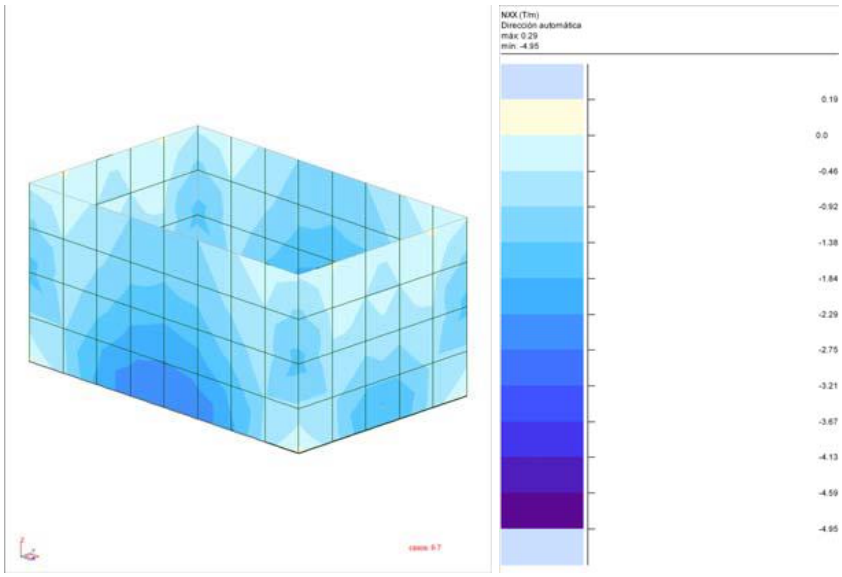


## 7.2. GRÁFICOS ESFUERZOS ELU – MURO.

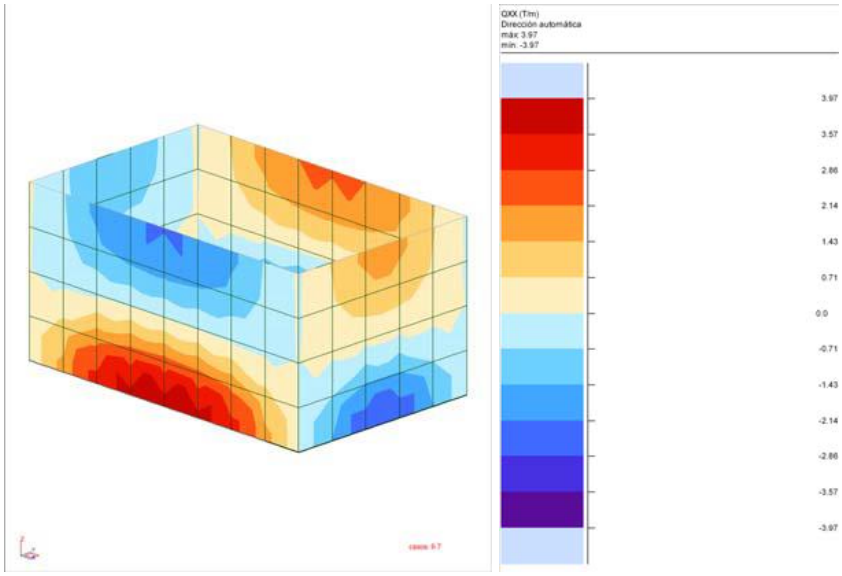
**MXX (Tm/m) Dirección automática casos: 6 7 (+)**



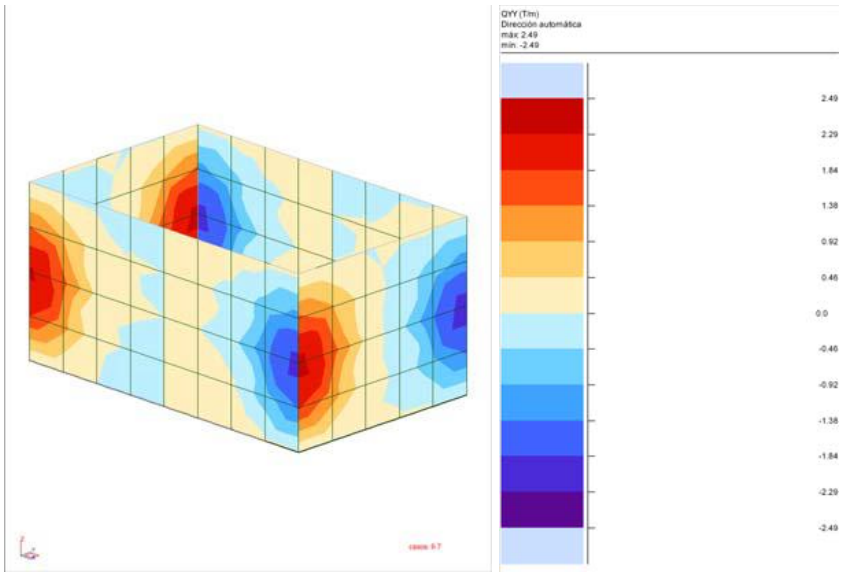

**NXX (T/m) Dirección automática casos: 6 7 (+)**



## QXX (T/m) Dirección automática casos: 6 7 (+)

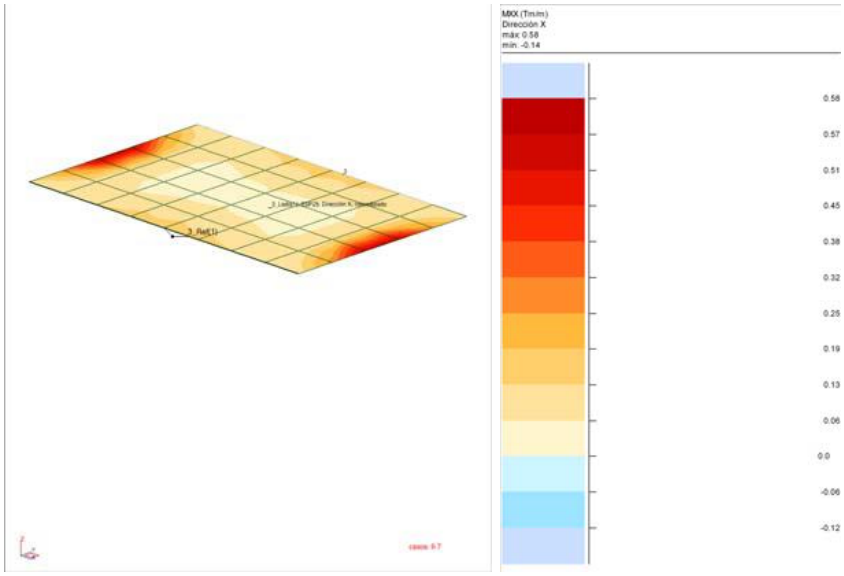



## QYY (T/m) Dirección automática casos: 6 7 (+)

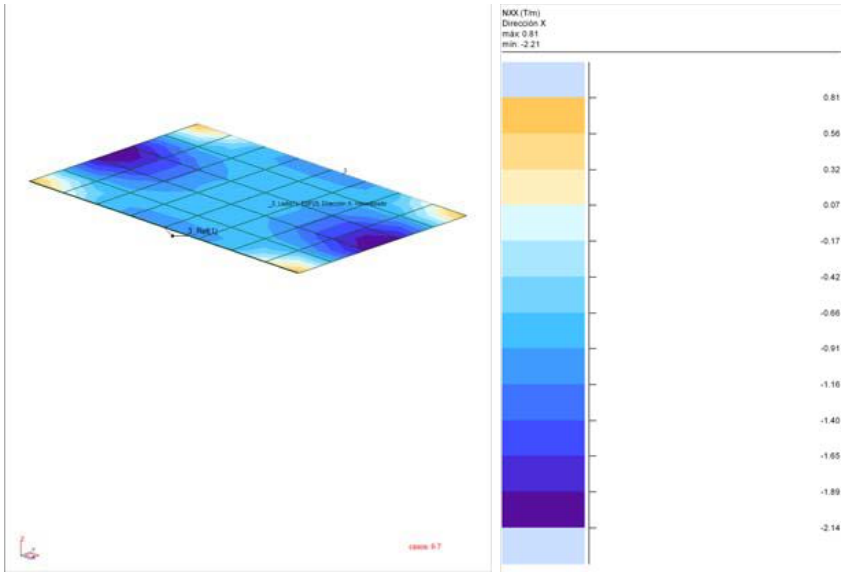


## 7.3. GRÁFICOS ESFUERZOS ELU – LOSA SUPERIOR.

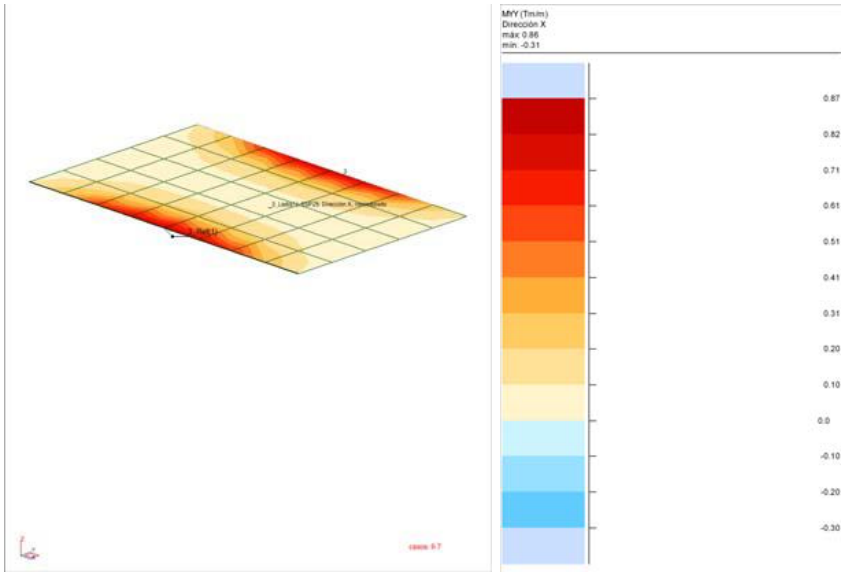
### MXX (Tm/m) Dirección X casos: 6 7 (+)



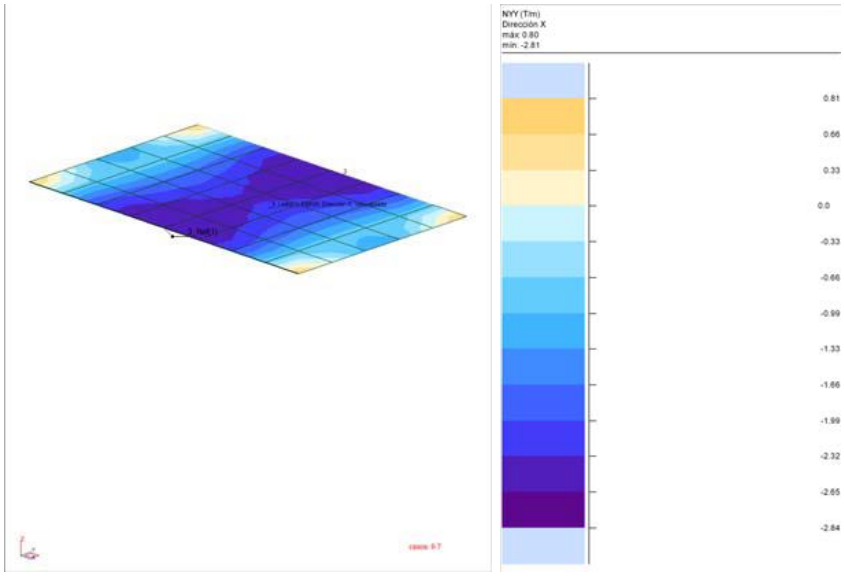

### NXX (T/m) Dirección X casos: 6 7 (+)



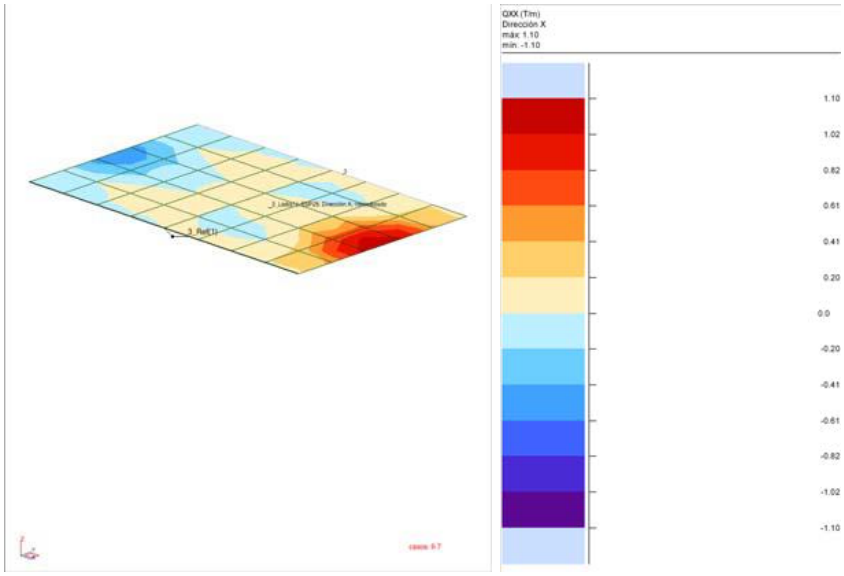
## MYY (Tm/m) Dirección X casos: 6 7 (+)



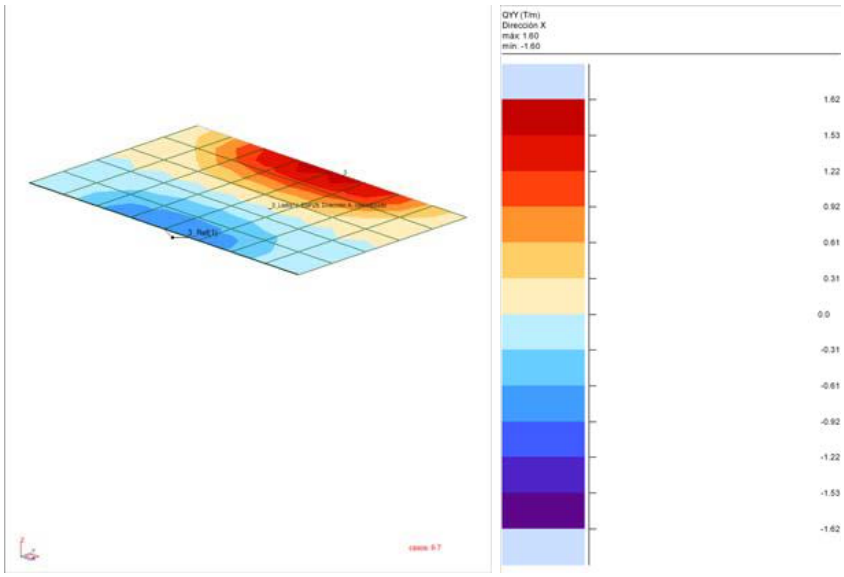

## NYY (T/m) Dirección X casos: 6 7 (+)



## QXX (T/m) Dirección X casos: 6 7 (+)




## QYY (T/m) Dirección X casos: 6 7 (+)



# 8. LISTADOS DE SALIDA DE ESFUERZOS ELU - ELS.

## 8.1. LISTADOS ESFUERZOS E.L.U. - FLEXIÓN.

| Panel/Nudo/Caso | MXX (Tm/m) | MYY (Tm/m) | NXX (T/m) | NYY (T/m) | Definición |
|---|---|---|---|---|---|
| 1/ 24/ 7 (C) | 0.47>> | 0.93 | -3.51 | -5.32 | 1*1.50+(2+3)*1.60 |
| 1/ 27/ 7 (C) | -1.26<< | -0.22 | -4.89 | -3.24 | 1*1.50+(2+3)*1.60 |
| 1/ 23/ 7 (C) | 0.46 | 0.99>> | -3.38 | -5.61 | 1*1.50+(2+3)*1.60 |
| 1/ 50/ 7 (C) | -0.33 | -1.73<< | -4.66 | -5.84 | 1*1.50+(2+3)*1.60 |
| 1/ 46/ 6 (C) | -0.06 | -0.06 | -0.31>> | -0.13 | 1*1.00+2*1.60 |
| 1/ 36/ 7 (C) | -1.26 | -0.22 | -4.89<< | -3.24 | 1*1.50+(2+3)*1.60 |
| 1/ 46/ 6 (C) | -0.06 | -0.06 | -0.31 | -0.13>> | 1*1.00+2*1.60 |
| 1/ 5/ 7 (C) | -0.33 | -1.73 | -4.66 | -5.84<< | 1*1.50+(2+3)*1.60 |
| 2_Lado(2)/ 126/ 6 (C) | 1.06>> | 0.18 | -3.84 | -2.02 | 1*1.00+2*1.60 |
| 2_Lado(4)/ 121/ 6 (C) | -1.06<< | -0.18 | -3.84 | -2.02 | 1*1.00+2*1.60 |
| 2_Lado(2)/ 50/ 7 (C) | 0.33 | 1.70>> | -4.44 | -4.95 | 1*1.50+(2+3)*1.60 |
| 2_Lado(4)/ 5/ 7 (C) | -0.33 | -1.70<< | -4.44 | -4.95 | 1*1.50+(2+3)*1.60 |
| 2_Lado(4)/ 55/ 7 (C) | -0.02 | 0.01 | 0.30>> | -0.35 | 1*1.50+(2+3)*1.60 |
| 2_Lado(4)/ 5/ 7 (C) | -0.33 | -1.70 | -4.44<< | -4.95 | 1*1.50+(2+3)*1.60 |
| 2_Lado(2)/ 54/ 7 (C) | 0.06 | 0.09 | -0.55 | 0.19>> | 1*1.50+(2+3)*1.60 |
| 2_Lado(2)/ 50/ 7 (C) | 0.33 | 1.70 | -4.44 | -4.95<< | 1*1.50+(2+3)*1.60 |
| 3/ 81/ 7 (C) | 0.58>> | 0.10 | -2.12 | -1.44 | 1*1.50+(2+3)*1.60 |
| 3/ 76/ 7 (C) | -0.12<< | -0.28 | -0.97 | -2.25 | 1*1.50+(2+3)*1.60 |
| 3/ 59/ 7 (C) | 0.18 | 0.86>> | -1.03 | -2.65 | 1*1.50+(2+3)*1.60 |
| 3/ 77/ 7 (C) | -0.12 | -0.30<< | -0.86 | -2.42 | 1*1.50+(2+3)*1.60 |
| 3/ 55/ 6 (C) | 0.10 | 0.10 | 0.81>> | 0.80 | 1*1.00+2*1.60 |
| 3/ 73/ 7 (C) | 0.58 | 0.10 | -2.12<< | -1.44 | 1*1.50+(2+3)*1.60 |
| 3/ 108/ 6 (C) | 0.10 | 0.10 | 0.81 | 0.80>> | 1*1.00+2*1.60 |
| 3/ 104/ 6 (C) | 0.13 | 0.64 | -1.39 | -2.81<< | 1*1.00+2*1.60 |

## 8.2. LISTADOS ESFUERZOS E.L.U. - CORTANTE.

| Panel/Nudo/Caso | NXX (T/m) | NYY (T/m) | QXX (T/m) | QYY (T/m) | Definición |
|---|---|---|---|---|---|
| 1/ 46/ 6 (C) | -0.31>> | -0.13 | 0.02 | -0.02 | 1*1.00+2*1.60 |
| 1/ 36/ 7 (C) | -4.89<< | -3.24 | -2.66 | 0.02 | 1*1.50+(2+3)*1.60 |
| 1/ 46/ 6 (C) | -0.31 | -0.13>> | 0.02 | -0.02 | 1*1.00+2*1.60 |
| 1/ 5/ 7 (C) | -4.66 | -5.84<< | 0.00 | 3.77 | 1*1.50+(2+3)*1.60 |
| 1/ 19/ 7 (C) | -4.89 | -3.24 | 2.66>> | -0.02 | 1*1.50+(2+3)*1.60 |
| 1/ 27/ 7 (C) | -4.89 | -3.24 | -2.66<< | -0.02 | 1*1.50+(2+3)*1.60 |
| 1/ 5/ 7 (C) | -4.66 | -5.84 | 0.00 | 3.77>> | 1*1.50+(2+3)*1.60 |
| 1/ 50/ 7 (C) | -4.66 | -5.84 | -0.00 | -3.77<< | 1*1.50+(2+3)*1.60 |
| 2_Lado(4)/ 55/ 7 (C) | 0.30>> | -0.35 | -0.02 | -0.06 | 1*1.50+(2+3)*1.60 |
| 2_Lado(4)/ 5/ 7 (C) | -4.44<< | -4.95 | 0.00 | -3.97 | 1*1.50+(2+3)*1.60 |
| 2_Lado(2)/ 54/ 7 (C) | -0.55 | 0.19>> | 0.05 | 0.19 | 1*1.50+(2+3)*1.60 |
| 2_Lado(2)/ 50/ 7 (C) | -4.44 | -4.95<< | -0.00 | 3.97 | 1*1.50+(2+3)*1.60 |
| 2_Lado(4)/ 121/ 6 (C) | -3.84 | -2.02 | 2.40>> | 0.01 | 1*1.00+2*1.60 |
| 2_Lado(2)/ 126/ 6 (C) | -3.84 | -2.02 | -2.40<< | -0.01 | 1*1.00+2*1.60 |
| 2_Lado(2)/ 50/ 7 (C) | -4.44 | -4.95 | -0.00 | 3.97>> | 1*1.50+(2+3)*1.60 |
| 2_Lado(4)/ 5/ 7 (C) | -4.44 | -4.95 | 0.00 | -3.97<< | 1*1.50+(2+3)*1.60 |
| 3/ 55/ 6 (C) | 0.81>> | 0.80 | -0.17 | -0.15 | 1*1.00+2*1.60 |
| 3/ 73/ 7 (C) | -2.12<< | -1.44 | -1.10 | -0.03 | 1*1.50+(2+3)*1.60 |
| 3/ 108/ 6 (C) | 0.81 | 0.80>> | 0.17 | 0.15 | 1*1.00+2*1.60 |
| 3/ 104/ 6 (C) | -1.39 | -2.81<< | -0.00 | 0.80 | 1*1.00+2*1.60 |
| 3/ 90/ 7 (C) | -2.12 | -1.44 | 1.10>> | 0.03 | 1*1.50+(2+3)*1.60 |
| 3/ 82/ 7 (C) | -2.12 | -1.44 | -1.10<< | 0.03 | 1*1.50+(2+3)*1.60 |
| 3/ 104/ 7 (C) | -1.03 | -2.65 | -0.00 | 1.60>> | 1*1.50+(2+3)*1.60 |
| 3/ 59/ 7 (C) | -1.03 | -2.65 | 0.00 | -1.60<< | 1*1.50+(2+3)*1.60 |

## 8.3. LISTADOS ESFUERZOS E.L.S.

| Panel/Nudo/Caso | NXX (T/m) | NYY (T/m) | MXX (Tm/m) | MYY (Tm/m) | Definición |
|---|---|---|---|---|---|
| 1/ 46/ 4 (C) | -0.40>> | -0.32 | -0.01 | -0.01 | (1+2)*1.00 |
| 1/ 36/ 5 (C) | -3.08<< | -2.06 | -0.82 | -0.15 | (1+2+3)*1.00 |
| 1/ 46/ 4 (C) | -0.40 | -0.32>> | -0.01 | -0.01 | (1+2)*1.00 |
| 1/ 5/ 4 (C) | -2.97 | -3.67<< | -0.19 | -1.02 | (1+2)*1.00 |
| 1/ 24/ 5 (C) | -2.23 | -3.34 | 0.32>> | 0.62 | (1+2+3)*1.00 |
| 1/ 27/ 5 (C) | -3.08 | -2.06 | -0.82<< | -0.15 | (1+2+3)*1.00 |
| 1/ 23/ 5 (C) | -2.15 | -3.53 | 0.31 | 0.67>> | (1+2+3)*1.00 |
| 1/ 50/ 5 (C) | -2.94 | -3.67 | -0.21 | -1.12<< | (1+2+3)*1.00 |
| 2_Lado(4)/ 55/ 4 (C) | 0.20>> | -0.38 | -0.01 | 0.02 | (1+2)*1.00 |
| 2_Lado(4)/ 5/ 5 (C) | -2.83<< | -3.26 | -0.21 | -1.10 | (1+2+3)*1.00 |
| 2_Lado(2)/ 54/ 5 (C) | -0.35 | 0.18>> | 0.04 | 0.06 | (1+2+3)*1.00 |
| 2_Lado(2)/ 50/ 5 (C) | -2.83 | -3.26<< | 0.21 | 1.10 | (1+2+3)*1.00 |
| 2_Lado(2)/ 126/ 4 (C) | -2.16 | -1.08 | 0.59>> | 0.10 | (1+2)*1.00 |
| 2_Lado(4)/ 121/ 4 (C) | -2.16 | -1.08 | -0.59<< | -0.10 | (1+2)*1.00 |
| 2_Lado(2)/ 50/ 5 (C) | -2.83 | -3.26 | 0.21 | 1.10>> | (1+2+3)*1.00 |
| 2_Lado(4)/ 5/ 5 (C) | -2.83 | -3.26 | -0.21 | -1.10<< | (1+2+3)*1.00 |
| 3/ 55/ 4 (C) | 0.43>> | 0.32 | 0.05 | 0.05 | (1+2)*1.00 |
| 3/ 73/ 5 (C) | -1.33<< | -0.92 | 0.37 | 0.07 | (1+2+3)*1.00 |
| 3/ 108/ 4 (C) | 0.43 | 0.32>> | 0.05 | 0.05 | (1+2)*1.00 |
| 3/ 104/ 5 (C) | -0.60 | -1.64<< | 0.11 | 0.54 | (1+2+3)*1.00 |
| 3/ 81/ 5 (C) | -1.33 | -0.92 | 0.37>> | 0.07 | (1+2+3)*1.00 |
| 3/ 76/ 5 (C) | -0.60 | -1.39 | -0.08<< | -0.19 | (1+2+3)*1.00 |
| 3/ 59/ 5 (C) | -0.60 | -1.64 | 0.11 | 0.54>> | (1+2+3)*1.00 |
| 3/ 77/ 5 (C) | -0.53 | -1.49 | -0.08 | -0.20<< | (1+2+3)*1.00 |

# 9. DIMENSIONAMIENTO DE ARMADURAS PARA ELU.

## 9.1. ARMADURAS PARA E.L.U. DE FLEXIÓN.

Para dimensionar la armadura se parte de la cuantía mínima indicada en la norma E.H.E., y se comprueba su validez para los máximos esfuerzos obtenidos en las estructuras modelizadas.

Las armaduras se obtienen empleando una hoja de cálculo, especialmente programada para el dimensionamiento de secciones rectangulares de hormigón armado sometidas a esfuerzos de flexión compuesta.

Las cuantías mínimas indicadas en la instrucción E.H.E. son las siguientes:

**Cuantía mecánica:** $A_s \geq 0{,}04 \cdot A_c \cdot \frac{f_{cd}}{f_{yd}}$

**Losa:** $A_s \geq 0.0018 \cdot A$ (a repartir entre ambas caras)

**Muro:** $A_s \geq 0.0032 \cdot A$ (a repartir entre ambas caras)

$A_s \geq 0.0009 \cdot A$ (en cara de tracción)

## 9.2. ARMADURAS PARA ELU DE CORTANTE.

El Estado Límite de Agotamiento por esfuerzo cortante se puede alcanzar, ya sea por agotarse la resistencia a compresión del alma, o por agotarse su resistencia a tracción. En consecuencia, es necesario comprobar que se cumple simultáneamente:

$$V_{rd} \leq V_{u1}$$

$$V_{rd} \leq V_{u2}$$

Las comprobaciones se realizan empleando una hoja de cálculo, especialmente programada para el dimensionamiento de secciones rectangulares de hormigón armado sometidas a esfuerzos de cortante, inicialmente se tantea como armadura de flexión con la máxima de las cuantías mínimas necesarias, bien geométrica o mecánica.

En la hoja se introducen las características de las secciones y de los materiales, hormigón y acero, y los esfuerzos obtenidos de los modelos en la combinación más desfavorable.

## 10. COMPROBACIONES DEL ELS DE FISURACIÓN.

La comprobación general del Estado Límite de Fisuración por tracción consiste en satisfacer la siguiente inecuación:

$$w_k \leq w_{max}$$

Las aberturas de fisuras se obtienen empleando una hoja de cálculo, especialmente programada para el caso de secciones rectangulares de hormigón armado sometidas a esfuerzos de flexión compuesta.

En la hoja se introducen las características de las secciones y de los materiales, hormigón y acero, y los esfuerzos obtenidos de los modelos en la combinación más desfavorable y para la situación cuasipermanente.

La fisuración no se produce si el momento de servicio actuante es inferior al momento de fisuración de la sección, que es aquel para el que la fibra más traccionada de hormigón alcanza el valor $f_{ct,m}$.

Caso de que no se cumpliese la inecuación de partida se elevará la cuantía de la armadura hasta que la abertura sea inferior a la máxima admisible.

# 11. COMPROBACIONES

## 11.1. AGOTAMIENTO POR FLEXIÓN

| REFERENCIA SECCIÓN | MATERIALES | | GEOMETRÍA DE LA SECCIÓN | | | | | SOLICITACIONES | |
|---|---|---|---|---|---|---|---|---|---|
| | Resistencia del hormigón (T/m2) | Resistencia del acero (T/m2) | Ancho (m) | Canto (m) | Recubrimiento (m) | Canto útil (m) | Disposición: Pilar 1 Losa 2 Viga 3 Muro 4 | Momento (T·m) | Axil (T) Compresión (+) |
| PANEL 1 | 3000.000 | 51000.000 | 1.000 | 0.250 | 0.050 | 0.200 | 2 | 0.470 | 3.510 |
| PANEL 1 | 3000.000 | 51000.000 | 1.000 | 0.250 | 0.050 | 0.200 | 2 | -1.260 | 4.890 |
| PANEL 1 | 3000.000 | 51000.000 | 1.000 | 0.250 | 0.050 | 0.200 | 2 | 0.990 | 5.610 |
| PANEL 1 | 3000.000 | 51000.000 | 1.000 | 0.250 | 0.050 | 0.200 | 2 | -1.730 | 5.840 |
| PANEL 1 | 3000.000 | 51000.000 | 1.000 | 0.250 | 0.050 | 0.200 | 2 | -0.060 | 0.310 |
| PANEL 1 | 3000.000 | 51000.000 | 1.000 | 0.250 | 0.050 | 0.200 | 2 | -1.260 | 4.890 |
| PANEL 1 | 3000.000 | 51000.000 | 1.000 | 0.250 | 0.050 | 0.200 | 2 | -0.060 | 0.130 |
| PANEL 1 | 3000.000 | 51000.000 | 1.000 | 0.250 | 0.050 | 0.200 | 2 | -1.730 | 5.840 |
| PANEL 2 | 3000.000 | 51000.000 | 1.000 | 0.250 | 0.050 | 0.200 | 4 | 1.060 | 3.840 |
| PANEL 2 | 3000.000 | 51000.000 | 1.000 | 0.250 | 0.050 | 0.200 | 4 | -1.060 | 3.840 |
| PANEL 2 | 3000.000 | 51000.000 | 1.000 | 0.250 | 0.050 | 0.200 | 4 | 1.700 | 4.950 |
| PANEL 2 | 3000.000 | 51000.000 | 1.000 | 0.250 | 0.050 | 0.200 | 4 | -1.700 | 4.950 |
| PANEL 2 | 3000.000 | 51000.000 | 1.000 | 0.250 | 0.050 | 0.200 | 4 | -0.020 | -0.300 |
| PANEL 2 | 3000.000 | 51000.000 | 1.000 | 0.250 | 0.050 | 0.200 | 4 | -0.330 | 4.440 |
| PANEL 2 | 3000.000 | 51000.000 | 1.000 | 0.250 | 0.050 | 0.200 | 4 | 0.090 | -0.190 |
| PANEL 2 | 3000.000 | 51000.000 | 1.000 | 0.250 | 0.050 | 0.200 | 4 | 1.700 | 4.950 |
| PANEL 3 | 3000.000 | 51000.000 | 1.000 | 0.250 | 0.050 | 0.200 | 2 | 0.580 | 2.120 |
| PANEL 3 | 3000.000 | 51000.000 | 1.000 | 0.250 | 0.050 | 0.200 | 2 | -0.120 | 0.970 |
| PANEL 3 | 3000.000 | 51000.000 | 1.000 | 0.250 | 0.050 | 0.200 | 2 | 0.860 | 2.650 |
| PANEL 3 | 3000.000 | 51000.000 | 1.000 | 0.250 | 0.050 | 0.200 | 2 | -0.300 | 2.420 |
| PANEL 3 | 3000.000 | 51000.000 | 1.000 | 0.250 | 0.050 | 0.200 | 2 | 0.100 | -0.810 |
| PANEL 3 | 3000.000 | 51000.000 | 1.000 | 0.250 | 0.050 | 0.200 | 2 | 0.580 | 2.120 |
| PANEL 3 | 3000.000 | 51000.000 | 1.000 | 0.250 | 0.050 | 0.200 | 2 | 0.100 | -0.800 |
| PANEL 3 | 3000.000 | 51000.000 | 1.000 | 0.250 | 0.050 | 0.200 | 2 | 0.640 | 2.810 |

| RESULTADOS Md<=Mlim | | | | | |
|---|---|---|---|---|---|
| $M_{As}$ | $E_{yd}$ | $x_{lim}$ | $M_{lim}$ | x | As |
| 0.733 | 0.002217 | 0.122 | 25.147 | 0.003 | 0.000004 |
| 1.627 | 0.002217 | 0.122 | 25.147 | 0.006 | 0.000075 |
| 1.411 | 0.002217 | 0.122 | 25.147 | 0.005 | 0.000034 |
| 2.168 | 0.002217 | 0.122 | 25.147 | 0.008 | 0.000117 |
| 0.083 | 0.002217 | 0.122 | 25.147 | 0.000 | 0.000002 |
| 1.627 | 0.002217 | 0.122 | 25.147 | 0.006 | 0.000075 |
| 0.070 | 0.002217 | 0.122 | 25.147 | 0.000 | 0.000005 |
| 2.168 | 0.002217 | 0.122 | 25.147 | 0.008 | 0.000117 |
| 1.348 | 0.002217 | 0.122 | 25.147 | 0.005 | 0.000067 |
| 1.348 | 0.002217 | 0.122 | 25.147 | 0.005 | 0.000067 |
| 2.071 | 0.002217 | 0.122 | 25.147 | 0.008 | 0.000126 |
| 2.071 | 0.002217 | 0.122 | 25.147 | 0.008 | 0.000126 |
| -0.003 | 0.002217 | 0.122 | 25.147 | 0.000 | 0.000006 |
| 0.663 | 0.002217 | 0.122 | 25.147 | 0.002 | -0.000025 |
| 0.076 | 0.002217 | 0.122 | 25.147 | 0.000 | 0.000013 |
| 2.071 | 0.002217 | 0.122 | 25.147 | 0.008 | 0.000126 |
| 0.739 | 0.002217 | 0.122 | 25.147 | 0.003 | 0.000036 |
| 0.193 | 0.002217 | 0.122 | 25.147 | 0.001 | 0.000000 |
| 1.059 | 0.002217 | 0.122 | 25.147 | 0.004 | 0.000061 |
| 0.482 | 0.002217 | 0.122 | 25.147 | 0.002 | 0.000000 |
| 0.039 | 0.002217 | 0.122 | 25.147 | 0.000 | 0.000023 |
| 0.739 | 0.002217 | 0.122 | 25.147 | 0.003 | 0.000036 |
| 0.040 | 0.002217 | 0.122 | 25.147 | 0.000 | 0.000023 |
| 0.851 | 0.002217 | 0.122 | 25.147 | 0.003 | 0.000033 |

| CUANTÍAS MÍNIMAS | | ARMADURA NECESARIA | | ARMADURA DISPUESTA | | | | | |
|---|---|---|---|---|---|---|---|---|---|
| Mecánica | Geométrica | Cara de tracción (cm2) | Cara de compresión (cm2) | NÚMERO | DIÁMETRO | ÁREA ARMADURA DE TRACCIÓN DISPUESTA | NÚMERO | DIÁMETRO | ÁREA ARMADURA DE COMPRESIÓN DISPUESTA |
| 0.000470 | 0.000225 | 4.70 | 4.70 | 5 | 12 | 5.655 | 5 | 12 | 5.655 |
| 0.000470 | 0.000225 | 4.70 | 4.70 | 5 | 12 | 5.655 | 5 | 12 | 5.655 |
| 0.000470 | 0.000225 | 4.70 | 4.70 | 5 | 12 | 5.655 | 5 | 12 | 5.655 |
| 0.000470 | 0.000225 | 4.70 | 4.70 | 5 | 12 | 5.655 | 5 | 12 | 5.655 |
| 0.000470 | 0.000225 | 4.70 | 4.70 | 5 | 12 | 5.655 | 5 | 12 | 5.655 |
| 0.000470 | 0.000225 | 4.70 | 4.70 | 5 | 12 | 5.655 | 5 | 12 | 5.655 |
| 0.000470 | 0.000225 | 4.70 | 4.70 | 5 | 12 | 5.655 | 5 | 12 | 5.655 |
| 0.000470 | 0.000225 | 4.70 | 4.70 | 5 | 12 | 5.655 | 5 | 12 | 5.655 |
| 0.000470 | 0.000225 | 4.70 | 4.70 | 5 | 12 | 5.655 | 5 | 12 | 5.655 |
| 0.000470 | 0.000225 | 4.70 | 4.70 | 5 | 12 | 5.655 | 5 | 12 | 5.655 |
| 0.000470 | 0.000225 | 4.70 | 4.70 | 5 | 12 | 5.655 | 5 | 12 | 5.655 |
| 0.000470 | 0.000225 | 4.70 | 4.70 | 5 | 12 | 5.655 | 5 | 12 | 5.655 |
| 0.000470 | 0.000225 | 4.70 | 4.70 | 5 | 12 | 5.655 | 5 | 12 | 5.655 |
| 0.000470 | 0.000225 | 4.70 | 4.70 | 5 | 12 | 5.655 | 5 | 12 | 5.655 |
| 0.000470 | 0.000225 | 4.70 | 4.70 | 5 | 12 | 5.655 | 5 | 12 | 5.655 |
| 0.000470 | 0.000225 | 4.70 | 4.70 | 5 | 12 | 5.655 | 5 | 12 | 5.655 |
| 0.000470 | 0.000225 | 4.70 | 4.70 | 5 | 12 | 5.655 | 5 | 12 | 5.655 |
| 0.000470 | 0.000225 | 4.70 | 4.70 | 5 | 12 | 5.655 | 5 | 12 | 5.655 |
| 0.000470 | 0.000225 | 4.70 | 4.70 | 5 | 12 | 5.655 | 5 | 12 | 5.655 |
| 0.000470 | 0.000225 | 4.70 | 4.70 | 5 | 12 | 5.655 | 5 | 12 | 5.655 |
| 0.000470 | 0.000225 | 4.70 | 4.70 | 5 | 12 | 5.655 | 5 | 12 | 5.655 |
| 0.000470 | 0.000225 | 4.70 | 4.70 | 5 | 12 | 5.655 | 5 | 12 | 5.655 |
| 0.000470 | 0.000225 | 4.70 | 4.70 | 5 | 12 | 5.655 | 5 | 12 | 5.655 |
| 0.000470 | 0.000225 | 4.70 | 4.70 | 5 | 12 | 5.655 | 5 | 12 | 5.655 |

## 11.2. AGOTAMIENTO POR ESFUERZO CORTANTE.

| REFERENCIA SECCIÓN | MATERIALES | | GEOMETRÍA DE LA SECCIÓN | | | | | SOLICITACIONES | |
|---|---|---|---|---|---|---|---|---|---|
| | Resistencia del hormigón (T/m2) | Resistencia del acero (T/m2) | Ancho (m) | Anchura neta mínima del elemento (m) | Canto (m) | Recubrimiento (m) | Canto útil (m) | Cortante (T) | Axil (T) Compresión (+) |
| PANEL 1 | 3000.000 | 51000.000 | 1.000 | 1.000 | 0.250 | 0.050 | 0.200 | 2.660 | 4.890 |
| PANEL 1 | 3000.000 | 51000.000 | 1.000 | 1.000 | 0.250 | 0.050 | 0.200 | 2.660 | 4.890 |
| PANEL 1 | 3000.000 | 51000.000 | 1.000 | 1.000 | 0.250 | 0.050 | 0.200 | 3.770 | 5.840 |
| PANEL 1 | 3000.000 | 51000.000 | 1.000 | 1.000 | 0.250 | 0.050 | 0.200 | 3.770 | 5.840 |
| PANEL 2 | 3000.000 | 51000.000 | 1.000 | 1.000 | 0.250 | 0.050 | 0.200 | 2.400 | 3.840 |
| PANEL 2 | 3000.000 | 51000.000 | 1.000 | 1.000 | 0.250 | 0.050 | 0.200 | 2.400 | 3.840 |
| PANEL 2 | 3000.000 | 51000.000 | 1.000 | 1.000 | 0.250 | 0.050 | 0.200 | 3.970 | 4.950 |
| PANEL 2 | 3000.000 | 51000.000 | 1.000 | 1.000 | 0.250 | 0.050 | 0.200 | 3.970 | 4.950 |
| PANEL 3 | 3000.000 | 51000.000 | 1.000 | 1.000 | 0.250 | 0.050 | 0.200 | 1.100 | 2.120 |
| PANEL 3 | 3000.000 | 51000.000 | 1.000 | 1.000 | 0.250 | 0.050 | 0.200 | 1.100 | 2.120 |
| PANEL 3 | 3000.000 | 51000.000 | 1.000 | 1.000 | 0.250 | 0.050 | 0.200 | 1.600 | 2.650 |
| PANEL 3 | 3000.000 | 51000.000 | 1.000 | 1.000 | 0.250 | 0.050 | 0.200 | 1.600 | 2.650 |

| K | cotg(Alfa) | cotg(Teta) | Vu1 | Cuantía geométrica de armadura longitudinal traccionada | Epsilon | Vu2 (T) | Vcu (T) (Contribución del hormigón) | Área necesaria de cortante (cm2) $A_{90}$ |
|---|---|---|---|---|---|---|---|---|
| 1.650 | 0.000000 | 1.000 | 120.000 | 0.002 | 2.000 | 9.789 | 7.669 | 0.00 |
| 1.650 | 0.000000 | 1.000 | 120.000 | 0.002 | 2.000 | 9.789 | 7.669 | 0.00 |
| 1.647 | 0.000000 | 1.000 | 120.000 | 0.002 | 2.000 | 9.903 | 7.669 | 0.00 |
| 1.647 | 0.000000 | 1.000 | 120.000 | 0.002 | 2.000 | 9.903 | 7.669 | 0.00 |
| 1.654 | 0.000000 | 1.000 | 120.000 | 0.002 | 2.000 | 9.663 | 7.669 | 0.00 |
| 1.654 | 0.000000 | 1.000 | 120.000 | 0.002 | 2.000 | 9.663 | 7.669 | 0.00 |
| 1.650 | 0.000000 | 1.000 | 120.000 | 0.002 | 2.000 | 9.796 | 7.669 | 0.00 |
| 1.650 | 0.000000 | 1.000 | 120.000 | 0.002 | 2.000 | 9.796 | 7.669 | 0.00 |
| 1.660 | 0.000000 | 1.000 | 120.000 | 0.002 | 2.000 | 9.457 | 7.669 | 0.00 |
| 1.660 | 0.000000 | 1.000 | 120.000 | 0.002 | 2.000 | 9.457 | 7.669 | 0.00 |
| 1.658 | 0.000000 | 1.000 | 120.000 | 0.002 | 2.000 | 9.520 | 7.669 | 0.00 |
| 1.658 | 0.000000 | 1.000 | 120.000 | 0.002 | 2.000 | 9.520 | 7.669 | 0.00 |

## 11.3. ESTADO LÍMITE DE FISURACIÓN.

| | | | MATERIALES | | | | GEOMÉTRIA | | | As Tracc. | | As Comp. | | | | Esf. Caracterist. | |
|---|---|---|---|---|---|---|---|---|---|---|---|---|---|---|---|---|---|
| Tipo Amb. | Wk,adm (mm) | Viga Losa | fck (Kg/cm2) | γc | fyk (Kg/cm2) | γs | Ancho b(cm) | Canto h(cm) | Recu (cm) | ϕ (mm) | n°ϕ | ϕ (mm) | n°ϕ | kl | k2 | Nk (T) | Mk (mT) |
| Qb | 0.10 | L | 300 | 1.5 | 5100 | 1.15 | 100 | 30 | 5 | 12 | 5 | 12 | 5 | 0.125 | 0.5 | -2.23 | 0.32 |
| Qb | 0.10 | L | 300 | 1.5 | 5100 | 1.15 | 100 | 30 | 5 | 12 | 5 | 12 | 5 | 0.125 | 0.5 | -3.08 | 0.82 |
| Qb | 0.10 | L | 300 | 1.5 | 5100 | 1.15 | 100 | 30 | 5 | 12 | 5 | 12 | 5 | 0.125 | 0.5 | -3.53 | 0.67 |
| Qb | 0.10 | L | 300 | 1.5 | 5100 | 1.15 | 100 | 30 | 5 | 12 | 5 | 12 | 5 | 0.125 | 0.5 | -3.67 | 1.12 |
| Qb | 0.10 | L | 300 | 1.5 | 5100 | 1.15 | 100 | 30 | 5 | 12 | 5 | 12 | 5 | 0.125 | 0.5 | -2.16 | 0.59 |
| Qb | 0.10 | L | 300 | 1.5 | 5100 | 1.15 | 100 | 30 | 5 | 12 | 5 | 12 | 5 | 0.125 | 0.5 | -3.26 | 1.1 |
| Qb | 0.10 | L | 300 | 1.5 | 5100 | 1.15 | 100 | 30 | 5 | 12 | 5 | 12 | 5 | 0.125 | 0.5 | -1.33 | 0.37 |
| Qb | 0.10 | L | 300 | 1.5 | 5100 | 1.15 | 100 | 30 | 5 | 12 | 5 | 12 | 5 | 0.125 | 0.5 | -1.64 | 0.2 |

| Sm (cm) | Nfis (T) | Mfis (mT) | σsr (Kg/cm2) | σs (Kg/cm2) | εsm | wk (mm) | Comentario |
|---|---|---|---|---|---|---|---|
| 20.76 | -49.99 | 7.17 | 1154.97 | 4.16 | 0.00000 | 0.000 | Cumple |
| 20.76 | -21.59 | 5.75 | 2353.49 | 16.88 | 0.00000 | 0.001 | Cumple |
| 20.76 | -33.41 | 6.34 | 1788.44 | 11.40 | 0.00000 | 0.001 | Cumple |
| 20.76 | -18.29 | 5.58 | 2523.91 | 24.33 | 0.00000 | 0.002 | Cumple |
| 20.76 | -20.92 | 5.71 | 2387.70 | 12.28 | 0.00000 | 0.001 | Cumple |
| 20.76 | -16.24 | 5.48 | 2632.39 | 24.71 | 0.00000 | 0.002 | Cumple |
| 20.76 | -20.45 | 5.69 | 2411.48 | 7.76 | 0.00000 | 0.001 | Cumple |
| 20.76 | -65.00 | 7.93 | 770.40 | 2.02 | 0.00000 | 0.000 | Cumple |

# ANEJO DE CÁLCULO

# 4.- REACTOR BIOLÓGICO

# INDICE

**1. INTRODUCCIÓN. ..... 1**

**2. ACCIONES A CONSIDERAR ..... 3**

2.1 PESO PROPIO ..... 3

2.2 PRESION DE AGUA ..... 3

2.3 PRESION DE TIERRAS ..... 3

2.4 SOBRECARGAS DE USO ADYACENTES. ..... 3

2.5 CARGA TRANSMITIDA POR LA PASARELA. ..... 4

**3. DISCRETIZACIÓN DE LA ESTRUCTURA. ..... 4**

**4. ACCIONES DE CÁLCULO ..... 5**

**5. COMBINACIÓN DE ACCIONES ..... 6**

**6. COMPROBACIÓN DE LA CIMENTACIÓN. ..... 6**

**7. GRÁFICOS DE ESFUERZOS. ..... 8**

7.1 GRÁFICOS ESFUERZOS ELU - CIMENTACIÓN ..... 8

7.2 GRÁFICOS ESFUERZOS ELU – MURO. ..... 11

**8. LISTADOS DE SALIDA DE ESFUERZOS ELU - ELS. ..... 14**

8.1 LISTADOS ESFUERZOS E.L.U. - FLEXIÓN. ..... 14

8.2 LISTADOS ESFUERZOS E.L.U. - CORTANTE. ..... 15

8.3 LISTADOS ESFUERZOS E.L.S. ..... 16

**9. DIMENSIONAMIENTO DE ARMADURAS PARA ELU. ..... 17**

9.1 ARMADURAS PARA E.L.U. DE FLEXIÓN. ..... 17

9.2 ARMADURAS PARA ELU DE CORTANTE ..... 17

**10. COMPROBACIONES DEL ELS DE FISURACIÓN ..... 18**

**11. COMPROBACIONES EN PARED EXTERIOR (TRAMO RECTO) ..... 19**

11.1 AGOTAMIENTO POR FLEXIÓN ..... 19

11.2 AGOTAMIENTO POR ESFUERZO CORTANTE. ..... 21

11.3 ESTADO LÍMITE DE FISURACIÓN. ..... 22

**12. COMPROBACIONES EN PARED EXTERIOR (TRAMO CURVO) ..... 23**

12.1 AGOTAMIENTO POR FLEXIÓN ..... 23

12.2 AGOTAMIENTO POR ESFUERZO CORTANTE ..... 24

12.3 ESTADO LÍMITE DE FISURACIÓN. ..... 25

**13. COMPROBACIONES EN PARED EXTERIOR (CIMENTACIÓN) ..... 27**

13.1 AGOTAMIENTO POR FLEXIÓN ..... 27

13.2 AGOTAMIENTO POR ESFUERZO CORTANTE ..... 29

13.3 ESTADO LÍMITE DE FISURACIÓN. ..... 30

**ANEXO: CÁLCULO DE PASARELA Y ESCALERA ..... 31**

**CÁLCULO DE LA PASARELA ..... 32**

**1. DISCRETIZACIÓN DE LA ESTRUCTURA ..... 32**

**2. ACCIONES DE CÁLCULO ..... 32**

**3. COMBINACIÓN DE ACCIONES ..... 33**

**4. GRÁFICOS DE ESFUERZOS EN E.L.U. ..... 34**

**5. GRÁFICOS DE ESFUERZOS EN E.L.S. ..... 38**

**6. LISTADOS CÁLCULOS ARMADURAS – ELU FLEXIÓN. ..... 40**

**7. LISTADOS CÁLCULOS ARMADURAS – ELU CORTANTE. ..... 41**

**8. LISTADOS CÁLCULOS ARMADURAS – ELS FISURACIÓN. ..... 42**

**CÁLCULO DE LA ESCALERA ..... 43**

**1. DISCRETIZACIÓN DE LA ESTRUCTURA ..... 43**

**2. ACCIONES DE CÁLCULO ..... 43**

**3. COMBINACIÓN DE ACCIONES ..... 44**

**4. GRÁFICOS DE ESFUERZOS EN E.L.U. ..... 45**

4.1 LISTADOS ESFUERZOS E.L.U. - FLEXIÓN. ..... 48

4.2 LISTADOS ESFUERZOS E.L.U. - CORTANTE. ..... 49

4.3 LISTADOS ESFUERZOS E.L.S. – ABERTURA DE FISURA. ..... 50

**5. LISTADOS CÁLCULOS ARMADURAS – ELU FLEXIÓN. ..... 51**

**6. LISTADOS CÁLCULOS ARMADURAS – ELU CORTANTE. ..... 52**

**7. LISTADOS CÁLCULOS ARMADURAS – ELS FISURACIÓN. ..... 53**

**8. CIMENTACIÓN ..... 54**

8.1 ESFUERZOS PARA DIMENSIONAMIENTO DE LA ZAPATA ..... 54
8.2 CIMENTACIONES RÍGIDAS ..... 55
*8.2.1 Comprobación de estabilidad a deslizamiento ..... 56*
*8.2.2 Comprobación de estabilidad a vuelco ..... 56*
*8.2.3 Tensiones en el terreno ..... 56*
*8.2.4 Armadura ..... 57*

**ANEXO: CÁLCULO DE LA ARQUETA DE ENTRADA ..... 60**

**1. INTRODUCCIÓN ..... 61**

**2. DISCRETIZACIÓN DE LA ESTRUCTURA ..... 61**

**3. ACCIONES DE CÁLCULO ..... 62**

**4. COMBINACIÓN DE ACCIONES ..... 62**

**5. GRÁFICOS DE ESFUERZOS ..... 63**
5.1 LISTADOS ESFUERZOS E.L.U. - FLEXIÓN. ..... 70
5.2 LISTADOS ESFUERZOS E.L.U. - CORTANTE. ..... 71
5.3 LISTADOS ESFUERZOS E.L.S. - FISURACIÓN. ..... 72

**6. LISTADOS CÁLCULOS ARMADURAS – ELU FLEXIÓN. ..... 73**

**7. LISTADOS CÁLCULOS ARMADURAS – ELU CORTANTE. ..... 74**

**8. LISTADOS CÁLCULOS ARMADURAS – ELS ABERTURA DE FISURA. ..... 75**

**9. ESQUEMA DE ARMADURA. ..... 75**

# 1. INTRODUCCIÓN.

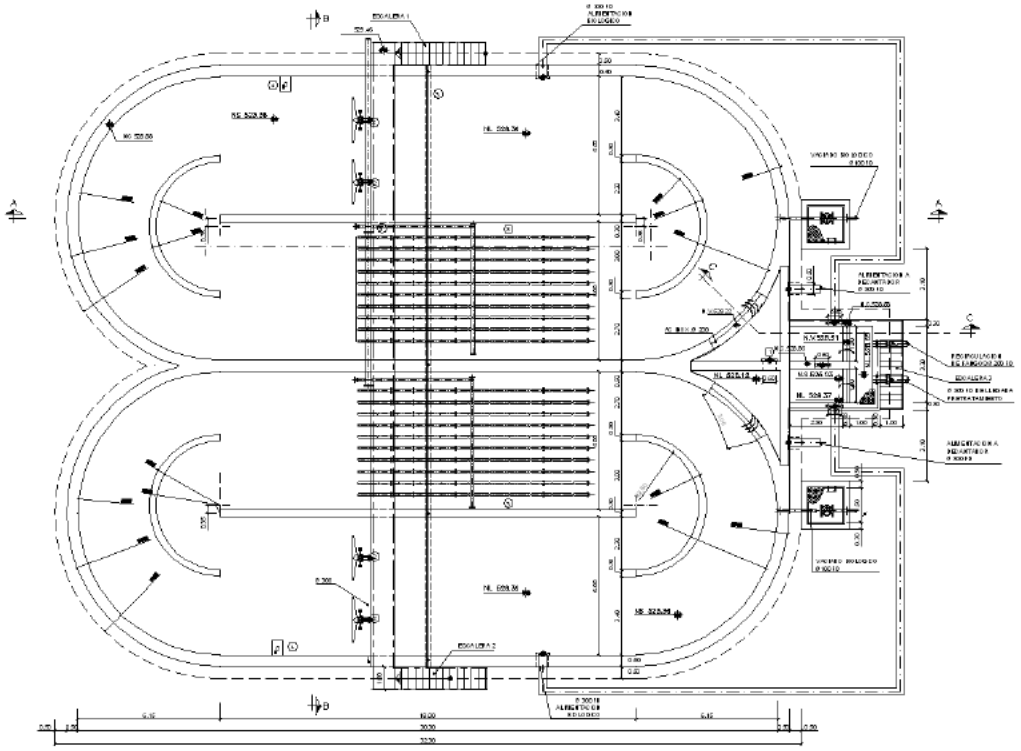
El reactor biológico está formado por dos depósitos adyacentes con un tramo recto de 18.00 metros y cierre con semicírculos de radio 8.00 metros aproximadamente.

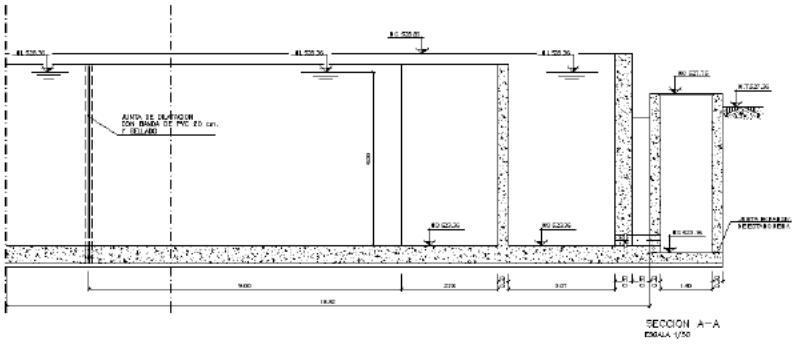
El reactor presenta a mitad de longitud una junta de dilatación de PVC.

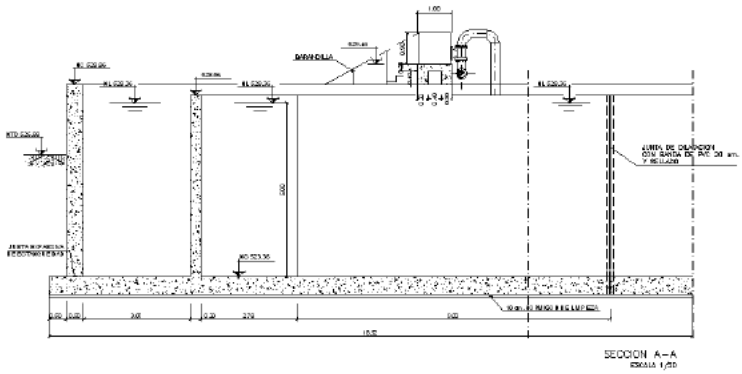
La losa de cimentación tiene 0.50 metros de canto, al igual que los muros exteriores de cierre y el muro central adyacente a los dos depósitos.

Para recircular el agua tiene muros internos de 30 cm de espesor.

Sobre el muro se apoya una pasarela de hormigón armado y sección en U invertida, que se calcula en el Anexo final del presente documento. Así mismo también se incluye el cálculo de las escaleras de acceso a la pasarela y la arqueta de entrada de agua al reactor.




SECCION A-A
ESCALA 1/50


SECCION A-A
ESCALA 1/50

# 2. ACCIONES A CONSIDERAR

## 2.1 PESO PROPIO

Se obtiene aplicando un peso específico del hormigón de 25 KN/m$^3$.

## 2.2 PRESION DE AGUA

Se tiene en cuenta como un fluido de peso específico 10 KN/m$^3$.

La altura máxima de aguas en el interior del depósito es de 5.00 metros.

## 2.3 PRESION DE TIERRAS

Se tiene en cuenta una acción vertical de las tierras con un peso específico de 20,00 KN/m$^3$.

Por otro lado se tiene en cuenta un empuje horizontal triangular de las tierras con ángulo de rozamiento de 30º y coeficiente de empuje horizontal al reposo de 0,500.

La altura de las tierras se ha considerado, a efectos de cálculo, de 4.00 metros sobre el nivel superior de la solera.

## 2.4 SOBRECARGAS DE USO ADYACENTES.

Se consideran 10 KN/m$^2$ en trasdós de muros y coeficiente de empuje horizontal al reposo de 0,500.

## 2.5 CARGA TRANSMITIDA POR LA PASARELA.

Se tiene en cuenta la carga que transmite en apoyos la pasarela al muro del espesador, afectando a ésta de una sobrecarga de 4 KN/m$^2$.

## 3. DISCRETIZACIÓN DE LA ESTRUCTURA.

Para el análisis se ha realizado un modelo de elementos finitos tridimensional del depósito.

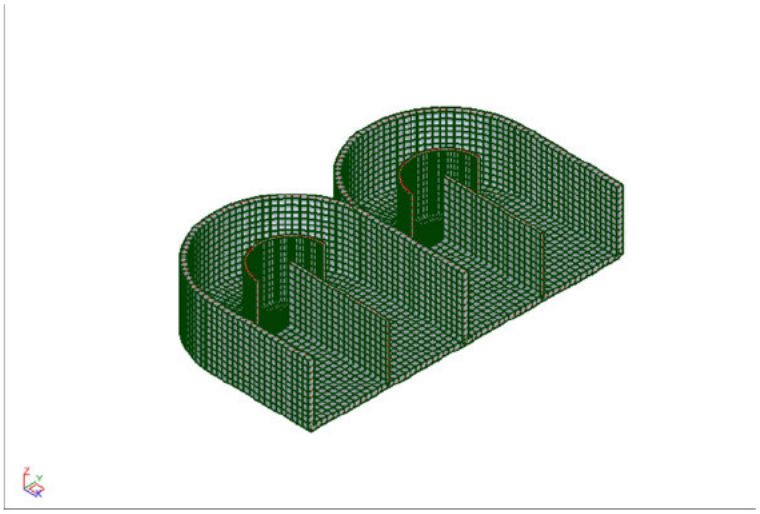
Se han usado elementos tipo placa rectangulares asignando los espesores adecuados.

**Características: Paneles:**

| Nombre de espesor | Lista de paneles | Material | Tipo de espesor | Espesor (cm) | KZ (T/m3) | E (T/m2) | NI |
|---|---|---|---|---|---|---|---|
| ESP50_KZ | 1 4 14 17 | HA - 30 | constante | 50 000 | 2000 00 | 2693070 52 | 0 20 |
| ESP50 | 2 5 6 15 18 | HA - 30 | constante | 50 000 | 0 0 | 2693070 52 | 0 20 |
| ESP30 | 3 7 16 19 | HA - 30 | constante | 30 000 | 0 0 | 2693070 52 | 0 20 |

El apoyo en el terreno se modeliza según el coeficiente de balasto vertical KZ estimado de 2000 t/m$^3$.

**MODELO 3D**



## 4. ACCIONES DE CÁLCULO

En el modelo de cálculo se introducen las acciones antes indicadas, como cargas independientes actuando en los distintos paneles.

Se resumen a continuación cada una de las acciones independientes.

**Cargas**

**- Casos: 1A4**

| Caso | Tipo de carga | Lista | Valores de carga | Nombre del caso |
|---|---|---|---|---|
| 1 | peso propio | 1A7 14A19 | PZ Menos Coef=1 00 | PP |
| 2 | (EF) presión hydrostática | 2 5 15 | P=0 50(T/m2) Gama=1 00(T/m3) H=4 000(m) Dirección=-Z | EMPUJE DE TIERRAS |
| 2 | (EF) presión hydrostática | 18 | P=-0 50(T/m2) Gama=-1 00(T/m3) H=4 000(m) Dirección=-Z | EMPUJE DE TIERRAS |
| 3 | (EF) presión hydrostática | 2 5 15 | Gama=-1 00(T/m3) H=5 000(m) Dirección=-Z | EMPUJE HIDROSTATICO |
| 3 | (EF) presión hydrostática | 6 18 | Gama=1 00(T/m3) H=5 000(m) Dirección=-Z | EMPUJE HIDROSTATICO |
| 3 | (EF) presión hydrostática | 1 4 14 17 | Gama=-1 00(T/m3) H=5 000(m) Dirección=-Z | EMPUJE HIDROSTATICO |
| 4 | fuerza nodal | 2484 2486 | FZ=-3 60(T) | CARGA PASARELA |
| 4 | fuerza nodal | 7222 7224 | FZ=-3 60(T) | CARGA PASARELA |
| 4 | fuerza nodal | 2712 2714 | FZ=-12 00(T) | CARGA PASARELA |

## 5. COMBINACIÓN DE ACCIONES.

Para la comprobación de los estados límites ELU y ELS las acciones independientes se combinan de acuerdo a la instrucción EHE, de manera que se puedan obtener las distintas hipótesis de cálculo con las acciones combinadas y siendo afectadas por los correspondientes coeficientes de mayoración.

Se adjunta una tabla con las distintas hipótesis de cálculo consideradas para las comprobaciones de los estados límites últimos y de servicio.

**Combinaciones de casos**

**- Casos: 5A12**

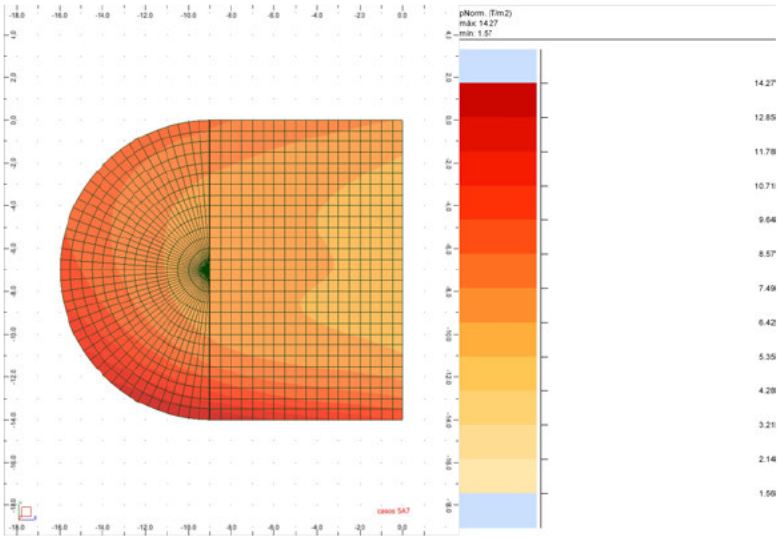
| Combinación | Nombre | Tipo de análisis | Naturaleza de combinación | Naturaleza de caso | Definición |
|---|---|---|---|---|---|
| 5 (C) | ELS1 | Combinación lineal | ELU | permanente | (1+2)*1.00 |
| 6 (C) | ELS2 | Combinación lineal | ELU | permanente | (1+3)*1.00 |
| 7 (C) | ELS3 | Combinación lineal | ELU | permanente | (1+2+3+4)*1.00 |
| 8 (C) | ELU1 | Combinación lineal | ELU | permanente | 1*1.00+2*1.60 |
| 9 (C) | ELU2 | Combinación lineal | ELU | permanente | 1*1.50+2*1.60 |
| 10 (C) | ELU3 | Combinación lineal | ELU | permanente | 1*1.00+3*1.60 |
| 11 (C) | ELU4 | Combinación lineal | ELU | permanente | 1*1.50+3*1.60 |
| 12 (C) | ELU5 | Combinación lineal | ELU | permanente | 1*1.50+(2+3+4)*1.60 |

## 6. COMPROBACIÓN DE LA CIMENTACIÓN.

Se comprueba que con la combinación de acciones características pésima las tensiones que se obtienen en cimentación son inferiores a la tensión media admisible asignada en el informe geotécnico.

$$\sigma_{\max,cal} = 14.27T/m^2 \leq \sigma_{media,adm} = 20{,}0T/m^2$$

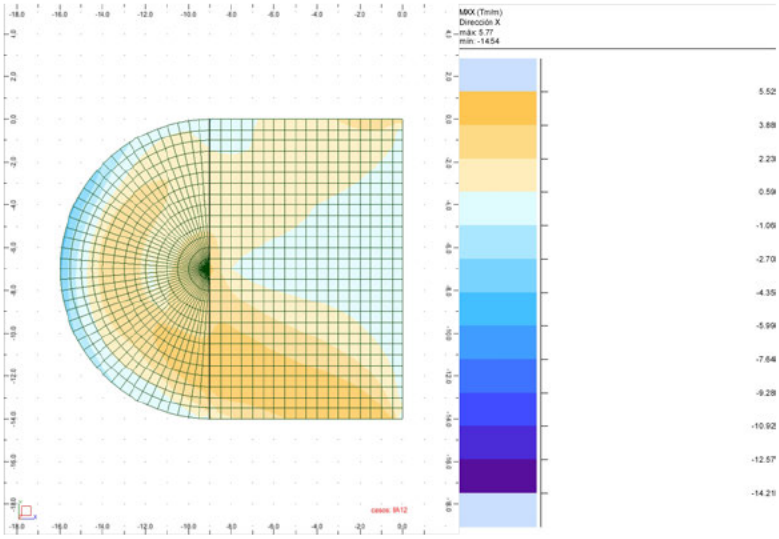
## pNorm. (T/m2) casos: 5A7 (+)



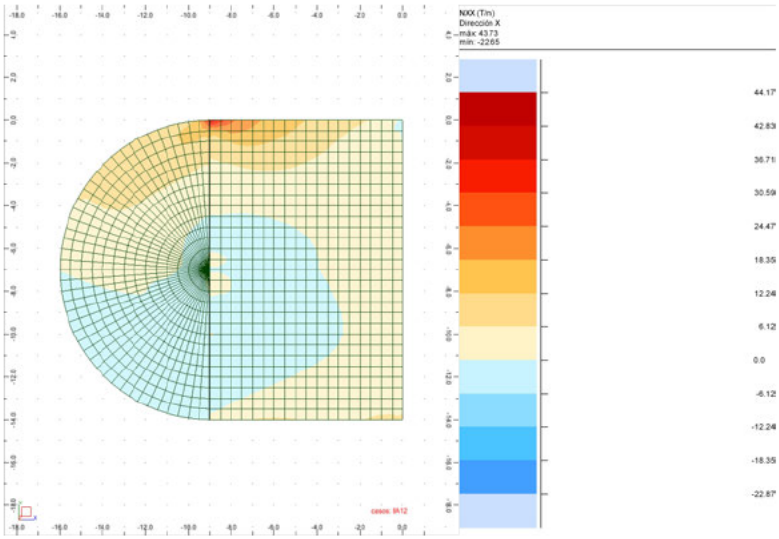
# 7. GRÁFICOS DE ESFUERZOS.

## 7.1 GRÁFICOS ESFUERZOS ELU - CIMENTACIÓN

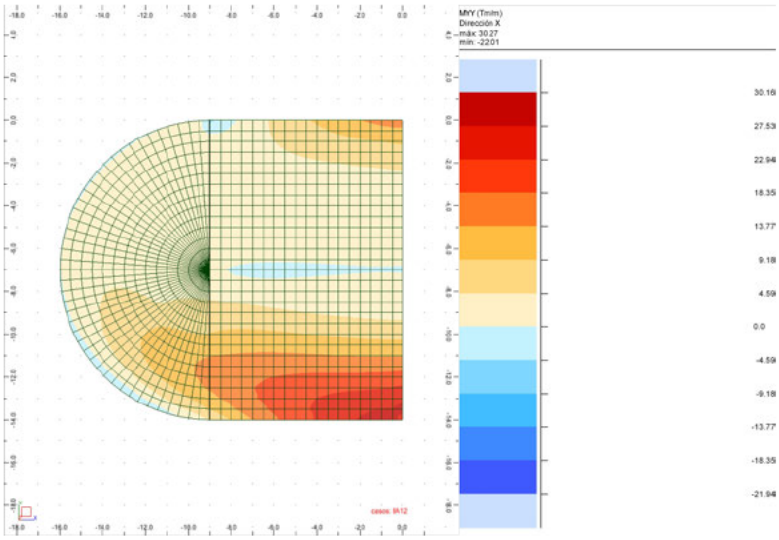
### MXX (Tm/m) Dirección X casos: 8A12 (+)



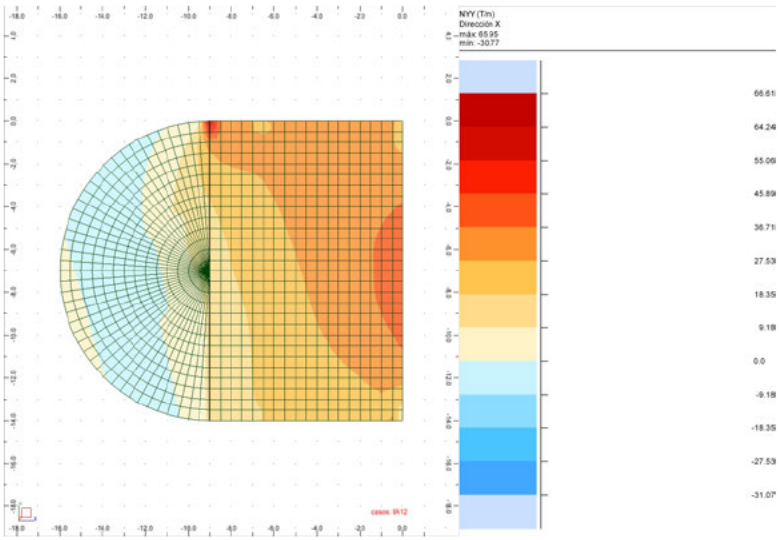

### NXX (T/m) Dirección X casos: 8A12 (+)



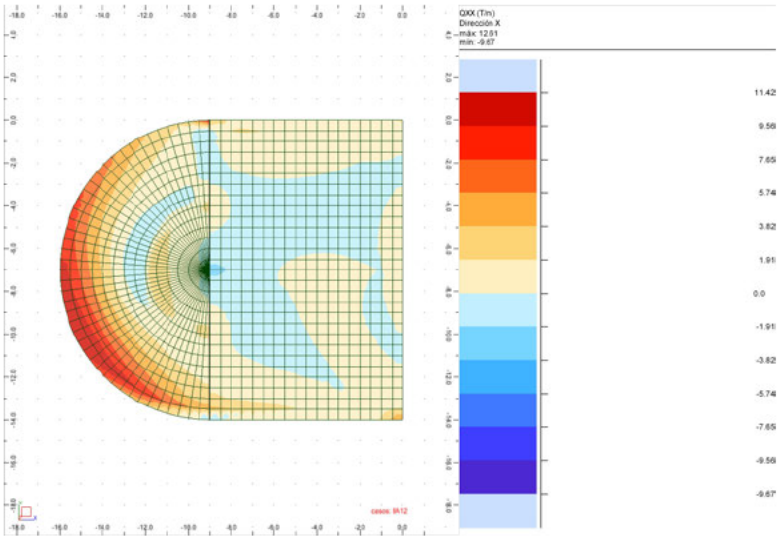
## MYY (Tm/m) Dirección X casos: 8A12 (+)



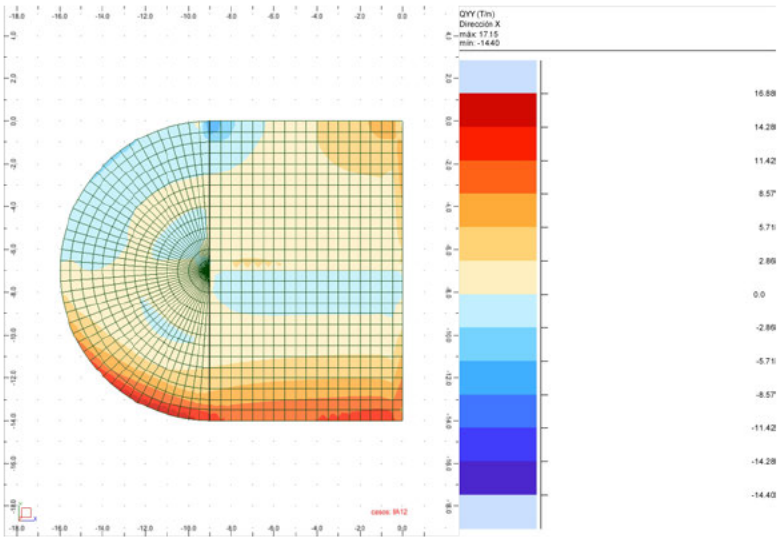

## NYY (T/m) Dirección X casos: 8A12 (+)



## QXX (T/m) Dirección X casos: 8A12 (+)

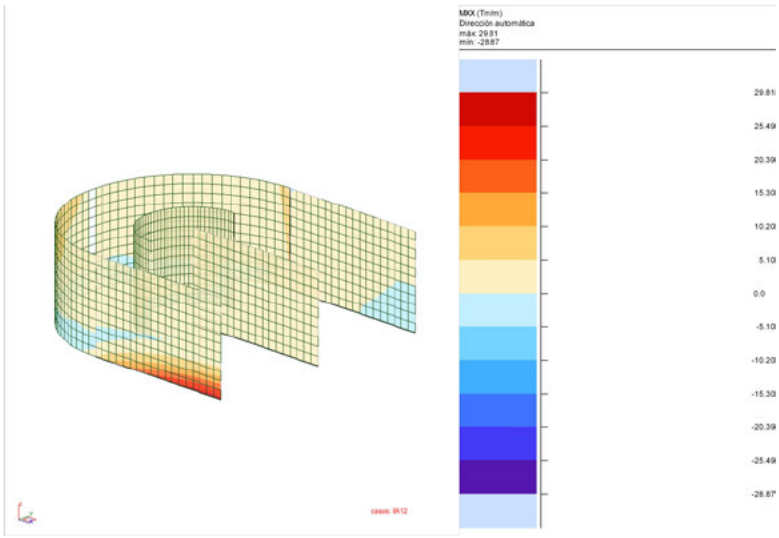



## QYY (T/m) Dirección X casos: 8A12 (+)

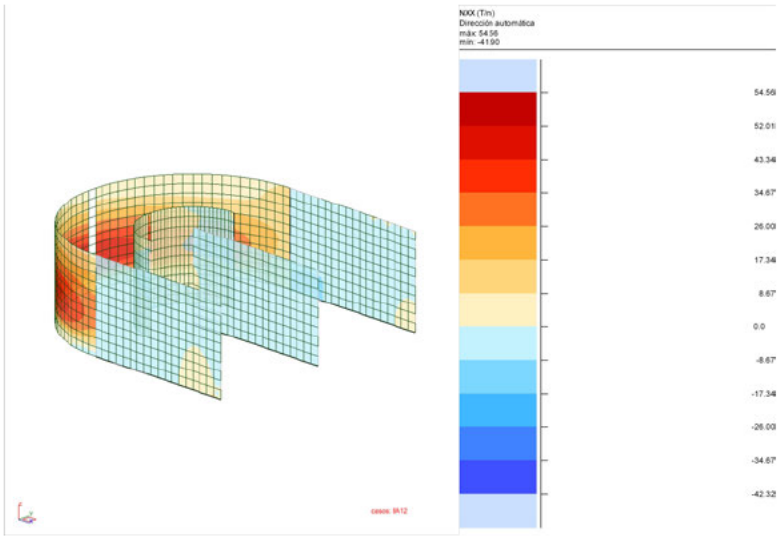


## 7.2 GRÁFICOS ESFUERZOS ELU – MURO.

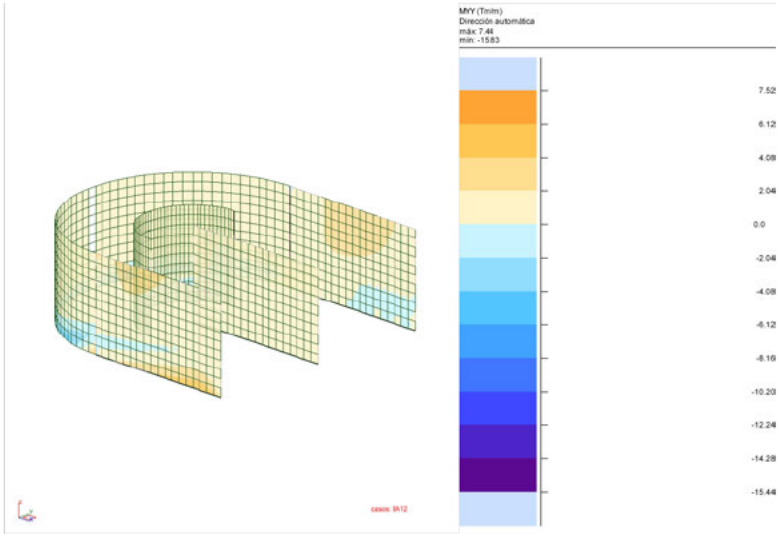
### MXX (Tm/m) Dirección automática casos: 8A12 (+)



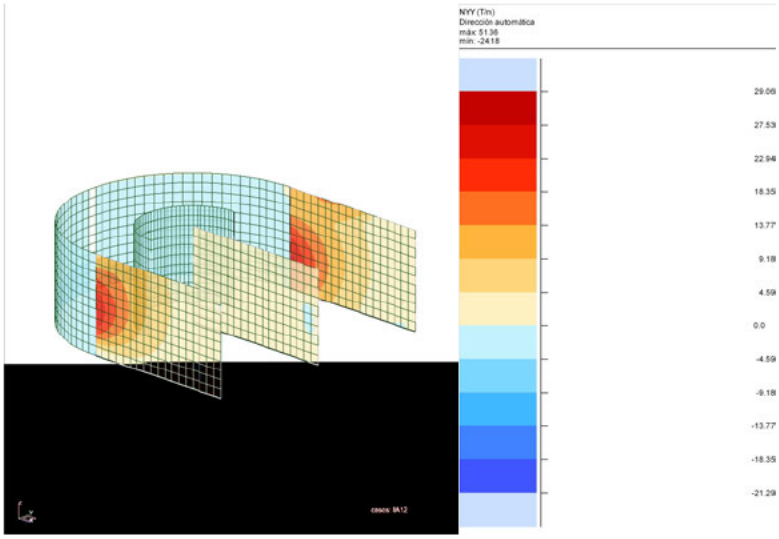

### NXX (T/m) Dirección automática casos: 8A12 (+)



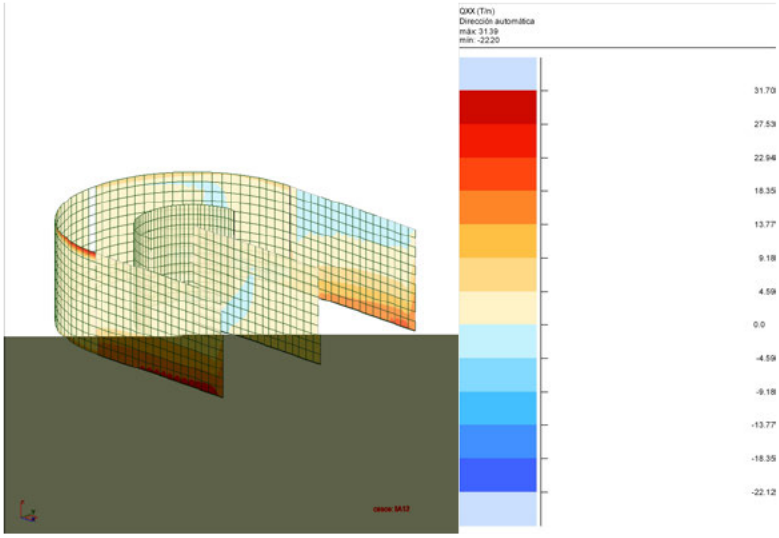
## MYY (Tm/m) Dirección automática casos: 8A12 (+)



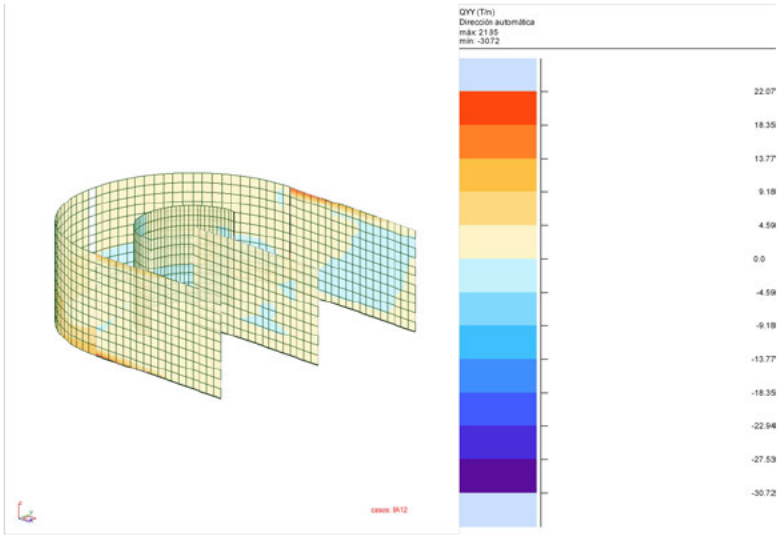

## NYY (T/m) Dirección automática casos: 8A12 (+)



## QXX (T/m) Dirección automática casos: 8A12 (+)




## QYY (T/m) Dirección automática casos: 8A12 (+)



# 8. LISTADOS DE SALIDA DE ESFUERZOS ELU - ELS.

## 8.1 LISTADOS ESFUERZOS E.L.U. - FLEXIÓN.

| Panel/Nudo/Caso | NXX (T/m) | NYY (T/m) | MXX (Tm/m) | MYY (Tm/m) | Definición |
|---|---|---|---|---|---|
| 1/ 361/ 11 (C) | 33.49>> | 65 95 | 0 11 | -10 21 | 1*1 50+3*1 60 |
| 1/ 361/ 8 (C) | -15.90<< | -30 77 | -1 58 | -8 96 | 1*1 00+2*1 60 |
| 1/ 361/ 11 (C) | 33 49 | 65.95>> | 0 11 | -10 21 | 1*1 50+3*1 60 |
| 1/ 361/ 8 (C) | -15 90 | -30.77<< | -1 58 | -8 96 | 1*1 00+2*1 60 |
| 1/ 5/ 11 (C) | -6 73 | 9 10 | 5.07>> | 15 09 | 1*1 50+3*1 60 |
| 1/ 256/ 11 (C) | -8 61 | -24 31 | -14.21<< | -1 38 | 1*1 50+3*1 60 |
| 1/ 5/ 11 (C) | -6 73 | 9 10 | 5 07 | 15.09>> | 1*1 50+3*1 60 |
| 1/ 1/ 9 (C) | -9 58 | -13 61 | -2 61 | -14.33<< | 1*1 50+2*1 60 |
| 2/ 713/ 11 (C) | 54.42>> | -7 42 | 1 96 | -3 29 | 1*1 50+3*1 60 |
| 2/ 166/ 11 (C) | -35.69<< | -20 74 | -2 75 | -14 71 | 1*1 50+3*1 60 |
| 2/ 372/ 10 (C) | 7 31 | 0.84>> | 4 05 | -0 44 | 1*1 00+3*1 60 |
| 2/ 121/ 11 (C) | -33 75 | -21.29<< | -2 33 | -12 48 | 1*1 50+3*1 60 |
| 2/ 756/ 11 (C) | 8 24 | -1 15 | 7.88>> | 0 28 | 1*1 50+3*1 60 |
| 2/ 900/ 11 (C) | 6 49 | -1 39 | -9.60<< | -2 14 | 1*1 50+3*1 60 |
| 2/ 361/ 12 (C) | 4 65 | -18 00 | 0 16 | 7.44>> | 1*1 50+(2+3+4)*1 60 |
| 2/ 211/ 11 (C) | -34 69 | -19 39 | -2 89 | -15.44<< | 1*1 50+3*1 60 |
| 3/ 1360/ 11 (C) | 9.15>> | -5 11 | -0 08 | -0 96 | 1*1 50+3*1 60 |
| 3/ 159/ 11 (C) | -6.21<< | -4 28 | -0 57 | -2 99 | 1*1 50+3*1 60 |
| 3/ 9/ 8 (C) | 2 75 | 4.04>> | -0 25 | -1 02 | 1*1 00+2*1 60 |
| 3/ 1702/ 11 (C) | -0 23 | -18.80<< | -0 01 | -0 72 | 1*1 50+3*1 60 |
| 3/ 1446/ 11 (C) | 0 69 | -0 35 | 0.57>> | 0 02 | 1*1 50+3*1 60 |
| 3/ 144/ 11 (C) | -6 19 | -3 67 | -0.58<< | -2 98 | 1*1 50+3*1 60 |
| 3/ 1451/ 11 (C) | 1 11 | -5 76 | 0 37 | 0.25>> | 1*1 50+3*1 60 |
| 3/ 159/ 11 (C) | -6 21 | -4 28 | -0 57 | -2.99<< | 1*1 50+3*1 60 |
| 4/ 361/ 11 (C) | 43.73>> | 65 80 | -2 61 | -10 74 | 1*1 50+3*1 60 |
| 4/ 361/ 8 (C) | -22.65<< | -30 71 | -2 23 | -9 09 | 1*1 00+2*1 60 |
| 4/ 361/ 11 (C) | 43 73 | 65.80>> | -2 61 | -10 74 | 1*1 50+3*1 60 |
| 4/ 361/ 8 (C) | -22 65 | -30.71<< | -2 23 | -9 09 | 1*1 00+2*1 60 |
| 4/ 2174/ 10 (C) | 6 51 | 23 39 | 5.52>> | 29 06 | 1*1 00+3*1 60 |
| 4/ 2145/ 9 (C) | -3 02 | -16 78 | -4.25<< | -21 46 | 1*1 50+2*1 60 |
| 4/ 2203/ 10 (C) | 8 73 | 25 32 | 5 35 | 29.86>> | 1*1 00+3*1 60 |
| 4/ 2203/ 9 (C) | -5 02 | -18 62 | -4 08 | -21.94<< | 1*1 50+2*1 60 |
| 5/ 894/ 11 (C) | 26.74>> | -8 35 | -2 13 | -3 28 | 1*1 50+3*1 60 |
| 5/ 895/ 8 (C) | -9.47<< | -2 12 | 0 92 | 1 43 | 1*1 00+2*1 60 |
| 5/ 2232/ 10 (C) | 7 37 | 10.62>> | 4 80 | 29 33 | 1*1 00+3*1 60 |
| 5/ 2261/ 11 (C) | 0 84 | -26.15<< | 2 71 | 27 67 | 1*1 50+3*1 60 |
| 5/ 2174/ 10 (C) | 2 62 | 4 62 | 5.82>> | 28 96 | 1*1 00+3*1 60 |
| 5/ 2477/ 11 (C) | 11 40 | -0 51 | -6.44<< | -0 17 | 1*1 50+3*1 60 |
| 5/ 2203/ 10 (C) | 4 82 | 6 98 | 5 77 | 29.68>> | 1*1 00+3*1 60 |
| 5/ 2203/ 9 (C) | -4 20 | -14 39 | -4 21 | -21.94<< | 1*1 50+2*1 60 |
| 6/ 362/ 11 (C) | 28.77>> | -14 08 | -0 42 | -4 07 | 1*1 50+3*1 60 |
| 6/ 361/ 8 (C) | -18.50<< | -12 29 | 0 00 | 0 00 | 1*1 00+2*1 60 |
| 6/ 2233/ 11 (C) | 0 78 | 9.79>> | -3 60 | -27 29 | 1*1 50+3*1 60 |
| 6/ 2714/ 12 (C) | -16 89 | -41.30<< | 2 18 | 0 14 | 1*1 50+(2+3+4)*1 60 |
| 6/ 2708/ 12 (C) | 12 84 | -0 16 | 3.57>> | 0 12 | 1*1 50+(2+3+4)*1 60 |
| 6/ 372/ 12 (C) | 9 32 | 0 06 | -10.62<< | -1 01 | 1*1 50+(2+3+4)*1 60 |
| 6/ 2660/ 12 (C) | 0 63 | -4 75 | 0 12 | 2.28>> | 1*1 50+(2+3+4)*1 60 |
| 6/ 2175/ 12 (C) | -2 16 | -12 37 | -5 57 | -28.74<< | 1*1 50+(2+3+4)*1 60 |
| 7/ 15/ 9 (C) | 6.38>> | 15 23 | 0 02 | 0 10 | 1*1 50+2*1 60 |
| 7/ 1783/ 11 (C) | -8.42<< | -10 08 | -0 01 | -0 13 | 1*1 50+3*1 60 |
| 7/ 15/ 11 (C) | 0 92 | 21.63>> | -0 16 | -0 43 | 1*1 50+3*1 60 |
| 7/ 1812/ 11 (C) | -8 30 | -10.16<< | 0 00 | -0 06 | 1*1 50+3*1 60 |
| 7/ 15/ 8 (C) | 4 99 | 9 13 | 0.04>> | 0 15 | 1*1 00+2*1 60 |
| 7/ 15/ 11 (C) | 0 92 | 21 63 | -0.16<< | -0 43 | 1*1 50+3*1 60 |
| 7/ 2218/ 11 (C) | -4 74 | -6 66 | 0 02 | 0.17>> | 1*1 50+3*1 60 |
| 7/ 15/ 11 (C) | 0 92 | 21 63 | -0 16 | -0.43<< | 1*1 50+3*1 60 |

## 8.2 LISTADOS ESFUERZOS E.L.U. - CORTANTE.

| Panel/Nudo/Caso | NXX (T/m) | NYY (T/m) | QXX (T/m) | QYY (T/m) | Definición |
|---|---|---|---|---|---|
| 1/ 361/ 11 (C) | 33.49>> | 65 95 | 9 28 | -14 40 | 1*1 50+3*1 60 |
| 1/ 361/ 8 (C) | -15.90<< | -30 77 | 0 97 | -8 56 | 1*1 00+2*1 60 |
| 1/ 361/ 11 (C) | 33 49 | 65.95>> | 9 28 | -14 40 | 1*1 50+3*1 60 |
| 1/ 361/ 8 (C) | -15 90 | -30.77<< | 0 97 | -8 56 | 1*1 00+2*1 60 |
| 1/ 197/ 11 (C) | -11 83 | -20 51 | 11.17>> | 6 65 | 1*1 50+3*1 60 |
| 1/ 1/ 11 (C) | -2 01 | 9 28 | -5.90<< | 12 69 | 1*1 50+3*1 60 |
| 1/ 91/ 11 (C) | -14 07 | -12 89 | 1 26 | 16.88>> | 1*1 50+3*1 60 |
| 1/ 361/ 11 (C) | 33 49 | 65 95 | 9 28 | -14.40<< | 1*1 50+3*1 60 |
| 2/ 713/ 11 (C) | 54.42>> | -7 42 | 0 11 | -5 86 | 1*1 50+3*1 60 |
| 2/ 166/ 11 (C) | -35.69<< | -20 74 | 13 73 | -4 46 | 1*1 50+3*1 60 |
| 2/ 372/ 10 (C) | 7 31 | 0.84>> | -7 71 | -1 67 | 1*1 00+3*1 60 |
| 2/ 121/ 11 (C) | -33 75 | -21.29<< | 18 02 | -3 06 | 1*1 50+3*1 60 |
| 2/ 46/ 11 (C) | -20 80 | -19 21 | 22.12>> | 2 02 | 1*1 50+3*1 60 |
| 2/ 900/ 11 (C) | 6 49 | -1 39 | -31.39<< | 2 63 | 1*1 50+3*1 60 |
| 2/ 373/ 9 (C) | -8 06 | -6 55 | 2 57 | 13.41>> | 1*1 50+2*1 60 |
| 2/ 1/ 9 (C) | -7 90 | -9 40 | -4 10 | -11.68<< | 1*1 50+2*1 60 |
| 3/ 1360/ 11 (C) | 9.15>> | -5 11 | -0 05 | 2 27 | 1*1 50+3*1 60 |
| 3/ 159/ 11 (C) | -6.21<< | -4 28 | 2 38 | -3 05 | 1*1 50+3*1 60 |
| 3/ 9/ 8 (C) | 2 75 | 4.04>> | -0 35 | -0 73 | 1*1 00+2*1 60 |
| 3/ 1702/ 11 (C) | -0 23 | -18.80<< | 0 17 | 1 19 | 1*1 50+3*1 60 |
| 3/ 9/ 11 (C) | -3 28 | -10 11 | 2.98>> | 3 24 | 1*1 50+3*1 60 |
| 3/ 1534/ 11 (C) | -0 51 | -0 36 | -1.24<< | 0 03 | 1*1 50+3*1 60 |
| 3/ 9/ 11 (C) | -3 28 | -10 11 | 2 98 | 3.24>> | 1*1 50+3*1 60 |
| 3/ 189/ 11 (C) | -6 18 | -5 75 | 2 31 | -3.09<< | 1*1 50+3*1 60 |
| 4/ 361/ 11 (C) | 43.73>> | 65 80 | 3 79 | -14 40 | 1*1 50+3*1 60 |
| 4/ 361/ 8 (C) | -22.65<< | -30 71 | 1 99 | -8 56 | 1*1 00+2*1 60 |
| 4/ 361/ 11 (C) | 43 73 | 65.80>> | 3 79 | -14 40 | 1*1 50+3*1 60 |
| 4/ 361/ 8 (C) | -22 65 | -30.71<< | 1 99 | -8 56 | 1*1 00+2*1 60 |
| 4/ 2261/ 8 (C) | -5 65 | -7 25 | 5.60>> | 3 60 | 1*1 00+2*1 60 |
| 4/ 2261/ 11 (C) | 11 51 | 12 13 | -9.67<< | 8 86 | 1*1 50+3*1 60 |
| 4/ 2203/ 9 (C) | -5 02 | -18 62 | 2 15 | 13.05>> | 1*1 50+2*1 60 |
| 4/ 361/ 11 (C) | 43 73 | 65 80 | 3 79 | -14.40<< | 1*1 50+3*1 60 |
| 5/ 894/ 11 (C) | 26.74>> | -8 35 | -2 44 | -2 15 | 1*1 50+3*1 60 |
| 5/ 895/ 8 (C) | -9.47<< | -2 12 | 0 92 | 0 80 | 1*1 00+2*1 60 |
| 5/ 2232/ 10 (C) | 7 37 | 10.62>> | -0 86 | 19 55 | 1*1 00+3*1 60 |
| 5/ 2261/ 11 (C) | 0 84 | -26.15<< | -2 15 | 16 44 | 1*1 50+3*1 60 |
| 5/ 1/ 11 (C) | -3 58 | -16 38 | 20.45>> | 7 04 | 1*1 50+3*1 60 |
| 5/ 900/ 11 (C) | 7 88 | -1 09 | -30.72<< | -1 72 | 1*1 50+3*1 60 |
| 5/ 2203/ 11 (C) | 4 62 | 4 83 | 1 98 | 20.77>> | 1*1 50+3*1 60 |
| 5/ 2203/ 8 (C) | -4 00 | -12 24 | -0 30 | -15.54<< | 1*1 00+2*1 60 |
| 6/ 362/ 11 (C) | 28.77>> | -14 08 | -1 80 | -8 20 | 1*1 50+3*1 60 |
| 6/ 361/ 8 (C) | -18.50<< | -12 29 | -0 00 | -0 00 | 1*1 00+2*1 60 |
| 6/ 2233/ 11 (C) | 0 78 | 9.79>> | 2 14 | -15 07 | 1*1 50+3*1 60 |
| 6/ 2714/ 12 (C) | -16 89 | -41.30<< | 4 50 | 0 79 | 1*1 50+(2+3+4)*1 60 |
| 6/ 372/ 12 (C) | 9 32 | 0 06 | 21.85>> | -1 08 | 1*1 50+(2+3+4)*1 60 |
| 6/ 361/ 12 (C) | 5 23 | -17 77 | -8.90<< | -8 75 | 1*1 50+(2+3+4)*1 60 |
| 6/ 2643/ 12 (C) | 9 89 | -3 81 | 3 32 | 1.77>> | 1*1 50+(2+3+4)*1 60 |
| 6/ 2175/ 12 (C) | -2 16 | -12 37 | -1 81 | -19.73<< | 1*1 50+(2+3+4)*1 60 |
| 7/ 15/ 9 (C) | 6.38>> | 15 23 | -0 01 | -0 00 | 1*1 50+2*1 60 |
| 7/ 1783/ 11 (C) | -8.42<< | -10 08 | -0 03 | -0 02 | 1*1 50+3*1 60 |
| 7/ 15/ 11 (C) | 0 92 | 21.63>> | 0 25 | -0 32 | 1*1 50+3*1 60 |
| 7/ 1812/ 11 (C) | -8 30 | -10.16<< | -0 08 | 0 02 | 1*1 50+3*1 60 |
| 7/ 15/ 11 (C) | 0 92 | 21 63 | 0.25>> | -0 32 | 1*1 50+3*1 60 |
| 7/ 2073/ 10 (C) | -3 71 | -2 93 | -0.12<< | -0 01 | 1*1 00+3*1 60 |
| 7/ 2218/ 11 (C) | -4 74 | -6 66 | -0 08 | 0.16>> | 1*1 50+3*1 60 |
| 7/ 15/ 11 (C) | 0 92 | 21 63 | 0 25 | -0.32<< | 1*1 50+3*1 60 |

## 8.3 LISTADOS ESFUERZOS E.L.S.

| Panel/Nudo/Caso | NXX (T/m) | NYY (T/m) | MXX (Tm/m) | MYY (Tm/m) | Definición |
|---|---|---|---|---|---|
| 1/ 361/ 6 (C) | 21.19>> | 41 63 | 0 00 | -7 00 | (1+3)*1 00 |
| 1/ 136/ 6 (C) | -9.87<< | -12 34 | -5 64 | -3 44 | (1+3)*1 00 |
| 1/ 361/ 6 (C) | 21 19 | 41.63>> | 0 00 | -7 00 | (1+3)*1 00 |
| 1/ 361/ 5 (C) | -8 35 | -16.77<< | -1 39 | -9 30 | (1+2)*1 00 |
| 1/ 5/ 6 (C) | -4 45 | 5 55 | 3.28>> | 9 65 | (1+3)*1 00 |
| 1/ 271/ 6 (C) | -4 84 | -15 54 | -9.29<< | -0 72 | (1+3)*1 00 |
| 1/ 5/ 6 (C) | -4 45 | 5 55 | 3 28 | 9.65>> | (1+3)*1 00 |
| 1/ 361/ 5 (C) | -8 35 | -16 77 | -1 39 | -9.30<< | (1+2)*1 00 |
| 2/ 713/ 6 (C) | 34.73>> | -4 93 | 1 25 | -2 09 | (1+3)*1 00 |
| 2/ 166/ 6 (C) | -22.94<< | -13 54 | -1 81 | -9 65 | (1+3)*1 00 |
| 2/ 372/ 7 (C) | 7 09 | 0.46>> | 1 13 | -0 53 | (1+2+3+4)*1 00 |
| 2/ 121/ 6 (C) | -21 73 | -13.87<< | -1 54 | -8 24 | (1+3)*1 00 |
| 2/ 756/ 6 (C) | 5 16 | -0 75 | 5.01>> | 0 18 | (1+3)*1 00 |
| 2/ 900/ 6 (C) | 4 02 | -0 90 | -6.07<< | -1 36 | (1+3)*1 00 |
| 2/ 361/ 7 (C) | 2 95 | -11 94 | 0 02 | 4.64>> | (1+2+3+4)*1 00 |
| 2/ 211/ 6 (C) | -22 29 | -12 68 | -1 90 | -10.11<< | (1+3)*1 00 |
| 3/ 1360/ 6 (C) | 6.02>> | -3 41 | -0 06 | -0 64 | (1+3)*1 00 |
| 3/ 174/ 6 (C) | -4.07<< | -3 39 | -0 37 | -1 97 | (1+3)*1 00 |
| 3/ 9/ 5 (C) | 1 85 | 2.17>> | -0 16 | -0 84 | (1+2)*1 00 |
| 3/ 1702/ 6 (C) | -0 15 | -12.30<< | -0 01 | -0 48 | (1+3)*1 00 |
| 3/ 1446/ 6 (C) | 0 45 | -0 23 | 0.37>> | 0 01 | (1+3)*1 00 |
| 3/ 144/ 6 (C) | -4 05 | -2 53 | -0.38<< | -1 95 | (1+3)*1 00 |
| 3/ 1451/ 6 (C) | 0 73 | -3 80 | 0 24 | 0.16>> | (1+3)*1 00 |
| 3/ 159/ 6 (C) | -4 07 | -2 93 | -0 38 | -1.97<< | (1+3)*1 00 |
| 4/ 361/ 6 (C) | 27.63>> | 41 55 | -1 78 | -7 34 | (1+3)*1 00 |
| 4/ 361/ 5 (C) | -12.40<< | -16 68 | -2 29 | -9 47 | (1+2)*1 00 |
| 4/ 361/ 6 (C) | 27 63 | 41.55>> | -1 78 | -7 34 | (1+3)*1 00 |
| 4/ 361/ 5 (C) | -12 40 | -16.68<< | -2 29 | -9 47 | (1+2)*1 00 |
| 4/ 2174/ 6 (C) | 4 29 | 14 72 | 3.39>> | 17 94 | (1+3)*1 00 |
| 4/ 2145/ 5 (C) | -1 85 | -10 47 | -2.67<< | -13 47 | (1+2)*1 00 |
| 4/ 2203/ 6 (C) | 5 70 | 15 97 | 3 29 | 18.50>> | (1+3)*1 00 |
| 4/ 2203/ 5 (C) | -3 10 | -11 61 | -2 56 | -13.74<< | (1+2)*1 00 |
| 5/ 894/ 6 (C) | 17.08>> | -5 45 | -1 35 | -2 10 | (1+3)*1 00 |
| 5/ 1/ 5 (C) | -4.63<< | -5 95 | -1 25 | -9 03 | (1+2)*1 00 |
| 5/ 2232/ 6 (C) | 4 43 | 5.13>> | 3 00 | 18 19 | (1+3)*1 00 |
| 5/ 2261/ 6 (C) | 0 46 | -16.74<< | 1 71 | 17 29 | (1+3)*1 00 |
| 5/ 2174/ 6 (C) | 1 47 | 1 18 | 3.60>> | 17 86 | (1+3)*1 00 |
| 5/ 2477/ 6 (C) | 7 26 | -0 34 | -4.09<< | -0 11 | (1+3)*1 00 |
| 5/ 2203/ 6 (C) | 2 86 | 2 75 | 3 59 | 18.37>> | (1+3)*1 00 |
| 5/ 2203/ 5 (C) | -2 65 | -9 26 | -2 63 | -13.74<< | (1+2)*1 00 |
| 6/ 363/ 6 (C) | 18.28>> | -8 70 | -0 42 | -1 40 | (1+3)*1 00 |
| 6/ 361/ 5 (C) | -11.13<< | -11 97 | 0 00 | 0 00 | (1+2)*1 00 |
| 6/ 2233/ 6 (C) | 0 55 | 6.32>> | -2 25 | -17 06 | (1+3)*1 00 |
| 6/ 2714/ 7 (C) | -10 54 | -25.83<< | 1 36 | 0 09 | (1+2+3+4)*1 00 |
| 6/ 2708/ 7 (C) | 8 26 | -0 12 | 2.23>> | 0 08 | (1+2+3+4)*1 00 |
| 6/ 372/ 7 (C) | 5 94 | 0 02 | -6.64<< | -0 63 | (1+2+3+4)*1 00 |
| 6/ 2660/ 7 (C) | 0 40 | -3 07 | 0 08 | 1.43>> | (1+2+3+4)*1 00 |
| 6/ 2175/ 7 (C) | -1 39 | -7 96 | -3 48 | -17.96<< | (1+2+3+4)*1 00 |
| 7/ 15/ 5 (C) | 4.16>> | 10 28 | 0 01 | 0 06 | (1+2)*1 00 |
| 7/ 1783/ 6 (C) | -5.43<< | -6 69 | -0 01 | -0 08 | (1+3)*1 00 |
| 7/ 15/ 6 (C) | 0 75 | 14.28>> | -0 10 | -0 27 | (1+3)*1 00 |
| 7/ 1812/ 6 (C) | -5 36 | -6.74<< | 0 00 | -0 04 | (1+3)*1 00 |
| 7/ 2218/ 6 (C) | -3 02 | -4 40 | 0.01>> | 0 11 | (1+3)*1 00 |
| 7/ 15/ 6 (C) | 0 75 | 14 28 | -0.10<< | -0 27 | (1+3)*1 00 |
| 7/ 2218/ 6 (C) | -3 02 | -4 40 | 0 01 | 0.11>> | (1+3)*1 00 |
| 7/ 15/ 6 (C) | 0 75 | 14 28 | -0 10 | -0.27<< | (1+3)*1 00 |

# 9. DIMENSIONAMIENTO DE ARMADURAS PARA ELU.

## 9.1 ARMADURAS PARA E.L.U. DE FLEXIÓN.

Para dimensionar la armadura se parte de la cuantía mínima indicada en la norma E.H.E., y se comprueba su validez para los máximos esfuerzos obtenidos en las estructuras modelizadas.

Las armaduras se obtienen empleando una hoja de cálculo, especialmente programada para el dimensionamiento de secciones rectangulares de hormigón armado sometidas a esfuerzos de flexión compuesta.

Las cuantías mínimas indicadas en la instrucción E.H.E. son las siguientes:

**Cuantía mecánica:** $A_s \geq 0.04 \cdot A_c \cdot \frac{f_{cd}}{f_{yd}}$

**Losa:** $A_s \geq 0.0018 \cdot A_c$ (a repartir entre ambas caras)

**Muro:** $A_{sh} \geq 0.0032 \cdot A_c$ (a repartir entre ambas caras)

$A_{sv} \geq 0.0009 \cdot A_c$ (en cara de tracción)

## 9.2 ARMADURAS PARA ELU DE CORTANTE.

El Estado Límite de Agotamiento por esfuerzo cortante se puede alcanzar, ya sea por agotarse la resistencia a compresión del alma, o por agotarse su resistencia a tracción. En consecuencia, es necesario comprobar que se cumple simultáneamente:

$$V_{rd} \leq V_{u1}$$

$$V_{rd} \leq V_{u2}$$

Las comprobaciones se realizan empleando una hoja de cálculo, especialmente programada para el dimensionamiento de secciones rectangulares de hormigón armado sometidas a esfuerzos de cortante, inicialmente se tantea como armadura de flexión con la máxima de las cuantías mínimas necesarias, bien geométrica o mecánica.

En la hoja se introducen las características de las secciones y de los materiales, hormigón y acero, y los esfuerzos obtenidos de los modelos en la combinación más desfavorable.

## 10. COMPROBACIONES DEL ELS DE FISURACIÓN.

La comprobación general del Estado Límite de Fisuración por tracción consiste en satisfacer la siguiente inecuación:

$$w_k \leq w_{max}$$

Las aberturas de fisuras se obtienen empleando una hoja de cálculo, especialmente programada para el caso de secciones rectangulares de hormigón armado sometidas a esfuerzos de flexión compuesta.

En la hoja se introducen las características de las secciones y de los materiales, hormigón y acero, y los esfuerzos obtenidos de los modelos en la combinación más desfavorable y para la situación cuasipermanente.

La fisuración no se produce si el momento de servicio actuante es inferior al momento de fisuración de la sección, que es aquel para el que la fibra más traccionada de hormigón alcanza el valor $f_{ct,m}$.

Caso de que no se cumpliese la inecuación de partida se elevará la cuantía de la armadura hasta que la abertura sea inferior a la máxima admisible.

# 11. COMPROBACIONES EN PARED EXTERIOR (TRAMO RECTO)

## 11.1 AGOTAMIENTO POR FLEXIÓN

| REFERENCIA SECCIÓN | MATERIALES | | GEOMETRÍA DE LA SECCIÓN | | | | | SOLICITACIONES | |
|---|---|---|---|---|---|---|---|---|---|
| | Resistencia del hormigón (T/m2) | Resistencia del acero (T/m2) | Ancho (m) | Canto (m) | Recubrimiento (m) | Canto útil (m) | Disposición: Pilar 1 Losa 2 Viga 3 Muro 4 | Momento (T m) | Axil (T) Compresión (+) |
| PANEL 5 | 3000.000 | 51000.000 | 1.000 | 0.500 | 0.050 | 0.450 | 4 | -2.130 | -26.740 |
| PANEL 5 | 3000.000 | 51000.000 | 1.000 | 0.500 | 0.050 | 0.450 | 4 | 0.920 | 9.470 |
| PANEL 5 | 3000.000 | 51000.000 | 1.000 | 0.500 | 0.050 | 0.450 | 4 | 5.820 | -2.620 |
| PANEL 5 | 3000.000 | 51000.000 | 1.000 | 0.500 | 0.050 | 0.450 | 4 | -6.440 | -11.400 |
| PANEL 5 | 3000.000 | 51000.000 | 1.000 | 0.500 | 0.050 | 0.450 | 4 | 29.330 | -10.620 |
| PANEL 5 | 3000.000 | 51000.000 | 1.000 | 0.500 | 0.050 | 0.450 | 4 | 27.670 | 26.150 |
| PANEL 5 | 3000.000 | 51000.000 | 1.000 | 0.500 | 0.050 | 0.450 | 4 | 29.680 | -6.980 |
| PANEL 5 | 3000.000 | 51000.000 | 1.000 | 0.500 | 0.050 | 0.450 | 4 | -21.940 | 14.390 |

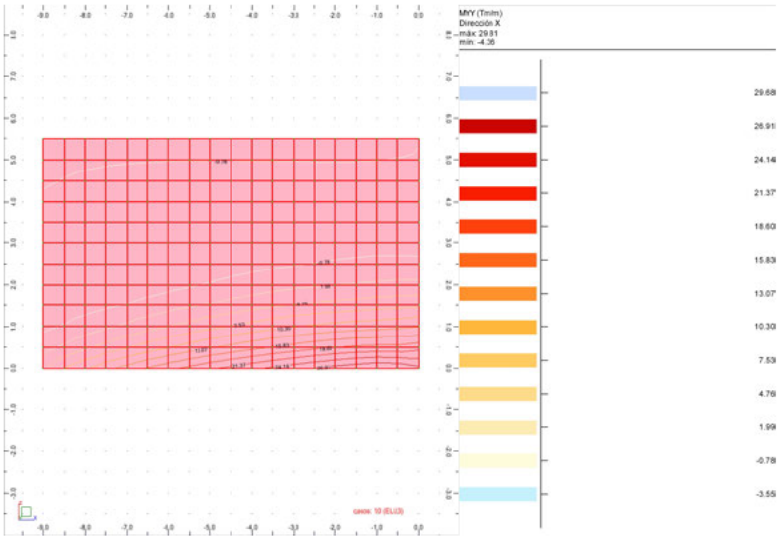
| RESULTADOS Md<=Mlim | | | | | |
|---|---|---|---|---|---|
| $M_{As}$ | $E_{yd}$ | $x_{lm}$ | $M_{lim}$ | x | As |
| -3.218 | 0.002217 | 0.275 | 127.309 | -0.005 | 0.000442 |
| 2.814 | 0.002217 | 0.275 | 127.309 | 0.005 | -0.000072 |
| 5.296 | 0.002217 | 0.275 | 127.309 | 0.009 | 0.000327 |
| 4.160 | 0.002217 | 0.275 | 127.309 | 0.007 | 0.000467 |
| 27.206 | 0.002217 | 0.275 | 127.309 | 0.046 | 0.001661 |
| 32.900 | 0.002217 | 0.275 | 127.309 | 0.057 | 0.001146 |
| 28.284 | 0.002217 | 0.275 | 127.309 | 0.048 | 0.001638 |
| 24.818 | 0.002217 | 0.275 | 127.309 | 0.042 | 0.000968 |

| CUANTÍAS MÍNIMAS | | ARMADURA NECESARIA | | ARMADURA DISPUESTA | | |
|---|---|---|---|---|---|---|
| Mecánica | Geométrica | Cara de tracción (cm2) | Cara de compresión (cm2) | NÚMERO | DIÁMETRO | ÁREA ARMADURA DE TRACCIÓN DISPUESTA |
| 0.000940 | 0.000450 | 9.40 | 9.40 | 5 | 16 | 10.053 |
| 0.000940 | 0.000450 | 9.40 | 9.40 | 5 | 16 | 10.053 |
| 0.000940 | 0.000450 | 9.40 | 9.40 | 5 | 16 | 10.053 |
| 0.000940 | 0.000450 | 9.40 | 9.40 | 5 | 16 | 10.053 |
| 0.000940 | 0.000450 | 16.61 | 16.61 | 6 | 20 | 18.850 |
| 0.000940 | 0.000450 | 11.46 | 11.46 | 4 | 20 | 12.566 |
| 0.000940 | 0.000450 | 16.38 | 16.38 | 6 | 20 | 18.850 |
| 0.000940 | 0.000450 | 9.68 | 9.68 | 5 | 16 | 10.053 |

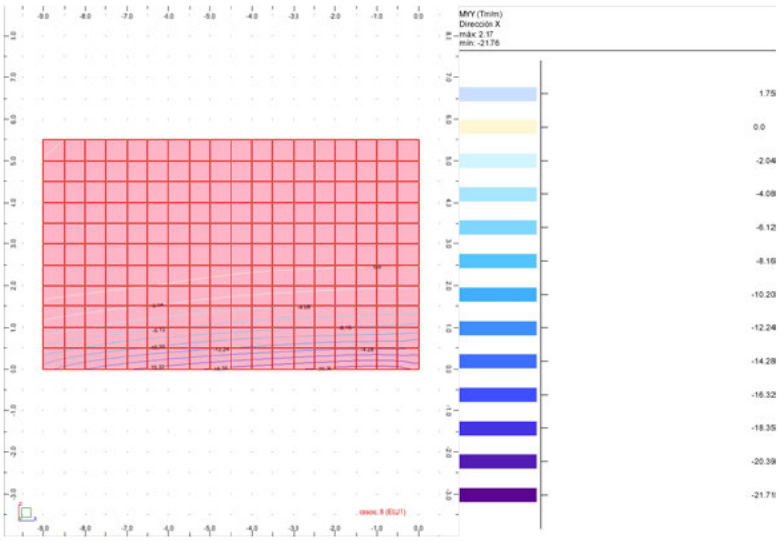
Para resistir el agotamiento por E.L.U. de flexión es necesario disponer una armadura vertical en arranque de muro de 6□20 p.m.l. en cara interior y de 4□20 p.m.l. en cara exterior.

En las siguientes figuras se muestran los diagramas de isolíneas de momentos flectores verticales en ambas caras.

## MYY (Tm/m) CARA INTERIOR (ELU3) AMPLIACIÓN




## MYY (Tm/m) CARA EXTERIOR (ELU1) AMPLIACIÓN



## 11.2 AGOTAMIENTO POR ESFUERZO CORTANTE.

Se comprueba el cortante máximo de cálculo en arranque de muro, combinado con el axil de compresión del peso propio del muro sin mayorar.

| REFERENCIA SECCIÓN | MATERIALES | | GEOMETRÍA DE LA SECCIÓN | | | | | SOLICITACIONES | |
|---|---|---|---|---|---|---|---|---|---|
| | Resistencia del hormigón (T/m2) | Resistencia del acero (T/m2) | Ancho (m) | Anchura neta mínima del elemento (m) | Canto (m) | Recubrimiento (m) | Canto útil (m) | Cortante (T) | Axil (T) Compresión (+) |
| PANEL 5 | 3000.000 | 51000.000 | 1.000 | 1.000 | 0.500 | 0.050 | 0.450 | 20.770 | 6.875 |

| Vu1 (Agotamiento por compresión oblicua en el alma) | | | | Vu2 (Agotamiento por tracción en el alma) Sin armadura de cortante | | | Vu2 (Agotamiento por tracción en el alma) Con armadura de cortante | |
|---|---|---|---|---|---|---|---|---|
| K | cotg(Alfa) | cotg(Teta) | Vu1 | Cuantía geométrica de armadura longitudinal traccionada | Epsilon | Vu2 (T) | Vcu (T) (Contribución del hormigón) | Área necesaria de cortante (cm2) $A_{90}$ |
| 1.655 | 0.000000 | 1.000 | 270.000 | 0.004 | 1.667 | 21.852 | 17.437 | 0.00 |

## 11.3 ESTADO LÍMITE DE FISURACIÓN.

En sentido vertical, se comprueban los máximos flectores negativos y positivos en arranque de muro combinados con el axil debido al peso propio del muro sin mayorar.

| | | | MATERIALES | | | | GEOMÉTRIA | | | As Tracc. | | As Comp. | | | | Esf. Caracterist. | |
|---|---|---|---|---|---|---|---|---|---|---|---|---|---|---|---|---|---|
| Tipo Amb. | Wk,adm (mm) | Viga Losa | fck (Kg/cm2) | γc | fyk (Kg/cm2) | γs | Ancho b(cm) | Canto h(cm) | Recu (cm) | ϕ (mm) | n°ϕ | ϕ (mm) | n°ϕ | kl | k2 | Nk (T) | Mk (mT) |
| Qb | 0 10 | L | 300 | 1 5 | 5100 | 1 15 | 100 | 50 | 5 | 16 | 5 | 16 | 5 | 0 129 | 0 5 | 17 08 | 1 35 |
| Qb | 0 10 | L | 300 | 1 5 | 5100 | 1 15 | 100 | 50 | 5 | 16 | 5 | 16 | 5 | 0 125 | 0 5 | -4 63 | 1 25 |
| Qb | 0 10 | L | 300 | 1 5 | 5100 | 1 15 | 100 | 50 | 5 | 16 | 3 | 16 | 5 | 0 125 | 0 5 | 1 47 | 3 6 |
| Qb | 0 10 | L | 300 | 1 5 | 5100 | 1 15 | 100 | 50 | 5 | 16 | 5 | 16 | 5 | 0 125 | 0 5 | 7 26 | 4 09 |
| Qb | 0 10 | L | 300 | 1 5 | 5100 | 1 15 | 100 | 50 | 5 | 25 | 8 | 20 | 4 | 0 125 | 0 5 | -6 875 | 18 37 |
| Qb | 0 10 | L | 300 | 1 5 | 5100 | 1 15 | 100 | 50 | 4 | 20 | 4 | 20 | 6 | 0 125 | 0 5 | -6 875 | 13 74 |

| Sm (cm) | Nfis (T) | Mfis (mT) | σsr (Kg/cm2) | σs (Kg/cm2) | εsm | wk (mm) | Comentario |
|---|---|---|---|---|---|---|---|
| 24 30 | 80 30 | 6 35 | 5637 62 | 1199 20 | 0 00023 | 0 094 | Cumple |
| 23 95 | -71 13 | 19 20 | 1323 77 | 9 44 | 0 00000 | 0 001 | Cumple |
| 26 74 | 5 13 | 12 57 | 5369 58 | 48 76 | 0 00001 | 0 004 | Cumple |
| 23 95 | 20 31 | 11 44 | 3781 31 | 62 56 | 0 00001 | 0 005 | Cumple |
| 16 48 | -5 52 | 14 76 | 887 70 | 1104 78 | 0 00036 | 0 100 | Cumple |
| 22 95 | -7 05 | 14 09 | 2381 35 | 169 39 | 0 00003 | 0 013 | Cumple |

Para evitar una abertura de fisura superior a 0.1 mm. es necesario aumentar la cuantía de armadura en la cara interior a 8□25 p.m.l.

# 12. COMPROBACIONES EN PARED EXTERIOR (TRAMO CURVO)

## 12.1 AGOTAMIENTO POR FLEXIÓN

| REFERENCIA SECCIÓN | MATERIALES | | GEOMETRÍA DE LA SECCIÓN | | | | | SOLICITACIONES | |
|---|---|---|---|---|---|---|---|---|---|
| | Resistencia del hormigón (T/m2) | Resistencia del acero (T/m2) | Ancho (m) | Canto (m) | Recubrimiento (m) | Canto útil (m) | Disposición: Pilar 1 Losa 2 Viga 3 Muro 4 | Momento (T m) | Axil (T) Compresión (+) |
| PANEL 2 | 3000.000 | 51000.000 | 1.000 | 0.500 | 0.050 | 0.450 | 4 | 1.960 | -54.420 |
| PANEL 2 | 3000.000 | 51000.000 | 1.000 | 0.500 | 0.050 | 0.450 | 4 | -2.750 | 35.690 |
| PANEL 2 | 3000.000 | 51000.000 | 1.000 | 0.500 | 0.050 | 0.450 | 4 | 7.880 | -8.240 |
| PANEL 2 | 3000.000 | 51000.000 | 1.000 | 0.500 | 0.050 | 0.450 | 4 | -9.600 | -6.490 |
| PANEL 2 | 3000.000 | 51000.000 | 1.000 | 0.500 | 0.050 | 0.450 | 4 | -0.440 | -0.840 |
| PANEL 2 | 3000.000 | 51000.000 | 1.000 | 0.500 | 0.050 | 0.450 | 4 | -12.480 | 21.290 |
| PANEL 2 | 3000.000 | 51000.000 | 1.000 | 0.500 | 0.050 | 0.450 | 4 | 7.440 | 18.000 |
| PANEL 2 | 3000.000 | 51000.000 | 1.000 | 0.500 | 0.050 | 0.450 | 4 | -15.440 | 19.390 |

| RESULTADOS Md<=Mlim | | | | | |
|---|---|---|---|---|---|
| $M_{As}$ | $E_{yd}$ | $x_{lim}$ | $M_{lim}$ | x | As |
| -8.924 | 0.002217 | 0.275 | 127.309 | -0.014 | 0.000786 |
| 9.888 | 0.002217 | 0.275 | 127.309 | 0.016 | -0.000302 |
| 6.232 | 0.002217 | 0.275 | 127.309 | 0.010 | 0.000501 |
| 8.302 | 0.002217 | 0.275 | 127.309 | 0.014 | 0.000567 |
| 0.272 | 0.002217 | 0.275 | 127.309 | 0.000 | 0.000033 |
| 16.738 | 0.002217 | 0.275 | 127.309 | 0.028 | 0.000380 |
| 11.040 | 0.002217 | 0.275 | 127.309 | 0.018 | 0.000156 |
| 19.318 | 0.002217 | 0.275 | 127.309 | 0.033 | 0.000560 |

| CUANTÍAS MÍNIMAS | | ARMADURA NECESARIA | | ARMADURA DISPUESTA | | |
|---|---|---|---|---|---|---|
| Mecánica | Geométrica | Cara de tracción (cm2) | Cara de compresión (cm2) | NÚMERO | DIÁMETRO | ÁREA ARMADURA DE TRACCIÓN DISPUESTA |
| 0.000940 | 0.000450 | 9.40 | 9.40 | 5 | 16 | 10.053 |
| 0.000940 | 0.000450 | 9.40 | 9.40 | 5 | 16 | 10.053 |
| 0.000940 | 0.000450 | 9.40 | 9.40 | 5 | 16 | 10.053 |
| 0.000940 | 0.000450 | 9.40 | 9.40 | 5 | 16 | 10.053 |
| 0.000940 | 0.000450 | 9.40 | 9.40 | 5 | 16 | 10.053 |
| 0.000940 | 0.000450 | 9.40 | 9.40 | 5 | 16 | 10.053 |
| 0.000940 | 0.000450 | 9.40 | 9.40 | 5 | 16 | 10.053 |
| 0.000940 | 0.000450 | 9.40 | 9.40 | 5 | 16 | 10.053 |

## 12.2 AGOTAMIENTO POR ESFUERZO CORTANTE

Se comprueba el cortante máximo de cálculo en arranque de muro, combinado con el axil de compresión del peso propio del muro sin mayorar.

| REFERENCIA SECCIÓN | MATERIALES | | GEOMETRÍA DE LA SECCIÓN | | | | | SOLICITACIONES | |
|---|---|---|---|---|---|---|---|---|---|
| | Resistencia del hormigón (T/m2) | Resistencia del acero (T/m2) | Ancho (m) | Anchura neta mínima del elemento (m) | Canto (m) | Recubrimiento (m) | Canto útil (m) | Cortante (T) | Axil (T) Compresión (+) |
| PANEL 2 | 3000.000 | 51000.000 | 1.000 | 1.000 | 0.500 | 0.050 | 0.450 | 13.410 | 6.875 |

| Vu1 (Agotamiento por compresión oblicua en el alma) | | | | Vu2 (Agotamiento por tracción en el alma) Sin armadura de cortante | | | Vu2 (Agotamiento por tracción en el alma) Con armadura de cortante | |
|---|---|---|---|---|---|---|---|---|
| K | cotg(Alfa) | cotg(Teta) | Vu1 | Cuantía geométrica de armadura longitudinal traccionada | Epsilon | Vu2 (T) | Vcu (T) (Contribución del hormigón) | Área necesaria de cortante (cm2) $A_{90}$ |
| 1.655 | 0.000000 | 1.000 | 270.000 | 0.002 | 1.667 | 17.897 | 14.140 | 0.00 |

## 12.3 ESTADO LÍMITE DE FISURACIÓN.

En sentido vertical, se comprueban los máximos flectores negativos y positivos en arranque de muro combinados con el axil debido al peso propio del muro sin mayorar.

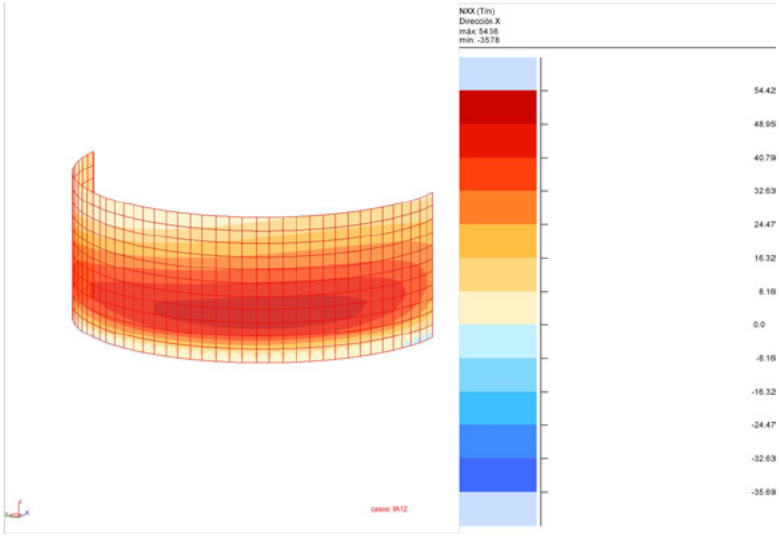
| | | | MATERIALES | | | | GEOMÉTRIA | | | As Tracc. | | As Comp. | | | | Esf. Caracterist. | |
|---|---|---|---|---|---|---|---|---|---|---|---|---|---|---|---|---|---|
| Tipo Amb. | Wk,adm (mm) | Viga Losa | fck (Kg/cm2) | γc | fyk (Kg/cm2) | γs | Ancho b(cm) | Canto h(cm) | Recu (cm) | ϕ (mm) | n°ϕ | ϕ (mm) | n°ϕ | kl | k2 | Nk (T) | Mk (mT) |
| Qb | 0 10 | L | 300 | 1 5 | 5100 | 1 15 | 100 | 50 | 5 | 20 | 6 | 20 | 6 | 0 176 | 0 5 | 34 73 | 1 25 |
| Qb | 0 10 | L | 300 | 1 5 | 5100 | 1 15 | 100 | 50 | 5 | 16 | 5 | 16 | 5 | 0 125 | 0 5 | 5 16 | 5 01 |
| Qb | 0 10 | L | 300 | 1 5 | 5100 | 1 15 | 100 | 50 | 5 | 16 | 5 | 16 | 5 | 0 125 | 0 5 | 4 02 | 6 07 |
| Qb | 0 10 | L | 300 | 1 5 | 5100 | 1 15 | 100 | 50 | 5 | 16 | 5 | 16 | 5 | 0 125 | 0 5 | -6 875 | 4 64 |
| Qb | 0 10 | L | 300 | 1 5 | 5100 | 1 15 | 100 | 50 | 5 | 16 | 5 | 16 | 5 | 0 125 | 0 5 | -6 875 | 10 11 |

| Sm (cm) | Nfis (T) | Mfis (mT) | σsr (Kg/cm2) | σs (Kg/cm2) | εsm | wk (mm) | Comentario |
|---|---|---|---|---|---|---|---|
| 22 69 | 111 68 | 4 02 | 3523 43 | 1095 75 | 0 00021 | 0 080 | Cumple |
| 23 95 | 12 47 | 12 11 | 3530 71 | 71 35 | 0 00001 | 0 006 | Cumple |
| 23 95 | 8 25 | 12 46 | 3397 96 | 83 30 | 0 00002 | 0 006 | Cumple |
| 23 95 | -22 31 | 15 06 | 2486 57 | 49 61 | 0 00001 | 0 004 | Cumple |
| 23 95 | -9 50 | 13 97 | 2856 29 | 119 55 | 0 00002 | 0 009 | Cumple |

Para evitar una abertura de fisura superior a 0.1 mm. es necesario aumentar la cuantía de armadura horizontal en el tramo de altura comprendido entre 0.5 y 3.5 metros a 6□20 p.m.l.

Se puede observar en la siguiente figura la distribución de axiles en el muro.

## NXX (T/m) Dirección X casos: 8A12 (+) AMPLIACIÓN



# 13. COMPROBACIONES EN PARED EXTERIOR (CIMENTACIÓN)

## 13.1 AGOTAMIENTO POR FLEXIÓN

| REFERENCIA SECCIÓN | MATERIALES | | GEOMETRÍA DE LA SECCIÓN | | | | | SOLICITACIONES | |
|---|---|---|---|---|---|---|---|---|---|
| | Resistencia del hormigón (T/m2) | Resistencia del acero (T/m2) | Ancho (m) | Canto (m) | Recubrimiento (m) | Canto útil (m) | Disposición: Pilar 1 Losa 2 Viga 3 Muro 4 | Momento (T m) | Axil (T) Compresión (+) |
| PANEL 4 | 3000.000 | 51000.000 | 1.000 | 0.500 | 0.050 | 0.450 | 2 | -2.610 | -43.730 |
| PANEL 4 | 3000.000 | 51000.000 | 1.000 | 0.500 | 0.050 | 0.450 | 2 | -2.230 | 22.650 |
| PANEL 4 | 3000.000 | 51000.000 | 1.000 | 0.500 | 0.050 | 0.450 | 2 | 5.520 | -6.510 |
| PANEL 4 | 3000.000 | 51000.000 | 1.000 | 0.500 | 0.050 | 0.450 | 2 | -4.250 | 3.020 |
| PANEL 4 | 3000.000 | 51000.000 | 1.000 | 0.500 | 0.050 | 0.450 | 2 | -10.740 | -65.800 |
| PANEL 4 | 3000.000 | 51000.000 | 1.000 | 0.500 | 0.050 | 0.450 | 2 | -9.090 | 30.710 |
| PANEL 4 | 3000.000 | 51000.000 | 1.000 | 0.500 | 0.050 | 0.450 | 2 | 29.860 | -25.320 |
| PANEL 4 | 3000.000 | 51000.000 | 1.000 | 0.500 | 0.050 | 0.450 | 2 | -21.940 | 18.620 |

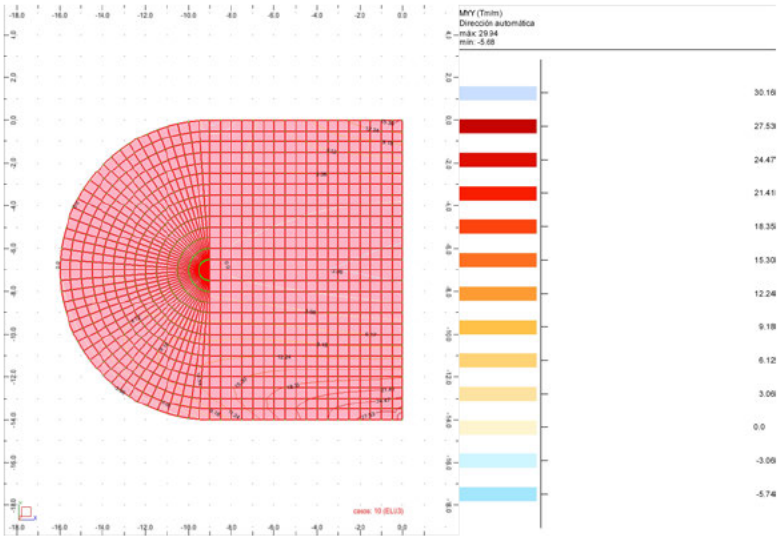
| RESULTADOS Md<=Mlim | | | | | |
|---|---|---|---|---|---|
| $M_{As}$ | $E_{yd}$ | $x_{lim}$ | $M_{lim}$ | x | As |
| -6.136 | 0.002217 | 0.275 | 127.309 | -0.010 | 0.000681 |
| 6.760 | 0.002217 | 0.275 | 127.309 | 0.011 | -0.000169 |
| 4.218 | 0.002217 | 0.275 | 127.309 | 0.007 | 0.000359 |
| 4.854 | 0.002217 | 0.275 | 127.309 | 0.008 | 0.000177 |
| -2.420 | 0.002217 | 0.275 | 127.309 | -0.004 | 0.001363 |
| 15.232 | 0.002217 | 0.275 | 127.309 | 0.025 | 0.000088 |
| 24.796 | 0.002217 | 0.275 | 127.309 | 0.042 | 0.001862 |
| 25.664 | 0.002217 | 0.275 | 127.309 | 0.044 | 0.000918 |

| CUANTÍAS MÍNIMAS | | ARMADURA NECESARIA | | ARMADURA DISPUESTA | | |
|---|---|---|---|---|---|---|
| Mecánica | Geométrica | Cara de tracción (cm2) | Cara de compresión (cm2) | NÚMERO | DIÁMETRO | ÁREA ARMADURA DE TRACCIÓN DISPUESTA |
| 0.000940 | 0.000450 | 9.40 | 9.40 | 5 | 16 | 10.053 |
| 0.000940 | 0.000450 | 9.40 | 9.40 | 5 | 16 | 10.053 |
| 0.000940 | 0.000450 | 9.40 | 9.40 | 5 | 16 | 10.053 |
| 0.000940 | 0.000450 | 9.40 | 9.40 | 5 | 16 | 10.053 |
| 0.000940 | 0.000450 | 13.63 | 13.63 | 5 | 20 | 15.708 |
| 0.000940 | 0.000450 | 9.40 | 9.40 | 5 | 16 | 10.053 |
| 0.000940 | 0.000450 | 18.62 | 18.62 | 6 | 20 | 18.850 |
| 0.000940 | 0.000450 | 9.40 | 9.40 | 5 | 16 | 10.053 |

Para resistir el agotamiento por E.L.U. de flexión es necesario disponer una armadura horizontal en dirección perpendicular al arranque del muro de 6□20 p.m.l. en una longitud de 2.50 metros, en el resto se puede disponer la cuantía mínima de 5□16 p.m.l.

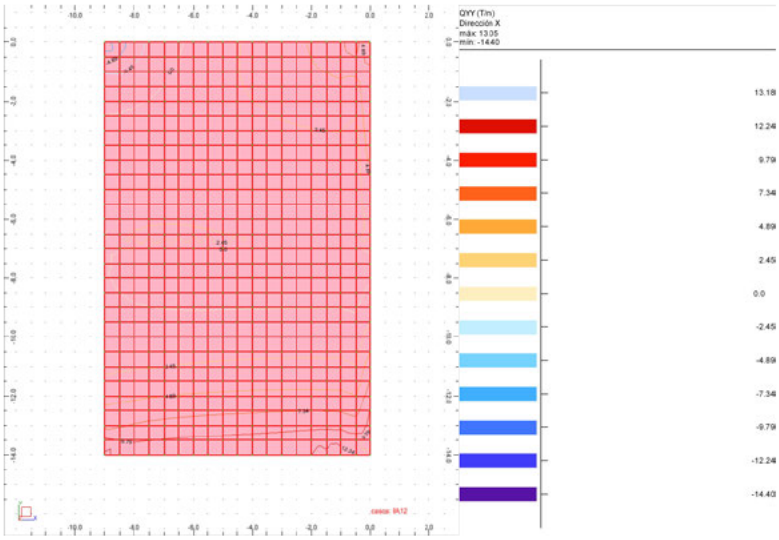
En la siguiente figura se muestra el diagrama de isolíneas de momentos flectores.

## MYY (Tm/m) (ELU3) AMPLIACIÓN

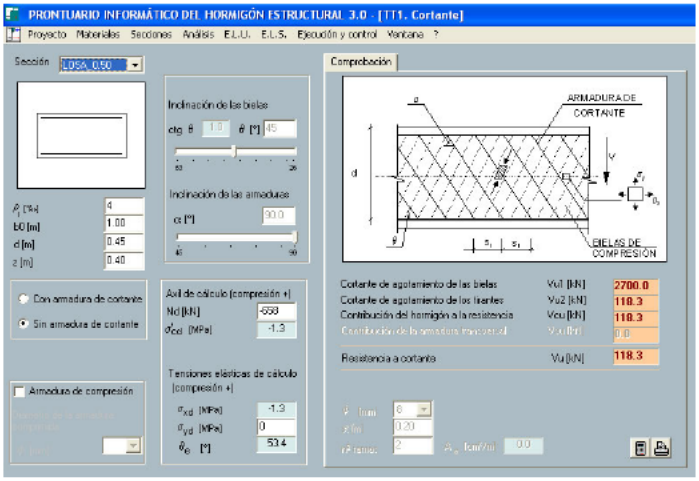


## 13.2 AGOTAMIENTO POR ESFUERZO CORTANTE

**QYY (T/m) casos: 8A12 (+) AMPLIACIÓN**




Se toma como cortante de cálculo el esfuerzo que aparece a una distancia de un canto útil del borde del muro ($V_{Rd}$ = 9.79 T/m). Se comprueba que con este valor y su axil concomitante no se supere el valor máximo de cortante resistido por la sección sin armadura de cortante.



## 13.3 ESTADO LÍMITE DE FISURACIÓN.

| | | | MATERIALES | | | | GEOMÉTRIA | | | As Tracc. | | As Comp. | | | | Esf. Caracterist. | |
|---|---|---|---|---|---|---|---|---|---|---|---|---|---|---|---|---|---|
| Tipo Amb. | Wk,adm (mm) | Viga Losa | fck (Kg/cm2) | γc | fyk (Kg/cm2) | γs | Ancho b(cm) | Canto h(cm) | Recu (cm) | ϕ (mm) | n°ϕ | ϕ (mm) | n°ϕ | k1 | k2 | Nk (T) | Mk (mT) |
| Qb | 0 10 | L | 300 | 1 5 | 5100 | 1 15 | 100 | 50 | 5 | 20 | 6 | 20 | 6 | 0 143 | 0 5 | 27 63 | 1 78 |
| Qb | 0 10 | L | 300 | 1 5 | 5100 | 1 15 | 100 | 50 | 5 | 16 | 5 | 16 | 5 | 0 125 | 0 5 | 4 29 | 3 39 |
| Qb | 0 10 | L | 300 | 1 5 | 5100 | 1 15 | 100 | 50 | 5 | 20 | 6 | 20 | 6 | 0 125 | 0 5 | 41 55 | 7 34 |
| Qb | 0 10 | L | 300 | 1 5 | 5100 | 1 15 | 100 | 50 | 5 | 25 | 10 | 25 | 10 | 0 125 | 0 5 | 15 97 | 18 5 |

| Sm (cm) | Nfis (T) | Mfis (mT) | σsr (Kg/cm2) | σs (Kg/cm2) | εsm | wk (mm) | Comentario |
|---|---|---|---|---|---|---|---|
| 20 92 | 90 58 | 5 84 | 3217 36 | 981 41 | 0 00019 | 0 066 | Cumple |
| 23 95 | 15 04 | 11 89 | 3612 51 | 49 41 | 0 00001 | 0 004 | Cumple |
| 19 96 | 51 89 | 9 17 | 2639 27 | 147 19 | 0 00003 | 0 010 | Cumple |
| 15 18 | 12 19 | 14 12 | 859 70 | 1126 37 | 0 00038 | 0 098 | Cumple |

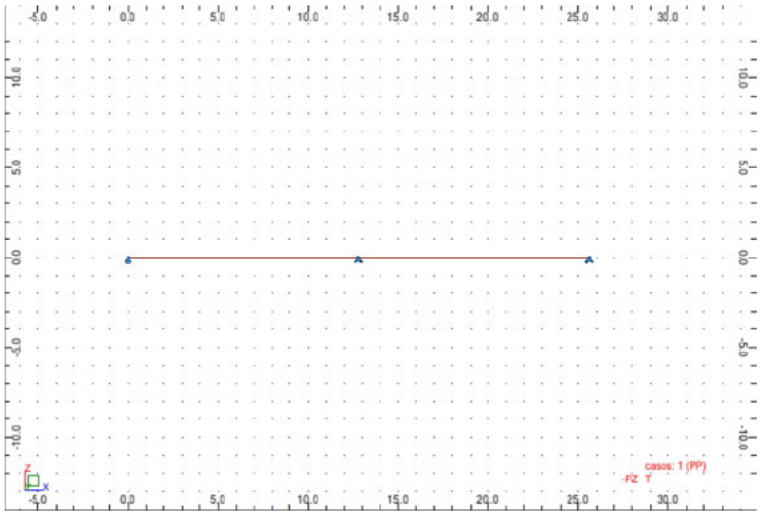
Para evitar una abertura de fisura superior a 0.1 mm. es necesario aumentar la cuantía de armadura horizontal en dirección perpendicular al arranque del muro de 6□20 p.m.l. a 10□25 p.m.l.

# ANEXO: CÁLCULO DE PASARELA Y ESCALERA

# CÁLCULO DE LA PASARELA

## 1. DISCRETIZACIÓN DE LA ESTRUCTURA

### MODELO




**Características: Barras:**

| Nombre de la sección | Lista de barras | SX (cm2) | SY (cm2) | SZ (cm2) | IX (cm4) | IY (cm4) | IZ (cm4) | WX (cm3) | WY (cm2) | WZ (cm2) | E (T/m2) | NI |
|---|---|---|---|---|---|---|---|---|---|---|---|---|
| B T60x60 | 1 | 4400.000 | 2000.000 | 2400.000 | 984791.043 | 1368484.848 | 2386666.667 | 16849.156 | 2933.333 | 2933.333 | 3874921.61 | 0.17 |

## 2. ACCIONES DE CÁLCULO

### Cargas

**- Casos: 1A3**

| Caso | Tipo de carga | Lista | Valores de carga | Nombre del caso |
|---|---|---|---|---|
| 1 | peso propio | 1 | PZ Menos Coef=1.00 | PP |
| 2 | carga trapezoidal | 1 | PZ2=-0.40(T/m) PZ1=-0.40(T/m) X2=0.500 X1=0.0 global no proyectadas relativa | SCVANO1 |
| 3 | carga trapezoidal | 1 | PZ2=-0.40(T/m) PZ1=-0.40(T/m) X2=1.000 X1=0.500 global no proyectadas relativa | SCVANO2 |

# 3. COMBINACIÓN DE ACCIONES

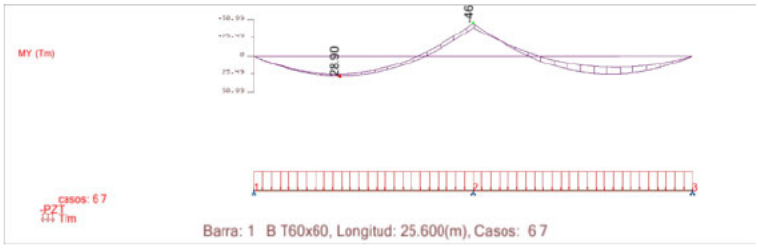
## Combinaciones de casos

**- Casos: 4A7**

| Combinación | Nombre | Tipo de análisis | Naturaleza de combinación | Naturaleza de caso | Definición |
|---|---|---|---|---|---|
| **4 (C)** | ELS1 | Combinación lineal | ELU | permanente | (1+2)*1.00 |
| **5 (C)** | ELS2 | Combinación lineal | ELU | permanente | (1+2+3)*1.00 |
| **6 (C)** | ELU1 | Combinación lineal | ELU | permanente | 1*1.50+2*1.60 |
| **7 (C)** | ELU2 | Combinación lineal | ELU | permanente | 1*1.50+(2+3)*1.60 |

## 4. GRÁFICOS DE ESFUERZOS EN E.L.U.

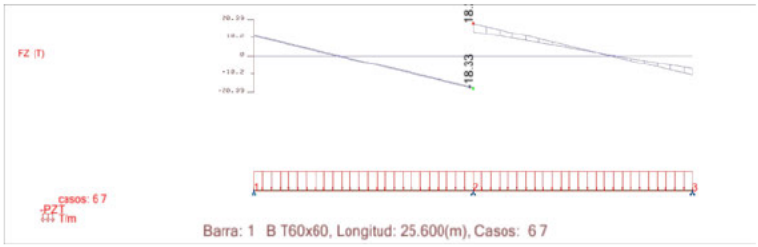
### ENVOLVENTE DE MOMENTOS FLECTORES




| Barra / Punto (m) | MY (Tm) |
|---|---|
| para la barra: | 1 |
| en el punto: | x=0.0 (m) |
| 1 / inicio | 0.00 |
| 1 / punto x=0.656 | 7.06 |
| 1 / punto x=1.313 | 13.13 |
| 1 / punto x=1.969 | 18.22 |
| 1 / punto x=2.626 | 22.32 |
| 1 / punto x=3.282 | 25.43 |
| 1 / punto x=3.938 | 27.56 |
| 1 / punto x=4.595 | 28.70 |
| 1 / punto x=5.251 | 28.85 |
| 1 / punto x=5.908 | 28.01 |
| 1 / punto x=6.564 | 26.19 |
| 1 / punto x=7.221 | 23.38 |
| 1 / punto x=7.877 | 19.58 |
| 1 / punto x=8.533 | 14.80 |
| 1 / punto x=9.190 | 9.02 |
| 1 / punto x=9.846 | -2.78 |
| 1 / punto x=10.503 | -10.86 |
| 1 / punto x=11.159 | -19.93 |
| 1 / punto x=11.815 | -29.98 |
| 1 / punto x=12.472 | -41.03 |
| 1 / punto x=13.128 | -41.03 |
| 1 / punto x=13.785 | -29.98 |
| 1 / punto x=14.441 | -20.07 |
| 1 / punto x=15.097 | -13.20 |
| 1 / punto x=15.754 | -7.04 |
| 1 / punto x=16.410 | 4.32 |
| 1 / punto x=17.067 | 10.43 |
| 1 / punto x=17.723 | 15.55 |
| 1 / punto x=18.379 | 19.68 |
| 1 / punto x=19.036 | 22.83 |
| 1 / punto x=19.692 | 24.99 |
| 1 / punto x=20.349 | 26.16 |

| | |
|---|---|
| **1 / punto x=21.005** | 26.34 |
| **1 / punto x=21.662** | 25.54 |
| **1 / punto x=22.318** | 23.75 |
| **1 / punto x=22.974** | 20.98 |
| **1 / punto x=23.631** | 17.21 |
| **1 / punto x=24.287** | 12.46 |
| **1 / punto x=24.944** | 6.72 |
| **1 / fin** | 0.00 |

# ENVOLVENTE DE ESFUERZOS CORTANTES EN ELU

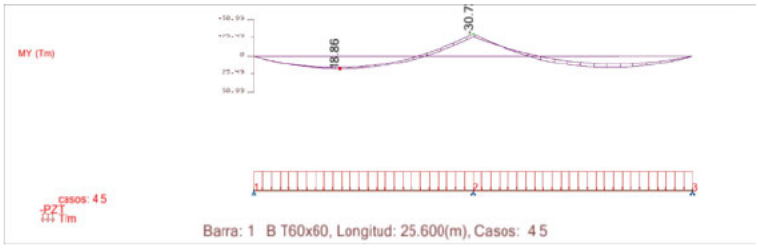



| Barra / Punto (m) | FZ (T) |
|---|---|
| **para la barra:** | **1** |
| **en el punto:** | **x=0.0 (m)** |
| **1 / inicio** | 11.51 |
| **1 / punto x=0.656** | 10.00 |
| **1 / punto x=1.313** | 8.50 |
| **1 / punto x=1.969** | 7.00 |
| **1 / punto x=2.626** | 5.49 |
| **1 / punto x=3.282** | 3.99 |
| **1 / punto x=3.938** | 2.49 |
| **1 / punto x=4.595** | 0.98 |
| **1 / punto x=5.251** | -1.03 |
| **1 / punto x=5.908** | -2.54 |
| **1 / punto x=6.564** | -4.04 |
| **1 / punto x=7.221** | -5.55 |
| **1 / punto x=7.877** | -7.05 |
| **1 / punto x=8.533** | -8.55 |
| **1 / punto x=9.190** | -10.06 |
| **1 / punto x=9.846** | -11.56 |
| **1 / punto x=10.503** | -13.06 |
| **1 / punto x=11.159** | -14.57 |
| **1 / punto x=11.815** | -16.07 |
| **1 / punto x=12.472** | -17.58 |
| **1 / punto x=13.128** | 17.58 |
| **1 / punto x=13.785** | 16.07 |
| **1 / punto x=14.441** | 14.57 |
| **1 / punto x=15.097** | 13.06 |
| **1 / punto x=15.754** | 11.56 |
| **1 / punto x=16.410** | 10.06 |
| **1 / punto x=17.067** | 8.55 |
| **1 / punto x=17.723** | 7.05 |
| **1 / punto x=18.379** | 5.55 |
| **1 / punto x=19.036** | 4.04 |
| **1 / punto x=19.692** | 2.54 |
| **1 / punto x=20.349** | 1.26 |
| **1 / punto x=21.005** | -0.47 |
| **1 / punto x=21.662** | -1.97 |
| **1 / punto x=22.318** | -3.48 |

| | |
|---|---|
| **1 / punto x=22.974** | -4.98 |
| **1 / punto x=23.631** | -6.49 |
| **1 / punto x=24.287** | -7.99 |
| **1 / punto x=24.944** | -9.49 |
| **1 / fin** | -11.00 |

## 5. GRÁFICOS DE ESFUERZOS EN E.L.S.

### ENVOLVENTE DE MOMENTOS FLECTORES EN ELS




| Barra / Punto (m) | MY (Tm) |
|---|---|
| para la barra: | 1 |
| en el punto: | x=0.0 (m) |
| 1 / inicio | 0.00 |
| 1 / punto x=0.656 | 4.61 |
| 1 / punto x=1.313 | 8.58 |
| 1 / punto x=1.969 | 11.90 |
| 1 / punto x=2.626 | 14.58 |
| 1 / punto x=3.282 | 16.61 |
| 1 / punto x=3.938 | 17.99 |
| 1 / punto x=4.595 | 18.73 |
| 1 / punto x=5.251 | 18.81 |
| 1 / punto x=5.908 | 18.26 |
| 1 / punto x=6.564 | 17.05 |
| 1 / punto x=7.221 | 15.20 |
| 1 / punto x=7.877 | 12.70 |
| 1 / punto x=8.533 | 9.56 |
| 1 / punto x=9.190 | 5.77 |
| 1 / punto x=9.846 | -1.82 |
| 1 / punto x=10.503 | -7.11 |
| 1 / punto x=11.159 | -13.05 |
| 1 / punto x=11.815 | -19.64 |
| 1 / punto x=12.472 | -26.87 |
| 1 / punto x=13.128 | -26.87 |
| 1 / punto x=13.785 | -19.64 |
| 1 / punto x=14.441 | -13.14 |
| 1 / punto x=15.097 | -8.58 |
| 1 / punto x=15.754 | -4.48 |
| 1 / punto x=16.410 | 2.83 |
| 1 / punto x=17.067 | 6.83 |
| 1 / punto x=17.723 | 10.18 |
| 1 / punto x=18.379 | 12.89 |
| 1 / punto x=19.036 | 14.95 |
| 1 / punto x=19.692 | 16.37 |
| 1 / punto x=20.349 | 17.13 |

| | |
|---|---|
| **1 / punto x=21.005** | 17.26 |
| **1 / punto x=21.662** | 16.73 |
| **1 / punto x=22.318** | 15.56 |
| **1 / punto x=22.974** | 13.74 |
| **1 / punto x=23.631** | 11.27 |
| **1 / punto x=24.287** | 8.16 |
| **1 / punto x=24.944** | 4.40 |
| **1 / fin** | -0.00 |

## 6. LISTADOS CÁLCULOS ARMADURAS – ELU FLEXIÓN.

Para el dimensionamiento de la sección se considera de forma independiente una de las dos vigas de 0.30x0.60, que deberá resistir la mitad de los esfuerzos anteriormente calculados.

| REFERENCIA SECCIÓN | MATERIALES | | GEOMETRÍA DE LA SECCIÓN | | | | | SOLICITACIONES | |
|---|---|---|---|---|---|---|---|---|---|
| | Resistencia del hormigón (T/m2) | Resistencia del acero (T/m2) | Ancho (m) | Canto (m) | Recubrimiento (m) | Canto útil (m) | Disposición: Pilar 1 Losa 2 Viga 3 Muro 4 | Momento (T m) | Axil (T) Compresión (+) |
| SECCIÓN AP | 3000.000 | 51000.000 | 0.300 | 0.600 | 0.050 | 0.550 | 3 | 23.460 | 0.000 |
| SECCIÓN CL | 3000.000 | 51000.000 | 0.300 | 0.600 | 0.050 | 0.550 | 3 | 14.450 | 0.000 |

| RESULTADOS Md<=Mlim | | | | | |
|---|---|---|---|---|---|
| $M_{As}$ | $E_{yd}$ | $x_{lim}$ | $M_{lim}$ | x | As |
| 23.460 | 0.002217 | 0.337 | 57.053 | 0.114 | 0.001049 |
| 14.450 | 0.002217 | 0.337 | 57.053 | 0.068 | 0.000623 |

| CUANTÍAS MÍNIMAS | | ARMADURA NECESARIA | | ARMADURA DISPUESTA | | |
|---|---|---|---|---|---|---|
| Mecánica | Geométrica | Cara de tracción (cm2) | Cara de compresión (cm2) | NÚMERO | DIÁMETRO | ÁREA ARMADURA DE TRACCIÓN DISPUESTA |
| 0.000338 | 0.000504 | 10.49 | 10.49 | 4 | 20 | 12.566 |
| 0.000338 | 0.000504 | 6.23 | 6.23 | 2 | 20 | 6.283 |

# 7. LISTADOS CÁLCULOS ARMADURAS – ELU CORTANTE.

| REFERENCIA SECCIÓN | MATERIALES | | GEOMETRÍA DE LA SECCIÓN | | | | | SOLICITACIONES | |
|---|---|---|---|---|---|---|---|---|---|
| | Resistencia del hormigón (T/m2) | Resistencia del acero (T/m2) | Ancho (m) | Anchura neta mínima del elemento (m) | Canto (m) | Recubrimiento (m) | Canto útil (m) | Cortante (T) | Axil (T) Compresión (+) |
| SECCIÓN AP | 3000.000 | 51000.000 | 0.300 | 0.300 | 0.600 | 0.050 | 0.550 | 9.165 | 0.000 |
| SECCIÓN CL | 3000.000 | 51000.000 | 0.300 | 0.300 | 0.600 | 0.050 | 0.550 | 0.000 | 0.000 |

| Vu1 (Agotamiento por compresión oblicua en el alma) | | | | Vu2 (Agotamiento por tracción en el alma) Sin armadura de cortante | | | Vu2 (Agotamiento por tracción en el alma) Con armadura de cortante | |
|---|---|---|---|---|---|---|---|---|
| K | cotg(Alfa) | cotg(Teta) | Vu1 | Cuantía geométrica de armadura longitudinal traccionada | Epsilon | Vu2 (T) | Vcu (T) (Contribución del hormigón) | Área necesaria de cortante (cm2) $A_{90}$ |
| 1.667 | 0.000000 | 1.000 | 99.000 | 0.006 | 1.603 | 8.480 | 7.066 | 1.06 |
| 1.667 | 0.000000 | 1.000 | 99.000 | 0.004 | 1.603 | 7.129 | 5.941 | 0.00 |

| ARMADURA DISPUESTA | | | |
|---|---|---|---|
| NÚMERO DE RAMAS | NÚMERO | DIÁMETRO | ÁREA ARMADURA DE CORTANTE DISPUESTA (cm2) |
| 2 | 5 | 8.000 | 5.027 |
| 2 | 3 | 8.000 | 3.348 |

# 8. LISTADOS CÁLCULOS ARMADURAS – ELS FISURACIÓN.

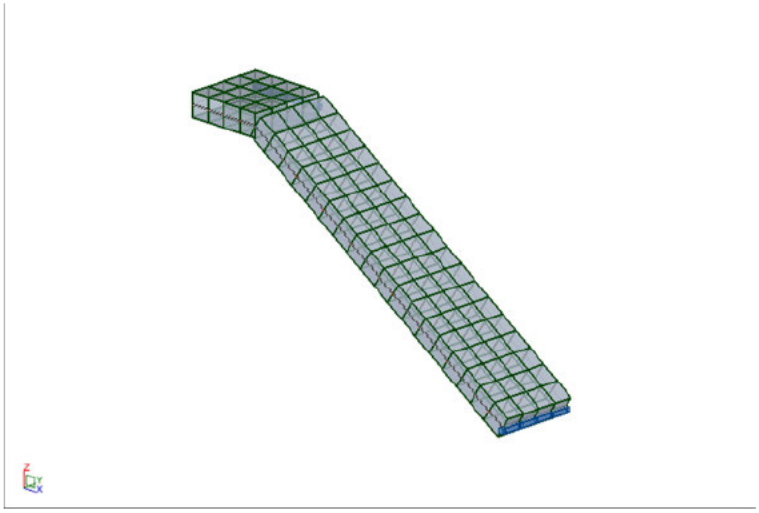
| | | | MATERIALES | | | | GEOMÉTRIA | | | As Tracc. | | As Comp. | | | | Esf. Caracterist. | |
|---|---|---|---|---|---|---|---|---|---|---|---|---|---|---|---|---|---|
| Tipo Amb. | Wk,adm (mm) | Viga Losa | fck (Kg/cm2) | γc | fyk (Kg/cm2) | γs | Ancho b(cm) | Canto h(cm) | Recu (cm) | ϕ (mm) | n°ϕ | ϕ (mm) | n°ϕ | kl | k2 | Nk (T) | Mk (mT) |
| Qb | 0 10 | L | 300 | 1 5 | 5100 | 1 15 | 30 | 60 | 5 | 25 | 7 | 12 | 2 | 0 125 | 0 5 | 0 | 15 37 |
| Qb | 0 10 | L | 300 | 1 5 | 5100 | 1 15 | 30 | 60 | 5 | 20 | 6 | 12 | 2 | 0 125 | 0 5 | 0 | 9 43 |

| Sm (cm) | Nfis (T) | Mfis (mT) | σsr (Kg/cm2) | σs (Kg/cm2) | εsm | wk (mm) | Comentario |
|---|---|---|---|---|---|---|---|
| 12 49 | 0 00 | 7 20 | 452 11 | 965 10 | 0 00041 | 0 087 | Cumple |
| 13 39 | 0 00 | 6 46 | 712 49 | 1040 42 | 0 00038 | 0 086 | Cumple |

# CÁLCULO DE LA ESCALERA

## 1. DISCRETIZACIÓN DE LA ESTRUCTURA

### MODELO 3D



**Características: Paneles:**

| Nombre de espesor | Lista de paneles | Material | Tipo de espesor | Espesor (cm) | KZ (T/m3) | E (T/m2) | NI |
|---|---|---|---|---|---|---|---|
| ESP30 | 1 | HA - 30 | constante | 30.000 | 0.0 | 2693070.52 | 0.20 |

## 2. ACCIONES DE CÁLCULO

### Cargas

**- Casos: 1A4**

| Caso | Tipo de carga | Lista | Valores de carga | Nombre del caso |
|---|---|---|---|---|
| 1 | peso propio | 1 | PZ Menos Coef=1.00 | PP |
| 2 | (EF) uniforme | 1 | PZ=-0.40(T/m2) proyectada | SC |

# 3. COMBINACIÓN DE ACCIONES

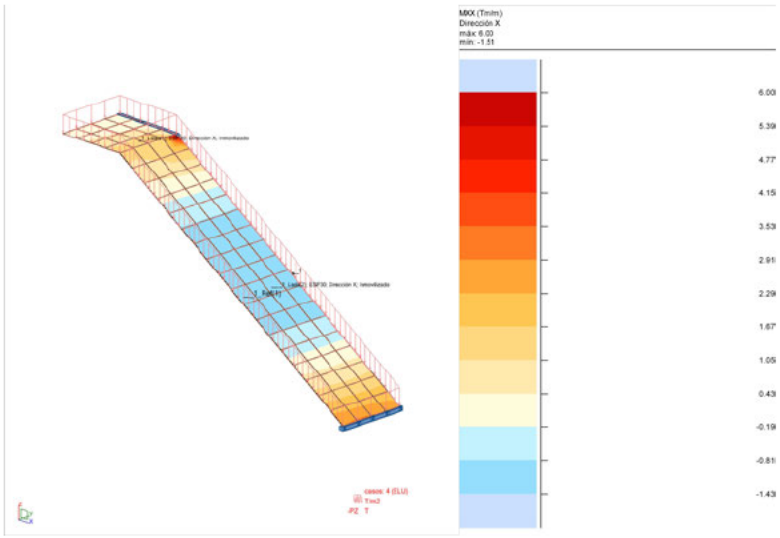
## Combinaciones de casos

- Casos: 3 4

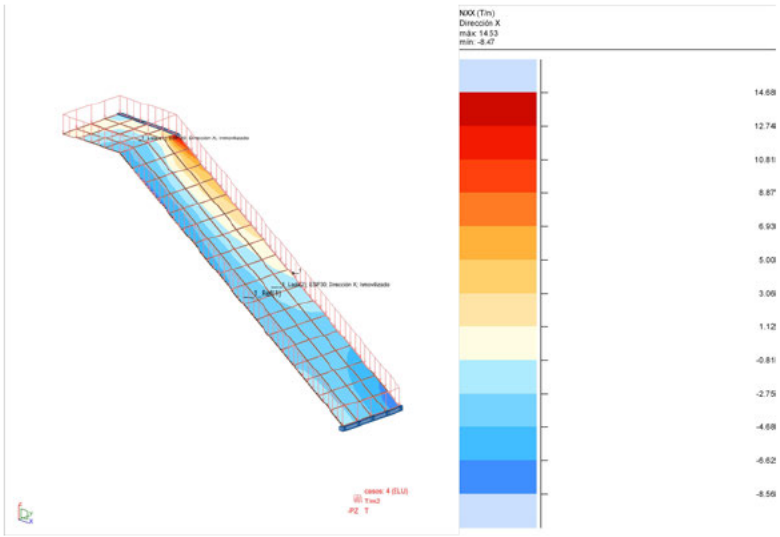
| Combinación | Nombre | Tipo de análisis | Naturaleza de combinación | Naturaleza de caso | Definición |
|---|---|---|---|---|---|
| 3 (C) | ELS | Combinación lineal | ELU | | (1+2)*1.00 |
| 4 (C) | ELU | Combinación lineal | ELU | | 1*1.50+2*1.60 |

# 4. GRÁFICOS DE ESFUERZOS EN E.L.U.

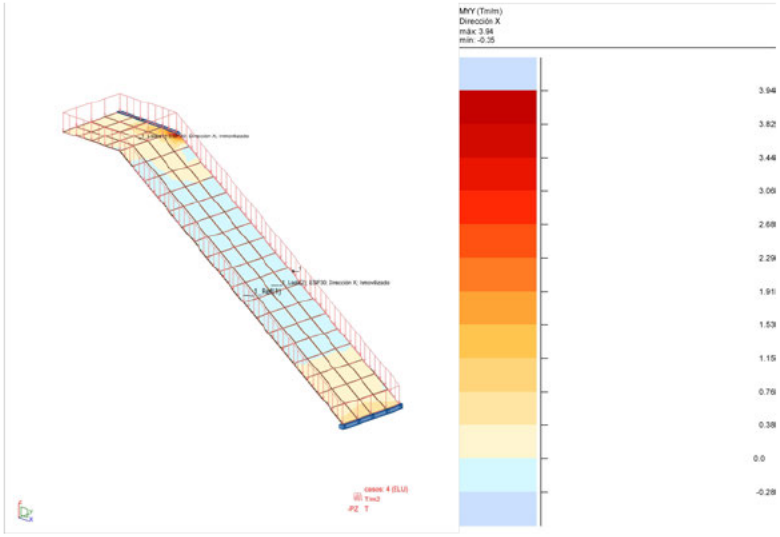
## MXX (Tm/m) Dirección X casos: 4 (ELU)



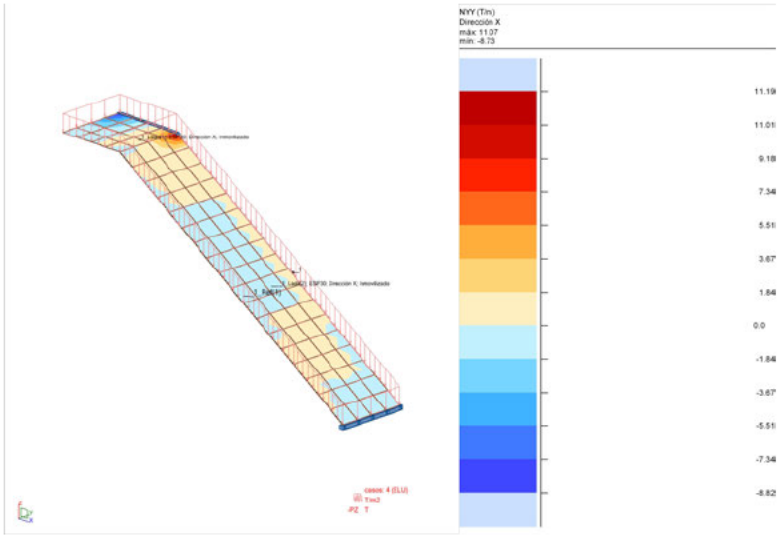

## NXX (T/m) Dirección X casos: 4 (ELU)



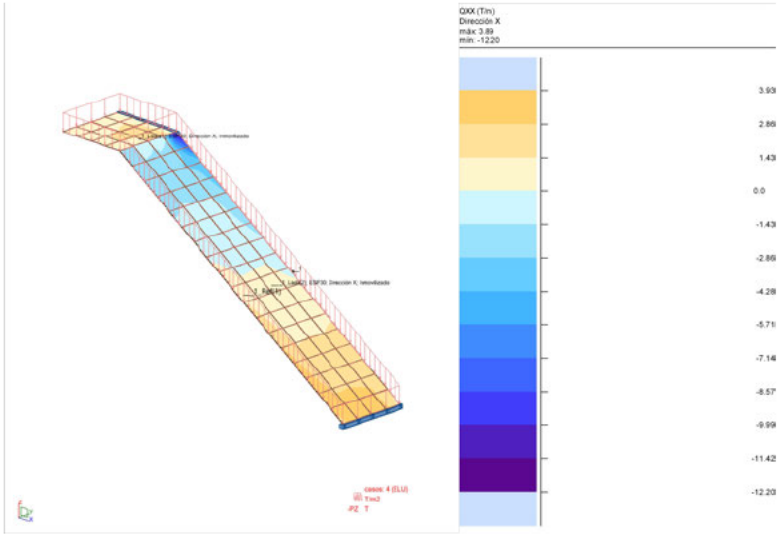
## MYY (Tm/m) Dirección X casos: 4 (ELU)



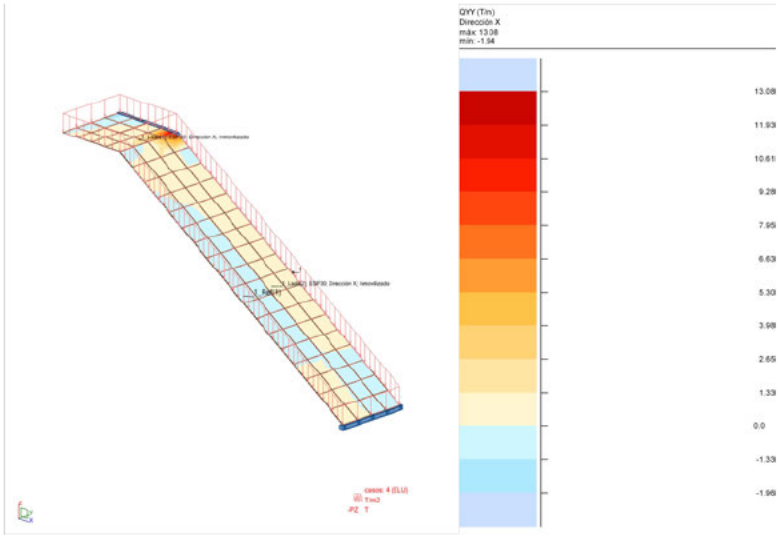

## NYY (T/m) Dirección X casos: 4 (ELU)



## QXX (T/m) Dirección X casos: 4 (ELU)




## QYY (T/m) Dirección X casos: 4 (ELU)



## 4.1 LISTADOS ESFUERZOS E.L.U. - FLEXIÓN.

| Panel/Nudo/Caso | MXX (Tm/m) | MYY (Tm/m) | NXX (T/m) | NYY (T/m) | Definición |
|---|---|---|---|---|---|
| 1_Lado(2)/ 25/ 4 (C) | **6.00>>** | 3 94 | 14 53 | 11 07 | 1*1 50+2*1 60 |
| 1_Lado(2)/ 34/ 4 (C) | **-1.41<<** | -0 01 | -5 18 | -0 15 | 1*1 50+2*1 60 |
| 1_Lado(2)/ 25/ 4 (C) | 6 00 | **3.94>>** | 14 53 | 11 07 | 1*1 50+2*1 60 |
| 1_Lado(2)/ 103/ 4 (C) | 1 79 | **-0.28<<** | 9 68 | 0 62 | 1*1 50+2*1 60 |
| 1_Lado(2)/ 25/ 4 (C) | 6 00 | 3 94 | **14.53>>** | 11 07 | 1*1 50+2*1 60 |
| 1_Lado(2)/ 120/ 4 (C) | 2 48 | 0 50 | **-8.47<<** | -1 80 | 1*1 50+2*1 60 |
| 1_Lado(2)/ 25/ 4 (C) | 6 00 | 3 94 | 14 53 | **11.07>>** | 1*1 50+2*1 60 |
| 1_Lado(1)/ 21/ 4 (C) | -0 02 | -0 12 | -2 13 | **-8.73<<** | 1*1 50+2*1 60 |

## 4.2 LISTADOS ESFUERZOS E.L.U. - CORTANTE.

| Panel/Nudo/Caso | NXX (T/m) | NYY (T/m) | QXX (T/m) | QYY (T/m) | Definición |
|---|---|---|---|---|---|
| 1_Lado(2)/ 25/ 4 (C) | **14.53>>** | 11 07 | -12 20 | 10 25 | 1*1 50+2*1 60 |
| 1_Lado(2)/ 120/ 4 (C) | **-8.47<<** | -1 80 | 1 02 | -0 00 | 1*1 50+2*1 60 |
| 1_Lado(2)/ 25/ 4 (C) | 14 53 | **11.07>>** | -12 20 | 10 25 | 1*1 50+2*1 60 |
| 1_Lado(1)/ 21/ 4 (C) | -2 13 | **-8.73<<** | 0 00 | -1 94 | 1*1 50+2*1 60 |
| 1_Lado(2)/ 63/ 4 (C) | -3 15 | -0 61 | **3.89>>** | 0 00 | 1*1 50+2*1 60 |
| 1_Lado(2)/ 25/ 4 (C) | 14 53 | 11 07 | **-12.20<<** | 10 25 | 1*1 50+2*1 60 |
| 1_Lado(1)/ 25/ 4 (C) | 2 81 | 7 36 | 0 00 | **13.08>>** | 1*1 50+2*1 60 |
| 1_Lado(1)/ 21/ 4 (C) | -2 13 | -8 73 | 0 00 | **-1.94<<** | 1*1 50+2*1 60 |

## 4.3 LISTADOS ESFUERZOS E.L.S. – ABERTURA DE FISURA.

| Panel/Nudo/Caso | NXX (T/m) | NYY (T/m) | MXX (Tm/m) | MYY (Tm/m) | Definición |
|---|---|---|---|---|---|
| 1_Lado(2)/ 25/ 3 (C) | 9.49>> | 7 23 | 3 92 | 2 58 | (1+2)*1 00 |
| 1_Lado(2)/ 120/ 3 (C) | -5.53<< | -1 17 | 1 62 | 0 32 | (1+2)*1 00 |
| 1_Lado(2)/ 25/ 3 (C) | 9 49 | 7.23>> | 3 92 | 2 58 | (1+2)*1 00 |
| 1_Lado(1)/ 21/ 3 (C) | -1 39 | -5.70<< | -0 02 | -0 08 | (1+2)*1 00 |
| 1_Lado(2)/ 25/ 3 (C) | 9 49 | 7 23 | 3.92>> | 2 58 | (1+2)*1 00 |
| 1_Lado(2)/ 34/ 3 (C) | -3 38 | -0 10 | -0.92<< | -0 01 | (1+2)*1 00 |
| 1_Lado(2)/ 25/ 3 (C) | 9 49 | 7 23 | 3 92 | 2.58>> | (1+2)*1 00 |
| 1_Lado(2)/ 103/ 3 (C) | 6 32 | 0 41 | 1 17 | -0.19<< | (1+2)*1 00 |

# 5. LISTADOS CÁLCULOS ARMADURAS – ELU FLEXIÓN.

| REFERENCIA SECCIÓN | MATERIALES | | GEOMETRÍA DE LA SECCIÓN | | | | | SOLICITACIONES | |
|---|---|---|---|---|---|---|---|---|---|
| | Resistencia del hormigón (T/m2) | Resistencia del acero (T/m2) | Ancho (m) | Canto (m) | Recubrimiento (m) | Canto útil (m) | Disposición: Pilar 1 Losa 2 Viga 3 Muro 4 | Momento (T m) | Axil (T) Compresión (+) |
| PANEL 1 | 3000.000 | 51000.000 | 1.000 | 0.300 | 0.050 | 0.250 | 2 | 6.000 | -14.530 |
| PANEL 1 | 3000.000 | 51000.000 | 1.000 | 0.300 | 0.050 | 0.250 | 2 | -1.410 | 5.180 |
| PANEL 1 | 3000.000 | 51000.000 | 1.000 | 0.300 | 0.050 | 0.250 | 2 | 6.000 | -14.530 |
| PANEL 1 | 3000.000 | 51000.000 | 1.000 | 0.300 | 0.050 | 0.250 | 2 | 2.480 | 8.470 |
| PANEL 1 | 3000.000 | 51000.000 | 1.000 | 0.300 | 0.050 | 0.250 | 2 | 3.940 | -11.070 |
| PANEL 1 | 3000.000 | 51000.000 | 1.000 | 0.300 | 0.050 | 0.250 | 2 | -0.280 | -0.620 |
| PANEL 1 | 3000.000 | 51000.000 | 1.000 | 0.300 | 0.050 | 0.250 | 2 | 3.940 | -11.070 |
| PANEL 1 | 3000.000 | 51000.000 | 1.000 | 0.300 | 0.050 | 0.250 | 2 | -0.120 | 8.730 |

| RESULTADOS Md<=Mlim | | | | | |
|---|---|---|---|---|---|
| $M_{As}$ | $E_{yd}$ | $x_{lim}$ | $M_{lim}$ | x | As |
| 4.547 | 0.002217 | 0.153 | 39.293 | 0.014 | 0.000747 |
| 1.928 | 0.002217 | 0.153 | 39.293 | 0.006 | 0.000059 |
| 4.547 | 0.002217 | 0.153 | 39.293 | 0.014 | 0.000747 |
| 3.327 | 0.002217 | 0.153 | 39.293 | 0.010 | 0.000114 |
| 2.833 | 0.002217 | 0.153 | 39.293 | 0.008 | 0.000509 |
| 0.218 | 0.002217 | 0.153 | 39.293 | 0.001 | 0.000034 |
| 2.833 | 0.002217 | 0.153 | 39.293 | 0.008 | 0.000509 |
| 0.993 | 0.002217 | 0.153 | 39.293 | 0.003 | -0.000107 |

| ARMADURA NECESARIA | | ARMADURA DISPUESTA | | | | | |
|---|---|---|---|---|---|---|---|
| Cara de tracción (cm2) | Cara de compresión (cm2) | NÚMERO | DIÁMETRO | AREA ARMADURA DE TRACCIÓN DISPUESTA | NÚMERO | DIÁMETRO | AREA ARMADURA DE COMPRESIÓN DISPUESTA |
| 7.47 | 7.47 | 5 | 16 | 10.053 | 5 | 16 | 10.053 |
| 5.64 | 5.64 | 5 | 16 | 10.053 | 5 | 16 | 10.053 |
| 7.47 | 7.47 | 5 | 16 | 10.053 | 5 | 16 | 10.053 |
| 5.64 | 5.64 | 5 | 16 | 10.053 | 5 | 16 | 10.053 |
| 5.64 | 5.64 | 5 | 16 | 10.053 | 5 | 16 | 10.053 |
| 5.64 | 5.64 | 5 | 16 | 10.053 | 5 | 16 | 10.053 |
| 5.64 | 5.64 | 5 | 16 | 10.053 | 5 | 16 | 10.053 |
| 5.64 | 5.64 | 5 | 16 | 10.053 | 5 | 16 | 10.053 |

# 6. LISTADOS CÁLCULOS ARMADURAS – ELU CORTANTE.

| REFERENCIA SECCIÓN | MATERIALES | | GEOMETRÍA DE LA SECCIÓN | | | | | SOLICITACIONES | |
|---|---|---|---|---|---|---|---|---|---|
| | Resistencia del hormigón (T/m2) | Resistencia del acero (T/m2) | Ancho (m) | Anchura neta mínima del elemento (m) | Canto (m) | Recubrimiento (m) | Canto útil (m) | Cortante (T) | Axil (T) Compresión (+) |
| PANEL 1 | 3000.000 | 51000.000 | 1.000 | 1.000 | 0.300 | 0.050 | 0.250 | 3.890 | 3.150 |
| PANEL 1 | 3000.000 | 51000.000 | 1.000 | 1.000 | 0.300 | 0.050 | 0.250 | 12.200 | -14.530 |
| PANEL 1 | 3000.000 | 51000.000 | 1.000 | 1.000 | 0.300 | 0.050 | 0.250 | 13.080 | -7.360 |
| PANEL 1 | 3000.000 | 51000.000 | 1.000 | 1.000 | 0.300 | 0.050 | 0.250 | 1.940 | 8.730 |

| Vu1 (Agotamiento por compresión oblicua en el alma) | | | | Vu2 (Agotamiento por tracción en el alma) Sin armadura de cortante | | | Vu2 (Agotamiento por tracción en el alma) Con armadura de cortante | |
|---|---|---|---|---|---|---|---|---|
| K | cotg(Alfa) | cotg(Teta) | Vu1 | Cuantía geométrica de armadura longitudinal traccionada | Epsilon | Vu2 (T) | Vcu (T) (Contribución del hormigón) | Área necesaria de cortante (cm2) $A_{90}$ |
| 1.658 | 0.000000 | 1.000 | 150.000 | 0.003 | 1.894 | 12.199 | 9.838 | 0.00 |
| 1.707 | 0.000000 | 1.000 | 150.000 | 0.002 | 1.894 | 8.932 | 8.957 | 3.60 |
| 1.687 | 0.000000 | 1.000 | 150.000 | 0.003 | 1.894 | 10.886 | 9.838 | 3.60 |
| 1.642 | 0.000000 | 1.000 | 150.000 | 0.002 | 1.894 | 11.840 | 8.957 | 0.00 |

| ARMADURA DISPUESTA | | | |
|---|---|---|---|
| NÚMERO DE RAMAS | NÚMERO | DIÁMETRO | AREA ARMADURA DE CORTANTE DISPUESTA (cm2) |
| 2 | 5 | 12.000 | 11.310 |
| 2 | 5 | 12.000 | 11.310 |
| 2 | 5 | 12.000 | 11.310 |
| 2 | 5 | 12.000 | 11.310 |

# 7. LISTADOS CÁLCULOS ARMADURAS – ELS FISURACIÓN.

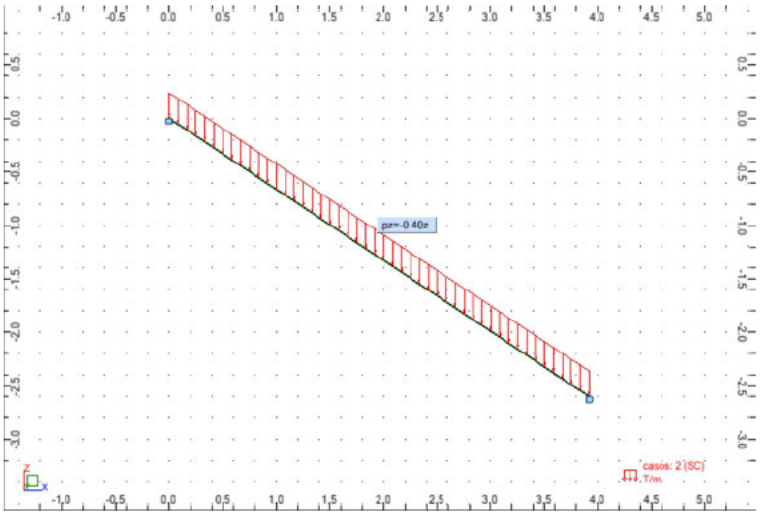
| | | | MATERIALES | | | | GEOMÉTRIA | | | As Tracc. | | As Comp. | | | | Esf. Caracterist. | |
|---|---|---|---|---|---|---|---|---|---|---|---|---|---|---|---|---|---|
| Tipo Amb. | Wk,adm (mm) | Viga Losa | fck (Kg/cm2) | γc | fyk (Kg/cm2) | γs | Ancho b(cm) | Canto h(cm) | Recu (cm) | ϕ (mm) | n°ϕ | ϕ (mm) | n°ϕ | kl | k2 | Nk (T) | Mk (mT) |
| Qb | 0 10 | L | 300 | 1 5 | 5100 | 1 15 | 100 | 60 | 5 | 16 | 5 | 16 | 5 | 0 125 | 0 5 | 9 49 | 3 92 |
| Qb | 0 10 | L | 300 | 1 5 | 5100 | 1 15 | 100 | 60 | 5 | 16 | 5 | 16 | 5 | 0 125 | 0 5 | 7 23 | 2 58 |

| Sm (cm) | Nfis (T) | Mfis (mT) | σsr (Kg/cm2) | σs (Kg/cm2) | εsm | wk (mm) | Comentario |
|---|---|---|---|---|---|---|---|
| 25 94 | 36 68 | 15 15 | 4821 68 | 47 91 | 0 00001 | 0 004 | Cumple |
| 25 94 | 41 18 | 14 69 | 4969 71 | 32 70 | 0 00001 | 0 003 | Cumple |

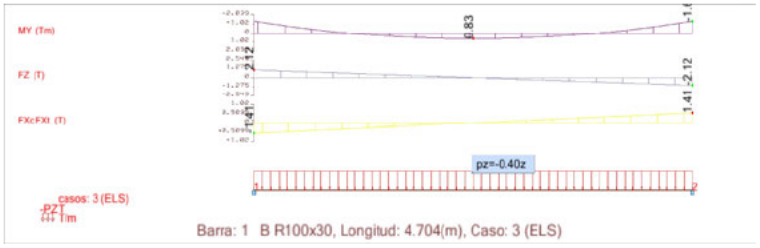
# 8. CIMENTACIÓN

## 8.1 ESFUERZOS PARA DIMENSIONAMIENTO DE LA ZAPATA

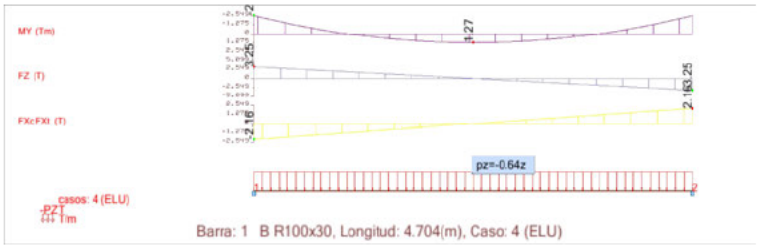
### MODELO




### FX;FZ;MY; casos: 3 (ELS)




### FX;FZ;MY; casos: 4 (ELU)



### Acciones sobre la zapata

$\alpha := 30$

### ELS

$\mathbf{Fz} := 2.12$

$\mathbf{Fx} := 1.41$

$\mathbf{M} := 1.67$

$\mathbf{N} := \mathbf{Fz}\cdot\cos\left(\alpha\cdot\frac{\pi}{180}\right) + \mathbf{Fx}\cdot\sin\left(\alpha\cdot\frac{\pi}{180}\right)$ $\quad \mathbf{N} = 2.541$

$\mathbf{Fh} := -\mathbf{Fz}\cdot\sin\left(\alpha\cdot\frac{\pi}{180}\right) + \mathbf{Fx}\cdot\cos\left(\alpha\cdot\frac{\pi}{180}\right)$ $\quad \mathbf{Fh} = 0.161$

### ELU

$\mathbf{Fz} := 3.25$

$\mathbf{Fx} := 2.16$

$\mathbf{M} := 2.55$

$\mathbf{N} := \mathbf{Fz}\cdot\cos\left(\alpha\cdot\frac{\pi}{180}\right) + \mathbf{Fx}\cdot\sin\left(\alpha\cdot\frac{\pi}{180}\right)$ $\quad \mathbf{N} = 3.895$

$\mathbf{Fh} := -\mathbf{Fz}\cdot\sin\left(\alpha\cdot\frac{\pi}{180}\right) + \mathbf{Fx}\cdot\cos\left(\alpha\cdot\frac{\pi}{180}\right)$ $\quad \mathbf{Fh} = 0.246$

## 8.2 CIMENTACIONES RÍGIDAS

La zapata objeto de cálculo se considera rígida puesto que la longitud del vuelo máximo es menor que dos veces el canto de la zapata.

### 8.2.1 Comprobación de estabilidad a deslizamiento

Se comprueba la estabilidad a deslizamiento de la zapata:

$$CSD = \frac{(N + P)\cdot\tan(\phi)}{F_h}$$

$CSD$ Coeficiente de seguridad a deslizamiento

$N$ Fuerza vertical transmitida a la zapata

$\phi$ Ángulo de rozamiento cimiento - terreno

$F_h$ Fuerza horizontal transmitida a la zapata

$P$ Peso de la zapata

### 8.2.2 Comprobación de estabilidad a vuelco

Se comprueba la estabilidad a deslizamiento de la zapata:

$$CSV = \frac{(N + P)\cdot\frac{a}{2}}{M}$$

$CSV$ Coeficiente de seguridad a vuelco

$a$ Dimensión de la zapata en la dirección considerada

$M$ Momento transmitido a la zapata referido al cdg de la misma

### 8.2.3 Tensiones en el terreno

Las tensiones transmitidas al terreno se calcularán según las siguientes fórmulas:

$$\sigma_{max} = \frac{N+P}{A} + \frac{M\cdot\frac{a}{2}}{\frac{1}{12}\cdot b\cdot a^3}$$

$$\sigma_{min} = \frac{N+P}{A} - \frac{M\cdot\frac{a}{2}}{\frac{1}{12}\cdot b\cdot a^3}$$

### 8.2.4 Armadura

La armadura necesaria será según el modelo de bielas y tirantes definido en el artículo 59.4.1.1. de la E.H.E. se dimensiona para resistir la tracción $T_d$ .

$$T_d = \frac{R_{1d}}{0.85\cdot d}\cdot(x_1 - 0.25\cdot a)$$

$$A_s = \frac{T_d}{f_{yd}}$$

A continuación se incluye la particularización del cálculo para los datos de proyecto.

# Cimentaciones rígidas

## Entrada de datos

$\mathbf{a} := 1.50$

$\mathbf{b} := 1$

$\mathbf{N} := 2.541$

$\mathbf{M} := 1.67$

$\mathbf{Fh} := 0.161$

$\mathbf{c} := 0.50$

$\mathbf{d} := 0.45$

$\phi := 30$

$\mathbf{ap} := 0.30$

$\mathbf{fyd} := 40000$

## Comprobaciones

### Comprobación de estabilidad a deslizamiento

$$\mathbf{CSD} := \frac{(\mathbf{N} + \mathbf{a}\cdot\mathbf{b}\cdot\mathbf{c}\cdot 2.5)\cdot\tan\left(\phi\cdot\frac{\pi}{180}\right)}{\mathbf{Fh}} \qquad \mathbf{CSD} = 15.836$$

### Comprobación de estabilidad a vuelco

$$\mathbf{CSV} := \frac{(\mathbf{N} + \mathbf{a}\cdot\mathbf{b}\cdot\mathbf{c}\cdot 2.5)\cdot\frac{\mathbf{a}}{2}}{\mathbf{M}} \qquad \mathbf{CSV} = 1.983$$

### Tensiones en el terreno

$$\sigma\mathbf{max} := \frac{(\mathbf{N} + \mathbf{a}\cdot\mathbf{b}\cdot\mathbf{c}\cdot 2.5)}{\mathbf{a}\cdot\mathbf{b}} + \frac{\mathbf{M}\cdot\frac{\mathbf{a}}{2}}{\frac{1}{12}\cdot\mathbf{b}\cdot\mathbf{a}^3} \qquad \sigma\mathbf{max} = 7.397$$

$$\sigma\mathbf{min} := \frac{(\mathbf{N} + \mathbf{a}\cdot\mathbf{b}\cdot\mathbf{c}\cdot 2.5)}{\mathbf{a}\cdot\mathbf{b}} - \frac{\mathbf{M}\cdot\frac{\mathbf{a}}{2}}{\frac{1}{12}\cdot\mathbf{b}\cdot\mathbf{a}^3} \qquad \sigma\mathbf{min} = -1.509$$

# Cimentaciones rígidas

## Entrada de datos

$\mathbf{a} := 1.50$

$\mathbf{b} := 1$

$\mathbf{N} := 3.895$

$\mathbf{M} := 2.55$

$\mathbf{Fh} := 0.246$

$\mathbf{c} := 0.50$

$\mathbf{d} := 0.45$

$\boldsymbol{\phi} := 30$

$\mathbf{ap} := 0.30$

$\mathbf{fyd} := 40000$

### Armadura

$$\mathbf{R1d} := \frac{\sigma\mathbf{max} + \sigma\mathbf{min}}{2} \cdot \frac{\mathbf{a}}{2} \cdot \mathbf{b} + \frac{\sigma\mathbf{max} - \sigma\mathbf{min}}{2} \cdot \frac{\mathbf{a}}{2} \cdot \frac{1}{2} \cdot \mathbf{b} \qquad \mathbf{R1d} = 5.435$$

$$\mathbf{x1} := \frac{\frac{\sigma\mathbf{max} + \sigma\mathbf{min}}{2} \cdot \frac{\mathbf{a}}{2} \cdot \frac{\mathbf{a}}{4} + \frac{\sigma\mathbf{max} - \sigma\mathbf{min}}{2} \cdot \frac{\mathbf{a}}{2} \cdot \frac{1}{2} \cdot \frac{2}{3} \cdot \frac{\mathbf{a}}{2}}{\frac{\sigma\mathbf{max} + \sigma\mathbf{min}}{2} \cdot \frac{\mathbf{a}}{2} + \frac{\sigma\mathbf{max} - \sigma\mathbf{min}}{2} \cdot \frac{\mathbf{a}}{2} \cdot \frac{1}{2}} \qquad \mathbf{x1} = 0.434$$

$$\mathbf{Td} := \frac{\mathbf{R1d}}{0.85 \cdot \mathbf{d}} \cdot (\mathbf{x1} - 0.25 \cdot \mathbf{ap})$$

$$\mathbf{As} := \frac{\mathbf{Td}}{\mathbf{fyd}} \cdot 10000 \qquad \mathbf{As} = 1.274$$

# ANEXO: CÁLCULO DE LA ARQUETA DE ENTRADA

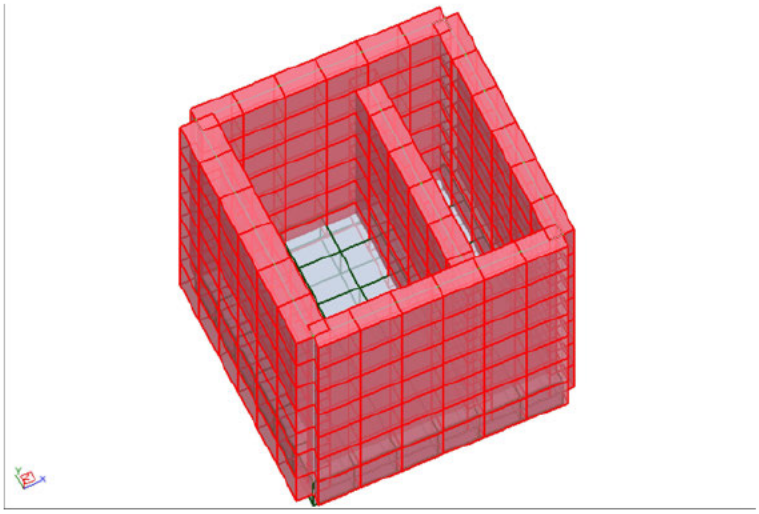
# 1. INTRODUCCIÓN

# 2. DISCRETIZACIÓN DE LA ESTRUCTURA

**Características: Paneles:**

| Nombre de espesor | Lista de paneles | Material | Tipo de espesor | Espesor (cm) | KZ (T/m3) | E (T/m2) | NI |
|---|---|---|---|---|---|---|---|
| ESP50_KZ | 1 | HA - 30 | constante | 50 000 | 2000 00 | 2693070 52 | 0 20 |
| ESP40 | 4 | HA - 30 | constante | 40 000 | 0 0 | 2693070 52 | 0 20 |
| ESP30 | 2 3 | HA - 30 | constante | 30 000 | 0 0 | 2693070 52 | 0 20 |

**MODELO 3D**



# 3. ACCIONES DE CÁLCULO

## Cargas

- Casos: 1A11

| Caso | Tipo de carga | Lista | Valores de carga | Nombre del caso |
|---|---|---|---|---|
| 1 | peso propio | 1A4 | PZ Menos Coef=1 00 | PP |
| 2 | (EF) presión hydrostática | 2 LADO(1) | P=0 50(T/m2) Gama=1 00(T/m3) H=2 500(m) Dirección=-Z | EMPUJE TIERRAS |
| 2 | (EF) presión hydrostática | 2 LADO(2 3) | P=-0 50(T/m2) Gama=-1 00(T/m3) H=2 500(m) Dirección=-Z | EMPUJE TIERRAS |
| 3 | (EF) presión hydrostática | 2 LADO(1) | Gama=-1 00(T/m3) H=3 000(m) Dirección=-Z | EMPUJE HIDROSTATICO |
| 3 | (EF) presión hydrostática | 2 LADO(2 3) | Gama=1 00(T/m3) H=3 000(m) Dirección=-Z | EMPUJE HIDROSTATICO |
| 3 | (EF) presión hydrostática | 4 | Gama=-1 00(T/m3) H=3 000(m) Dirección=-Z | EMPUJE HIDROSTATICO |
| 3 | (EF) presión hydrostática | 1 | Gama=-1 00(T/m3) H=3 000(m) Dirección=-Z | EMPUJE HIDROSTATICO |

# 4. COMBINACIÓN DE ACCIONES

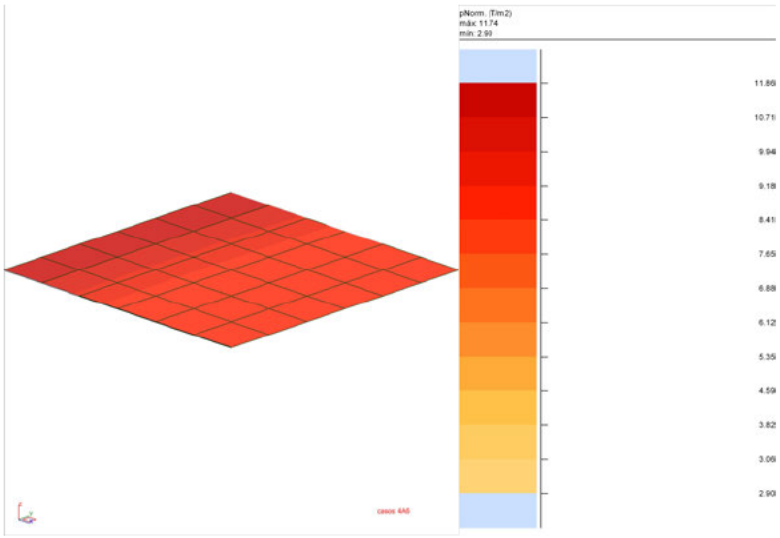
## Combinaciones de casos

- Casos: 4A11

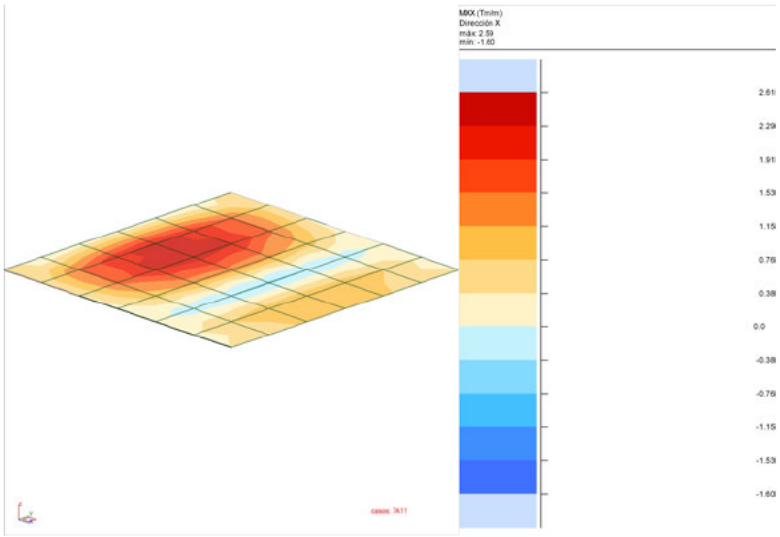
| Combinación | Nombre | Tipo de análisis | Naturaleza de combinación | Naturaleza de caso | Definición |
|---|---|---|---|---|---|
| 4 (C) | ELS1 | Combinación lineal | ELU | permanente | (1+2)*1.00 |
| 5 (C) | ELS2 | Combinación lineal | ELU | permanente | (1+3)*1.00 |
| 6 (C) | ELS3 | Combinación lineal | ELU | permanente | (1+2+3)*1.00 |
| 7 (C) | ELU1 | Combinación lineal | ELU | permanente | 1*1.00+2*1.60 |
| 8 (C) | ELU2 | Combinación lineal | ELU | permanente | 1*1.50+2*1.60 |
| 9 (C) | ELU3 | Combinación lineal | ELU | permanente | 1*1.00+3*1.60 |
| 10 (C) | ELU4 | Combinación lineal | ELU | permanente | 1*1.50+3*1.60 |
| 11 (C) | ELU5 | Combinación lineal | ELU | permanente | 1*1.50+(2+3)*1.60 |

## 5. GRÁFICOS DE ESFUERZOS

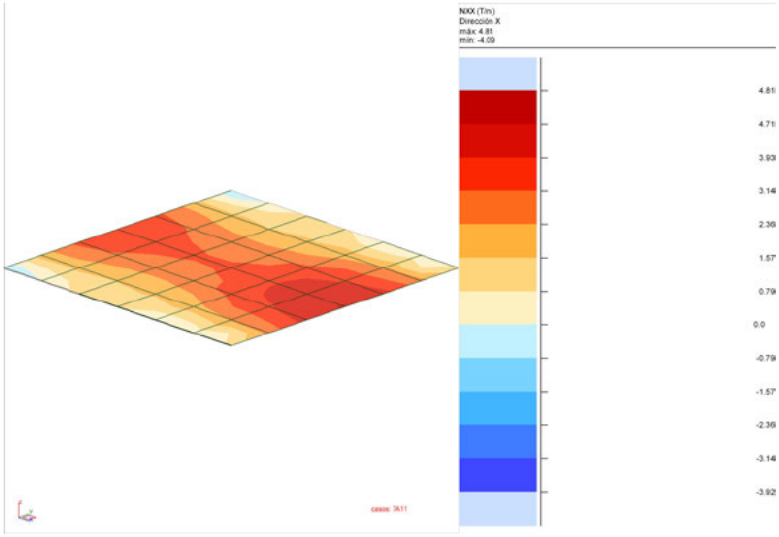
### pNorm. (T/m2) casos: 4A6 (+)



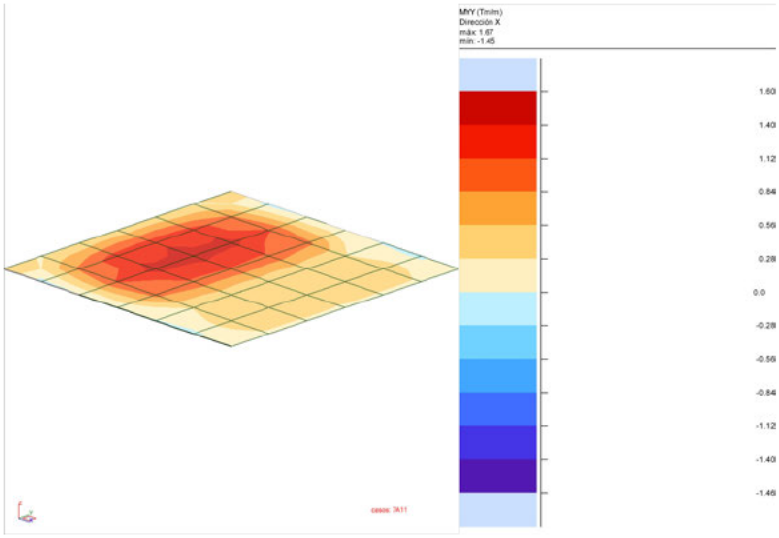

### MXX (Tm/m) Dirección X casos: 7A11 (+)



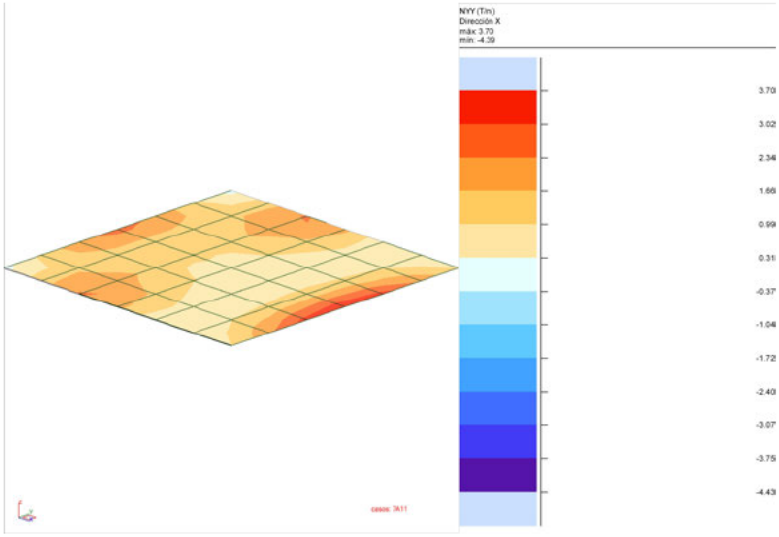
## NXX (T/m) Dirección X casos: 7A11 (+)



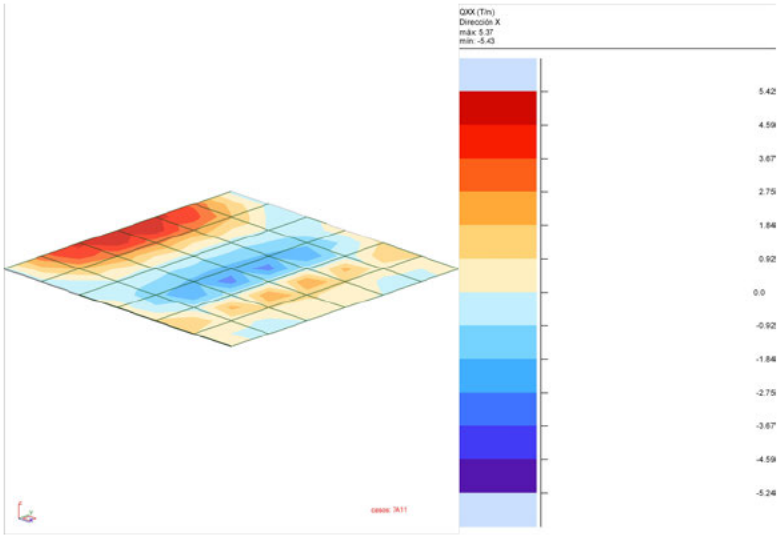

## MYY (Tm/m) Dirección X casos: 7A11 (+)



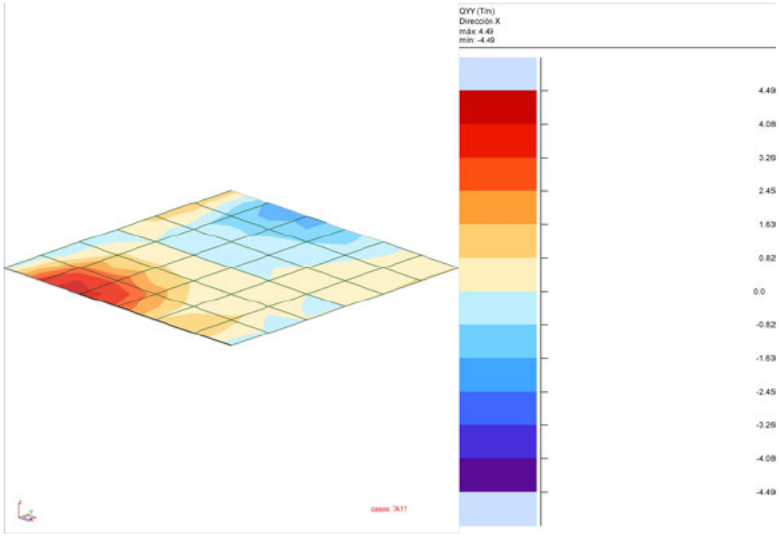
## NYY (T/m) Dirección X casos: 7A11 (+)



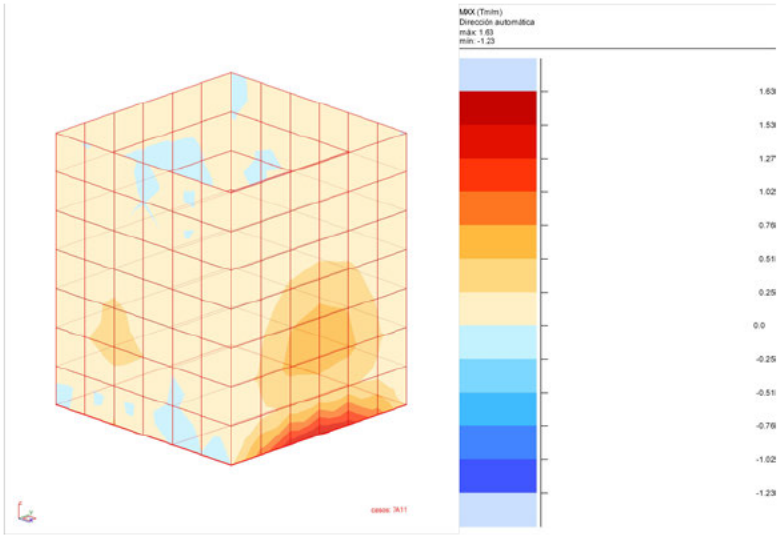

## QXX (T/m) Dirección X casos: 7A11 (+)



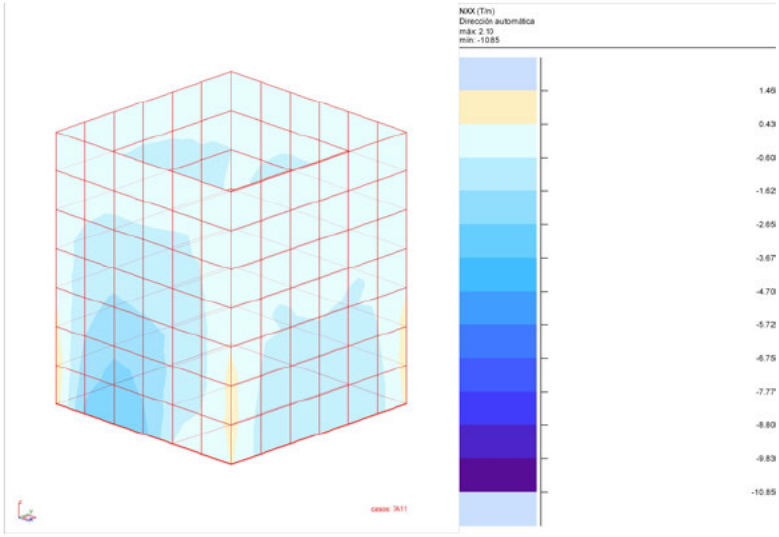
## QYY (T/m) Dirección X casos: 7A11 (+)



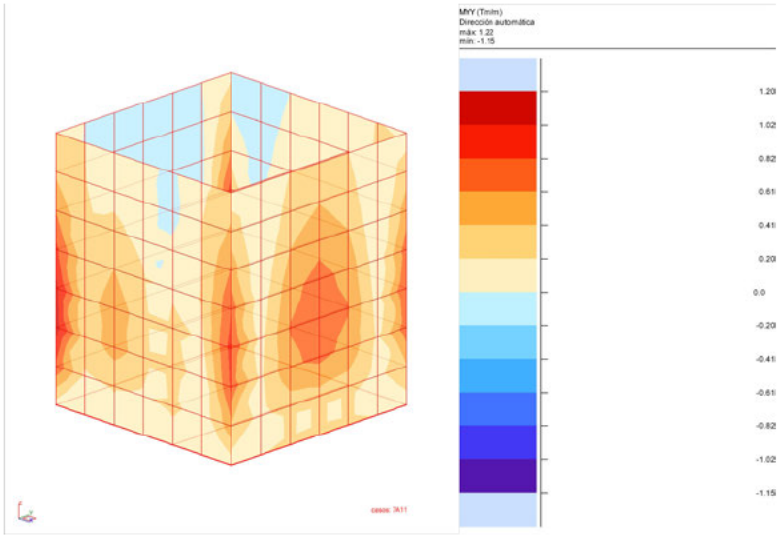

## MXX (Tm/m) Dirección automática casos: 7A11 (+)



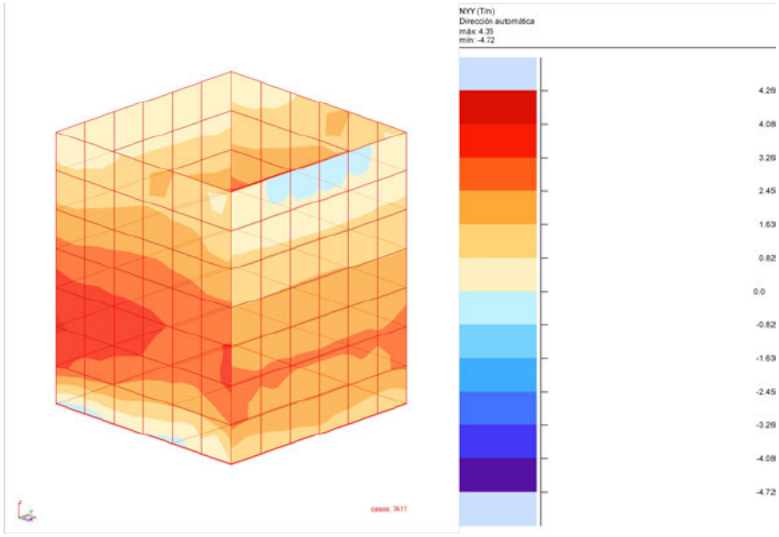
## NXX (T/m) Dirección automática casos: 7A11 (+)



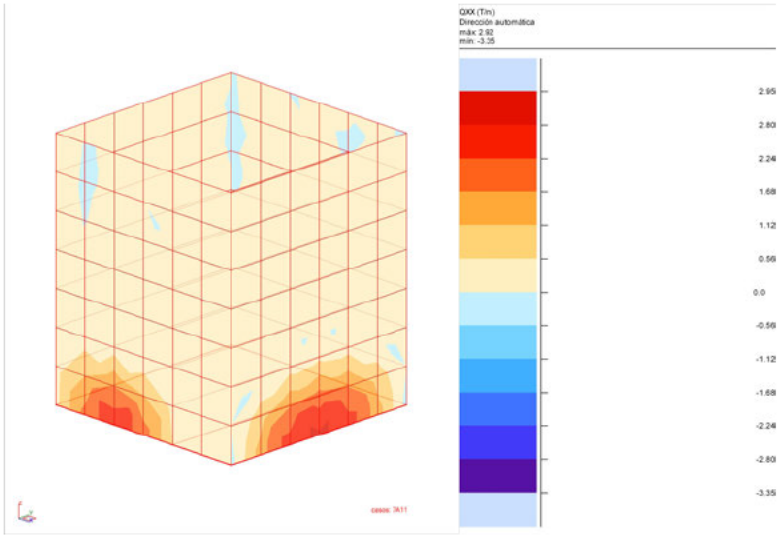

## MYY (Tm/m) Dirección automática casos: 7A11 (+)



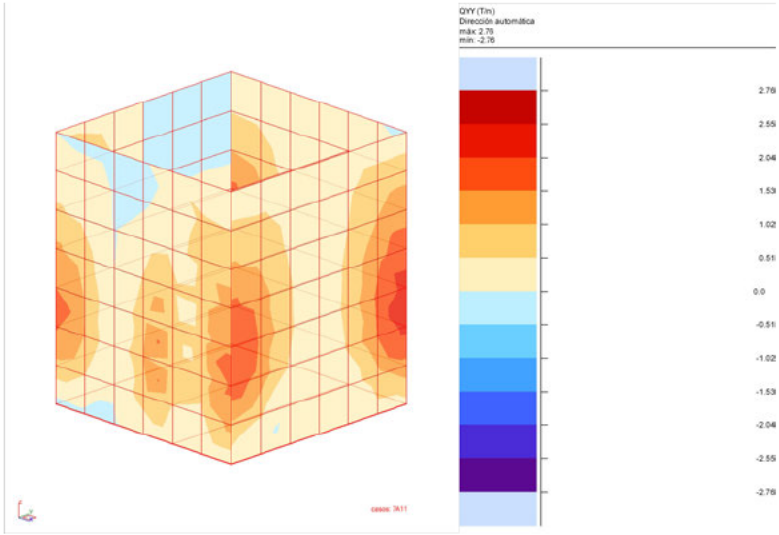
## NYY (T/m) Dirección automática casos: 7A11 (+)




## QXX (T/m) Dirección automática casos: 7A11 (+)



## QYY (T/m) Dirección automática casos: 7A11 (+)



## 5.1 LISTADOS ESFUERZOS E.L.U. - FLEXIÓN.

| Panel/Nudo/Caso | MXX (Tm/m) | MYY (Tm/m) | NXX (T/m) | NYY (T/m) | Definición |
|---|---|---|---|---|---|
| 1/ 24/ 11 (C) | 1.58>> | 2 58 | -2 07 | 2 23 | 1*1 50+(2+3)*1 60 |
| 1/ 45/ 8 (C) | -1.44<< | 0 15 | -4 32 | -3 65 | 1*1 50+2*1 60 |
| 1/ 24/ 11 (C) | 1 58 | 2.58>> | -2 07 | 2 23 | 1*1 50+(2+3)*1 60 |
| 1/ 28/ 8 (C) | -0 32 | -1.60<< | -0 57 | -3 92 | 1*1 50+2*1 60 |
| 1/ 28/ 10 (C) | 0 22 | 0 93 | 3.70>> | 4 80 | 1*1 50+3*1 60 |
| 1/ 22/ 8 (C) | 0 12 | -0 81 | -4.39<< | -0 86 | 1*1 50+2*1 60 |
| 1/ 28/ 9 (C) | 0 22 | 1 03 | 3 59 | 4.81>> | 1*1 00+3*1 60 |
| 1/ 28/ 8 (C) | -0 32 | -1 60 | -0 57 | -3.92<< | 1*1 50+2*1 60 |
| 2_Lado(2)/ 28/ 8 (C) | 1.63>> | 0 34 | -2 52 | -0 44 | 1*1 50+2*1 60 |
| 2_Lado(1)/ 3/ 8 (C) | -1.23<< | -0 23 | -6 67 | -2 74 | 1*1 50+2*1 60 |
| 2_Lado(1)/ 64/ 10 (C) | 0 20 | 1.14>> | 0 43 | 4 26 | 1*1 50+3*1 60 |
| 2_Lado(3)/ 182/ 10 (C) | -0 20 | -1.14<< | 0 43 | 4 26 | 1*1 50+3*1 60 |
| 2_Lado(1)/ 57/ 10 (C) | 0 09 | 0 79 | 1.19>> | 3 57 | 1*1 50+3*1 60 |
| 2_Lado(3)/ 45/ 11 (C) | 0 65 | 0 13 | -6.92<< | -1 81 | 1*1 50+(2+3)*1 60 |
| 2_Lado(3)/ 182/ 10 (C) | -0 20 | -1 14 | 0 43 | 4.26>> | 1*1 50+3*1 60 |
| 2_Lado(1)/ 70/ 7 (C) | -0 12 | -0 70 | -1 83 | -2.94<< | 1*1 00+2*1 60 |
| 3/ 26/ 11 (C) | 0.41>> | 0 11 | -8 91 | -2 69 | 1*1 50+(2+3)*1 60 |
| 3/ 244/ 10 (C) | -0.04<< | -0 10 | -3 80 | 2 94 | 1*1 50+3*1 60 |
| 3/ 228/ 11 (C) | 0 21 | 0.12>> | -7 65 | -0 28 | 1*1 50+(2+3)*1 60 |
| 3/ 178/ 10 (C) | -0 04 | -0.28<< | -1 99 | 4 01 | 1*1 50+3*1 60 |
| 3/ 261/ 7 (C) | -0 00 | 0 04 | -0.01>> | 0 73 | 1*1 00+2*1 60 |
| 3/ 26/ 10 (C) | 0 38 | 0 09 | -10.85<< | -2 46 | 1*1 50+3*1 60 |
| 3/ 178/ 10 (C) | -0 04 | -0 28 | -1 99 | 4.01>> | 1*1 50+3*1 60 |
| 3/ 68/ 7 (C) | -0 00 | 0 07 | -1 84 | -3.49<< | 1*1 00+2*1 60 |
| 4/ 22/ 9 (C) | 0.45>> | 0 04 | -4 27 | 1 00 | 1*1 00+3*1 60 |
| 4/ 284/ 11 (C) | -0.97<< | -0 91 | -5 70 | 1 41 | 1*1 50+(2+3)*1 60 |
| 4/ 64/ 10 (C) | 0 11 | 1.18>> | 0 34 | 3 91 | 1*1 50+3*1 60 |
| 4/ 291/ 11 (C) | -0 80 | -1.01<< | -4 21 | 1 38 | 1*1 50+(2+3)*1 60 |
| 4/ 1/ 10 (C) | -0 46 | -0 17 | 1.46>> | 0 73 | 1*1 50+3*1 60 |
| 4/ 22/ 8 (C) | -0 60 | -0 09 | -8.41<< | -4 72 | 1*1 50+2*1 60 |
| 4/ 182/ 10 (C) | 0 11 | 1 18 | 0 34 | 3.91>> | 1*1 50+3*1 60 |
| 4/ 22/ 8 (C) | -0 60 | -0 09 | -8 41 | -4.72<< | 1*1 50+2*1 60 |

## 5.2 LISTADOS ESFUERZOS E.L.U. - CORTANTE.

| Panel/Nudo/Caso | NXX (T/m) | NYY (T/m) | QXX (T/m) | QYY (T/m) | Definición |
|---|---|---|---|---|---|
| 1/ 28/ 10 (C) | 3.70>> | 4 80 | -0 00 | 0 42 | 1*1 50+3*1 60 |
| 1/ 22/ 8 (C) | -4.39<< | -0 86 | 0 00 | -5 37 | 1*1 50+2*1 60 |
| 1/ 28/ 9 (C) | 3 59 | 4.81>> | -0 00 | -0 13 | 1*1 00+3*1 60 |
| 1/ 28/ 8 (C) | -0 57 | -3.92<< | -0 00 | 2 10 | 1*1 50+2*1 60 |
| 1/ 3/ 8 (C) | -4 32 | -3 65 | 4.49>> | 0 35 | 1*1 50+2*1 60 |
| 1/ 45/ 8 (C) | -4 32 | -3 65 | -4.49<< | 0 35 | 1*1 50+2*1 60 |
| 1/ 25/ 11 (C) | -1 87 | 1 74 | 0 00 | 4.01>> | 1*1 50+(2+3)*1 60 |
| 1/ 22/ 8 (C) | -4 39 | -0 86 | 0 00 | -5.37<< | 1*1 50+2*1 60 |
| 2_Lado(1)/ 57/ 10 (C) | 1.19>> | 3 57 | 0 33 | -1 85 | 1*1 50+3*1 60 |
| 2_Lado(3)/ 45/ 11 (C) | -6.92<< | -1 81 | -0 93 | 0 11 | 1*1 50+(2+3)*1 60 |
| 2_Lado(3)/ 182/ 10 (C) | 0 43 | 4.26>> | -0 23 | 2 49 | 1*1 50+3*1 60 |
| 2_Lado(1)/ 70/ 7 (C) | -1 83 | -2.94<< | 0 11 | -1 29 | 1*1 00+2*1 60 |
| 2_Lado(2)/ 28/ 9 (C) | -1 50 | 1 48 | 2.92>> | -0 00 | 1*1 00+3*1 60 |
| 2_Lado(2)/ 28/ 8 (C) | -2 52 | -0 44 | -3.35<< | 0 00 | 1*1 50+2*1 60 |
| 2_Lado(3)/ 182/ 10 (C) | 0 43 | 4 26 | -0 23 | 2.49>> | 1*1 50+3*1 60 |
| 2_Lado(1)/ 64/ 10 (C) | 0 43 | 4 26 | 0 23 | -2.49<< | 1*1 50+3*1 60 |
| 3/ 261/ 7 (C) | -0.01>> | 0 73 | -0 01 | -0 10 | 1*1 00+2*1 60 |
| 3/ 26/ 10 (C) | -10.85<< | -2 46 | -0 44 | -0 00 | 1*1 50+3*1 60 |
| 3/ 178/ 10 (C) | -1 99 | 4.01>> | -0 11 | 0 41 | 1*1 50+3*1 60 |
| 3/ 68/ 7 (C) | -1 84 | -3.49<< | -0 35 | -0 03 | 1*1 00+2*1 60 |
| 3/ 251/ 10 (C) | -2 58 | 2 08 | 0.07>> | 0 10 | 1*1 50+3*1 60 |
| 3/ 5/ 11 (C) | -1 42 | -0 34 | -0.86<< | -0 31 | 1*1 50+(2+3)*1 60 |
| 3/ 171/ 11 (C) | -1 66 | 0 67 | -0 66 | 0.50>> | 1*1 50+(2+3)*1 60 |
| 3/ 61/ 11 (C) | -1 66 | 0 67 | -0 66 | -0.50<< | 1*1 50+(2+3)*1 60 |
| 4/ 1/ 10 (C) | 1.46>> | 0 73 | 0 80 | -0 51 | 1*1 50+3*1 60 |
| 4/ 22/ 8 (C) | -8.41<< | -4 72 | 0 33 | 0 00 | 1*1 50+2*1 60 |
| 4/ 182/ 10 (C) | 0 34 | 3.91>> | 0 73 | -2 76 | 1*1 50+3*1 60 |
| 4/ 22/ 8 (C) | -8 41 | -4.72<< | 0 33 | 0 00 | 1*1 50+2*1 60 |
| 4/ 182/ 11 (C) | -0 45 | 1 22 | 0.96>> | -2 21 | 1*1 50+(2+3)*1 60 |
| 4/ 22/ 11 (C) | -8 21 | -2 73 | -2.41<< | 0 00 | 1*1 50+(2+3)*1 60 |
| 4/ 64/ 10 (C) | 0 34 | 3 91 | 0 73 | 2.76>> | 1*1 50+3*1 60 |
| 4/ 182/ 10 (C) | 0 34 | 3 91 | 0 73 | -2.76<< | 1*1 50+3*1 60 |

## 5.3 LISTADOS ESFUERZOS E.L.S. - FISURACIÓN.

| Panel/Nudo/Caso | NXX (T/m) | NYY (T/m) | MXX (Tm/m) | MYY (Tm/m) | Definición |
|---|---|---|---|---|---|
| 1/ 28/ 5 (C) | 2.32>> | 3 00 | 0 14 | 0 57 | (1+3)*1 00 |
| 1/ 22/ 4 (C) | -2.77<< | -0 56 | 0 07 | -0 55 | (1+2)*1 00 |
| 1/ 28/ 5 (C) | 2 32 | 3.00>> | 0 14 | 0 57 | (1+3)*1 00 |
| 1/ 28/ 4 (C) | -0 34 | -2.45<< | -0 20 | -1 02 | (1+2)*1 00 |
| 1/ 24/ 6 (C) | -1 33 | 1 37 | 1.04>> | 1 69 | (1+2+3)*1 00 |
| 1/ 45/ 4 (C) | -2 73 | -2 34 | -0.93<< | 0 10 | (1+2)*1 00 |
| 1/ 24/ 6 (C) | -1 33 | 1 37 | 1 04 | 1.69>> | (1+2+3)*1 00 |
| 1/ 28/ 4 (C) | -0 34 | -2 45 | -0 20 | -1.02<< | (1+2)*1 00 |
| 2_Lado(1)/ 57/ 5 (C) | 0.75>> | 2 28 | 0 06 | 0 50 | (1+3)*1 00 |
| 2_Lado(3)/ 45/ 6 (C) | -4.54<< | -1 20 | 0 42 | 0 08 | (1+2+3)*1 00 |
| 2_Lado(3)/ 182/ 5 (C) | 0 23 | 2.70>> | -0 12 | -0 72 | (1+3)*1 00 |
| 2_Lado(1)/ 70/ 4 (C) | -1 34 | -1.78<< | -0 07 | -0 42 | (1+2)*1 00 |
| 2_Lado(2)/ 28/ 4 (C) | -1 72 | -0 29 | 1.03>> | 0 21 | (1+2)*1 00 |
| 2_Lado(1)/ 3/ 4 (C) | -4 39 | -1 78 | -0.78<< | -0 15 | (1+2)*1 00 |
| 2_Lado(1)/ 64/ 5 (C) | 0 23 | 2 70 | 0 12 | 0.72>> | (1+3)*1 00 |
| 2_Lado(3)/ 182/ 5 (C) | 0 23 | 2 70 | -0 12 | -0.72<< | (1+3)*1 00 |
| 3/ 261/ 4 (C) | -0.11>> | 0 73 | -0 00 | 0 03 | (1+2)*1 00 |
| 3/ 26/ 5 (C) | -7.16<< | -1 65 | 0 25 | 0 06 | (1+3)*1 00 |
| 3/ 178/ 5 (C) | -1 34 | 2.52>> | -0 03 | -0 18 | (1+3)*1 00 |
| 3/ 68/ 4 (C) | -1 71 | -2.06<< | -0 01 | 0 02 | (1+2)*1 00 |
| 3/ 26/ 6 (C) | -5 95 | -1 80 | 0.27>> | 0 07 | (1+2+3)*1 00 |
| 3/ 244/ 5 (C) | -2 50 | 1 85 | -0.03<< | -0 06 | (1+3)*1 00 |
| 3/ 228/ 6 (C) | -5 11 | -0 18 | 0 14 | 0.08>> | (1+2+3)*1 00 |
| 3/ 178/ 5 (C) | -1 34 | 2 52 | -0 03 | -0.18<< | (1+3)*1 00 |
| 4/ 1/ 5 (C) | 0.94>> | 0 46 | -0 30 | -0 11 | (1+3)*1 00 |
| 4/ 22/ 4 (C) | -5.54<< | -3 02 | -0 41 | -0 06 | (1+2)*1 00 |
| 4/ 182/ 5 (C) | 0 16 | 2.47>> | 0 07 | 0 75 | (1+3)*1 00 |
| 4/ 22/ 4 (C) | -5 54 | -3.02<< | -0 41 | -0 06 | (1+2)*1 00 |
| 4/ 22/ 6 (C) | -5 41 | -1 77 | 0.22>> | 0 03 | (1+2+3)*1 00 |
| 4/ 284/ 6 (C) | -3 76 | 0 91 | -0.62<< | -0 57 | (1+2+3)*1 00 |
| 4/ 64/ 5 (C) | 0 16 | 2 47 | 0 07 | 0.75>> | (1+3)*1 00 |
| 4/ 291/ 6 (C) | -2 78 | 0 89 | -0 50 | -0.63<< | (1+2+3)*1 00 |

# 6. LISTADOS CÁLCULOS ARMADURAS – ELU FLEXIÓN.

| REFERENCIA SECCIÓN | MATERIALES | | GEOMETRÍA DE LA SECCIÓN | | | | | SOLICITACIONES | |
|---|---|---|---|---|---|---|---|---|---|
| | Resistencia del hormigón (T/m2) | Resistencia del acero (T/m2) | Ancho (m) | Canto (m) | Recubrimiento (m) | Canto útil (m) | Disposición: Pilar 1 Losa 2 Viga 3 Muro 4 | Momento (T m) | Axil (T) Compresión (+) |
| LOSA | 3000.000 | 51000.000 | 1.000 | 0.500 | 0.050 | 0.450 | 2 | 1.580 | 2.070 |
| LOSA | 3000.000 | 51000.000 | 1.000 | 0.500 | 0.050 | 0.450 | 2 | -1.440 | 4.320 |
| LOSA | 3000.000 | 51000.000 | 1.000 | 0.500 | 0.050 | 0.450 | 2 | 0.220 | -3.700 |
| LOSA | 3000.000 | 51000.000 | 1.000 | 0.500 | 0.050 | 0.450 | 2 | 0.120 | 4.390 |
| LOSA | 3000.000 | 51000.000 | 1.000 | 0.500 | 0.050 | 0.450 | 2 | 2.580 | -2.230 |
| LOSA | 3000.000 | 51000.000 | 1.000 | 0.500 | 0.050 | 0.450 | 2 | -1.600 | 3.920 |
| LOSA | 3000.000 | 51000.000 | 1.000 | 0.500 | 0.050 | 0.450 | 2 | 1.030 | -4.810 |
| LOSA | 3000.000 | 51000.000 | 1.000 | 0.500 | 0.050 | 0.450 | 2 | -1.600 | 3.920 |
| MURO | 3000.000 | 51000.000 | 1.000 | 0.300 | 0.050 | 0.250 | 4 | 1.630 | 2.520 |
| MURO | 3000.000 | 51000.000 | 1.000 | 0.300 | 0.050 | 0.250 | 4 | -1.230 | 6.670 |
| MURO | 3000.000 | 51000.000 | 1.000 | 0.300 | 0.050 | 0.250 | 4 | 0.090 | -1.190 |
| MURO | 3000.000 | 51000.000 | 1.000 | 0.300 | 0.050 | 0.250 | 4 | 0.650 | 6.920 |
| MURO | 3000.000 | 51000.000 | 1.000 | 0.300 | 0.050 | 0.250 | 4 | 1.140 | -4.260 |
| MURO | 3000.000 | 51000.000 | 1.000 | 0.300 | 0.050 | 0.250 | 4 | -1.140 | -4.260 |
| MURO | 3000.000 | 51000.000 | 1.000 | 0.300 | 0.050 | 0.250 | 4 | -1.140 | -4.260 |
| MURO | 3000.000 | 51000.000 | 1.000 | 0.300 | 0.050 | 0.250 | 4 | -0.700 | 2.940 |

| RESULTADOS Md<=Mlim | | | | | |
|---|---|---|---|---|---|
| $M_{As}$ | $E_{yd}$ | $x_{lim}$ | $M_{lim}$ | x | As |
| 1.994 | 0.002217 | 0.275 | 127.309 | 0.003 | 0.000054 |
| 2.304 | 0.002217 | 0.275 | 127.309 | 0.004 | 0.000018 |
| -0.520 | 0.002217 | 0.275 | 127.309 | -0.001 | 0.000057 |
| 0.998 | 0.002217 | 0.275 | 127.309 | 0.002 | -0.000049 |
| 2.134 | 0.002217 | 0.275 | 127.309 | 0.003 | 0.000158 |
| 2.384 | 0.002217 | 0.275 | 127.309 | 0.004 | 0.000031 |
| 0.068 | 0.002217 | 0.275 | 127.309 | 0.000 | 0.000112 |
| 2.384 | 0.002217 | 0.275 | 127.309 | 0.004 | 0.000031 |
| 1.882 | 0.002217 | 0.153 | 39.293 | 0.006 | 0.000114 |
| 1.897 | 0.002217 | 0.153 | 39.293 | 0.006 | 0.000022 |
| -0.029 | 0.002217 | 0.153 | 39.293 | 0.000 | 0.000024 |
| 1.342 | 0.002217 | 0.153 | 39.293 | 0.004 | -0.000034 |
| 0.714 | 0.002217 | 0.153 | 39.293 | 0.002 | 0.000161 |
| 0.714 | 0.002217 | 0.153 | 39.293 | 0.002 | 0.000161 |
| 0.714 | 0.002217 | 0.153 | 39.293 | 0.002 | 0.000161 |
| 0.994 | 0.002217 | 0.153 | 39.293 | 0.003 | 0.000024 |

| CUANTÍAS MÍNIMAS | | ARMADURA NECESARIA | | ARMADURA DISPUESTA | | | | | |
|---|---|---|---|---|---|---|---|---|---|
| Mecánica | Geométrica | Cara de tracción (cm2) | Cara de compresión (cm2) | NÚMERO | DIÁMETRO | ÁREA ARMADURA DE TRACCIÓN DISPUESTA | NÚMERO | DIÁMETRO | ÁREA ARMADURA DE COMPRESIÓN DISPUESTA |
| 0.000940 | 0.000450 | 9.40 | 9.40 | 5 | 16 | 10.053 | 5 | 16 | 10.053 |
| 0.000940 | 0.000450 | 9.40 | 9.40 | 5 | 16 | 10.053 | 5 | 16 | 10.053 |
| 0.000940 | 0.000450 | 9.40 | 9.40 | 5 | 16 | 10.053 | 5 | 16 | 10.053 |
| 0.000940 | 0.000450 | 9.40 | 9.40 | 5 | 16 | 10.053 | 5 | 16 | 10.053 |
| 0.000940 | 0.000450 | 9.40 | 9.40 | 5 | 16 | 10.053 | 5 | 16 | 10.053 |
| 0.000940 | 0.000450 | 9.40 | 9.40 | 5 | 16 | 10.053 | 5 | 16 | 10.053 |
| 0.000940 | 0.000450 | 9.40 | 9.40 | 5 | 16 | 10.053 | 5 | 16 | 10.053 |
| 0.000940 | 0.000450 | 9.40 | 9.40 | 5 | 16 | 10.053 | 5 | 16 | 10.053 |
| 0.000564 | 0.000270 | 5.64 | 5.64 | 5 | 12 | 5.655 | 5 | 12 | 5.655 |
| 0.000564 | 0.000270 | 5.64 | 5.64 | 5 | 12 | 5.655 | 5 | 12 | 5.655 |
| 0.000564 | 0.000270 | 5.64 | 5.64 | 5 | 12 | 5.655 | 5 | 12 | 5.655 |
| 0.000564 | 0.000270 | 5.64 | 5.64 | 5 | 12 | 5.655 | 5 | 12 | 5.655 |
| 0.000564 | 0.000270 | 5.64 | 5.64 | 5 | 12 | 5.655 | 5 | 12 | 5.655 |
| 0.000564 | 0.000270 | 5.64 | 5.64 | 5 | 12 | 5.655 | 5 | 12 | 5.655 |
| 0.000564 | 0.000270 | 5.64 | 5.64 | 5 | 12 | 5.655 | 5 | 12 | 5.655 |

# 7. LISTADOS CÁLCULOS ARMADURAS – ELU CORTANTE.

| REFERENCIA SECCIÓN | MATERIALES | | GEOMETRÍA DE LA SECCIÓN | | | | | SOLICITACIONES | |
|---|---|---|---|---|---|---|---|---|---|
| | Resistencia del hormigón (T/m2) | Resistencia del acero (T/m2) | Ancho (m) | Anchura neta mínima del elemento (m) | Canto (m) | Recubrimiento (m) | Canto útil (m) | Cortante (T) | Axil (T) Compresión (+) |
| LOSA | 3000.000 | 51000.000 | 1.000 | 1.000 | 0.500 | 0.050 | 0.450 | 4.490 | 4.320 |
| LOSA | 3000.000 | 51000.000 | 1.000 | 1.000 | 0.500 | 0.050 | 0.450 | 4.490 | 4.320 |
| MURO | 3000.000 | 51000.000 | 1.000 | 1.000 | 0.300 | 0.050 | 0.250 | 4.010 | -1.740 |
| MURO | 3000.000 | 51000.000 | 1.000 | 1.000 | 0.300 | 0.050 | 0.250 | 5.370 | 0.860 |

| Vu1 (Agotamiento por compresión oblicua en el alma) | | | | Vu2 (Agotamiento por tracción en el alma) Sin armadura de cortante | | | Vu2 (Agotamiento por tracción en el alma) Con armadura de cortante | |
|---|---|---|---|---|---|---|---|---|
| K | cotg(Alfa) | cotg(Teta) | Vu1 | Cuantía geométrica de armadura longitudinal traccionada | Epsilon | Vu2 (T) | Vcu (T) (Contribución del hormigón) | Área necesaria de cortante (cm2) $A_{90}$ |
| 1.659 | 0.000000 | 1.000 | 270.000 | 0.002 | 1.667 | 17.173 | 13.825 | 0.00 |
| 1.659 | 0.000000 | 1.000 | 270.000 | 0.002 | 1.667 | 17.173 | 13.825 | 0.00 |
| 1.672 | 0.000000 | 1.000 | 150.000 | 0.002 | 1.894 | 10.531 | 8.957 | 0.00 |
| 1.664 | 0.000000 | 1.000 | 150.000 | 0.002 | 1.894 | 10.856 | 8.957 | 0.00 |

## 8. LISTADOS CÁLCULOS ARMADURAS – ELS ABERTURA DE FISURA.

| | | | MATERIALES | | | | GEOMÉTRIA | | | As Tracc. | | As Comp. | | | | Esf. Caracterist. | |
|---|---|---|---|---|---|---|---|---|---|---|---|---|---|---|---|---|---|
| Tipo Amb. | Wk,adm (mm) | Viga Losa | fck (Kg/cm2) | γc | fyk (Kg/cm2) | γs | Ancho b(cm) | Canto h(cm) | Recu (cm) | ϕ (mm) | n°ϕ | ϕ (mm) | n°ϕ | k1 | k2 | Nk (T) | Mk (mT) |
| Qb | 0 10 | L | 300 | 1 5 | 5100 | 1 15 | 100 | 50 | 5 | 16 | 5 | 16 | 5 | 0 146 | 0 5 | 2 32 | 0 14 |
| Qb | 0 10 | L | 300 | 1 5 | 5100 | 1 15 | 100 | 50 | 5 | 16 | 5 | 16 | 5 | 0 125 | 0 5 | 3 | 0 57 |
| Qb | 0 10 | L | 300 | 1 5 | 5100 | 1 15 | 100 | 30 | 5 | 12 | 5 | 12 | 5 | 0 125 | 0 5 | 0 75 | 0 06 |
| Qb | 0 10 | L | 300 | 1 5 | 5100 | 1 15 | 100 | 30 | 5 | 12 | 5 | 12 | 5 | 0 125 | 0 5 | 2 7 | 0 72 |

| Sm (cm) | Nfis (T) | Mfis (mT) | σsr (Kg/cm2) | σs (Kg/cm2) | εsm | wk (mm) | Comentario |
|---|---|---|---|---|---|---|---|
| 25 63 | 90 63 | 5 47 | 5924 34 | 151 65 | 0 00003 | 0 013 | Cumple |
| 23 95 | 47 89 | 9 10 | 4693 21 | 11 53 | 0 00000 | 0 001 | Cumple |
| 20 76 | 35 81 | 2 87 | 5731 15 | 3 54 | 0 00000 | 0 000 | Cumple |
| 20 76 | 14 72 | 3 92 | 4420 53 | 27 58 | 0 00001 | 0 002 | Cumple |

## 9. ESQUEMA DE ARMADURA.

La armadura mínima resulta suficiente para resistir los esfuerzos originados por las acciones de cálculo en la arqueta.

# ANEJO DE CÁLCULO

# 5.- DECANTADOR SECUNDARIO

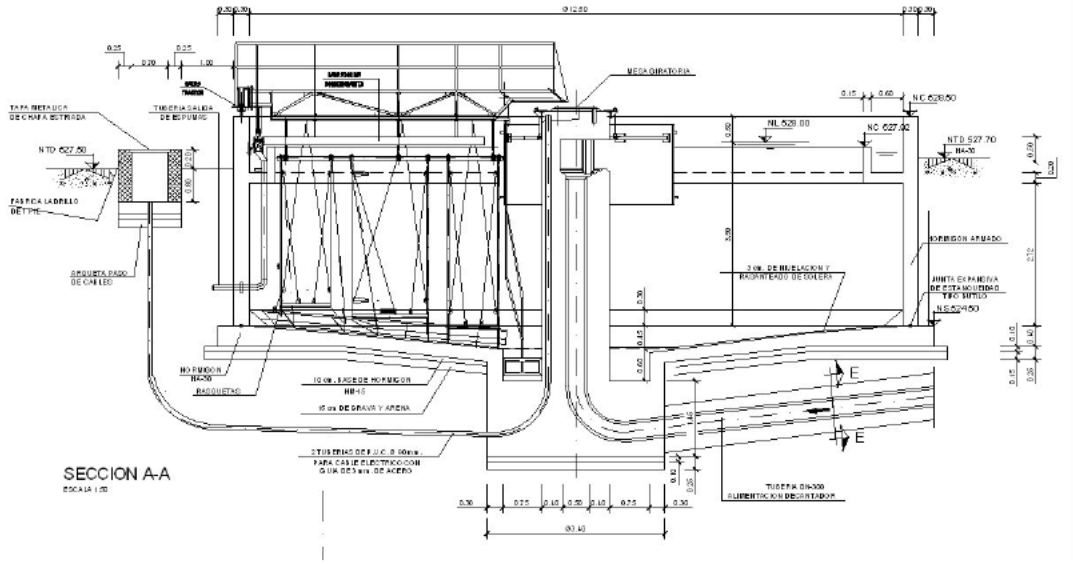
## INDICE

**1. INTRODUCCIÓN. ..... 1**
**2. ACCIONES A CONSIDERAR ..... 1**
2.1 PESO PROPIO ..... 1
2.2 PRESION DE AGUA ..... 1
2.3 PRESION DE TIERRAS ..... 2
2.4 SOBRECARGAS DE USO ADYACENTES. ..... 2
**3. DISCRETIZACIÓN DE LA ESTRUCTURA. ..... 2**
**4. ACCIONES DE CÁLCULO ..... 4**
**5. COMBINACIÓN DE ACCIONES ..... 5**
**6. COMPROBACIÓN DE LA CIMENTACIÓN. ..... 5**
**7. GRÁFICOS DE ESFUERZOS. ..... 7**
7.1 GRÁFICOS ESFUERZOS ELU - CIMENTACIÓN ..... 7
7.2 GRÁFICOS ESFUERZOS ELU – MURO. ..... 10
**8. LISTADOS DE SALIDA DE ESFUERZOS ELU - ELS. ..... 13**
8.1 LISTADOS ESFUERZOS E.L.U. - FLEXIÓN. ..... 13
8.2 LISTADOS ESFUERZOS E.L.U. - CORTANTE. ..... 14
8.3 LISTADOS ESFUERZOS E.L.S. ..... 15
**9. DIMENSIONAMIENTO DE ARMADURAS PARA ELU. ..... 16**
9.1 ARMADURAS PARA E.L.U. DE FLEXIÓN. ..... 16
9.2 ARMADURAS PARA ELU DE CORTANTE. ..... 16
**10. COMPROBACIONES DEL ELS DE FISURACIÓN. ..... 17**
**11. COMPROBACIONES EN PARED ..... 18**
11.1 AGOTAMIENTO POR FLEXIÓN ..... 18
11.2 AGOTAMIENTO POR ESFUERZO CORTANTE. ..... 19
11.3 ESTADO LÍMITE DE FISURACIÓN. ..... 20
**12. COMPROBACIONES EN CIMENTACIÓN ..... 21**
12.1 AGOTAMIENTO POR FLEXIÓN ..... 21
12.2 AGOTAMIENTO POR ESFUERZO CORTANTE ..... 22
12.3 ESTADO LÍMITE DE FISURACIÓN. ..... 23

# 1. INTRODUCCIÓN.

El decantador secundario responde a la tipología de depósito circular con un diámetro interior de 12.50 metros y una altura del muro perimetral 4.00 metros.

El muro tiene un espesor de 0.30 metros, y su cimiento de 0.40 metros; variando hasta 0.30 metros en la losa inferior.




# 2. ACCIONES A CONSIDERAR

## 2.1 PESO PROPIO

Se obtiene aplicando un peso específico del hormigón de 25 KN/m$^3$.

## 2.2 PRESION DE AGUA

Se tiene en cuenta como un fluido de peso específico 10 KN/m$^3$.

La altura máxima de aguas en el interior del depósito es de 3.50 metros.

## 2.3 PRESION DE TIERRAS

Se tiene en cuenta una acción vertical de las tierras con un peso específico de 20,00 KN/$m^3$.

Por otro lado se tiene en cuenta un empuje horizontal triangular de las tierras con ángulo de rozamiento de 30º y coeficiente de empuje horizontal al reposo de 0,50.

La altura de las tierras se ha considerado, a efectos de cálculo, de 3.20 metros sobre el nivel superior de la solera.

## 2.4 SOBRECARGAS DE USO ADYACENTES.

Se consideran 10 KN/$m^2$ en trasdós de muros y coeficiente de empuje horizontal al reposo de 0,50.

## 3. DISCRETIZACIÓN DE LA ESTRUCTURA.

Para el análisis se ha realizado un modelo de elementos finitos tridimensional del depósito.

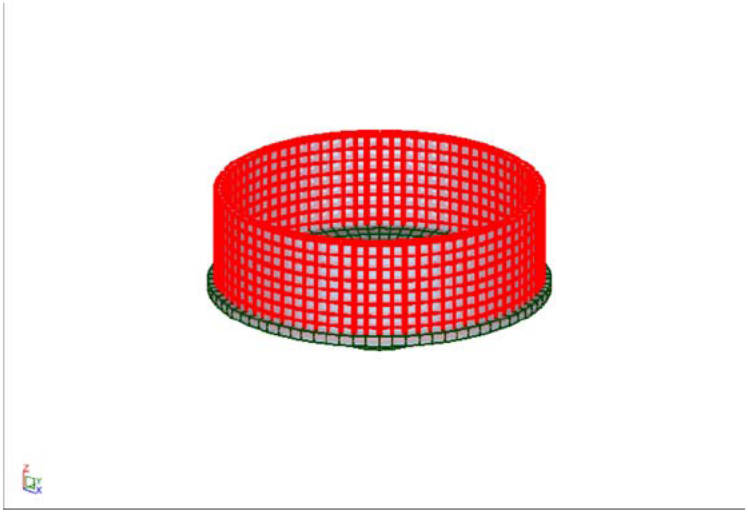
No se han incluido en el mismo los muretes interiores debido a que no interfieren en la rigidez de la losa debido al espesor de ésta.

Se han usado elementos tipo placa rectangulares asignando los espesores adecuados.

## Características: Paneles:

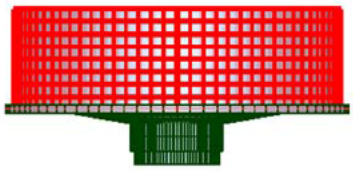
| Nombre de espesor | Lista de paneles | Material | Tipo de espesor | Espesor (cm) | KZ (T/m3) | E (T/m2) | NI |
|---|---|---|---|---|---|---|---|
| ESP30 | 6 | HA - 30 | constante | 30.000 | 0.0 | 2693070.52 | 0.20 |
| ESP30_KZ | 3 4 | HA - 30 | constante | 30.000 | 2000.00 | 2693070.52 | 0.20 |
| ESP40_KZ | 1 2 | HA - 30 | constante | 40.000 | 2000.00 | 2693070.52 | 0.20 |
| ESP100_KZ | 5 | HA - 30 | constante | 100.000 | 2000.00 | 2693070.52 | 0.20 |

## MODELO 3D



El apoyo en el terreno se modeliza según el coeficiente de balasto vertical KZ estimado de 2000 t/m$^3$.

***ALZADO***



## 4. ACCIONES DE CÁLCULO

En el modelo de cálculo se introducen las acciones antes indicadas, como cargas independientes actuando en los distintos paneles.

***Cargas***

***- Casos: 1A11***

| Caso | Tipo de carga | Lista | Valores de carga | Nombre del caso |
|---|---|---|---|---|
| 1 | peso propio | 1A6 | PZ Menos Coef=1 00 | PP |
| 2 | (EF) presión hydrostática | 6 | P=0 50(T/m2) Gama=1 00(T/m3) H=3 200(m) Dirección=-Z | EMPUJE DE TIERRAS |
| 3 | (EF) presión hydrostática | 6 | Gama=-1 00(T/m3) H=3 500(m) Dirección=-Z | EMPUJE HIDROSTÁTICO |
| 3 | (EF) presión hydrostática | 2A5 | Gama=-1 00(T/m3) H=3 500(m) Dirección=-Z | EMPUJE HIDROSTÁTICO |

Se resumen a continuación cada una de las acciones independientes.

## 5. COMBINACIÓN DE ACCIONES.

Para la comprobación de los estados límites ELU y ELS las acciones independientes se combinan de acuerdo a la instrucción EHE, de manera que se puedan obtener las distintas hipótesis de cálculo con las acciones combinadas y siendo afectadas por los correspondientes coeficientes de mayoración.

Se adjunta una tabla con las distintas hipótesis de cálculo consideradas para las comprobaciones de los estados límites últimos y de servicio.

***Combinaciones de casos***

***- Casos: 4A11***

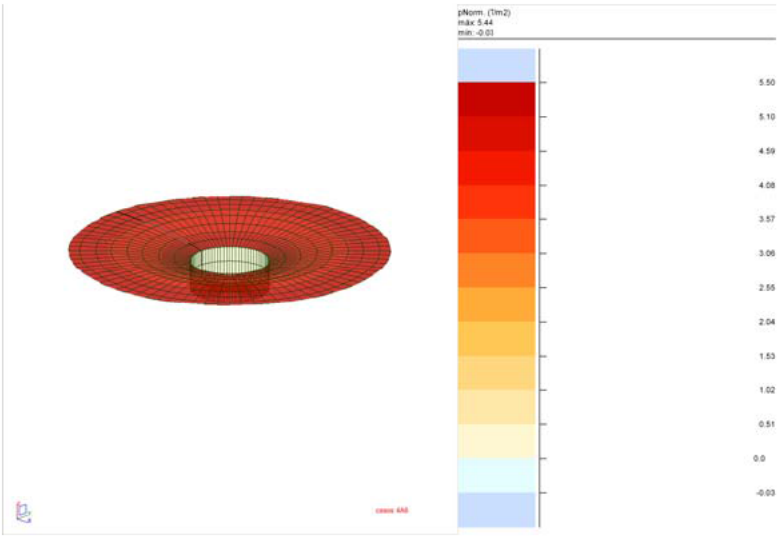
| Combinación | Nombre | Tipo de análisis | Naturaleza de combinación | Naturaleza de caso | Definición |
|---|---|---|---|---|---|
| **4 (C)** | ELS1 | Combinación lineal | ELU | | (1+2)*1.00 |
| **5 (C)** | ELS2 | Combinación lineal | ELU | | (1+3)*1.00 |
| **6 (C)** | ELS3 | Combinación lineal | ELU | | (1+2+3)*1.00 |
| **7 (C)** | ELU1 | Combinación lineal | ELU | | 1*1.00+2*1.60 |
| **8 (C)** | ELU2 | Combinación lineal | ELU | | 1*1.50+2*1.60 |
| **9 (C)** | ELU3 | Combinación lineal | ELU | | 1*1.50+3*1.60 |
| **10 (C)** | ELU4 | Combinación lineal | ELU | | 1*1.50+3*1.60 |
| **11 (C)** | ELU5 | Combinación lineal | ELU | | 1*1.50+(2+3)*1.60 |

## 6. COMPROBACIÓN DE LA CIMENTACIÓN.

Se comprueba que con la combinación de acciones características pésima las tensiones que se obtienen en cimentación son inferiores a la tensión media admisible asignada en el informe geotécnico.

$$\sigma_{\max,cal} = 5.44T/m^2 \leq \sigma_{media,adm} = 20{,}0T/m^2$$

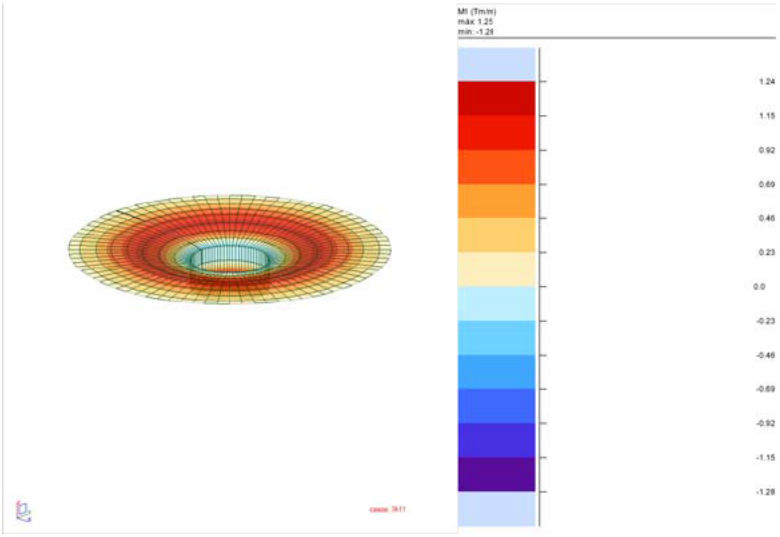
## pNorm. (T/m2) casos: 4A6 (+)



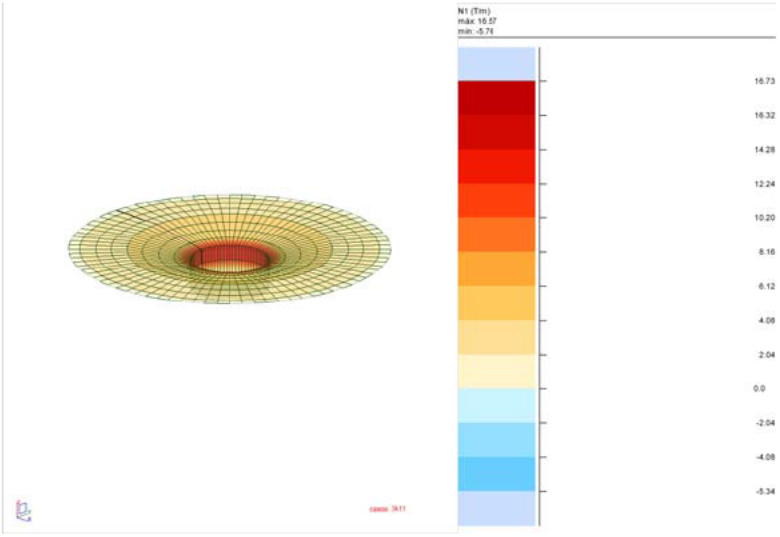
# 7. GRÁFICOS DE ESFUERZOS.

## 7.1 GRÁFICOS ESFUERZOS ELU - CIMENTACIÓN

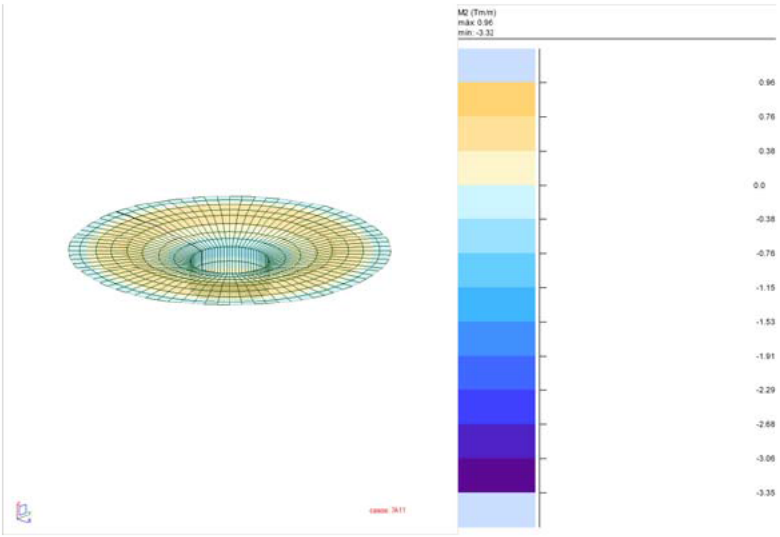
### M1 (Tm/m) casos: 7A11 (+)



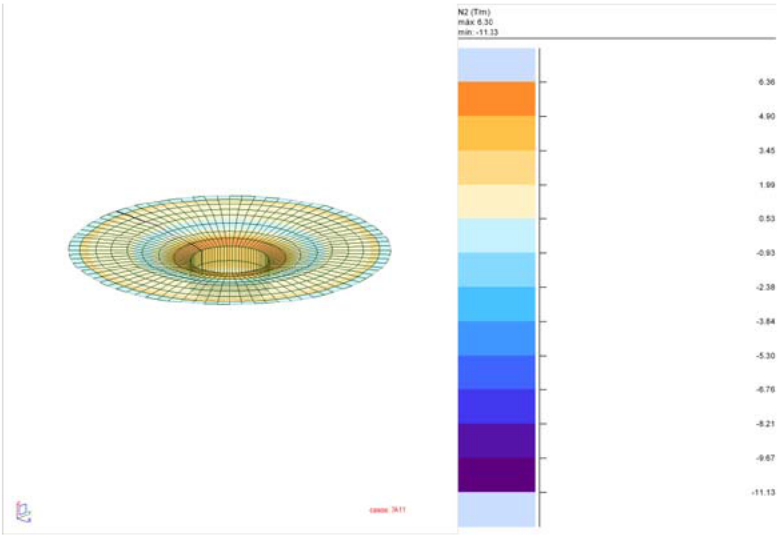

### N1 (T/m) casos: 7A11 (+)



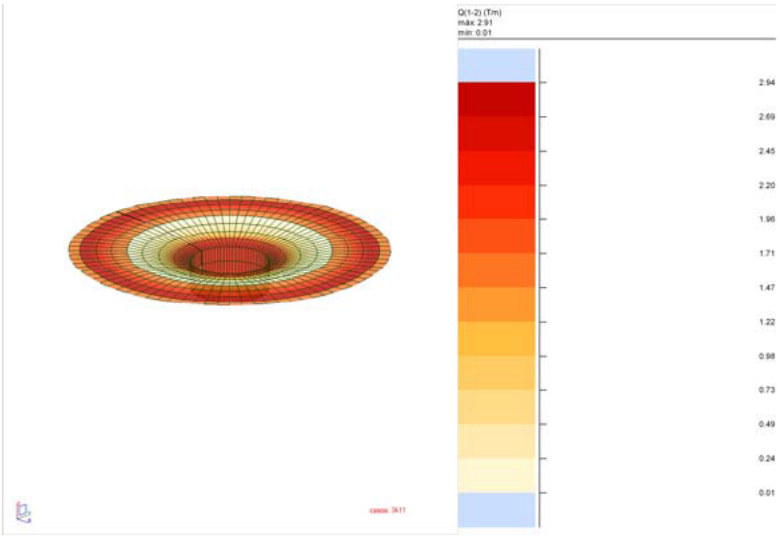
## M2 (Tm/m) casos: 7A11 (+)




## N2 (T/m) casos: 7A11 (+)

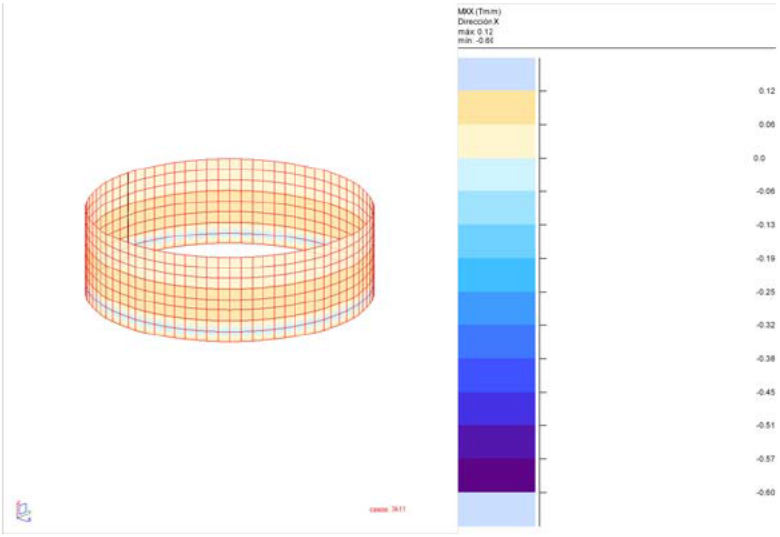


## Q(1-2) (T/m) casos: 7A11 (+)

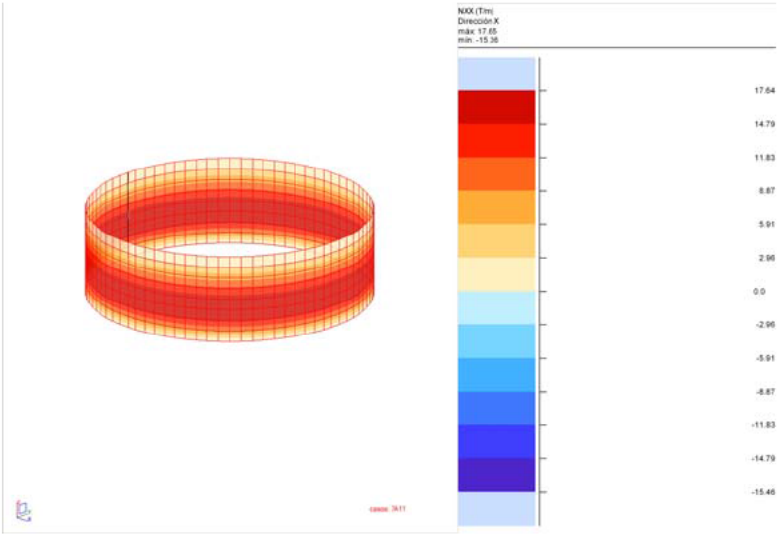


## 7.2 GRÁFICOS ESFUERZOS ELU – MURO.

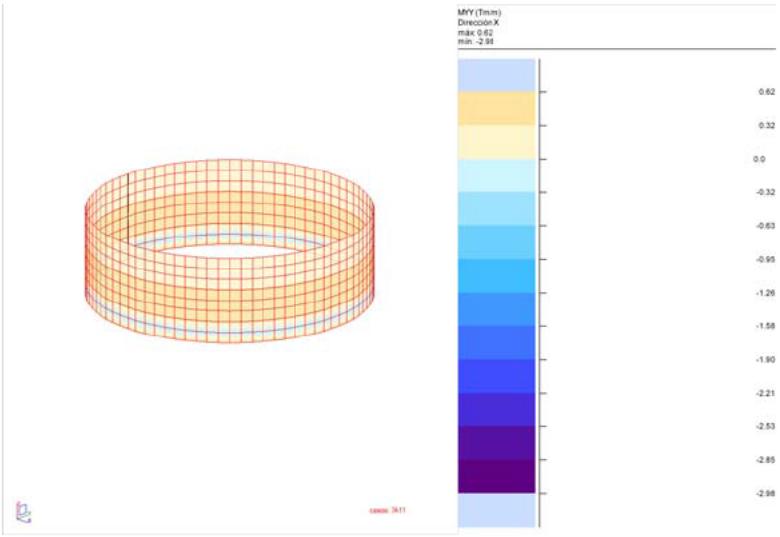
### MXX (Tm/m) Dirección X casos: 7A11 (+)



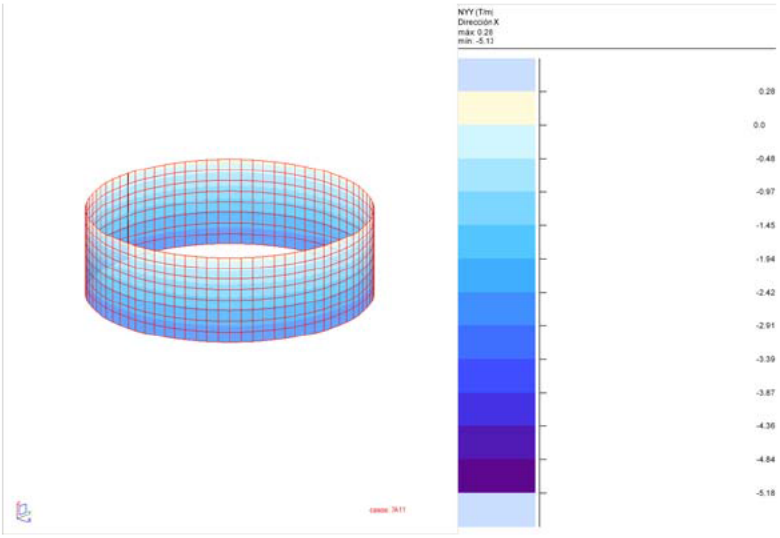

### NXX (T/m) Dirección X casos: 7A11 (+)



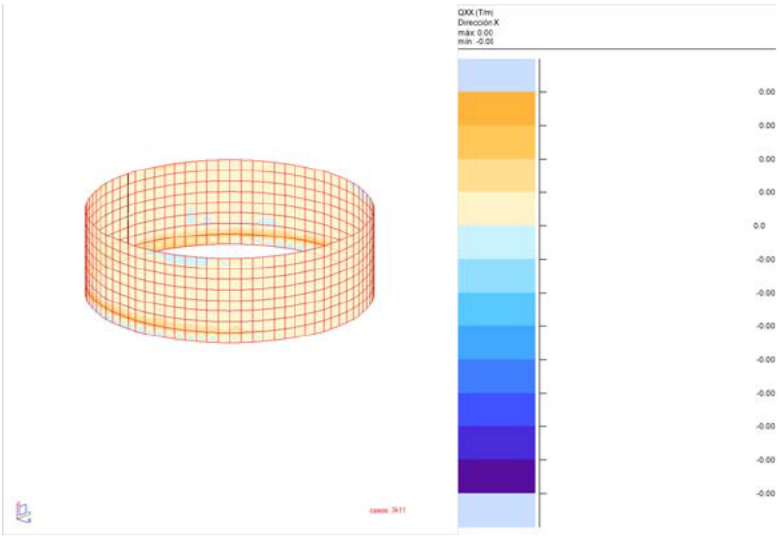
## MYY (Tm/m) Dirección X casos: 7A11 (+)



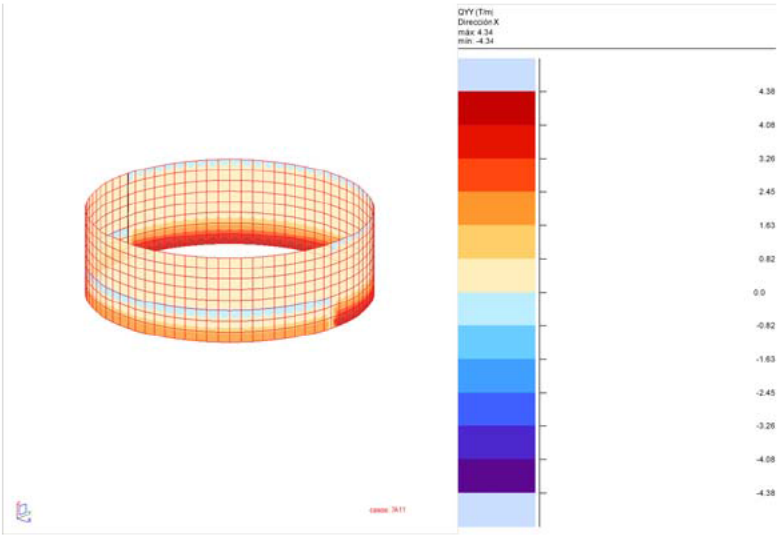

## NYY (T/m) Dirección X casos: 7A11 (+)



## QXX (T/m) Dirección X casos: 7A11 (+)




## QYY (T/m) Dirección X casos: 7A11 (+)



# 8. LISTADOS DE SALIDA DE ESFUERZOS ELU - ELS.

## 8.1 LISTADOS ESFUERZOS E.L.U. - FLEXIÓN.

| Panel/Nudo/Caso | MXX (Tm/m) | MYY (Tm/m) | NXX (T/m) | NYY (T/m) | Definición |
|---|---|---|---|---|---|
| 1/ 121/ 9 (C) | 0.23>> | -0 01 | 1 27 | -0 06 | 1*1 50+3*1 60 |
| 1/ 2/ 9 (C) | -0.71<< | 0 13 | -0 03 | 1 38 | 1*1 50+3*1 60 |
| 1/ 81/ 9 (C) | -0 01 | 0.23>> | -0 06 | 1 27 | 1*1 50+3*1 60 |
| 1/ 122/ 9 (C) | 0 13 | -0.71<< | 1 38 | -0 03 | 1*1 50+3*1 60 |
| 1/ 42/ 9 (C) | 0 13 | -0 71 | 1.38>> | -0 03 | 1*1 50+3*1 60 |
| 1/ 122/ 8 (C) | 0 18 | -0 22 | -4.48<< | 0 10 | 1*1 50+2*1 60 |
| 1/ 82/ 9 (C) | -0 71 | 0 13 | -0 03 | 1.38>> | 1*1 50+3*1 60 |
| 1/ 82/ 8 (C) | -0 22 | 0 18 | 0 10 | -4.48<< | 1*1 50+2*1 60 |
| 2/ 166/ 8 (C) | 1.05>> | 0 96 | -5 22 | -5 71 | 1*1 50+2*1 60 |
| 2/ 2/ 8 (C) | -3.31<< | -0 43 | -5 30 | -5 56 | 1*1 50+2*1 60 |
| 2/ 406/ 8 (C) | 0 96 | 1.05>> | -5 71 | -5 22 | 1*1 50+2*1 60 |
| 2/ 122/ 8 (C) | -0 43 | -3.31<< | -5 56 | -5 30 | 1*1 50+2*1 60 |
| 2/ 166/ 9 (C) | 0 78 | 0 37 | 3.91>> | 1 30 | 1*1 50+3*1 60 |
| 2/ 406/ 7 (C) | 0 58 | 0 66 | -5.81<< | -4 35 | 1*1 00+2*1 60 |
| 2/ 406/ 9 (C) | 0 37 | 0 78 | 1 30 | 3.91>> | 1*1 50+3*1 60 |
| 2/ 326/ 7 (C) | 0 66 | 0 58 | -4 35 | -5.81<< | 1*1 00+2*1 60 |
| 3/ 488/ 8 (C) | 1.22>> | 0 43 | -5 18 | -8 75 | 1*1 50+2*1 60 |
| 3/ 491/ 11 (C) | -1.97<< | -0 76 | 5 37 | 11 17 | 1*1 50+(2+3)*1 60 |
| 3/ 788/ 8 (C) | 0 43 | 1.22>> | -8 75 | -5 18 | 1*1 50+2*1 60 |
| 3/ 791/ 11 (C) | -0 76 | -1.97<< | 11 17 | 5 37 | 1*1 50+(2+3)*1 60 |
| 3/ 791/ 9 (C) | -0 71 | -1 93 | 14.28>> | 6 30 | 1*1 50+3*1 60 |
| 3/ 789/ 8 (C) | 0 19 | 1 01 | -11.10<< | -4 30 | 1*1 50+2*1 60 |
| 3/ 491/ 9 (C) | -1 93 | -0 71 | 6 30 | 14.28>> | 1*1 50+3*1 60 |
| 3/ 489/ 8 (C) | 1 01 | 0 19 | -4 30 | -11.10<< | 1*1 50+2*1 60 |
| 4/ 1092/ 9 (C) | 0.23>> | 1 15 | 0 63 | 2 37 | 1*1 50+3*1 60 |
| 4/ 491/ 11 (C) | -0.37<< | -1 87 | 13 70 | 3 86 | 1*1 50+(2+3)*1 60 |
| 4/ 1101/ 9 (C) | 0 23 | 1.15>> | 0 63 | 2 37 | 1*1 50+3*1 60 |
| 4/ 491/ 11 (C) | -0 37 | -1.87<< | 13 70 | 3 86 | 1*1 50+(2+3)*1 60 |
| 4/ 491/ 9 (C) | -0 36 | -1 82 | 16.57>> | 4 33 | 1*1 50+3*1 60 |
| 4/ 491/ 8 (C) | -0 18 | -0 89 | -7.80<< | 1 06 | 1*1 50+2*1 60 |
| 4/ 1013/ 9 (C) | -0 07 | -0 36 | 14 00 | 4.43>> | 1*1 50+3*1 60 |
| 4/ 691/ 7 (C) | -0 12 | -0 61 | -6 15 | 0.55<< | 1*1 00+2*1 60 |
| 5/ 1014/ 9 (C) | 1.24>> | 0 01 | 4 21 | 4 21 | 1*1 50+3*1 60 |
| 5/ 1138/ 9 (C) | -1.28<< | -1 28 | 4 21 | 4 21 | 1*1 50+3*1 60 |
| 5/ 1074/ 9 (C) | 0 01 | 1.24>> | 4 21 | 4 21 | 1*1 50+3*1 60 |
| 5/ 1138/ 9 (C) | -1 28 | -1.28<< | 4 21 | 4 21 | 1*1 50+3*1 60 |
| 5/ 1014/ 11 (C) | 1 22 | 0 06 | 4.32>> | 4 32 | 1*1 50+(2+3)*1 60 |
| 5/ 927/ 7 (C) | -0 00 | 0 04 | 0.47<< | 0 47 | 1*1 00+2*1 60 |
| 5/ 1071/ 11 (C) | 0 06 | 1 21 | 4 32 | 4.32>> | 1*1 50+(2+3)*1 60 |
| 5/ 1136/ 7 (C) | -0 14 | -0 24 | 0 47 | 0.47<< | 1*1 00+2*1 60 |
| 6/ 1786/ 7 (C) | 0.12>> | 0 62 | -15 15 | -2 03 | 1*1 00+2*1 60 |
| 6/ 2/ 8 (C) | -0.60<< | -2 98 | -3 42 | -4 19 | 1*1 50+2*1 60 |
| 6/ 1822/ 7 (C) | 0 12 | 0.62>> | -15 15 | -2 03 | 1*1 00+2*1 60 |
| 6/ 2/ 8 (C) | -0 60 | -2.98<< | -3 42 | -4 19 | 1*1 50+2*1 60 |
| 6/ 1813/ 9 (C) | -0 14 | -0 71 | 17.64>> | -2 63 | 1*1 50+3*1 60 |
| 6/ 1823/ 7 (C) | 0 10 | 0 51 | -15.31<< | -1 63 | 1*1 00+2*1 60 |
| 6/ 1827/ 7 (C) | -0 00 | -0 01 | 0 24 | 0.28>> | 1*1 00+2*1 60 |
| 6/ 82/ 9 (C) | 0 11 | 0 54 | 0 03 | -5.13<< | 1*1 50+3*1 60 |

## 8.2 LISTADOS ESFUERZOS E.L.U. - CORTANTE.

| Panel/Nudo/Caso | NXX (T/m) | NYY (T/m) | QXX (T/m) | QYY (T/m) | Definición |
|---|---|---|---|---|---|
| 1/ 42/ 9 (C) | 1.38>> | -0 03 | 0 00 | -1 58 | 1*1 50+3*1 60 |
| 1/ 122/ 8 (C) | -4.48<< | 0 10 | -0 00 | 0 47 | 1*1 50+2*1 60 |
| 1/ 82/ 9 (C) | -0 03 | 1.38>> | 1 58 | 0 00 | 1*1 50+3*1 60 |
| 1/ 82/ 8 (C) | 0 10 | -4.48<< | 0 47 | -0 00 | 1*1 50+2*1 60 |
| 1/ 81/ 9 (C) | -0 06 | 1 27 | 1.58>> | -0 00 | 1*1 50+3*1 60 |
| 1/ 2/ 9 (C) | -0 03 | 1 38 | -1.58<< | -0 00 | 1*1 50+3*1 60 |
| 1/ 121/ 9 (C) | 1 27 | -0 06 | -0 00 | 1.58>> | 1*1 50+3*1 60 |
| 1/ 42/ 9 (C) | 1 38 | -0 03 | 0 00 | -1.58<< | 1*1 50+3*1 60 |
| 2/ 166/ 9 (C) | 3.91>> | 1 30 | -0 01 | -0 00 | 1*1 50+3*1 60 |
| 2/ 406/ 7 (C) | -5.81<< | -4 35 | -0 00 | -1 16 | 1*1 00+2*1 60 |
| 2/ 406/ 9 (C) | 1 30 | 3.91>> | 0 00 | 0 01 | 1*1 50+3*1 60 |
| 2/ 326/ 7 (C) | -4 35 | -5.81<< | -1 16 | 0 00 | 1*1 00+2*1 60 |
| 2/ 2/ 8 (C) | -5 30 | -5 56 | 2.91>> | -0 00 | 1*1 50+2*1 60 |
| 2/ 82/ 8 (C) | -5 30 | -5 56 | -2.91<< | 0 00 | 1*1 50+2*1 60 |
| 2/ 42/ 8 (C) | -5 56 | -5 30 | -0 00 | 2.91>> | 1*1 50+2*1 60 |
| 2/ 122/ 8 (C) | -5 56 | -5 30 | -0 00 | -2.91<< | 1*1 50+2*1 60 |
| 3/ 791/ 9 (C) | 14.28>> | 6 30 | 0 00 | 2 89 | 1*1 50+3*1 60 |
| 3/ 789/ 8 (C) | -11.10<< | -4 30 | -0 00 | 0 65 | 1*1 50+2*1 60 |
| 3/ 491/ 9 (C) | 6 30 | 14.28>> | -2 89 | -0 00 | 1*1 50+3*1 60 |
| 3/ 489/ 8 (C) | -4 30 | -11.10<< | -0 65 | -0 00 | 1*1 50+2*1 60 |
| 3/ 691/ 9 (C) | 6 30 | 14 28 | 2.89>> | -0 00 | 1*1 50+3*1 60 |
| 3/ 491/ 9 (C) | 6 30 | 14 28 | -2.89<< | -0 00 | 1*1 50+3*1 60 |
| 3/ 791/ 9 (C) | 14 28 | 6 30 | 0 00 | 2.89>> | 1*1 50+3*1 60 |
| 3/ 591/ 9 (C) | 14 28 | 6 30 | 0 00 | -2.89<< | 1*1 50+3*1 60 |
| 4/ 491/ 9 (C) | 16.57>> | 4 33 | 0 00 | 0 00 | 1*1 50+3*1 60 |
| 4/ 491/ 8 (C) | -7.80<< | 1 06 | -0 00 | 0 00 | 1*1 50+2*1 60 |
| 4/ 1013/ 9 (C) | 14 00 | 4.43>> | 0 00 | -0 00 | 1*1 50+3*1 60 |
| 4/ 691/ 7 (C) | -6 15 | 0.55<< | 0 00 | -0 00 | 1*1 00+2*1 60 |
| 4/ 491/ 9 (C) | 16 57 | 4 33 | 0.00>> | 0 00 | 1*1 50+3*1 60 |
| 4/ 893/ 9 (C) | 14 00 | 4 43 | -0.00<< | 0 00 | 1*1 50+3*1 60 |
| 4/ 924/ 11 (C) | 0 74 | 2 20 | 0 00 | 2.66>> | 1*1 50+(2+3)*1 60 |
| 4/ 1104/ 11 (C) | 0 74 | 2 20 | 0 00 | -2.66<< | 1*1 50+(2+3)*1 60 |
| 5/ 1014/ 11 (C) | 4.32>> | 4 32 | 2 46 | 0 00 | 1*1 50+(2+3)*1 60 |
| 5/ 927/ 7 (C) | 0.47<< | 0 47 | -0 34 | -0 40 | 1*1 00+2*1 60 |
| 5/ 1071/ 11 (C) | 4 32 | 4.32>> | 0 19 | 2 45 | 1*1 50+(2+3)*1 60 |
| 5/ 1136/ 7 (C) | 0 47 | 0.47<< | -0 42 | 0 00 | 1*1 00+2*1 60 |
| 5/ 1014/ 9 (C) | 4 21 | 4 21 | 2.62>> | 0 00 | 1*1 50+3*1 60 |
| 5/ 894/ 9 (C) | 4 21 | 4 21 | -2.62<< | -0 00 | 1*1 50+3*1 60 |
| 5/ 1074/ 9 (C) | 4 21 | 4 21 | 0 00 | 2.62>> | 1*1 50+3*1 60 |
| 5/ 954/ 9 (C) | 4 21 | 4 21 | 0 00 | -2.62<< | 1*1 50+3*1 60 |
| 6/ 1813/ 9 (C) | 17.64>> | -2 63 | -0 00 | -0 41 | 1*1 50+3*1 60 |
| 6/ 1823/ 7 (C) | -15.31<< | -1 63 | 0 00 | 0 00 | 1*1 00+2*1 60 |
| 6/ 1827/ 7 (C) | 0 24 | 0.28>> | 0 00 | 0 00 | 1*1 00+2*1 60 |
| 6/ 82/ 9 (C) | 0 03 | -5.13<< | -0 00 | 0 00 | 1*1 50+3*1 60 |
| 6/ 12/ 9 (C) | 0 03 | -5 13 | 0.00>> | 2 28 | 1*1 50+3*1 60 |
| 6/ 26/ 8 (C) | -3 42 | -4 19 | -0.00<< | -4 34 | 1*1 50+2*1 60 |
| 6/ 160/ 8 (C) | -3 42 | -4 19 | -0 00 | 4.34>> | 1*1 50+2*1 60 |
| 6/ 4/ 8 (C) | -3 42 | -4 19 | -0 00 | -4.34<< | 1*1 50+2*1 60 |

## 8.3 LISTADOS ESFUERZOS E.L.S.

| Panel/Nudo/Caso | NXX (T/m) | NYY (T/m) | MXX (Tm/m) | MYY (Tm/m) | Definición |
|---|---|---|---|---|---|
| 1/ 42/ 5 (C) | 0.86>> | -0 02 | 0 10 | -0 45 | (1+3)*1 00 |
| 1/ 122/ 4 (C) | -2.80<< | 0 07 | 0 13 | -0 14 | (1+2)*1 00 |
| 1/ 82/ 5 (C) | -0 02 | 0.86>> | -0 45 | 0 10 | (1+3)*1 00 |
| 1/ 82/ 4 (C) | 0 07 | -2.80<< | -0 14 | 0 13 | (1+2)*1 00 |
| 1/ 121/ 5 (C) | 0 79 | -0 03 | 0.16>> | -0 01 | (1+3)*1 00 |
| 1/ 2/ 5 (C) | -0 02 | 0 86 | -0.45<< | 0 10 | (1+3)*1 00 |
| 1/ 81/ 5 (C) | -0 03 | 0 79 | -0 01 | 0.16>> | (1+3)*1 00 |
| 1/ 122/ 5 (C) | 0 86 | -0 02 | 0 10 | -0.45<< | (1+3)*1 00 |
| 2/ 166/ 5 (C) | 2.33>> | 0 82 | 0 54 | 0 28 | (1+3)*1 00 |
| 2/ 406/ 4 (C) | -3.56<< | -3 37 | 0 65 | 0 71 | (1+2)*1 00 |
| 2/ 406/ 5 (C) | 0 82 | 2.33>> | 0 28 | 0 54 | (1+3)*1 00 |
| 2/ 326/ 4 (C) | -3 37 | -3.56<< | 0 71 | 0 65 | (1+2)*1 00 |
| 2/ 166/ 4 (C) | -3 37 | -3 56 | 0.71>> | 0 65 | (1+2)*1 00 |
| 2/ 2/ 4 (C) | -3 40 | -3 50 | -2.18<< | -0 27 | (1+2)*1 00 |
| 2/ 406/ 4 (C) | -3 56 | -3 37 | 0 65 | 0.71>> | (1+2)*1 00 |
| 2/ 122/ 4 (C) | -3 50 | -3 40 | -0 27 | -2.18<< | (1+2)*1 00 |
| 3/ 791/ 5 (C) | 8.65>> | 3 93 | -0 46 | -1 24 | (1+3)*1 00 |
| 3/ 789/ 4 (C) | -7.26<< | -2 80 | 0 13 | 0 68 | (1+2)*1 00 |
| 3/ 491/ 5 (C) | 3 93 | 8.65>> | -1 24 | -0 46 | (1+3)*1 00 |
| 3/ 489/ 4 (C) | -2 80 | -7.26<< | 0 68 | 0 13 | (1+2)*1 00 |
| 3/ 488/ 4 (C) | -3 37 | -5 68 | 0.82>> | 0 29 | (1+2)*1 00 |
| 3/ 491/ 6 (C) | 3 35 | 6 70 | -1.26<< | -0 49 | (1+2+3)*1 00 |
| 3/ 788/ 4 (C) | -5 68 | -3 37 | 0 29 | 0.82>> | (1+2)*1 00 |
| 3/ 791/ 6 (C) | 6 70 | 3 35 | -0 49 | -1.26<< | (1+2+3)*1 00 |
| 4/ 491/ 5 (C) | 10.15>> | 2 77 | -0 23 | -1 17 | (1+3)*1 00 |
| 4/ 491/ 4 (C) | -5.08<< | 0 72 | -0 12 | -0 59 | (1+2)*1 00 |
| 4/ 1013/ 5 (C) | 8 83 | 2.87>> | -0 05 | -0 23 | (1+3)*1 00 |
| 4/ 691/ 4 (C) | -5 08 | 0.72<< | -0 12 | -0 59 | (1+2)*1 00 |
| 4/ 1092/ 5 (C) | 0 41 | 1 54 | 0.14>> | 0 72 | (1+3)*1 00 |
| 4/ 491/ 6 (C) | 8 36 | 2 48 | -0.24<< | -1 20 | (1+2+3)*1 00 |
| 4/ 1101/ 5 (C) | 0 41 | 1 54 | 0 14 | 0.72>> | (1+3)*1 00 |
| 4/ 491/ 6 (C) | 8 36 | 2 48 | -0 24 | -1.20<< | (1+2+3)*1 00 |
| 5/ 1014/ 6 (C) | 2.72>> | 2 72 | 0 77 | 0 03 | (1+2+3)*1 00 |
| 5/ 927/ 4 (C) | 0.43<< | 0 43 | -0 01 | 0 04 | (1+2)*1 00 |
| 5/ 1068/ 6 (C) | 2 72 | 2.72>> | 0 04 | 0 75 | (1+2+3)*1 00 |
| 5/ 1136/ 4 (C) | 0 43 | 0.43<< | -0 17 | -0 27 | (1+2)*1 00 |
| 5/ 1014/ 5 (C) | 2 65 | 2 65 | 0.79>> | -0 00 | (1+3)*1 00 |
| 5/ 1138/ 5 (C) | 2 65 | 2 65 | -0.83<< | -0 83 | (1+3)*1 00 |
| 5/ 1074/ 5 (C) | 2 65 | 2 65 | -0 00 | 0.79>> | (1+3)*1 00 |
| 5/ 1138/ 5 (C) | 2 65 | 2 65 | -0 83 | -0.83<< | (1+3)*1 00 |
| 6/ 1813/ 5 (C) | 11.29>> | -1 76 | -0 09 | -0 45 | (1+3)*1 00 |
| 6/ 1823/ 4 (C) | -8.60<< | -1 59 | 0 07 | 0 34 | (1+2)*1 00 |
| 6/ 1827/ 4 (C) | -0 26 | 0.08>> | -0 00 | -0 00 | (1+2)*1 00 |
| 6/ 74/ 5 (C) | 0 00 | -3.42<< | 0 05 | 0 24 | (1+3)*1 00 |
| 6/ 1786/ 4 (C) | -7 89 | -1 96 | 0.07>> | 0 36 | (1+2)*1 00 |
| 6/ 2/ 4 (C) | -2 16 | -2 83 | -0.39<< | -1 96 | (1+2)*1 00 |
| 6/ 1822/ 4 (C) | -7 89 | -1 96 | 0 07 | 0.36>> | (1+2)*1 00 |
| 6/ 2/ 4 (C) | -2 16 | -2 83 | -0 39 | -1.96<< | (1+2)*1 00 |

# 9. DIMENSIONAMIENTO DE ARMADURAS PARA ELU.

## 9.1 ARMADURAS PARA E.L.U. DE FLEXIÓN.

Para dimensionar la armadura se parte de la cuantía mínima indicada en la norma E.H.E., y se comprueba su validez para los máximos esfuerzos obtenidos en las estructuras modelizadas.

Las armaduras se obtienen empleando una hoja de cálculo, especialmente programada para el dimensionamiento de secciones rectangulares de hormigón armado sometidas a esfuerzos de flexión compuesta.

Las cuantías mínimas indicadas en la instrucción E.H.E. son las siguientes:

**Cuantía mecánica:** $A_s \geq 0.04 \cdot A_c \cdot \frac{f_{cd}}{f_{yd}}$

**Losa:** $A_s \geq 0.0018 \cdot A_c$ (a repartir entre ambas caras)

**Muro:** $A_{sh} \geq 0.0032 \cdot A_c$ (a repartir entre ambas caras)

$A_{sv} \geq 0.0009 \cdot A_c$ (en cara de tracción)

## 9.2 ARMADURAS PARA ELU DE CORTANTE.

El Estado Límite de Agotamiento por esfuerzo cortante se puede alcanzar, ya sea por agotarse la resistencia a compresión del alma, o por agotarse su resistencia a tracción. En consecuencia, es necesario comprobar que se cumple simultáneamente:

$$V_{rd} \leq V_{u1}$$

$$V_{rd} \leq V_{u2}$$

Las comprobaciones se realizan empleando una hoja de cálculo, especialmente programada para el dimensionamiento de secciones rectangulares de hormigón armado sometidas a esfuerzos de cortante, inicialmente se tantea como armadura de flexión con la máxima de las cuantías mínimas necesarias, bien geométrica o mecánica.

En la hoja se introducen las características de las secciones y de los materiales, hormigón y acero, y los esfuerzos obtenidos de los modelos en la combinación más desfavorable.

## 10. COMPROBACIONES DEL ELS DE FISURACIÓN.

La comprobación general del Estado Límite de Fisuración por tracción consiste en satisfacer la siguiente inecuación:

$$w_k \leq w_{max}$$

Las aberturas de fisuras se obtienen empleando una hoja de cálculo, especialmente programada para el caso de secciones rectangulares de hormigón armado sometidas a esfuerzos de flexión compuesta.

En la hoja se introducen las características de las secciones y de los materiales, hormigón y acero, y los esfuerzos obtenidos de los modelos en la combinación más desfavorable y para la situación cuasipermanente.

La fisuración no se produce si el momento de servicio actuante es inferior al momento de fisuración de la sección, que es aquel para el que la fibra más traccionada de hormigón alcanza el valor $f_{ct,m}$.

Caso de que no se cumpliese la inecuación de partida se elevará la cuantía de la armadura hasta que la abertura sea inferior a la máxima admisible.

# 11. COMPROBACIONES EN PARED

## 11.1 AGOTAMIENTO POR FLEXIÓN

| REFERENCIA SECCIÓN | MATERIALES | | GEOMETRÍA DE LA SECCIÓN | | | | | SOLICITACIONES | |
|---|---|---|---|---|---|---|---|---|---|
| | Resistencia del hormigón (T/m2) | Resistencia del acero (T/m2) | Ancho (m) | Canto (m) | Recubrimiento (m) | Canto ú il (m) | Disposición: Pilar 1 Losa 2 Viga 3 Muro 4 | Momento (T·m) | Axil (T) Compresión (+) |
| PANEL 6 | 3000 000 | 51000.000 | 1 000 | 0.300 | 0.050 | 0.250 | 4 | 0.120 | 15.150 |
| PANEL 6 | 3000 000 | 51000.000 | 1 000 | 0.300 | 0.050 | 0.250 | 4 | -0.600 | 3.420 |
| PANEL 6 | 3000 000 | 51000.000 | 1 000 | 0.300 | 0.050 | 0.250 | 4 | -0.140 | 2.030 |
| PANEL 6 | 3000 000 | 51000.000 | 1 000 | 0.300 | 0.050 | 0.250 | 4 | 0.100 | 4.190 |
| PANEL 6 | 3000 000 | 51000.000 | 1 000 | 0.300 | 0.050 | 0.250 | 4 | 0.620 | -17.640 |
| PANEL 6 | 3000 000 | 51000.000 | 1 000 | 0.300 | 0.050 | 0.250 | 4 | -2.980 | 15.310 |
| PANEL 6 | 3000 000 | 51000.000 | 1 000 | 0.300 | 0.050 | 0.250 | 4 | -0.010 | -0.280 |
| PANEL 6 | 3000 000 | 51000.000 | 1 000 | 0.300 | 0.050 | 0.250 | 4 | 0.540 | 5.130 |

| RESULTADOS Md<=Mlim | | | | | |
|---|---|---|---|---|---|
| $M_{As}$ | $E_{yd}$ | $x_{lim}$ | $M_{lim}$ | x | As |
| 1.635 | 0.002217 | 0.153 | 39.293 | 0 005 | -0.000193 |
| 0.942 | 0.002217 | 0.153 | 39.293 | 0 003 | 0.000008 |
| 0.343 | 0.002217 | 0.153 | 39.293 | 0 001 | -0.000015 |
| 0.519 | 0.002217 | 0.153 | 39.293 | 0 002 | -0.000048 |
| -1.144 | 0.002217 | 0.153 | 39.293 | -0.003 | 0.000295 |
| 4.511 | 0.002217 | 0.153 | 39.293 | 0 014 | 0.000071 |
| -0.018 | 0.002217 | 0.153 | 39.293 | 0 000 | 0.000005 |
| 1.053 | 0.002217 | 0.153 | 39.293 | 0 003 | -0.000020 |

| CUANTÍAS MÍNIMAS | | ARMADURA NECESARIA | | ARMADURA DISPUESTA | | | | | |
|---|---|---|---|---|---|---|---|---|---|
| Mecánica | Geométrica | Cara de tracción (cm2) | Cara de compresión (cm2) | NÚMERO | DIÁMETRO | ÁREA ARMADURA DE TRACCIÓN DISPUESTA | NÚMERO | DIÁMETRO | ÁREA ARMADURA DE COMPRESIÓN DISPUESTA |
| 0.000564 | 0.000270 | 5.64 | 5.64 | 5 | 12 | 5.655 | 5 | 12 | 5.655 |
| 0.000564 | 0.000270 | 5.64 | 5.64 | 5 | 12 | 5.655 | 5 | 12 | 5.655 |
| 0.000564 | 0.000270 | 5.64 | 5.64 | 5 | 12 | 5.655 | 5 | 12 | 5.655 |
| 0.000564 | 0.000270 | 5.64 | 5.64 | 5 | 12 | 5.655 | 5 | 12 | 5.655 |
| 0.000564 | 0.000270 | 5.64 | 5.64 | 5 | 12 | 5.655 | 5 | 12 | 5.655 |
| 0.000564 | 0.000270 | 5.64 | 5.64 | 5 | 12 | 5.655 | 5 | 12 | 5.655 |
| 0.000564 | 0.000270 | 5.64 | 5.64 | 5 | 12 | 5.655 | 5 | 12 | 5.655 |
| 0.000564 | 0.000270 | 5.64 | 5.64 | 5 | 12 | 5.655 | 5 | 12 | 5.655 |

## 11.2 AGOTAMIENTO POR ESFUERZO CORTANTE.

| REFERENCIA SECCIÓN | MATERIALES | | GEOMETRÍA DE LA SECCIÓN | | | | | SOLICITACIONES | |
|---|---|---|---|---|---|---|---|---|---|
| | Resistencia del hormigón (T/m2) | Resistencia del acero (T/m2) | Ancho (m) | Anchura neta mínima del elemento (m) | Canto (m) | Recubrimiento (m) | Canto útil (m) | Cortante (T) | Axil (T) Compresión (+) |
| PANEL 6 | 3000 000 | 51000.000 | 1 000 | 1.000 | 0.300 | 0.050 | 0.250 | 4.340 | 4.190 |
| PANEL 6 | 3000 000 | 51000.000 | 1 000 | 1.000 | 0.300 | 0.050 | 0.250 | 4.340 | 4.190 |

| Vu1 (Agotamiento por compresión oblicua en el alma) | | | | Vu2 (Agotamiento por tracción en el alma) Sin armadura de cortante | | | Vu2 (Agotamiento por tracción en el alma) Con armadura de cortante | |
|---|---|---|---|---|---|---|---|---|
| K | cotg(Alfa) | cotg(Teta) | Vu1 | Cuantía geométrica de armadura longitudinal traccionada | Epsilon | Vu2 (T) | Vcu (T) (Contribución del hormigón) | Área necesaria de cortante (cm2) $A_{90}$ |
| 1.655 | 0.000000 | 1.000 | 150.000 | 0.002 | 1.894 | 11.272 | 8.957 | 0.00 |
| 1.655 | 0.000000 | 1.000 | 150.000 | 0.002 | 1.894 | 11.272 | 8.957 | 0.00 |

## 11.3 ESTADO LÍMITE DE FISURACIÓN.

| | | | MATERIALES | | | | GEOMÉTRIA | | | As Tracc. | | As Comp. | | | | Esf. Caracterist. | |
|---|---|---|---|---|---|---|---|---|---|---|---|---|---|---|---|---|---|
| Tipo Arch. | Wk,adm (mm) | Viga Losa | fck (Kg/cm2) | γc | fyk (Kg/cm2) | γs | Ancho b(cm) | Canto h(cm) | Recu (cm) | ϕ (mm) | nºϕ | ϕ (mm) | nºϕ | k1 | k2 | Nk (T) | Mk (mT) |
| Qb | 0.10 | L | 300 | 1.5 | 5100 | 1.15 | 100 | 30 | 5 | 12 | 5 | 12 | 5 | 0.216 | 0.5 | 11.29 | 0.09 |

| Sm (cm) | Nfis (T) | Mfis (mT) | σsr (Kg/cm2) | σs (Kg/cm2) | εsm | wk (mm) | Comentario |
|---|---|---|---|---|---|---|---|
| 25.96 | 80.16 | 0.64 | 7688 53 | 1082.91 | 0.00021 | 0.091 | Cumple |

# 12. COMPROBACIONES EN CIMENTACIÓN

## 12.1 AGOTAMIENTO POR FLEXIÓN

| REFERENCIA SECCIÓN | MATERIALES | | GEOMETRÍA DE LA SECCIÓN | | | | | SOLICITACIONES | |
|---|---|---|---|---|---|---|---|---|---|
| | Resistencia del hormigón (T/m2) | Resistencia del acero (T/m2) | Ancho (m) | Canto (m) | Recubrimiento (m) | Canto útil (m) | Disposición: Pilar 1 Losa 2 Viga 3 Muro 4 | Momento (T m) | Axil (T) Compresión (+) |
| PANEL 2 | 3000.000 | 51000.000 | 1.000 | 0.400 | 0.050 | 0.350 | 2 | 1 050 | 5 220 |
| PANEL 2 | 3000.000 | 51000.000 | 1.000 | 0.400 | 0.050 | 0.350 | 2 | -3.310 | 5 300 |
| PANEL 2 | 3000.000 | 51000.000 | 1.000 | 0.400 | 0.050 | 0.350 | 2 | 0.780 | -3 910 |
| PANEL 2 | 3000.000 | 51000.000 | 1.000 | 0.400 | 0.050 | 0.350 | 2 | 0 580 | 5 810 |
| PANEL 2 | 3000.000 | 51000.000 | 1.000 | 0.400 | 0.050 | 0.350 | 2 | 1 050 | 5 220 |
| PANEL 2 | 3000.000 | 51000.000 | 1.000 | 0.400 | 0.050 | 0.350 | 2 | -3.310 | 5 300 |
| PANEL 2 | 3000.000 | 51000.000 | 1.000 | 0.400 | 0.050 | 0.350 | 2 | 0.780 | -3 910 |
| PANEL 2 | 3000.000 | 51000.000 | 1.000 | 0.400 | 0.050 | 0.350 | 2 | 0 580 | 5 810 |
| PANEL 3 | 3000.000 | 51000.000 | 1.000 | 0.300 | 0.050 | 0.250 | 2 | 1 220 | 5.180 |
| PANEL 3 | 3000.000 | 51000.000 | 1.000 | 0.300 | 0.050 | 0.250 | 2 | -1.970 | -5 370 |
| PANEL 3 | 3000.000 | 51000.000 | 1.000 | 0.300 | 0.050 | 0.250 | 2 | -0.710 | -14.280 |
| PANEL 3 | 3000.000 | 51000.000 | 1.000 | 0.300 | 0.050 | 0.250 | 2 | 0.190 | 11.100 |
| PANEL 3 | 3000.000 | 51000.000 | 1.000 | 0.300 | 0.050 | 0.250 | 2 | 1 220 | 5.180 |
| PANEL 3 | 3000.000 | 51000.000 | 1.000 | 0.300 | 0.050 | 0.250 | 2 | -1.970 | -5 370 |
| PANEL 3 | 3000.000 | 51000.000 | 1.000 | 0.300 | 0.050 | 0.250 | 2 | -0.710 | -14.280 |
| PANEL 3 | 3000.000 | 51000.000 | 1.000 | 0.300 | 0.050 | 0.250 | 2 | 0.190 | 11.100 |

| RESULTADOS Md<=Mlim | | | | | |
|---|---|---|---|---|---|
| $M_{As}$ | $E_{yd}$ | $x_{lim}$ | $M_{lim}$ | x | As |
| 1.833 | 0.002217 | 0.214 | 77.014 | 0.004 | 0.000001 |
| 4.105 | 0.002217 | 0.214 | 77.014 | 0.009 | 0.000148 |
| 0.194 | 0.002217 | 0.214 | 77.014 | 0.000 | 0.000101 |
| 1.452 | 0.002217 | 0.214 | 77.014 | 0.003 | -0.000037 |
| 1.833 | 0.002217 | 0.214 | 77.014 | 0.004 | 0.000001 |
| 4.105 | 0.002217 | 0.214 | 77.014 | 0.009 | 0.000148 |
| 0.194 | 0.002217 | 0.214 | 77.014 | 0.000 | 0.000101 |
| 1.452 | 0.002217 | 0.214 | 77.014 | 0.003 | -0.000037 |
| 1.738 | 0.002217 | 0.153 | 39.293 | 0.005 | 0.000041 |
| 1.433 | 0.002217 | 0.153 | 39.293 | 0.004 | 0.000251 |
| -0.718 | 0.002217 | 0.153 | 39.293 | -0.002 | 0.000257 |
| 1.300 | 0.002217 | 0.153 | 39.293 | 0.004 | -0.000132 |
| 1.738 | 0.002217 | 0.153 | 39.293 | 0.005 | 0.000041 |
| 1.433 | 0.002217 | 0.153 | 39.293 | 0.004 | 0.000251 |
| -0.718 | 0.002217 | 0.153 | 39.293 | -0.002 | 0.000257 |
| 1.300 | 0.002217 | 0.153 | 39.293 | 0.004 | -0.000132 |

| CUANTÍAS MÍNIMAS | | ARMADURA NECESARIA | | ARMADURA DISPUESTA | | | | | |
|---|---|---|---|---|---|---|---|---|---|
| Mecánica | Geométrica | Cara de tracción (cm2) | Cara de compresión (cm2) | NÚMERO | DIÁMETRO | ÁREA ARMADURA DE TRACCIÓN DISPUESTA | NÚMERO | DIÁMETRO | ÁREA ARMADURA DE COMPRESIÓN DISPUESTA |
| 0 000752 | 0.000360 | 7 52 | 7.52 | 5 | 16 | 10.053 | 5 | 16 | 10.053 |
| 0 000752 | 0.000360 | 7 52 | 7.52 | 5 | 16 | 10.053 | 5 | 16 | 10.053 |
| 0 000752 | 0.000360 | 7 52 | 7.52 | 5 | 16 | 10.053 | 5 | 16 | 10.053 |
| 0 000752 | 0.000360 | 7 52 | 7.52 | 5 | 16 | 10.053 | 5 | 16 | 10.053 |
| 0 000752 | 0.000360 | 7 52 | 7.52 | 5 | 16 | 10.053 | 5 | 16 | 10.053 |
| 0 000752 | 0.000360 | 7 52 | 7.52 | 5 | 16 | 10.053 | 5 | 16 | 10.053 |
| 0 000752 | 0.000360 | 7 52 | 7.52 | 5 | 16 | 10.053 | 5 | 16 | 10.053 |
| 0 000752 | 0.000360 | 7 52 | 7.52 | 5 | 16 | 10.053 | 5 | 16 | 10.053 |
| 0.000564 | 0.000270 | 5.64 | 5 64 | 5 | 12 | 5.655 | 5 | 12 | 5.655 |
| 0.000564 | 0.000270 | 5.64 | 5 64 | 5 | 12 | 5.655 | 5 | 12 | 5.655 |
| 0.000564 | 0.000270 | 5.64 | 5 64 | 5 | 12 | 5.655 | 5 | 12 | 5.655 |
| 0.000564 | 0.000270 | 5.64 | 5 64 | 5 | 12 | 5.655 | 5 | 12 | 5.655 |
| 0.000564 | 0.000270 | 5.64 | 5 64 | 5 | 12 | 5.655 | 5 | 12 | 5.655 |
| 0.000564 | 0.000270 | 5.64 | 5 64 | 5 | 12 | 5.655 | 5 | 12 | 5.655 |
| 0.000564 | 0.000270 | 5.64 | 5 64 | 5 | 12 | 5.655 | 5 | 12 | 5.655 |
| 0.000564 | 0.000270 | 5.64 | 5 64 | 5 | 12 | 5.655 | 5 | 12 | 5.655 |

## 12.2 AGOTAMIENTO POR ESFUERZO CORTANTE

| REFERENCIA SECCIÓN | MATERIALES | | GEOMETRÍA DE LA SECCIÓN | | | | | SOLICITACIONES | |
|---|---|---|---|---|---|---|---|---|---|
| | Resistencia del hormigón (T/m2) | Resistencia del acero (T/m2) | Ancho (m) | Anchura neta mínima del elemento (m) | Canto (m) | Recubrimiento (m) | Canto útil (m) | Cortante (T) | Axil (T) Compresión (+) |
| PANEL 2 | 3000.000 | 51000.000 | 1.000 | 1.000 | 0.400 | 0.050 | 0.350 | 2 910 | 5 300 |
| PANEL 3 | 3000.000 | 51000.000 | 1.000 | 1.000 | 0.300 | 0.050 | 0.250 | 2 890 | -6 300 |

| Vu1 (Agotamiento por compresión oblicua en el alma) | | | | Vu2 (Agotamiento por tracción en el alma) Sin armadura de cortante | | | Vu2 (Agotamiento por tracción en el alma) Con armadura de cortante | |
|---|---|---|---|---|---|---|---|---|
| K | cotg(Alfa) | cotg(Teta) | Vu1 | Cuantía geométrica de armadura longitudinal traccionada | Epsilon | Vu2 (T) | Vcu (T) (Contribución del hormigón) | Área necesaria de cortante (cm2) $A_{90}$ |
| 1.656 | 0.000000 | 1.000 | 210.000 | 0.002 | 1.756 | 14.418 | 11.436 | 0.00 |
| 1.684 | 0.000000 | 1.000 | 150.000 | 0.002 | 1.894 | 9.961 | 8.957 | 0.00 |

## 12.3 ESTADO LÍMITE DE FISURACIÓN.

| | | | MATERIALES | | | | GEOMÉTRIA | | | As Tracc. | | As Comp. | | | | Esf. Caracterist. | |
|---|---|---|---|---|---|---|---|---|---|---|---|---|---|---|---|---|---|
| Tipo Amb. | Wk,adm (mm) | Viga Losa | fck (Kg/cm2) | γc | fyk (Kg/cm2) | γs | Ancho b(cm) | Canto h(cm) | Recu (cm) | ϕ (mm) | nºϕ | ϕ (mm) | nºϕ | k1 | k2 | Nk (T) | Mk (mT) |
| Qb | 0 10 | L | 300 | 1 5 | 5100 | 1 15 | 100 | 30 | 5 | 12 | 5 | 12 | 5 | 0 125 | 0 5 | 8 65 | 0 46 |
| Qb | 0 10 | L | 300 | 1 5 | 5100 | 1 15 | 100 | 30 | 5 | 12 | 5 | 12 | 5 | 0 172 | 0 5 | 10 15 | 0 23 |
| Qb | 0 10 | L | 300 | 1 5 | 5100 | 1 15 | 100 | 30 | 5 | 12 | 5 | 12 | 5 | 0 125 | 0 5 | -2 83 | 1 96 |

| Sm (cm) | Nfis (T) | Mfis (mT) | σsr (Kg/cm2) | σs (Kg/cm2) | εsm | wk (mm) | Comentario |
|---|---|---|---|---|---|---|---|
| 20 76 | 45 11 | 2 40 | 62 88 | 33 96 | 0 00001 | 0 002 | Cumple |
| 23 47 | 64 00 | 1 45 | 7022 88 | 1113 80 | 0 00021 | 0 085 | Cumple |
| 20 76 | -7 26 | 5 03 | 3124 91 | 51 05 | 0 00001 | 0 003 | Cumple |

# ANEJO DE CÁLCULO

# 6.- ARQUETA DE CAPTACIÓN DE AGUA INDUSTRIAL

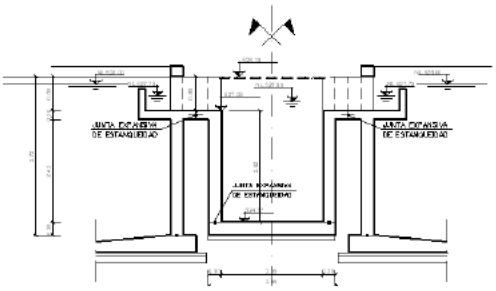
# INDICE

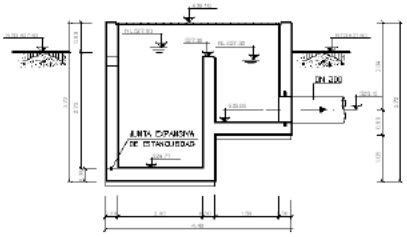
**1. INTRODUCCIÓN. ..... 1**
**2. ACCIONES A CONSIDERAR ..... 1**
2.1 PESO PROPIO ..... 1
2.2 PRESION DE AGUA ..... 1
2.3 PRESION DE TIERRAS ..... 2
2.4 SOBRECARGAS DE USO ADYACENTES. ..... 2
**3. DISCRETIZACIÓN DE LA ESTRUCTURA. ..... 2**
**4. ACCIONES DE CÁLCULO ..... 3**
**5. COMBINACIÓN DE ACCIONES ..... 4**
**6. COMPROBACIÓN DE LA CIMENTACIÓN. ..... 5**
**7. GRÁFICOS DE ESFUERZOS. ..... 7**
7.1 GRÁFICOS ESFUERZOS ELU - CIMENTACIÓN ..... 7
7.2 GRÁFICOS ESFUERZOS ELU – MURO. ..... 10
**8. LISTADOS DE SALIDA DE ESFUERZOS ELU - ELS. ..... 13**
8.1 LISTADOS ESFUERZOS E.L.U. - FLEXIÓN. ..... 13
8.2 LISTADOS ESFUERZOS E.L.U. - CORTANTE. ..... 14
8.3 LISTADOS ESFUERZOS E.L.S. ..... 15
**9. DIMENSIONAMIENTO DE ARMADURAS PARA ELU. ..... 16**
9.1 ARMADURAS PARA E.L.U. DE FLEXIÓN. ..... 16
9.2 ARMADURAS PARA ELU DE CORTANTE. ..... 16
**10. COMPROBACIONES DEL ELS DE FISURACIÓN. ..... 17**
**11. COMPROBACIONES EN PAREDES DE LA ARQUETA ..... 18**
11.1 AGOTAMIENTO POR FLEXIÓN ..... 18
11.2 AGOTAMIENTO POR ESFUERZO CORTANTE. ..... 21
11.3 ESTADO LÍMITE DE FISURACIÓN. ..... 22
**12. COMPROBACIONES EN CIMENTACIÓN ..... 23**
12.1 AGOTAMIENTO POR FLEXIÓN ..... 23
12.2 AGOTAMIENTO POR ESFUERZO CORTANTE. ..... 24
12.3 ESTADO LÍMITE DE FISURACIÓN. ..... 25

# 1. INTRODUCCIÓN.

La arqueta de captación de agua industrial tiene dos compartimentos separados por un muro vertedero y alturas de 3.72 y 2.64 metros y unas dimensiones en planta de 2.95 x 4.40 metros.

Las paredes de la arqueta tienen un espesor de 0.30 metros y las losas inferiores de cimentación tienen 0.30 metros de canto.





# 2. ACCIONES A CONSIDERAR

## 2.1 PESO PROPIO

Se obtiene aplicando un peso específico del hormigón de 25 KN/m$^3$.

## 2.2 PRESION DE AGUA

Se tiene en cuenta como un fluido de peso específico 10 KN/m$^3$.

La altura máxima de aguas en el interior del depósito es de 2.80 metros.

## 2.3 PRESION DE TIERRAS

Se tiene en cuenta una acción vertical de las tierras con un peso específico de 20,00 KN/m$^3$.

Por otro lado se tiene en cuenta un empuje horizontal triangular de las tierras con ángulo de rozamiento de 30º y coeficiente de empuje horizontal al reposo de 0,50.

La altura de las tierras se ha considerado, a efectos de cálculo, de 2.73 metros sobre el nivel superior de la solera inferior.

## 2.4 SOBRECARGAS DE USO ADYACENTES.

Se consideran 10 KN/m$^2$ en trasdós de muros y coeficiente de empuje horizontal al reposo de 0,50.

## 3. DISCRETIZACIÓN DE LA ESTRUCTURA.

Para el análisis se ha realizado un modelo de elementos finitos tridimensional de la arqueta.

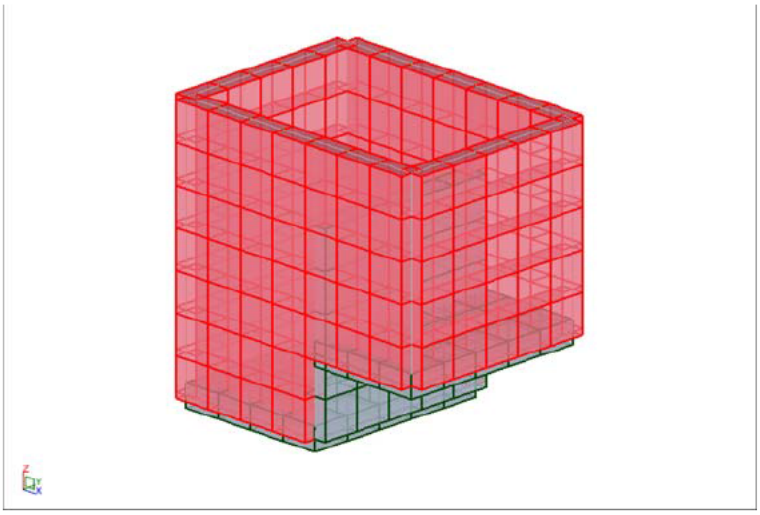
Se han usado elementos tipo placa rectangulares asignando los espesores adecuados.

**Características: Paneles:**

| Nombre de espesor | Lista de paneles | Material | Tipo de espesor | Espesor (cm) | KZ (T/m3) | E (T/m2) | NI |
|---|---|---|---|---|---|---|---|
| ESP30.0 | 3A6 | HA - 30 | constante | 30.000 | 0.0 | 2693070.52 | 0.20 |
| ESP30.0_KZ | 1 2 | HA - 30 | constante | 30.000 | 2000.00 | 2693070.52 | 0.20 |

El apoyo en el terreno se modeliza según el coeficiente de balasto vertical KZ estimado de 2000 t/m$^3$.

**MODELO 3D**



## 4. ACCIONES DE CÁLCULO

En el modelo de cálculo se introducen las acciones antes indicadas, como cargas independientes actuando en los distintos paneles.

Se resumen a continuación cada una de las acciones independientes.

**Cargas**

**- Casos: 1A6**

| Caso | Tipo de carga | Lista | Valores de carga | Nombre del caso |
|---|---|---|---|---|
| 1 | peso propio | 1A6 | PZ Menos Coef=1.00 | PP |
| 2 | (EF) presión hydrostática | 3 LADO(1 2) | P=0.50(T/m2) Gama=1.00(T/m3) H=2.730(m) Dirección=Z | EMPUJE TIERRAS |
| 2 | (EF) presión hydrostática | 3 LADO(3) | P=-0 50(T/m2) Gama=-1.00(T/m3) H=2.730(m) Dirección=-Z | EMPUJE TIERRAS |
| 2 | (EF) presión hydrostática | 5 LADO(1) | P=0.50(T/m2) Gama=1.00(T/m3) H=2.730(m) Dirección=-Z | EMPUJE TIERRAS |
| 2 | (EF) presión hydrostática | 5_LADO(2 3) | P=-0 50(T/m2) Gama=-1.00(T/m3) H=2.730(m) Dirección=-Z | EMPUJE TIERRAS |
| 3 | (EF) presión hydrostática | 3 LADO(1 2) | Gama=-1.00(T/m3) H=2.830(m) Dirección=-Z | EMPUJE HIDROSTÁTICO |
| 3 | (EF) presión hydrostática | 3 LADO(3) | Gama=1.00(T/m3) H=2.830(m) Dirección=-Z | EMPUJE HIDROSTÁTICO |
| 3 | (EF) presión hydrostática | 5_LADO(1) | Gama=-1.00(T/m3) H=2.830(m) Dirección=-Z | EMPUJE HIDROSTÁTICO |
| 3 | (EF) presión hydrostática | 5_LADO(2 3) | Gama=1.00(T/m3) H=2.830(m) Dirección=-Z | EMPUJE HIDROSTÁTICO |
| 3 | (EF) uniforme | 1 2 | PZ=-2.83(T/m2) | EMPUJE HIDROSTÁTICO |

## 5. COMBINACIÓN DE ACCIONES.

Para la comprobación de los estados límites ELU y ELS las acciones independientes se combinan de acuerdo a la instrucción EHE, de manera que se puedan obtener las distintas hipótesis de cálculo con las acciones combinadas y siendo afectadas por los correspondientes coeficientes de mayoración.

Se adjunta una tabla con las distintas hipótesis de cálculo consideradas para las comprobaciones de los estados límites últimos y de servicio.

## Combinaciones de casos

**- Casos: 4A11**

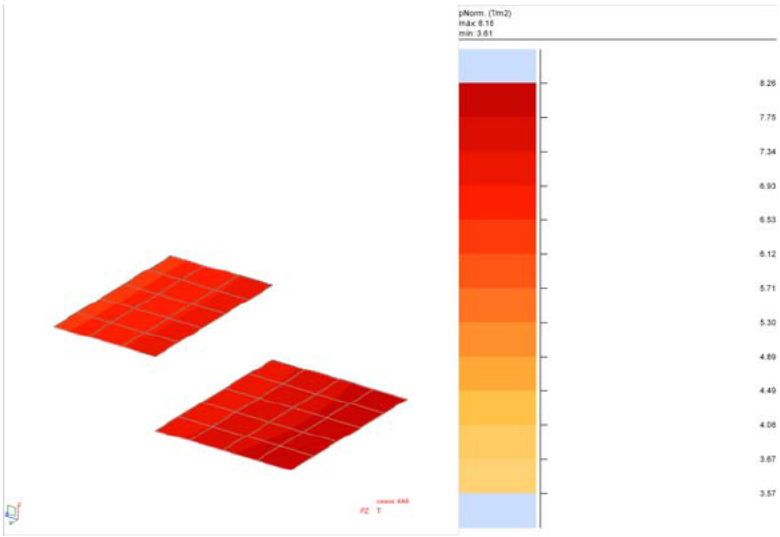
| Combinación | Nombre | Tipo de análisis | Naturaleza de combinación | Naturaleza de caso | Definición |
|---|---|---|---|---|---|
| **4 (C)** | ELS1 | Combinación lineal | ELU | | (1+2)*1.00 |
| **5 (C)** | ELS2 | Combinación lineal | ELU | | (1+3)*1.00 |
| **6 (C)** | ELS3 | Combinación lineal | ELU | | (1+2+3)*1.00 |
| **7 (C)** | ELU1 | Combinación lineal | ELU | | 1*1.00+2*1.60 |
| **8 (C)** | ELU2 | Combinación lineal | ELU | | 1*1.50+2*1.60 |
| **9 (C)** | ELU3 | Combinación lineal | ELU | | 1*1.00+3*1.60 |
| **10 (C)** | ELU4 | Combinación lineal | ELU | | 1*1.50+3*1.60 |
| **11 (C)** | ELU5 | Combinación lineal | ELU | | 1*1.50+(2+3)*1.60 |

## 6. COMPROBACIÓN DE LA CIMENTACIÓN.

Se comprueba que con la combinación de acciones características pésima las tensiones que se obtienen en cimentación son inferiores a la tensión media admisible asignada en el informe geotécnico.

$$\sigma_{\max,cal} = 8.18 T/m^2 \leq \sigma_{media,adm} = 20{,}0 T/m^2$$

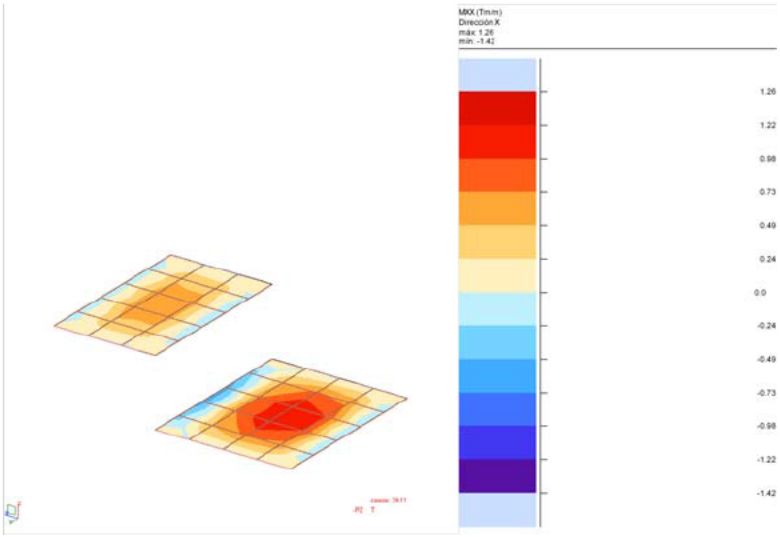
## pNorm. (T/m2) casos: 4A6 (+)



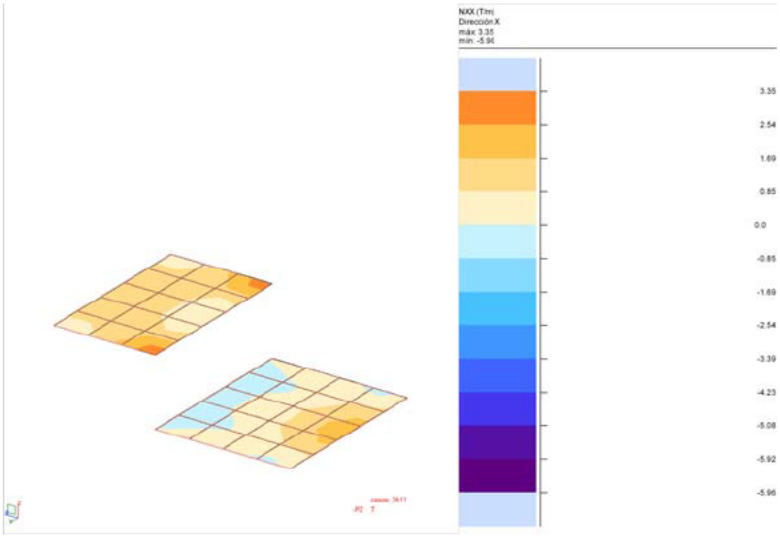
# 7. GRÁFICOS DE ESFUERZOS.

## 7.1 GRÁFICOS ESFUERZOS ELU - CIMENTACIÓN

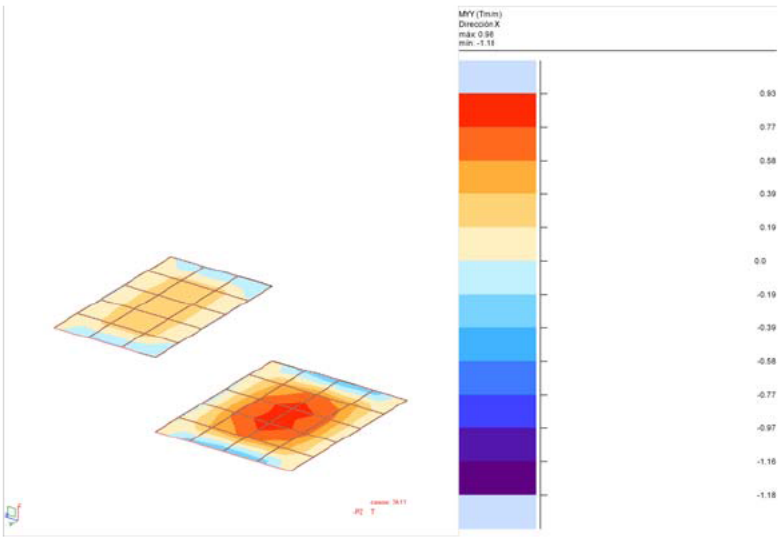
**MXX (Tm/m) Dirección X casos: 7A11 (+)**



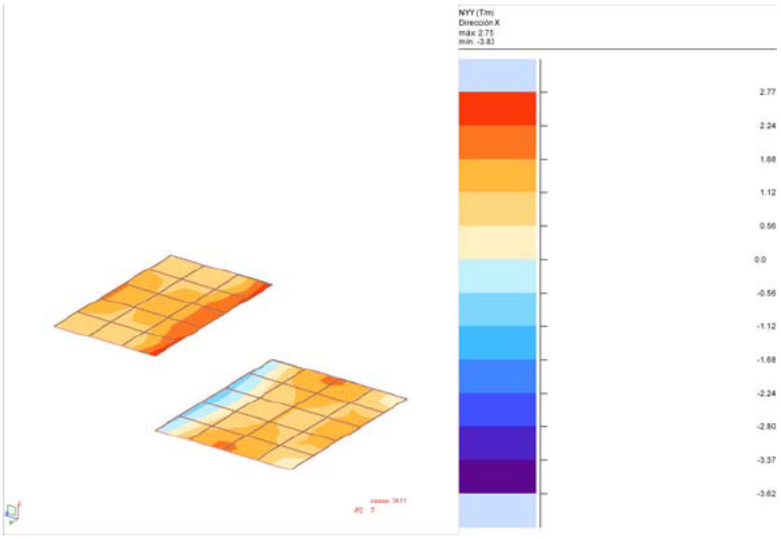

**NXX (T/m) Dirección X casos: 7A11 (+)**



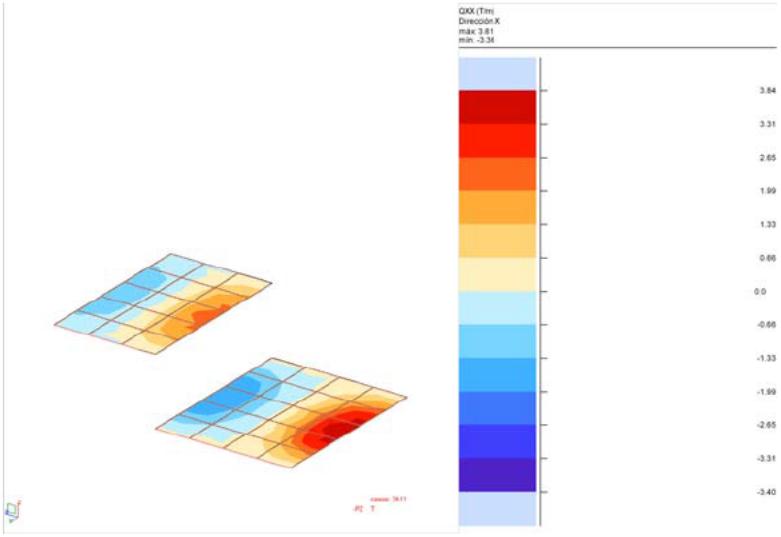

**MYY (Tm/m) Dirección X casos: 7A11 (+)**



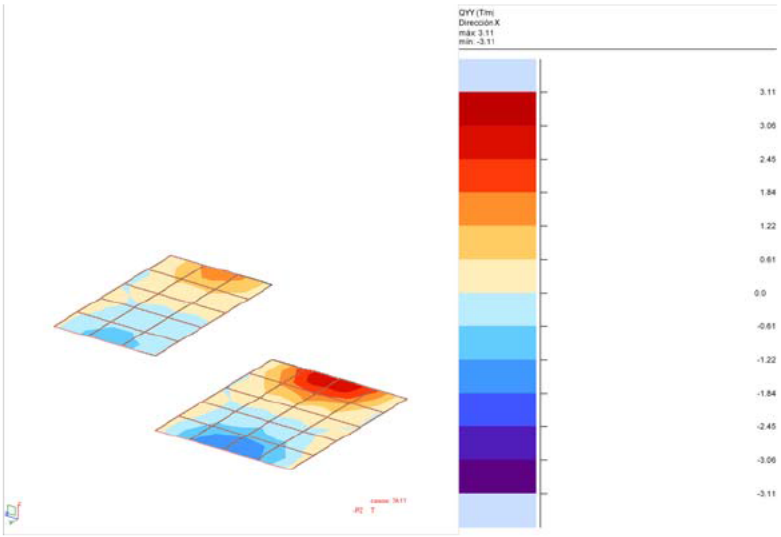

**NYY (T/m) Dirección X casos: 7A11 (+)**




**QXX (T/m) Dirección X casos: 7A11 (+)**

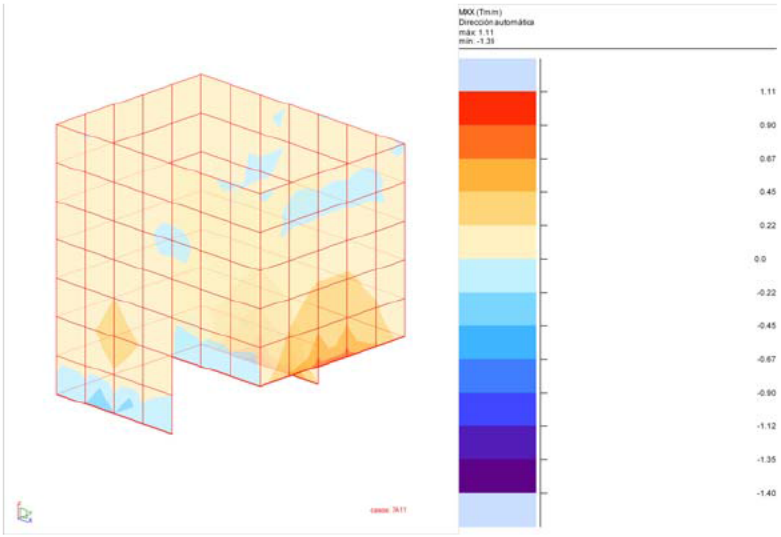



## QYY (T/m) Dirección X casos: 7A11 (+)

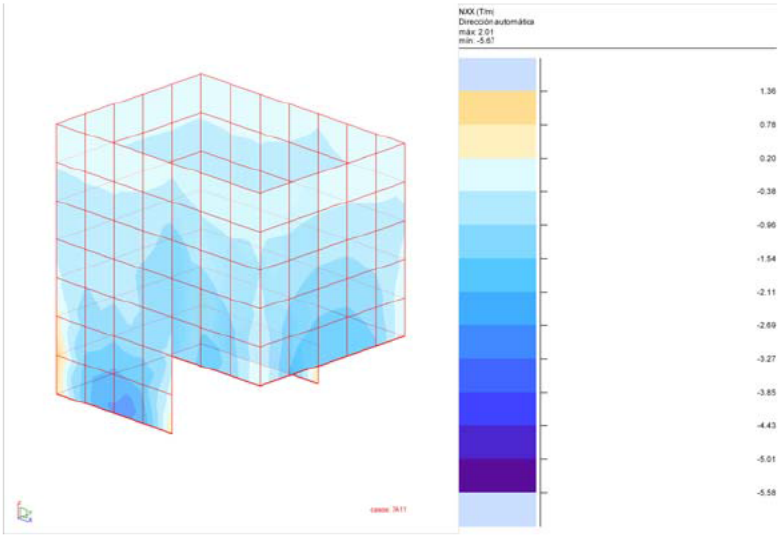


## 7.2 GRÁFICOS ESFUERZOS ELU – MURO.

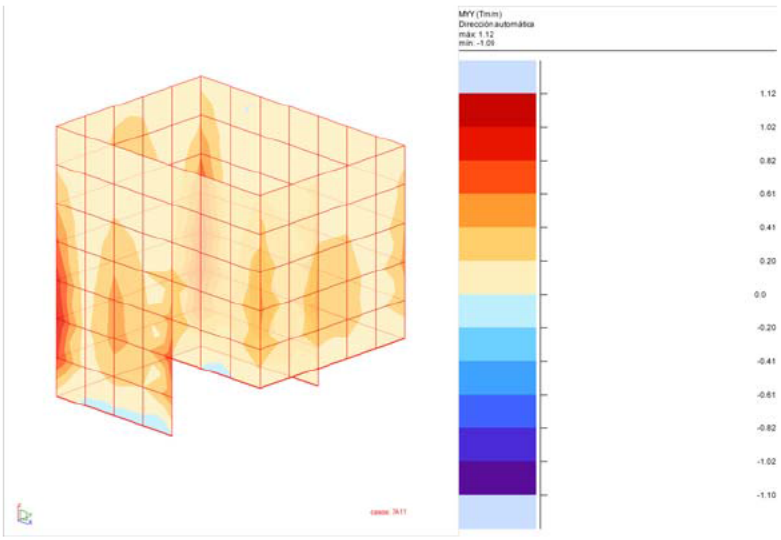
**MXX (Tm/m) Dirección automática casos: 7A11 (+)**



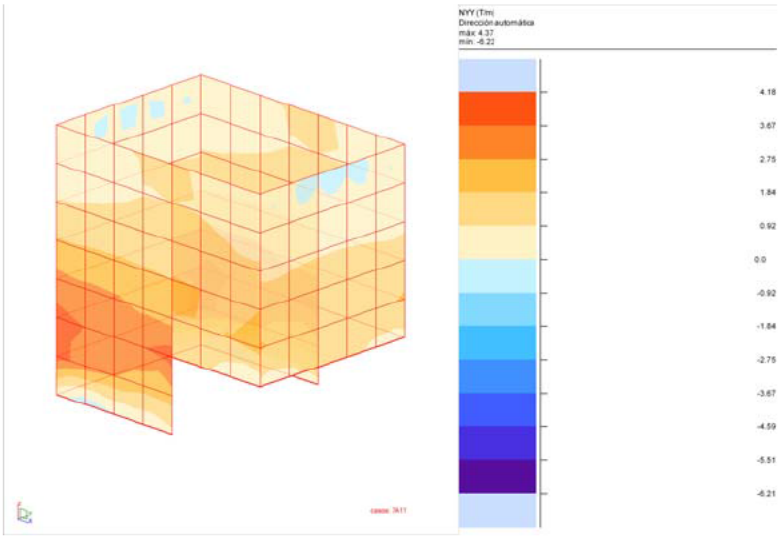

**NXX (T/m) Dirección automática casos: 7A11 (+)**



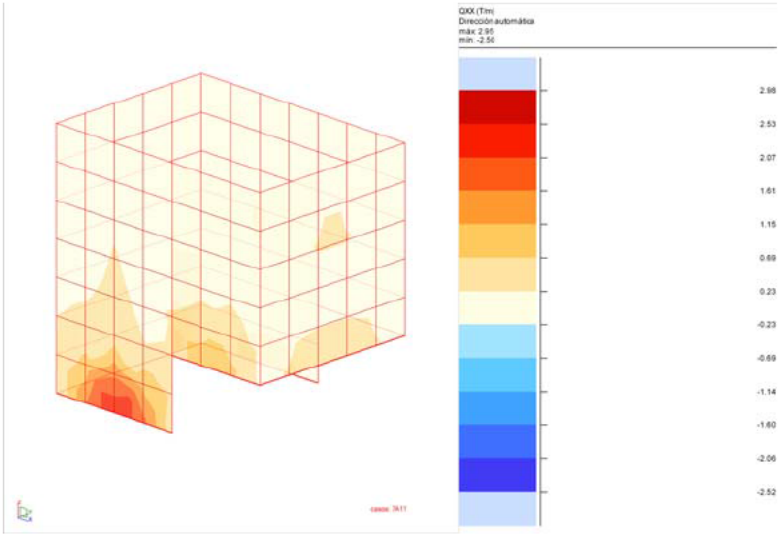

**MYY (Tm/m) Dirección automática casos: 7A11 (+)**



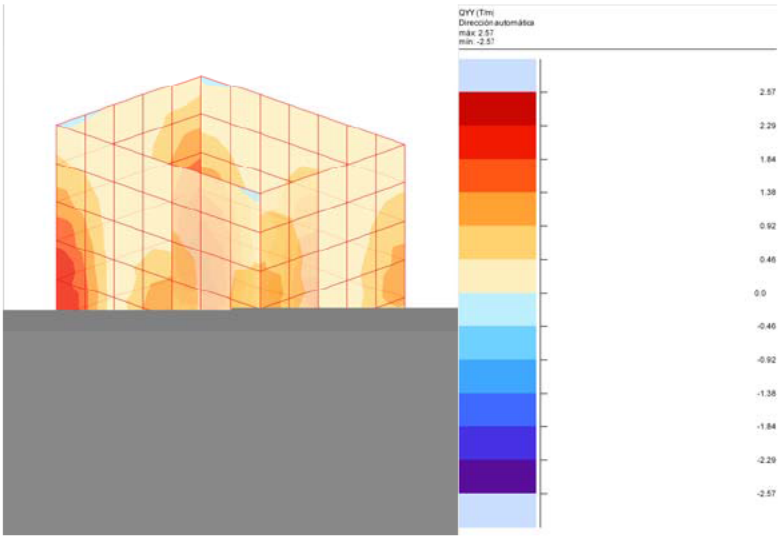

**NYY (T/m) Dirección automática casos: 7A11 (+)**




**QXX (T/m) Dirección automática casos: 7A11 (+)**




## QYY (T/m) Dirección automática casos: 7A11 (+)



# 8. LISTADOS DE SALIDA DE ESFUERZOS ELU - ELS.

## 8.1 LISTADOS ESFUERZOS E.L.U. - FLEXIÓN.

| Panel/Nudo/Caso | MXX (Tm/m) | MYY (Tm/m) | NXX (T/m) | NYY (T/m) | Definición |
|---|---|---|---|---|---|
| 1/ 13/ 10 (C) | 0.93>> | 1 24 | 0 87 | 0 26 | 1*1 50+3*1 60 |
| 1/ 28/ 8 (C) | -1.17<< | -0 20 | -3 59 | -1 60 | 1*1 50+2*1 60 |
| 1/ 13/ 10 (C) | 0 93 | 1.24>> | 0 87 | 0 26 | 1*1 50+3*1 60 |
| 1/ 16/ 8 (C) | -0 23 | -1.42<< | -3 44 | -3 88 | 1*1 50+2*1 60 |
| 1/ 3/ 9 (C) | -0 43 | -0 05 | 1.86>> | 0 62 | 1*1 00+3*1 60 |
| 1/ 28/ 8 (C) | -1 17 | -0 20 | -3.59<< | -1 60 | 1*1 50+2*1 60 |
| 1/ 11/ 9 (C) | -0 03 | -0 26 | 1 61 | 2.04>> | 1*1 00+3*1 60 |
| 1/ 11/ 8 (C) | -0 23 | -1 42 | -3 44 | -3.88<< | 1*1 50+2*1 60 |
| 2/ 41/ 10 (C) | 0.34>> | 0 65 | 0 98 | 1 16 | 1*1 50+3*1 60 |
| 2/ 52/ 8 (C) | -0.51<< | -0 10 | -1 72 | -4 31 | 1*1 50+2*1 60 |
| 2/ 41/ 10 (C) | 0 34 | 0.65>> | 0 98 | 1 16 | 1*1 50+3*1 60 |
| 2/ 46/ 8 (C) | -0 12 | -0.78<< | -2 70 | -2 85 | 1*1 50+2*1 60 |
| 2/ 31/ 10 (C) | -0 10 | -0 02 | 2.75>> | 3 01 | 1*1 50+3*1 60 |
| 2/ 31/ 7 (C) | -0 04 | 0 18 | -2.85<< | -5 56 | 1*1 00+2*1 60 |
| 2/ 51/ 9 (C) | -0 07 | -0 05 | 2 65 | 3.35>> | 1*1 00+3*1 60 |
| 2/ 51/ 8 (C) | -0 07 | 0 21 | -2 75 | -5.90<< | 1*1 50+2*1 60 |
| 3_Lado(3)/ 28/ 8 (C) | 1.11>> | 0 19 | -4 48 | -1 65 | 1*1 50+2*1 60 |
| 3_Lado(2)/ 16/ 8 (C) | -1.39<< | -0 24 | -5 53 | -3 69 | 1*1 50+2*1 60 |
| 3_Lado(2)/ 112/ 10 (C) | 0 18 | 1.11>> | 0 20 | 3 84 | 1*1 50+3*1 60 |
| 3_Lado(3)/ 112/ 10 (C) | -0 18 | -1.09<< | 0 19 | 4 06 | 1*1 50+3*1 60 |
| 3_Lado(2)/ 106/ 10 (C) | 0 06 | 0 90 | 1.34>> | 4 06 | 1*1 50+3*1 60 |
| 3_Lado(2)/ 16/ 11 (C) | -0 93 | -0 17 | -5.53<< | -1 82 | 1*1 50+(2+3)*1 60 |
| 3_Lado(3)/ 106/ 10 (C) | -0 07 | -0 87 | 1 28 | 4.14>> | 1*1 50+3*1 60 |
| 3_Lado(1)/ 31/ 8 (C) | -0 18 | -0 72 | -3 24 | -6.21<< | 1*1 50+2*1 60 |
| 4/ 70/ 8 (C) | 0.08>> | 0 41 | -2 63 | -3 28 | 1*1 50+2*1 60 |
| 4/ 39/ 8 (C) | -0.47<< | -0 14 | -3 54 | -1 71 | 1*1 50+2*1 60 |
| 4/ 70/ 8 (C) | 0 08 | 0.41>> | -2 63 | -3 28 | 1*1 50+2*1 60 |
| 4/ 31/ 10 (C) | 0 03 | -0.44<< | -1 81 | 2 61 | 1*1 50+3*1 60 |
| 4/ 204/ 7 (C) | 0 01 | -0 02 | -0.19>> | -2 02 | 1*1 00+2*1 60 |
| 4/ 43/ 10 (C) | -0 14 | 0 02 | -4.33<< | 1 24 | 1*1 50+3*1 60 |
| 4/ 204/ 10 (C) | -0 01 | -0 07 | -0 42 | 5.45>> | 1*1 50+3*1 60 |
| 4/ 80/ 7 (C) | 0 02 | 0 08 | -1 81 | -3.89<< | 1*1 00+2*1 60 |
| 5_Lado(2)/ 46/ 8 (C) | 0.77>> | 0 12 | -3 56 | -2 82 | 1*1 50+2*1 60 |
| 5_Lado(1)/ 32/ 8 (C) | -0.42<< | -0 07 | -3 10 | -4 08 | 1*1 50+2*1 60 |
| 5_Lado(2)/ 218/ 7 (C) | 0 09 | 0.47>> | -0 53 | -1 39 | 1*1 00+2*1 60 |
| 5_Lado(1)/ 218/ 7 (C) | -0 08 | -0.45<< | -0 60 | -1 79 | 1*1 00+2*1 60 |
| 5_Lado(2)/ 34/ 10 (C) | 0 10 | 0 02 | 0.23>> | 0 65 | 1*1 50+3*1 60 |
| 5_Lado(2)/ 46/ 8 (C) | 0 77 | 0 12 | -3.56<< | -2 82 | 1*1 50+2*1 60 |
| 5_Lado(1)/ 214/ 10 (C) | 0 03 | 0 39 | 0 16 | 2.23>> | 1*1 50+3*1 60 |
| 5_Lado(3)/ 51/ 8 (C) | 0 15 | 0 19 | -3 50 | -5.19<< | 1*1 50+2*1 60 |
| 6/ 20/ 8 (C) | 0.86>> | 0 16 | -4 22 | -3 28 | 1*1 50+2*1 60 |
| 6/ 35/ 7 (C) | -0.28<< | -0 13 | -1 13 | -2 12 | 1*1 00+2*1 60 |
| 6/ 31/ 7 (C) | -0 18 | 0.38>> | -1 99 | -2 74 | 1*1 00+2*1 60 |
| 6/ 60/ 10 (C) | -0 10 | -0.60<< | -0 23 | 2 66 | 1*1 50+3*1 60 |

## 8.2 LISTADOS ESFUERZOS E.L.U. - CORTANTE.

| Panel/Nudo/Caso | NXX (T/m) | NYY (T/m) | QXX (T/m) | QYY (T/m) | Definición |
|---|---|---|---|---|---|
| 1/ 3/ 9 (C) | 1.86>> | 0 62 | 1 78 | 0 05 | 1*1 00+3*1 60 |
| 1/ 28/ 8 (C) | -3.59<< | -1 60 | -3 11 | -0 05 | 1*1 50+2*1 60 |
| 1/ 11/ 9 (C) | 1 61 | 2.04>> | -0 17 | -1 93 | 1*1 00+3*1 60 |
| 1/ 11/ 8 (C) | -3 44 | -3.88<< | -0 07 | -3 81 | 1*1 50+2*1 60 |
| 1/ 3/ 8 (C) | -3 59 | -1 60 | 3.11>> | -0 05 | 1*1 50+2*1 60 |
| 1/ 28/ 8 (C) | -3 59 | -1 60 | -3.11<< | -0 05 | 1*1 50+2*1 60 |
| 1/ 15/ 10 (C) | -1 67 | -0 65 | -0 20 | 3.36>> | 1*1 50+3*1 60 |
| 1/ 16/ 8 (C) | -3 44 | -3 88 | 0 07 | -3.81<< | 1*1 50+2*1 60 |
| 2/ 31/ 10 (C) | 2.75>> | 3 01 | 0 34 | 0 10 | 1*1 50+3*1 60 |
| 2/ 31/ 7 (C) | -2.85<< | -5 56 | 0 21 | 0 45 | 1*1 00+2*1 60 |
| 2/ 51/ 9 (C) | 2 65 | 3.35>> | -0 23 | -0 00 | 1*1 00+3*1 60 |
| 2/ 51/ 8 (C) | -2 75 | -5.90<< | -0 32 | 0 56 | 1*1 50+2*1 60 |
| 2/ 32/ 8 (C) | -1 72 | -4 31 | 1.51>> | 0 30 | 1*1 50+2*1 60 |
| 2/ 52/ 8 (C) | -1 72 | -4 31 | -1.51<< | 0 30 | 1*1 50+2*1 60 |
| 2/ 46/ 8 (C) | -2 70 | -2 85 | 0 05 | 2.44>> | 1*1 50+2*1 60 |
| 2/ 39/ 10 (C) | 2 07 | 0 16 | 0 04 | -2.21<< | 1*1 50+3*1 60 |
| 3_Lado(2)/ 106/ 10 (C) | 1.34>> | 4 06 | 0 30 | -2 30 | 1*1 50+3*1 60 |
| 3_Lado(2)/ 16/ 11 (C) | -5.53<< | -1 82 | 1 30 | 0 06 | 1*1 50+(2+3)*1 60 |
| 3_Lado(3)/ 106/ 10 (C) | 1 28 | 4.14>> | -0 23 | 2 22 | 1*1 50+3*1 60 |
| 3_Lado(1)/ 31/ 8 (C) | -3 24 | -6.21<< | 0 24 | -2 03 | 1*1 50+2*1 60 |
| 3_Lado(2)/ 16/ 8 (C) | -5 53 | -3 69 | 2.95>> | -0 02 | 1*1 50+2*1 60 |
| 3_Lado(3)/ 28/ 8 (C) | -4 48 | -1 65 | -2.50<< | -0 13 | 1*1 50+2*1 60 |
| 3_Lado(2)/ 69/ 10 (C) | 0 20 | 3 84 | 0 28 | 2.57>> | 1*1 50+3*1 60 |
| 3_Lado(2)/ 112/ 10 (C) | 0 20 | 3 84 | 0 28 | -2.57<< | 1*1 50+3*1 60 |
| 4/ 204/ 7 (C) | -0.19>> | -2 02 | 0 03 | -0 04 | 1*1 00+2*1 60 |
| 4/ 43/ 10 (C) | -4.33<< | 1 24 | 0 09 | 0 10 | 1*1 50+3*1 60 |
| 4/ 204/ 10 (C) | -0 42 | 5.45>> | 0 06 | -0 04 | 1*1 50+3*1 60 |
| 4/ 80/ 7 (C) | -1 81 | -3.89<< | 0 03 | -0 03 | 1*1 00+2*1 60 |
| 4/ 35/ 8 (C) | -3 02 | -2 24 | 0.78>> | 0 67 | 1*1 50+2*1 60 |
| 4/ 31/ 10 (C) | -1 81 | 2 61 | -0.41<< | -1 15 | 1*1 50+3*1 60 |
| 4/ 31/ 7 (C) | -1 77 | -2 68 | 0 36 | 1.21>> | 1*1 00+2*1 60 |
| 4/ 51/ 7 (C) | -1 77 | -2 68 | 0 36 | -1.21<< | 1*1 00+2*1 60 |
| 5_Lado(2)/ 34/ 10 (C) | 0.23>> | 0 65 | -0 18 | 0 06 | 1*1 50+3*1 60 |
| 5_Lado(2)/ 46/ 8 (C) | -3.56<< | -2 82 | -1 72 | 0 00 | 1*1 50+2*1 60 |
| 5_Lado(1)/ 214/ 10 (C) | 0 16 | 2.23>> | 0 09 | 1 01 | 1*1 50+3*1 60 |
| 5_Lado(3)/ 51/ 8 (C) | -3 50 | -5.19<< | -0 41 | -0 46 | 1*1 50+2*1 60 |
| 5_Lado(1)/ 32/ 8 (C) | -3 10 | -4 08 | 0.96>> | 0 29 | 1*1 50+2*1 60 |
| 5_Lado(2)/ 46/ 8 (C) | -3 56 | -2 82 | -1.72<< | 0 00 | 1*1 50+2*1 60 |
| 5_Lado(2)/ 218/ 7 (C) | -0 53 | -1 39 | 0 07 | 1.20>> | 1*1 00+2*1 60 |
| 5_Lado(2)/ 248/ 7 (C) | -0 53 | -1 39 | 0 07 | -1.20<< | 1*1 00+2*1 60 |
| 6/ 5/ 10 (C) | 0.45>> | -0 51 | -0 09 | 0 08 | 1*1 50+3*1 60 |
| 6/ 15/ 10 (C) | -4.97<< | -2 24 | -0 83 | 0 04 | 1*1 50+3*1 60 |
| 6/ 60/ 10 (C) | -0 23 | 2.66>> | 0 05 | -1 38 | 1*1 50+3*1 60 |
| 6/ 20/ 8 (C) | -4 22 | -3.28<< | -1 21 | -0 05 | 1*1 50+2*1 60 |
| 6/ 51/ 9 (C) | -0 82 | 2 54 | 0.32>> | 1 11 | 1*1 00+3*1 60 |

## 8.3 LISTADOS ESFUERZOS E.L.S.

| Panel/Nudo/Caso | NXX (T/m) | NYY (T/m) | MXX (Tm/m) | MYY (Tm/m) | Definición |
|---|---|---|---|---|---|
| 1/ 3/ 5 (C) | 0.96>> | 0 26 | -0 50 | -0 06 | (1+3)*1 00 |
| 1/ 28/ 4 (C) | -2.28<< | -1 02 | -0 77 | -0 13 | (1+2)*1 00 |
| 1/ 11/ 5 (C) | 0 79 | 1.07>> | -0 05 | -0 40 | (1+3)*1 00 |
| 1/ 11/ 4 (C) | -2 18 | -2.46<< | -0 15 | -0 92 | (1+2)*1 00 |
| 1/ 13/ 5 (C) | 0 51 | 0 12 | 0.61>> | 0 82 | (1+3)*1 00 |
| 1/ 28/ 4 (C) | -2 28 | -1 02 | -0.77<< | -0 13 | (1+2)*1 00 |
| 1/ 13/ 5 (C) | 0 51 | 0 12 | 0 61 | 0.82>> | (1+3)*1 00 |
| 1/ 16/ 4 (C) | -2 18 | -2 46 | -0 15 | -0.92<< | (1+2)*1 00 |
| 2/ 31/ 5 (C) | 1.73>> | 1 84 | -0 07 | -0 01 | (1+3)*1 00 |
| 2/ 31/ 4 (C) | -1.71<< | -3 73 | -0 05 | 0 13 | (1+2)*1 00 |
| 2/ 51/ 5 (C) | 1 73 | 1.84>> | -0 07 | -0 01 | (1+3)*1 00 |
| 2/ 51/ 4 (C) | -1 71 | -3.73<< | -0 05 | 0 13 | (1+2)*1 00 |
| 2/ 41/ 5 (C) | 0 60 | 0 71 | 0.22>> | 0 43 | (1+3)*1 00 |
| 2/ 52/ 4 (C) | -1 10 | -2 73 | -0.33<< | -0 06 | (1+2)*1 00 |
| 2/ 41/ 5 (C) | 0 60 | 0 71 | 0 22 | 0.43>> | (1+3)*1 00 |
| 2/ 46/ 4 (C) | -1 70 | -1 79 | -0 08 | -0.51<< | (1+2)*1 00 |
| 3_Lado(2)/ 106/ 5 (C) | 0.85>> | 2 60 | 0 04 | 0 57 | (1+3)*1 00 |
| 3_Lado(2)/ 16/ 6 (C) | -3.69<< | -1 20 | -0 61 | -0 12 | (1+2+3)*1 00 |
| 3_Lado(3)/ 106/ 5 (C) | 0 81 | 2.65>> | -0 04 | -0 56 | (1+3)*1 00 |
| 3_Lado(1)/ 31/ 4 (C) | -2 13 | -3.91<< | -0 11 | -0 45 | (1+2)*1 00 |
| 3_Lado(3)/ 28/ 4 (C) | -3 00 | -1 07 | 0.72>> | 0 13 | (1+2)*1 00 |
| 3_Lado(2)/ 16/ 4 (C) | -3 68 | -2 37 | -0.90<< | -0 16 | (1+2)*1 00 |
| 3_Lado(2)/ 112/ 5 (C) | 0 09 | 2 43 | 0 11 | 0.70>> | (1+3)*1 00 |
| 3_Lado(3)/ 112/ 5 (C) | 0 09 | 2 57 | -0 11 | -0.69<< | (1+3)*1 00 |
| 4/ 203/ 4 (C) | -0.20>> | -0 45 | 0 01 | -0 03 | (1+2)*1 00 |
| 4/ 43/ 5 (C) | -2.87<< | 0 77 | -0 10 | 0 01 | (1+3)*1 00 |
| 4/ 204/ 5 (C) | -0 28 | 3.54>> | -0 01 | -0 04 | (1+3)*1 00 |
| 4/ 80/ 4 (C) | -1 66 | -2.38<< | 0 02 | 0 07 | (1+2)*1 00 |
| 4/ 70/ 4 (C) | -1 73 | -2 03 | 0.05>> | 0 26 | (1+2)*1 00 |
| 4/ 39/ 4 (C) | -2 37 | -1 07 | -0.30<< | -0 09 | (1+2)*1 00 |
| 4/ 70/ 4 (C) | -1 73 | -2 03 | 0 05 | 0.26>> | (1+2)*1 00 |
| 4/ 31/ 5 (C) | -1 22 | 1 64 | 0 02 | -0.28<< | (1+3)*1 00 |
| 5_Lado(2)/ 34/ 5 (C) | 0.16>> | 0 41 | 0 07 | 0 01 | (1+3)*1 00 |
| 5_Lado(2)/ 46/ 4 (C) | -2.36<< | -1 79 | 0 50 | 0 08 | (1+2)*1 00 |
| 5_Lado(1)/ 214/ 5 (C) | 0 10 | 1.42>> | 0 02 | 0 24 | (1+3)*1 00 |
| 5_Lado(3)/ 51/ 4 (C) | -2 30 | -3.32<< | 0 09 | 0 12 | (1+2)*1 00 |
| 5_Lado(2)/ 46/ 4 (C) | -2 36 | -1 79 | 0.50>> | 0 08 | (1+2)*1 00 |
| 5_Lado(1)/ 32/ 4 (C) | -2 06 | -2 61 | -0.27<< | -0 05 | (1+2)*1 00 |
| 5_Lado(2)/ 218/ 4 (C) | -0 45 | -0 78 | 0 06 | 0.27>> | (1+2)*1 00 |
| 5_Lado(2)/ 218/ 5 (C) | -0 28 | 0 91 | -0 05 | -0.27<< | (1+3)*1 00 |
| 6/ 5/ 5 (C) | 0.29>> | -0 34 | 0 07 | -0 01 | (1+3)*1 00 |
| 6/ 15/ 5 (C) | -3.30<< | -1 52 | 0 55 | 0 10 | (1+3)*1 00 |
| 6/ 60/ 5 (C) | -0 18 | 1.69>> | -0 06 | -0 38 | (1+3)*1 00 |
| 6/ 20/ 4 (C) | -2 83 | -2.17<< | 0 57 | 0 10 | (1+2)*1 00 |

# 9. DIMENSIONAMIENTO DE ARMADURAS PARA ELU.

## 9.1 ARMADURAS PARA E.L.U. DE FLEXIÓN.

Para dimensionar la armadura se parte de la cuantía mínima indicada en la norma E.H.E., y se comprueba su validez para los máximos esfuerzos obtenidos en las estructuras modelizadas.

Las armaduras se obtienen empleando una hoja de cálculo, especialmente programada para el dimensionamiento de secciones rectangulares de hormigón armado sometidas a esfuerzos de flexión compuesta.

Las cuantías mínimas indicadas en la instrucción E.H.E. son las siguientes:

**Cuantía mecánica:** $A_s \geq 0.04 \cdot A_c \frac{f_{cd}}{f_{yd}}$

**Losa:** $A_s \geq 0.0018 \cdot A_c$ (a repartir entre ambas caras)

**Muro:** $A_{sh} \geq 0.0032 \cdot A_c$ (a repartir entre ambas caras)

$A_{sv} \geq 0.0009 \cdot A_c$ (en cara de tracción)

## 9.2 ARMADURAS PARA ELU DE CORTANTE.

El Estado Límite de Agotamiento por esfuerzo cortante se puede alcanzar, ya sea por agotarse la resistencia a compresión del alma, o por agotarse su resistencia a tracción. En consecuencia, es necesario comprobar que se cumple simultáneamente:

$$V_{rd} \leq V_{u1}$$

$$V_{rd} \leq V_{u2}$$

Las comprobaciones se realizan empleando una hoja de cálculo, especialmente programada para el dimensionamiento de secciones rectangulares de hormigón armado sometidas a esfuerzos de cortante, inicialmente se tantea como armadura de flexión con la máxima de las cuantías mínimas necesarias, bien geométrica o mecánica.

En la hoja se introducen las características de las secciones y de los materiales, hormigón y acero, y los esfuerzos obtenidos de los modelos en la combinación más desfavorable.

## 10. COMPROBACIONES DEL ELS DE FISURACIÓN.

La comprobación general del Estado Límite de Fisuración por tracción consiste en satisfacer la siguiente inecuación:

$$w_k \leq w_{max}$$

Las aberturas de fisuras se obtienen empleando una hoja de cálculo, especialmente programada para el caso de secciones rectangulares de hormigón armado sometidas a esfuerzos de flexión compuesta.

En la hoja se introducen las características de las secciones y de los materiales, hormigón y acero, y los esfuerzos obtenidos de los modelos en la combinación más desfavorable y para la situación cuasipermanente.

La fisuración no se produce si el momento de servicio actuante es inferior al momento de fisuración de la sección, que es aquel para el que la fibra más traccionada de hormigón alcanza el valor $f_{ct,m}$.

Caso de que no se cumpliese la inecuación de partida se elevará la cuantía de la armadura hasta que la abertura sea inferior a la máxima admisible.

# 11. COMPROBACIONES EN PAREDES DE LA ARQUETA

## 11.1 AGOTAMIENTO POR FLEXIÓN

| REFERENCIA SECCIÓN | MATERIALES | | GEOMETRÍA DE LA SECCIÓN | | | | | SOLICITACIONES | |
|---|---|---|---|---|---|---|---|---|---|
| | Resistencia del hormigón (T/m2) | Resistencia del acero (T/m2) | Ancho (m) | Canto (m) | Recubrimiento (m) | Canto útil (m) | Disposición: Pilar 1 Losa 2 Viga 3 Muro 4 | Momento (T·m) | Axil (T) Compresión (+) |
| PANEL 3 | 3000 000 | 51000.000 | 1.000 | 0.300 | 0.050 | 0.250 | 4 | 0.060 | -1.340 |
| PANEL 3 | 3000 000 | 51000.000 | 1.000 | 0.300 | 0.050 | 0 250 | 4 | -0.930 | 5.530 |
| PANEL 3 | 3000 000 | 51000.000 | 1.000 | 0.300 | 0.050 | 0 250 | 4 | -0.870 | -4.140 |
| PANEL 3 | 3000 000 | 51000.000 | 1.000 | 0.300 | 0.050 | 0 250 | 4 | -0.720 | 6.210 |
| PANEL 3 | 3000 000 | 51000.000 | 1.000 | 0.300 | 0.050 | 0 250 | 4 | 1.110 | 4.480 |
| PANEL 3 | 3000 000 | 51000.000 | 1.000 | 0.300 | 0.050 | 0 250 | 4 | -1.390 | 5.530 |
| PANEL 3 | 3000 000 | 51000.000 | 1.000 | 0.300 | 0.050 | 0.250 | 4 | 1.110 | -3.840 |
| PANEL 3 | 3000 000 | 51000.000 | 1.000 | 0.300 | 0.050 | 0 250 | 4 | -1.090 | -4.060 |
| PANEL 4 | 3000 000 | 51000.000 | 1.000 | 0.300 | 0.050 | 0 250 | 4 | 0.010 | 0.190 |
| PANEL 4 | 3000 000 | 51000.000 | 1.000 | 0.300 | 0.050 | 0 250 | 4 | -0.140 | 4.330 |
| PANEL 4 | 3000 000 | 51000.000 | 1.000 | 0.300 | 0.050 | 0 250 | 4 | -0.070 | -5.450 |
| PANEL 4 | 3000 000 | 51000.000 | 1.000 | 0.300 | 0.050 | 0 250 | 4 | 0.080 | 3.890 |
| PANEL 4 | 3000 000 | 51000.000 | 1.000 | 0.300 | 0.050 | 0 250 | 4 | 0.080 | 2.630 |
| PANEL 4 | 3000 000 | 51000.000 | 1.000 | 0.300 | 0.050 | 0 250 | 4 | -0.470 | 3.540 |
| PANEL 4 | 3000 000 | 51000.000 | 1.000 | 0.300 | 0.050 | 0 250 | 4 | 0.410 | 3.280 |
| PANEL 4 | 3000 000 | 51000.000 | 1.000 | 0.300 | 0.050 | 0 250 | 4 | -0.440 | -2.610 |
| PANEL 5 | 3000 000 | 51000.000 | 1.000 | 0.300 | 0.050 | 0.250 | 4 | 0.100 | -0.230 |
| PANEL 5 | 3000 000 | 51000.000 | 1.000 | 0.300 | 0.050 | 0 250 | 4 | 0.770 | 3.560 |
| PANEL 5 | 3000 000 | 51000.000 | 1.000 | 0.300 | 0.050 | 0.250 | 4 | 0.390 | -2.230 |
| PANEL 5 | 3000 000 | 51000.000 | 1.000 | 0.300 | 0.050 | 0 250 | 4 | 0.190 | 5.190 |
| PANEL 5 | 3000 000 | 51000.000 | 1.000 | 0.300 | 0.050 | 0 250 | 4 | 0.770 | 3.560 |
| PANEL 5 | 3000 000 | 51000.000 | 1.000 | 0.300 | 0.050 | 0 250 | 4 | -0.420 | 3.100 |
| PANEL 5 | 3000 000 | 51000.000 | 1.000 | 0.300 | 0.050 | 0 250 | 4 | 0.470 | 1.390 |
| PANEL 5 | 3000 000 | 51000.000 | 1.000 | 0.300 | 0.050 | 0 250 | 4 | -0.450 | 1.790 |
| PANEL 6 | 3000 000 | 51000.000 | 1.000 | 0.300 | 0.050 | 0.250 | 4 | 0.110 | -0.450 |
| PANEL 6 | 3000 000 | 51000.000 | 1.000 | 0.300 | 0.050 | 0 250 | 4 | 0.820 | 4.970 |
| PANEL 6 | 3000 000 | 51000.000 | 1.000 | 0.300 | 0.050 | 0 250 | 4 | -0.600 | -2.660 |
| PANEL 6 | 3000 000 | 51000.000 | 1.000 | 0.300 | 0.050 | 0 250 | 4 | 0.160 | 3.280 |
| PANEL 6 | 3000 000 | 51000.000 | 1.000 | 0.300 | 0.050 | 0 250 | 4 | 0.860 | 4.220 |
| PANEL 6 | 3000 000 | 51000.000 | 1.000 | 0.300 | 0.050 | 0 250 | 4 | -0.280 | 1.130 |
| PANEL 6 | 3000 000 | 51000.000 | 1.000 | 0.300 | 0.050 | 0 250 | 4 | 0.380 | 2.740 |
| PANEL 6 | 3000 000 | 51000.000 | 1.000 | 0.300 | 0.050 | 0 250 | 4 | -0.600 | -2.660 |

| RESULTADOS Md<=Mlim | | | | | |
|---|---|---|---|---|---|
| $M_{As}$ | $E_{yd}$ | $x_{lim}$ | $M_{lim}$ | x | As |
| -0.074 | 0.002217 | 0.153 | 39.293 | 0.000 | 0.000024 |
| 1.483 | 0.002217 | 0.153 | 39.293 | 0.004 | 0.000010 |
| 0.456 | 0.002217 | 0.153 | 39.293 | 0.001 | 0.000135 |
| 1.341 | 0.002217 | 0.153 | 39.293 | 0.004 | -0.000018 |
| 1.558 | 0.002217 | 0.153 | 39.293 | 0.005 | 0.000041 |
| 1.943 | 0.002217 | 0.153 | 39.293 | 0.006 | 0.000052 |
| 0.726 | 0.002217 | 0.153 | 39.293 | 0.002 | 0.000152 |
| 0.684 | 0.002217 | 0.153 | 39.293 | 0.002 | 0.000153 |
| 0.029 | 0.002217 | 0.153 | 39.293 | 0.000 | -0.000002 |
| 0.573 | 0.002217 | 0.153 | 39.293 | 0.002 | -0.000046 |
| -0.475 | 0.002217 | 0.153 | 39.293 | -0.001 | 0.000080 |
| 0.469 | 0.002217 | 0.153 | 39.293 | 0.001 | -0.000045 |
| 0.343 | 0.002217 | 0.153 | 39.293 | 0.001 | -0.000028 |
| 0.824 | 0.002217 | 0.153 | 39.293 | 0.002 | -0.000005 |
| 0.738 | 0.002217 | 0.153 | 39.293 | 0.002 | -0.000007 |
| 0.179 | 0.002217 | 0.153 | 39.293 | 0.001 | 0.000075 |
| 0.077 | 0.002217 | 0.153 | 39.293 | 0.000 | 0.000012 |
| 1.126 | 0.002217 | 0.153 | 39.293 | 0.003 | 0.000022 |
| 0.167 | 0.002217 | 0.153 | 39.293 | 0.000 | 0.000065 |
| 0.709 | 0.002217 | 0.153 | 39.293 | 0.002 | -0.000053 |
| 1.126 | 0.002217 | 0.153 | 39.293 | 0.003 | 0.000022 |
| 0.730 | 0.002217 | 0.153 | 39.293 | 0.002 | -0.000004 |
| 0.609 | 0.002217 | 0.153 | 39.293 | 0.002 | 0.000024 |
| 0.629 | 0.002217 | 0.153 | 39.293 | 0.002 | 0.000017 |
| 0.065 | 0.002217 | 0.153 | 39.293 | 0.000 | 0.000016 |
| 1.317 | 0.002217 | 0.153 | 39.293 | 0.004 | 0.000007 |
| 0.334 | 0.002217 | 0.153 | 39.293 | 0.001 | 0.000090 |
| 0.488 | 0.002217 | 0.153 | 39.293 | 0.001 | -0.000030 |
| 1.282 | 0.002217 | 0.153 | 39.293 | 0.004 | 0.000021 |
| 0.393 | 0.002217 | 0.153 | 39.293 | 0.001 | 0.000010 |
| 0.654 | 0.002217 | 0.153 | 39.293 | 0.002 | -0.000003 |
| 0.334 | 0.002217 | 0.153 | 39.293 | 0.001 | 0.000090 |

| CUANTÍAS MÍNIMAS | | ARMADURA NECESARIA | | ARMADURA DISPUESTA | | | | | |
|---|---|---|---|---|---|---|---|---|---|
| Mecánica | Geométrica | Cara de tracción (cm2) | Cara de compresión (cm2) | NÚMERO | DIÁMETRO | ÁREA ARMADURA DE TRACCIÓN DISPUESTA | NÚMERO | DIÁMETRO | ÁREA ARMADURA DE COMPRESIÓN DISPUESTA |
| 0.000564 | 0.000270 | 5.64 | 5.64 | 5 | 12 | 5.655 | 5 | 12 | 5.655 |
| 0.000564 | 0.000270 | 5.64 | 5.64 | 5 | 12 | 5.655 | 5 | 12 | 5.655 |
| 0.000564 | 0.000270 | 5.64 | 5.64 | 5 | 12 | 5.655 | 5 | 12 | 5.655 |
| 0.000564 | 0.000270 | 5.64 | 5.64 | 5 | 12 | 5.655 | 5 | 12 | 5.655 |
| 0.000564 | 0.000270 | 5.64 | 5.64 | 5 | 12 | 5.655 | 5 | 12 | 5.655 |
| 0.000564 | 0.000270 | 5.64 | 5.64 | 5 | 12 | 5.655 | 5 | 12 | 5.655 |
| 0.000564 | 0.000270 | 5.64 | 5.64 | 5 | 12 | 5.655 | 5 | 12 | 5.655 |
| 0.000564 | 0.000270 | 5.64 | 5.64 | 5 | 12 | 5.655 | 5 | 12 | 5.655 |
| 0.000564 | 0.000270 | 5.64 | 5.64 | 5 | 12 | 5.655 | 5 | 12 | 5.655 |
| 0.000564 | 0.000270 | 5.64 | 5.64 | 5 | 12 | 5.655 | 5 | 12 | 5.655 |
| 0.000564 | 0.000270 | 5.64 | 5.64 | 5 | 12 | 5.655 | 5 | 12 | 5.655 |
| 0.000564 | 0.000270 | 5.64 | 5.64 | 5 | 12 | 5.655 | 5 | 12 | 5.655 |
| 0.000564 | 0.000270 | 5.64 | 5.64 | 5 | 12 | 5.655 | 5 | 12 | 5.655 |
| 0.000564 | 0.000270 | 5.64 | 5.64 | 5 | 12 | 5.655 | 5 | 12 | 5.655 |
| 0.000564 | 0.000270 | 5.64 | 5.64 | 5 | 12 | 5.655 | 5 | 12 | 5.655 |
| 0.000564 | 0.000270 | 5.64 | 5.64 | 5 | 12 | 5.655 | 5 | 12 | 5.655 |
| 0.000564 | 0.000270 | 5.64 | 5.64 | 5 | 12 | 5.655 | 5 | 12 | 5.655 |
| 0.000564 | 0.000270 | 5.64 | 5.64 | 5 | 12 | 5.655 | 5 | 12 | 5.655 |
| 0.000564 | 0.000270 | 5.64 | 5.64 | 5 | 12 | 5.655 | 5 | 12 | 5.655 |
| 0.000564 | 0.000270 | 5.64 | 5.64 | 5 | 12 | 5.655 | 5 | 12 | 5.655 |
| 0.000564 | 0.000270 | 5.64 | 5.64 | 5 | 12 | 5.655 | 5 | 12 | 5.655 |
| 0.000564 | 0.000270 | 5.64 | 5.64 | 5 | 12 | 5.655 | 5 | 12 | 5.655 |
| 0.000564 | 0.000270 | 5.64 | 5.64 | 5 | 12 | 5.655 | 5 | 12 | 5.655 |
| 0.000564 | 0.000270 | 5.64 | 5.64 | 5 | 12 | 5.655 | 5 | 12 | 5.655 |
| 0.000564 | 0.000270 | 5.64 | 5.64 | 5 | 12 | 5.655 | 5 | 12 | 5.655 |
| 0.000564 | 0.000270 | 5.64 | 5.64 | 5 | 12 | 5.655 | 5 | 12 | 5.655 |
| 0.000564 | 0.000270 | 5.64 | 5.64 | 5 | 12 | 5.655 | 5 | 12 | 5.655 |
| 0.000564 | 0.000270 | 5.64 | 5.64 | 5 | 12 | 5.655 | 5 | 12 | 5.655 |
| 0.000564 | 0.000270 | 5.64 | 5.64 | 5 | 12 | 5.655 | 5 | 12 | 5.655 |
| 0.000564 | 0.000270 | 5.64 | 5.64 | 5 | 12 | 5.655 | 5 | 12 | 5.655 |
| 0.000564 | 0.000270 | 5.64 | 5.64 | 5 | 12 | 5.655 | 5 | 12 | 5.655 |
| 0.000564 | 0.000270 | 5.64 | 5.64 | 5 | 12 | 5.655 | 5 | 12 | 5.655 |
| 0.000564 | 0.000270 | 5.64 | 5.64 | 5 | 12 | 5.655 | 5 | 12 | 5.655 |
| 0.000564 | 0.000270 | 5.64 | 5.64 | 5 | 12 | 5.655 | 5 | 12 | 5.655 |
| 0.000564 | 0.000270 | 5.64 | 5.64 | 5 | 12 | 5.655 | 5 | 12 | 5.655 |
| 0.000564 | 0.000270 | 5.64 | 5.64 | 5 | 12 | 5.655 | 5 | 12 | 5.655 |

## 11.2 AGOTAMIENTO POR ESFUERZO CORTANTE.

| REFERENCIA SECCIÓN | MATERIALES | | GEOMETRÍA DE LA SECCIÓN | | | | | SOLICITACIONES | |
|---|---|---|---|---|---|---|---|---|---|
| | Resistencia del hormigón (T/m2) | Resistencia del acero (T/m2) | Ancho (m) | Anchura neta mínima del elemento (m) | Canto (m) | Recubrimiento (m) | Canto útil (m) | Cortante (T) | Axil (T) Compresión (+) |
| PANEL 3 | 3000.000 | 51000.000 | 1.000 | 1.000 | 0.300 | 0.050 | 0 250 | 2.950 | 5 530 |
| PANEL 3 | 3000.000 | 51000.000 | 1.000 | 1.000 | 0.300 | 0.050 | 0 250 | 2.500 | 4.480 |
| PANEL 3 | 3000.000 | 51000.000 | 1.000 | 1.000 | 0.300 | 0.050 | 0 250 | 2.570 | -3 840 |
| PANEL 3 | 3000.000 | 51000.000 | 1.000 | 1.000 | 0.300 | 0.050 | 0 250 | 2.570 | -3 840 |
| PANEL 4 | 3000.000 | 51000.000 | 1.000 | 1.000 | 0.300 | 0.050 | 0 250 | 0.780 | 3 020 |
| PANEL 4 | 3000.000 | 51000.000 | 1.000 | 1.000 | 0.300 | 0.050 | 0 250 | 0.410 | 1 810 |
| PANEL 4 | 3000.000 | 51000.000 | 1.000 | 1.000 | 0.300 | 0.050 | 0 250 | 1.210 | 2.680 |
| PANEL 4 | 3000.000 | 51000.000 | 1.000 | 1.000 | 0.300 | 0.050 | 0 250 | 1.210 | 2.680 |
| PANEL 5 | 3000.000 | 51000.000 | 1.000 | 1.000 | 0.300 | 0.050 | 0 250 | 0.960 | 3.100 |
| PANEL 5 | 3000.000 | 51000.000 | 1.000 | 1.000 | 0.300 | 0.050 | 0 250 | 1.720 | 3 560 |
| PANEL 5 | 3000.000 | 51000.000 | 1.000 | 1.000 | 0.300 | 0.050 | 0 250 | 1.200 | 1 390 |
| PANEL 5 | 3000.000 | 51000.000 | 1.000 | 1.000 | 0.300 | 0.050 | 0 250 | 1.200 | 1 390 |
| PANEL 6 | 3000.000 | 51000.000 | 1.000 | 1.000 | 0.300 | 0.050 | 0 250 | 0.320 | 0 820 |
| PANEL 6 | 3000.000 | 51000.000 | 1.000 | 1.000 | 0.300 | 0.050 | 0 250 | 1.210 | 4 220 |
| PANEL 6 | 3000.000 | 51000.000 | 1.000 | 1.000 | 0.300 | 0.050 | 0 250 | 1.380 | -2.660 |
| PANEL 6 | 3000.000 | 51000.000 | 1.000 | 1.000 | 0.300 | 0.050 | 0 250 | 1.380 | -2.660 |

| Vu1 (Agotamiento por compresión oblicua en el alma) | | | | Vu2 (Agotamiento por tracción en el alma) Sin armadura de cortante | | | Vu2 (Agotamiento por tracción en el alma) Con armadura de cortante | |
|---|---|---|---|---|---|---|---|---|
| K | cotg(Alfa) | cotg(Teta) | Vu1 | Cuantía geométrica de armadura longitudinal traccionada | Epsilon | Vu2 (T) | Vcu (T) (Contribución del hormigón) | Área necesaria de cortante (cm2) $A_{90}$ |
| 1.651 | 0.000000 | 1.000 | 150.000 | 0.002 | 1.894 | 11.440 | 8.957 | 0.00 |
| 1.654 | 0.000000 | 1.000 | 150.000 | 0.002 | 1.894 | 11.309 | 8.957 | 0.00 |
| 1.677 | 0.000000 | 1.000 | 150.000 | 0.002 | 1.894 | 10.269 | 8.957 | 0.00 |
| 1.677 | 0.000000 | 1.000 | 150.000 | 0.002 | 1.894 | 10.269 | 8.957 | 0.00 |
| 1.658 | 0.000000 | 1.000 | 150.000 | 0.002 | 1.894 | 11.126 | 8.957 | 0.00 |
| 1.662 | 0.000000 | 1.000 | 150.000 | 0.002 | 1.894 | 10.975 | 8.957 | 0.00 |
| 1.659 | 0.000000 | 1.000 | 150.000 | 0.002 | 1.894 | 11.084 | 8.957 | 0.00 |
| 1.659 | 0.000000 | 1.000 | 150.000 | 0.002 | 1.894 | 11.084 | 8.957 | 0.00 |
| 1.658 | 0.000000 | 1.000 | 150.000 | 0.002 | 1.894 | 11.136 | 8.957 | 0.00 |
| 1.657 | 0.000000 | 1.000 | 150.000 | 0.002 | 1.894 | 11.194 | 8.957 | 0.00 |
| 1.663 | 0.000000 | 1.000 | 150.000 | 0.002 | 1.894 | 10.922 | 8.957 | 0.00 |
| 1.663 | 0.000000 | 1.000 | 150.000 | 0.002 | 1.894 | 10.922 | 8.957 | 0.00 |
| 1.664 | 0.000000 | 1.000 | 150.000 | 0.002 | 1.894 | 10.851 | 8.957 | 0.00 |
| 1.655 | 0.000000 | 1.000 | 150.000 | 0.002 | 1.894 | 11.276 | 8.957 | 0.00 |
| 1.674 | 0.000000 | 1.000 | 150.000 | 0.002 | 1.894 | 10.416 | 8.957 | 0.00 |
| 1.674 | 0.000000 | 1.000 | 150.000 | 0.002 | 1.894 | 10.416 | 8.957 | 0.00 |

## 11.3 ESTADO LÍMITE DE FISURACIÓN.

| | | | MATERIALES | | | | GEOMÉTRIA | | | As Tracc. | | As Comp. | | | | Esf. Caracterist. | |
|---|---|---|---|---|---|---|---|---|---|---|---|---|---|---|---|---|---|
| Tipo Amb. | Wk,adm (mm) | Viga Losa | fck (Kg/cm2) | γc | fyk (Kg/cm2) | γs | Ancho b(cm) | Canto h(cm) | Recu (cm) | ϕ (mm) | n°ϕ | ϕ (mm) | n°ϕ | kl | k2 | Nk (T) | Mk (mT) |
| Qb | 0 10 | L | 300 | 1 5 | 5100 | 1 15 | 100 | 30 | 5 | 12 | 5 | 12 | 5 | 0 129 | 0 5 | 0 85 | 0 04 |
| Qb | 0 10 | L | 300 | 1 5 | 5100 | 1 15 | 100 | 30 | 5 | 12 | 5 | 12 | 5 | 0 125 | 0 5 | 2 65 | 0 56 |
| Qb | 0 10 | L | 300 | 1 5 | 5100 | 1 15 | 100 | 30 | 5 | 12 | 5 | 12 | 5 | 0 204 | 0 5 | 3 54 | 0 04 |
| Qb | 0 10 | L | 300 | 1 5 | 5100 | 1 15 | 100 | 30 | 5 | 12 | 5 | 12 | 5 | 0 125 | 0 5 | 0 16 | 0 07 |
| Qb | 0 10 | L | 300 | 1 5 | 5100 | 1 15 | 100 | 30 | 5 | 12 | 5 | 12 | 5 | 0 125 | 0 5 | 1 42 | 0 24 |
| Qb | 0 10 | L | 300 | 1 5 | 5100 | 1 15 | 100 | 30 | 5 | 12 | 5 | 12 | 5 | 0 125 | 0 5 | 0 29 | 0 07 |
| Qb | 0 10 | L | 250 | 1 5 | 5100 | 1 15 | 100 | 30 | 5 | 12 | 5 | 12 | 5 | 0 125 | 0 5 | 1 69 | 0 38 |

| Sm (cm) | Nfis (T) | Mfis (mT) | σsr (Kg/cm2) | σs (Kg/cm2) | εsm | wk (mm) | Comentario |
|---|---|---|---|---|---|---|---|
| 20 99 | 47 94 | 2 26 | 6361 52 | 112 78 | 0 00002 | 0 008 | Cumple |
| 20 76 | 17 83 | 3 77 | 4611 30 | 22 75 | 0 00000 | 0 002 | Cumple |
| 25 29 | 75 82 | 0 86 | 7509 87 | 350 63 | 0 00007 | 0 029 | Cumple |
| 20 76 | 9 56 | 4 18 | 4107 97 | 2 44 | 0 00000 | 0 000 | Cumple |
| 20 76 | 21 27 | 3 60 | 4823 56 | 10 42 | 0 00000 | 0 001 | Cumple |
| 20 76 | 15 99 | 3 86 | 4498 55 | 2 75 | 0 00000 | 0 000 | Cumple |
| 20 76 | 15 04 | 3 38 | 4045 11 | 15 88 | 0 00000 | 0 001 | Cumple |

# 12. COMPROBACIONES EN CIMENTACIÓN

## 12.1 AGOTAMIENTO POR FLEXIÓN

| REFERENCIA SECCIÓN | MATERIALES | | GEOMETRÍA DE LA SECCIÓN | | | | | SOLICITACIONES | |
|---|---|---|---|---|---|---|---|---|---|
| | Resistencia del hormigón (T/m2) | Resistencia del acero (T/m2) | Ancho (m) | Canto (m) | Recubrimiento (m) | Canto útil (m) | Disposición: Pilar 1 Losa 2 Viga 3 Muro 4 | Momento (T·m) | Axil (T) Compresión (+) |
| PANEL 1 | 3000 000 | 51000.000 | 1 000 | 0.300 | 0.050 | 0.250 | 2 | -0.430 | -1.860 |
| PANEL 1 | 3000 000 | 51000.000 | 1 000 | 0.300 | 0.050 | 0.250 | 2 | -1.170 | 3.590 |
| PANEL 1 | 3000 000 | 51000.000 | 1 000 | 0.300 | 0.050 | 0.250 | 2 | -0.260 | -2.040 |
| PANEL 1 | 3000 000 | 51000.000 | 1 000 | 0.300 | 0.050 | 0.250 | 2 | -1.420 | 3.880 |
| PANEL 1 | 3000 000 | 51000.000 | 1 000 | 0.300 | 0.050 | 0.250 | 2 | 0.930 | -0.870 |
| PANEL 1 | 3000 000 | 51000.000 | 1 000 | 0.300 | 0.050 | 0.250 | 2 | -1.170 | 3.590 |
| PANEL 1 | 3000 000 | 51000.000 | 1 000 | 0.300 | 0.050 | 0.250 | 2 | 1.240 | -0.260 |
| PANEL 1 | 3000 000 | 51000.000 | 1 000 | 0.300 | 0.050 | 0.250 | 2 | -1.420 | 3.880 |
| PANEL 2 | 3000 000 | 51000.000 | 1 000 | 0.300 | 0.050 | 0.250 | 2 | -0.100 | -2.750 |
| PANEL 2 | 3000 000 | 51000.000 | 1 000 | 0.300 | 0.050 | 0.250 | 2 | -0.040 | 2.850 |
| PANEL 2 | 3000 000 | 51000.000 | 1 000 | 0.300 | 0.050 | 0.250 | 2 | -0.050 | -3.350 |
| PANEL 2 | 3000 000 | 51000.000 | 1 000 | 0.300 | 0.050 | 0 250 | 2 | 0.210 | 5.900 |
| PANEL 2 | 3000 000 | 51000.000 | 1 000 | 0.300 | 0.050 | 0.250 | 2 | 0.340 | -0.980 |
| PANEL 2 | 3000 000 | 51000.000 | 1 000 | 0.300 | 0.050 | 0.250 | 2 | -0.510 | 1.720 |
| PANEL 2 | 3000 000 | 51000.000 | 1 000 | 0.300 | 0.050 | 0.250 | 2 | 0.650 | -1.160 |
| PANEL 2 | 3000 000 | 51000.000 | 1 000 | 0.300 | 0.050 | 0.250 | 2 | -0.780 | 2.850 |

| RESULTADOS Md<=Mlim | | | | | |
|---|---|---|---|---|---|
| $M_{As}$ | $E_{yd}$ | $x_{lim}$ | $M_{lim}$ | x | As |
| 0.244 | 0.002217 | 0.153 | 39.293 | 0.001 | 0.000064 |
| 1.529 | 0.002217 | 0.153 | 39.293 | 0.005 | 0.000058 |
| 0.056 | 0.002217 | 0.153 | 39.293 | 0.000 | 0.000051 |
| 1.808 | 0.002217 | 0.153 | 39.293 | 0.005 | 0.000077 |
| 0.843 | 0.002217 | 0.153 | 39.293 | 0.002 | 0.000096 |
| 1.529 | 0.002217 | 0.153 | 39.293 | 0.005 | 0.000058 |
| 1.214 | 0.002217 | 0.153 | 39.293 | 0.004 | 0.000116 |
| 1.808 | 0.002217 | 0.153 | 39.293 | 0.005 | 0.000077 |
| -0.175 | 0.002217 | 0.153 | 39.293 | -0.001 | 0.000046 |
| 0.325 | 0.002217 | 0.153 | 39.293 | 0.001 | -0 000035 |
| -0.285 | 0.002217 | 0.153 | 39.293 | -0.001 | 0.000050 |
| 0.800 | 0.002217 | 0.153 | 39.293 | 0.002 | -0 000061 |
| 0.242 | 0.002217 | 0.153 | 39.293 | 0.001 | 0.000044 |
| 0.682 | 0.002217 | 0.153 | 39.293 | 0.002 | 0.000023 |
| 0.534 | 0.002217 | 0.153 | 39.293 | 0.002 | 0.000074 |
| 1.065 | 0.002217 | 0.153 | 39.293 | 0.003 | 0.000032 |

| CUANTÍAS MÍNIMAS | | ARMADURA NECESARIA | | ARMADURA DISPUESTA | | | | | |
|---|---|---|---|---|---|---|---|---|---|
| Mecánica | Geométrica | Cara de tracción (cm2) | Cara de compresión (cm2) | NÚMERO | DIÁMETRO | ÁREA ARMADURA DE TRACCIÓN DISPUESTA | NÚMERO | DIÁMETRO | ÁREA ARMADURA DE COMPRESIÓN DISPUESTA |
| 0.000564 | 0 000270 | 5.64 | 5 64 | 5 | 12 | 5 655 | 5 | 12 | 5 655 |
| 0.000564 | 0 000270 | 5.64 | 5 64 | 5 | 12 | 5 655 | 5 | 12 | 5 655 |
| 0.000564 | 0 000270 | 5.64 | 5 64 | 5 | 12 | 5 655 | 5 | 12 | 5 655 |
| 0.000564 | 0 000270 | 5.64 | 5 64 | 5 | 12 | 5 655 | 5 | 12 | 5 655 |
| 0.000564 | 0 000270 | 5.64 | 5 64 | 5 | 12 | 5 655 | 5 | 12 | 5 655 |
| 0.000564 | 0 000270 | 5.64 | 5 64 | 5 | 12 | 5 655 | 5 | 12 | 5 655 |
| 0.000564 | 0 000270 | 5.64 | 5 64 | 5 | 12 | 5 655 | 5 | 12 | 5 655 |
| 0.000564 | 0 000270 | 5.64 | 5 64 | 5 | 12 | 5 655 | 5 | 12 | 5 655 |
| 0.000564 | 0 000270 | 5.64 | 5 64 | 5 | 12 | 5 655 | 5 | 12 | 5 655 |
| 0.000564 | 0 000270 | 5.64 | 5 64 | 5 | 12 | 5 655 | 5 | 12 | 5 655 |
| 0.000564 | 0 000270 | 5.64 | 5 64 | 5 | 12 | 5 655 | 5 | 12 | 5 655 |
| 0.000564 | 0 000270 | 5.64 | 5 64 | 5 | 12 | 5 655 | 5 | 12 | 5 655 |
| 0.000564 | 0 000270 | 5.64 | 5 64 | 5 | 12 | 5 655 | 5 | 12 | 5 655 |
| 0.000564 | 0 000270 | 5.64 | 5 64 | 5 | 12 | 5 655 | 5 | 12 | 5 655 |
| 0.000564 | 0 000270 | 5.64 | 5 64 | 5 | 12 | 5 655 | 5 | 12 | 5 655 |

## 12.2 AGOTAMIENTO POR ESFUERZO CORTANTE.

| REFERENCIA SECCIÓN | MATERIALES | | GEOMETRÍA DE LA SECCIÓN | | | | | SOLICITACIONES | |
|---|---|---|---|---|---|---|---|---|---|
| | Resistencia del hormigón (T/m2) | Resistencia del acero (T/m2) | Ancho (m) | Anchura neta mínima del elemento (m) | Canto (m) | Recubrimiento (m) | Canto útil (m) | Cortante (T) | Axil (T) Compresión (+) |
| PANEL 1 | 3000 000 | 51000.000 | 1.000 | 1.000 | 0.300 | 0.050 | 0.250 | 3.110 | 3.590 |
| PANEL 1 | 3000 000 | 51000.000 | 1.000 | 1.000 | 0.300 | 0.050 | 0.250 | 3.110 | 3.590 |
| PANEL 1 | 3000 000 | 51000.000 | 1.000 | 1.000 | 0.300 | 0.050 | 0.250 | 3.360 | 0.650 |
| PANEL 1 | 3000 000 | 51000.000 | 1.000 | 1.000 | 0.300 | 0.050 | 0.250 | 3.810 | 3.880 |
| PANEL 2 | 3000 000 | 51000.000 | 1.000 | 1.000 | 0.300 | 0.050 | 0.250 | 1.510 | 1.720 |
| PANEL 2 | 3000 000 | 51000.000 | 1.000 | 1.000 | 0.300 | 0.050 | 0.250 | 1.510 | 1.720 |
| PANEL 2 | 3000 000 | 51000.000 | 1.000 | 1.000 | 0.300 | 0.050 | 0.250 | 2.440 | 2.850 |
| PANEL 2 | 3000 000 | 51000.000 | 1.000 | 1.000 | 0.300 | 0.050 | 0.250 | 2.210 | -0.160 |

| Vu1 (Agotamiento por compresión oblicua en el alma) | | | | Vu2 (Agotamiento por tracción en el alma) Sin armadura de cortante | | | Vu2 (Agotamiento por tracción en el alma) Con armadura de cortante | |
|---|---|---|---|---|---|---|---|---|
| K | cotg(Alfa) | cotg(Teta) | Vu1 | Cuantía geométrica de armadura longitudinal traccionada | Epsilon | Vu2 (T) | Vcu (T) (Contribución del hormigón) | Área necesaria de cortante (cm2) $A_{90}$ |
| 1.657 | 0.000000 | 1.000 | 150.000 | 0.002 | 1.894 | 11.197 | 8.957 | 0.00 |
| 1.657 | 0.000000 | 1.000 | 150.000 | 0.002 | 1.894 | 11.197 | 8.957 | 0.00 |
| 1.665 | 0.000000 | 1.000 | 150.000 | 0.002 | 1.894 | 10.830 | 8.957 | 0.00 |
| 1.656 | 0.000000 | 1.000 | 150.000 | 0.002 | 1.894 | 11.234 | 8.957 | 0.00 |
| 1.662 | 0.000000 | 1.000 | 150.000 | 0.002 | 1.894 | 10.964 | 8.957 | 0.00 |
| 1.662 | 0.000000 | 1.000 | 150.000 | 0.002 | 1.894 | 10.964 | 8.957 | 0.00 |
| 1.659 | 0.000000 | 1.000 | 150.000 | 0.002 | 1.894 | 11.105 | 8.957 | 0.00 |
| 1.667 | 0.000000 | 1.000 | 150.000 | 0.002 | 1.894 | 10.729 | 8.957 | 0.00 |

## 12.3 ESTADO LÍMITE DE FISURACIÓN.

| | | | MATERIALES | | | | GEOMÉTRIA | | | As Tracc. | | As Comp. | | | | Esf. Caracterist. | |
|---|---|---|---|---|---|---|---|---|---|---|---|---|---|---|---|---|---|
| Tipo Amb. | Wk,adm (mm) | Viga Losa | fck (Kg/cm2) | γc | fyk (Kg/cm2) | γs | Ancho b(cm) | Canto h(cm) | Recu (cm) | ϕ (mm) | nfϕ | ϕ (mm) | nfϕ | k1 | k2 | Nk (T) | Mk (mT) |
| Qp | 0.10 | L | 300 | 1.5 | 5100 | 1.15 | 100 | 30 | 5 | 12 | 5 | 12 | 5 | 0.125 | 0.5 | 0.96 | 0.5 |
| Qp | 0.10 | L | 300 | 1.5 | 5100 | 1.15 | 100 | 30 | 5 | 12 | 5 | 12 | 5 | 0.125 | 0.5 | 1.07 | 0.4 |
| Qp | 0.10 | L | 300 | 1.5 | 5100 | 1.15 | 100 | 30 | 5 | 12 | 5 | 12 | 5 | 0.138 | 0.5 | 1.73 | 0.07 |
| Qp | 0.10 | L | 300 | 1.5 | 5100 | 1.15 | 100 | 30 | 5 | 12 | 5 | 12 | 5 | 0.226 | 0.5 | 1.84 | 0.01 |

| Sm (cm) | Nfis (T) | Mfis (mT) | σsr (Kg/cm2) | σs (Kg/cm2) | εsm | wk (mm) | Comentario |
|---|---|---|---|---|---|---|---|
| 20.76 | 8.17 | 4.25 | 4024.13 | 16.99 | 0.00000 | 0.001 | Cumple |
| 20.76 | 11.00 | 4.11 | 4194.58 | 14.31 | 0.00000 | 0.001 | Cumple |
| 21.53 | 51.43 | 2.08 | 6505.22 | 218.81 | 0.00004 | 0.015 | Cumple |
| 26.52 | 83.81 | 0.46 | 7839.09 | 172.10 | 0.00003 | 0.015 | Cumple |

# ANEJO DE CÁLCULO

# 7.- ARQUETA DE MEDIDA AGUA TRATADA

# INDICE

**1. INTRODUCCIÓN. ..... 1**

**2. ACCIONES A CONSIDERAR ..... 1**

2.1 PESO PROPIO ..... 1

2.2 PRESION DE TIERRAS ..... 1

2.3 SOBRECARGAS DE USO ADYACENTES. ..... 2

2.4 SOBRECARGAS DE USO. ..... 2

**3. DISCRETIZACIÓN DE LA ESTRUCTURA. ..... 2**

**4. ACCIONES DE CÁLCULO ..... 3**

**5. COMBINACIÓN DE ACCIONES ..... 4**

**6. COMPROBACIÓN DE LA CIMENTACIÓN. ..... 4**

**7. GRÁFICOS DE ESFUERZOS. ..... 6**

7.1 GRÁFICOS ESFUERZOS ELU - CIMENTACIÓN ..... 6

7.2 GRÁFICOS ESFUERZOS ELU – MURO. ..... 9

7.3 GRÁFICOS ESFUERZOS ELU – LOSA SUPERIOR. ..... 12

**8. LISTADOS DE SALIDA DE ESFUERZOS ELU - ELS. ..... 15**

8.1 LISTADOS ESFUERZOS E.L.U. - FLEXIÓN. ..... 15

8.2 LISTADOS ESFUERZOS E.L.U. - CORTANTE. ..... 16

8.3 LISTADOS ESFUERZOS E.L.S. ..... 17

**9. DIMENSIONAMIENTO DE ARMADURAS PARA ELU. ..... 18**

9.1 ARMADURAS PARA E.L.U. DE FLEXIÓN. ..... 18

9.2 ARMADURAS PARA ELU DE CORTANTE ..... 18

**10. COMPROBACIONES DEL ELS DE FISURACIÓN ..... 19**

**11. COMPROBACIONES ..... 20**

11.1 AGOTAMIENTO POR FLEXIÓN ..... 20

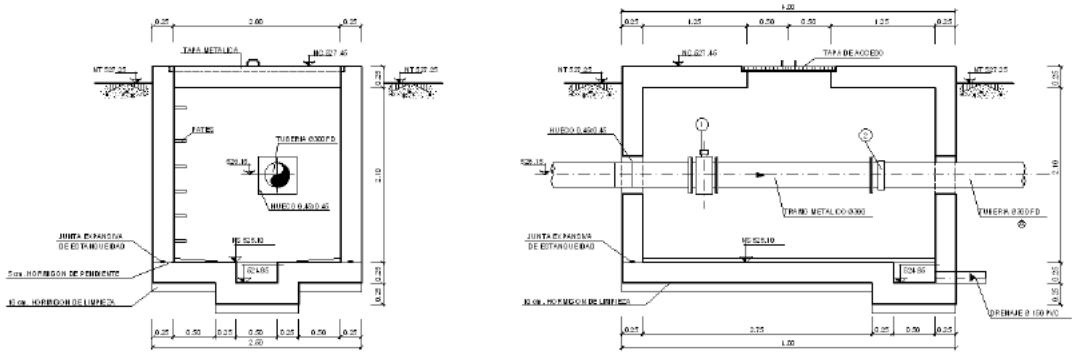
11.2 AGOTAMIENTO POR ESFUERZO CORTANTE. ..... 22

11.3 ESTADO LÍMITE DE FISURACIÓN. ..... 23

# 1. INTRODUCCIÓN.

La arqueta de medida de agua tratada tiene una altura de 2.35 metros y unas dimensiones en planta de 2.50 x 4.00 metros.

Las paredes de la arqueta tienen un espesor de 0.25 metros, la solera tiene 0.25 metros de canto y la losa superior tiene también 0.25 metros.



# 2. ACCIONES A CONSIDERAR

## 2.1 PESO PROPIO

Se obtiene aplicando un peso específico del hormigón de 25 KN/m$^3$.

## 2.2 PRESION DE TIERRAS

Se tiene en cuenta una acción vertical de las tierras con un peso específico de 20,0 KN/m$^3$.

Por otro lado se tiene en cuenta un empuje horizontal triangular de las tierras con ángulo de rozamiento de 30º y coeficiente de empuje horizontal al reposo de 0,50.

La altura de las tierras se ha considerado, a efectos de cálculo, de 2.15 metros sobre el nivel superior de la solera.

## 2.3 SOBRECARGAS DE USO ADYACENTES.

Se consideran 10 KN/$m^2$ en trasdós de muros y coeficiente de empuje horizontal al reposo de 0,50.

## 2.4 SOBRECARGAS DE USO.

Se considera una sobrecarga de 4,0 KN/$m^2$ actuando sobre la losa superior.

## 3. DISCRETIZACIÓN DE LA ESTRUCTURA.

Para el análisis se ha realizado un modelo de elementos finitos tridimensional de la arqueta.

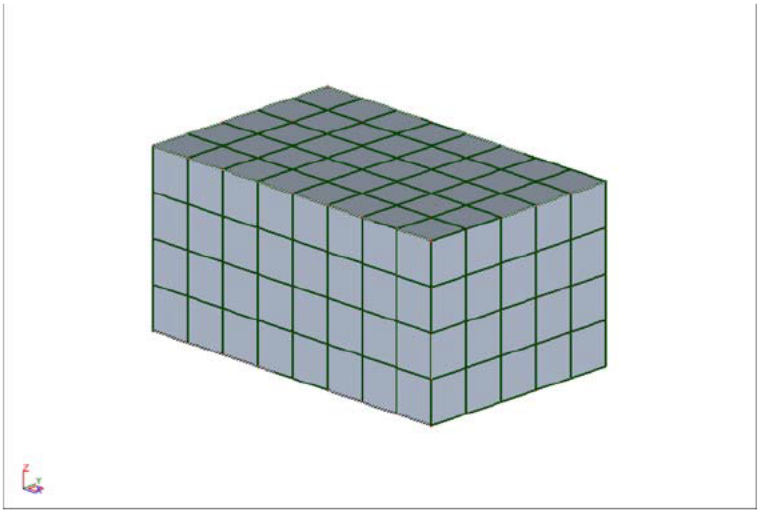
Se han usado elementos tipo placa rectangulares asignando los espesores adecuados.

**Características: Paneles:**

| Nombre de espesor | Lista de paneles | Material | Tipo de espesor | Espesor (cm) | KZ (T/m3) | E (T/m2) | NI |
|---|---|---|---|---|---|---|---|
| ESP25 | 2 3 | HA - 30 | constante | 25.000 | 0.0 | 2693070.52 | 0.20 |
| ESP25 KZ | 1 | HA - 30 | constante | 25.000 | 2000.00 | 2693070.52 | 0.20 |

El apoyo en el terreno se modeliza según el coeficiente de balasto vertical KZ estimado de 2000 t/$m^3$.

## MODELO 3D



## 4. ACCIONES DE CÁLCULO

En el modelo de cálculo se introducen las acciones antes indicadas, como cargas independientes actuando en los distintos paneles.

Se resumen a continuación cada una de las acciones independientes.

**Cargas**

**- Casos: 1A7**

| Caso | Tipo de carga | Lista | Valores de carga | Nombre del caso |
|---|---|---|---|---|
| 1 | peso propio | 1A3 | PZ Menos Coef=1.00 | PP |
| 2 | (EF) presión hydrostática | 2_LADO(1 4) | P=0 50(T/m2) Gama=2.00(T/m3) H=2.000(m) Dirección=Z | EMPUJE DE TIERRAS |
| 2 | (EF) presión hydrostática | 2_LADO(2 3) | P=-0.50(T/m2) Gama=-2.00(T/m3) H=2.000(m) Dirección=Z | EMPUJE DE TIERRAS |
| 3 | (EF) uniforme | 3 | PZ=-0.40(T/m2) | SOBRECARGA |

## 5. COMBINACIÓN DE ACCIONES.

Para la comprobación de los estados límites ELU y ELS las acciones independientes se combinan de acuerdo a la instrucción EHE, de manera que se puedan obtener las distintas hipótesis de cálculo con las acciones combinadas y siendo afectadas por los correspondientes coeficientes de mayoración.

Se adjunta una tabla con las distintas hipótesis de cálculo consideradas para las comprobaciones de los estados límites últimos y de servicio.

**Combinaciones de casos**

**- Casos: 4A7**

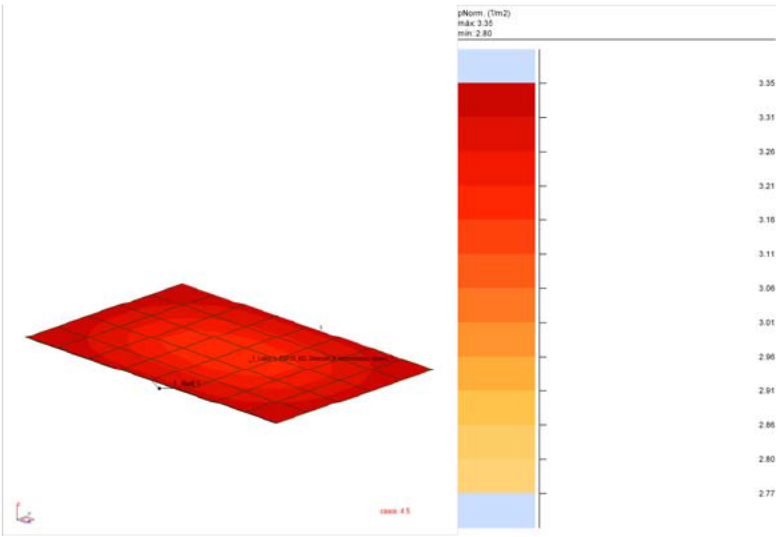
| Combinación | Nombre | Tipo de análisis | Naturaleza de combinación | Naturaleza de caso | Definición |
|---|---|---|---|---|---|
| 4 (C) | ELS1 | Combinación lineal | ELU | permanente | (1+2)*1.00 |
| 5 (C) | ELS2 | Combinación lineal | ELU | permanente | (1+2+3)*1.00 |
| 6 (C) | ELU1 | Combinación lineal | ELU | permanente | 1*1.00+2*1.60 |
| 7 (C) | ELU2 | Combinación lineal | ELU | permanente | 1*1.50+(2+3)*1.60 |

## 6. COMPROBACIÓN DE LA CIMENTACIÓN.

Se comprueba que con la combinación de acciones características pésima las tensiones que se obtienen en cimentación son inferiores a la tensión media admisible asignada en el informe geotécnico.

$$\sigma_{\max,cal} = 3.35T/m^2 \leq \sigma_{media,adm} = 20,0T/m^2$$

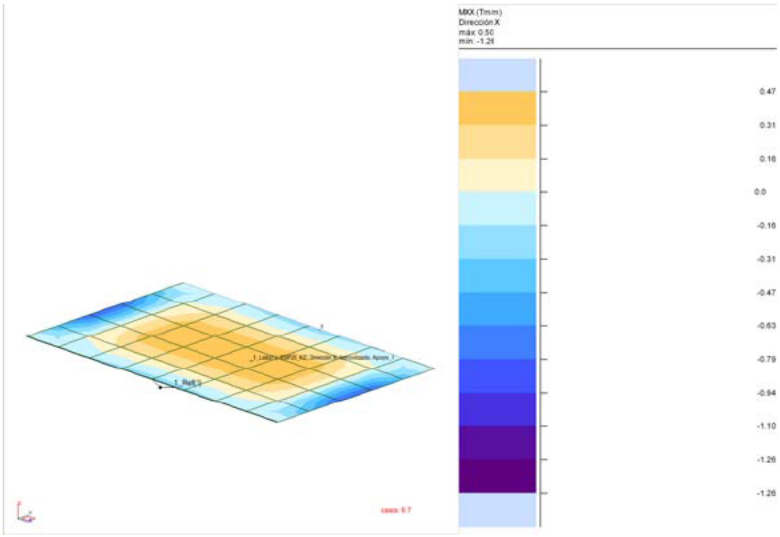
## pNorm. (T/m2) casos: 4 5 (+)



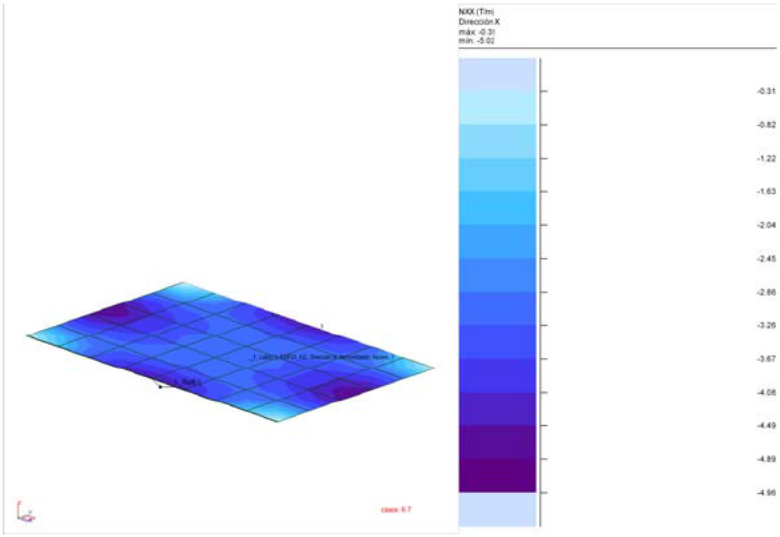
# 7. GRÁFICOS DE ESFUERZOS.

## 7.1 GRÁFICOS ESFUERZOS ELU - CIMENTACIÓN

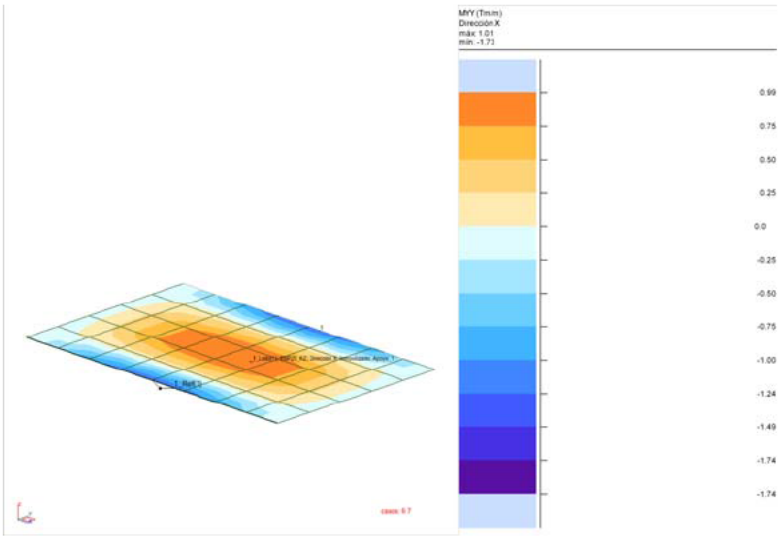
**MXX (Tm/m) Dirección X casos: 6 7 (+)**



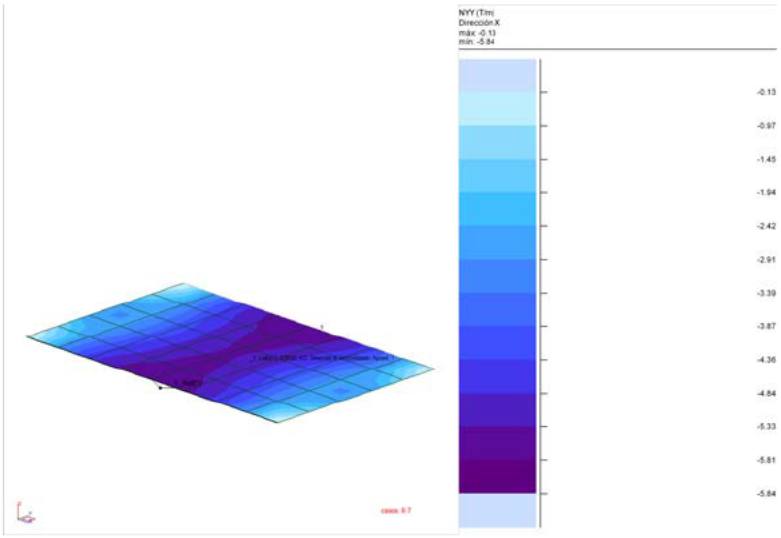

**NXX (T/m) Dirección X casos: 6 7 (+)**



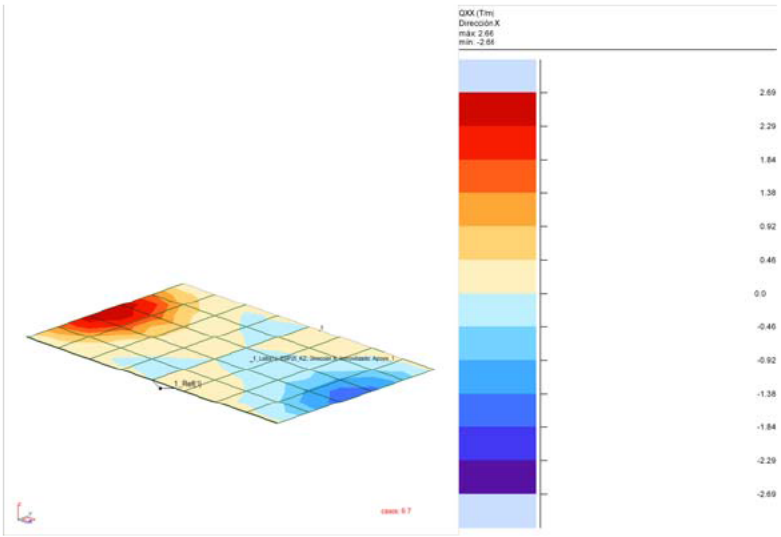
## MYY (Tm/m) Dirección X casos: 6 7 (+)



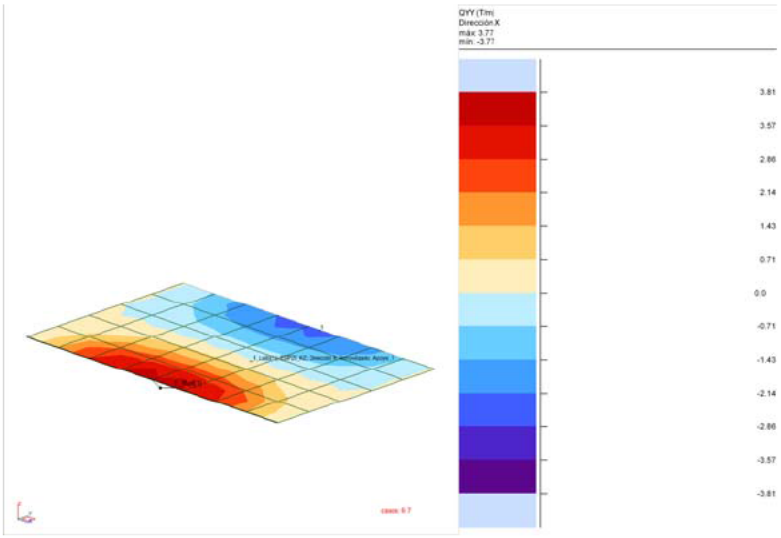

## NYY (T/m) Dirección X casos: 6 7 (+)



## QXX (T/m) Dirección X casos: 6 7 (+)

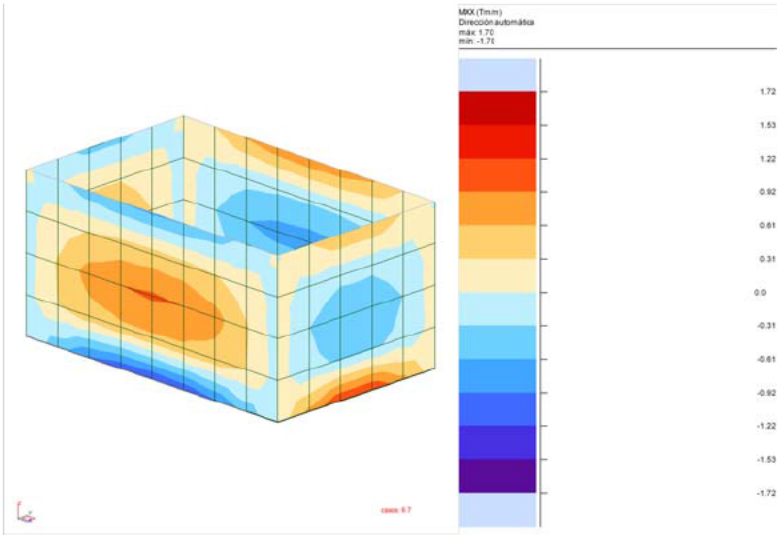



## QYY (T/m) Dirección X casos: 6 7 (+)

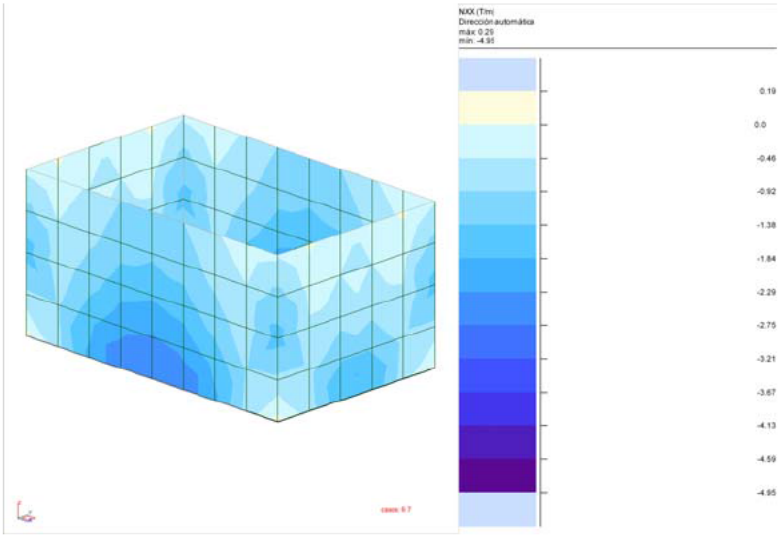


## 7.2 GRÁFICOS ESFUERZOS ELU – MURO.

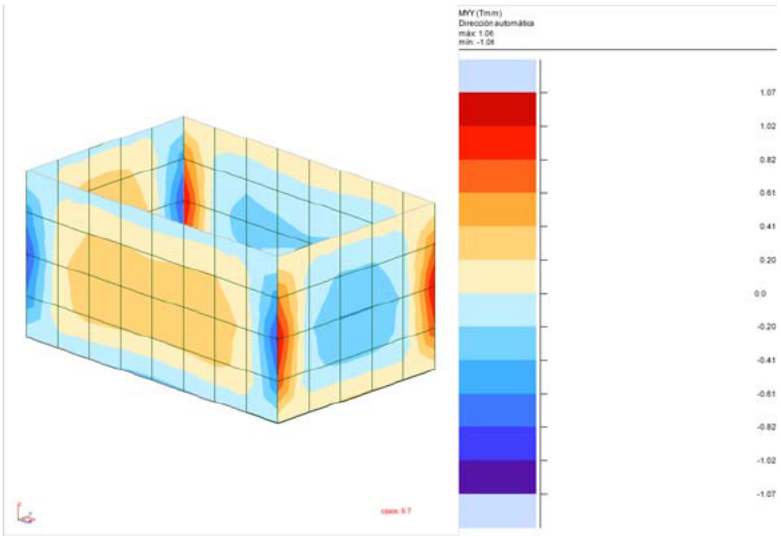
### MXX (Tm/m) Dirección automática casos: 6 7 (+)



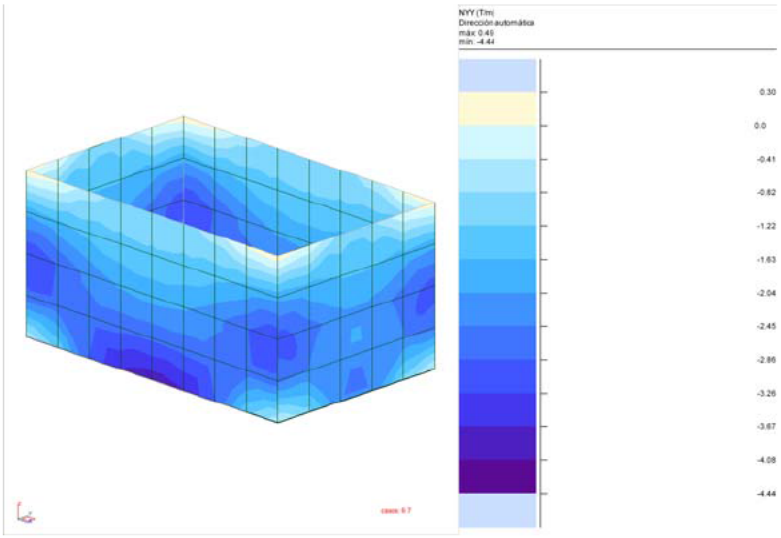

### NXX (T/m) Dirección automática casos: 6 7 (+)



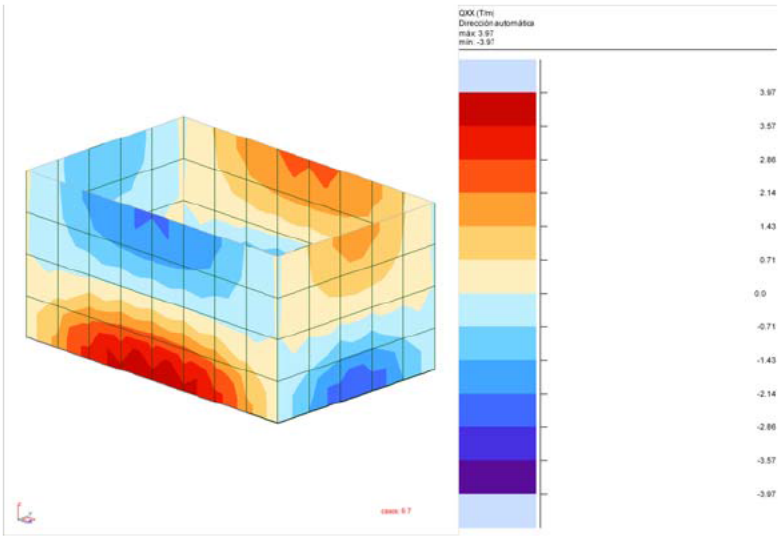
## MYY (Tm/m) Dirección automática casos: 6 7 (+)



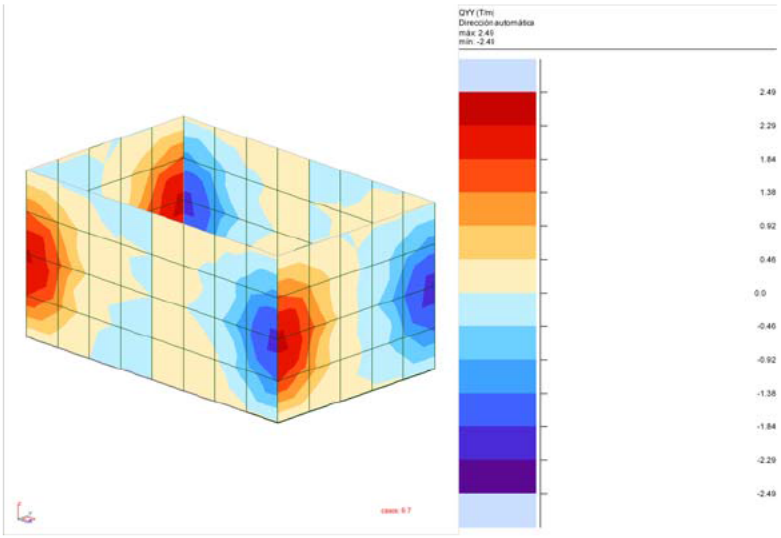

## NYY (T/m) Dirección automática casos: 6 7 (+)



## QXX (T/m) Dirección automática casos: 6 7 (+)

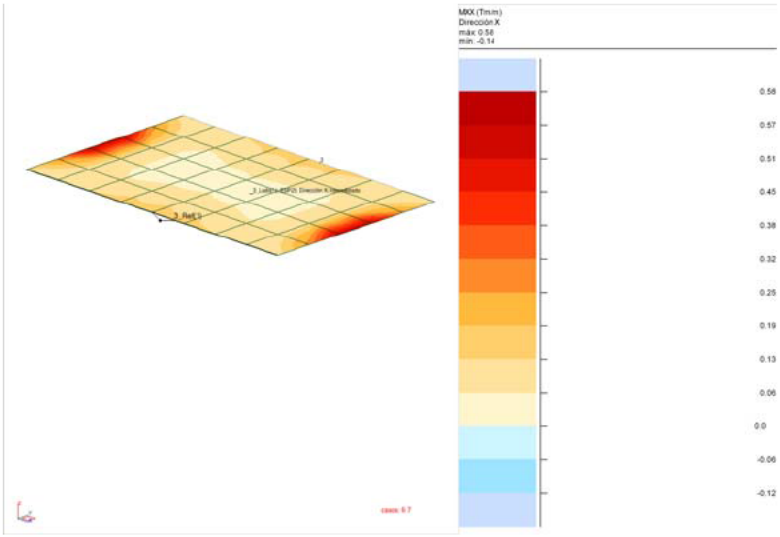



## QYY (T/m) Dirección automática casos: 6 7 (+)

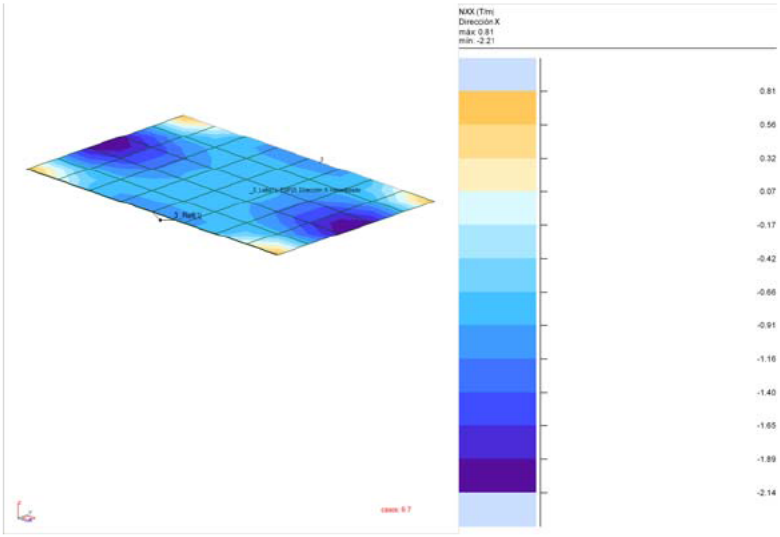


## 7.3 GRÁFICOS ESFUERZOS ELU – LOSA SUPERIOR.

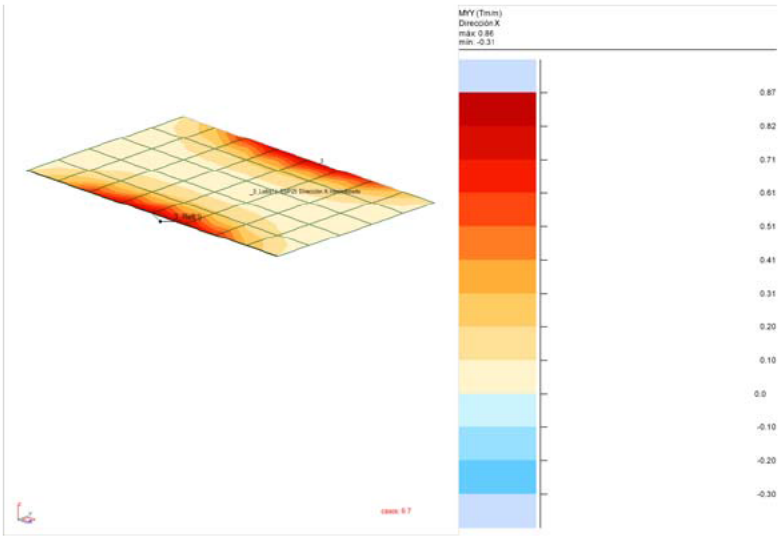
### MXX (Tm/m) Dirección X casos: 6 7 (+)



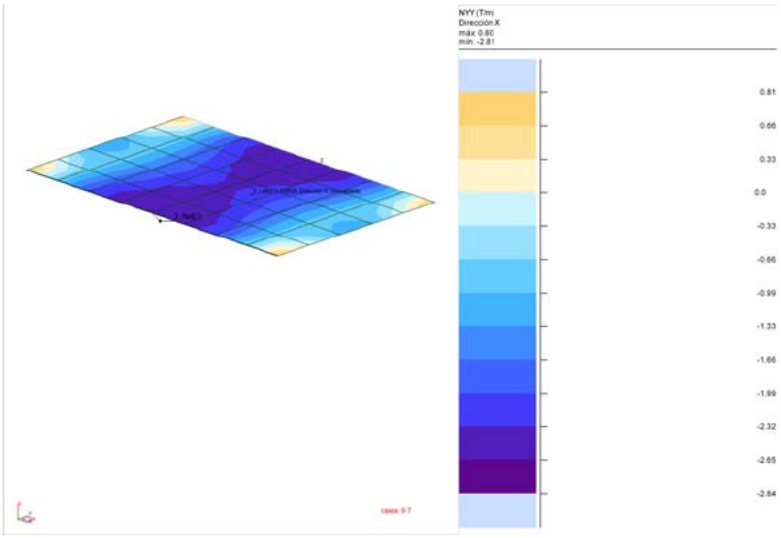

### NXX (T/m) Dirección X casos: 6 7 (+)



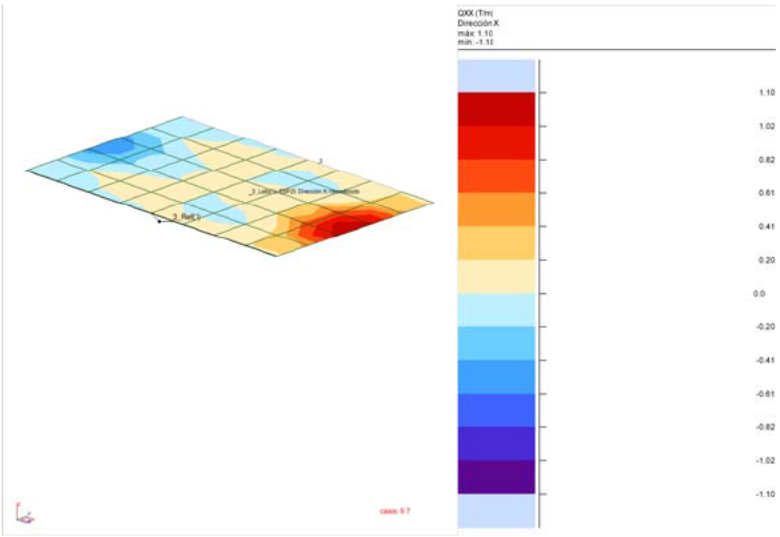
## MYY (Tm/m) Dirección X casos: 6 7 (+)



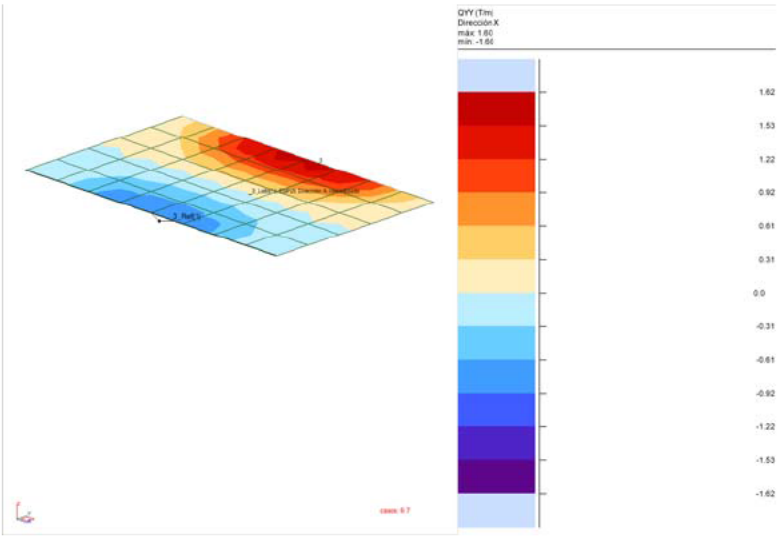

## NYY (T/m) Dirección X casos: 6 7 (+)



## QXX (T/m) Dirección X casos: 6 7 (+)




## QYY (T/m) Dirección X casos: 6 7 (+)



# 8. LISTADOS DE SALIDA DE ESFUERZOS ELU - ELS.

## 8.1 LISTADOS ESFUERZOS E.L.U. - FLEXIÓN.

| Panel/Nudo/Caso | MXX (Tm/m) | MYY (Tm/m) | NXX (T/m) | NYY (T/m) | Definición |
|---|---|---|---|---|---|
| 1/ 24/ 7 (C) | 0.47>> | 0 93 | -3 51 | -5 32 | 1*1 50+(2+3)*1 60 |
| 1/ 27/ 7 (C) | -1.26<< | -0 22 | -4 89 | -3 24 | 1*1 50+(2+3)*1 60 |
| 1/ 23/ 7 (C) | 0 46 | 0.99>> | -3 38 | -5 61 | 1*1 50+(2+3)*1 60 |
| 1/ 50/ 7 (C) | -0 33 | -1.73<< | -4 66 | -5 84 | 1*1 50+(2+3)*1 60 |
| 1/ 46/ 6 (C) | -0 06 | -0 06 | -0.31>> | -0 13 | 1*1 00+2*1 60 |
| 1/ 36/ 7 (C) | -1 26 | -0 22 | -4.89<< | -3 24 | 1*1 50+(2+3)*1 60 |
| 1/ 46/ 6 (C) | -0 06 | -0 06 | -0 31 | -0.13>> | 1*1 00+2*1 60 |
| 1/ 5/ 7 (C) | -0 33 | -1 73 | -4 66 | -5.84<< | 1*1 50+(2+3)*1 60 |
| 2_Lado(2)/ 126/ 6 (C) | 1.06>> | 0 18 | -3 84 | -2 02 | 1*1 00+2*1 60 |
| 2_Lado(4)/ 121/ 6 (C) | -1.06<< | -0 18 | -3 84 | -2 02 | 1*1 00+2*1 60 |
| 2_Lado(2)/ 50/ 7 (C) | 0 33 | 1.70>> | -4 44 | -4 95 | 1*1 50+(2+3)*1 60 |
| 2_Lado(4)/ 5/ 7 (C) | -0 33 | -1.70<< | -4 44 | -4 95 | 1*1 50+(2+3)*1 60 |
| 2_Lado(4)/ 55/ 7 (C) | -0 02 | 0 01 | 0.30>> | -0 35 | 1*1 50+(2+3)*1 60 |
| 2_Lado(4)/ 5/ 7 (C) | -0 33 | -1 70 | -4.44<< | -4 95 | 1*1 50+(2+3)*1 60 |
| 2_Lado(2)/ 54/ 7 (C) | 0 06 | 0 09 | -0 55 | 0.19>> | 1*1 50+(2+3)*1 60 |
| 2_Lado(2)/ 50/ 7 (C) | 0 33 | 1 70 | -4 44 | -4.95<< | 1*1 50+(2+3)*1 60 |
| 3/ 81/ 7 (C) | 0.58>> | 0 10 | -2 12 | -1 44 | 1*1 50+(2+3)*1 60 |
| 3/ 76/ 7 (C) | -0.12<< | -0 28 | -0 97 | -2 25 | 1*1 50+(2+3)*1 60 |
| 3/ 59/ 7 (C) | 0 18 | 0.86>> | -1 03 | -2 65 | 1*1 50+(2+3)*1 60 |
| 3/ 77/ 7 (C) | -0 12 | -0.30<< | -0 86 | -2 42 | 1*1 50+(2+3)*1 60 |
| 3/ 55/ 6 (C) | 0 10 | 0 10 | 0.81>> | 0 80 | 1*1 00+2*1 60 |
| 3/ 73/ 7 (C) | 0 58 | 0 10 | -2.12<< | -1 44 | 1*1 50+(2+3)*1 60 |
| 3/ 108/ 6 (C) | 0 10 | 0 10 | 0 81 | 0.80>> | 1*1 00+2*1 60 |
| 3/ 104/ 6 (C) | 0 13 | 0 64 | -1 39 | -2.81<< | 1*1 00+2*1 60 |

## 8.2 LISTADOS ESFUERZOS E.L.U. - CORTANTE.

| Panel/Nudo/Caso | NXX (T/m) | NYY (T/m) | QXX (T/m) | QYY (T/m) | Definición |
|---|---|---|---|---|---|
| 1/ 46/ 6 (C) | -0.31>> | -0 13 | 0 02 | -0 02 | 1*1 00+2*1 60 |
| 1/ 36/ 7 (C) | -4.89<< | -3 24 | -2 66 | 0 02 | 1*1 50+(2+3)*1 60 |
| 1/ 46/ 6 (C) | -0 31 | -0.13>> | 0 02 | -0 02 | 1*1 00+2*1 60 |
| 1/ 5/ 7 (C) | -4 66 | -5.84<< | 0 00 | 3 77 | 1*1 50+(2+3)*1 60 |
| 1/ 19/ 7 (C) | -4 89 | -3 24 | 2.66>> | -0 02 | 1*1 50+(2+3)*1 60 |
| 1/ 27/ 7 (C) | -4 89 | -3 24 | -2.66<< | -0 02 | 1*1 50+(2+3)*1 60 |
| 1/ 5/ 7 (C) | -4 66 | -5 84 | 0 00 | 3.77>> | 1*1 50+(2+3)*1 60 |
| 1/ 50/ 7 (C) | -4 66 | -5 84 | -0 00 | -3.77<< | 1*1 50+(2+3)*1 60 |
| 2_Lado(4)/ 55/ 7 (C) | 0.30>> | -0 35 | -0 02 | -0 06 | 1*1 50+(2+3)*1 60 |
| 2_Lado(4)/ 5/ 7 (C) | -4.44<< | -4 95 | 0 00 | -3 97 | 1*1 50+(2+3)*1 60 |
| 2_Lado(2)/ 54/ 7 (C) | -0 55 | 0.19>> | 0 05 | 0 19 | 1*1 50+(2+3)*1 60 |
| 2_Lado(2)/ 50/ 7 (C) | -4 44 | -4.95<< | -0 00 | 3 97 | 1*1 50+(2+3)*1 60 |
| 2_Lado(4)/ 121/ 6 (C) | -3 84 | -2 02 | 2.40>> | 0 01 | 1*1 00+2*1 60 |
| 2_Lado(2)/ 126/ 6 (C) | -3 84 | -2 02 | -2.40<< | -0 01 | 1*1 00+2*1 60 |
| 2_Lado(2)/ 50/ 7 (C) | -4 44 | -4 95 | -0 00 | 3.97>> | 1*1 50+(2+3)*1 60 |
| 2_Lado(4)/ 5/ 7 (C) | -4 44 | -4 95 | 0 00 | -3.97<< | 1*1 50+(2+3)*1 60 |
| 3/ 55/ 6 (C) | 0.81>> | 0 80 | -0 17 | -0 15 | 1*1 00+2*1 60 |
| 3/ 73/ 7 (C) | -2.12<< | -1 44 | -1 10 | -0 03 | 1*1 50+(2+3)*1 60 |
| 3/ 108/ 6 (C) | 0 81 | 0.80>> | 0 17 | 0 15 | 1*1 00+2*1 60 |
| 3/ 104/ 6 (C) | -1 39 | -2.81<< | -0 00 | 0 80 | 1*1 00+2*1 60 |
| 3/ 90/ 7 (C) | -2 12 | -1 44 | 1.10>> | 0 03 | 1*1 50+(2+3)*1 60 |
| 3/ 82/ 7 (C) | -2 12 | -1 44 | -1.10<< | 0 03 | 1*1 50+(2+3)*1 60 |
| 3/ 104/ 7 (C) | -1 03 | -2 65 | -0 00 | 1.60>> | 1*1 50+(2+3)*1 60 |
| 3/ 59/ 7 (C) | -1 03 | -2 65 | 0 00 | -1.60<< | 1*1 50+(2+3)*1 60 |

## 8.3 LISTADOS ESFUERZOS E.L.S.

| Panel/Nudo/Caso | NXX (T/m) | NYY (T/m) | MXX (Tm/m) | MYY (Tm/m) | Definición |
|---|---|---|---|---|---|
| 1/ 46/ 4 (C) | -0.40>> | -0 32 | -0 01 | -0 01 | (1+2)*1 00 |
| 1/ 36/ 5 (C) | -3.08<< | -2 06 | -0 82 | -0 15 | (1+2+3)*1 00 |
| 1/ 46/ 4 (C) | -0 40 | -0.32>> | -0 01 | -0 01 | (1+2)*1 00 |
| 1/ 5/ 4 (C) | -2 97 | -3.67<< | -0 19 | -1 02 | (1+2)*1 00 |
| 1/ 24/ 5 (C) | -2 23 | -3 34 | 0.32>> | 0 62 | (1+2+3)*1 00 |
| 1/ 27/ 5 (C) | -3 08 | -2 06 | -0.82<< | -0 15 | (1+2+3)*1 00 |
| 1/ 23/ 5 (C) | -2 15 | -3 53 | 0 31 | 0.67>> | (1+2+3)*1 00 |
| 1/ 50/ 5 (C) | -2 94 | -3 67 | -0 21 | -1.12<< | (1+2+3)*1 00 |
| 2_Lado(4)/ 55/ 4 (C) | 0.20>> | -0 38 | -0 01 | 0 02 | (1+2)*1 00 |
| 2_Lado(4)/ 5/ 5 (C) | -2.83<< | -3 26 | -0 21 | -1 10 | (1+2+3)*1 00 |
| 2_Lado(2)/ 54/ 5 (C) | -0 35 | 0.18>> | 0 04 | 0 06 | (1+2+3)*1 00 |
| 2_Lado(2)/ 50/ 5 (C) | -2 83 | -3.26<< | 0 21 | 1 10 | (1+2+3)*1 00 |
| 2_Lado(2)/ 126/ 4 (C) | -2 16 | -1 08 | 0.59>> | 0 10 | (1+2)*1 00 |
| 2_Lado(4)/ 121/ 4 (C) | -2 16 | -1 08 | -0.59<< | -0 10 | (1+2)*1 00 |
| 2_Lado(2)/ 50/ 5 (C) | -2 83 | -3 26 | 0 21 | 1.10>> | (1+2+3)*1 00 |
| 2_Lado(4)/ 5/ 5 (C) | -2 83 | -3 26 | -0 21 | -1.10<< | (1+2+3)*1 00 |
| 3/ 55/ 4 (C) | 0.43>> | 0 32 | 0 05 | 0 05 | (1+2)*1 00 |
| 3/ 73/ 5 (C) | -1.33<< | -0 92 | 0 37 | 0 07 | (1+2+3)*1 00 |
| 3/ 108/ 4 (C) | 0 43 | 0.32>> | 0 05 | 0 05 | (1+2)*1 00 |
| 3/ 104/ 5 (C) | -0 60 | -1.64<< | 0 11 | 0 54 | (1+2+3)*1 00 |
| 3/ 81/ 5 (C) | -1 33 | -0 92 | 0.37>> | 0 07 | (1+2+3)*1 00 |
| 3/ 76/ 5 (C) | -0 60 | -1 39 | -0.08<< | -0 19 | (1+2+3)*1 00 |
| 3/ 59/ 5 (C) | -0 60 | -1 64 | 0 11 | 0.54>> | (1+2+3)*1 00 |
| 3/ 77/ 5 (C) | -0 53 | -1 49 | -0 08 | -0.20<< | (1+2+3)*1 00 |

# 9. DIMENSIONAMIENTO DE ARMADURAS PARA ELU.

## 9.1 ARMADURAS PARA E.L.U. DE FLEXIÓN.

Para dimensionar la armadura se parte de la cuantía mínima indicada en la norma E.H.E., y se comprueba su validez para los máximos esfuerzos obtenidos en las estructuras modelizadas.

Las armaduras se obtienen empleando una hoja de cálculo, especialmente programada para el dimensionamiento de secciones rectangulares de hormigón armado sometidas a esfuerzos de flexión compuesta.

Las cuantías mínimas indicadas en la instrucción E.H.E. son las siguientes:

**Cuantía mecánica:** $A_s \geq 0.04 \cdot A_c \frac{f_{cd}}{f_{yd}}$

**Losa:** $A_s \geq 0.0018 \cdot A_c$ (a repartir entre ambas caras)

**Muro:** $A_{sh} \geq 0.0032 \cdot A_c$ (a repartir entre ambas caras)

$A_{sv} \geq 0.0009 \cdot A_c$ (en cara de tracción)

## 9.2 ARMADURAS PARA ELU DE CORTANTE.

El Estado Límite de Agotamiento por esfuerzo cortante se puede alcanzar, ya sea por agotarse la resistencia a compresión del alma, o por agotarse su resistencia a tracción. En consecuencia, es necesario comprobar que se cumple simultáneamente:

$$V_{rd} \leq V_{u1}$$

$$V_{rd} \leq V_{u2}$$

Las comprobaciones se realizan empleando una hoja de cálculo, especialmente programada para el dimensionamiento de secciones rectangulares de hormigón armado sometidas a esfuerzos de cortante, inicialmente se tantea como armadura de flexión con la máxima de las cuantías mínimas necesarias, bien geométrica o mecánica.

En la hoja se introducen las características de las secciones y de los materiales, hormigón y acero, y los esfuerzos obtenidos de los modelos en la combinación más desfavorable.

## 10. COMPROBACIONES DEL ELS DE FISURACIÓN.

La comprobación general del Estado Límite de Fisuración por tracción consiste en satisfacer la siguiente inecuación:

$$w_k \leq w_{max}$$

Las aberturas de fisuras se obtienen empleando una hoja de cálculo, especialmente programada para el caso de secciones rectangulares de hormigón armado sometidas a esfuerzos de flexión compuesta.

En la hoja se introducen las características de las secciones y de los materiales, hormigón y acero, y los esfuerzos obtenidos de los modelos en la combinación más desfavorable y para la situación cuasipermanente.

La fisuración no se produce si el momento de servicio actuante es inferior al momento de fisuración de la sección, que es aquel para el que la fibra más traccionada de hormigón alcanza el valor $f_{ct,m}$.

Caso de que no se cumpliese la inecuación de partida se elevará la cuantía de la armadura hasta que la abertura sea inferior a la máxima admisible.

# 11. COMPROBACIONES

## 11.1 AGOTAMIENTO POR FLEXIÓN

| REFERENCIA SECCIÓN | MATERIALES | | GEOMETRÍA DE LA SECCIÓN | | | | | SOLICITACIONES | |
|---|---|---|---|---|---|---|---|---|---|
| | Resistencia del hormigón (T/m2) | Resistencia del acero (T/m2) | Ancho (m) | Canto (m) | Recubrimiento (m) | Canto útil (m) | Disposición: Pilar 1 Losa 2 Viga 3 Muro 4 | Momento (T m) | Axil (T) Compresión (+) |
| PANEL 1 | 3000.000 | 51000.000 | 1 000 | 0.250 | 0.050 | 0 200 | 2 | 0.470 | 3.510 |
| PANEL 1 | 3000.000 | 51000.000 | 1 000 | 0.250 | 0.050 | 0 200 | 2 | -1 260 | 4.890 |
| PANEL 1 | 3000.000 | 51000.000 | 1 000 | 0.250 | 0.050 | 0 200 | 2 | 0 990 | 5.610 |
| PANEL 1 | 3000.000 | 51000.000 | 1 000 | 0.250 | 0.050 | 0 200 | 2 | -1.730 | 5.840 |
| PANEL 1 | 3000.000 | 51000.000 | 1 000 | 0.250 | 0.050 | 0 200 | 2 | -0 060 | 0.310 |
| PANEL 1 | 3000.000 | 51000.000 | 1 000 | 0.250 | 0.050 | 0 200 | 2 | -1 260 | 4.890 |
| PANEL 1 | 3000.000 | 51000.000 | 1 000 | 0.250 | 0.050 | 0 200 | 2 | -0 060 | 0.130 |
| PANEL 1 | 3000.000 | 51000.000 | 1 000 | 0.250 | 0.050 | 0 200 | 2 | -1.730 | 5.840 |
| PANEL 2 | 3000.000 | 51000.000 | 1 000 | 0.250 | 0.050 | 0 200 | 4 | 1 060 | 3.840 |
| PANEL 2 | 3000.000 | 51000.000 | 1 000 | 0.250 | 0.050 | 0 200 | 4 | -1 060 | 3.840 |
| PANEL 2 | 3000.000 | 51000.000 | 1 000 | 0.250 | 0.050 | 0 200 | 4 | 1.700 | 4.950 |
| PANEL 2 | 3000.000 | 51000.000 | 1 000 | 0.250 | 0.050 | 0 200 | 4 | -1.700 | 4.950 |
| PANEL 2 | 3000.000 | 51000.000 | 1 000 | 0.250 | 0.050 | 0 200 | 4 | -0 020 | -0.300 |
| PANEL 2 | 3000.000 | 51000.000 | 1 000 | 0.250 | 0.050 | 0 200 | 4 | -0 330 | 4.440 |
| PANEL 2 | 3000.000 | 51000.000 | 1 000 | 0.250 | 0.050 | 0 200 | 4 | 0 090 | -0.190 |
| PANEL 2 | 3000.000 | 51000.000 | 1 000 | 0.250 | 0.050 | 0 200 | 4 | 1.700 | 4.950 |
| PANEL 3 | 3000.000 | 51000.000 | 1 000 | 0.250 | 0.050 | 0 200 | 2 | 0 580 | 2.120 |
| PANEL 3 | 3000.000 | 51000.000 | 1 000 | 0.250 | 0.050 | 0 200 | 2 | -0.120 | 0.970 |
| PANEL 3 | 3000.000 | 51000.000 | 1 000 | 0.250 | 0.050 | 0 200 | 2 | 0 860 | 2.650 |
| PANEL 3 | 3000.000 | 51000.000 | 1 000 | 0.250 | 0.050 | 0 200 | 2 | -0 300 | 2.420 |
| PANEL 3 | 3000.000 | 51000.000 | 1 000 | 0.250 | 0.050 | 0 200 | 2 | 0.100 | -0.810 |
| PANEL 3 | 3000.000 | 51000.000 | 1 000 | 0.250 | 0.050 | 0 200 | 2 | 0 580 | 2.120 |
| PANEL 3 | 3000.000 | 51000.000 | 1 000 | 0.250 | 0.050 | 0 200 | 2 | 0.100 | -0.800 |
| PANEL 3 | 3000.000 | 51000.000 | 1 000 | 0.250 | 0.050 | 0 200 | 2 | 0 640 | 2.810 |

| RESULTADOS Md<=Mlim | | | | | |
|---|---|---|---|---|---|
| $M_{As}$ | $E_{yd}$ | $x_{lim}$ | $M_{lim}$ | x | As |
| 0.733 | 0 002217 | 0.122 | 25.147 | 0.003 | 0.000004 |
| 1.627 | 0 002217 | 0.122 | 25.147 | 0.006 | 0.000075 |
| 1.411 | 0 002217 | 0.122 | 25.147 | 0.005 | 0.000034 |
| 2.168 | 0 002217 | 0.122 | 25.147 | 0.008 | 0.000117 |
| 0.083 | 0 002217 | 0.122 | 25.147 | 0.000 | 0.000002 |
| 1.627 | 0 002217 | 0.122 | 25.147 | 0.006 | 0.000075 |
| 0.070 | 0 002217 | 0.122 | 25.147 | 0.000 | 0.000005 |
| 2.168 | 0 002217 | 0.122 | 25.147 | 0.008 | 0.000117 |
| 1.348 | 0 002217 | 0.122 | 25.147 | 0.005 | 0.000067 |
| 1.348 | 0 002217 | 0.122 | 25.147 | 0.005 | 0.000067 |
| 2.071 | 0 002217 | 0.122 | 25.147 | 0.008 | 0.000126 |
| 2.071 | 0 002217 | 0.122 | 25.147 | 0.008 | 0.000126 |
| -0.003 | 0 002217 | 0.122 | 25.147 | 0.000 | 0.000006 |
| 0.663 | 0 002217 | 0.122 | 25.147 | 0.002 | -0.000025 |
| 0.076 | 0 002217 | 0.122 | 25.147 | 0.000 | 0.000013 |
| 2.071 | 0 002217 | 0.122 | 25.147 | 0.008 | 0.000126 |
| 0.739 | 0 002217 | 0.122 | 25.147 | 0.003 | 0.000036 |
| 0.193 | 0 002217 | 0.122 | 25.147 | 0.001 | 0.000000 |
| 1.059 | 0 002217 | 0.122 | 25.147 | 0.004 | 0.000061 |
| 0.482 | 0 002217 | 0.122 | 25.147 | 0.002 | 0.000000 |
| 0.039 | 0 002217 | 0.122 | 25.147 | 0.000 | 0.000023 |
| 0.739 | 0 002217 | 0.122 | 25.147 | 0.003 | 0.000036 |
| 0.040 | 0 002217 | 0.122 | 25.147 | 0.000 | 0.000023 |
| 0.851 | 0 002217 | 0.122 | 25.147 | 0.003 | 0.000033 |

| CUANTÍAS MÍNIMAS | | ARMADURA NECESARIA | | ARMADURA DISPUESTA | | | | | |
|---|---|---|---|---|---|---|---|---|---|
| Mecánica | Geométrica | Cara de tracción (cm2) | Cara de compresión (cm2) | NÚMERO | DIÁMETRO | ÁREA ARMADURA DE TRACCIÓN DISPUESTA | NÚMERO | DIÁMETRO | ÁREA ARMADURA DE COMPRESIÓN DISPUESTA |
| 0.000470 | 0.000225 | 4.70 | 4.70 | 5 | 12 | 5.655 | 5 | 12 | 5.655 |
| 0.000470 | 0.000225 | 4.70 | 4.70 | 5 | 12 | 5.655 | 5 | 12 | 5.655 |
| 0.000470 | 0.000225 | 4.70 | 4.70 | 5 | 12 | 5.655 | 5 | 12 | 5.655 |
| 0.000470 | 0.000225 | 4.70 | 4.70 | 5 | 12 | 5.655 | 5 | 12 | 5.655 |
| 0.000470 | 0.000225 | 4.70 | 4.70 | 5 | 12 | 5.655 | 5 | 12 | 5.655 |
| 0.000470 | 0.000225 | 4.70 | 4.70 | 5 | 12 | 5.655 | 5 | 12 | 5.655 |
| 0.000470 | 0.000225 | 4.70 | 4.70 | 5 | 12 | 5.655 | 5 | 12 | 5.655 |
| 0.000470 | 0.000225 | 4.70 | 4.70 | 5 | 12 | 5.655 | 5 | 12 | 5.655 |
| 0.000470 | 0.000225 | 4.70 | 4.70 | 5 | 12 | 5.655 | 5 | 12 | 5.655 |
| 0.000470 | 0.000225 | 4.70 | 4.70 | 5 | 12 | 5.655 | 5 | 12 | 5.655 |
| 0.000470 | 0.000225 | 4.70 | 4.70 | 5 | 12 | 5.655 | 5 | 12 | 5.655 |
| 0.000470 | 0.000225 | 4.70 | 4.70 | 5 | 12 | 5.655 | 5 | 12 | 5.655 |
| 0.000470 | 0.000225 | 4.70 | 4.70 | 5 | 12 | 5.655 | 5 | 12 | 5.655 |
| 0.000470 | 0.000225 | 4.70 | 4.70 | 5 | 12 | 5.655 | 5 | 12 | 5.655 |
| 0.000470 | 0.000225 | 4.70 | 4.70 | 5 | 12 | 5.655 | 5 | 12 | 5.655 |
| 0.000470 | 0.000225 | 4.70 | 4.70 | 5 | 12 | 5.655 | 5 | 12 | 5.655 |
| 0.000470 | 0.000225 | 4.70 | 4.70 | 5 | 12 | 5.655 | 5 | 12 | 5.655 |
| 0.000470 | 0.000225 | 4.70 | 4.70 | 5 | 12 | 5.655 | 5 | 12 | 5.655 |
| 0.000470 | 0.000225 | 4.70 | 4.70 | 5 | 12 | 5.655 | 5 | 12 | 5.655 |
| 0.000470 | 0.000225 | 4.70 | 4.70 | 5 | 12 | 5.655 | 5 | 12 | 5.655 |
| 0.000470 | 0.000225 | 4.70 | 4.70 | 5 | 12 | 5.655 | 5 | 12 | 5.655 |
| 0.000470 | 0.000225 | 4.70 | 4.70 | 5 | 12 | 5.655 | 5 | 12 | 5.655 |
| 0.000470 | 0.000225 | 4.70 | 4.70 | 5 | 12 | 5.655 | 5 | 12 | 5.655 |
| 0.000470 | 0.000225 | 4.70 | 4.70 | 5 | 12 | 5.655 | 5 | 12 | 5.655 |

## 11.2 AGOTAMIENTO POR ESFUERZO CORTANTE.

| REFERENCIA SECCIÓN | MATERIALES | | GEOMETRÍA DE LA SECCIÓN | | | | | SOLICITACIONES | |
|---|---|---|---|---|---|---|---|---|---|
| | Resistencia del hormigón (T/m2) | Resistencia del acero (T/m2) | Ancho (m) | Anchura neta mínima del elemento (m) | Canto (m) | Recubrimiento (m) | Canto útil (m) | Cortante (T) | Axil (T) Compresión (+) |
| PANEL 1 | 3000.000 | 51000.000 | 1 000 | 1.000 | 0.250 | 0.050 | 0.200 | 2.660 | 4.890 |
| PANEL 1 | 3000.000 | 51000.000 | 1 000 | 1.000 | 0.250 | 0.050 | 0.200 | 2.660 | 4.890 |
| PANEL 1 | 3000.000 | 51000.000 | 1 000 | 1.000 | 0.250 | 0.050 | 0.200 | 3.770 | 5.840 |
| PANEL 1 | 3000.000 | 51000.000 | 1 000 | 1.000 | 0.250 | 0.050 | 0.200 | 3.770 | 5.840 |
| PANEL 2 | 3000.000 | 51000.000 | 1 000 | 1.000 | 0.250 | 0.050 | 0.200 | 2.400 | 3.840 |
| PANEL 2 | 3000.000 | 51000.000 | 1 000 | 1.000 | 0.250 | 0.050 | 0.200 | 2.400 | 3.840 |
| PANEL 2 | 3000.000 | 51000.000 | 1 000 | 1.000 | 0.250 | 0.050 | 0.200 | 3.970 | 4.950 |
| PANEL 2 | 3000.000 | 51000.000 | 1 000 | 1.000 | 0.250 | 0.050 | 0.200 | 3.970 | 4.950 |
| PANEL 3 | 3000.000 | 51000.000 | 1 000 | 1.000 | 0.250 | 0.050 | 0.200 | 1.100 | 2.120 |
| PANEL 3 | 3000.000 | 51000.000 | 1 000 | 1.000 | 0.250 | 0.050 | 0.200 | 1.100 | 2.120 |
| PANEL 3 | 3000.000 | 51000.000 | 1 000 | 1.000 | 0.250 | 0.050 | 0.200 | 1.600 | 2.650 |
| PANEL 3 | 3000.000 | 51000.000 | 1 000 | 1.000 | 0.250 | 0.050 | 0.200 | 1.600 | 2.650 |

| K | cotg(Alfa) | cotg(Teta) | Vu1 | Cuantía geométrica de armadura longitudinal traccionada | Epsilon | Vu2 (T) | Vcu (T) (Contribución del hormigón) | Área necesaria de cortante (cm2) $A_{90}$ |
|---|---|---|---|---|---|---|---|---|
| 1.650 | 0.000000 | 1.000 | 120.000 | 0.002 | 2.000 | 9.789 | 7.669 | 0.00 |
| 1.650 | 0.000000 | 1.000 | 120.000 | 0.002 | 2.000 | 9.789 | 7.669 | 0.00 |
| 1.647 | 0.000000 | 1.000 | 120.000 | 0.002 | 2.000 | 9.903 | 7.669 | 0.00 |
| 1.647 | 0.000000 | 1.000 | 120.000 | 0.002 | 2.000 | 9.903 | 7.669 | 0.00 |
| 1.654 | 0.000000 | 1.000 | 120.000 | 0.002 | 2.000 | 9.663 | 7.669 | 0.00 |
| 1.654 | 0.000000 | 1.000 | 120.000 | 0.002 | 2.000 | 9.663 | 7.669 | 0.00 |
| 1.650 | 0.000000 | 1.000 | 120.000 | 0.002 | 2.000 | 9.796 | 7.669 | 0.00 |
| 1.650 | 0.000000 | 1.000 | 120.000 | 0.002 | 2.000 | 9.796 | 7.669 | 0.00 |
| 1.660 | 0.000000 | 1.000 | 120.000 | 0.002 | 2.000 | 9.457 | 7.669 | 0.00 |
| 1.660 | 0.000000 | 1.000 | 120.000 | 0.002 | 2.000 | 9.457 | 7.669 | 0.00 |
| 1.658 | 0.000000 | 1.000 | 120.000 | 0.002 | 2.000 | 9.520 | 7.669 | 0.00 |
| 1.658 | 0.000000 | 1.000 | 120.000 | 0.002 | 2.000 | 9.520 | 7.669 | 0.00 |

## 11.3 ESTADO LÍMITE DE FISURACIÓN.

| | | | MATERIALES | | | | GEOMÉTRIA | | | As Tracc. | | As Comp. | | | | Esf. Caracterist. | |
|---|---|---|---|---|---|---|---|---|---|---|---|---|---|---|---|---|---|
| Tipo Amb. | Wk,adm (mm) | Viga Losa | fck (Kg/cm2) | γc | fyk (Kg/cm2) | γs | Ancho b(cm) | Canto h(cm) | Recu (cm) | ϕ (mm) | n°ϕ | ϕ (mm) | n°ϕ | kl | k2 | Nk (T) | Mk (mT) |
| Qb | 0 10 | L | 300 | 1 5 | 5100 | 1 15 | 100 | 30 | 5 | 12 | 5 | 12 | 5 | 0 125 | 0 5 | -2 23 | 0 32 |
| Qb | 0 10 | L | 300 | 1 5 | 5100 | 1 15 | 100 | 30 | 5 | 12 | 5 | 12 | 5 | 0 125 | 0 5 | -3 08 | 0 82 |
| Qb | 0 10 | L | 300 | 1 5 | 5100 | 1 15 | 100 | 30 | 5 | 12 | 5 | 12 | 5 | 0 125 | 0 5 | -3 53 | 0 67 |
| Qb | 0 10 | L | 300 | 1 5 | 5100 | 1 15 | 100 | 30 | 5 | 12 | 5 | 12 | 5 | 0 125 | 0 5 | -3 67 | 1 12 |
| Qb | 0 10 | L | 300 | 1 5 | 5100 | 1 15 | 100 | 30 | 5 | 12 | 5 | 12 | 5 | 0 125 | 0 5 | -2 16 | 0 59 |
| Qb | 0 10 | L | 300 | 1 5 | 5100 | 1 15 | 100 | 30 | 5 | 12 | 5 | 12 | 5 | 0 125 | 0 5 | -3 26 | 1 1 |
| Qb | 0 10 | L | 300 | 1 5 | 5100 | 1 15 | 100 | 30 | 5 | 12 | 5 | 12 | 5 | 0 125 | 0 5 | -1 33 | 0 37 |
| Qb | 0 10 | L | 300 | 1 5 | 5100 | 1 15 | 100 | 30 | 5 | 12 | 5 | 12 | 5 | 0 125 | 0 5 | -1 64 | 0 2 |

| Sm (cm) | Nfis (T) | Mfis (mT) | σsr (Kg/cm2) | σs (Kg/cm2) | εsm | wk (mm) | Comentario |
|---|---|---|---|---|---|---|---|
| 20 76 | -49 99 | 7 17 | 1154 97 | 4 16 | 0 00000 | 0 000 | Cumple |
| 20 76 | -21 59 | 5 75 | 2353 49 | 16 88 | 0 00000 | 0 001 | Cumple |
| 20 76 | -33 41 | 6 34 | 1788 44 | 11 40 | 0 00000 | 0 001 | Cumple |
| 20 76 | -18 29 | 5 58 | 2523 91 | 24 33 | 0 00000 | 0 002 | Cumple |
| 20 76 | -20 92 | 5 71 | 2387 70 | 12 28 | 0 00000 | 0 001 | Cumple |
| 20 76 | -16 24 | 5 48 | 2632 39 | 24 71 | 0 00000 | 0 002 | Cumple |
| 20 76 | -20 45 | 5 69 | 2411 48 | 7 76 | 0 00000 | 0 001 | Cumple |
| 20 76 | -65 00 | 7 93 | 770 40 | 2 02 | 0 00000 | 0 000 | Cumple |

# ANEJO DE CÁLCULO

# 8.- ARQUETA DE RESTITUCIÓN

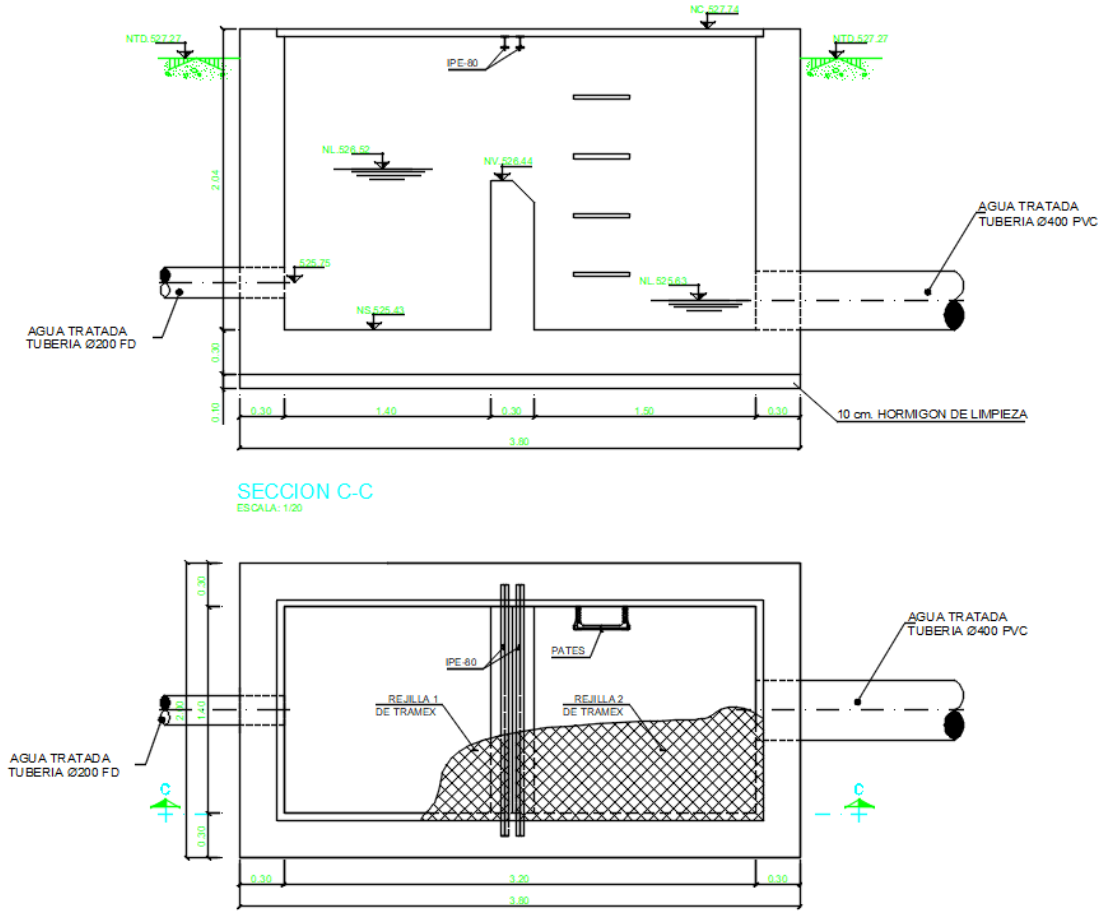
# □NDICE

1. INTRODUCCI□N. ..... 1
2. ACCIONES A CONSIDERAR ..... 1
2.1. PESO PROPIO ..... 1
2.2. PRESI□N DE AGUA ..... 2
2.3. PRESION DE TIERRAS ..... 2
2.4. SOBRECARGAS DE USO ADYACENTES. ..... 2
3. DISCRETIZACI□N DE LA ESTRUCTURA. ..... 2
4. ACCIONES DE C□LCULO ..... 3
5. COMBINACI□N DE ACCIONES. ..... 3
6. COMPROBACI□N DE LA CIMENTACI□N. ..... 4
7. GR□FICOS DE ESFUERZOS. ..... 5
7.1. GR□FICOS ESFUERZOS ELU - CIMENTACI□N ..... 5
7.2. GR□FICOS ESFUERZOS ELU – MURO. ..... 8
8. LISTADOS DE SALIDA DE ESFUERZOS ELU - ELS. ..... 10
8.1. LISTADOS ESFUERZOS E.L.U. - FLE□I□N. ..... 10
8.2. LISTADOS ESFUERZOS E.L.U. - CORTANTE. ..... 11
8.3. LISTADOS ESFUERZOS E.L.S. ..... 12
9. DIMENSIONAMIENTO DE ARMADURAS PARA ELU. ..... 13
9.1. ARMADURAS PARA E.L.U. DE FLE□I□N. ..... 13
9.2. ARMADURAS PARA ELU DE CORTANTE. ..... 13
10. COMPROBACIONES DEL ELS DE FISURACI□N. ..... 14
11. COMPROBACIONES ..... 15
11.1. AGOTAMIENTO POR FLE□I□N ..... 15
11.2. AGOTAMIENTO POR ESFUERZO CORTANTE. ..... 17
11.3. ESTADO L□MITE DE FISURACI□N. ..... 17
12. COMPROBACIONES EN CIMIENTOS ..... 18
12.1. AGOTAMIENTO POR FLE□I□N ..... 18
12.2. AGOTAMIENTO POR ESFUERZO CORTANTE ..... 19
12.3. ESTADO L□MITE DE FISURACI□N ..... 20

# 1. INTRODUCCIÓN.

La arqueta de restitución está formada por dos compartimentos de altura 2.04 metros y unas dimensiones en planta de 3.80 x 2.00 metros.

Las paredes de la arqueta tienen un espesor de 0.30 metros y la solera tiene 0.30 metros de canto.




# 2. ACCIONES A CONSIDERAR

## 2.1. PESO PROPIO

Se obtiene aplicando un peso específico del hormigón de 25 KN/m$^3$.

## 2.2. PRESIÓN DE AGUA

Se tiene en cuenta como un fluido de peso específico 10 KN/$m^3$.

La altura máxima de aguas en el interior del depósito es de 1.10 metros con respecto al nivel superior de la solera inferior.

## 2.3. PRESION DE TIERRAS

Se tiene en cuenta una acción vertical de las tierras con un peso específico de 20,0 KN/$m^3$.

Por otro lado se tiene en cuenta un empuje horizontal triangular de las tierras con ángulo de rozamiento de 30º y coeficiente de empuje horizontal al reposo de 0,50.

La altura de las tierras se ha considerado, a efectos de cálculo, de 1.85 metros sobre el nivel superior de la solera.

## 2.4. SOBRECARGAS DE USO ADYACENTES.

Se consideran 10 KN/$m_2$ en trasdós de muros y coeficiente de empuje horizontal al reposo de 0,50.

## 3. DISCRETIZACIÓN DE LA ESTRUCTURA.

Para el análisis se ha realizado un modelo de elementos finitos tridimensional de la arqueta.

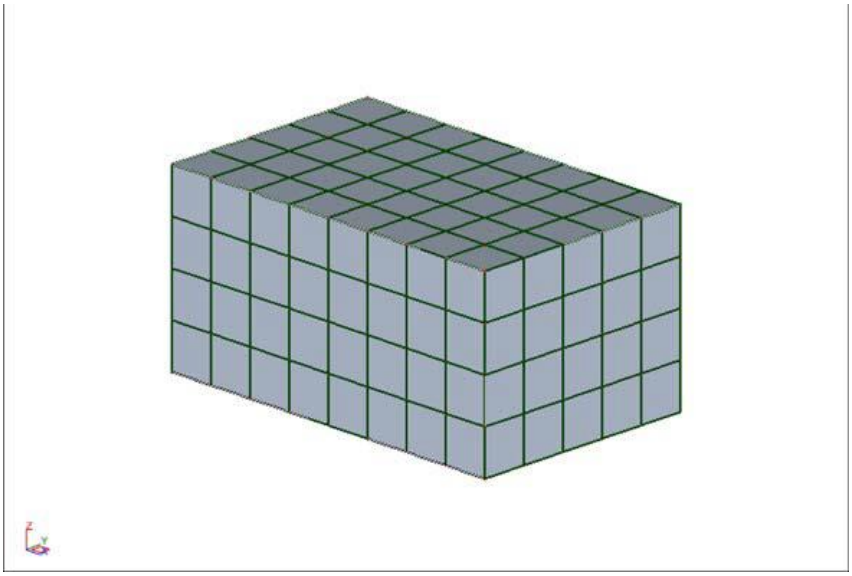
Se han usado elementos tipo placa rectangulares asignando los espesores adecuados.

**Características: Paneles:**

| Nombre de espesor | Lista de paneles | Material | Tipo de espesor | Espesor (cm) | G1 (cm) | G2 (cm) | G3 (cm) | KZ (T/m3) |
|---|---|---|---|---|---|---|---|---|
| ESP40_KZ | 1 | HA - 30 | constante | 40.000 | No existe | No existe | No existe | 2000.00 |
| ESP30_KZ | 2 | HA - 30 | constante | 30.000 | No existe | No existe | No existe | 2000.00 |
| ESP30 | 3A5 | HA - 30 | constante | 30.000 | No existe | No existe | No existe | 0.0 |

El apoyo en el terreno se modeliza según el coeficiente de balasto vertical KZ estimado de 2000 t/$m^3$.

**MODELO 3D**



## 4. ACCIONES DE CÁLCULO

En el modelo de cálculo se introducen las acciones antes indicadas, como cargas independientes actuando en los distintos paneles.

Se resumen a continuación cada una de las acciones independientes.

**Cargas**

**- Casos: 1ª3**

| Caso | Tipo de carga | Lista | Valores de carga | Nombre del caso |
|---|---|---|---|---|
| 1 | peso propio | 1A5 | PZ Menos Coef=1.00 | PP |
| 2 | (EF) presión hydrostática | 3_LADO(2 3) | P=-0.50(T/m2) Gama=-1.00(T/m3) H=3.440(m) Dirección=-Z | EMPUJE DE TIERRAS |
| 2 | (EF) presión hydrostática | 3_LADO(1) | P=0.50(T/m2) Gama=1.00(T/m3) H=3.440(m) Dirección=-Z | EMPUJE DE TIERRAS |
| 2 | (EF) presión hydrostática | 4_LADO(1) | P=-0.50(T/m2) Gama=-1.00(T/m3) H=3.440(m) Dirección=-Z | EMPUJE DE TIERRAS |
| 2 | (EF) presión hydrostática | 4_LADO(2 3) | P=0.50(T/m2) Gama=1.00(T/m3) H=3.440(m) Dirección=-Z | EMPUJE DE TIERRAS |
| 3 | (EF) presión hydrostática | 3_LADO(2 3) | P=0.50(T/m2) Gama=1.00(T/m3) H=3.440(m) Dirección=-Z | EMPUJE HIDROSTÁTICO |
| 3 | (EF) presión hydrostática | 3_LADO(1) | P=-0.50(T/m2) Gama=-1.00(T/m3) H=3.440(m) Dirección=-Z | EMPUJE HIDROSTÁTICO |
| 3 | (EF) presión hydrostática | 4_LADO(1) | P=0.50(T/m2) Gama=1.00(T/m3) H=3.440(m) Dirección=-Z | EMPUJE HIDROSTÁTICO |
| 3 | (EF) presión hydrostática | 4_LADO(2 3) | P=-0.50(T/m2) Gama=-1.00(T/m3) H=3.440(m) Dirección=-Z | EMPUJE HIDROSTÁTICO |
| 3 | (EF) presión hydrostática | 1 2 | Gama=-1.00(T/m3) H=3.390(m) Dirección=-Z | EMPUJE HIDROSTÁTICO |

## 5. COMBINACIÓN DE ACCIONES.

Para la comprobación de los estados límites ELU y ELS las acciones independientes se combinan de acuerdo a la instrucción EHE, de manera que se puedan obtener las distintas hipótesis de cálculo con las acciones combinadas y siendo afectadas por los correspondientes coeficientes de mayoración.

Se adjunta una tabla con las distintas hipótesis de cálculo consideradas para las comprobaciones de los estados límites últimos y de servicio.

### Combinaciones de casos

**- Casos: 4A11**

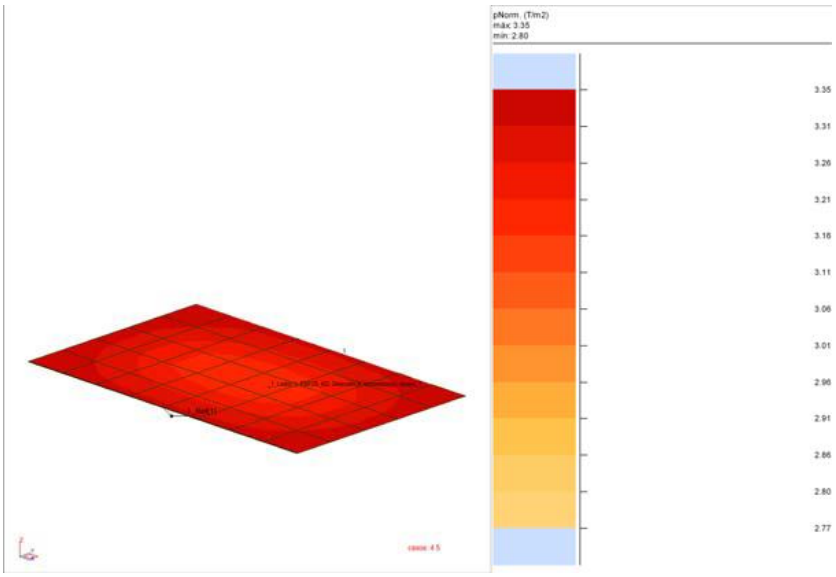
| Combinación | Nombre | Tipo de análisis | Naturaleza de combinación | Naturaleza de caso | Definición |
|---|---|---|---|---|---|
| 4 (C) | ELS1 | Combinación lineal | ELU | permanente | (1+2)*1.00 |
| 5 (C) | ELS2 | Combinación lineal | ELU | permanente | (1+3)*1.00 |
| 6 (C) | ELS3 | Combinación lineal | ELU | permanente | (1+2+3)*1.00 |
| 7 (C) | ELU1 | Combinación lineal | ELU | permanente | 1*1.00+2*1.60 |
| 8 (C) | ELU2 | Combinación lineal | ELU | permanente | 1*1.50+2*1.60 |
| 9 (C) | ELU3 | Combinación lineal | ELU | permanente | 1*1.00+3*1.60 |
| 10 (C) | ELU4 | Combinación lineal | ELU | permanente | 1*1.50+3*1.60 |
| 11 (C) | ELU5 | Combinación lineal | ELU | permanente | 1*1.50+(2+3)*1.60 |

## 6. COMPROBACIÓN DE LA CIMENTACIÓN.

Se comprueba que con la combinación de acciones características pésima las tensiones que se obtienen en cimentación son inferiores a la tensión media admisible asignada en el informe geotécnico.

$$\sigma_{max,cal} = 11.16\, T/m^2 \leq \sigma_{media,adm} = 20{,}0\ T/m^2$$

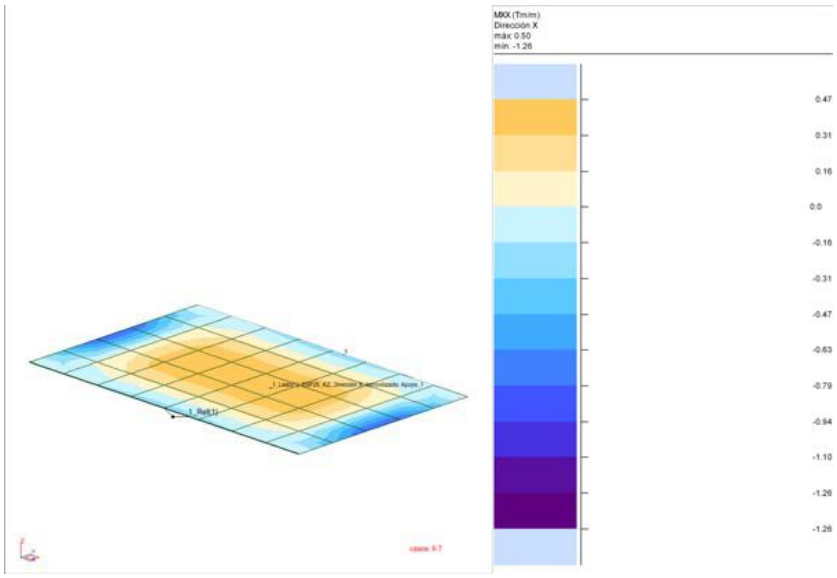
### pNorm. (T/m2) casos: 4A5 (+)



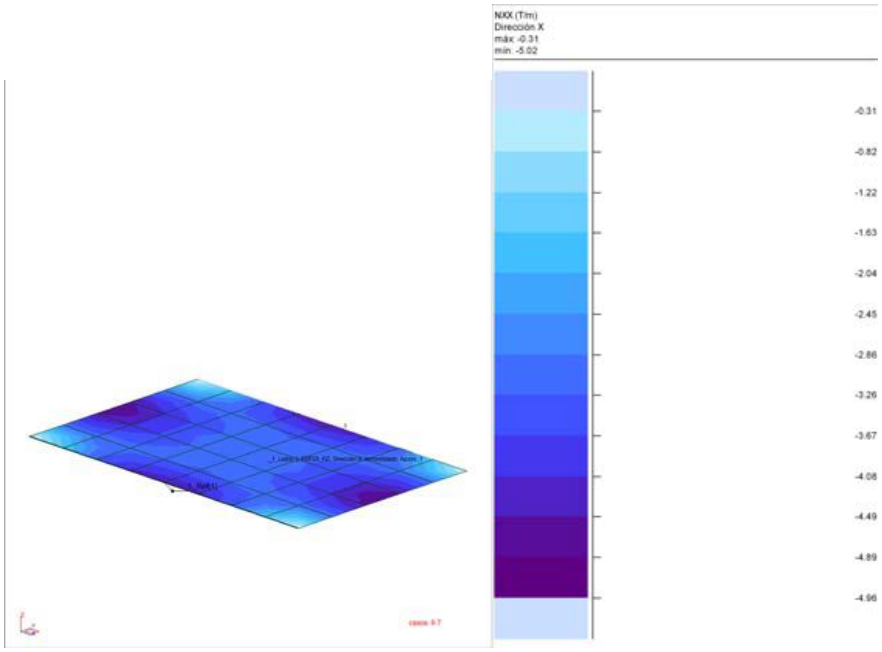
# 7. GRÁFICOS DE ESFUERZOS.

## 7.1. GRÁFICOS ESFUERZOS ELU - CIMENTACIÓN

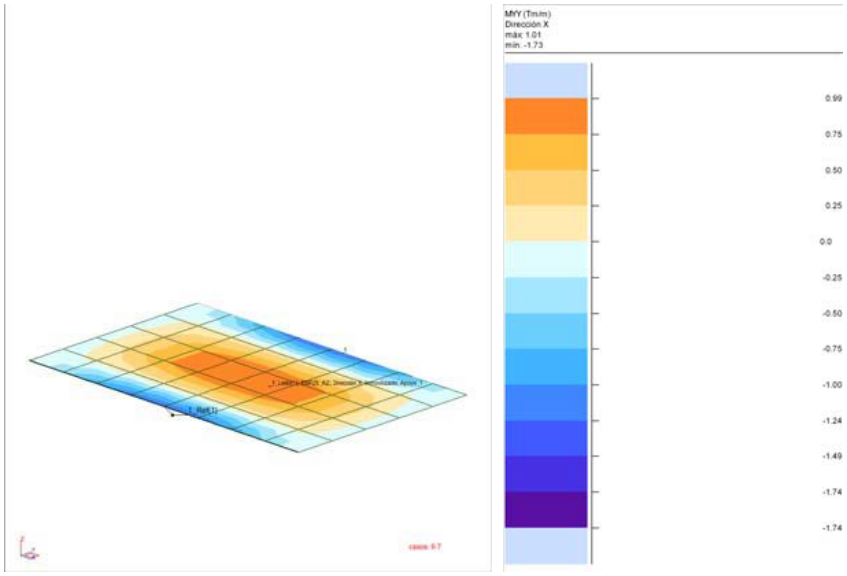
### MXX (Tm/m) Dirección X casos: 7A11 (+)



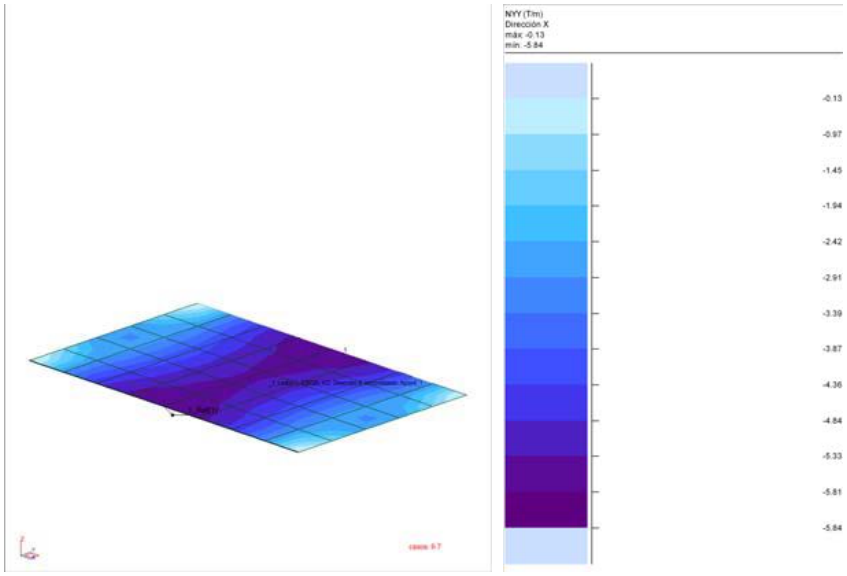

### NXX (T/m) Dirección X casos: 7A11 (+)



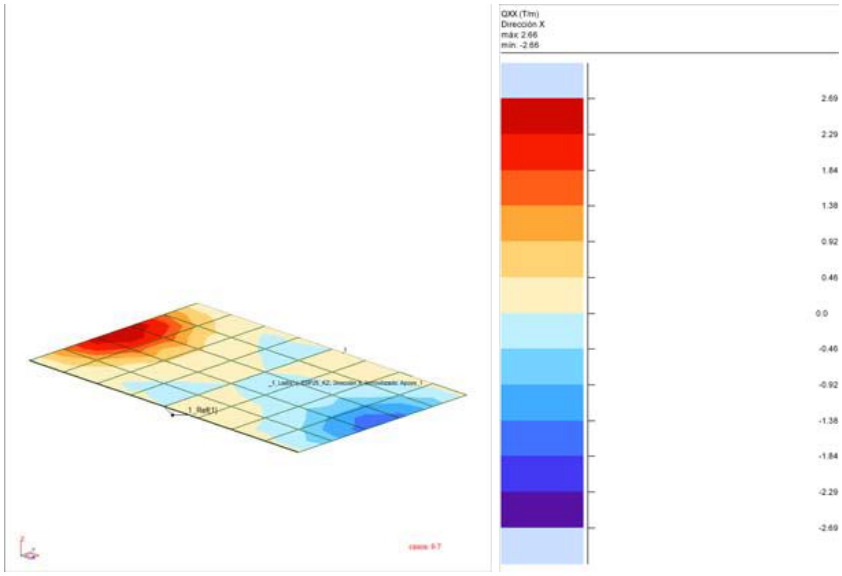
## NXX (T/m) Dirección X casos: 7A11 (+)



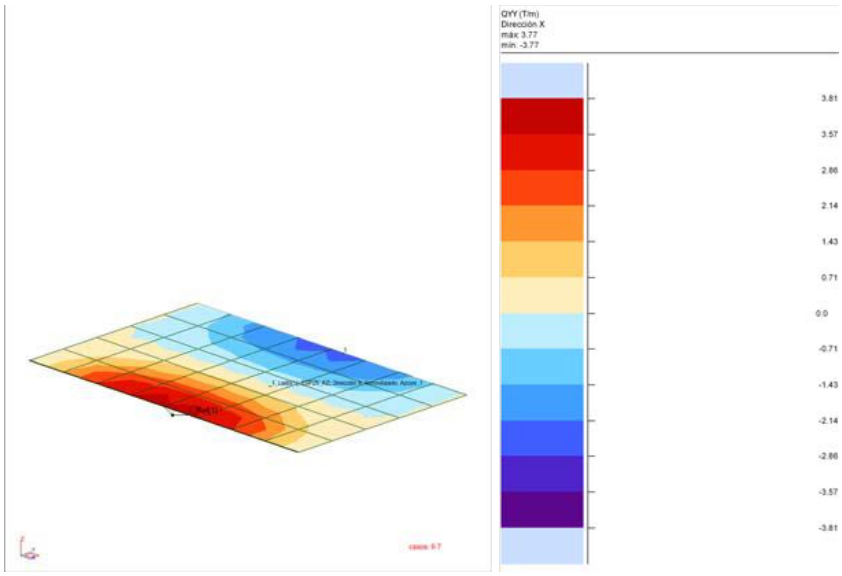

## NYY (T/m) Dirección X casos: 7A11 (+)



## QXX (T/m) Dirección X casos: 7A11 (+)

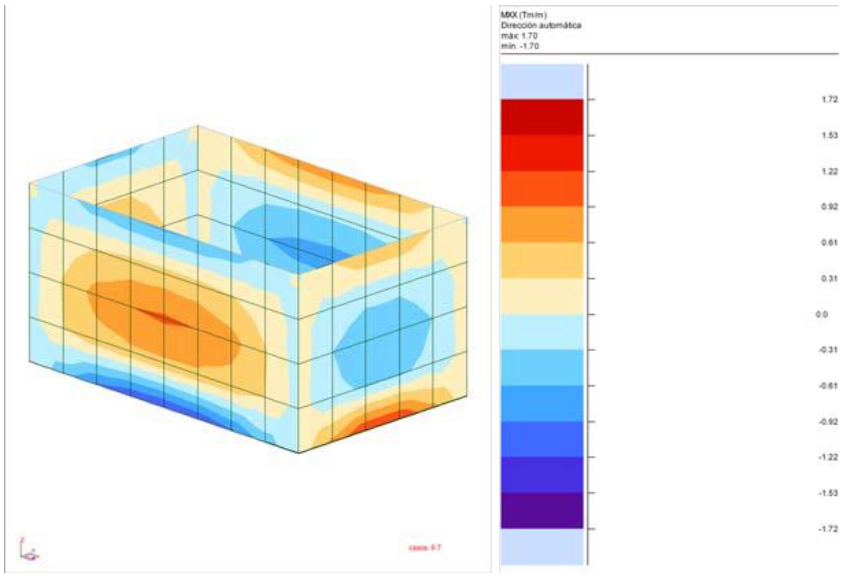



## QYY (T/m) Dirección X casos: 7A11 (+)

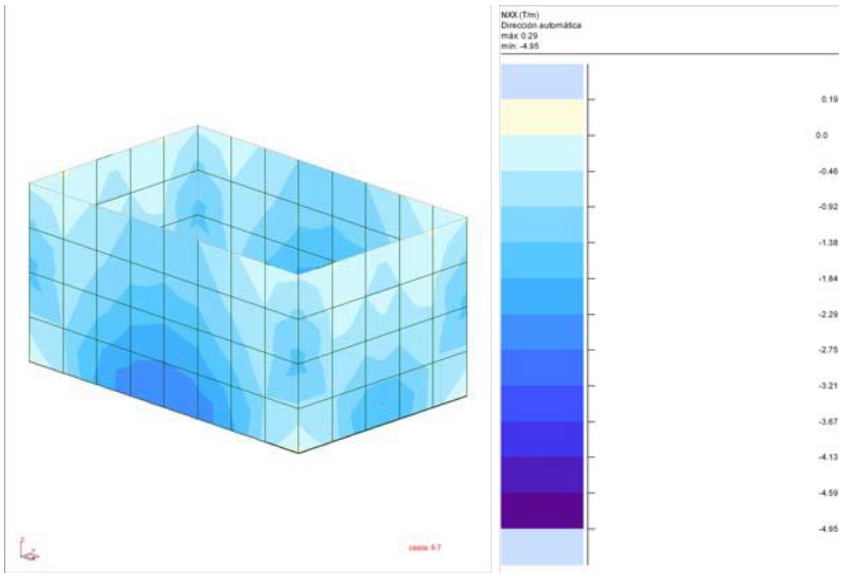


## 7.2. GRÁFICOS ESFUERZOS ELU – MURO.

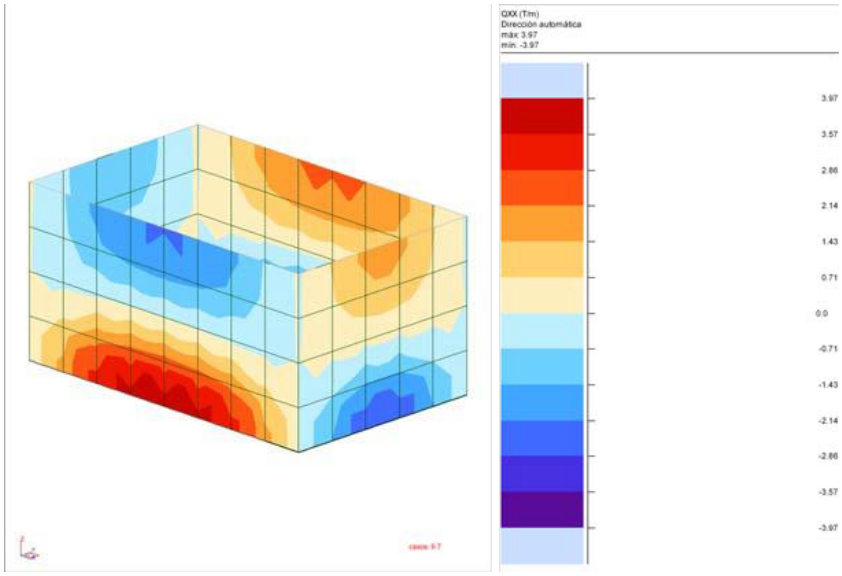
### MXX (Tm/m) Dirección automática casos: 7A11 (+)



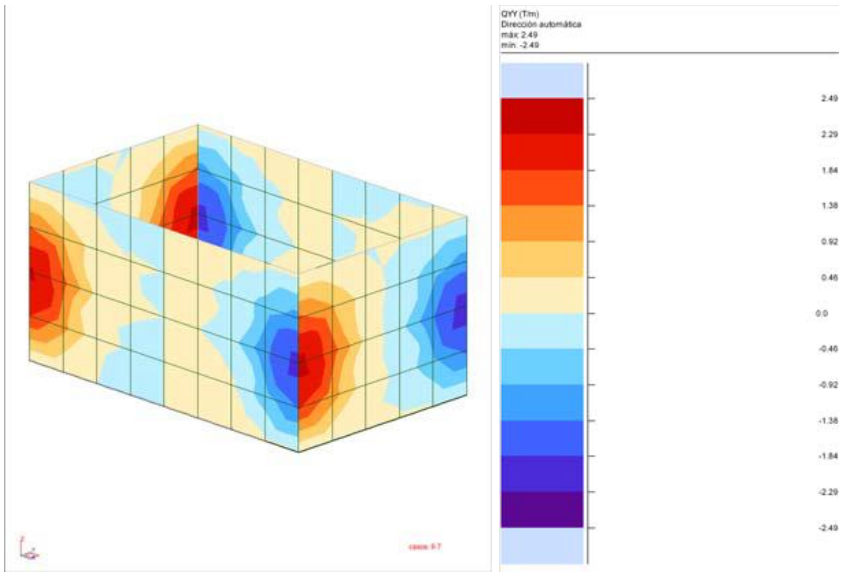

### NXX (T/m) Dirección automática casos: 7A11 (+)



## QXX (T/m) Dirección automática casos: 7A11 (+)




## QYY (T/m) Dirección automática casos: 7A11 (+)



# 8. LISTADOS DE SALIDA DE ESFUERZOS ELU - ELS.

## 8.1. LISTADOS ESFUERZOS E.L.U. - FLEXIÓN.

| Panel/Nudo/Caso | NXX (T/m) | NYY (T/m) | MXX (Tm/m) | MYY (Tm/m) | Definición |
|---|---|---|---|---|---|
| 1/ 23/ 9 (C) | 3.92>> | 1.49 | 0.18 | 0.14 | 1*1.00+3*1.60 |
| 1/ 23/ 8 (C) | -4.93<< | -2.68 | -1.40 | -0.14 | 1*1.50+2*1.60 |
| 1/ 15/ 9 (C) | 1.02 | 2.39>> | 0.18 | 0.09 | 1*1.00+3*1.60 |
| 1/ 15/ 8 (C) | -2.92 | -3.53<< | -0.14 | -1.33 | 1*1.50+2*1.60 |
| 1/ 13/ 10 (C) | 2.98 | 0.04 | 1.43>> | 1.43 | 1*1.50+3*1.60 |
| 1/ 23/ 8 (C) | -4.93 | -2.68 | -1.40<< | -0.14 | 1*1.50+2*1.60 |
| 1/ 13/ 10 (C) | 2.98 | 0.04 | 1.43 | 1.43>> | 1*1.50+3*1.60 |
| 1/ 15/ 8 (C) | -2.92 | -3.53 | -0.14 | -1.33<< | 1*1.50+2*1.60 |
| 2/ 30/ 9 (C) | 3.18>> | 5.64 | -0.11 | -0.17 | 1*1.00+3*1.60 |
| 2/ 30/ 8 (C) | -3.54<< | -8.54 | 0.05 | 0.33 | 1*1.50+2*1.60 |
| 2/ 30/ 9 (C) | 3.18 | 5.64>> | -0.11 | -0.17 | 1*1.00+3*1.60 |
| 2/ 30/ 8 (C) | -3.54 | -8.54<< | 0.05 | 0.33 | 1*1.50+2*1.60 |
| 2/ 38/ 10 (C) | 0.93 | 1.76 | 0.72>> | 0.74 | 1*1.50+3*1.60 |
| 2/ 48/ 8 (C) | -2.28 | -4.23 | -0.68<< | -0.09 | 1*1.50+2*1.60 |
| 2/ 38/ 10 (C) | 0.93 | 1.76 | 0.72 | 0.74>> | 1*1.50+3*1.60 |
| 2/ 40/ 10 (C) | 2.55 | 1.47 | -0.11 | -0.98<< | 1*1.50+3*1.60 |
| 3_Lado(2)/ 105/ 9 (C) | 1.14>> | 4.32 | -0.08 | -0.88 | 1*1.00+3*1.60 |
| 3_Lado(2)/ 15/ 10 (C) | -6.64<< | -0.60 | -0.17 | -0.02 | 1*1.50+3*1.60 |
| 3_Lado(1)/ 30/ 9 (C) | -0.93 | 6.16>> | 0.31 | 1.01 | 1*1.00+3*1.60 |
| 3_Lado(1)/ 30/ 8 (C) | -3.67 | -9.02<< | -0.27 | -1.02 | 1*1.50+2*1.60 |
| 3_Lado(3)/ 23/ 8 (C) | -6.08 | -2.36 | 1.34>> | 0.23 | 1*1.50+2*1.60 |
| 3_Lado(1)/ 3/ 8 (C) | -6.08 | -2.36 | -1.34<< | -0.23 | 1*1.50+2*1.60 |
| 3_Lado(1)/ 65/ 10 (C) | -0.05 | 4.86 | 0.22 | 1.31>> | 1*1.50+3*1.60 |
| 3_Lado(3)/ 110/ 10 (C) | -0.05 | 4.86 | -0.22 | -1.31<< | 1*1.50+3*1.60 |
| 4_Lado(1)/ 46/ 10 (C) | 0.77>> | 0.92 | 0.10 | 0.04 | 1*1.50+3*1.60 |
| 4_Lado(1)/ 50/ 8 (C) | -3.51<< | -7.25 | 0.18 | 0.28 | 1*1.50+2*1.60 |
| 4_Lado(3)/ 30/ 9 (C) | -0.73 | 3.42>> | 0.09 | 0.28 | 1*1.00+3*1.60 |
| 4_Lado(3)/ 30/ 8 (C) | -3.51 | -7.25<< | -0.18 | -0.28 | 1*1.50+2*1.60 |
| 4_Lado(1)/ 48/ 8 (C) | -3.22 | -4.30 | 0.64>> | 0.11 | 1*1.50+2*1.60 |
| 4_Lado(3)/ 28/ 8 (C) | -3.22 | -4.30 | -0.64<< | -0.11 | 1*1.50+2*1.60 |
| 4_Lado(3)/ 76/ 10 (C) | -1.92 | 2.31 | 0.19 | 0.65>> | 1*1.50+3*1.60 |
| 4_Lado(1)/ 170/ 10 (C) | -1.92 | 2.31 | -0.19 | -0.65<< | 1*1.50+3*1.60 |
| 5/ 175/ 9 (C) | 0.70>> | 9.52 | 0.02 | -0.05 | 1*1.00+3*1.60 |
| 5/ 11/ 10 (C) | -5.26<< | -0.61 | -0.70 | -0.14 | 1*1.50+3*1.60 |
| 5/ 292/ 10 (C) | 0.42 | 10.04>> | -0.00 | 0.07 | 1*1.50+3*1.60 |
| 5/ 81/ 7 (C) | -2.96 | -7.73<< | -0.10 | -0.20 | 1*1.00+2*1.60 |
| 5/ 35/ 8 (C) | -1.56 | -2.56 | 0.51>> | 0.22 | 1*1.50+2*1.60 |
| 5/ 11/ 10 (C) | -5.26 | -0.61 | -0.70<< | -0.14 | 1*1.50+3*1.60 |
| 5/ 66/ 10 (C) | -2.30 | 2.98 | 0.25 | 0.90>> | 1*1.50+3*1.60 |
| 5/ 66/ 7 (C) | -1.61 | -3.46 | -0.28 | -0.78<< | 1*1.00+2*1.60 |

## 8.2. LISTADOS ESFUERZOS E.L.U. - CORTANTE.

| Panel/Nudo/Caso | NXX (T/m) | NYY (T/m) | QXX (T/m) | QYY (T/m) | Definición |
|---|---|---|---|---|---|
| 1/ 23/ 9 (C) | 3.92>> | 1.49 | -1.44 | -0.20 | 1*1.00+3*1.60 |
| 1/ 23/ 8 (C) | -4.93<< | -2.68 | -4.11 | 0.16 | 1*1.50+2*1.60 |
| 1/ 15/ 9 (C) | 1.02 | 2.39>> | 0.00 | 1.89 | 1*1.00+3*1.60 |
| 1/ 15/ 8 (C) | -2.92 | -3.53<< | -0.00 | 4.10 | 1*1.50+2*1.60 |
| 1/ 3/ 8 (C) | -4.93 | -2.68 | 4.11>> | 0.16 | 1*1.50+2*1.60 |
| 1/ 23/ 8 (C) | -4.93 | -2.68 | -4.11<< | 0.16 | 1*1.50+2*1.60 |
| 1/ 15/ 8 (C) | -2.92 | -3.53 | -0.00 | 4.10>> | 1*1.50+2*1.60 |
| 1/ 11/ 10 (C) | -0.10 | -1.07 | -0.00 | -3.41<< | 1*1.50+3*1.60 |
| 2/ 30/ 9 (C) | 3.18>> | 5.64 | 0.36 | 0.22 | 1*1.00+3*1.60 |
| 2/ 30/ 8 (C) | -3.54<< | -8.54 | 0.06 | -0.78 | 1*1.50+2*1.60 |
| 2/ 30/ 9 (C) | 3.18 | 5.64>> | 0.36 | 0.22 | 1*1.00+3*1.60 |
| 2/ 30/ 8 (C) | -3.54 | -8.54<< | 0.06 | -0.78 | 1*1.50+2*1.60 |
| 2/ 28/ 11 (C) | -0.68 | -1.30 | 2.11>> | -0.05 | 1*1.50+(2+3)*1.60 |
| 2/ 48/ 11 (C) | -0.68 | -1.30 | -2.11<< | -0.05 | 1*1.50+(2+3)*1.60 |
| 2/ 40/ 10 (C) | 2.55 | 1.47 | 0.00 | 3.04>> | 1*1.50+3*1.60 |
| 2/ 36/ 10 (C) | 0.85 | 1.60 | -0.00 | -1.81<< | 1*1.50+3*1.60 |
| 3_Lado(2)/ 105/ 9 (C) | 1.14>> | 4.32 | -0.08 | 2.28 | 1*1.00+3*1.60 |
| 3_Lado(2)/ 15/ 10 (C) | -6.64<< | -0.60 | 1.48 | 0.00 | 1*1.50+3*1.60 |
| 3_Lado(1)/ 30/ 9 (C) | -0.93 | 6.16>> | 0.25 | -2.70 | 1*1.00+3*1.60 |
| 3_Lado(1)/ 30/ 8 (C) | -3.67 | -9.02<< | 0.11 | 2.71 | 1*1.50+2*1.60 |
| 3_Lado(1)/ 3/ 8 (C) | -6.08 | -2.36 | 3.14>> | -0.11 | 1*1.50+2*1.60 |
| 3_Lado(3)/ 23/ 8 (C) | -6.08 | -2.36 | -3.14<< | 0.11 | 1*1.50+2*1.60 |
| 3_Lado(1)/ 65/ 10 (C) | -0.05 | 4.86 | 0.30 | 3.32>> | 1*1.50+3*1.60 |
| 3_Lado(3)/ 110/ 10 (C) | -0.05 | 4.86 | -0.30 | -3.32<< | 1*1.50+3*1.60 |
| 4_Lado(1)/ 46/ 10 (C) | 0.77>> | 0.92 | -0.14 | -0.17 | 1*1.50+3*1.60 |
| 4_Lado(1)/ 50/ 8 (C) | -3.51<< | -7.25 | -0.34 | 0.63 | 1*1.50+2*1.60 |
| 4_Lado(3)/ 30/ 9 (C) | -0.73 | 3.42>> | -0.06 | 0.48 | 1*1.00+3*1.60 |
| 4_Lado(3)/ 30/ 8 (C) | -3.51 | -7.25<< | 0.34 | -0.63 | 1*1.50+2*1.60 |
| 4_Lado(3)/ 28/ 8 (C) | -3.22 | -4.30 | 1.35>> | -0.17 | 1*1.50+2*1.60 |
| 4_Lado(1)/ 48/ 8 (C) | -3.22 | -4.30 | -1.35<< | 0.17 | 1*1.50+2*1.60 |
| 4_Lado(3)/ 76/ 10 (C) | -1.92 | 2.31 | 0.10 | 1.62>> | 1*1.50+3*1.60 |
| 4_Lado(1)/ 170/ 10 (C) | -1.92 | 2.31 | -0.10 | -1.62<< | 1*1.50+3*1.60 |
| 5/ 175/ 9 (C) | 0.70>> | 9.52 | 0.12 | 0.28 | 1*1.00+3*1.60 |
| 5/ 11/ 10 (C) | -5.26<< | -0.61 | 1.22 | -0.00 | 1*1.50+3*1.60 |
| 5/ 292/ 10 (C) | 0.42 | 10.04>> | -0.20 | -0.22 | 1*1.50+3*1.60 |
| 5/ 81/ 7 (C) | -2.96 | -7.73<< | -0.28 | -0.28 | 1*1.00+2*1.60 |
| 5/ 11/ 10 (C) | -5.26 | -0.61 | 1.22>> | -0.00 | 1*1.50+3*1.60 |
| 5/ 277/ 10 (C) | 0.01 | 3.07 | -0.87<< | 1.09 | 1*1.50+3*1.60 |
| 5/ 66/ 10 (C) | -2.30 | 2.98 | -0.30 | 1.73>> | 1*1.50+3*1.60 |
| 5/ 160/ 10 (C) | -2.30 | 2.98 | -0.30 | -1.73<< | 1*1.50+3*1.60 |

## 8.3. LISTADOS ESFUERZOS E.L.S.

| Panel/Nudo/Caso | NXX (T/m) | NYY (T/m) | MXX (Tm/m) | MYY (Tm/m) | Definición |
|---|---|---|---|---|---|
| 1/ 23/ 5 (C) | 2.29>> | 0.74 | -0.08 | 0.09 | (1+3)*1.00 |
| 1/ 23/ 4 (C) | -3.11<< | -1.71 | -0.91 | -0.09 | (1+2)*1.00 |
| 1/ 15/ 5 (C) | 0.35 | 1.32>> | 0.12 | -0.14 | (1+3)*1.00 |
| 1/ 15/ 4 (C) | -1.87 | -2.23<< | -0.08 | -0.86 | (1+2)*1.00 |
| 1/ 13/ 5 (C) | 1.83 | -0.01 | 0.95>> | 0.94 | (1+3)*1.00 |
| 1/ 23/ 4 (C) | -3.11 | -1.71 | -0.91<< | -0.09 | (1+2)*1.00 |
| 1/ 13/ 5 (C) | 1.83 | -0.01 | 0.95 | 0.94>> | (1+3)*1.00 |
| 1/ 15/ 4 (C) | -1.87 | -2.23 | -0.08 | -0.86<< | (1+2)*1.00 |
| 2/ 30/ 5 (C) | 1.94>> | 3.11 | -0.08 | -0.08 | (1+3)*1.00 |
| 2/ 30/ 4 (C) | -2.22<< | -5.41 | 0.03 | 0.21 | (1+2)*1.00 |
| 2/ 30/ 5 (C) | 1.94 | 3.11>> | -0.08 | -0.08 | (1+3)*1.00 |
| 2/ 30/ 4 (C) | -2.22 | -5.41<< | 0.03 | 0.21 | (1+2)*1.00 |
| 2/ 38/ 5 (C) | 0.55 | 1.09 | 0.48>> | 0.49 | (1+3)*1.00 |
| 2/ 48/ 4 (C) | -1.45 | -2.69 | -0.45<< | -0.06 | (1+2)*1.00 |
| 2/ 38/ 5 (C) | 0.55 | 1.09 | 0.48 | 0.49>> | (1+3)*1.00 |
| 2/ 40/ 5 (C) | 1.60 | 0.92 | -0.07 | -0.64<< | (1+3)*1.00 |
| 3_Lado(2)/ 105/ 5 (C) | 0.57>> | 3.00 | -0.04 | -0.59 | (1+3)*1.00 |
| 3_Lado(2)/ 15/ 5 (C) | -4.41<< | -0.44 | -0.09 | -0.01 | (1+3)*1.00 |
| 3_Lado(1)/ 30/ 5 (C) | -1.32 | 3.42>> | 0.20 | 0.63 | (1+3)*1.00 |
| 3_Lado(1)/ 30/ 4 (C) | -2.41 | -5.71<< | -0.17 | -0.64 | (1+2)*1.00 |
| 3_Lado(3)/ 23/ 4 (C) | -4.04 | -1.53 | 0.86>> | 0.15 | (1+2)*1.00 |
| 3_Lado(1)/ 3/ 4 (C) | -4.04 | -1.53 | -0.86<< | -0.15 | (1+2)*1.00 |
| 3_Lado(1)/ 65/ 5 (C) | -0.10 | 3.06 | 0.14 | 0.83>> | (1+3)*1.00 |
| 3_Lado(3)/ 110/ 5 (C) | -0.10 | 3.06 | -0.14 | -0.83<< | (1+3)*1.00 |
| 4_Lado(1)/ 46/ 5 (C) | 0.51>> | 0.57 | 0.07 | 0.03 | (1+3)*1.00 |
| 4_Lado(1)/ 50/ 4 (C) | -2.30<< | -4.63 | 0.11 | 0.18 | (1+2)*1.00 |
| 4_Lado(3)/ 91/ 4 (C) | -0.17 | 2.14>> | 0.01 | 0.02 | (1+2)*1.00 |
| 4_Lado(3)/ 30/ 4 (C) | -2.30 | -4.63<< | -0.11 | -0.18 | (1+2)*1.00 |
| 4_Lado(1)/ 48/ 4 (C) | -2.15 | -2.75 | 0.42>> | 0.07 | (1+2)*1.00 |
| 4_Lado(3)/ 28/ 4 (C) | -2.15 | -2.75 | -0.42<< | -0.07 | (1+2)*1.00 |
| 4_Lado(3)/ 76/ 5 (C) | -1.29 | 1.44 | 0.12 | 0.42>> | (1+3)*1.00 |
| 4_Lado(1)/ 170/ 5 (C) | -1.29 | 1.44 | -0.12 | -0.42<< | (1+3)*1.00 |
| 5/ 1/ 4 (C) | 0.37>> | -0.07 | -0.10 | -0.07 | (1+2)*1.00 |
| 5/ 11/ 5 (C) | -3.49<< | -0.45 | -0.46 | -0.09 | (1+3)*1.00 |
| 5/ 293/ 5 (C) | 0.01 | 6.38>> | 0.01 | 0.05 | (1+3)*1.00 |
| 5/ 81/ 4 (C) | -2.28 | -4.51<< | -0.07 | -0.17 | (1+2)*1.00 |
| 5/ 35/ 4 (C) | -1.02 | -1.61 | 0.32>> | 0.14 | (1+2)*1.00 |
| 5/ 11/ 5 (C) | -3.49 | -0.45 | -0.46<< | -0.09 | (1+3)*1.00 |
| 5/ 66/ 5 (C) | -1.55 | 1.85 | 0.16 | 0.57>> | (1+3)*1.00 |
| 5/ 66/ 4 (C) | -1.66 | -2.23 | -0.18 | -0.47<< | (1+2)*1.00 |

# 9. DIMENSIONAMIENTO DE ARMADURAS PARA ELU.

## 9.1. ARMADURAS PARA E.L.U. DE FLEXIÓN.

Para dimensionar la armadura se parte de la cuantía mínima indicada en la norma E.H.E., y se comprueba su validez para los máximos esfuerzos obtenidos en las estructuras modelizadas.

Las armaduras se obtienen empleando una hoja de cálculo, especialmente programada para el dimensionamiento de secciones rectangulares de hormigón armado sometidas a esfuerzos de flexión compuesta.

Las cuantías mínimas indicadas en la instrucción E.H.E. son las siguientes:

**Cuantía mecánica:** $A_s \geq 0{,}04 \cdot A_c \cdot \frac{f_{cd}}{f_{yd}}$

**Losa:** $A_s \geq 0.0018 \cdot A$ (a repartir entre ambas caras)

**Muro:** $A_s \geq 0.0032 \cdot A$ (a repartir entre ambas caras)

$A_s \geq 0.0009 \cdot A$ (en cara de tracción)

## 9.2. ARMADURAS PARA ELU DE CORTANTE.

El Estado Límite de Agotamiento por esfuerzo cortante se puede alcanzar, ya sea por agotarse la resistencia a compresión del alma, o por agotarse su resistencia a tracción. En consecuencia, es necesario comprobar que se cumple simultáneamente:

$$V_{rd} \leq V_{u1}$$

$$V_{rd} \leq V_{u2}$$

Las comprobaciones se realizan empleando una hoja de cálculo, especialmente programada para el dimensionamiento de secciones rectangulares de hormigón armado sometidas a esfuerzos de cortante, inicialmente se tantea como armadura de flexión con la máxima de las cuantías mínimas necesarias, bien geométrica o mecánica.

En la hoja se introducen las características de las secciones y de los materiales, hormigón y acero, y los esfuerzos obtenidos de los modelos en la combinación más desfavorable.

## 10. COMPROBACIONES DEL ELS DE FISURACIÓN.

La comprobación general del Estado Límite de Fisuración por tracción consiste en satisfacer la siguiente inecuación:

$$w_k \leq w_{max}$$

Las aberturas de fisuras se obtienen empleando una hoja de cálculo, especialmente programada para el caso de secciones rectangulares de hormigón armado sometidas a esfuerzos de flexión compuesta.

En la hoja se introducen las características de las secciones y de los materiales, hormigón y acero, y los esfuerzos obtenidos de los modelos en la combinación más desfavorable y para la situación cuasipermanente.

La fisuración no se produce si el momento de servicio actuante es inferior al momento de fisuración de la sección, que es aquel para el que la fibra más traccionada de hormigón alcanza el valor $f_{ct,m}$.

Caso de que no se cumpliese la inecuación de partida se elevará la cuantía de la armadura hasta que la abertura sea inferior a la máxima admisible.

# 11. COMPROBACIONES

## 11.1. AGOTAMIENTO POR FLEXIÓN

| REFERENCIA SECCIÓN | MATERIALES | | GEOMETRÍA DE LA SECCIÓN | | | | | SOLICITACIONES | |
|---|---|---|---|---|---|---|---|---|---|
| | Resistencia del hormigón (T/m2) | Resistencia del acero (T/m2) | Ancho (m) | Canto (m) | Recubrimiento (m) | Canto útil (m) | Disposición: Pilar 1 Losa 2 Viga 3 Muro 4 | Momento (T·m) | Axil (T) Compresión (+) |
| PANEL 3 | 3000.000 | 51000.000 | 1.000 | 0.300 | 0.050 | 0.250 | 4 | -0.080 | -1.140 |
| PANEL 3 | 3000.000 | 51000.000 | 1.000 | 0.300 | 0.050 | 0.250 | 4 | -0.170 | 6.640 |
| PANEL 3 | 3000.000 | 51000.000 | 1.000 | 0.300 | 0.050 | 0.250 | 4 | 1.010 | -6.160 |
| PANEL 3 | 3000.000 | 51000.000 | 1.000 | 0.300 | 0.050 | 0.250 | 4 | -1.020 | 9.020 |
| PANEL 3 | 3000.000 | 51000.000 | 1.000 | 0.300 | 0.050 | 0.250 | 4 | 1.340 | 6.080 |
| PANEL 3 | 3000.000 | 51000.000 | 1.000 | 0.300 | 0.050 | 0.250 | 4 | -1.340 | 6.080 |
| PANEL 3 | 3000.000 | 51000.000 | 1.000 | 0.300 | 0.050 | 0.250 | 4 | 1.310 | -4.860 |
| PANEL 3 | 3000.000 | 51000.000 | 1.000 | 0.300 | 0.050 | 0.250 | 4 | -1.310 | -4.860 |
| PANEL 4 | 3000.000 | 51000.000 | 1.000 | 0.300 | 0.050 | 0.250 | 4 | 0.100 | -0.770 |
| PANEL 4 | 3000.000 | 51000.000 | 1.000 | 0.300 | 0.050 | 0.250 | 4 | 0.180 | 3.510 |
| PANEL 4 | 3000.000 | 51000.000 | 1.000 | 0.300 | 0.050 | 0.250 | 4 | 0.280 | -3.420 |
| PANEL 4 | 3000.000 | 51000.000 | 1.000 | 0.300 | 0.050 | 0.250 | 4 | -0.280 | 7.250 |
| PANEL 4 | 3000.000 | 51000.000 | 1.000 | 0.300 | 0.050 | 0.250 | 4 | 0.640 | 3.220 |
| PANEL 4 | 3000.000 | 51000.000 | 1.000 | 0.300 | 0.050 | 0.250 | 4 | -0.640 | 3.220 |
| PANEL 4 | 3000.000 | 51000.000 | 1.000 | 0.300 | 0.050 | 0.250 | 4 | 0.650 | -2.310 |
| PANEL 4 | 3000.000 | 51000.000 | 1.000 | 0.300 | 0.050 | 0.250 | 4 | -0.650 | -2.310 |
| PANEL 5 | 3000.000 | 51000.000 | 1.000 | 0.300 | 0.050 | 0.250 | 4 | 0.020 | -0.700 |
| PANEL 5 | 3000.000 | 51000.000 | 1.000 | 0.300 | 0.050 | 0.250 | 4 | -0.700 | 5.260 |
| PANEL 5 | 3000.000 | 51000.000 | 1.000 | 0.300 | 0.050 | 0.250 | 4 | 0.070 | -10.040 |
| PANEL 5 | 3000.000 | 51000.000 | 1.000 | 0.300 | 0.050 | 0.250 | 4 | -0.200 | 7.730 |
| PANEL 5 | 3000.000 | 51000.000 | 1.000 | 0.300 | 0.050 | 0.250 | 4 | 0.510 | 1.560 |
| PANEL 5 | 3000.000 | 51000.000 | 1.000 | 0.300 | 0.050 | 0.250 | 4 | -0.700 | 5.260 |
| PANEL 5 | 3000.000 | 51000.000 | 1.000 | 0.300 | 0.050 | 0.250 | 4 | 0.900 | -2.980 |
| PANEL 5 | 3000.000 | 51000.000 | 1.000 | 0.300 | 0.050 | 0.250 | 4 | -0.780 | 3.460 |

| RESULTADOS Md<=Mlim | | | | | |
|---|---|---|---|---|---|
| $M_{As}$ | $E_{yd}$ | $x_{lim}$ | $M_{lim}$ | x | As |
| 0.733 | 0.002217 | 0.122 | 25.147 | 0.003 | 0.000004 |
| 1.627 | 0.002217 | 0.122 | 25.147 | 0.006 | 0.000075 |
| 1.411 | 0.002217 | 0.122 | 25.147 | 0.005 | 0.000034 |
| 2.168 | 0.002217 | 0.122 | 25.147 | 0.008 | 0.000117 |
| 0.083 | 0.002217 | 0.122 | 25.147 | 0.000 | 0.000002 |
| 1.627 | 0.002217 | 0.122 | 25.147 | 0.006 | 0.000075 |
| 0.070 | 0.002217 | 0.122 | 25.147 | 0.000 | 0.000005 |
| 2.168 | 0.002217 | 0.122 | 25.147 | 0.008 | 0.000117 |
| 1.348 | 0.002217 | 0.122 | 25.147 | 0.005 | 0.000067 |
| 1.348 | 0.002217 | 0.122 | 25.147 | 0.005 | 0.000067 |
| 2.071 | 0.002217 | 0.122 | 25.147 | 0.008 | 0.000126 |
| 2.071 | 0.002217 | 0.122 | 25.147 | 0.008 | 0.000126 |
| -0.003 | 0.002217 | 0.122 | 25.147 | 0.000 | 0.000006 |
| 0.663 | 0.002217 | 0.122 | 25.147 | 0.002 | -0.000025 |
| 0.076 | 0.002217 | 0.122 | 25.147 | 0.000 | 0.000013 |
| 2.071 | 0.002217 | 0.122 | 25.147 | 0.008 | 0.000126 |
| 0.739 | 0.002217 | 0.122 | 25.147 | 0.003 | 0.000036 |
| 0.193 | 0.002217 | 0.122 | 25.147 | 0.001 | 0.000000 |
| 1.059 | 0.002217 | 0.122 | 25.147 | 0.004 | 0.000061 |
| 0.482 | 0.002217 | 0.122 | 25.147 | 0.002 | 0.000000 |
| 0.039 | 0.002217 | 0.122 | 25.147 | 0.000 | 0.000023 |
| 0.739 | 0.002217 | 0.122 | 25.147 | 0.003 | 0.000036 |
| 0.040 | 0.002217 | 0.122 | 25.147 | 0.000 | 0.000023 |
| 0.851 | 0.002217 | 0.122 | 25.147 | 0.003 | 0.000033 |

| CUANTÍAS MÍNIMAS | | ARMADURA NECESARIA | | ARMADURA DISPUESTA | | | | | |
|---|---|---|---|---|---|---|---|---|---|
| Mecánica | Geométrica | Cara de tracción (cm2) | Cara de compresión (cm2) | NÚMERO | DIÁMETRO | ÁREA ARMADURA DE TRACCIÓN DISPUESTA | NÚMERO | DIÁMETRO | ÁREA ARMADURA DE COMPRESIÓN DISPUESTA |
| 0.000564 | 0.000270 | 5.64 | 5.64 | 5 | 12 | 5.655 | 5 | 12 | 5.655 |
| 0.000564 | 0.000270 | 5.64 | 5.64 | 5 | 12 | 5.655 | 5 | 12 | 5.655 |
| 0.000564 | 0.000270 | 5.64 | 5.64 | 5 | 12 | 5.655 | 5 | 12 | 5.655 |
| 0.000564 | 0.000270 | 5.64 | 5.64 | 5 | 12 | 5.655 | 5 | 12 | 5.655 |
| 0.000564 | 0.000270 | 5.64 | 5.64 | 5 | 12 | 5.655 | 5 | 12 | 5.655 |
| 0.000564 | 0.000270 | 5.64 | 5.64 | 5 | 12 | 5.655 | 5 | 12 | 5.655 |
| 0.000564 | 0.000270 | 5.64 | 5.64 | 5 | 12 | 5.655 | 5 | 12 | 5.655 |
| 0.000564 | 0.000270 | 5.64 | 5.64 | 5 | 12 | 5.655 | 5 | 12 | 5.655 |
| 0.000564 | 0.000270 | 5.64 | 5.64 | 5 | 12 | 5.655 | 5 | 12 | 5.655 |
| 0.000564 | 0.000270 | 5.64 | 5.64 | 5 | 12 | 5.655 | 5 | 12 | 5.655 |
| 0.000564 | 0.000270 | 5.64 | 5.64 | 5 | 12 | 5.655 | 5 | 12 | 5.655 |
| 0.000564 | 0.000270 | 5.64 | 5.64 | 5 | 12 | 5.655 | 5 | 12 | 5.655 |
| 0.000564 | 0.000270 | 5.64 | 5.64 | 5 | 12 | 5.655 | 5 | 12 | 5.655 |
| 0.000564 | 0.000270 | 5.64 | 5.64 | 5 | 12 | 5.655 | 5 | 12 | 5.655 |
| 0.000564 | 0.000270 | 5.64 | 5.64 | 5 | 12 | 5.655 | 5 | 12 | 5.655 |
| 0.000564 | 0.000270 | 5.64 | 5.64 | 5 | 12 | 5.655 | 5 | 12 | 5.655 |
| 0.000564 | 0.000270 | 5.64 | 5.64 | 5 | 12 | 5.655 | 5 | 12 | 5.655 |
| 0.000564 | 0.000270 | 5.64 | 5.64 | 5 | 12 | 5.655 | 5 | 12 | 5.655 |
| 0.000564 | 0.000270 | 5.64 | 5.64 | 5 | 12 | 5.655 | 5 | 12 | 5.655 |
| 0.000564 | 0.000270 | 5.64 | 5.64 | 5 | 12 | 5.655 | 5 | 12 | 5.655 |
| 0.000564 | 0.000270 | 5.64 | 5.64 | 5 | 12 | 5.655 | 5 | 12 | 5.655 |
| 0.000564 | 0.000270 | 5.64 | 5.64 | 5 | 12 | 5.655 | 5 | 12 | 5.655 |
| 0.000564 | 0.000270 | 5.64 | 5.64 | 5 | 12 | 5.655 | 5 | 12 | 5.655 |
| 0.000564 | 0.000270 | 5.64 | 5.64 | 5 | 12 | 5.655 | 5 | 12 | 5.655 |
| 0.000564 | 0.000270 | 5.64 | 5.64 | 5 | 12 | 5.655 | 5 | 12 | 5.655 |
| 0.000564 | 0.000270 | 5.64 | 5.64 | 5 | 12 | 5.655 | 5 | 12 | 5.655 |
| 0.000564 | 0.000270 | 5.64 | 5.64 | 5 | 12 | 5.655 | 5 | 12 | 5.655 |

## 11.2. AGOTAMIENTO POR ESFUERZO CORTANTE.

| REFERENCIA SECCIÓN | MATERIALES | | GEOMETRÍA DE LA SECCIÓN | | | | | SOLICITACIONES | |
|---|---|---|---|---|---|---|---|---|---|
| | Resistencia del hormigón (T/m2) | Resistencia del acero (T/m2) | Ancho (m) | Anchura neta mínima del elemento (m) | Canto (m) | Recubrimiento (m) | Canto útil (m) | Cortante (T) | Axil (T) Compresión (+) |
| PANEL 3 | 3000.000 | 51000.000 | 1.000 | 1.000 | 0.300 | 0.050 | 0.250 | 3.140 | 6.080 |
| PANEL 3 | 3000.000 | 51000.000 | 1.000 | 1.000 | 0.300 | 0.050 | 0.250 | 3.140 | 6.080 |
| PANEL 3 | 3000.000 | 51000.000 | 1.000 | 1.000 | 0.300 | 0.050 | 0.250 | 3.320 | -4.860 |
| PANEL 3 | 3000.000 | 51000.000 | 1.000 | 1.000 | 0.300 | 0.050 | 0.250 | 3.320 | -4.860 |
| PANEL 4 | 3000.000 | 51000.000 | 1.000 | 1.000 | 0.300 | 0.050 | 0.250 | 1.350 | 3.220 |
| PANEL 4 | 3000.000 | 51000.000 | 1.000 | 1.000 | 0.300 | 0.050 | 0.250 | 1.350 | 3.220 |
| PANEL 4 | 3000.000 | 51000.000 | 1.000 | 1.000 | 0.300 | 0.050 | 0.250 | 1.620 | -2.310 |
| PANEL 4 | 3000.000 | 51000.000 | 1.000 | 1.000 | 0.300 | 0.050 | 0.250 | 1.620 | -2.310 |
| PANEL 5 | 3000.000 | 51000.000 | 1.000 | 1.000 | 0.300 | 0.050 | 0.250 | 1.220 | 5.260 |
| PANEL 5 | 3000.000 | 51000.000 | 1.000 | 1.000 | 0.300 | 0.050 | 0.250 | 0.870 | -0.010 |
| PANEL 5 | 3000.000 | 51000.000 | 1.000 | 1.000 | 0.300 | 0.050 | 0.250 | 1.730 | -2.980 |
| PANEL 5 | 3000.000 | 51000.000 | 1.000 | 1.000 | 0.300 | 0.050 | 0.250 | 1.730 | -2.980 |

| Vu1 (Agotamiento por compresión oblicua en el alma) | | | | Vu2 (Agotamiento por tracción en el alma) Sin armadura de cortante | | | Vu2 (Agotamiento por tracción en el alma) Con armadura de cortante | |
|---|---|---|---|---|---|---|---|---|
| K | cotg(Alfa) | cotg(Teta) | Vu1 | Cuantía geométrica de armadura longitudinal traccionada | Epsilon | Vu2 (T) | Vcu (T) (Contribución del hormigón) | Área necesaria de cortante (cm2) $A_{90}$ |
| 1.650 | 0.000000 | 1.000 | 150.000 | 0.002 | 1.894 | 11.509 | 8.957 | 0.00 |
| 1.650 | 0.000000 | 1.000 | 150.000 | 0.002 | 1.894 | 11.509 | 8.957 | 0.00 |
| 1.680 | 0.000000 | 1.000 | 150.000 | 0.002 | 1.894 | 10.141 | 8.957 | 0.00 |
| 1.680 | 0.000000 | 1.000 | 150.000 | 0.002 | 1.894 | 10.141 | 8.957 | 0.00 |
| 1.658 | 0.000000 | 1.000 | 150.000 | 0.002 | 1.894 | 11.151 | 8.957 | 0.00 |
| 1.658 | 0.000000 | 1.000 | 150.000 | 0.002 | 1.894 | 11.151 | 8.957 | 0.00 |
| 1.673 | 0.000000 | 1.000 | 150.000 | 0.002 | 1.894 | 10.460 | 8.957 | 0.00 |
| 1.673 | 0.000000 | 1.000 | 150.000 | 0.002 | 1.894 | 10.460 | 8.957 | 0.00 |
| 1.652 | 0.000000 | 1.000 | 150.000 | 0.002 | 1.894 | 11.406 | 8.957 | 0.00 |
| 1.667 | 0.000000 | 1.000 | 150.000 | 0.002 | 1.894 | 10.747 | 8.957 | 0.00 |
| 1.675 | 0.000000 | 1.000 | 150.000 | 0.002 | 1.894 | 10.376 | 8.957 | 0.00 |
| 1.675 | 0.000000 | 1.000 | 150.000 | 0.002 | 1.894 | 10.376 | 8.957 | 0.00 |

## 11.3. ESTADO LÍMITE DE FISURACIÓN.

| | | | MATERIALES | | | | GEOMÉTRIA | | | As Tracc. | | As Comp. | | | | Esf. Caracterist. | |
|---|---|---|---|---|---|---|---|---|---|---|---|---|---|---|---|---|---|
| Tipo Amb. | Wk,adm (mm) | Viga Losa | fck (Kg/cm2) | γc | fyk (Kg/cm2) | γs | Ancho b(cm) | Canto h(cm) | Recu (cm) | ϕ (mm) | n°ϕ | ϕ (mm) | n°ϕ | k1 | k2 | Nk (T) | Mk (mT) |
| Qb | 0.10 | L | 300 | 1.5 | 5100 | 1.15 | 100 | 30 | 5 | 12 | 5 | 12 | 5 | 0.137 | 0.5 | 1.94 | 0.08 |
| Qb | 0.10 | L | 300 | 1.5 | 5100 | 1.15 | 100 | 30 | 5 | 12 | 5 | 12 | 5 | 0.165 | 0.5 | 3.11 | 0.08 |
| Qb | 0.10 | L | 300 | 1.5 | 5100 | 1.15 | 100 | 30 | 5 | 12 | 5 | 12 | 5 | 0.125 | 0.5 | 3.42 | 0.63 |
| Qb | 0.10 | L | 300 | 1.5 | 5100 | 1.15 | 100 | 30 | 5 | 12 | 5 | 12 | 5 | 0.211 | 0.5 | 2.14 | 0.02 |
| Qb | 0.10 | L | 300 | 1.5 | 5100 | 1.15 | 100 | 30 | 5 | 12 | 5 | 12 | 5 | 0.216 | 0.5 | 6.38 | 0.05 |

| Sm (cm) | Nfis (T) | Mfis (mT) | σsr (Kg/cm2) | σs (Kg/cm2) | εsm | wk (mm) | Comentario |
|---|---|---|---|---|---|---|---|
| 21.46 | 51.00 | 2.10 | 6487.27 | 246.78 | 0.00005 | 0.017 | Cumple |
| 23.07 | 61.42 | 1.58 | 6916.51 | 350.23 | 0.00007 | 0.026 | Cumple |
| 20.76 | 19.89 | 3.66 | 4738.33 | 26.63 | 0.00001 | 0.002 | Cumple |
| 25.68 | 78.31 | 0.73 | 7612.33 | 208.03 | 0.00004 | 0.017 | Cumple |
| 25.99 | 80.34 | 0.63 | 7696.19 | 611.15 | 0.00012 | 0.051 | Cumple |

# 12. COMPROBACIONES EN CIMIENTOS

## 12.1. AGOTAMIENTO POR FLEXIÓN

| REFERENCIA SECCIÓN | MATERIALES | | GEOMETRÍA DE LA SECCIÓN | | | | | SOLICITACIONES | |
|---|---|---|---|---|---|---|---|---|---|
| | Resistencia del hormigón (T/m2) | Resistencia del acero (T/m2) | Ancho (m) | Canto (m) | Recubrimiento (m) | Canto útil (m) | Disposición: Pilar 1 Losa 2 Viga 3 Muro 4 | Momento (T·m) | Axil (T) Compresión (+) |
| PANEL 1 | 3000.000 | 51000.000 | 1.000 | 0.400 | 0.050 | 0.350 | 2 | 0.180 | -3.920 |
| PANEL 1 | 3000.000 | 51000.000 | 1.000 | 0.400 | 0.050 | 0.350 | 2 | -1.400 | 4.930 |
| PANEL 1 | 3000.000 | 51000.000 | 1.000 | 0.400 | 0.050 | 0.350 | 2 | 0.090 | -2.390 |
| PANEL 1 | 3000.000 | 51000.000 | 1.000 | 0.400 | 0.050 | 0.350 | 2 | -1.330 | 3.530 |
| PANEL 1 | 3000.000 | 51000.000 | 1.000 | 0.400 | 0.050 | 0.350 | 2 | 1.430 | -2.980 |
| PANEL 1 | 3000.000 | 51000.000 | 1.000 | 0.400 | 0.050 | 0.350 | 2 | -1.400 | 4.930 |
| PANEL 1 | 3000.000 | 51000.000 | 1.000 | 0.400 | 0.050 | 0.350 | 2 | 1.430 | -0.040 |
| PANEL 1 | 3000.000 | 51000.000 | 1.000 | 0.400 | 0.050 | 0.350 | 2 | -1.330 | 3.530 |
| PANEL 2 | 3000.000 | 51000.000 | 1.000 | 0.300 | 0.050 | 0.250 | 2 | -0.110 | -3.180 |
| PANEL 2 | 3000.000 | 51000.000 | 1.000 | 0.300 | 0.050 | 0.250 | 2 | 0.050 | 3.540 |
| PANEL 2 | 3000.000 | 51000.000 | 1.000 | 0.300 | 0.050 | 0.250 | 2 | -0.170 | -5.640 |
| PANEL 2 | 3000.000 | 51000.000 | 1.000 | 0.300 | 0.050 | 0.250 | 2 | 0.330 | 8.540 |
| PANEL 2 | 3000.000 | 51000.000 | 1.000 | 0.300 | 0.050 | 0.250 | 2 | 0.720 | -0.930 |
| PANEL 2 | 3000.000 | 51000.000 | 1.000 | 0.300 | 0.050 | 0.250 | 2 | -0.680 | 2.280 |
| PANEL 2 | 3000.000 | 51000.000 | 1.000 | 0.300 | 0.050 | 0.250 | 2 | 0.740 | -1.760 |
| PANEL 2 | 3000.000 | 51000.000 | 1.000 | 0.300 | 0.050 | 0.250 | 2 | -0.980 | -1.470 |

| RESULTADOS Md<=Mlim | | | | | |
|---|---|---|---|---|---|
| $M_{As}$ | $E_{yd}$ | $x_{lim}$ | $M_{lim}$ | x | As |
| -0.408 | 0.002217 | 0.214 | 77.014 | -0.001 | 0.000062 |
| 2.140 | 0.002217 | 0.214 | 77.014 | 0.005 | 0.000027 |
| -0.269 | 0.002217 | 0.214 | 77.014 | -0.001 | 0.000037 |
| 1.860 | 0.002217 | 0.214 | 77.014 | 0.004 | 0.000041 |
| 0.983 | 0.002217 | 0.214 | 77.014 | 0.002 | 0.000131 |
| 2.140 | 0.002217 | 0.214 | 77.014 | 0.005 | 0.000027 |
| 1.424 | 0.002217 | 0.214 | 77.014 | 0.003 | 0.000093 |
| 1.860 | 0.002217 | 0.214 | 77.014 | 0.004 | 0.000041 |
| -0.208 | 0.002217 | 0.153 | 39.293 | -0.001 | 0.000053 |
| 0.404 | 0.002217 | 0.153 | 39.293 | 0.001 | -0.000043 |
| -0.394 | 0.002217 | 0.153 | 39.293 | -0.001 | 0.000092 |
| 1.184 | 0.002217 | 0.153 | 39.293 | 0.004 | -0.000085 |
| 0.627 | 0.002217 | 0.153 | 39.293 | 0.002 | 0.000078 |
| 0.908 | 0.002217 | 0.153 | 39.293 | 0.003 | 0.000031 |
| 0.564 | 0.002217 | 0.153 | 39.293 | 0.002 | 0.000091 |
| 0.833 | 0.002217 | 0.153 | 39.293 | 0.002 | 0.000109 |

| CUANTÍAS MÍNIMAS | | ARMADURA NECESARIA | | ARMADURA DISPUESTA | | | | | |
|---|---|---|---|---|---|---|---|---|---|
| Mecánica | Geométrica | Cara de tracción (cm2) | Cara de compresión (cm2) | NÚMERO | DIÁMETRO | ÁREA ARMADURA DE TRACCIÓN DISPUESTA | NÚMERO | DIÁMETRO | ÁREA ARMADURA DE COMPRESIÓN DISPUESTA |
| 0.000752 | 0.000360 | 7.52 | 7.52 | 5 | 16 | 10.053 | 5 | 16 | 10.053 |
| 0.000752 | 0.000360 | 7.52 | 7.52 | 5 | 16 | 10.053 | 5 | 16 | 10.053 |
| 0.000752 | 0.000360 | 7.52 | 7.52 | 5 | 16 | 10.053 | 5 | 16 | 10.053 |
| 0.000752 | 0.000360 | 7.52 | 7.52 | 5 | 16 | 10.053 | 5 | 16 | 10.053 |
| 0.000752 | 0.000360 | 7.52 | 7.52 | 5 | 16 | 10.053 | 5 | 16 | 10.053 |
| 0.000752 | 0.000360 | 7.52 | 7.52 | 5 | 16 | 10.053 | 5 | 16 | 10.053 |
| 0.000752 | 0.000360 | 7.52 | 7.52 | 5 | 16 | 10.053 | 5 | 16 | 10.053 |
| 0.000752 | 0.000360 | 7.52 | 7.52 | 5 | 16 | 10.053 | 5 | 16 | 10.053 |
| 0.000564 | 0.000270 | 5.64 | 5.64 | 5 | 12 | 5.655 | 5 | 12 | 5.655 |
| 0.000564 | 0.000270 | 5.64 | 5.64 | 5 | 12 | 5.655 | 5 | 12 | 5.655 |
| 0.000564 | 0.000270 | 5.64 | 5.64 | 5 | 12 | 5.655 | 5 | 12 | 5.655 |
| 0.000564 | 0.000270 | 5.64 | 5.64 | 5 | 12 | 5.655 | 5 | 12 | 5.655 |
| 0.000564 | 0.000270 | 5.64 | 5.64 | 5 | 12 | 5.655 | 5 | 12 | 5.655 |
| 0.000564 | 0.000270 | 5.64 | 5.64 | 5 | 12 | 5.655 | 5 | 12 | 5.655 |
| 0.000564 | 0.000270 | 5.64 | 5.64 | 5 | 12 | 5.655 | 5 | 12 | 5.655 |
| 0.000564 | 0.000270 | 5.64 | 5.64 | 5 | 12 | 5.655 | 5 | 12 | 5.655 |

## 12.2. AGOTAMIENTO POR ESFUERZO CORTANTE

| REFERENCIA SECCIÓN | MATERIALES | | GEOMETRÍA DE LA SECCIÓN | | | | | SOLICITACIONES | |
|---|---|---|---|---|---|---|---|---|---|
| | Resistencia del hormigón (T/m2) | Resistencia del acero (T/m2) | Ancho (m) | Anchura neta mínima del elemento (m) | Canto (m) | Recubrimiento (m) | Canto útil (m) | Cortante (T) | Axil (T) Compresión (+) |
| PANEL 1 | 3000.000 | 51000.000 | 1.000 | 1.000 | 0.400 | 0.050 | 0.350 | 4.110 | 4.930 |
| PANEL 1 | 3000.000 | 51000.000 | 1.000 | 1.000 | 0.400 | 0.050 | 0.350 | 4.110 | 4.930 |
| PANEL 1 | 3000.000 | 51000.000 | 1.000 | 1.000 | 0.400 | 0.050 | 0.350 | 4.100 | 3.530 |
| PANEL 1 | 3000.000 | 51000.000 | 1.000 | 1.000 | 0.400 | 0.050 | 0.350 | 3.410 | 1.070 |
| PANEL 2 | 3000.000 | 51000.000 | 1.000 | 1.000 | 0.300 | 0.050 | 0.250 | 2.110 | 0.680 |
| PANEL 2 | 3000.000 | 51000.000 | 1.000 | 1.000 | 0.300 | 0.050 | 0.250 | 2.110 | 0.680 |
| PANEL 2 | 3000.000 | 51000.000 | 1.000 | 1.000 | 0.300 | 0.050 | 0.250 | 3.040 | -1.470 |
| PANEL 2 | 3000.000 | 51000.000 | 1.000 | 1.000 | 0.300 | 0.050 | 0.250 | 1.810 | -1.600 |

| Vu1 (Agotamiento por compresión oblicua en el alma) | | | | Vu2 (Agotamiento por tracción en el alma) Sin armadura de cortante | | | Vu2 (Agotamiento por tracción en el alma) Con armadura de cortante | |
|---|---|---|---|---|---|---|---|---|
| K | cotg(Alfa) | cotg(Teta) | Vu1 | Cuantía geométrica de armadura longitudinal traccionada | Epsilon | Vu2 (T) | Vcu (T) (Contribución del hormigón) | Área necesaria de cortante (cm2) $A_{90}$ |
| 1.656 | 0.000000 | 1.000 | 210.000 | 0.002 | 1.756 | 14.370 | 11.436 | 0.00 |
| 1.656 | 0.000000 | 1.000 | 210.000 | 0.002 | 1.756 | 14.370 | 11.436 | 0.00 |
| 1.659 | 0.000000 | 1.000 | 210.000 | 0.002 | 1.756 | 14.186 | 11.436 | 0.00 |
| 1.664 | 0.000000 | 1.000 | 210.000 | 0.002 | 1.756 | 13.863 | 11.436 | 0.00 |
| 1.665 | 0.000000 | 1.000 | 150.000 | 0.002 | 1.894 | 10.834 | 8.957 | 0.00 |
| 1.665 | 0.000000 | 1.000 | 150.000 | 0.002 | 1.894 | 10.834 | 8.957 | 0.00 |
| 1.671 | 0.000000 | 1.000 | 150.000 | 0.002 | 1.894 | 10.565 | 8.957 | 0.00 |
| 1.671 | 0.000000 | 1.000 | 150.000 | 0.002 | 1.894 | 10.549 | 8.957 | 0.00 |

## 12.3. ESTADO LÍMITE DE FISURACIÓN

| | | | MATERIALES | | | | GEOMÉTRIA | | | As Tracc. | | As Comp. | | | | Esf. Caracterist. | |
|---|---|---|---|---|---|---|---|---|---|---|---|---|---|---|---|---|---|
| Tipo Amb. | Wk,adm (mm) | Viga Losa | fck (Kg/cm2) | γc | fyk (Kg/cm2) | γs | Ancho b(cm) | Canto h(cm) | Recu (cm) | ϕ (mm) | nºϕ | ϕ (mm) | nºϕ | k1 | k2 | Nk (T) | Mk (mT) |
| Qb | 0.10 | L | 300 | 1.5 | 5100 | 1.15 | 100 | 40 | 5 | 16 | 5 | 16 | 5 | 0.165 | 0.5 | 2.29 | 0.08 |
| Qb | 0.10 | L | 300 | 1.5 | 5100 | 1.15 | 100 | 40 | 5 | 16 | 5 | 16 | 5 | 0.125 | 0.5 | 1.32 | 0.14 |
| Qb | 0.10 | L | 300 | 1.5 | 5100 | 1.15 | 100 | 40 | 5 | 16 | 5 | 16 | 5 | 0.125 | 0.5 | 1.83 | 0.95 |
| Qb | 0.10 | L | 300 | 1.5 | 5100 | 1.15 | 100 | 40 | 5 | 16 | 5 | 16 | 5 | 0.125 | 0.5 | 0 | 0.94 |

| Sm (cm) | Nfis (T) | Mfis (mT) | σsr (Kg/cm2) | σs (Kg/cm2) | εsm | wk (mm) | Comentario |
|---|---|---|---|---|---|---|---|
| 24.50 | 82.32 | 2.88 | 5101.59 | 141.92 | 0.00003 | 0.011 | Cumple |
| 21.96 | 48.63 | 5.16 | 4218.34 | 4.90 | 0.00000 | 0.000 | Cumple |
| 21.96 | 14.40 | 7.47 | 3079.03 | 20.71 | 0.00000 | 0.001 | Cumple |
| 21.96 | 0.00 | 8.45 | 2624.31 | 17.31 | 0.00000 | 0.001 | Cumple |

# ANEJO DE CÁLCULO

# 9.- ARQUETA DE RECIRCULACIÓN DE FANGOS

# □NDICE

1. INTRODUCCI□N Y OB□ETO 1

2. AR□UETA DE RECIRCULACI□N DE LA EDAR DE ONZONILLA 1

2.1 Descripción del elemento 1

2.2 Condiciones de cimentación 3

2.3 Durabilidad. Materiales y coeficientes de seguridad 3

2.4 □ustificación de las acciones y coeficientes de seguridad 4

2.5 Modelo de cálculo adoptado 6

2.6 Dimensionamiento de alzados 8

2.6.1 Pared perimetral 1 9

2.6.2 Pared perimetral 2 11

2.6.3 Pared perimetral 3 12

2.6.4 Pared perimetral 4 13

2.6.5 Pared perimetral 5 14

2.6.6 Pared perimetral 6 15

2.6.7 Pared perimetral 7 16

2.6.8 Comprobación de cortante 18

2.7 Dimensionamiento de solera 18

# 1. INTRODUCCIÓN Y OBJETO

El objetivo de este documento es dimensionar la Arqueta de Recirculación de la EDAR de Mombeltrán, de acuerdo con la geometría proyectada.

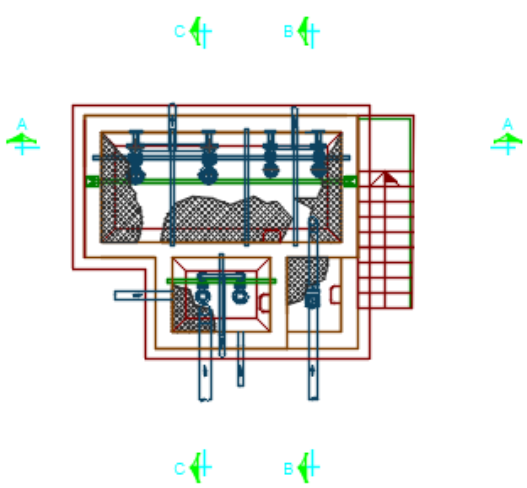
# 2. ARQUETA DE RECIRCULACIÓN DE LA EDAR DE ONZONILLA

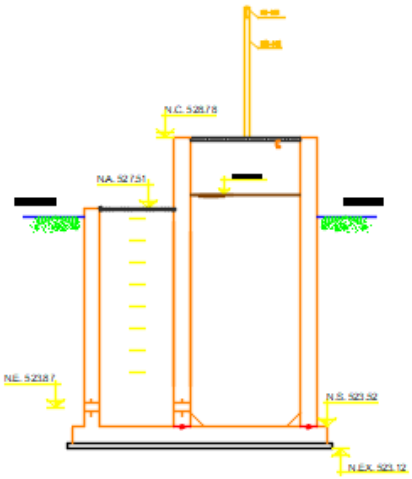
## 2.1 Descripción del elemento

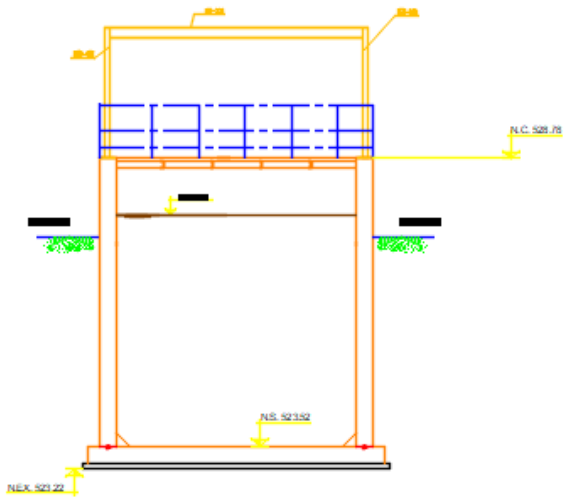
El conjunto formado por la arqueta de recirculación está compuesto por:

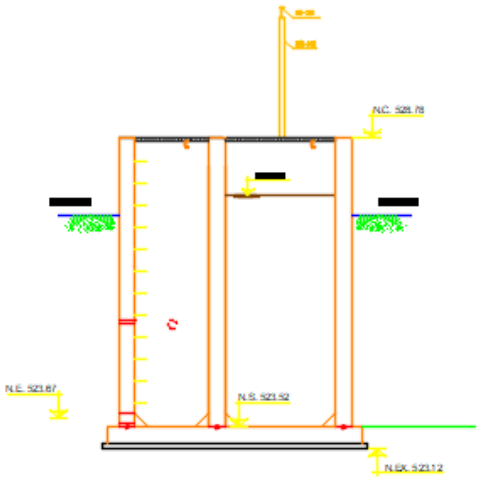
- Arqueta de purga y recirculación de fangos: arqueta de 4.40 x 2.00 m de dimensiones interiores en planta y 5.26 m de altura de pared. Las principales variables que definen el elemento son:
    - Cota superior de la solera: 523.52 m
    - Cota de coronación de los muros: 528.78 m
    - Cota de la lámina de agua: 527.83 m
    - Cota de urbanización: 527.36 m
    - Altura de muros: 5.26 m
    - Altura de la lámina de agua: 4.31 m
    - Altura de tierras sobre arranque: 3.84 m
- Arqueta de bombeo de vaciados: arqueta de 1.80 x 1.35 m de dimensiones interiores en planta y 5.26 m de altura de pared. Las principales variables que definen el elemento son:
    - Cota superior de la solera: 523.52 m
    - Cota de coronación de los muros: 528.78 m
    - Cota de la lámina de agua: 527.83 m
    - Cota de urbanización: 527.36 m
    - Altura de muros: 5.26 m
    - Altura de la lámina de agua: 4.31 m
    - Altura de tierras sobre arranque: 3.84 m

- Cámara de llaves: arqueta de 1.00 x 1.35 m de dimensiones interiores en planta y 2.55 m de altura de pared. Las principales variables que definen el elemento son:
    - Cota superior de la solera: 523.52 m
    - Cota de coronación de los muros: 527.51 m
    - Cota de la lámina de agua: Cámara seca
    - Cota de urbanización: 527.36 m
    - Altura de muros: 3.99 m
    - Altura de la lámina de agua: - - - m
    - Altura de tierras sobre arranque: 3.84 m









## 2.2 Condiciones de cimentación

La cimentación, de acuerdo con el informe geotécnico, es directa en el terreno mediante una solera de 0.30 m de espesor, con tacón de 20 cm en el lado tierras para distribuir las tensiones sobre el terreno. Se considera una tensión media admisible de 2.00 kg/cm2 y un módulo de balasto de K30 = 8 kp/cm3.

## 2.3 Durabilidad. Materiales y coeficientes de seguridad

Los parámetros empleados en el cálculo son:

- Vida útil: 50 años
- Hormigón: HA-30/B/20/IV+□b
- Acero: B 500 S
- Recubrimiento de las armaduras: 45 mm
- Abertura máxima de fisura interior: 0.10 mm
- Abertura máxima de fisura exterior: 0.20 mm
- Coeficiente de minoración del hormigón: 1.50
- Coeficiente de minoración del acero: 1.15

Vida útil 50 años

| Tipo de estructura | | Clase Exposición General | Clase Exposición Específ. | fck Mínimo | Max. a/c | Mín. Cem (kg/m3) | Recub. (mm) | Wk max (mm) |
|---|---|---|---|---|---|---|---|---|
| Estructura enterrada en contacto con agua residual | | IV | Qb | 30 | 0.50 | 350 | 45 | 0.10 |
| Agresividad del suelo | No | IIa | - - | 25 | 0.60 | 275 | 30 | 0.30 |
| Agresividad del agua freática | No | IIa | - - | 25 | 0.60 | 275 | 30 | 0.30 |

Luego los valores adoptados en proyecto son:

| | | |
|---|---|---|
| Recubrimiento de las armaduras, r (mm): | 45 | mm |
| Abertura de fisura sin contacto con tierras: | 0.10 | mm |
| Abertura de fisura en contacto con tierras: | 0.30 | mm |
| Resistencia mínima del hormigón (N/mm2): | 30 | N/mm2 |
| Máxima relación agua/cemento (a/c): | 0.50 | |
| Mínimo contenido de cemento (kg/m3): | 350 | kg/m3 |

1.3.- CARACTERISTICAS DE LOS MATERIALES

| | | | | | |
|---|---|---|---|---|---|
| Hormigón: | fck (N/mm2) = | 30 *(Cumple)* | Acero: | fyk (N/mm2) = | 500 |
| | γ c = | 1.50 | | γ s = | 1.15 |
| | fcd (N/mm2) = | 20.00 | | fyd (N/mm2) = | 434.78 |
| | fct,m (N/mm2) = | 2.90 | | Es (N/mm2) = | 200 000 |
| | fct,k (N/mm2) = | 2.03 | | | |
| | fct,d (N/mm2) = | 1.35 | | n = | 7.00 |
| | Ec (N/mm2) = | 28 577 | | | |
| | Densidad γ c (kN/m3) = | 25.00 | | | |

Tipificación: Hormigón: HA-30/B/20/IV+Qb
Acero: B-500 S

## 2.4 Justificación de las acciones y coeficientes de seguridad

Las acciones consideradas en el cálculo e introducidas en los modelos son:

- Peso propio: generado directamente por el programa, en función del espesor de los elementos, a partir de una densidad del hormigón armado de 25 kN/m3.
- Empuje de agua: generado por una lámina de 4,31 m, desde el arranque del muro. Se generan dos hipótesis:
  - Agua 1: empuje del agua en la arqueta de purga y recirculación.
  - Agua 2: empuje del agua en la arqueta de bombeo de vaciados.
- Empuje de tierras: Los parámetros adoptados son:
  - Densidad de tierras: 20 kN/m3
  - Coeficiente de empuje: 0.50
  - Altura de tierras: 3.84 m
- Sobrecarga en el terreno: 10,00 kN/m2

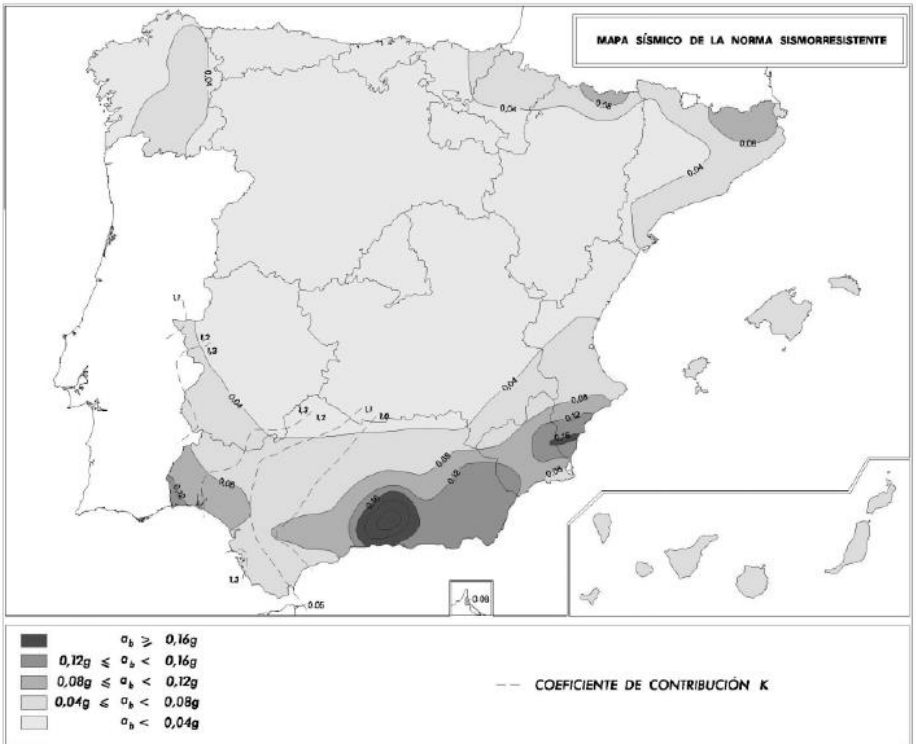
Los coeficientes parciales de seguridad para las acciones, aplicables para la evaluación de los estados límite últimos son:

- Coeficiente de mayoración de acciones permanentes: 1.35
- Coeficiente de mayoración del agua: 1.20
- Coeficiente de mayoración de acciones variables: 1.50

Los coeficientes parciales de seguridad para las acciones, aplicables para la evaluación de los estados límite de servicio son:

- Coeficiente de mayoración de acciones permanentes: 1.00
- Coeficiente de mayoración del agua: 1.00
- Coeficiente de mayoración de acciones variables: 1.00

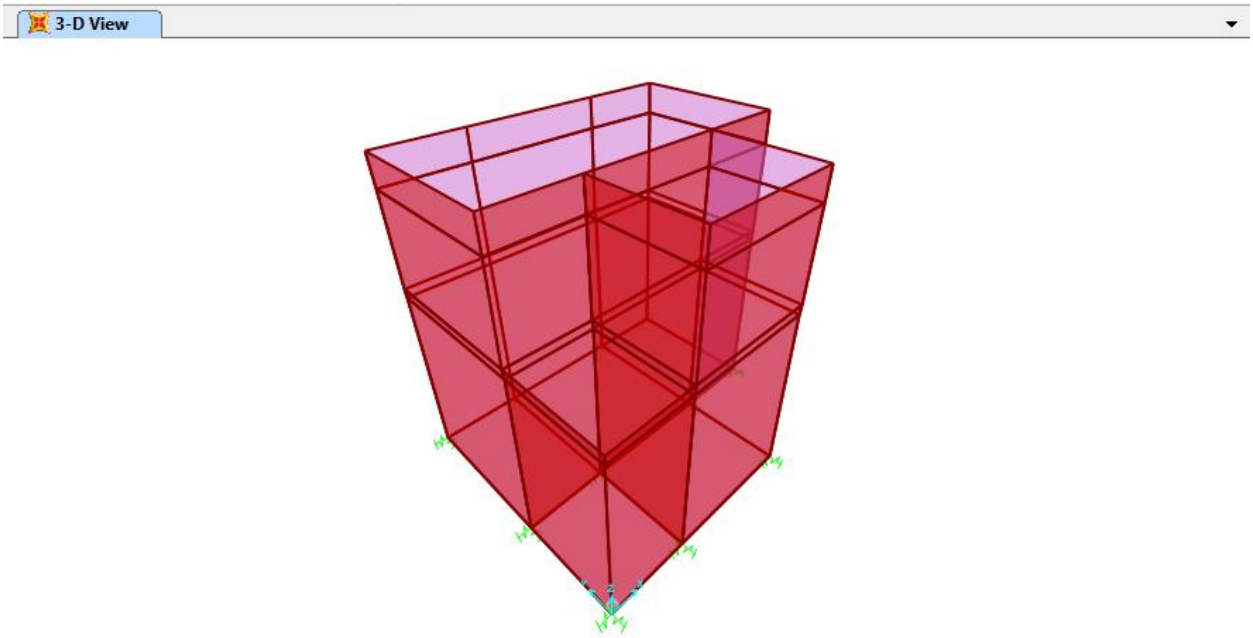
Según el mapa sísmico de la norma la obra se encuentra en una zona con aceleración sísmica básica ab inferior a 0.04g, siendo g la aceleración de la gravedad, por lo que La Norma de Construcción Sismorresistente NCSE-02 no es de aplicación.



## 2.5 Modelo de cálculo adoptado

Se realiza un modelo 3D de la estructura, con el programa de cálculo SAP2000, discretizando la estructura mediante elementos tipo Shell, de acuerdo con la geometría proyectada.

El modelo generado puede verse en la figura adjunta.




Para el cálculo de esfuerzos, como condiciones de contorno se imponen las siguientes:

- Se disponen muelles de constante elástica 20 000 kN/m$^2$, 2 000 T/m$^2$.

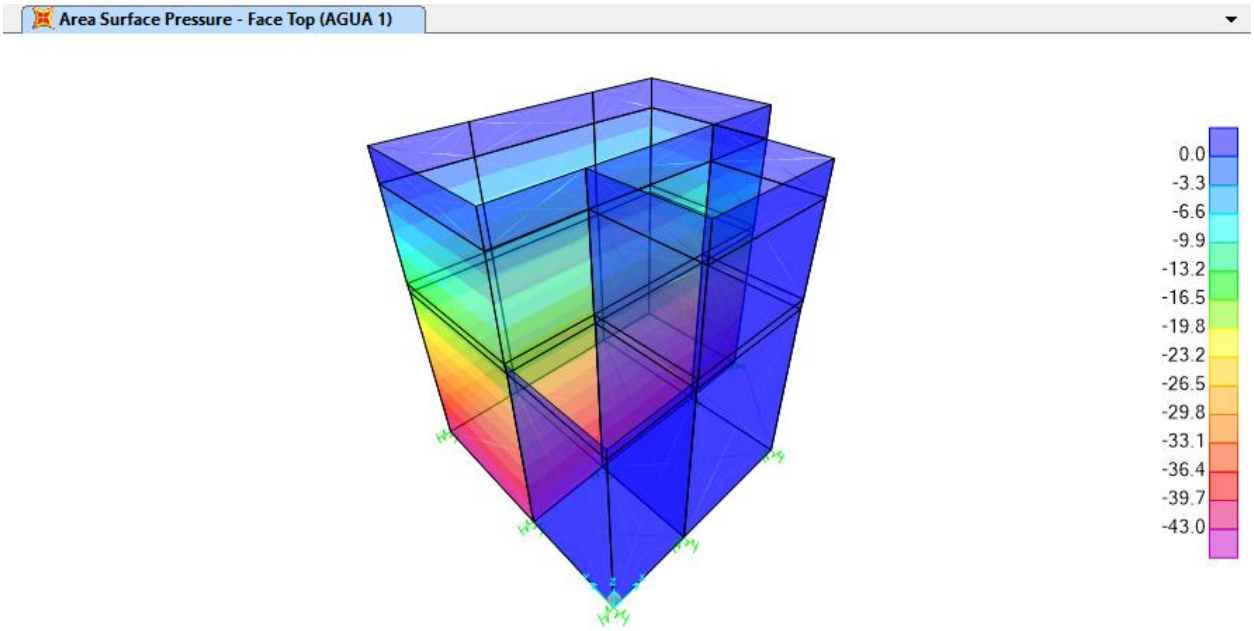
Se plantea la envolvente de esfuerzos bajo las siguientes hipótesis:

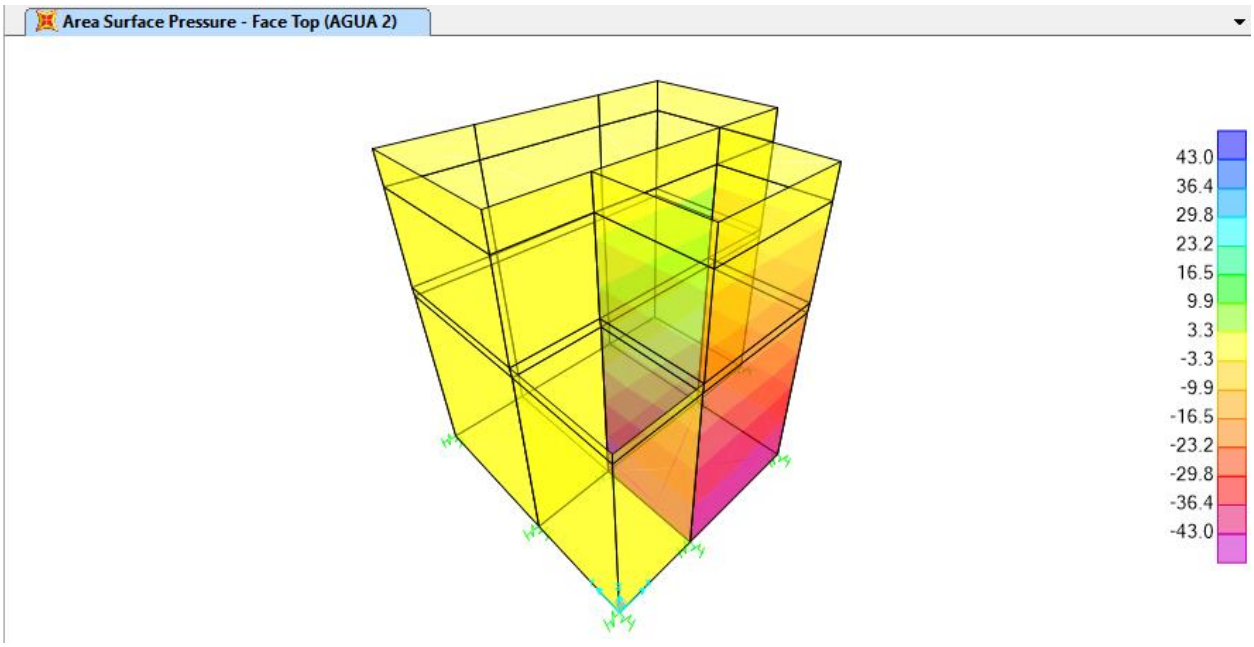
- Depósito vació sometido al empuje de tierras.
- Depósito lleno ó semilleno, de acuerdo con la envolvente de situaciones posibles, sin tierras en el trasdós.

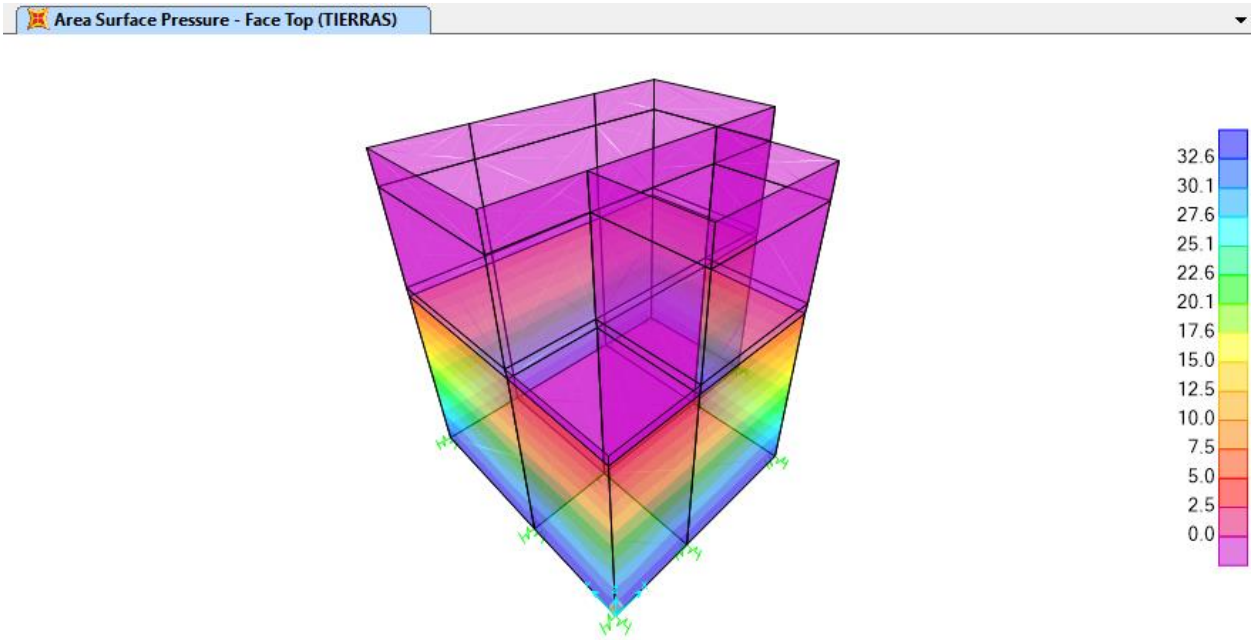
Se obtienen los esfuerzos para cada una de las hipótesis definidas anteriormente y se suman los efectos favorables debidos a cada una de ellas con el fin de obtener el esfuerzo pésimo.

Para el cálculo del estado límite de fisuración, combinación cuasipermanente, el agua se considera como acción permanente, es decir, no se ve afectado por ningún coeficiente de combinación.

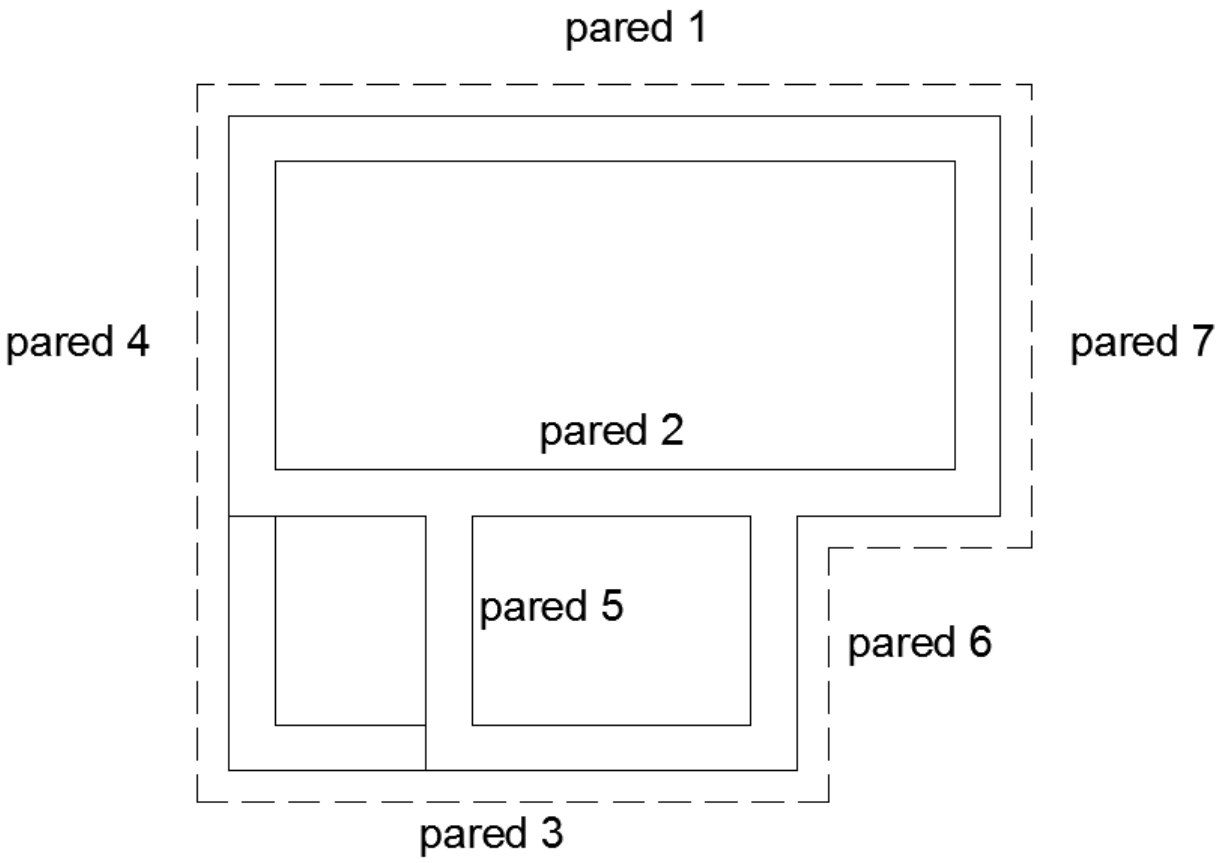
A continuación se adjuntan los gráficos de cada una de las hipótesis introducidas (a excepción del peso propio que lo genera directamente el programa):






## 2.6 Dimensionamiento de alzados



### 2.6.1 Pared perimetral 1

Si adoptamos una pared de 30 cm de espesor:

| | | | | | | | |
|---|---|---|---|---|---|---|---|
| Hormigón | Fck | 30 | N/mm2 | Sección | Ancho b | 100 | cm |
| | Fcd | 20.00 | N/mm2 | | Canto h | 30 | cm |
| Acero | Fyk | 500 | N/mm2 | | Recubrimiento | 4.50 | cm |
| | Fyd | 434.8 | N/mm2 | | Canto útil d | 25.5 | cm |

Coef seg mayoración acciones 1.35

**ARMADURA VERTICAL (ASOCIADA A M22)**

| | ϕ (mm | Sep(cm) | As(cm2) | Cuantía dispuesta |
|---|---|---|---|---|
| Armadura base dispuesta | 12 | 20.00 | 5.65 | 1.88 ‰ |

| | | | |
|---|---|---|---|
| Momento de fisuración Mfis | 43.45 | kNm | |
| Momento último Mu | 61.22 | kNm | |
| Cuantía geom.mínima en muros | 0.90 | ‰ | |
| Cuantía mínima geométrica | 2.70 | cm2/ml | **OK Armadura mínima menor que la dispuesta** |
| Cuantía mínima mecánica | 5.52 | cm2/ml | |

Esfuerzo para el que la armadura base cumple cuantía mínima mecánica

| | | | |
|---|---|---|---|
| Mk | 43.00 | kNm | **OK Momento menor que Mfis** |
| Md | 58.05 | kNm | **OK Momento menor que Mu** |

| | | | |
|---|---|---|---|
| Área necesaria de cálculo | 5.54 | cm2/ml | |
| Coeficiente de reducción | 1.00 | cm2/ml | |
| C mínima mecánica reducida | 5.53 | cm2/ml | **OK Armadura mínima menor que la dispuesta** |

Luego el valor límite de los gráficos será: 43.00 kNm

**ARMADURA HORIZONTAL (ASOCIADA A M11)**

| | ϕ (mm | Sep(cm) | As(cm2) | Cuantía dispuesta |
|---|---|---|---|---|
| Armadura base dispuesta | 12 | 20.00 | 5.65 | 1.88 ‰ |

| | | | |
|---|---|---|---|
| Momento de fisuración Mfis | 43.45 | kNm | |
| Momento último Mu | 62.49 | kNm | |
| Cuantía geom.mínima en muros | 1.60 | ‰ | |
| Cuantía mínima geométrica | 4.80 | cm2/ml | **OK Armadura mínima menor que la dispuesta** |
| Cuantía mínima mecánica | 5.52 | cm2/ml | |

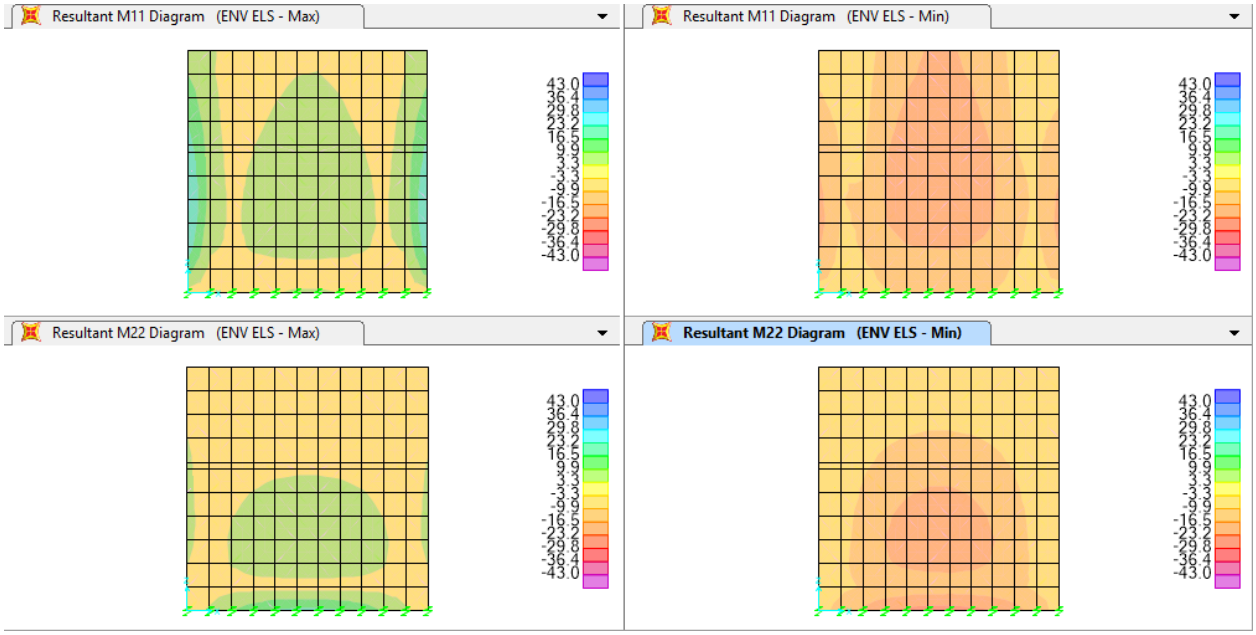
Esfuerzo para el que la armadura base cumple cuantía mínima mecánica

| | | | |
|---|---|---|---|
| Mk | 43.00 | kNm | **OK Momento menor que Mfis** |
| Md | 58.05 | kNm | **OK Momento menor que Mu** |

| | | | |
|---|---|---|---|
| Área necesaria de cálculo | 5.54 | cm2/ml | |
| Coeficiente de reducción | 1.00 | cm2/ml | |
| C mínima mecánica reducida | 5.53 | cm2/ml | **OK Armadura mínima menor que la dispuesta** |

Luego el valor límite de los gráficos será: 43.00 kNm

Si establecemos en los gráficos proporcionados por el programa el valor de 43 kNm como límite del momento M22 y de M11, veremos cuáles son las zonas que necesitan refuerzo de armado.




Para interpretar los gráficos debe considerarse:

- M11. Momento asociado a la armadura horizontal.
    - Positivo: armadura cara interior
    - Negativo: armadura cara exterior
- M22. Momento asociado a la armadura vertical.
    - Positivo: armadura cara interior
    - Negativo: armadura cara exterior

Vemos que el valor límite no se sobrepasa en ningún punto, luego no es necesario disponer refuerzos.

Resumen de armado a disponer:

- Armadura vertical:
    - Cara interior:
        - Esperas: Se disponen redondos de 12 cada 20 cm, con 50 cm sobre la solera.
        - Resto: 12 cada 20 cm.

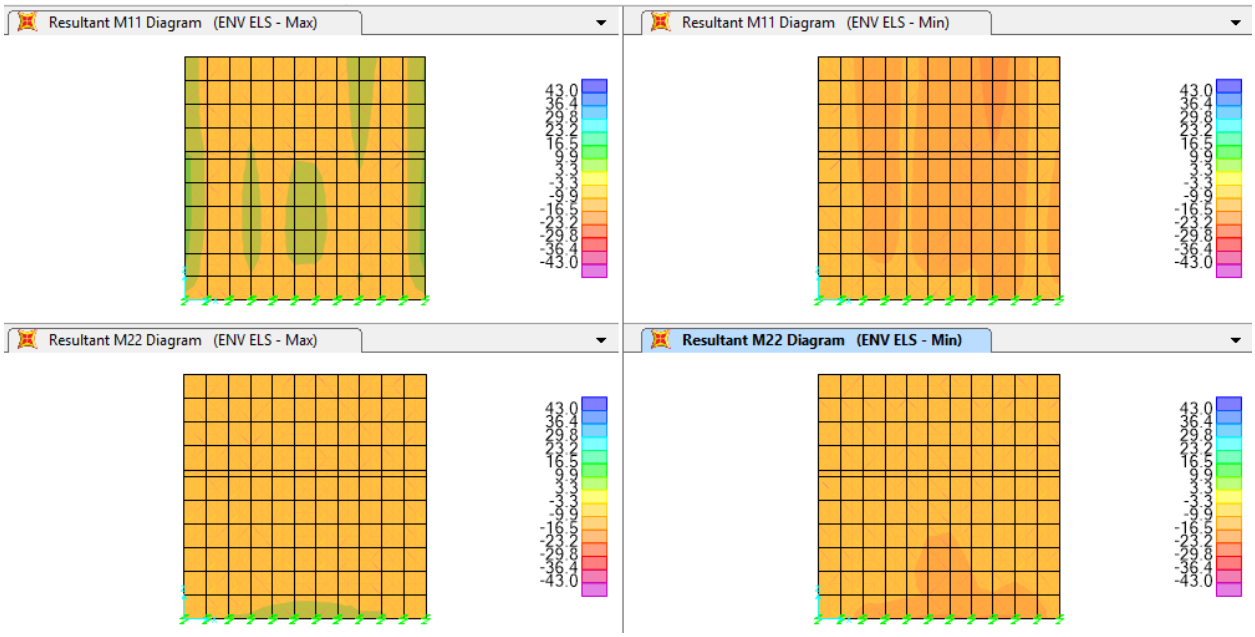
- Cara exterior:
  - Esperas: Se disponen redondos de 12 cada 20 cm, con 50 cm sobre la solera.
  - Resto: 12 cada 20 cm.

- Armadura horizontal:
  - Cara interior:
    - Todo: 12 cada 20 cm.
  - Cara exterior:
    - Todo: 12 cada 20 cm.

### 2.6.2 Pared perimetral 2

Si adoptamos una pared de 30 cm de espesor:

Establecemos el mismo límite que en el caso anterior.




Vemos que el valor límite no se sobrepasa en ningún punto, luego no es necesario disponer refuerzos.

Resumen de armado a disponer:

- Armadura vertical:
  - Cara interior:
    - Esperas: Se disponen redondos de 12 cada 20 cm, con 50 cm sobre la solera.

- Resto: 12 cada 20 cm.

- Cara exterior:

- Esperas: Se disponen redondos de 12 cada 20 cm, con 50 cm sobre la solera.

- Resto: 12 cada 20 cm.

- Armadura horizontal:

- Cara interior:

- Todo: 12 cada 20 cm.

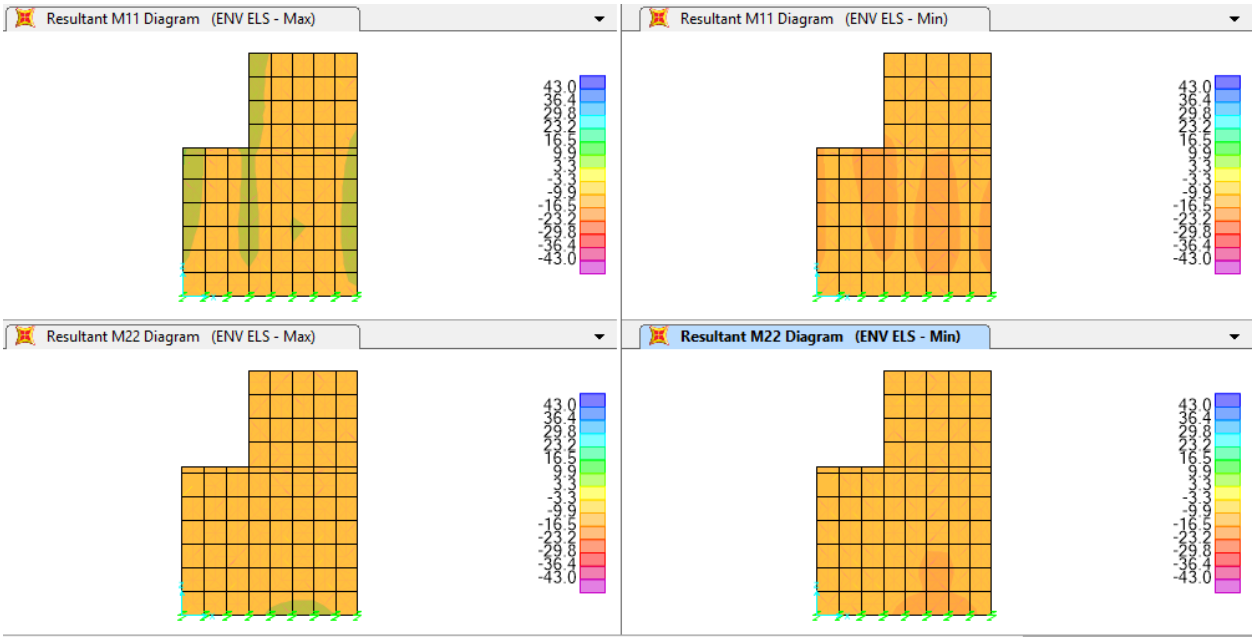
- Cara exterior:

- Todo: 12 cada 20 cm.

### 2.6.3 Pared perimetral 3

Si adoptamos una pared de 30 cm de espesor:

Establecemos el mismo límite que en el caso anterior.




Vemos que el valor límite no se sobrepasa en ningún punto, luego no es necesario disponer refuerzos.

Resumen de armado a disponer:

- Armadura vertical:

- Cara interior:

- Esperas: Se disponen redondos de 12 cada 20 cm, con 50 cm sobre la solera.
- Resto: 12 cada 20 cm.

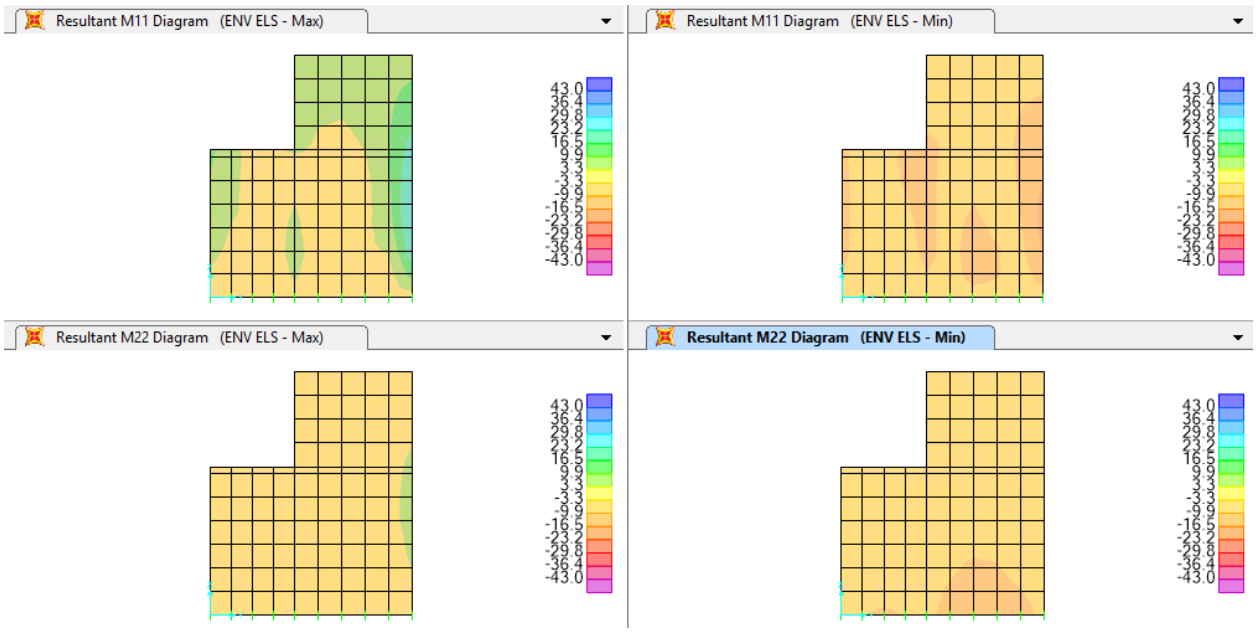
- Cara exterior:
  - Esperas: Se disponen redondos de 12 cada 20 cm, con 50 cm sobre la solera.
  - Resto: 12 cada 20 cm.

- Armadura horizontal:
  - Cara interior:
    - Todo: 12 cada 20 cm.
  - Cara exterior:
    - Todo: 12 cada 20 cm.

### 2.6.4 Pared perimetral 4

Si adoptamos una pared de 30 cm de espesor:

Establecemos el mismo límite que en el caso anterior.




Vemos que el valor límite no se sobrepasa en ningún punto, luego no es necesario disponer refuerzos.

Resumen de armado a disponer:

- Armadura vertical:

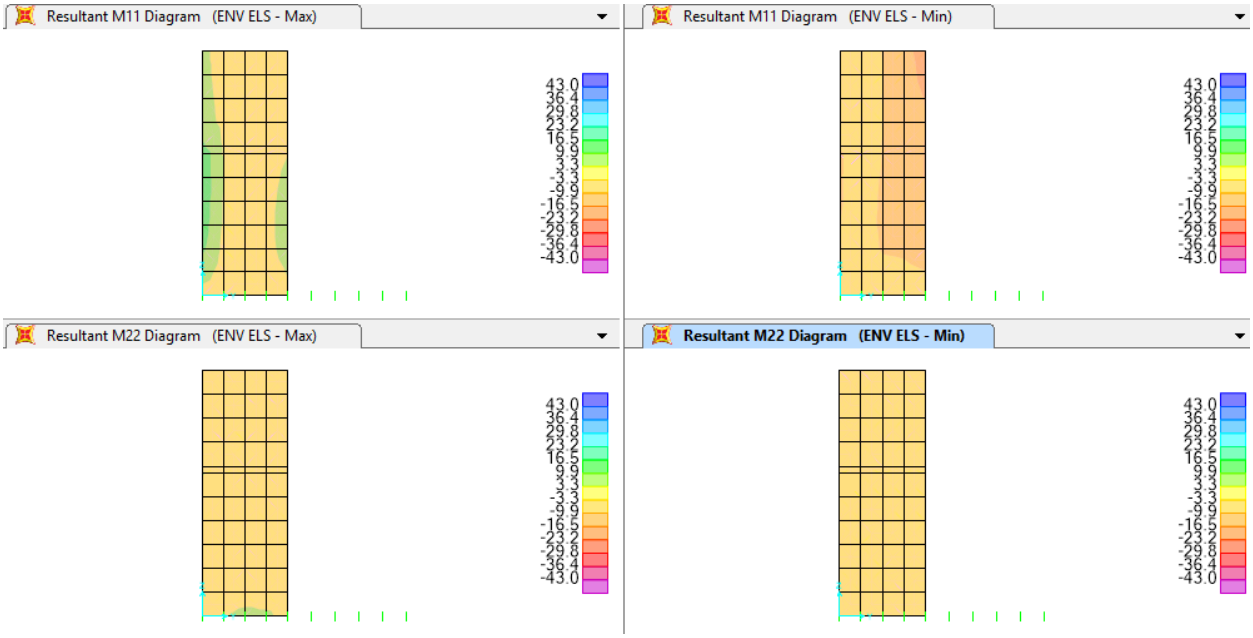
- Cara interior:
  - Esperas: Se disponen redondos de 12 cada 20 cm, con 50 cm sobre la solera.
  - Resto: 12 cada 20 cm.
- Cara exterior:
  - Esperas: Se disponen redondos de 12 cada 20 cm, con 50 cm sobre la solera.
  - Resto: 12 cada 20 cm.

- Armadura horizontal:
  - Cara interior:
    - Todo: 12 cada 20 cm.
  - Cara exterior:
    - Todo: 12 cada 20 cm.

### 2.6.5 Pared perimetral 5

Si adoptamos una pared de 30 cm de espesor:

Establecemos el mismo límite que en el caso anterior.




Vemos que el valor límite no se sobrepasa en ningún punto, luego no es necesario disponer refuerzos.

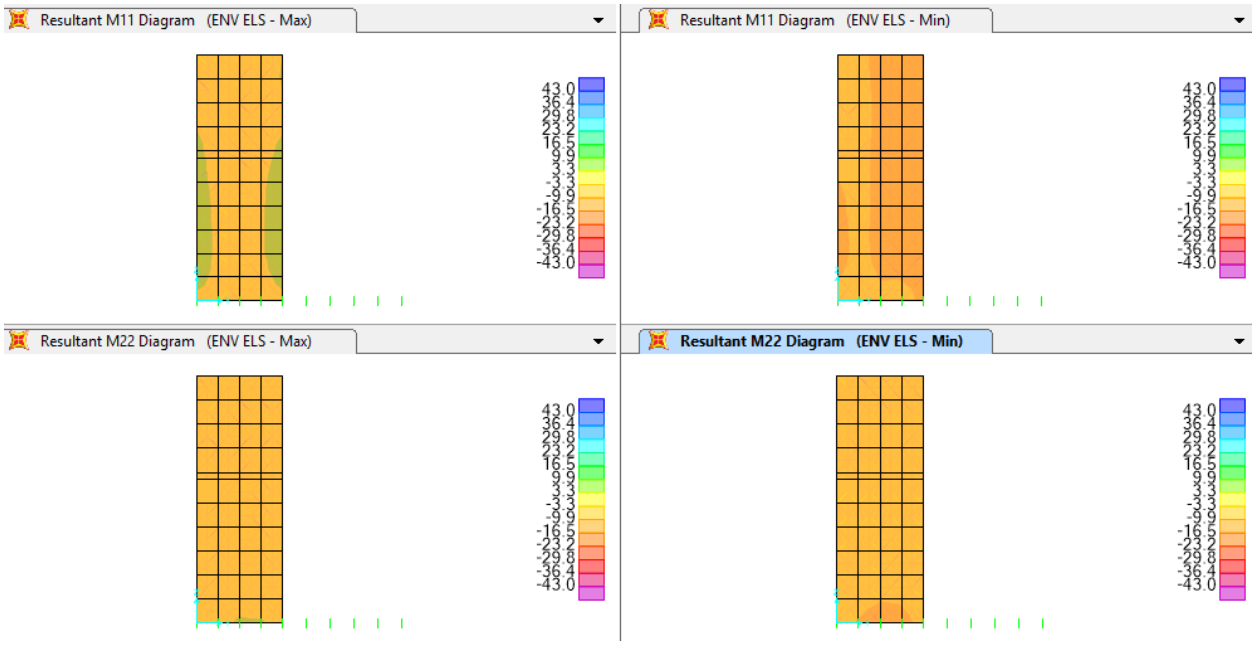
Resumen de armado a disponer:

- Armadura vertical:
  - Cara interior:
    - Esperas: Se disponen redondos de 12 cada 20 cm, con 50 cm sobre la solera.
    - Resto: 12 cada 20 cm.
  - Cara exterior:
    - Esperas: Se disponen redondos de 12 cada 20 cm, con 50 cm sobre la solera.
    - Resto: 12 cada 20 cm.
- Armadura horizontal:
  - Cara interior:
    - Todo: 12 cada 20 cm.
  - Cara exterior:
    - Todo: 12 cada 20 cm.

### 2.6.6 Pared perimetral 6

Si adoptamos una pared de 30 cm de espesor:

Establecemos el mismo límite que en el caso anterior.



Vemos que el valor límite no se sobrepasa en ningún punto, luego no es necesario disponer refuerzos.

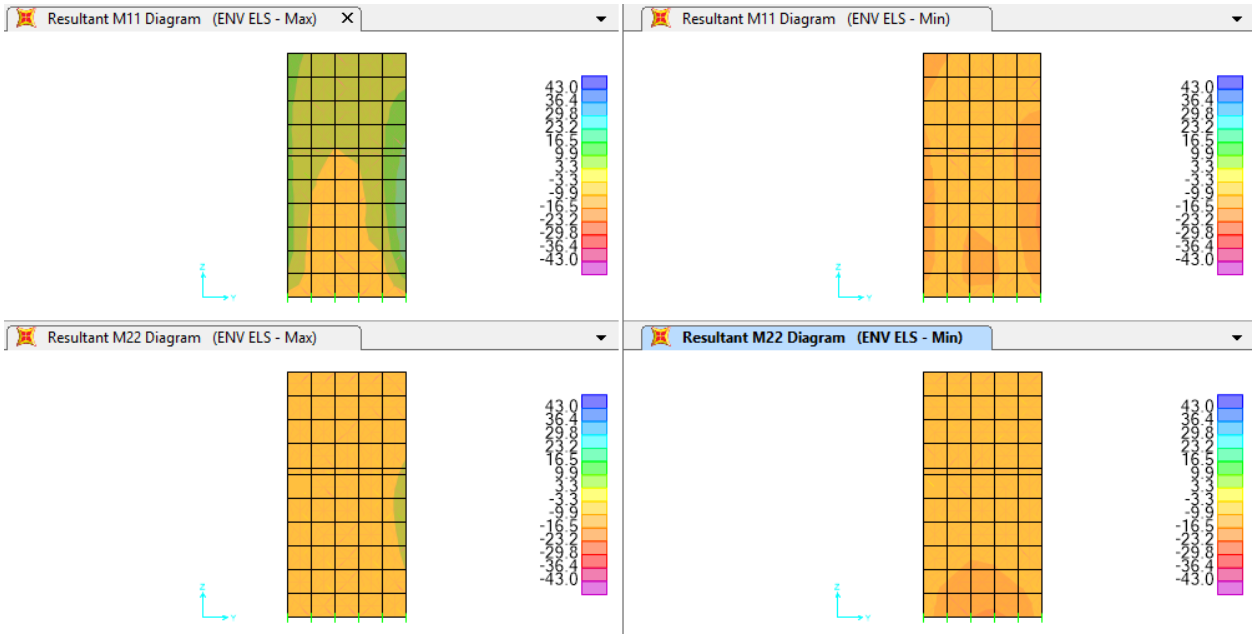
Resumen de armado a disponer:

- Armadura vertical:
    - Cara interior:
        - Esperas: Se disponen redondos de 12 cada 20 cm, con 50 cm sobre la solera.
        - Resto: 12 cada 20 cm.
    - Cara exterior:
        - Esperas: Se disponen redondos de 12 cada 20 cm, con 50 cm sobre la solera.
        - Resto: 12 cada 20 cm.
- Armadura horizontal:
    - Cara interior:
        - Todo: 12 cada 20 cm.
    - Cara exterior:
        - Todo: 12 cada 20 cm.

### 2.6.7 Pared perimetral 7

Si adoptamos una pared de 30 cm de espesor:

Establecemos el mismo límite que en el caso anterior.




Vemos que el valor límite no se sobrepasa en ningún punto, luego no es necesario disponer refuerzos.

Resumen de armado a disponer:

- Armadura vertical:
  - Cara interior:
    - Esperas: Se disponen redondos de 12 cada 20 cm, con 50 cm sobre la solera.
    - Resto: 12 cada 20 cm.
  - Cara exterior:
    - Esperas: Se disponen redondos de 12 cada 20 cm, con 50 cm sobre la solera.
    - Resto: 12 cada 20 cm.
- Armadura horizontal:
  - Cara interior:
    - Todo: 12 cada 20 cm.
  - Cara exterior:
    - Todo: 12 cada 20 cm.

### 2.6.8 Comprobación de cortante

El cortante máximo para una lámina de agua de 4.30 m es:

Vd = 1.2*0.5*43*4.30 = 111 kN

Una sección de 30 cm tiene un cortante de agotamiento de 168 kN, luego el ELU se verifica en todas las secciones.

## 2.7 Dimensionamiento de solera

Si adoptamos 30 cm de espesor:

Establecemos el mismo límite que en el caso anterior.




Vemos que el valor límite no se sobrepasa en ningún punto, luego no es necesario disponer refuerzos.

Para interpretar los gráficos debe considerarse:

- M11. Momento asociado a la armadura horizontal, paralela al lado largo.
    - Positivo: armadura cara interior
    - Negativo: armadura cara exterior
- M22. Momento asociado a la armadura vertical, paralela al lado corto.
    - Positivo: armadura cara interior
    - Negativo: armadura cara exterior

Resumen de armado a disponer:

- Armadura paralela al lado corto:
    - Cara interior:
        - Todo: Se disponen redondos de 12 cada 20 cm.
    - Cara exterior:
        - Todo: Se disponen redondos de 12 cada 20 cm.
- Armadura paralela al lado largo:
    - Cara interior:
        - Todo: Se disponen redondos de 12 cada 20 cm.
    - Cara exterior:
        - Todo: Se disponen redondos de 12 cada 20 cm.

# ANEJO DE CÁLCULO

# 10.- ESPESADOR DE GRAVEDAD

# INDICE

**1. INTRODUCCIÓN. ..... 1**

**2. ACCIONES A CONSIDERAR ..... 2**

2.1 PESO PROPIO ..... 2

2.2 PRESION DE AGUA ..... 2

2.3 PRESION DE TIERRAS ..... 2

2.4 SOBRECARGAS DE USO ADYACENTES. ..... 2

**3. DISCRETIZACIÓN DE LA ESTRUCTURA. ..... 3**

**4. ACCIONES DE CÁLCULO ..... 4**

**5. COMBINACIÓN DE ACCIONES ..... 5**

**6. COMPROBACIÓN DE LA CIMENTACIÓN. ..... 7**

**7. GRÁFICOS DE ESFUERZOS. ..... 8**

7.1 GRÁFICOS ESFUERZOS ELU - CIMENTACIÓN ..... 8

7.2 GRÁFICOS ESFUERZOS ELU – MURO. ..... 11

**8. LISTADOS DE SALIDA DE ESFUERZOS ELU - ELS. ..... 14**

8.1 LISTADOS ESFUERZOS E.L.U. - FLEXIÓN. ..... 14

8.2 LISTADOS ESFUERZOS E.L.U. - CORTANTE. ..... 15

8.3 LISTADOS ESFUERZOS E.L.S. ..... 16

**9. DIMENSIONAMIENTO DE ARMADURAS PARA ELU. ..... 17**

9.1 ARMADURAS PARA E.L.U. DE FLEXIÓN. ..... 17

9.2 ARMADURAS PARA ELU DE CORTANTE ..... 17

**10. COMPROBACIONES DEL ELS DE FISURACIÓN ..... 18**

**11. COMPROBACIONES EN PARED ..... 19**

11.1 AGOTAMIENTO POR FLEXIÓN ..... 19

11.2 AGOTAMIENTO POR ESFUERZO CORTANTE. ..... 20

11.3 ESTADO LÍMITE DE FISURACIÓN. ..... 21

**12. COMPROBACIONES EN CIMENTACIÓN ..... 22**

12.1 AGOTAMIENTO POR FLEXIÓN ..... 22

12.2 AGOTAMIENTO POR ESFUERZO CORTANTE ..... 23

12.3 ESTADO LÍMITE DE FISURACIÓN. ..... 24

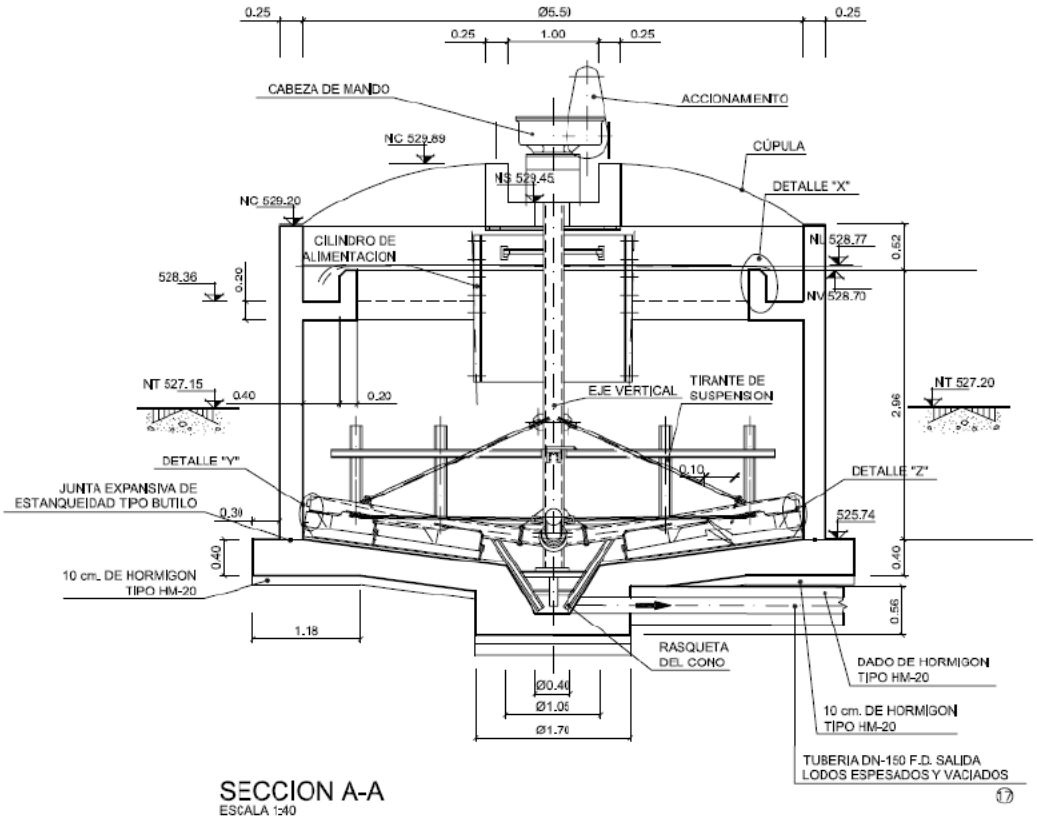
**13. CÁLCULO DE LA PASARELA ..... 25**
13.1 MODELO DE CÁLCULO ..... 25
13.2 ACCIONES DE CÁLCULO ..... 25
13.3 ESFUERZOS DE DISEÑO. ..... 25
13.4 COMPROBACIÓN ELU DE FLEXIÓN ..... 26
13.5 COMPROBACIÓN ELU DE CORTANTE. ..... 26
13.6 COMPROBACIÓN ELS DE FISURACIÓN. ..... 27

# 1. INTRODUCCIÓN.

El espesador de gravedad responde a la tipología de depósito circular con un diámetro interior de 5.50 metros y una altura del muro perimetral de cierre de 3.46 metros.

El muro tiene un espesor de 0.30 metros, y su cimiento de 0.40 metros; variando hasta 0.30 metros en la losa inferior.

Sobre el muro se apoya una pasarela de hormigón armado y sección en U, que se calcula en el Anexo final del presente documento.




SECCION A-A
ESCALA 1:40

## 2. ACCIONES A CONSIDERAR

### 2.1 PESO PROPIO

Se obtiene aplicando un peso específico del hormigón de 25 KN/m$^3$.

### 2.2 PRESION DE AGUA

Se tiene en cuenta como un fluido de peso específico 10 KN/m$^3$.

La altura máxima de aguas en el interior del depósito es de 3.00 metros.

### 2.3 PRESION DE TIERRAS

Se tiene en cuenta una acción vertical de las tierras con un peso específico de 20,00 KN/m$^3$.

Por otro lado se tiene en cuenta un empuje horizontal triangular de las tierras con ángulo de rozamiento de 30º y coeficiente de empuje horizontal al reposo de 0,50.

La altura de las tierras se ha considerado, a efectos de cálculo, de 1.46 metros sobre el nivel superior de la solera.

### 2.4 SOBRECARGAS DE USO ADYACENTES.

Se consideran 10 KN/m$^2$ en trasdós de muros y coeficiente de empuje horizontal al reposo de 0,50.

## 3. DISCRETIZACIÓN DE LA ESTRUCTURA.

Para el análisis se ha realizado un modelo de elementos finitos tridimensional del depósito.

No se han incluido en el mismo los muretes interiores debido a que no interfieren en la rigidez de la losa debido al espesor de ésta.

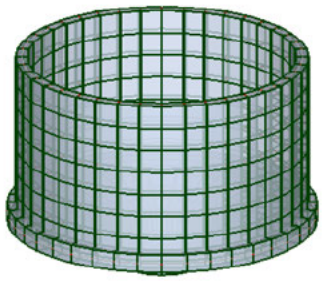
Se han usado elementos tipo placa rectangulares asignando los espesores adecuados.

**Características: Paneles:**

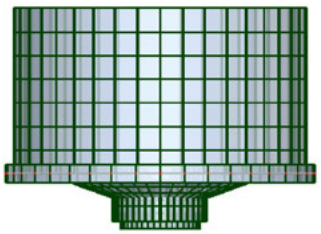
| Nombre de espesor | Lista de paneles | Material | Tipo de espesor | Espesor (cm) | KZ (T/m3) | E (T/m2) | NI |
|---|---|---|---|---|---|---|---|
| ESP40_KZ | 1 2 | HA - 30 | constante | 40 000 | 2000 00 | 2693070 52 | 0 20 |
| ESP30_KZ | 3A5 | HA - 30 | constante | 30 000 | 2000 00 | 2693070 52 | 0 20 |
| ESP25 | 6 | HA - 30 | constante | 25 000 | 0 0 | 2693070 52 | 0 20 |

El apoyo en el terreno se modeliza según el coeficiente de balasto vertical KZ estimado de 2000 $t/m^3$.

**MODELO 3D**



**ALZADO**



## 4. ACCIONES DE CÁLCULO

En el modelo de cálculo se introducen las acciones antes indicadas, como cargas independientes actuando en los distintos paneles.

Se resumen a continuación cada una de las acciones independientes.

**Cargas**

**- Casos: 1A11**

| Caso | Tipo de carga | Lista | Valores de carga |
|---|---|---|---|
| 1 | peso propio | 1A6 | PZ Menos Coef=1.00 |
| 2 | (EF) presión hydrostática | 6 | P=0.50(T/m2) Gama=1.00(T/m3) H=1.500(m) Dirección=-Z |
| 3 | (EF) presión hydrostática | 6 | Gama=-1.00(T/m3) H=3.000(m) Dirección=-Z |
| 3 | (EF) presión hydrostática | 2A5 | Gama=-1.00(T/m3) H=3.000(m) Dirección=-Z |

## 5. COMBINACIÓN DE ACCIONES.

Para la comprobación de los estados límites ELU y ELS las acciones independientes se combinan de acuerdo a la instrucción EHE, de manera que se puedan obtener las distintas hipótesis de cálculo con las acciones combinadas y siendo afectadas por los correspondientes coeficientes de mayoración.

Se adjunta una tabla con las distintas hipótesis de cálculo consideradas para las comprobaciones de los estados límites últimos y de servicio.

# Combinaciones de casos

**- Casos: 4A11**

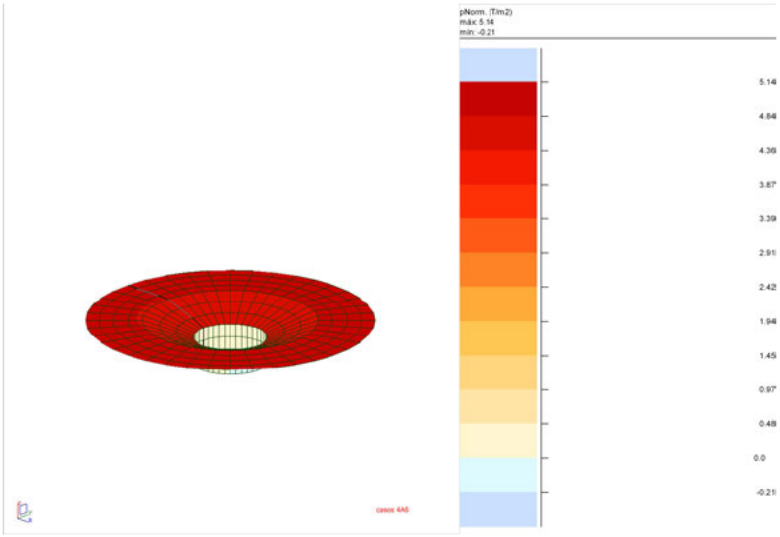
| Combinación | Nombre | Tipo de análisis | Naturaleza de combinación | Naturaleza de caso | Definición |
|---|---|---|---|---|---|
| **4 (C)** | ELS1 | Combinación lineal | ELU | permanente | (1+2)*1.00 |
| **5 (C)** | ELS2 | Combinación lineal | ELU | permanente | (1+3)*1.00 |
| **6 (C)** | ELS3 | Combinación lineal | ELU | permanente | (1+2+3)*1.00 |
| **7 (C)** | ELU1 | Combinación lineal | ELU | permanente | 1*1.00+2*1.60 |
| **8 (C)** | ELU2 | Combinación lineal | ELU | permanente | 1*1.50+2*1.60 |
| **9 (C)** | ELU3 | Combinación lineal | ELU | permanente | 1*1.00+3*1.60 |
| **10 (C)** | ELU4 | Combinación lineal | ELU | permanente | 1*1.50+3*1.60 |
| **11 (C)** | ELU5 | Combinación lineal | ELU | permanente | 1*1.50+(2+3)*1.60 |

## 6. COMPROBACIÓN DE LA CIMENTACIÓN.

Se comprueba que con la combinación de acciones características pésima las tensiones que se obtienen en cimentación son inferiores a la tensión media admisible asignada en el informe geotécnico.

$$\sigma_{\max,cal} = 5.14T/m^2 \leq \sigma_{media,adm} = 20{,}0T/m^2$$

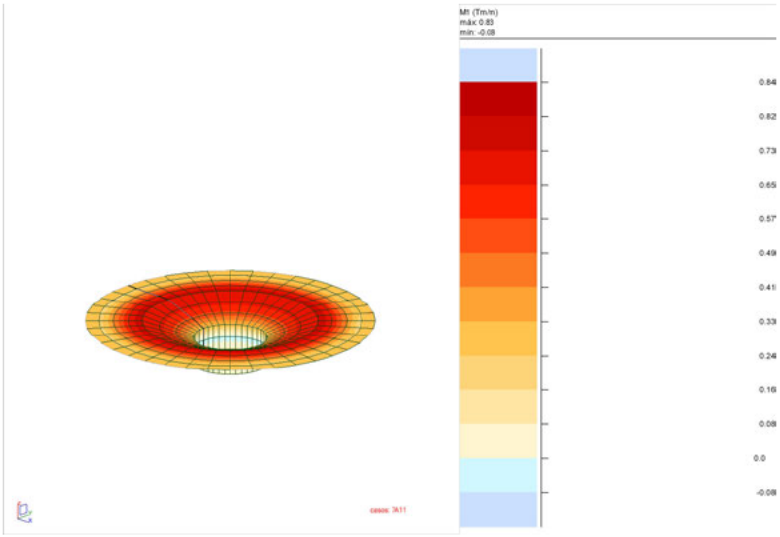
**pNorm. (T/m2) casos: 4A6 (+)**



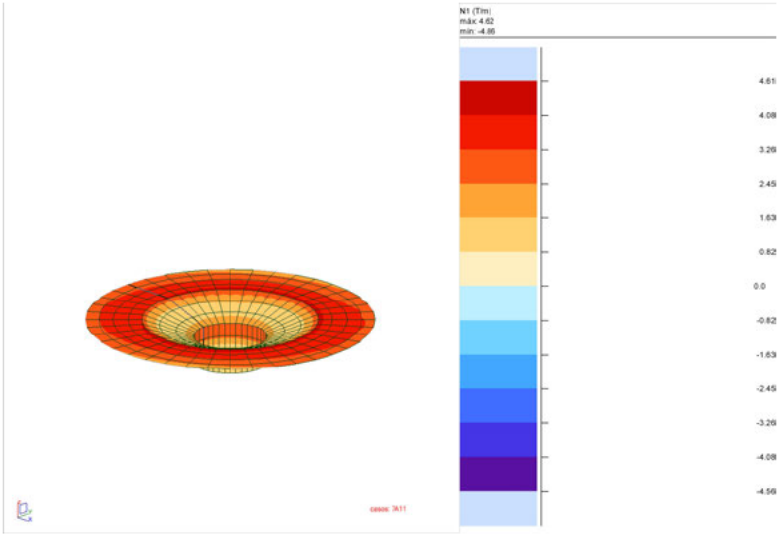
# 7. GRÁFICOS DE ESFUERZOS.

## 7.1 GRÁFICOS ESFUERZOS ELU - CIMENTACIÓN

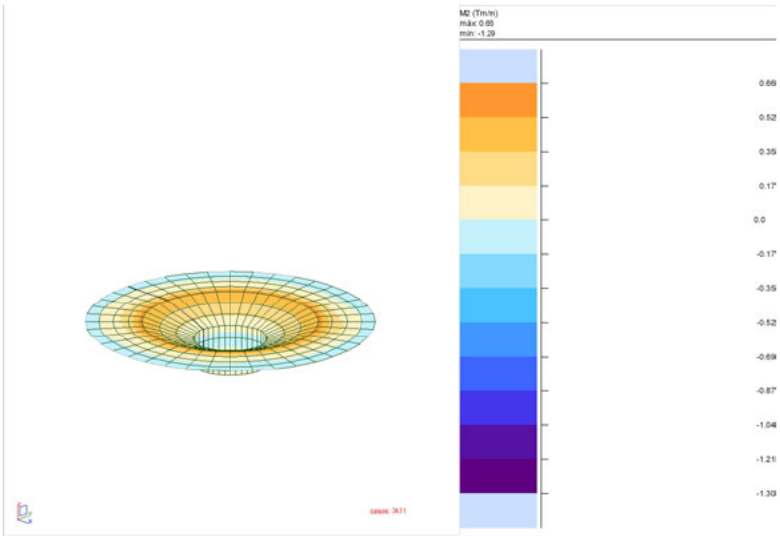
### M1 (Tm/m) casos: 7A11 (+)



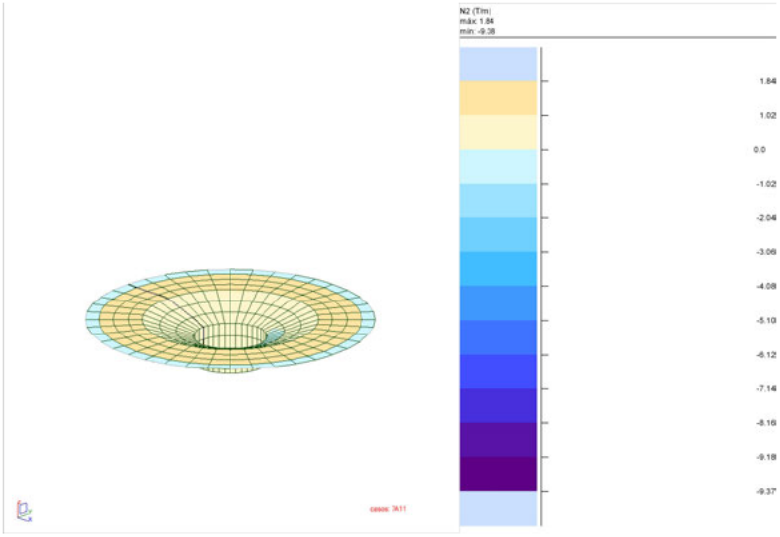

### N1 (T/m) casos: 7A11 (+)



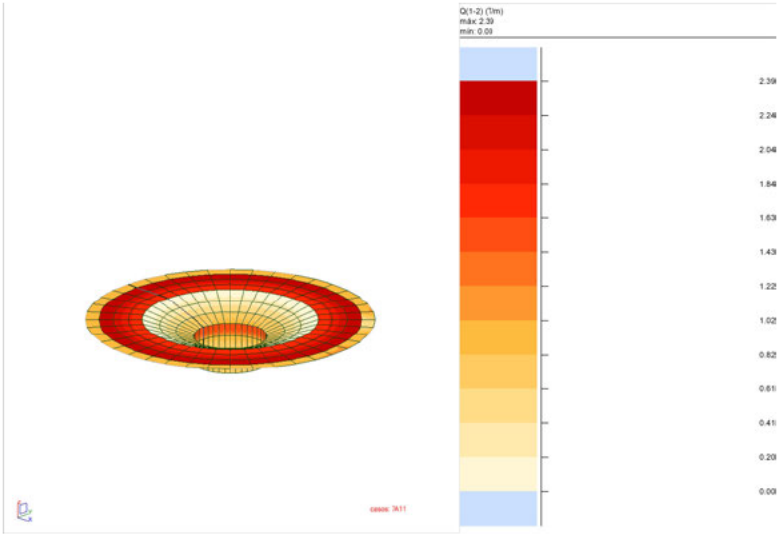
## M2 (Tm/m) casos: 7A11 (+)




## N2 (T/m) casos: 7A11 (+)

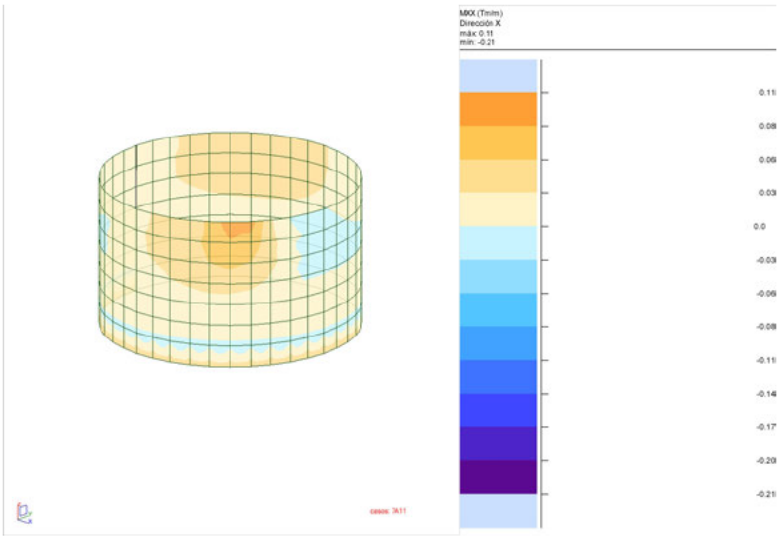


## Q(1-2) (T/m) casos: 7A11 (+)

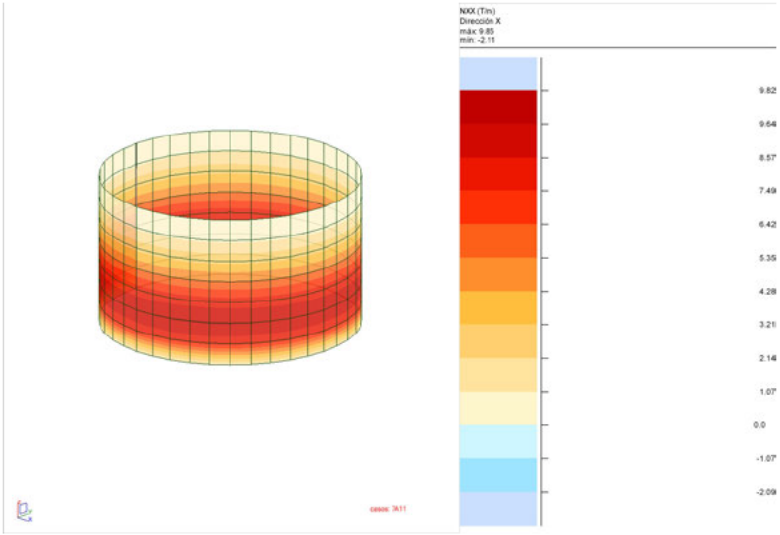


## 7.2 GRÁFICOS ESFUERZOS ELU – MURO.

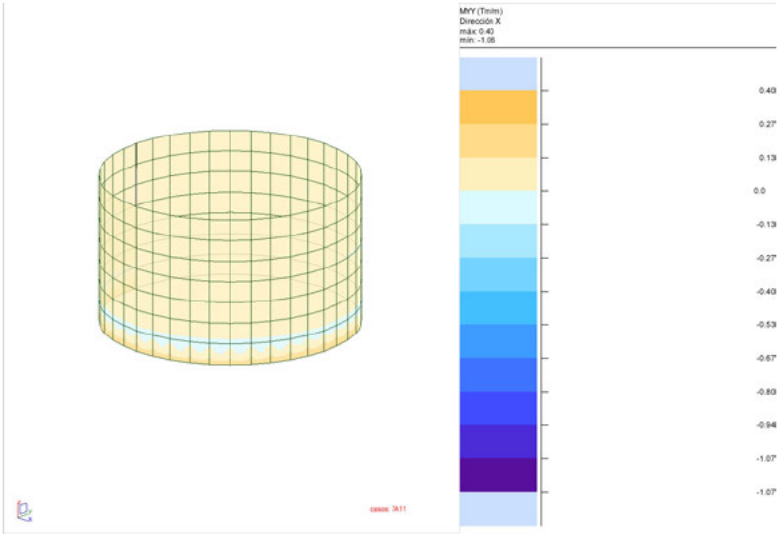
### MXX (Tm/m) Dirección X casos: 7A11 (+)



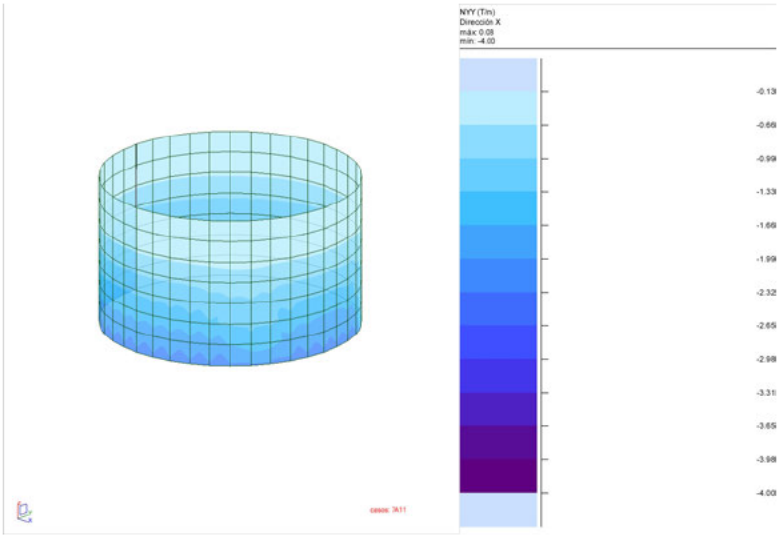

### NXX (T/m) Dirección X casos: 7A11 (+)



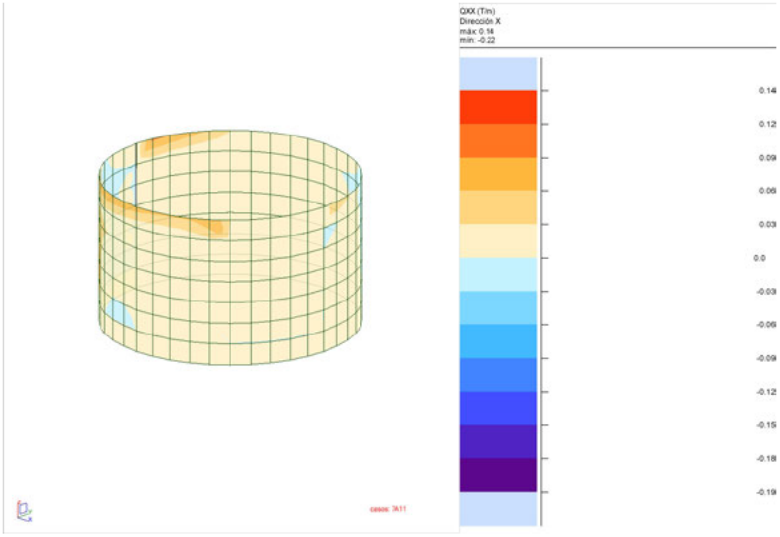
## MYY (Tm/m) Dirección X casos: 7A11 (+)



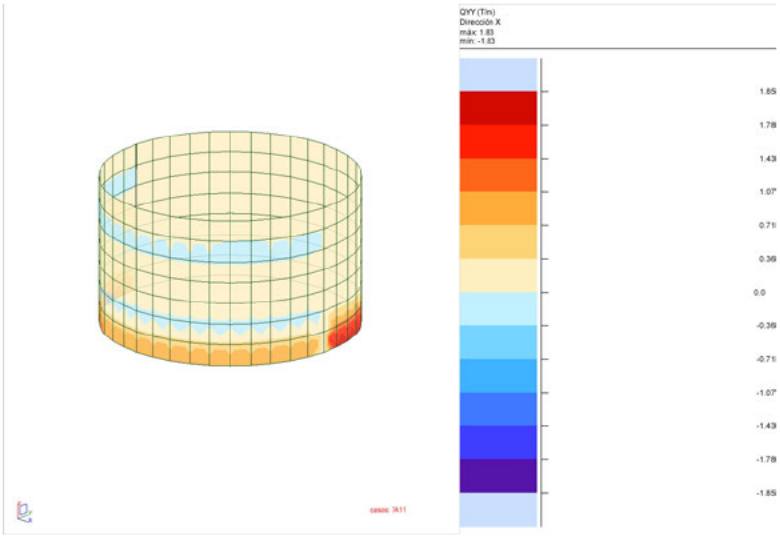

## NYY (T/m) Dirección X casos: 7A11 (+)



## QXX (T/m) Dirección X casos: 7A11 (+)




## QYY (T/m) Dirección X casos: 7A11 (+)



# 8. LISTADOS DE SALIDA DE ESFUERZOS ELU - ELS.

## 8.1 LISTADOS ESFUERZOS E.L.U. - FLEXIÓN.

| Panel/Nudo/Caso | MXX (Tm/m) | MYY (Tm/m) | NXX (T/m) | NYY (T/m) | Definición |
|---|---|---|---|---|---|
| 1/ 62/ 8 (C) | 0.32>> | -0 11 | -0 35 | 0 01 | 1*1 50+2*1 60 |
| 1/ 42/ 10 (C) | -0.31<< | 0 24 | -0 10 | 2 96 | 1*1 50+3*1 60 |
| 1/ 2/ 8 (C) | -0 11 | 0.32>> | 0 01 | -0 36 | 1*1 50+2*1 60 |
| 1/ 62/ 10 (C) | 0 26 | -0.30<< | 2 67 | -0 07 | 1*1 50+3*1 60 |
| 1/ 20/ 10 (C) | 0 23 | -0 29 | 2.78>> | -0 03 | 1*1 50+3*1 60 |
| 1/ 62/ 7 (C) | 0 19 | -0 07 | -0.78<< | 0 02 | 1*1 00+2*1 60 |
| 1/ 44/ 10 (C) | -0 31 | 0 23 | -0 05 | 2.96>> | 1*1 50+3*1 60 |
| 1/ 2/ 7 (C) | -0 07 | 0 19 | 0 03 | -0.79<< | 1*1 00+2*1 60 |
| 2/ 206/ 8 (C) | 0.83>> | 0 65 | 0 26 | -3 29 | 1*1 50+2*1 60 |
| 2/ 2/ 8 (C) | -1.28<< | 0 09 | -2 71 | -0 91 | 1*1 50+2*1 60 |
| 2/ 86/ 8 (C) | 0 65 | 0.83>> | -3 29 | 0 27 | 1*1 50+2*1 60 |
| 2/ 62/ 8 (C) | 0 09 | -1.28<< | -0 90 | -2 70 | 1*1 50+2*1 60 |
| 2/ 126/ 10 (C) | 0 55 | 0 39 | 4.48>> | 0 42 | 1*1 50+3*1 60 |
| 2/ 166/ 8 (C) | 0 65 | 0 82 | -3.30<< | 0 27 | 1*1 50+2*1 60 |
| 2/ 166/ 10 (C) | 0 45 | 0 57 | 0 30 | 4.32>> | 1*1 50+3*1 60 |
| 2/ 126/ 8 (C) | 0 82 | 0 65 | 0 27 | -3.30<< | 1*1 50+2*1 60 |
| 3/ 248/ 8 (C) | 0.69>> | 0 34 | -4 49 | -4 27 | 1*1 50+2*1 60 |
| 3/ 286/ 11 (C) | -0.06<< | -0 03 | -1 02 | -1 20 | 1*1 50+(2+3)*1 60 |
| 3/ 368/ 8 (C) | 0 34 | 0.69>> | -4 28 | -4 49 | 1*1 50+2*1 60 |
| 3/ 294/ 9 (C) | -0 03 | -0.08<< | 2 24 | 0 40 | 1*1 00+3*1 60 |
| 3/ 126/ 10 (C) | 0 27 | 0 40 | 3.23>> | -0 21 | 1*1 50+3*1 60 |
| 3/ 370/ 8 (C) | 0 00 | 0 29 | -9.36<< | -3 99 | 1*1 50+2*1 60 |
| 3/ 166/ 10 (C) | 0 45 | 0 28 | -0 37 | 3.09>> | 1*1 50+3*1 60 |
| 3/ 250/ 8 (C) | 0 29 | 0 00 | -3 99 | -9.35<< | 1*1 50+2*1 60 |
| 4/ 390/ 8 (C) | 0.07>> | 0 33 | -8 73 | -0 93 | 1*1 50+2*1 60 |
| 4/ 472/ 11 (C) | -0.06<< | -0 20 | 1 99 | 0 40 | 1*1 50+(2+3)*1 60 |
| 4/ 390/ 8 (C) | 0 07 | 0.33>> | -8 73 | -0 93 | 1*1 50+2*1 60 |
| 4/ 458/ 8 (C) | -0 05 | -0.23<< | -0 00 | -0 41 | 1*1 50+2*1 60 |
| 4/ 469/ 9 (C) | -0 03 | -0 13 | 2.88>> | 0 56 | 1*1 00+3*1 60 |
| 4/ 386/ 8 (C) | 0 07 | 0 33 | -8.73<< | -0 93 | 1*1 50+2*1 60 |
| 4/ 302/ 9 (C) | -0 01 | -0 08 | 2 67 | 0.72>> | 1*1 00+3*1 60 |
| 4/ 310/ 8 (C) | 0 07 | 0 33 | -8 69 | -0.94<< | 1*1 50+2*1 60 |
| 5/ 537/ 8 (C) | 0.10>> | 0 10 | -0 18 | -0 18 | 1*1 50+2*1 60 |
| 5/ 473/ 8 (C) | -0.25<< | -0 08 | -0 18 | -0 17 | 1*1 50+2*1 60 |
| 5/ 537/ 8 (C) | 0 10 | 0.10>> | -0 18 | -0 18 | 1*1 50+2*1 60 |
| 5/ 443/ 8 (C) | -0 08 | -0.25<< | -0 17 | -0 18 | 1*1 50+2*1 60 |
| 5/ 479/ 9 (C) | 0 08 | 0 03 | 1.42>> | 1 53 | 1*1 00+3*1 60 |
| 5/ 503/ 8 (C) | -0 08 | -0 25 | -0.20<< | -0 19 | 1*1 50+2*1 60 |
| 5/ 476/ 11 (C) | -0 00 | 0 00 | 1 42 | 1.54>> | 1*1 50+(2+3)*1 60 |
| 5/ 413/ 8 (C) | -0 25 | -0 08 | -0 19 | -0.20<< | 1*1 50+2*1 60 |
| 6/ 825/ 10 (C) | 0.11>> | 0 01 | -1 33 | -0 43 | 1*1 50+3*1 60 |
| 6/ 6/ 8 (C) | -0.21<< | -1 06 | -0 10 | -3 20 | 1*1 50+2*1 60 |
| 6/ 10/ 9 (C) | 0 08 | 0.40>> | 1 02 | -2 46 | 1*1 00+3*1 60 |
| 6/ 6/ 8 (C) | -0 21 | -1.06<< | -0 10 | -3 20 | 1*1 50+2*1 60 |
| 6/ 724/ 10 (C) | -0 12 | -0 27 | 9.82>> | -1 99 | 1*1 50+3*1 60 |
| 6/ 972/ 7 (C) | 0 02 | 0 12 | -2.09<< | -1 65 | 1*1 00+2*1 60 |
| 6/ 913/ 7 (C) | 0 01 | 0 00 | 0 27 | -0.14>> | 1*1 00+2*1 60 |
| 6/ 44/ 10 (C) | -0 01 | -0 02 | 1 35 | -4.00<< | 1*1 50+3*1 60 |

## 8.2 LISTADOS ESFUERZOS E.L.U. - CORTANTE.

| Panel/Nudo/Caso | NXX (T/m) | NYY (T/m) | QXX (T/m) | QYY (T/m) | Definición |
|---|---|---|---|---|---|
| 1/ 20/ 10 (C) | 2.78>> | -0 03 | -0 17 | -0 94 | 1*1 50+3*1 60 |
| 1/ 62/ 7 (C) | -0.78<< | 0 02 | -0 00 | 0 22 | 1*1 00+2*1 60 |
| 1/ 44/ 10 (C) | -0 05 | 2.96>> | 1 00 | 0 20 | 1*1 50+3*1 60 |
| 1/ 2/ 7 (C) | 0 03 | -0.79<< | -0 22 | 0 00 | 1*1 00+2*1 60 |
| 1/ 43/ 10 (C) | -0 08 | 2 70 | 1.03>> | -0 00 | 1*1 50+3*1 60 |
| 1/ 3/ 10 (C) | -0 09 | 2 60 | -0.97<< | 0 03 | 1*1 50+3*1 60 |
| 1/ 53/ 10 (C) | 1 84 | 0 85 | 0 14 | 1.05>> | 1*1 50+3*1 60 |
| 1/ 19/ 10 (C) | 2 40 | -0 09 | 0 00 | -0.97<< | 1*1 50+3*1 60 |
| 2/ 126/ 10 (C) | 4.48>> | 0 42 | -0 08 | 0 60 | 1*1 50+3*1 60 |
| 2/ 166/ 8 (C) | -3.30<< | 0 27 | -1 73 | -0 01 | 1*1 50+2*1 60 |
| 2/ 166/ 10 (C) | 0 30 | 4.32>> | -0 61 | 0 17 | 1*1 50+3*1 60 |
| 2/ 126/ 8 (C) | 0 27 | -3.30<< | 0 01 | 1 73 | 1*1 50+2*1 60 |
| 2/ 2/ 8 (C) | -2 71 | -0 91 | 2.38>> | 0 00 | 1*1 50+2*1 60 |
| 2/ 42/ 8 (C) | -2 70 | -0 88 | -2.37<< | -0 00 | 1*1 50+2*1 60 |
| 2/ 22/ 8 (C) | -0 87 | -2 70 | 0 00 | 2.37>> | 1*1 50+2*1 60 |
| 2/ 62/ 8 (C) | -0 90 | -2 70 | -0 00 | -2.38<< | 1*1 50+2*1 60 |
| 3/ 126/ 10 (C) | 3.23>> | -0 21 | -0 02 | 0 17 | 1*1 50+3*1 60 |
| 3/ 370/ 8 (C) | -9.36<< | -3 99 | -0 01 | 0 65 | 1*1 50+2*1 60 |
| 3/ 166/ 10 (C) | -0 37 | 3.09>> | -0 13 | 0 06 | 1*1 50+3*1 60 |
| 3/ 250/ 8 (C) | -3 99 | -9.35<< | -0 65 | 0 01 | 1*1 50+2*1 60 |
| 3/ 330/ 10 (C) | -1 56 | -1 15 | 0.80>> | 0 06 | 1*1 50+3*1 60 |
| 3/ 406/ 10 (C) | -1 05 | -0 84 | -0.80<< | 0 03 | 1*1 50+3*1 60 |
| 3/ 374/ 10 (C) | -0 83 | -1 13 | -0 04 | 0.82>> | 1*1 50+3*1 60 |
| 3/ 290/ 10 (C) | -0 84 | -1 13 | -0 05 | -0.84<< | 1*1 50+3*1 60 |
| 4/ 469/ 9 (C) | 2.88>> | 0 56 | -0 10 | 0 21 | 1*1 00+3*1 60 |
| 4/ 386/ 8 (C) | -8.73<< | -0 93 | 0 00 | 1 63 | 1*1 50+2*1 60 |
| 4/ 302/ 9 (C) | 2 67 | 0.72>> | 0 02 | -0 14 | 1*1 00+3*1 60 |
| 4/ 310/ 8 (C) | -8 69 | -0.94<< | -0 00 | -1 63 | 1*1 50+2*1 60 |
| 4/ 442/ 11 (C) | 1 92 | 0 53 | 0.09>> | 0 05 | 1*1 50+(2+3)*1 60 |
| 4/ 433/ 10 (C) | 1 64 | 0 46 | -0.13<< | -0 13 | 1*1 50+3*1 60 |
| 4/ 386/ 8 (C) | -8 73 | -0 93 | 0 00 | 1.63>> | 1*1 50+2*1 60 |
| 4/ 310/ 8 (C) | -8 69 | -0 94 | -0 00 | -1.63<< | 1*1 50+2*1 60 |
| 5/ 479/ 9 (C) | 1.42>> | 1 53 | 0 19 | 0 07 | 1*1 00+3*1 60 |
| 5/ 503/ 8 (C) | -0.20<< | -0 19 | 0 00 | -0 70 | 1*1 50+2*1 60 |
| 5/ 476/ 11 (C) | 1 42 | 1.54>> | -0 03 | -0 00 | 1*1 50+(2+3)*1 60 |
| 5/ 413/ 8 (C) | -0 19 | -0.20<< | 0 70 | -0 00 | 1*1 50+2*1 60 |
| 5/ 413/ 8 (C) | -0 19 | -0 20 | 0.70>> | -0 00 | 1*1 50+2*1 60 |
| 5/ 473/ 8 (C) | -0 18 | -0 17 | -0.70<< | -0 00 | 1*1 50+2*1 60 |
| 5/ 443/ 8 (C) | -0 17 | -0 18 | 0 00 | 0.70>> | 1*1 50+2*1 60 |
| 5/ 503/ 8 (C) | -0 20 | -0 19 | 0 00 | -0.70<< | 1*1 50+2*1 60 |
| 6/ 724/ 10 (C) | 9.82>> | -1 99 | -0 07 | -0 15 | 1*1 50+3*1 60 |
| 6/ 972/ 7 (C) | -2.09<< | -1 65 | 0 00 | 0 08 | 1*1 00+2*1 60 |
| 6/ 913/ 7 (C) | 0 27 | -0.14>> | -0 00 | 0 02 | 1*1 00+2*1 60 |
| 6/ 44/ 10 (C) | 1 35 | -4.00<< | -0 02 | -0 63 | 1*1 50+3*1 60 |
| 6/ 1017/ 10 (C) | -1 10 | -0 43 | 0.10>> | -0 04 | 1*1 50+3*1 60 |
| 6/ 841/ 10 (C) | -1 35 | -0 44 | -0.19<< | 0 04 | 1*1 50+3*1 60 |
| 6/ 56/ 8 (C) | -0 10 | -3 20 | -0 00 | 1.83>> | 1*1 50+2*1 60 |
| 6/ 6/ 8 (C) | -0 10 | -3 20 | -0 00 | -1.83<< | 1*1 50+2*1 60 |

## 8.3 LISTADOS ESFUERZOS E.L.S.

| Panel/Nudo/Caso | NXX (T/m) | NYY (T/m) | MXX (Tm/m) | MYY (Tm/m) | Definición |
|---|---|---|---|---|---|
| 1/ 20/ 5 (C) | 1.79>> | -0 02 | 0 16 | -0 18 | (1+3)*1 00 |
| 1/ 60/ 4 (C) | -0.17<< | 0 00 | 0 21 | -0 06 | (1+2)*1 00 |
| 1/ 44/ 5 (C) | -0 03 | 1.91>> | -0 20 | 0 16 | (1+3)*1 00 |
| 1/ 2/ 4 (C) | 0 01 | -0.17<< | -0 07 | 0 22 | (1+2)*1 00 |
| 1/ 62/ 4 (C) | -0 17 | 0 01 | 0.22>> | -0 07 | (1+2)*1 00 |
| 1/ 42/ 5 (C) | -0 07 | 1 90 | -0.20<< | 0 16 | (1+3)*1 00 |
| 1/ 2/ 4 (C) | 0 01 | -0 17 | -0 07 | 0.22>> | (1+2)*1 00 |
| 1/ 62/ 5 (C) | 1 72 | -0 05 | 0 18 | -0.19<< | (1+3)*1 00 |
| 2/ 126/ 5 (C) | 2.91>> | 0 15 | 0 38 | 0 28 | (1+3)*1 00 |
| 2/ 166/ 4 (C) | -2.17<< | 0 28 | 0 44 | 0 55 | (1+2)*1 00 |
| 2/ 166/ 5 (C) | 0 07 | 2.81>> | 0 31 | 0 39 | (1+3)*1 00 |
| 2/ 126/ 4 (C) | 0 28 | -2.17<< | 0 55 | 0 44 | (1+2)*1 00 |
| 2/ 206/ 4 (C) | 0 27 | -2 17 | 0.56>> | 0 44 | (1+2)*1 00 |
| 2/ 2/ 4 (C) | -1 77 | -0 53 | -0.85<< | 0 07 | (1+2)*1 00 |
| 2/ 86/ 4 (C) | -2 17 | 0 28 | 0 44 | 0.56>> | (1+2)*1 00 |
| 2/ 62/ 4 (C) | -0 52 | -1 76 | 0 07 | -0.85<< | (1+2)*1 00 |
| 3/ 126/ 5 (C) | 2.09>> | -0 28 | 0 19 | 0 28 | (1+3)*1 00 |
| 3/ 370/ 4 (C) | -6.23<< | -2 66 | 0 00 | 0 20 | (1+2)*1 00 |
| 3/ 166/ 5 (C) | -0 38 | 2.00>> | 0 31 | 0 20 | (1+3)*1 00 |
| 3/ 250/ 4 (C) | -2 66 | -6.23<< | 0 20 | 0 00 | (1+2)*1 00 |
| 3/ 248/ 4 (C) | -2 98 | -2 80 | 0.46>> | 0 23 | (1+2)*1 00 |
| 3/ 286/ 6 (C) | -1 02 | -0 92 | -0.04<< | -0 00 | (1+2+3)*1 00 |
| 3/ 368/ 4 (C) | -2 81 | -2 98 | 0 23 | 0.46>> | (1+2)*1 00 |
| 3/ 330/ 6 (C) | -1 08 | -1 16 | 0 02 | -0.04<< | (1+2+3)*1 00 |
| 4/ 469/ 6 (C) | 1.11>> | 0 24 | -0 03 | -0 13 | (1+2+3)*1 00 |
| 4/ 386/ 4 (C) | -5.81<< | -0 62 | 0 05 | 0 22 | (1+2)*1 00 |
| 4/ 448/ 5 (C) | 0 93 | 0.33>> | -0 02 | -0 10 | (1+3)*1 00 |
| 4/ 310/ 4 (C) | -5 79 | -0.63<< | 0 04 | 0 22 | (1+2)*1 00 |
| 4/ 390/ 4 (C) | -5 81 | -0 62 | 0.05>> | 0 22 | (1+2)*1 00 |
| 4/ 472/ 6 (C) | 1 10 | 0 23 | -0.04<< | -0 13 | (1+2+3)*1 00 |
| 4/ 390/ 4 (C) | -5 81 | -0 62 | 0 05 | 0.22>> | (1+2)*1 00 |
| 4/ 458/ 4 (C) | -0 01 | -0 27 | -0 03 | -0.16<< | (1+2)*1 00 |
| 5/ 479/ 6 (C) | 0.88>> | 0 94 | -0 01 | -0 00 | (1+2+3)*1 00 |
| 5/ 503/ 4 (C) | -0.13<< | -0 13 | -0 05 | -0 16 | (1+2)*1 00 |
| 5/ 476/ 6 (C) | 0 87 | 0.95>> | -0 01 | -0 00 | (1+2+3)*1 00 |
| 5/ 413/ 4 (C) | -0 13 | -0.13<< | -0 16 | -0 05 | (1+2)*1 00 |
| 5/ 537/ 4 (C) | -0 13 | -0 13 | 0.06>> | 0 06 | (1+2)*1 00 |
| 5/ 473/ 4 (C) | -0 12 | -0 12 | -0.16<< | -0 05 | (1+2)*1 00 |
| 5/ 537/ 4 (C) | -0 13 | -0 13 | 0 06 | 0.06>> | (1+2)*1 00 |
| 5/ 443/ 4 (C) | -0 12 | -0 12 | -0 05 | -0.16<< | (1+2)*1 00 |
| 6/ 724/ 5 (C) | 6.26>> | -1 34 | -0 07 | -0 17 | (1+3)*1 00 |
| 6/ 821/ 4 (C) | -0.89<< | -1 28 | 0 01 | 0 04 | (1+2)*1 00 |
| 6/ 729/ 4 (C) | 0 16 | -0.15>> | 0 00 | 0 00 | (1+2)*1 00 |
| 6/ 44/ 5 (C) | 0 88 | -2.64<< | -0 01 | -0 05 | (1+3)*1 00 |
| 6/ 825/ 5 (C) | -0 83 | -0 28 | 0.07>> | 0 00 | (1+3)*1 00 |
| 6/ 6/ 4 (C) | -0 02 | -2 15 | -0.14<< | -0 70 | (1+2)*1 00 |
| 6/ 972/ 4 (C) | -0 59 | -1 61 | 0 01 | 0.08>> | (1+2)*1 00 |
| 6/ 6/ 4 (C) | -0 02 | -2 15 | -0 14 | -0.70<< | (1+2)*1 00 |

# 9. DIMENSIONAMIENTO DE ARMADURAS PARA ELU.

## 9.1 ARMADURAS PARA E.L.U. DE FLEXIÓN.

Para dimensionar la armadura se parte de la cuantía mínima indicada en la norma E.H.E., y se comprueba su validez para los máximos esfuerzos obtenidos en las estructuras modelizadas.

Las armaduras se obtienen empleando una hoja de cálculo, especialmente programada para el dimensionamiento de secciones rectangulares de hormigón armado sometidas a esfuerzos de flexión compuesta.

Las cuantías mínimas indicadas en la instrucción E.H.E. son las siguientes:

**Cuantía mecánica:** $A_s \geq 0.04 \cdot A_c \cdot \frac{f_{cd}}{f_{yd}}$

**Losa:** $A_s \geq 0.0018 \cdot A_c$ (a repartir entre ambas caras)

**Muro:** $A_{sh} \geq 0.0032 \cdot A_c$ (a repartir entre ambas caras)

$A_{sv} \geq 0.0009 \cdot A_c$ (en cara de tracción)

## 9.2 ARMADURAS PARA ELU DE CORTANTE.

El Estado Límite de Agotamiento por esfuerzo cortante se puede alcanzar, ya sea por agotarse la resistencia a compresión del alma, o por agotarse su resistencia a tracción. En consecuencia, es necesario comprobar que se cumple simultáneamente:

$$V_{rd} \leq V_{u1}$$

$$V_{rd} \leq V_{u2}$$

Las comprobaciones se realizan empleando una hoja de cálculo, especialmente programada para el dimensionamiento de secciones rectangulares de hormigón armado sometidas a esfuerzos de cortante, inicialmente se tantea como armadura de flexión con la máxima de las cuantías mínimas necesarias, bien geométrica o mecánica.

En la hoja se introducen las características de las secciones y de los materiales, hormigón y acero, y los esfuerzos obtenidos de los modelos en la combinación más desfavorable.

## 10. COMPROBACIONES DEL ELS DE FISURACIÓN.

La comprobación general del Estado Límite de Fisuración por tracción consiste en satisfacer la siguiente inecuación:

$$w_k \leq w_{max}$$

Las aberturas de fisuras se obtienen empleando una hoja de cálculo, especialmente programada para el caso de secciones rectangulares de hormigón armado sometidas a esfuerzos de flexión compuesta.

En la hoja se introducen las características de las secciones y de los materiales, hormigón y acero, y los esfuerzos obtenidos de los modelos en la combinación más desfavorable y para la situación cuasipermanente.

La fisuración no se produce si el momento de servicio actuante es inferior al momento de fisuración de la sección, que es aquel para el que la fibra más traccionada de hormigón alcanza el valor $f_{ct,m}$.

Caso de que no se cumpliese la inecuación de partida se elevará la cuantía de la armadura hasta que la abertura sea inferior a la máxima admisible.

# 11. COMPROBACIONES EN PARED

## 11.1 AGOTAMIENTO POR FLEXIÓN

| REFERENCIA SECCIÓN | MATERIALES | | GEOMETRÍA DE LA SECCIÓN | | | | | SOLICITACIONES | |
|---|---|---|---|---|---|---|---|---|---|
| | Resistencia del hormigón (T/m2) | Resistencia del acero (T/m2) | Ancho (m) | Canto (m) | Recubrimiento (m) | Canto útil (m) | Disposición: Pilar 1 Losa 2 Viga 3 Muro 4 | Momento (T·m) | Axil (T) Compresión (+) |
| PANEL 6 | 3000 000 | 51000.000 | 1.000 | 0.250 | 0.050 | 0 200 | 4 | 0.110 | 1 330 |
| PANEL 6 | 3000 000 | 51000.000 | 1.000 | 0.250 | 0.050 | 0 200 | 4 | -0.210 | 0.100 |
| PANEL 6 | 3000 000 | 51000.000 | 1.000 | 0.250 | 0.050 | 0 200 | 4 | -0.120 | -9 820 |
| PANEL 6 | 3000 000 | 51000.000 | 1.000 | 0.250 | 0.050 | 0 200 | 4 | 0.020 | 2 090 |
| PANEL 6 | 3000 000 | 51000.000 | 1.000 | 0.250 | 0.050 | 0 200 | 4 | 0.400 | 2.460 |
| PANEL 6 | 3000 000 | 51000.000 | 1.000 | 0.250 | 0.050 | 0 200 | 4 | -1.060 | 3 200 |
| PANEL 6 | 3000 000 | 51000.000 | 1.000 | 0.250 | 0.050 | 0 200 | 4 | 0.000 | 0.140 |
| PANEL 6 | 3000 000 | 51000.000 | 1.000 | 0.250 | 0.050 | 0 200 | 4 | -0.020 | 4 000 |

| RESULTADOS Md<=Mlim | | | | | |
|---|---|---|---|---|---|
| $M_{As}$ | $E_{yd}$ | $x_{lim}$ | $M_{lim}$ | x | As |
| 0.210 | 0.002217 | 0.122 | 25.147 | 0.001 | -0.000006 |
| 0.218 | 0.002217 | 0.122 | 25.147 | 0.001 | 0.000022 |
| -0.617 | 0.002217 | 0.122 | 25.147 | -0.002 | 0.000152 |
| 0.177 | 0.002217 | 0.122 | 25.147 | 0.001 | -0.000027 |
| 0.585 | 0.002217 | 0.122 | 25.147 | 0.002 | 0.000011 |
| 1.300 | 0.002217 | 0.122 | 25.147 | 0.005 | 0.000076 |
| 0.011 | 0.002217 | 0.122 | 25.147 | 0.000 | -0.000002 |
| 0.320 | 0.002217 | 0.122 | 25.147 | 0.001 | -0.000054 |

| ARMADURA NECESARIA | | ARMADURA DISPUESTA | | | | | |
|---|---|---|---|---|---|---|---|
| Cara de tracción (cm2) | Cara de compresión (cm2) | NÚMERO | DIÁMETRO | ÁREA ARMADURA DE TRACCIÓN DISPUESTA | NÚMERO | DIÁMETRO | ÁREA ARMADURA DE COMPRESIÓN DISPUESTA |
| 4.70 | 4.70 | 5 | 12 | 5.655 | 5 | 12 | 5.655 |
| 4.70 | 4.70 | 5 | 12 | 5.655 | 5 | 12 | 5.655 |
| 4.70 | 4.70 | 5 | 12 | 5.655 | 5 | 12 | 5.655 |
| 4.70 | 4.70 | 5 | 12 | 5.655 | 5 | 12 | 5.655 |
| 4.70 | 4.70 | 5 | 12 | 5.655 | 5 | 12 | 5.655 |
| 4.70 | 4.70 | 5 | 12 | 5.655 | 5 | 12 | 5.655 |
| 4.70 | 4.70 | 5 | 12 | 5.655 | 5 | 12 | 5.655 |
| 4.70 | 4.70 | 5 | 12 | 5.655 | 5 | 12 | 5.655 |

## 11.2 AGOTAMIENTO POR ESFUERZO CORTANTE.

| REFERENCIA SECCIÓN | MATERIALES | | GEOMETRÍA DE LA SECCIÓN | | | | | SOLICITACIONES | |
|---|---|---|---|---|---|---|---|---|---|
| | Resistencia del hormigón (T/m2) | Resistencia del acero (T/m2) | Ancho (m) | Anchura neta mínima del elemento (m) | Canto (m) | Recubrimiento (m) | Canto útil (m) | Cortante (T) | Axil (T) Compresión (+) |
| PANEL 6 | 3000.000 | 51000.000 | 1.000 | 1.000 | 0.250 | 0.050 | 0 200 | 0.100 | 1.100 |
| PANEL 6 | 3000.000 | 51000.000 | 1.000 | 1.000 | 0.250 | 0.050 | 0 200 | -0.190 | 1.350 |
| PANEL 6 | 3000.000 | 51000.000 | 1.000 | 1.000 | 0.250 | 0.050 | 0 200 | 1.830 | 0.100 |
| PANEL 6 | 3000.000 | 51000.000 | 1.000 | 1.000 | 0.250 | 0.050 | 0 200 | 1.830 | 0.100 |

| Vu1 (Agotamiento por compresión oblicua en el alma) | | | | Vu2 (Agotamiento por tracción en el alma) Sin armadura de cortante | | | Vu2 (Agotamiento por tracción en el alma) Con armadura de cortante | |
|---|---|---|---|---|---|---|---|---|
| K | cotg(Alfa) | cotg(Teta) | Vu1 | Cuantía geométrica de armadura longitudinal traccionada | Epsilon | Vu2 (T) | Vcu (T) (Contribución del hormigón) | Área necesaria de cortante (cm2) $A_{90}$ |
| 1.663 | 0.000000 | 1.000 | 120.000 | 0.002 | 2.000 | 9.334 | 7.669 | 0.00 |
| 1.662 | 0.000000 | 1.000 | 120.000 | 0.002 | 2.000 | 9.364 | 7.669 | 0.00 |
| 1.666 | 0.000000 | 1.000 | 120.000 | 0.002 | 2.000 | 9.214 | 7.669 | 0.00 |
| 1.666 | 0.000000 | 1.000 | 120.000 | 0.002 | 2.000 | 9.214 | 7.669 | 0.00 |

## 11.3 ESTADO LÍMITE DE FISURACIÓN.

| | | | MATERIALES | | | | GEOMÉTRIA | | | As Tracc. | | As Comp. | | | | Esf. Caracterist. | |
|---|---|---|---|---|---|---|---|---|---|---|---|---|---|---|---|---|---|
| Tipo Arch. | Wk;adm (mm) | Viga Losa | fck (Kg/cm2) | γc | fyk (Kg/cm2) | γs | Ancho b(cm) | Canto h(cm) | Recu (cm) | ϕ (mm) | nºϕ | ϕ (mm) | nºϕ | k1 | k2 | Nk (T) | Mk (mT) |
| Qb | 0.10 | L | 300 | 1.5 | 5100 | 1.15 | 100 | 25 | 5 | 12 | 5 | 12 | 5 | 0.197 | 0.5 | 6.26 | 0.07 |

| Sm (cm) | Nfis (T) | Mfis (mT) | σsr (Kg/cm2) | σs (Kg/cm2) | εsm | wk (mm) | Comentario |
|---|---|---|---|---|---|---|---|
| 23.01 | 61.28 | 0.69 | 6296.09 | 643.21 | 0.00012 | 0.048 | Cumple |

# 12. COMPROBACIONES EN CIMENTACIÓN

## 12.1 AGOTAMIENTO POR FLEXIÓN

| REFERENCIA SECCIÓN | MATERIALES | | GEOMETRÍA DE LA SECCIÓN | | | | | SOLICITACIONES | |
|---|---|---|---|---|---|---|---|---|---|
| | Resistencia del hormigón (T/m2) | Resistencia del acero (T/m2) | Ancho (m) | Canto (m) | Recubrimiento (m) | Canto ú il (m) | Disposición: Pilar 1 Losa 2 Viga 3 Muro 4 | Momento (T·m) | Axil (T) Compresión (+) |
| PANEL 2 | 3000 000 | 51000.000 | 1 000 | 0.400 | 0.050 | 0.350 | 2 | 0.830 | -0.260 |
| PANEL 2 | 3000 000 | 51000.000 | 1 000 | 0.400 | 0.050 | 0.350 | 2 | -1.280 | 2.710 |
| PANEL 2 | 3000 000 | 51000.000 | 1 000 | 0.400 | 0.050 | 0.350 | 2 | 0.550 | -4.480 |
| PANEL 2 | 3000 000 | 51000.000 | 1 000 | 0.400 | 0.050 | 0.350 | 2 | 0.650 | 3.300 |
| PANEL 2 | 3000 000 | 51000.000 | 1 000 | 0.400 | 0.050 | 0.350 | 2 | 0.830 | -0.270 |
| PANEL 2 | 3000 000 | 51000.000 | 1 000 | 0.400 | 0.050 | 0.350 | 2 | -1.280 | 2.700 |
| PANEL 2 | 3000 000 | 51000.000 | 1 000 | 0.400 | 0.050 | 0.350 | 2 | 0.570 | -4.320 |
| PANEL 2 | 3000 000 | 51000.000 | 1 000 | 0.400 | 0.050 | 0.350 | 2 | 0.650 | 3.300 |
| PANEL 3 | 3000 000 | 51000.000 | 1 000 | 0.300 | 0.050 | 0.250 | 2 | 0.690 | 4.490 |
| PANEL 3 | 3000 000 | 51000.000 | 1 000 | 0.300 | 0.050 | 0.250 | 2 | -0.060 | 1.020 |
| PANEL 3 | 3000 000 | 51000.000 | 1 000 | 0.300 | 0.050 | 0.250 | 2 | 0.270 | -3.230 |
| PANEL 3 | 3000 000 | 51000.000 | 1 000 | 0.300 | 0.050 | 0.250 | 2 | 0.000 | 9.360 |
| PANEL 3 | 3000 000 | 51000.000 | 1 000 | 0.300 | 0.050 | 0.250 | 2 | 0.690 | 4.490 |
| PANEL 3 | 3000 000 | 51000.000 | 1 000 | 0.300 | 0.050 | 0.250 | 2 | -0.080 | -0.400 |
| PANEL 3 | 3000 000 | 51000.000 | 1 000 | 0.300 | 0.050 | 0.250 | 2 | 0.280 | -3.090 |
| PANEL 3 | 3000 000 | 51000.000 | 1 000 | 0.300 | 0.050 | 0.250 | 2 | 0.000 | 9.350 |

| RESULTADOS Md<=Mlim | | | | | |
|---|---|---|---|---|---|
| $M_{As}$ | $E_{yd}$ | $x_{lim}$ | $M_{im}$ | x | As |
| 0.791 | 0.002217 | 0.214 | 77.014 | 0.002 | 0.000057 |
| 1.687 | 0.002217 | 0.214 | 77.014 | 0.004 | 0.000048 |
| -0.122 | 0.002217 | 0.214 | 77.014 | 0.000 | 0.000093 |
| 1.145 | 0.002217 | 0.214 | 77.014 | 0.002 | 0.000000 |
| 0.790 | 0.002217 | 0.214 | 77.014 | 0.002 | 0.000057 |
| 1.685 | 0.002217 | 0.214 | 77.014 | 0.004 | 0.000048 |
| -0.078 | 0.002217 | 0.214 | 77.014 | 0.000 | 0.000092 |
| 1.145 | 0.002217 | 0.214 | 77.014 | 0.002 | 0.000000 |
| 1.139 | 0.002217 | 0.153 | 39.293 | 0.003 | 0.000002 |
| 0.162 | 0.002217 | 0.153 | 39.293 | 0.000 | -0.000008 |
| -0.053 | 0.002217 | 0.153 | 39.293 | 0.000 | 0.000068 |
| 0.936 | 0.002217 | 0.153 | 39.293 | 0.003 | -0.000126 |
| 1.139 | 0.002217 | 0.153 | 39.293 | 0.003 | 0.000002 |
| 0.040 | 0.002217 | 0.153 | 39.293 | 0.000 | 0.000013 |
| -0.029 | 0.002217 | 0.153 | 39.293 | 0.000 | 0.000067 |
| 0.935 | 0.002217 | 0.153 | 39.293 | 0.003 | -0.000126 |

| CUANTÍAS MÍNIMAS | | ARMADURA NECESARIA | | ARMADURA DISPUESTA | | | | | |
|---|---|---|---|---|---|---|---|---|---|
| Mecánica | Geométrica | Cara de tracción (cm2) | Cara de compresión (cm2) | NÚMERO | DIÁMETRO | ÁREA ARMADURA DE TRACCIÓN DISPUESTA | NÚMERO | DIÁMETRO | ÁREA ARMADURA DE COMPRESIÓN DISPUESTA |
| 0 000752 | 0.000360 | 7 52 | 7.52 | 5 | 16 | 10.053 | 5 | 16 | 10.053 |
| 0 000752 | 0.000360 | 7 52 | 7.52 | 5 | 16 | 10.053 | 5 | 16 | 10.053 |
| 0 000752 | 0.000360 | 7 52 | 7.52 | 5 | 16 | 10.053 | 5 | 16 | 10.053 |
| 0 000752 | 0.000360 | 7 52 | 7.52 | 5 | 16 | 10.053 | 5 | 16 | 10.053 |
| 0 000752 | 0.000360 | 7 52 | 7.52 | 5 | 16 | 10.053 | 5 | 16 | 10.053 |
| 0 000752 | 0.000360 | 7 52 | 7.52 | 5 | 16 | 10.053 | 5 | 16 | 10.053 |
| 0 000752 | 0.000360 | 7 52 | 7.52 | 5 | 16 | 10.053 | 5 | 16 | 10.053 |
| 0 000752 | 0.000360 | 7 52 | 7.52 | 5 | 16 | 10.053 | 5 | 16 | 10.053 |
| 0 000564 | 0.000270 | 5 64 | 5.64 | 5 | 12 | 5.655 | 5 | 12 | 5.655 |
| 0 000564 | 0.000270 | 5 64 | 5.64 | 5 | 12 | 5.655 | 5 | 12 | 5.655 |
| 0 000564 | 0.000270 | 5 64 | 5.64 | 5 | 12 | 5.655 | 5 | 12 | 5.655 |
| 0 000564 | 0.000270 | 5 64 | 5.64 | 5 | 12 | 5.655 | 5 | 12 | 5.655 |
| 0 000564 | 0.000270 | 5 64 | 5.64 | 5 | 12 | 5.655 | 5 | 12 | 5.655 |
| 0 000564 | 0.000270 | 5 64 | 5.64 | 5 | 12 | 5.655 | 5 | 12 | 5.655 |
| 0 000564 | 0.000270 | 5 64 | 5.64 | 5 | 12 | 5.655 | 5 | 12 | 5.655 |
| 0 000564 | 0.000270 | 5 64 | 5.64 | 5 | 12 | 5.655 | 5 | 12 | 5.655 |

## 12.2 AGOTAMIENTO POR ESFUERZO CORTANTE

| REFERENCIA SECCIÓN | MATERIALES | | GEOMETRÍA DE LA SECCIÓN | | | | | SOLICITACIONES | |
|---|---|---|---|---|---|---|---|---|---|
| | Resistencia del hormigón (T/m2) | Resistencia del acero (T/m2) | Ancho (m) | Anchura neta mínima del elemento (m) | Canto (m) | Recubrimiento (m) | Canto útil (m) | Cortante (T) | Axil (T) Compresión (+) |
| PANEL 2 | 3000 000 | 51000.000 | 1 000 | 1.000 | 0.400 | 0.050 | 0.350 | 2.380 | 2.710 |
| PANEL 2 | 3000 000 | 51000.000 | 1 000 | 1.000 | 0.400 | 0.050 | 0.350 | 2.370 | 2.700 |
| PANEL 3 | 3000 000 | 51000.000 | 1 000 | 1.000 | 0.300 | 0.050 | 0.250 | 0.820 | 1.130 |
| PANEL 3 | 3000 000 | 51000.000 | 1 000 | 1.000 | 0.300 | 0.050 | 0.250 | 0.840 | 1.130 |

| Vu1 (Agotamiento por compresión oblicua en el alma) | | | | Vu2 (Agotamiento por tracción en el alma) Sin armadura de cortante | | | Vu2 (Agotamiento por tracción en el alma) Con armadura de cortante | |
|---|---|---|---|---|---|---|---|---|
| K | cotg(Alfa) | cotg(Teta) | Vu1 | Cuantía geométrica de armadura longitudinal traccionada | Epsilon | Vu2 (T) | Vcu (T) (Contribución del hormigón) | Área necesaria de cortante (cm2) $A_{90}$ |
| 1.661 | 0.000000 | 1.000 | 210.000 | 0.002 | 1.756 | 14.078 | 11.436 | 0.00 |
| 1.661 | 0.000000 | 1.000 | 210.000 | 0.002 | 1.756 | 14.077 | 11.436 | 0.00 |
| 1.664 | 0.000000 | 1.000 | 150.000 | 0.002 | 1 894 | 10.890 | 8.957 | 0.00 |
| 1.664 | 0.000000 | 1.000 | 150.000 | 0.002 | 1 894 | 10.890 | 8.957 | 0.00 |

## 12.3 ESTADO LÍMITE DE FISURACIÓN.

| | | | MATERIALES | | | | GEOMÉTRIA | | | As Tracc. | | As Comp. | | | | Esf. Caracterist. | |
|---|---|---|---|---|---|---|---|---|---|---|---|---|---|---|---|---|---|
| Tipo Amb. | Wk,adm (mm) | Viga Losa | fck (Kg/cm2) | γc | fyk (Kg/cm2) | γs | Ancho b(cm) | Canto h(cm) | Recu (cm) | ϕ (mm) | n°ϕ | ϕ (mm) | n°ϕ | k1 | k2 | Nk (T) | Mk (mT) |
| Qb | 0 10 | L | 300 | 1 5 | 5100 | 1 15 | 100 | 30 | 5 | 12 | 5 | 12 | 5 | 0 125 | 0 5 | 1 79 | 0 16 |
| Qb | 0 10 | L | 300 | 1 5 | 5100 | 1 15 | 100 | 30 | 5 | 12 | 5 | 12 | 5 | 0 125 | 0 5 | 2 91 | 0 38 |
| Qb | 0 10 | L | 300 | 1 5 | 5100 | 1 15 | 100 | 30 | 5 | 12 | 5 | 12 | 5 | 0 125 | 0 5 | 2 81 | 0 39 |
| Qb | 0 10 | L | 300 | 1 5 | 5100 | 1 15 | 100 | 30 | 5 | 12 | 5 | 12 | 5 | 0 163 | 0 5 | 1 11 | 0 03 |

| Sm (cm) | Nfis (T) | Mfis (mT) | σsr (Kg/cm2) | σs (Kg/cm2) | εsm | wk (mm) | Comentario |
|---|---|---|---|---|---|---|---|
| 20 76 | 33 41 | 2 99 | 5580 51 | 8 94 | 0 00000 | 0 001 | Cumple |
| 20 76 | 25 79 | 3 37 | 5104 42 | 18 06 | 0 00000 | 0 001 | Cumple |
| 20 76 | 24 67 | 3 42 | 5034 68 | 18 12 | 0 00000 | 0 001 | Cumple |
| 22 91 | 60 38 | 1 63 | 6873 81 | 126 36 | 0 00002 | 0 009 | Cumple |

# 13. CÁLCULO DE LA PASARELA

## 13.1 MODELO DE CÁLCULO.

La pasarela se calcula como una viga biapoyada de 5.50 metros de luz libre. Se puede considerar que los dos muretes laterales actúan como nervios resistiendo la flexión y llevándose cada uno la mitad de los esfuerzos.

## 13.2 ACCIONES DE CÁLCULO.

1. PESO PROPIO 1.25 T/m$^2$
2. SOBRECARGA DE USO 0.4 T/m$^2$

## 13.3 ESFUERZOS DE DISEÑO.

$$M = \frac{(1.25 \cdot 1.5 + 0.4 * 1.6) \cdot 5.5^2}{8} = 9.50 \ \text{T·m}$$

$$V = \frac{(1.25 \cdot 1.5 + 0.4 * 1.6) \cdot 5.5}{2} = 6.91 \ \text{T}$$

$$M_k = \frac{(1.25 \cdot 1 + 0.4 * 1) \cdot 5.5^2}{8} = 6.23 \ \text{T·m}$$

## 13.4 COMPROBACIÓN ELU DE FLEXIÓN.

| REFERENCIA SECCIÓN | MATERIALES | | GEOMETRÍA DE LA SECCIÓN | | | | | SOLICITACIONES | |
|---|---|---|---|---|---|---|---|---|---|
| | Resistencia del hormigón (T/m2) | Resistencia del acero (T/m2) | Ancho (m) | Canto (m) | Recubrimiento (m) | Canto útil (m) | Disposición: Pilar 1 Losa 2 Viga 3 Muro 4 | Momento (T m) | Axil (T) Compresión (+) |
| NERVIO | 3000.000 | 51000 000 | 0 250 | 0.750 | 0.050 | 0.700 | 3 | 9 500 | 0.000 |

| RESULTADOS Md<=Mlim | | | | | |
|---|---|---|---|---|---|
| $M_{As}$ | $E_{yd}$ | $x_{lim}$ | $M_{lim}$ | x | As |
| 9.500 | 0.002217 | 0.429 | 77.014 | 0.041 | 0.000313 |

| CUANTÍAS MÍNIMAS | | ARMADURA NECESARIA | | ARMADURA DISPUESTA | | | | | |
|---|---|---|---|---|---|---|---|---|---|
| Mecánica | Geométrica | Cara de tracción (cm2) | Cara de compresión (cm2) | NÚMERO | DIÁMETRO | ÁREA ARMADURA DE TRACCIÓN DISPUESTA | NÚMERO | DIÁMETRO | ÁREA ARMADURA DE COMPRESIÓN DISPUESTA |
| 0.000352 | 0.000525 | 5.25 | 5.25 | 3 | 16 | 6.032 | 3 | 16 | 6.032 |

## 13.5 COMPROBACIÓN ELU DE CORTANTE.

| REFERENCIA SECCIÓN | MATERIALES | | GEOMETRÍA DE LA SECCIÓN | | | | | SOLICITACIONES | |
|---|---|---|---|---|---|---|---|---|---|
| | Resistencia del hormigón (T/m2) | Resistencia del acero (T/m2) | Ancho (m) | Anchura neta mínima del elemento (m) | Canto (m) | Recubrimiento (m) | Canto útil (m) | Cortante (T) | Axil (T) Compresión (+) |
| NERVIO | 3000.000 | 51000 000 | 0.250 | 0.250 | 0.750 | 0.050 | 0.700 | 6.910 | 0.000 |

| Vu1 (Agotamiento por compresión oblicua en el alma) | | | | Vu2 (Agotamiento por tracción en el alma) Sin armadura de cortante | | | Vu2 (Agotamiento por tracción en el alma) Con armadura de cortante | | ARMADURA DISPUESTA | | | |
|---|---|---|---|---|---|---|---|---|---|---|---|---|
| K | cotg(Alfa) | cotg(Teta) | Vu1 | Cuantía geométrica de armadura longitudinal traccionada | Epsilon | Vu2 (T) | Vcu (T) (Contribución del hormigón) | Área necesaria de cortante (cm2) $A_{90}$ | NÚMERO DE RAMAS | NÚMERO | DIÁMETRO | ÁREA ARMADURA DE CORTANTE DISPUESTA (cm2) |
| 1.667 | 0.000000 | 1 000 | 105 000 | 0.003 | 1.535 | 6.703 | 5.586 | 0.53 | 2 | 4 | 10 000 | 6.283 |

## 13.6 COMPROBACIÓN ELS DE FISURACIÓN.

| | | | MATERIALES | | | | GEOMÉTRIA | | | As Tracc. | | As Comp. | | | | Esf. Caracterist. | |
|---|---|---|---|---|---|---|---|---|---|---|---|---|---|---|---|---|---|
| Tipo Amb. | Wk,adm (mm) | Viga Losa | fck (Kg/cm2) | γc | fyk (Kg/cm2) | γs | Ancho b(cm) | Canto h(cm) | Recu (cm) | ϕ (mm) | nºϕ | ϕ (mm) | nºϕ | k1 | k2 | Nk (T) | Mk (mT) |
| Qb | 0.10 | L | 300 | 1.5 | 5100 | 1.15 | 25 | 75 | 5 | 16 | 3 | 16 | 3 | 0.125 | 0.5 | 0 | 6.23 |

| Sm (cm) | Nfis (T) | Mfis (mT) | σsr (Kg/cm2) | σs (Kg/cm2) | εsm | wk (mm) | Comentario |
|---|---|---|---|---|---|---|---|
| 17.57 | 0.00 | 7.70 | 1974.48 | 149.89 | 0.00003 | 0.009 | Cumple |

# ANEJO DE CÁLCULO

# 11.- TOLVA DE FANGOS

# INDICE

**1. PARTICULARIZACION DE LAS ACCIONES A CONSIDERAR ..... 1**
1.1 PESO PROPIO ..... 1
1.2 SOBRECARGAS DE USO ..... 1
1.3 SOBRECARGAS DE VIENTO ..... 1
1.4 ACCIONES SÍSMICAS ..... 2
**2. DESCRIPCIÓN DE LA ESTRUCTURA ..... 2**
**3. DISCRETIZACIÓN DE LA ESTRUCTURA ..... 3**
**4. ANÁLISIS Y ARMADO ..... 4**
4.1 DATOS DE PARTIDA ..... 5
4.2 ARMADO LOSAS ..... 11
4.3 ARMADO DE PILARES ..... 13

# 1. PARTICULARIZACION DE LAS ACCIONES A CONSIDERAR

## 1.1 PESO PROPIO

Se obtiene aplicando un peso específico del hormigón de 25 KN/m$^3$.

## 1.2 SOBRECARGAS DE USO

CARGAS SOBRE PILARES

| | | |
|---|---|---|
| Nieve o conservación (1 KN/m$^2$) | 4,61 | KN |
| Peso Propio de la tolva (46,5 KN) | 11,62 | KN |
| Peso de los Fangos ($\gamma_f$= 18 KN/m$^3$) | 180,00 | KN |

CARGA SOBRE LOSA

| | | |
|---|---|---|
| Sobrecarga de uso | 10,00 | KN/m$^2$ |

## 1.3 SOBRECARGAS DE VIENTO

Los valores de los parámetros de la acción del viento considerada en el cálculo se estiman a partir del código técnico de la edificación.

Presión dinámica (Zona A) $q_b = 0{,}42$ KN/m$^2$

Coeficiente de exposición: $c_e = 2{,}50$

Coeficiente eólico: $c_p = + 0{,}80$

$c_p = - 0{,}40$

SOBRECARGA DEL VIENTO SUPERFICIAL

$$P_1 = S \cdot q_b \cdot c_e \cdot c_p = 10{,}55 \cdot 0{,}42 \cdot 2{,}50 \cdot (0{,}8 + 0{,}40) = 13{,}29 \text{ KN}$$

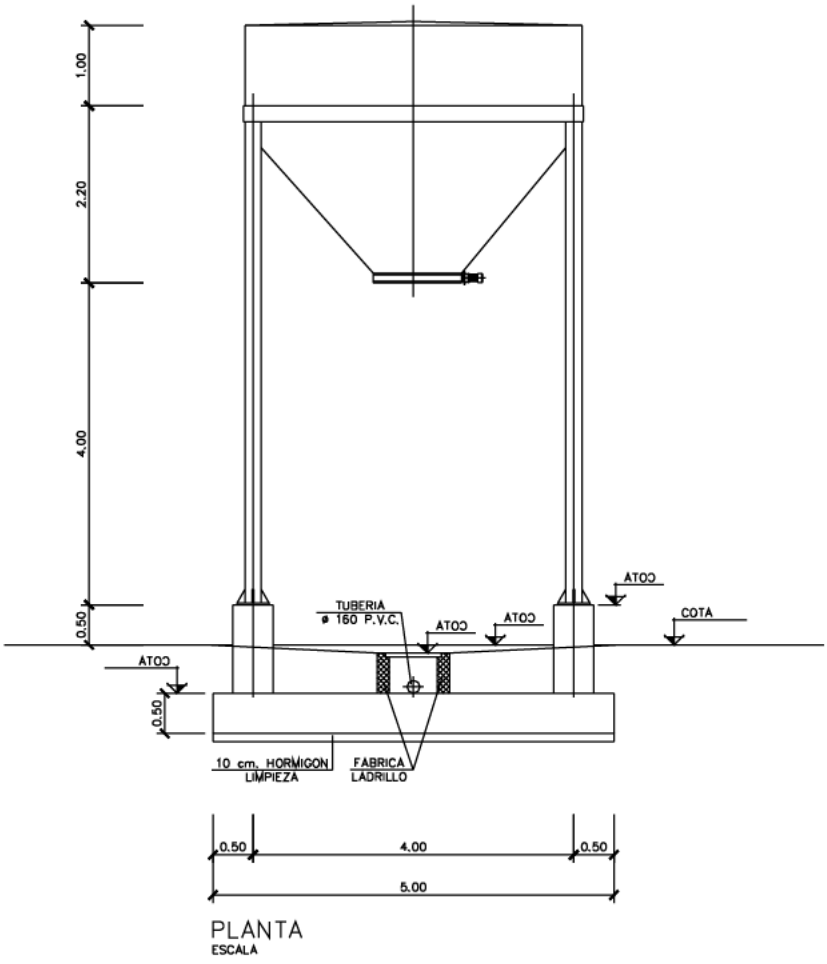
## 1.4 ACCIONES SÍSMICAS

La localidad donde se proyecta el depósito tiene una aceleración básica menos de 0,04·g por lo que no se contempla este tipo de acción.

## 2. DESCRIPCIÓN DE LA ESTRUCTURA

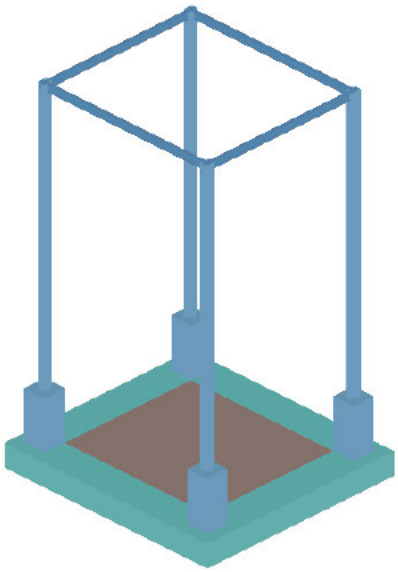
Se trata de una tolva donde se almacenan los fangos espesados para su retirada a vertedero. La tolva de forma trapezoidal descansa sobre cuatro "enanos" de hormigón que se empotran a la losa de cimentación. La distancia entre pilares es de 4,00 m. en sentido transversal (3,50 m. para el paso de camiones) y de 3,60 m. en sentido longitudinal.

La losa tiene un espesor de 50 cm. y vuela 25 cm. alrededor de la línea de pilares.



## 3. DISCRETIZACIÓN DE LA ESTRUCTURA

Se utiliza un modelo de barras con las vinculaciones necesarias y características mecánicas de la geometría real.



La estabilidad se calcula de forma implícita comprobando que no se produce el levantamiento de la losa estando el silo vacío y soplando el viento en dirección longitudinal.

# 4. ANÁLISIS Y ARMADO

## 4.1 DATOS DE PARTIDA

Listado de datos de la obra

Proyecto: Mombeltrán Fecha:06/02/07

1. Datos generales de la estructura

Proyecto: Mombeltrán

Clave: tolva de fangos

2. Datos geométricos de grupos y plantas

| Grupo | Nombre del grupo | Planta | Nombre planta | Altura | Cota |
|---|---|---|---|---|---|
| 2 | Tolva | 2 | Tolva | 6.20 | 6.70 |
| 1 | Pilar | 1 | Pilar | 1.10 | 0.50 |
| 0 | Cimentación | | | | -0.60 |

3. Datos geométricos de pilares, pantallas y muros

3.1. Pilares

GI: grupo inicial
GF: grupo final
Ang: ángulo del pilar en grados sexagesimales

Datos de los pilares

| Referencia | Coord(P.Fijo) | GI- GF | Vinculación exterior | Ang. | Punto fijo |
|---|---|---|---|---|---|
| P1 | ( 0.50, 0.50) | 0-2 | Sin vinculación exterior | 0.0 | Centro |
| P2 | ( 4.50, 0.50) | 0-2 | Sin vinculación exterior | 0.0 | Centro |
| P3 | ( 4.50, 4.10) | 0-2 | Sin vinculación exterior | 0.0 | Centro |
| P4 | ( 0.50, 4.10) | 0-2 | Sin vinculación exterior | 0.0 | Centro |

4. Dimensiones, coeficientes de empotramiento y coeficientes de pandeo para cada planta

| Referencia pilar | Planta | Dimensiones | Coefs. empotramiento | | Coefs. pandeo | |
|---|---|---|---|---|---|---|
| | | | Cabeza | Pie | Pandeo x | Pandeo Y |
| Para todos los pilares | 2 | 2xUPN-200([-]) | 0.30 | 1.00 | 1.00 | 1.00 |

| | | | | | |
|---|---|---|---|---|---|
| | 1 | 0.50x0.50 | 1.00 | 1.00 | 1.00 |

5. Losas y elementos de cimentación

| Losas cimentación | Canto (cm) | Módulo balasto (Tn/m3) | Tensión admisible (Tn/m2) |
|---|---|---|---|
| Todas | 50 | 3000.00 | 15.00 |

6. Normas consideradas

Hormigón: EHE-08
Aceros conformados: CTE DB SE
Aceros laminados y armados: CTE DB SE

7. Acciones consideradas

7.1. Gravitatorias

| Nombre del grupo | S.C.U (Tn/m2) | Cargas muertas (Tn/m2) |
|---|---|---|
| Tolva | 0.00 | 0.00 |
| Pilar | 0.00 | 0.00 |
| Cimentación | 0.00 | 0.00 |

7.2. Viento

Sin acción de viento

7.3. Sismo

Sin acción de sismo

7.4. Hipótesis de carga

| | | |
|---|---|---|
| Automáticas | Carga permanente | |
| | Sobrecarga de uso | |
| Adicionales | | |
| | Referencia | Naturaleza |
| | Sobrecarga | Sobrecarga de uso |
| | Viento | Viento |

| | | |
|---|---|---|

## 7.5. Cargas horizontales y en cabeza de pilares

### 7.5..1. Cargas horizontales en pilares

| Referencia pilar | Dirección de la carga | Tipo de carga | Hipótesis | Valor | Cota (m) |
|---|---|---|---|---|---|
| P1 | X General | Carga puntual | Viento | 0.33 Tn | 6.70 |
| | X General | Carga puntual | Viento | -0.33 Tn | 6.70 |
| | Y General | Carga puntual | Viento | 0.33 Tn | 6.70 |
| | Y General | Carga puntual | Viento | -0.33 Tn | 6.70 |
| P2 | X General | Carga puntual | Viento | 0.33 Tn | 6.70 |
| | X General | Carga puntual | Viento | -0.33 Tn | 6.70 |
| | Y General | Carga puntual | Viento | 0.33 Tn | 6.70 |
| | Y General | Carga puntual | Viento | -0.33 Tn | 6.70 |
| P3 | X General | Carga puntual | Viento | 0.33 Tn | 6.70 |
| | X General | Carga puntual | Viento | -0.33 Tn | 6.70 |
| | Y General | Carga puntual | Viento | 0.33 Tn | 6.70 |
| | Y General | Carga puntual | Viento | -0.33 Tn | 6.70 |
| P4 | X General | Carga puntual | Viento | 0.33 Tn | 6.70 |
| | X General | Carga puntual | Viento | -0.33 Tn | 6.70 |
| | Y General | Carga puntual | Viento | 0.33 Tn | 6.70 |
| | Y General | Carga puntual | Viento | -0.33 Tn | 6.70 |

### 7.5..2. Cargas en cabeza de pilar

| Referencia pilar | Hipótesis | N (Tn) | Mx (Tn·m) | My (Tn·m) | Qx (Tn) | Qy (Tn) | T (Tn·m) |
|---|---|---|---|---|---|---|---|
| P1 | Carga permanente | 1.16 | 0.00 | 0.00 | 0.00 | 0.00 | 0.00 |
| | Sobrecarga de uso | 18.00 | 0.00 | 0.00 | 0.00 | 0.00 | 0.00 |
| | Sobrecarga | 0.46 | 0.00 | 0.00 | 0.00 | 0.00 | 0.00 |
| P2 | Carga permanente | 1.16 | 0.00 | 0.00 | 0.00 | 0.00 | 0.00 |
| | Sobrecarga de uso | 18.00 | 0.00 | 0.00 | 0.00 | 0.00 | 0.00 |
| | Sobrecarga | 0.46 | 0.00 | 0.00 | 0.00 | 0.00 | 0.00 |
| P3 | Carga permanente | 1.16 | 0.00 | 0.00 | 0.00 | 0.00 | 0.00 |
| | Sobrecarga de uso | 18.00 | 0.00 | 0.00 | 0.00 | 0.00 | 0.00 |
| | Sobrecarga | 0.46 | 0.00 | 0.00 | 0.00 | 0.00 | 0.00 |
| P4 | Carga permanente | 1.16 | 0.00 | 0.00 | 0.00 | 0.00 | 0.00 |
| | Sobrecarga de uso | 18.00 | 0.00 | 0.00 | 0.00 | 0.00 | 0.00 |
| | Sobrecarga | 0.46 | 0.00 | 0.00 | 0.00 | 0.00 | 0.00 |

## 7.6. Listado de cargas

Cargas especiales introducidas (en Tm, Tm/m y Tm/m2)

| Grupo | Hipótesis | Tipo | Valor | Coordenadas |
|---|---|---|---|---|
| 0 | Sobrecarga de uso | Superficial | 1.00 | ( 4.50, 0.75) ( 4.50, 3.85) |
| | | | | ( 4.25, 3.85) ( 4.25, 4.10) |
| | | | | ( 0.75, 4.10) ( 0.75, 3.85) |
| | | | | ( 0.50, 3.85) ( 0.50, 0.75) |
| | | | | ( 0.75, 0.75) ( 0.75, 0.50) |
| | | | | ( 4.25, 0.50) ( 4.25, 0.75) |

## 8. Estados límite

| | |
|---|---|
| E.L.U. de rotura. Hormigón | EHE<br>Control de la ejecución: Normal |
| E.L.U. de rotura. Hormigón en cimentaciones | EHE<br>Control de la ejecución: Normal |
| Tensiones sobre el terreno | Acciones características |
| Desplazamientos | Acciones características |

## 9. Materiales utilizados

### 9.1. Hormigones

| Elemento | Hormigón | Plantas | Fck (Kp/cm2) | gc |
|---|---|---|---|---|
| Forjados | HA-30 , Control Estadístico | Todas | 255 | 1.50 |
| Cimentación | HA-30 , Control Estadístico | Todas | 255 | 1.50 |
| Pilares y pantallas | HA-30 , Control Estadístico | Todas | 255 | 1.50 |
| Muros | HA-30 , Control Estadístico | Todas | 255 | 1.50 |

### 9.2. Aceros por elemento y posición

#### 9.2.1. Aceros en barras

| Elemento | Posición | Acero | Fyk (Kp/cm2) | gs |
|---|---|---|---|---|
| Pilares y pantallas | Barras(verticales) | B 500 S , Control Normal | 5097 | 1.15 |
| | Estribos(Horizontales) | B 500 S , Control Normal | 5097 | 1.15 |
| Vigas | Negativos(superior) | B 500 S , Control Normal | 5097 | 1.15 |

| | | | | |
|---|---|---|---|---|
| | Positivos(inferior) | B 500 S , Control Normal | 5097 | 1.15 |
| | Montaje(superior) | B 500 S , Control Normal | 5097 | 1.15 |
| | Piel(lateral) | B 500 S , Control Normal | 5097 | 1.15 |
| | Estribos | B 500 S , Control Normal | 5097 | 1.15 |
| Vigas de cimentación | Refuerzo inferior | B 500 S , Control Normal | 5097 | 1.15 |
| | Superior | B 500 S , Control Normal | 5097 | 1.15 |
| | Inferior | B 500 S , Control Normal | 5097 | 1.15 |
| | Piel | B 500 S , Control Normal | 5097 | 1.15 |
| | Estribos | B 500 S , Control Normal | 5097 | 1.15 |
| Forjados | Punzonamiento | B 500 S , Control Normal | 5097 | 1.15 |
| | Negativos(superior) | B 500 S , Control Normal | 5097 | 1.15 |
| | Positivos(inferior) | B 500 S , Control Normal | 5097 | 1.15 |
| | Nervios negativos | B 500 S , Control Normal | 5097 | 1.15 |
| | Nervios positivos | B 500 S , Control Normal | 5097 | 1.15 |
| Losas de cimentación | Punzonamiento | B 500 S , Control Normal | 5097 | 1.15 |
| | Negativos(superior) | B 500 S , Control Normal | 5097 | 1.15 |
| | Positivos(inferior) | B 500 S , Control Normal | 5097 | 1.15 |

9.2.2. Aceros en perfiles

| Tipo acero | Acero | Lim. Elástico (Kp/cm2) | Módulo de elasticidad (Kp/cm2) |
|---|---|---|---|
| Aceros conformados | S235 | 2400 | 2100000 |
| Aceros laminados | S275 | 2600 | 2100000 |

## 4.2 ARMADO LOSAS

Armados de losas

Nombre Obra: Mombeltrán Fecha:06/02/07

---

|---|

| gr.pl. no 0 Cimentaci• |

| |

| PL. Igual 1 |

| |

|---|

Malla 1: Losa maciza

覧覧覧

## 4.3 ARMADO DE PILARES

Esfuerzos y armados de pilares, pantallas y muros

Nombre Obra: tolva de fangos Fecha:06/02/07

Mombeltrán

---

1. Armado de pilares y pantallas

1.1. Pilares

•Pl: Número de planta.

•Tramo: Nivel inicial / nivel final del tramo entre plantas.

•Armaduras:
Primer sumando: Armadura de esquina (perfil si es pilar metálico).
Segundo sumando: Armadura de cara X.
Tercer sumando: Armadura de cara Y.

•Estribos: Se indica solamente el estribo perimetral dispuesto. Si existen otros estribos y ramas debe consultar el dibujo del cuadro de pilares. Pueden existir distintas separaciones en cabeza, pie y nudo, que puede consultar en opciones y despiece de pilares. La separación está indicada en centímetros.

•Estado (Est): Código identificativo del estado del pilar por incumplimiento de algún criterio normativo.

•H: Altura libre del tramo de pilar sin arriostramiento intermedio.

•Hpx: Longitud de pandeo del tramo de pilar en dirección 'X'.

•Hpy: Longitud de pandeo del tramo de pilar en dirección 'Y'.

•Pésimos: Esfuerzos pésimos (mayorados), correspondientes a la peor combinación que produce las mayores tensiones y/o deformaciones. Incluye la amplificación de esfuerzos debidos a los efectos de segundo orden y excentricidad adicional por pandeo.

•Referencia: Esfuerzos pésimos (mayorados), correspondientes a la peor combinación que produce las mayores tensiones y/o deformaciones. Incluye la amplificación de esfuerzos debidos a los efectos de segundo orden (no incluye pandeo).

•Nota:
Los esfuerzos están referidos a ejes locales del pilar.
El sistema de unidades utilizado es N: (Tn) Mx,My: (Tn·m)

| | | | | | | | | | | | | | |
|---|---|---|---|---|---|---|---|---|---|---|---|---|---|
| | | | | | | | | | Pésimos | | | Referencia | |
| Pilar | Pl | Dimensión | Tramo | Armaduras | Estribos | Est. | H | Hpx | Hpy | N | Mx | My | N | Mx | My |
| P1 | 2 | 2xUPN-2... | 0.50/6.45 | 2xUPN-200([-]) | | | 7.05 | 7.05 | 7.05 | 30.43 | -0.46 | -0.20 | 30.43 | -0.46 | -0.20 |

| | | | | | | | | | | | | | |
|---|---|---|---|---|---|---|---|---|---|---|---|---|---|
| | 1 | 0.50x0.50 | -0.60/0.50 | 4Ø12+ | 2Ø12+4Ø12 | Ø6c/15 | | 7.05 | 7.05 | 7.05 | 33.66 | 3.15 | 2.14 | 33.66 | 0.57 | 0.25 |
| P2 | 2 | 2xUPN-2... | 0.50/6.45 | 2xUPN-200([-]) | | | | 7.05 | 7.05 | 7.05 | 30.43 | 0.46 | -0.20 | 30.43 | 0.46 | -0.20 |
| | 1 | 0.50x0.50 | -0.60/0.50 | 4Ø12+ | 2Ø12+4Ø12 | Ø6c/15 | | 7.05 | 7.05 | 7.05 | 33.66 | 3.15 | 2.14 | 33.66 | 0.57 | 0.25 |
| P3 | 2 | 2xUPN-2... | 0.50/6.45 | 2xUPN-200([-]) | | | | 7.05 | 7.05 | 7.05 | 30.43 | 0.46 | 0.20 | 30.43 | 0.46 | 0.20 |
| | 1 | 0.50x0.50 | -0.60/0.50 | 4Ø12+ | 2Ø12+4Ø12 | Ø6c/15 | | 7.05 | 7.05 | 7.05 | 33.66 | 3.15 | 2.14 | 33.66 | 0.57 | 0.25 |
| P4 | 2 | 2xUPN-2... | 0.50/6.45 | 2xUPN-200([-]) | | | | 7.05 | 7.05 | 7.05 | 30.43 | -0.46 | 0.20 | 30.43 | -0.46 | 0.20 |
| | 1 | 0.50x0.50 | -0.60/0.50 | 4Ø12+ | 2Ø12+4Ø12 | Ø6c/15 | | 7.05 | 7.05 | 7.05 | 33.66 | 3.15 | 2.14 | 33.66 | 0.57 | 0.25 |

# ANEJO DE CÁLCULO

# 12.- MUROS DE ESCOLLERA

# INDICE

**1. INTRODUCCIÓN. ..... 1**

**2. DESCRIPCIÓN Y BASES DE CÁLCULO ..... 1**

2.1 DESCRIPCIÓN DE LAS ESTRUCTURAS ..... 1

2.2 BASES DE CÁLCULO ..... 2

*2.2.1 Instrucciones y normas aplicadas ..... 2*

*2.2.2 Modelo de cálculo ..... 2*

**3. ACCIONES E HIPÓTESIS DE CÁLCULO ..... 2**

3.1 ACCIONES PERMANENTES ..... 2

*3.1.1 Peso Propio ..... 2*

*3.1.2 Sobrecarga de tierras ..... 2*

3.2 ACCIONES ACCIDENTALES ..... 3

**4. MUROS DE SOSTENIMIENTO H < 2.0 METROS ..... 4**

# 1. INTRODUCCIÓN.

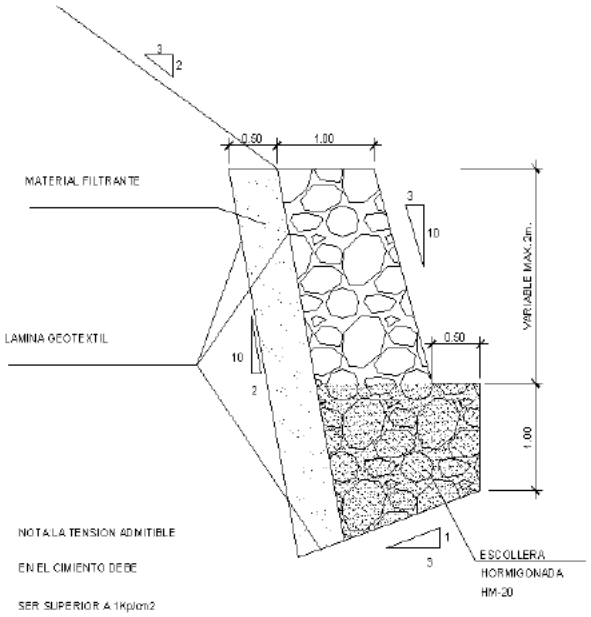
El objeto del presente documento es la realización de los cálculos estructurales de los muros de escollera presentes en el "PROYECTO DE CONSTRUCCIÓN DE EMISARIOS Y E.D.A.R. EN MOMBELTRÁN Y SAN ESTEBAN DEL VALLE".

El muro escollera protege la explanada hasta la cota máxima de avenida, estimada en 524.00, según se indica en el correspondiente anejo.

# 2. DESCRIPCIÓN Y BASES DE CÁLCULO

## 2.1 DESCRIPCIÓN DE LAS ESTRUCTURAS

### Sección tipo




SECCION TIPO (SOSTENIMIENTO)

ESCALA 1/25

## 2.2 BASES DE CÁLCULO

### 2.2.1 Instrucciones y normas aplicadas

- Recomendaciones para el diseño y construcción de muros de escollera en obras de carreteras

### 2.2.2 Modelo de cálculo

Se sigue el modelo de cálculo definido en las "Recomendaciones para el diseño y construcción de muros de escollera en obras de carreteras"

# 3. ACCIONES E HIPÓTESIS DE CÁLCULO

## 3.1 ACCIONES PERMANENTES

### 3.1.1 Peso Propio

Para el cálculo del peso propio se ha considerado, siguiendo las "Recomendaciones para el diseño y construcción de muros de escollera en obras de carreteras", una densidad de la escollera de 17 KN/m$^3$, que corresponde a una colocación buena.

### 3.1.2 Sobrecarga de tierras

Se considera, en el caso de los muros de escollera, una densidad del relleno de 20 KN/m$^3$ y un ángulo de rozamiento interno de 30º.

Para el cálculo de empujes se toma el coeficiente de empuje activo de Coulomb.

## 3.2 ACCIONES ACCIDENTALES

Acciones sísmicas (NCSE-02)

La acción sísmica se considera cuando el valor de la aceleración básica sea superior o igual a 0,04 g, siendo g la aceleración de la gravedad.

En este caso la zona corresponde a una aceleración sísmica básica ab < 0,04 g y por tanto, no resulta necesario la consideración de la acción sísmica.

# 4. MUROS DE SOSTENIMIENTO H < 2.0 METROS

**PROYECTO DE CONSTRUCCIÓN DE EDAR EN MOMBELTRÁN Y SAN ESTEBAN DEL VALLE**
**MURO DE SOSTENIMIENTO CON Hmax= 2 M.**

**DATOS**

| | | |
|---|---|---|
| PENDIENTE DEL TRASDOS (N/10) | N | 2.000 |
| ANGULO DEL TALUD DEL TERRENO | B | 33.690 |
| ANGULO DE ROZ. TERRENO-TRASDOS | D | 22.460 |
| ANGULO DE ROZ. INTERNO DEL TERRENC | FIT | 33.690 |
| ANGULO DE ROZ. TERRENO-CIMENTACIOI | FITZ | 33.690 |
| DENSIDAD DEL TERRENO (T/m3) | GT | 2.000 |
| DENSIDAD DE LA ESCOLLERA (T/m3) | GM | 1.700 |
| ANCHO EN CORONACION (m) | AC | 1.000 |
| ALTURA DEL MURO (m) | H | 2.000 |
| PUNTERA (m) | X0 | 0.500 |
| SOBRECARGA (T/m2) | P | 0.000 |
| TENSIÓN ADMISIBLE ($T/m^2$) | $\sigma_{ad}$ | 20.000 |

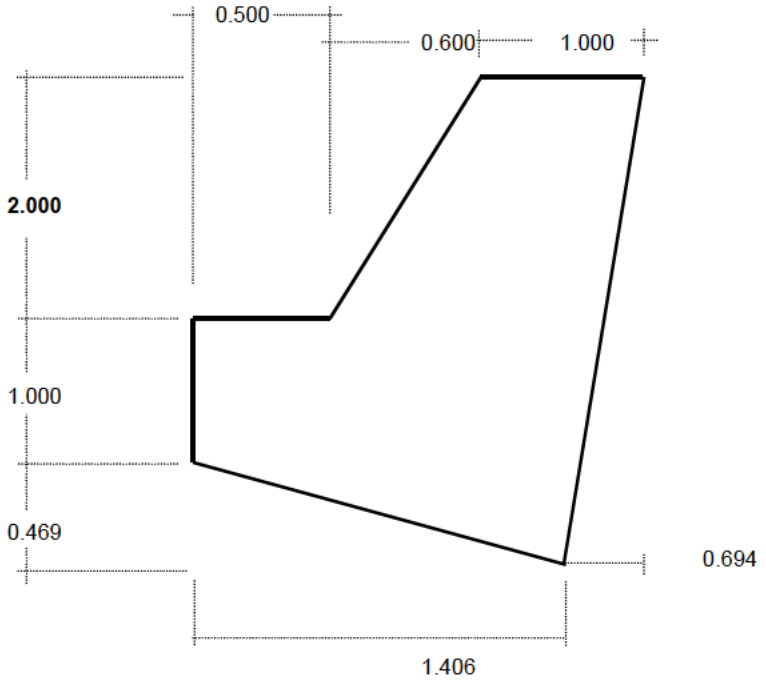
**RESULTADOS**

| | | | |
|---|---|---|---|
| Coeficiente de Empuje Activo | | KA= | 0.530 |
| Angulo del intradós | | AINT= | 16.699 |
| Puntera | | X0= | 0.500 |
| | | D4= | 0.478 |
| Altura tacón cimentación | | Z= | 0.469 |
| Empujes | | EA1= | 6.377 |
| | | EA2= | 0.000 |
| | | EA= | 6.377 |
| | | ET= | 5.546 |
| | | EN= | 3.148 |
| | | YA1= | 1.156 |
| | | YA2= | 1.734 |
| | | YA= | 1.156 |
| | | D3= | 0.293 |
| | | D2= | 0.377 |
| Momento volcador | | MV= | 2.404 |
| | dist. | X1= | 0.900 |
| | peso | W1= | 1.020 |
| | dist. | X2= | 1.600 |
| | peso | W2= | 3.400 |
| | dist. | X3= | 1.967 |
| | peso | W3= | 0.680 |
| | dist. | X4= | 0.750 |
| | peso | W4= | 2.550 |
| | dist. | X5= | 1.133 |
| | peso | W5= | 0.598 |
| | dist. | X6= | 1.602 |
| | peso | W6= | 0.367 |
| | | W= | 6.521 |
| | | WT= | 2.062 |
| | | WN= | 6.186 |
| Momento estabilizador | | ME= | 7.023 |

**COEFICIENTES DE SEGURIDAD**

| | | |
|---|---|---|
| COEF. DE SEGURIDAD AL DESLIZAMIENTO | FD= | 1.786 |
| COEFICIENTE DE SEGURIDAD AL VUELCO | FV= | 2.921 |
| TENSIÓN MÁXIMA ($T/m^2$) | $\sigma_{max}$ = | 7.0 |
| TENSIÓN MÍNIMA ($T/m^2$) | $\sigma_{min}$ = | 5.6 |
| TENSIÓN MEDIA ($T/m^2$) | $\sigma_{med}$ = | 6.3 |
| TENSIÓN ADMISIBLE NECESARIA ($T/m^2$) | $\sigma_{ad}$ = | 6.3 |

## MURO TIPO. ALTURA = 2 m



# 13.- ALIVIADEROS

# 13.- ALIVIADEROS

## ÍNDICE

1. MÉTODO DE CÁLCULO ..... 1
1.1. Modelo y campo de aplicación ..... 1
1.2. Hipótesis de cálculo ..... 1
1.3. Gráficas de acciones y esfuerzos ..... 2
2. CARACTERÍSTICAS GENERALES DEL PROYECTO ..... 3
2.1. Coeficientes de seguridad ..... 3
2.2. Materiales ..... 3
2.3. Terreno ..... 3
2.4. Características del contenido del aliviadero ..... 4
3. ALIVIADERO DE VILLAREJO DEL VALLE ..... 4
3.1. Acciones y esfuerzos ..... 4
3.1.1. Paredes: ..... 4
3.1.2. Solera: ..... 4
3.2. Datos geométricos ..... 5
3.2.1. Dimensiones ..... 5
3.2.2. Espesores ..... 5
3.3. Comprobación - EHE ..... 5
3.3.1. Cálculo de armadura ..... 5
3.3.2. Cuantías de amadura ..... 6
3.3.3. Comprobación a fisuración ..... 7
3.3.4. Comprobación a cortante ..... 8
3.4. Armadura ..... 9

3.5. Mediciones del aliviadero ..... 10
3.5.1. Hormigón ..... 10
3.5.2. Hormigón de limpieza ..... 10
3.5.3. Acero ..... 10
4. ALIVIADERO Nº1 DE SANTA CRUZ DEL VALLE ..... 12
4.1. Acciones y esfuerzos ..... 12
4.1.1. Paredes ..... 12
4.1.2. Solera ..... 12
4.2. Datos geométricos ..... 13
4.2.1. Dimensiones ..... 13
4.2.2. Espesores ..... 13
4.3. Comprobación - EHE ..... 13
4.3.1. Cálculo de armadura ..... 13
4.3.2. Cuantías de armadura ..... 14
4.3.3. Comprobación a fisuración ..... 15
4.3.4. Comprobación a cortante ..... 16
4.4. Armadura ..... 17
4.5. Mediciones del aliviadero ..... 18
4.5.1. Hormigón ..... 18
4.5.2. Hormigón de limpieza ..... 18
4.5.3. Acero ..... 18
5. ALIVIADERO Nº1 DE CUEVAS DEL VALLE Y ALIVIADERO Nº2 DE SANTA CRUZ DEL VALLE ..... 19
5.1. Acciones y esfuerzos ..... 19
5.1.1. Paredes ..... 19
5.1.2. Solera ..... 20
5.2. Datos geométricos ..... 20
5.2.1. Dimensiones ..... 20
5.2.2. Espesores ..... 20
5.3. Comprobación - EHE ..... 20

5.3.1. Cálculo de armadura ..... 20
5.3.2. Cuantías de armadura ..... 21
5.3.3. Comprobación a fisuración ..... 22
5.3.4. Comprobación a cortante ..... 23
5.4. Armadura ..... 24
5.5. Mediciones del aliviadero ..... 25
5.5.1. Hormigón ..... 25
5.5.2. Hormigón de limpieza ..... 25
5.5.3. Acero ..... 25
6. ALIVIADERO Nº2 DE CUEVAS DEL VALLE Y ALIVIADERO DE SAN ESTEBAN DEL VALLE ..... 26
6.1. Acciones y esfuerzos ..... 26
6.1.1. Paredes ..... 26
6.1.2. Solera ..... 27
6.2. Datos geométricos ..... 27
6.2.1. Dimensiones ..... 27
6.2.2. Espesores ..... 27
6.3. Comprobación - EHE ..... 27
6.3.1. Cálculo de armadura ..... 27
6.3.2. Cuantías de armadura ..... 28
6.3.3. Comprobación a fisuración ..... 29
6.3.4. Comprobación a cortante ..... 30
6.4. Armadura ..... 31
6.5. Mediciones del aliviadero ..... 32
6.5.1. Hormigón ..... 32
6.5.2. Hormigón de limpieza ..... 32
6.5.3. Acero ..... 32
7. ALIVIADERO DE MOMBELTRÁN ..... 33
7.1. Acciones y esfuerzos ..... 33
7.1.1. Paredes ..... 33

7.1.2. Solera ..... 34
7.2. Datos geométricos ..... 34
7.2.1. Dimensiones ..... 34
7.2.2. Espesores ..... 34
7.3. Comprobación - EHE ..... 34
7.3.1. Cálculo de armadura ..... 34
7.3.2. Cuantías de armadura ..... 35
7.3.3. Comprobación a fisuración ..... 36
7.3.4. Comprobación a cortante ..... 37
7.4. Armadura ..... 38
7.5. Mediciones del aliviadero ..... 39
7.5.1. Hormigón ..... 39
7.5.2. Hormigón de limpieza ..... 39
7.5.3. Acero ..... 39

# 1. MÉTODO DE CÁLCULO

## 1.1. Modelo y campo de aplicación

El programa DPwinEHE está indicado para el cálculo de pequeños o medianos depósitos, los cuales se pueden ejecutar con continuidad entre la solera y las paredes, sin necesidad de disponer juntas que independicen la solera de las paredes (facilidad de ejecución).

El cálculo de esfuerzos en las paredes se hace, considerando estas como placas con un extremo libre y los otros tres empotrados. Mientras el cálculo de la solera se hace asimilando esta a una losa empotrada en sus cuatro extremos.

Al no existir juntas que independicen las paredes y la solera entre sí, el empuje del contenido del depósito sobre una pared determinada induce tracciones en las paredes contiguas y en la solera que son tenidas en cuenta por el programa. Estas tracciones deben ser resistidas por la armadura de la solera y la armadura horizontal de las paredes del depósito; provocando un aumento de la cuantía de dicha armadura.

Para el diseño de las arquetas, este programa emplea como parámetros iniciales las dimensiones interiores de la misma, siendo la armadura y el espesor de los muros y la solera el resultado del cálculo. Cabe aclarar que estas dimensiones interiores son las que aparecen en la memoria de cálculo, siendo las dimensiones geométricas finales la suma de éstas más el espesor de muros y solera.

## 1.2. Hipótesis de cálculo

Para el cálculo de esfuerzos sobre las paredes del depósito, se van a utilizar las siguientes hipótesis de cálculo:

1º Considerando el empuje del material contenido en el depósito, sin considerar las tierras.

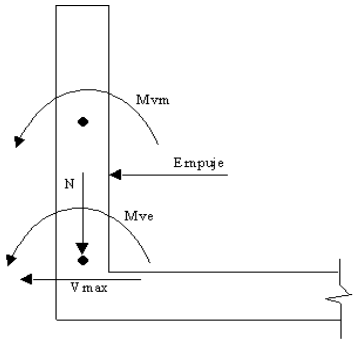
2º Considerando el empuje de tierras con el depósito vacío.

Para el cálculo de esfuerzos sobre la solera se considerará la presión del terreno de cimentación con el depósito vacío, considerando la solera como una losa empotrada en sus cuatro extremos; y considerando además los esfuerzos que producen las paredes del depósito sobre la solera (momento en el arranque de la

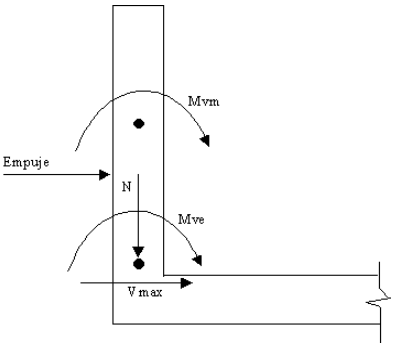
pared y tracción debida al empuje del material contenido en el depósito).

Una vez calculados los esfuerzos que solicitan las paredes y la solera del depósito se determinará la armadura necesaria para resistirlos y se comprobará que cumple la sección resultante, las condiciones impuestas por la EHE en cuanto a cuantías mínimas de armadura, separaciones, estados límites últimos y de servicio; en especial el estado límite de fisuración y el de cortante.

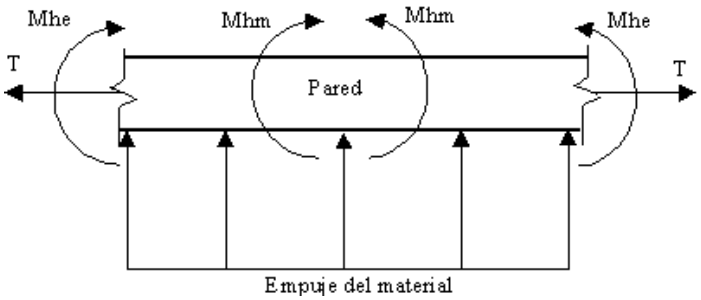
## 1.3. Gráficas de acciones y esfuerzos



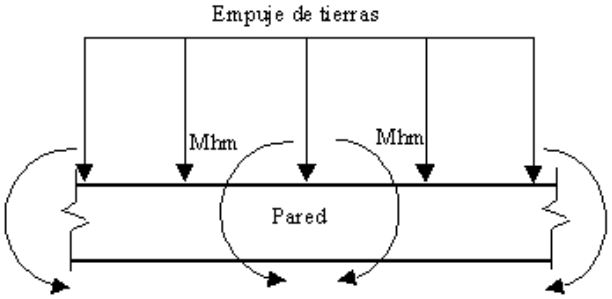

**1.A-** Sección Transversal de la Pared.
Empuje del material contenido en el depósito



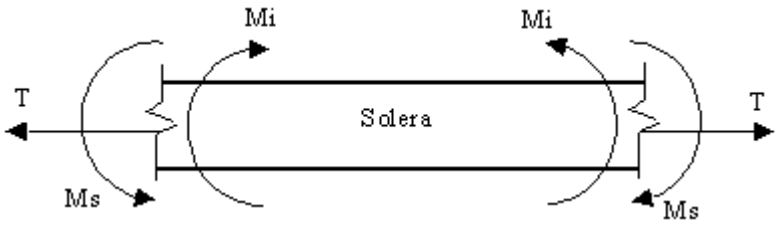

**2.A**- Sección en Planta de la Pared
Empuje del terreno sobre el depósito




**1.B**- Sección en Planta de la Pared.
Empuje del material contenido en el depósito




**2.B**- Sección en Planta de la Pared.
Empuje del terreno sobre el depósito




**3.A**- Sección Transversal de la Solera del Depósito.

# 2. CARACTERÍSTICAS GENERALES DEL PROYECTO

## 2.1. Coeficientes de seguridad

| | |
|---|---|
| Nivel de control de ejecución: | Normal |
| Situación de proyecto: | Persistente o transitoria |
| Sobre las acciones: | 1,50 |
| Sobre el acero: | 1,15 |
| Sobre el hormigón: | 1,50 |

## 2.2. Materiales

| | |
|---|---|
| **Tipo de Hormigón** | HA-30 / P / 20 / IV+□b |
| Resistencia característica (N/mm□): | 30 |
| Tipo de consistencia: | Plástica |
| Diámetro máximo del árido (mm): | 20 |
| **Ambiente:** | |
| Tipo de Ambiente: | IV+□b |
| Ancho máximo de fisura (mm): | 0,10 |
| Recubrimiento nominal (mm): | 50 |
| **Tipo de Acero:** | B500S |
| Resistencia característica (N/mm□) | 500 |

## 2.3. Terreno

| | |
|---|---|
| **Características del Terreno de Cimentación** | |
| Naturaleza: | Terrenos coherentes |
| Característica: | Arcillosos blandos |
| Presión admisible (N/mm□): | 0,10 |
| **Características del Terreno Lateral** | |
| Característica: | Arcillosos blandos |
| Clase: | Arcilla |
| Peso Específico (kN/m$^3$): | 20,00 |
| □ngulo de Rozamiento Interno (º): | 20,0 |
| Talud del Terreno (º): | 0,0 |
| Coeficiente de Empuje Activo: | 0,49 |

## 2.4. Características del contenido del aliviadero

| | |
|---|---|
| Clasificación: | Líquidos |
| Tipo: | Agua |
| Peso Específico (kN/m3): | 10,00 |
| Ángulo de Rozamiento Interno (º): | 0,0 |
| Ángulo en Reposo (º): | 0,0 |
| Coeficiente de Empuje Activo: | 1,00 |

# 3. ALIVIADERO DE VILLAREJO DEL VALLE

## 3.1. Acciones y esfuerzos

| | |
|---|---|
| Peso del Material (kN): | 44,77 |
| Peso de la Solera (kN): | 24,37 |
| Peso de las Paredes (kN): | 68,45 |
| Presión media sobre el terreno (N/mm2): | 0,04 |

### 3.1.1. Paredes:

**Acciones y Esfuerzos producidos por el Empuje del Material sobre las Secciones de Cálculo de Paredes**

| Sección de Cálculo | Empuje (kN/m) | N (kN/m) | T (kN/m) | Mvm (kN•m/m) | Mhm (kN•m/m) | Mve (kN•m/m) | Mhe (kN•m/m) | Vmax (kN/m) | Fmax (mm) |
|---|---|---|---|---|---|---|---|---|---|
| Pared Transversal | 17,11 | 9,25 | 6,01 | -0,63 | -0,82 | 2,22 | 1,90 | 10,10 | 0,01 |
| Pared Longitudinal | 17,11 | 9,25 | 4,37 | -0,82 | -1,11 | 3,12 | 2,48 | 11,99 | 0,02 |

Ver gráficas 1.a – 1.b

**Acciones y Esfuerzos producidos por el Empuje de Tierras sobre las Secciones de Cálculo de Paredes**

| Sección de Cálculo | Empuje (kN/m) | N (kN/m) | T (kN/m) | Mvm (kN•m/m) | Mhm (kN•m/m) | Mve (kN•m/m) | Mhe (kN•m/m) | Vmax (kN/m) | Fmax (mm) |
|---|---|---|---|---|---|---|---|---|---|
| Pared Transversal | 16,78 | 9,25 | 6,01 | -0,62 | -0,81 | 2,17 | 1,86 | 9,90 | 0,01 |
| Pared Longitudinal | 16,78 | 9,25 | 4,37 | -0,81 | -1,09 | 3,06 | 2,43 | 11,75 | 0,02 |

Ver gráficas 2.a – 2.b

### 3.1.2. Solera:

**Acciones y Esfuerzos sobre la Solera**

| Sección de Cálculo | T (kN/m) | Mi (kN•m/m) | Ms (kN•m/m) |
|---|---|---|---|
| Sección Longitudinal de Solera | 7,85 | 3,67 | 3,12 |
| Sección Transversal de Solera | 6,85 | 2,17 | 2,22 |

Ver gráfica 3.a

## 3.2. Datos geométricos

Sección en Planta: Rectangular
Posición: Enterrado
Tipo: A

### 3.2.1. Dimensiones

a (m): 2,20
b (m): 1,10
h (m): 1,85

### 3.2.2. Espesores

Ea (m): 0,20
Eb (m): 0,20
Espesor Solera (m): 0,25

## 3.3. Comprobación - EHE

### 3.3.1. Cálculo de armadura

| Tipo | Nd (kN/m) | Md (kN·m/m) | AANecFlex ($cm^2$) | Td (kN/m) | AANec Trac ($cm^2$) | AAR ($cm^2$) |
|---|---|---|---|---|---|---|
| 1 Vertical exterior de alzado pared longitudinal (x2) | 4,62 | 1,23 | 0,15 | 0,00 | 0,00 | 4,52 |
| 1H Horizontal exterior de alzado pared longitudinal (x2) | 0,00 | 3,72 | 0,71 | 6,56 | 0,08 | 4,52 |
| 2 Vertical interior de alzado pared longitudinal (x2) | 4,62 | 1,23 | 0,15 | 0,00 | 0,00 | 4,52 |
| 2H Horizontal interior de alzado pared longitudinal (x2) | 0,00 | 3,72 | 0,71 | 6,56 | 0,08 | 4,52 |
| 3 Vertical interior de arranque pared longitudinal (x2) | 9,25 | 4,67 | 0,72 | 0,00 | 0,00 | 4,52 |
| 3H Horizontal interior de arranque pared longitudinal (x2) | 0,00 | 3,72 | 0,71 | 6,56 | 0,08 | 4,52 |
| 4 Vertical exterior de arranque pared longitudinal (x2) | 9,25 | 4,67 | 0,72 | 0,00 | 0,00 | 4,52 |
| 4H Horizontal exterior de arranque pared longitudinal (x2) | 0,00 | 3,72 | 0,71 | 6,56 | 0,08 | 4,52 |
| 5 Transversal inferior de solera | 0,00 | 5,50 | 0,76 | 11,78 | 0,14 | 4,52 |
| 6 Transversal superior de solera | 0,00 | 5,50 | 0,76 | 11,78 | 0,14 | 4,52 |
| 7 Vertical exterior de alzado pared transversal (x2) | 4,62 | 0,95 | 0,09 | 0,00 | 0,00 | 4,52 |
| 7H Horizontal exterior de alzado pared transversal (x2) | 0,00 | 2,85 | 0,54 | 9,01 | 0,10 | 4,52 |
| 8 Vertical interior de alzado pared transversal (x2) | 4,62 | 0,95 | 0,09 | 0,00 | 0,00 | 4,52 |

| | | | | | | |
|---|---|---|---|---|---|---|
| 8H<br>Horizontal interior de alzado pared transversal (x2) | 0,00 | 2,85 | 0,54 | 9,01 | 0,10 | 4,52 |
| 9<br>Vertical interior de arranque pared transversal (x2) | 9,25 | 3,32 | 0,46 | 0,00 | 0,00 | 4,52 |
| 9H<br>Horizontal interior de arranque pared transversal (x2) | 0,00 | 2,85 | 0,54 | 9,01 | 0,10 | 4,52 |
| 10<br>Vertical exterior de arranque pared transversal (x2) | 9,25 | 3,32 | 0,46 | 0,00 | 0,00 | 4,52 |
| 10H<br>Horizontal exterior de arranque pared transversal (x2) | 0,00 | 2,85 | 0,54 | 9,01 | 0,10 | 4,52 |
| 13<br>Longitudinal superior de solera | 0,00 | 3,32 | 0,46 | 10,27 | 0,12 | 4,52 |
| 14<br>Longitudinal inferior de solera | 0,00 | 3,32 | 0,46 | 10,27 | 0,12 | 4,52 |

### 3.3.2. Cuantías de amadura

| Tipo | AAMec Comp ($cm^2$) | AAMecTrac ($cm^2$) | AAMecFlex ($cm^2$) | AAGeom Trac ($cm^2$) | AAGeom Com ($cm^2$) | AAR (cm2) |
|---|---|---|---|---|---|---|
| 1<br>Vertical exterior de alzado pared longitudinal (x2) | 0,00 | 0,00 | 0,22 | 1,80 | 0,00 | 4,52 |
| 1H<br>Horizontal exterior de alzado pared longitudinal (x2) | 0,00 | 0,00 | 1,00 | 1,60 | 0,00 | 4,52 |
| 2<br>Vertical interior de alzado pared longitudinal (x2) | 0,00 | 0,00 | 0,22 | 1,80 | 0,00 | 4,52 |
| 2H<br>Horizontal interior de alzado pared longitudinal (x2) | 0,00 | 0,00 | 1,00 | 1,60 | 0,00 | 4,52 |
| 3<br>Vertical interior de arranque pared longitudinal (x2) | 0,00 | 0,00 | 1,01 | 1,80 | 0,00 | 4,52 |
| 3H<br>Horizontal interior de arranque pared longitudinal (x2) | 0,00 | 0,00 | 1,00 | 1,60 | 0,00 | 4,52 |
| 4<br>Vertical exterior de arranque pared longitudinal (x2) | 0,00 | 0,00 | 1,01 | 1,80 | 0,00 | 4,52 |
| 4H<br>Horizontal exterior de arranque pared longitudinal (x2) | 0,00 | 0,00 | 1,00 | 1,60 | 0,00 | 4,52 |
| 5<br>Transversal inferior de solera | 0,00 | 0,00 | 1,08 | 2,25 | 2,25 | 4,52 |
| 6<br>Transversal superior de solera | 0,00 | 0,00 | 1,08 | 2,25 | 2,25 | 4,52 |
| 7<br>Vertical exterior de alzado pared transversal (x2) | 0,00 | 0,00 | 0,14 | 1,80 | 0,00 | 4,52 |
| 7H<br>Horizontal exterior de alzado pared transversal (x2) | 0,00 | 0,00 | 0,77 | 1,60 | 0,00 | 4,52 |
| 8<br>Vertical interior de alzado pared transversal (x2) | 0,00 | 0,00 | 0,14 | 1,80 | 0,00 | 4,52 |
| 8H<br>Horizontal interior de alzado pared transversal (x2) | 0,00 | 0,00 | 0,77 | 1,60 | 0,00 | 4,52 |
| 9<br>Vertical interior de arranque pared transversal (x2) | 0,00 | 0,00 | 0,66 | 1,80 | 0,00 | 4,52 |
| 9H<br>Horizontal interior de arranque pared transversal (x2) | 0,00 | 0,00 | 0,77 | 1,60 | 0,00 | 4,52 |
| 10<br>Vertical exterior de arranque pared transversal (x2) | 0,00 | 0,00 | 0,66 | 1,80 | 0,00 | 4,52 |

| | | | | | | |
|---|---|---|---|---|---|---|
| 10H<br>Horizontal exterior de arranque pared transversal (x2) | 0,00 | 0,00 | 0,77 | 1,60 | 0,00 | 4,52 |
| 13<br>Longitudinal superior de solera | 0,00 | 0,00 | 0,66 | 2,25 | 2,25 | 4,52 |
| 14<br>Longitudinal inferior de solera | 0,00 | 0,00 | 0,66 | 2,25 | 2,25 | 4,52 |

### 3.3.3. Comprobación a fisuración

| Tipo | Nd (kN/m) | Md (kN·m/m) | MFis (kN·m/m) | WkFlex (mm) | Td (kN/m) | σSTrac (N/mm²) | WkTrac (mm) | WAdm (mm) |
|---|---|---|---|---|---|---|---|---|
| 1<br>Vertical exterior de alzado pared longitudinal (x2) | 4,62 | 0,82 | 19,36 | 0,00 | 0,00 | 0,00 | 0,00 | 0,10 |
| 1H<br>Horizontal exterior de alzado pared longitudinal (x2) | 0,00 | 2,48 | 19,36 | 0,00 | 4,37 | 19,32 | 0,02 | 0,10 |
| 2<br>Vertical interior de alzado pared longitudinal (x2) | 4,62 | 0,82 | 19,36 | 0,00 | 0,00 | 0,00 | 0,00 | 0,10 |
| 2H<br>Horizontal interior de alzado pared longitudinal (x2) | 0,00 | 2,48 | 19,36 | 0,00 | 4,37 | 19,32 | 0,02 | 0,10 |
| 3<br>Vertical interior de arranque pared longitudinal (x2) | 9,25 | 3,12 | 19,36 | 0,00 | 0,00 | 0,00 | 0,00 | 0,10 |
| 3H<br>Horizontal interior de arranque pared longitudinal (x2) | 0,00 | 2,48 | 19,36 | 0,00 | 4,37 | 19,32 | 0,02 | 0,10 |
| 4<br>Vertical exterior de arranque pared longitudinal (x2) | 9,25 | 3,12 | 19,36 | 0,00 | 0,00 | 0,00 | 0,00 | 0,10 |
| 4H<br>Horizontal exterior de arranque pared longitudinal (x2) | 0,00 | 2,48 | 19,36 | 0,00 | 4,37 | 19,32 | 0,02 | 0,10 |
| 5<br>Transversal inferior de solera | 0,00 | 3,67 | 30,29 | 0,00 | 7,85 | 34,71 | 0,06 | 0,10 |
| 6<br>Transversal superior de solera | 0,00 | 3,67 | 30,29 | 0,00 | 7,85 | 34,71 | 0,06 | 0,10 |
| 7<br>Vertical exterior de alzado pared transversal (x2) | 4,62 | 0,63 | 19,36 | 0,00 | 0,00 | 0,00 | 0,00 | 0,10 |
| 7H<br>Horizontal exterior de alzado pared transversal (x2) | 0,00 | 1,90 | 19,36 | 0,00 | 6,01 | 26,56 | 0,04 | 0,10 |
| 8<br>Vertical interior de alzado pared transversal (x2) | 4,62 | 0,63 | 19,36 | 0,00 | 0,00 | 0,00 | 0,00 | 0,10 |
| 8H<br>Horizontal interior de alzado pared transversal (x2) | 0,00 | 1,90 | 19,36 | 0,00 | 6,01 | 26,56 | 0,04 | 0,10 |
| 9<br>Vertical interior de arranque pared transversal (x2) | 9,25 | 2,22 | 19,36 | 0,00 | 0,00 | 0,00 | 0,00 | 0,10 |
| 9H<br>Horizontal interior de arranque pared transversal (x2) | 0,00 | 1,90 | 19,36 | 0,00 | 6,01 | 26,56 | 0,04 | 0,10 |

| | | | | | | | | |
|---|---|---|---|---|---|---|---|---|
| 10<br>Vertical exterior de arranque pared transversal<br>(x2) | 9,25 | 2,22 | 19,36 | 0,00 | 0,00 | 0,00 | 0,00 | 0,10 |
| 10H<br>Horizontal exterior de arranque pared transversal<br>(x2) | 0,00 | 1,90 | 19,36 | 0,00 | 6,01 | 26,56 | 0,04 | 0,10 |
| 13<br>Longitudinal superior de solera | 0,00 | 2,22 | 30,29 | 0,00 | 6,85 | 30,26 | 0,05 | 0,10 |
| 14<br>Longitudinal inferior de solera | 0,00 | 2,22 | 30,29 | 0,00 | 6,85 | 30,26 | 0,05 | 0,10 |

### 3.3.4. Comprobación a cortante

| Tipo | $N_{Qd1}$ (kN/m) | Qd1 (kN/m) | Vu1 (kN/m) | $N_{Qd2}$ (kN/m) | Qd2 (kN/m) | Vu2 (kN/m) |
|---|---|---|---|---|---|---|
| 1<br>Vertical exterior de alzado pared longitudinal<br>(x2) | 4,62 | 5,99 | 792,00 | 4,62 | 5,99 | 61,45 |
| 1H<br>Horizontal exterior de alzado pared longitudinal<br>(x2) | -4,37 | 11,99 | 792,00 | -6,56 | 11,99 | 60,34 |
| 2<br>Vertical interior de alzado pared longitudinal<br>(x2) | 4,62 | 5,99 | 792,00 | 4,62 | 5,99 | 61,45 |
| 2H<br>Horizontal interior de alzado pared longitudinal<br>(x2) | -4,37 | 11,99 | 792,00 | -6,56 | 11,99 | 60,34 |
| 3<br>Vertical interior de arranque pared longitudinal<br>(x2) | 9,25 | 11,99 | 792,00 | 9,25 | 11,99 | 61,90 |
| 3H<br>Horizontal interior de arranque pared longitudinal<br>(x2) | -4,37 | 11,99 | 792,00 | -6,56 | 11,99 | 60,34 |
| 4<br>Vertical exterior de arranque pared longitudinal<br>(x2) | 9,25 | 11,99 | 792,00 | 9,25 | 11,99 | 61,90 |
| 4H<br>Horizontal exterior de arranque pared longitudinal<br>(x2) | -4,37 | 11,99 | 792,00 | -6,56 | 11,99 | 60,34 |
| 5<br>Transversal inferior de solera | -7,85 | 2,55 | 1092,00 | -11,78 | 2,55 | 68,08 |
| 6<br>Transversal superior de solera | -7,85 | 2,55 | 1092,00 | -11,78 | 2,55 | 68,08 |
| 7<br>Vertical exterior de alzado pared transversal<br>(x2) | 4,62 | 5,05 | 792,00 | 4,62 | 5,05 | 61,45 |
| 7H<br>Horizontal exterior de alzado pared transversal<br>(x2) | -6,01 | 10,10 | 792,00 | -9,01 | 10,10 | 60,10 |
| 8<br>Vertical interior de alzado pared transversal<br>(x2) | 4,62 | 5,05 | 792,00 | 4,62 | 5,05 | 61,45 |
| 8H<br>Horizontal interior de alzado pared transversal<br>(x2) | -6,01 | 10,10 | 792,00 | -9,01 | 10,10 | 60,10 |
| 9<br>Vertical interior de arranque pared transversal<br>(x2) | 9,25 | 10,10 | 792,00 | 9,25 | 10,10 | 61,90 |
| 9H<br>Horizontal interior de arranque pared transversal<br>(x2) | -6,01 | 10,10 | 792,00 | -9,01 | 10,10 | 60,10 |
| 10<br>Vertical exterior de arranque pared transversal<br>(x2) | 9,25 | 10,10 | 792,00 | 9,25 | 10,10 | 61,90 |
| 10H<br>Horizontal exterior de arranque pared transversal<br>(x2) | -6,01 | 10,10 | 792,00 | -9,01 | 10,10 | 60,10 |
| 13<br>Longitudinal superior de solera | -6,85 | 2,55 | 1092,00 | -10,27 | 2,55 | 68,25 |
| 14<br>Longitudinal inferior de solera | -6,85 | 2,55 | 1092,00 | -10,27 | 2,55 | 68,25 |

## 3.4. Armadura

| Tipo | Nº Red./m | ø (mm) | Separación (m) | Area ($cm^2/m$) | Longitud (m) |
|---|---|---|---|---|---|
| 1<br>Vertical exterior de alzado pared longitudinal | 4 | 12 | 0,25 | 4,52 | 1,89 |
| 1H<br>Horizontal exterior de alzado pared longitudinal | 4 | 12 | 0,25 | 4,52 | 2,42 |
| 2<br>Vertical interior de alzado pared longitudinal | 4 | 12 | 0,25 | 4,52 | 1,84 |
| 2H<br>Horizontal interior de alzado pared longitudinal | 4 | 12 | 0,25 | 4,52 | 2,89 |
| 3<br>Vertical interior de arranque pared longitudinal | 4 | 12 | 0,25 | 4,52 | 0,78 |
| 3H<br>Horizontal interior de arranque pared longitudinal | 4 | 12 | 0,25 | 4,52 | 2,89 |
| 4<br>Vertical exterior de arranque pared longitudinal | 4 | 12 | 0,25 | 4,52 | 0,67 |
| 4H<br>Horizontal exterior de arranque pared longitudinal | 4 | 12 | 0,25 | 4,52 | 2,42 |
| 5<br>Transversal inferior de solera | 4 | 12 | 0,25 | 4,52 | 1,34 |
| 6<br>Transversal superior de solera | 4 | 12 | 0,25 | 4,52 | 1,34 |
| 7<br>Vertical exterior de alzado pared transversal | 4 | 12 | 0,25 | 4,52 | 1,89 |
| 7H<br>Horizontal exterior de alzado pared transversal | 4 | 12 | 0,25 | 4,52 | 1,32 |
| 8<br>Vertical interior de alzado pared transversal | 4 | 12 | 0,25 | 4,52 | 1,84 |
| 8H<br>Horizontal interior de alzado pared transversal | 4 | 12 | 0,25 | 4,52 | 1,79 |
| 9<br>Vertical interior de arranque pared transversal | 4 | 12 | 0,25 | 4,52 | 0,78 |
| 9H<br>Horizontal interior de arranque pared transversal | 4 | 12 | 0,25 | 4,52 | 1,79 |
| 10<br>Vertical exterior de arranque pared transversal | 4 | 12 | 0,25 | 4,52 | 0,67 |
| 10H<br>Horizontal exterior de arranque pared transversal | 4 | 12 | 0,25 | 4,52 | 1,32 |
| 11H<br>Refuerzo horizontal en alzado de las esquinas | 4 | 12 | 0,25 | 4,52 | 0,48 |
| 12H<br>Refuerzo horizontal en arranque de las esquinas | 4 | 12 | 0,25 | 4,52 | 0,48 |
| 13<br>Longitudinal superior de solera | 4 | 12 | 0,25 | 4,52 | 2,44 |
| 14<br>Longitudinal inferior de solera | 4 | 12 | 0,25 | 4,52 | 2,44 |

## 3.5. Mediciones del aliviadero

### 3.5.1. Hormigón

**Paredes:**

| Pared | Espesor (m) | Longitud (m) | Altura (m) | Volumen de hormigón ($m^3$) |
|---|---|---|---|---|
| 2 x Transversal | 0,20 | 1,30 | 1,85 | 0,481 |
| 2 x Longitudinal | 0,20 | 2,40 | 1,85 | 0,888 |
| **Volumen total de hormigón en Paredes ($m^3$):** | | | | **2,738** |

**Solera:**

| Zona | Espesor (m) | Longitud (m) | Ancho (m) | Volumen de hormigón ($m^3$) |
|---|---|---|---|---|
| Solera | 0,25 | 2,60 | 1,50 | 0,975 |
| **Medición total Solera:** | | | | **0,975** |

### 3.5.2. Hormigón de limpieza

| Zona | Espesor (m) | Longitud (m) | Ancho (m) | Superficie de hormigón ($m^2$) |
|---|---|---|---|---|
| Solera | 0,10 | 2,60 | 1,50 | 3,900 |
| **Medición total:** | | | | **3,900** |

### 3.5.3. Acero

| Tipo | Nº Red.Total | ø (mm) | Area Total ($cm^2$) | Longitud (m) | Peso de Armadura (Kg) |
|---|---|---|---|---|---|
| 1<br>Vertical exterior de alzado pared longitudinal (x2) | 10 | 12 | 11,31 | 1,89 | 16,762 |
| 1H<br>Horizontal exterior de alzado pared longitudinal (x2) | 6 | 12 | 6,79 | 2,42 | 12,870 |
| 2<br>Vertical interior de alzado pared longitudinal (x2) | 10 | 12 | 11,31 | 1,84 | 16,336 |
| 2H<br>Horizontal interior de alzado pared longitudinal (x2) | 6 | 12 | 6,79 | 2,89 | 15,416 |
| 3<br>Vertical interior de arranque pared longitudinal (x2) | 10 | 12 | 11,31 | 0,78 | 6,947 |
| 3H<br>Horizontal interior de arranque pared longitudinal (x2) | 3 | 12 | 3,39 | 2,89 | 7,708 |
| 4<br>Vertical exterior de arranque pared longitudinal (x2) | 10 | 12 | 11,31 | 0,67 | 5,966 |
| 4H<br>Horizontal exterior de arranque pared longitudinal (x2) | 2 | 12 | 2,26 | 2,42 | 4,290 |
| 5<br>Transversal inferior de solera | 10 | 12 | 11,31 | 1,34 | 11,897 |

| | | | | | |
|---|---|---|---|---|---|
| 6<br>Transversal superior de solera | 10 | 12 | 11,31 | 1,34 | 11,897 |
| 7<br>Vertical exterior de alzado pared transversal (x2) | 6 | 12 | 6,79 | 1,89 | 10,057 |
| 7H<br>Horizontal exterior de alzado pared transversal (x2) | 6 | 12 | 6,79 | 1,32 | 7,010 |
| 8<br>Vertical interior de alzado pared transversal (x2) | 6 | 12 | 6,79 | 1,84 | 9,801 |
| 8H<br>Horizontal interior de alzado pared transversal (x2) | 6 | 12 | 6,79 | 1,79 | 9,556 |
| 9<br>Vertical interior de arranque pared transversal (x2) | 6 | 12 | 6,79 | 0,78 | 4,168 |
| 9H<br>Horizontal interior de arranque pared transversal (x2) | 3 | 12 | 3,39 | 1,79 | 4,778 |
| 10<br>Vertical exterior de arranque pared transversal (x2) | 6 | 12 | 6,79 | 0,67 | 3,580 |
| 10H<br>Horizontal exterior de arranque pared transversal (x2) | 2 | 12 | 2,26 | 1,32 | 2,337 |
| 11H<br>Refuerzo horizontal en alzado de las esquinas (x4) | 6 | 12 | 6,79 | 0,48 | 2,546 |
| 12H<br>Refuerzo horizontal en arranque de las esquinas (x4) | 2 | 12 | 2,26 | 0,48 | 0,849 |
| 13<br>Longitudinal superior de solera | 6 | 12 | 6,79 | 2,44 | 12,998 |
| 14<br>Longitudinal inferior de solera | 6 | 12 | 6,79 | 2,44 | 12,998 |
| **Peso Total de Armadura (Kg):** | | | | | **338,534** |

# 4. ALIVIADERO Nº1 DE SANTA CRUZ DEL VALLE

## 4.1. Acciones y esfuerzos

| | |
|---|---|
| Peso del Material (kN): | 83,43 |
| Peso de la Solera (kN): | 42,19 |
| Peso de las Paredes (kN): | 103,60 |
| Presión media sobre el terreno (N/mm$^2$): | 0,03 |

### 4.1.1. Paredes

**Acciones y Esfuerzos producidos por el Empuje del Material sobre las Secciones de Cálculo de Paredes**

| Sección de Cálculo | Empuje (kN/m) | N (kN/m) | T (kN/m) | Mvm (kN•m/m) | Mhm (kN•m/m) | Mve (kN•m/m) | Mhe (kN•m/m) | Vmax (kN/m) | Fmax (mm) |
|---|---|---|---|---|---|---|---|---|---|
| Pared Transversal | 17,11 | 9,25 | 6,57 | -0,63 | -0,82 | 2,22 | 1,90 | 10,10 | 0,01 |
| Pared Longitudinal | 17,11 | 9,25 | 4,37 | -0,29 | -1,86 | 6,84 | 3,34 | 15,19 | 0,11 |

Ver gráficas 1.a – 1.b

**Acciones y Esfuerzos producidos por el Empuje de Tierras sobre las Secciones de Cálculo de Paredes**

| Sección de Cálculo | Empuje (kN/m) | N (kN/m) | T (kN/m) | Mvm (kN•m/m) | Mhm (kN•m/m) | Mve (kN•m/m) | Mhe (kN•m/m) | Vmax (kN/m) | Fmax (mm) |
|---|---|---|---|---|---|---|---|---|---|
| Pared Transversal | 16,78 | 9,25 | 6,57 | -0,62 | -0,81 | 2,17 | 1,86 | 9,90 | 0,01 |
| Pared Longitudinal | 16,78 | 9,25 | 4,37 | -0,28 | -1,83 | 6,71 | 3,28 | 14,90 | 0,11 |

Ver gráficas 2.a – 2.b

### 4.1.2. Solera

**Acciones y Esfuerzos sobre la Solera**

| Sección de Cálculo | T (kN/m) | Mi (kN•m/m) | Ms (kN•m/m) |
|---|---|---|---|
| Sección Longitudinal de Solera | 11,46 | 6,71 | 6,84 |
| Sección Transversal de Solera | 6,85 | 2,17 | 2,22 |

Ver gráfica 3.a

## 4.2. Datos geométricos

Sección en Planta: Rectangular
Posición: Enterrado
Tipo: A

### 4.2.1. Dimensiones

a (m): 4,10
b (m): 1,10
h (m): 1,85

### 4.2.2. Espesores

Ea (m): 0,20
Eb (m): 0,20
Espesor Solera (m): 0,25

## 4.3. Comprobación - EHE

### 4.3.1. Cálculo de armadura

| Tipo | Nd (kN/m) | Md (kN·m/m) | AANecFlex ($cm^2$) | Td (kN/m) | AANec Trac ($cm^2$) | AAR ($cm^2$) |
|---|---|---|---|---|---|---|
| 1 Vertical exterior de alzado pared longitudinal (x2) | 4,62 | 0,43 | 0,00 | 0,00 | 0,00 | 4,52 |
| 1H Horizontal exterior de alzado pared longitudinal (x2) | 0,00 | 5,01 | 0,96 | 6,56 | 0,08 | 4,52 |
| 2 Vertical interior de alzado pared longitudinal (x2) | 4,62 | 0,43 | 0,00 | 0,00 | 0,00 | 4,52 |
| 2H Horizontal interior de alzado pared longitudinal (x2) | 0,00 | 5,01 | 0,96 | 6,56 | 0,08 | 4,52 |
| 3 Vertical interior de arranque pared longitudinal (x2) | 9,25 | 10,26 | 1,81 | 0,00 | 0,00 | 4,52 |
| 3H Horizontal interior de arranque pared longitudinal (x2) | 0,00 | 5,01 | 0,96 | 6,56 | 0,08 | 4,52 |
| 4 Vertical exterior de arranque pared longitudinal (x2) | 9,25 | 10,26 | 1,81 | 0,00 | 0,00 | 4,52 |
| 4H Horizontal exterior de arranque pared longitudinal (x2) | 0,00 | 5,01 | 0,96 | 6,56 | 0,08 | 4,52 |
| 5 Transversal inferior de solera | 0,00 | 10,26 | 1,42 | 17,19 | 0,20 | 4,52 |
| 6 Transversal superior de solera | 0,00 | 10,26 | 1,42 | 17,19 | 0,20 | 4,52 |
| 7 Vertical exterior de alzado pared transversal (x2) | 4,62 | 0,95 | 0,09 | 0,00 | 0,00 | 4,52 |
| 7H Horizontal exterior de alzado pared transversal (x2) | 0,00 | 2,85 | 0,54 | 9,85 | 0,11 | 4,52 |

| | | | | | | |
|---|---|---|---|---|---|---|
| 8<br>Vertical interior de alzado pared transversal (x2) | 4,62 | 0,95 | 0,09 | 0,00 | 0,00 | 4,52 |
| 8H<br>Horizontal interior de alzado pared transversal (x2) | 0,00 | 2,85 | 0,54 | 9,85 | 0,11 | 4,52 |
| 9<br>Vertical interior de arranque pared transversal (x2) | 9,25 | 3,32 | 0,46 | 0,00 | 0,00 | 4,52 |
| 9H<br>Horizontal interior de arranque pared transversal (x2) | 0,00 | 2,85 | 0,54 | 9,85 | 0,11 | 4,52 |
| 10<br>Vertical exterior de arranque pared transversal (x2) | 9,25 | 3,32 | 0,46 | 0,00 | 0,00 | 4,52 |
| 10H<br>Horizontal exterior de arranque pared transversal (x2) | 0,00 | 2,85 | 0,54 | 9,85 | 0,11 | 4,52 |
| 13<br>Longitudinal superior de solera | 0,00 | 3,32 | 0,46 | 10,27 | 0,12 | 4,52 |
| 14<br>Longitudinal inferior de solera | 0,00 | 3,32 | 0,46 | 10,27 | 0,12 | 4,52 |

### 4.3.2. Cuantías de armadura

| Tipo | AAMec Comp ($cm^2$) | AAMecTrac ($cm^2$) | AAMecFlex ($cm^2$) | AAGeom Trac ($cm^2$) | AAGeom Com ($cm^2$) | AAR (cm2) |
|---|---|---|---|---|---|---|
| 1<br>Vertical exterior de alzado pared longitudinal (x2) | 0,00 | 0,00 | 0,00 | 1,80 | 0,00 | 4,52 |
| 1H<br>Horizontal exterior de alzado pared longitudinal (x2) | 0,00 | 0,00 | 1,31 | 1,60 | 0,00 | 4,52 |
| 2<br>Vertical interior de alzado pared longitudinal (x2) | 0,00 | 0,00 | 0,00 | 1,80 | 0,00 | 4,52 |
| 2H<br>Horizontal interior de alzado pared longitudinal (x2) | 0,00 | 0,00 | 1,31 | 1,60 | 0,00 | 4,52 |
| 3<br>Vertical interior de arranque pared longitudinal (x2) | 0,00 | 0,00 | 2,27 | 1,80 | 0,00 | 4,52 |
| 3H<br>Horizontal interior de arranque pared longitudinal (x2) | 0,00 | 0,00 | 1,31 | 1,60 | 0,00 | 4,52 |
| 4<br>Vertical exterior de arranque pared longitudinal (x2) | 0,00 | 0,00 | 2,27 | 1,80 | 0,00 | 4,52 |
| 4H<br>Horizontal exterior de arranque pared longitudinal (x2) | 0,00 | 0,00 | 1,31 | 1,60 | 0,00 | 4,52 |
| 5<br>Transversal inferior de solera | 0,00 | 0,00 | 1,91 | 2,25 | 2,25 | 4,52 |
| 6<br>Transversal superior de solera | 0,00 | 0,00 | 1,91 | 2,25 | 2,25 | 4,52 |
| 7<br>Vertical exterior de alzado pared transversal (x2) | 0,00 | 0,00 | 0,14 | 1,80 | 0,00 | 4,52 |
| 7H<br>Horizontal exterior de alzado pared transversal (x2) | 0,00 | 0,00 | 0,77 | 1,60 | 0,00 | 4,52 |
| 8<br>Vertical interior de alzado pared transversal (x2) | 0,00 | 0,00 | 0,14 | 1,80 | 0,00 | 4,52 |
| 8H<br>Horizontal interior de alzado pared transversal (x2) | 0,00 | 0,00 | 0,77 | 1,60 | 0,00 | 4,52 |
| 9<br>Vertical interior de arranque pared transversal (x2) | 0,00 | 0,00 | 0,66 | 1,80 | 0,00 | 4,52 |
| 9H<br>Horizontal interior de arranque pared transversal (x2) | 0,00 | 0,00 | 0,77 | 1,60 | 0,00 | 4,52 |

| | | | | | | |
|---|---|---|---|---|---|---|
| 10<br>Vertical exterior de arranque pared transversal (x2) | 0,00 | 0,00 | 0,66 | 1,80 | 0,00 | 4,52 |
| 10H<br>Horizontal exterior de arranque pared transversal (x2) | 0,00 | 0,00 | 0,77 | 1,60 | 0,00 | 4,52 |
| 13<br>Longitudinal superior de solera | 0,00 | 0,00 | 0,66 | 2,25 | 2,25 | 4,52 |
| 14<br>Longitudinal inferior de solera | 0,00 | 0,00 | 0,66 | 2,25 | 2,25 | 4,52 |

### 4.3.3. Comprobación a fisuración

| Tipo | Nd (kN/m) | Md (kN·m/m) | MFis (kN·m/m) | WkFlex (mm) | Td (kN/m) | σSTrac (N/mm²) | WkTrac (mm) | WAdm (mm) |
|---|---|---|---|---|---|---|---|---|
| 1<br>Vertical exterior de alzado pared longitudinal (x2) | 4,62 | 0,29 | 19,36 | 0,00 | 0,00 | 0,00 | 0,00 | 0,10 |
| 1H<br>Horizontal exterior de alzado pared longitudinal (x2) | 0,00 | 3,34 | 19,36 | 0,00 | 4,37 | 19,32 | 0,02 | 0,10 |
| 2<br>Vertical interior de alzado pared longitudinal (x2) | 4,62 | 0,29 | 19,36 | 0,00 | 0,00 | 0,00 | 0,00 | 0,10 |
| 2H<br>Horizontal interior de alzado pared longitudinal (x2) | 0,00 | 3,34 | 19,36 | 0,00 | 4,37 | 19,32 | 0,02 | 0,10 |
| 3<br>Vertical interior de arranque pared longitudinal (x2) | 9,25 | 6,84 | 19,40 | 0,00 | 0,00 | 0,00 | 0,00 | 0,10 |
| 3H<br>Horizontal interior de arranque pared longitudinal (x2) | 0,00 | 3,34 | 19,36 | 0,00 | 4,37 | 19,32 | 0,02 | 0,10 |
| 4<br>Vertical exterior de arranque pared longitudinal (x2) | 9,25 | 6,84 | 19,40 | 0,00 | 0,00 | 0,00 | 0,00 | 0,10 |
| 4H<br>Horizontal exterior de arranque pared longitudinal (x2) | 0,00 | 3,34 | 19,36 | 0,00 | 4,37 | 19,32 | 0,02 | 0,10 |
| 5<br>Transversal inferior de solera | 0,00 | 6,84 | 30,41 | 0,00 | 11,46 | 25,34 | 0,04 | 0,10 |
| 6<br>Transversal superior de solera | 0,00 | 6,84 | 30,41 | 0,00 | 11,46 | 25,34 | 0,04 | 0,10 |
| 7<br>Vertical exterior de alzado pared transversal (x2) | 4,62 | 0,63 | 19,36 | 0,00 | 0,00 | 0,00 | 0,00 | 0,10 |
| 7H<br>Horizontal exterior de alzado pared transversal (x2) | 0,00 | 1,90 | 19,36 | 0,00 | 6,57 | 29,03 | 0,04 | 0,10 |
| 8<br>Vertical interior de alzado pared transversal (x2) | 4,62 | 0,63 | 19,36 | 0,00 | 0,00 | 0,00 | 0,00 | 0,10 |
| 8H<br>Horizontal interior de alzado pared transversal (x2) | 0,00 | 1,90 | 19,36 | 0,00 | 6,57 | 29,03 | 0,04 | 0,10 |
| 9<br>Vertical interior de arranque pared transversal (x2) | 9,25 | 2,22 | 19,36 | 0,00 | 0,00 | 0,00 | 0,00 | 0,10 |

| | | | | | | | | |
|---|---|---|---|---|---|---|---|---|
| 9H<br>Horizontal interior de arranque pared transversal<br>(x2) | 0,00 | 1,90 | 19,36 | 0,00 | 6,57 | 29,03 | 0,04 | 0,10 |
| 10<br>Vertical exterior de arranque pared transversal<br>(x2) | 9,25 | 2,22 | 19,36 | 0,00 | 0,00 | 0,00 | 0,00 | 0,10 |
| 10H<br>Horizontal exterior de arranque pared transversal<br>(x2) | 0,00 | 1,90 | 19,36 | 0,00 | 6,57 | 29,03 | 0,04 | 0,10 |
| 13<br>Longitudinal superior de solera | 0,00 | 2,22 | 30,29 | 0,00 | 6,85 | 30,26 | 0,05 | 0,10 |
| 14<br>Longitudinal inferior de solera | 0,00 | 2,22 | 30,29 | 0,00 | 6,85 | 30,26 | 0,05 | 0,10 |

### 4.3.4. Comprobación a cortante

| Tipo | $N_{Qd1}$ (kN/m) | Qd1 (kN/m) | Vu1 (kN/m) | $N_{Qd2}$ (kN/m) | Qd2 (kN/m) | Vu2 (kN/m) |
|---|---|---|---|---|---|---|
| 1<br>Vertical exterior de alzado pared longitudinal<br>(x2) | 4,62 | 7,60 | 792,00 | 4,62 | 7,60 | 61,45 |
| 1H<br>Horizontal exterior de alzado pared longitudinal<br>(x2) | -4,37 | 15,19 | 792,00 | -6,56 | 15,19 | 60,34 |
| 2<br>Vertical interior de alzado pared longitudinal<br>(x2) | 4,62 | 7,60 | 792,00 | 4,62 | 7,60 | 61,45 |
| 2H<br>Horizontal interior de alzado pared longitudinal<br>(x2) | -4,37 | 15,19 | 792,00 | -6,56 | 15,19 | 60,34 |
| 3<br>Vertical interior de arranque pared longitudinal<br>(x2) | 9,25 | 15,19 | 792,00 | 9,25 | 15,19 | 70,73 |
| 3H<br>Horizontal interior de arranque pared longitudinal<br>(x2) | -4,37 | 15,19 | 792,00 | -6,56 | 15,19 | 60,34 |
| 4<br>Vertical exterior de arranque pared longitudinal<br>(x2) | 9,25 | 15,19 | 792,00 | 9,25 | 15,19 | 70,73 |
| 4H<br>Horizontal exterior de arranque pared longitudinal<br>(x2) | -4,37 | 15,19 | 792,00 | -6,56 | 15,19 | 60,34 |
| 5<br>Transversal inferior de solera | -11,46 | 3,39 | 1092,00 | -17,19 | 3,39 | 85,52 |
| 6<br>Transversal superior de solera | -11,46 | 3,39 | 1092,00 | -17,19 | 3,39 | 85,52 |
| 7<br>Vertical exterior de alzado pared transversal<br>(x2) | 4,62 | 5,05 | 792,00 | 4,62 | 5,05 | 61,45 |
| 7H<br>Horizontal exterior de alzado pared transversal<br>(x2) | -6,57 | 10,10 | 792,00 | -9,85 | 10,10 | 60,01 |
| 8<br>Vertical interior de alzado pared transversal<br>(x2) | 4,62 | 5,05 | 792,00 | 4,62 | 5,05 | 61,45 |
| 8H<br>Horizontal interior de alzado pared transversal<br>(x2) | -6,57 | 10,10 | 792,00 | -9,85 | 10,10 | 60,01 |
| 9<br>Vertical interior de arranque pared transversal<br>(x2) | 9,25 | 10,10 | 792,00 | 9,25 | 10,10 | 61,90 |
| 9H<br>Horizontal interior de arranque pared transversal<br>(x2) | -6,57 | 10,10 | 792,00 | -9,85 | 10,10 | 60,01 |
| 10<br>Vertical exterior de arranque pared transversal<br>(x2) | 9,25 | 10,10 | 792,00 | 9,25 | 10,10 | 61,90 |
| 10H<br>Horizontal exterior de arranque pared transversal<br>(x2) | -6,57 | 10,10 | 792,00 | -9,85 | 10,10 | 60,01 |

| | | | | | | |
|---|---|---|---|---|---|---|
| 13<br>Longitudinal superior de solera | -6,85 | 3,39 | 1092,00 | -10,27 | 3,39 | 68,25 |
| 14<br>Longitudinal inferior de solera | -6,85 | 3,39 | 1092,00 | -10,27 | 3,39 | 68,25 |

## 4.4. Armadura

| Tipo | Nº Red./m | ø (mm) | Separación (m) | Area (cm²/m) | Longitud (m) |
|---|---|---|---|---|---|
| 1<br>Vertical exterior de alzado pared longitudinal | 4 | 12 | 0,25 | 4,52 | 1,89 |
| 1H<br>Horizontal exterior de alzado pared longitudinal | 4 | 12 | 0,25 | 4,52 | 4,32 |
| 2<br>Vertical interior de alzado pared longitudinal | 4 | 12 | 0,25 | 4,52 | 1,84 |
| 2H<br>Horizontal interior de alzado pared longitudinal | 4 | 12 | 0,25 | 4,52 | 4,79 |
| 3<br>Vertical interior de arranque pared longitudinal | 4 | 12 | 0,25 | 4,52 | 0,78 |
| 3H<br>Horizontal interior de arranque pared longitudinal | 4 | 12 | 0,25 | 4,52 | 4,79 |
| 4<br>Vertical exterior de arranque pared longitudinal | 4 | 12 | 0,25 | 4,52 | 0,67 |
| 4H<br>Horizontal exterior de arranque pared longitudinal | 4 | 12 | 0,25 | 4,52 | 4,32 |
| 5<br>Transversal inferior de solera | 4 | 12 | 0,25 | 4,52 | 1,34 |
| 6<br>Transversal superior de solera | 4 | 12 | 0,25 | 4,52 | 1,34 |
| 7<br>Vertical exterior de alzado pared transversal | 4 | 12 | 0,25 | 4,52 | 1,89 |
| 7H<br>Horizontal exterior de alzado pared transversal | 4 | 12 | 0,25 | 4,52 | 1,32 |
| 8<br>Vertical interior de alzado pared transversal | 4 | 12 | 0,25 | 4,52 | 1,84 |
| 8H<br>Horizontal interior de alzado pared transversal | 4 | 12 | 0,25 | 4,52 | 1,79 |
| 9<br>Vertical interior de arranque pared transversal | 4 | 12 | 0,25 | 4,52 | 0,78 |
| 9H<br>Horizontal interior de arranque pared transversal | 4 | 12 | 0,25 | 4,52 | 1,79 |
| 10<br>Vertical exterior de arranque pared transversal | 4 | 12 | 0,25 | 4,52 | 0,67 |
| 10H<br>Horizontal exterior de arranque pared transversal | 4 | 12 | 0,25 | 4,52 | 1,32 |
| 11H<br>Refuerzo horizontal en alzado de las esquinas | 4 | 12 | 0,25 | 4,52 | 0,48 |
| 12H<br>Refuerzo horizontal en arranque de las esquinas | 4 | 12 | 0,25 | 4,52 | 0,48 |
| 13<br>Longitudinal superior de solera | 4 | 12 | 0,25 | 4,52 | 4,34 |
| 14<br>Longitudinal inferior de solera | 4 | 12 | 0,25 | 4,52 | 4,34 |

## 4.5. Mediciones del aliviadero

### 4.5.1. Hormigón

**Paredes:**

| Pared | Espesor (m) | Longitud (m) | Altura (m) | Volumen de hormigón ($m^3$) |
|---|---|---|---|---|
| 2 x Transversal | 0,20 | 1,30 | 1,85 | 0,481 |
| 2 x Longitudinal | 0,20 | 4,30 | 1,85 | 1,591 |
| **Volumen total de hormigón en Paredes ($m^3$):** | | | | **4,144** |

**Solera:**

| Zona | Espesor (m) | Longitud (m) | Ancho (m) | Volumen de hormigón ($m^3$) |
|---|---|---|---|---|
| Solera | 0,25 | 4,50 | 1,50 | 1,687 |
| **Medición total Solera:** | | | | **1,687** |

### 4.5.2. Hormigón de limpieza

| Zona | Espesor (m) | Longitud (m) | Ancho (m) | Superficie de hormigón ($m^2$) |
|---|---|---|---|---|
| Solera | 0,10 | 4,50 | 1,50 | 6,750 |
| **Medición total:** | | | | **6,750** |

### 4.5.3. Acero

| Tipo | Nº Red.Total | ø (mm) | Area Total ($cm^2$) | Longitud (m) | Peso de Armadura (Kg) |
|---|---|---|---|---|---|
| 1<br>Vertical exterior de alzado pared longitudinal (x2) | 18 | 12 | 20,36 | 1,89 | 30,171 |
| 1H<br>Horizontal exterior de alzado pared longitudinal (x2) | 6 | 12 | 6,79 | 4,32 | 22,991 |
| 2<br>Vertical interior de alzado pared longitudinal (x2) | 18 | 12 | 20,36 | 1,84 | 29,404 |
| 2H<br>Horizontal interior de alzado pared longitudinal (x2) | 6 | 12 | 6,79 | 4,79 | 25,537 |
| 3<br>Vertical interior de arranque pared longitudinal (x2) | 18 | 12 | 20,36 | 0,78 | 12,505 |
| 3H<br>Horizontal interior de arranque pared longitudinal (x2) | 3 | 12 | 3,39 | 4,79 | 12,769 |
| 4<br>Vertical exterior de arranque pared longitudinal (x2) | 18 | 12 | 20,36 | 0,67 | 10,739 |
| 4H<br>Horizontal exterior de arranque pared longitudinal (x2) | 2 | 12 | 2,26 | 4,32 | 7,664 |
| 5<br>Transversal inferior de solera | 18 | 12 | 20,36 | 1,34 | 21,414 |
| 6<br>Transversal superior de solera | 18 | 12 | 20,36 | 1,34 | 21,414 |
| 7<br>Vertical exterior de alzado pared transversal (x2) | 6 | 12 | 6,79 | 1,89 | 10,057 |

| | | | | | |
|---|---|---|---|---|---|
| 7H<br>Horizontal exterior de alzado pared transversal (x2) | 6 | 12 | 6,79 | 1,32 | 7,010 |
| 8<br>Vertical interior de alzado pared transversal (x2) | 6 | 12 | 6,79 | 1,84 | 9,801 |
| 8H<br>Horizontal interior de alzado pared transversal (x2) | 6 | 12 | 6,79 | 1,79 | 9,556 |
| 9<br>Vertical interior de arranque pared transversal (x2) | 6 | 12 | 6,79 | 0,78 | 4,168 |
| 9H<br>Horizontal interior de arranque pared transversal (x2) | 3 | 12 | 3,39 | 1,79 | 4,778 |
| 10<br>Vertical exterior de arranque pared transversal (x2) | 6 | 12 | 6,79 | 0,67 | 3,580 |
| 10H<br>Horizontal exterior de arranque pared transversal (x2) | 2 | 12 | 2,26 | 1,32 | 2,337 |
| 11H<br>Refuerzo horizontal en alzado de las esquinas (x4) | 6 | 12 | 6,79 | 0,48 | 2,546 |
| 12H<br>Refuerzo horizontal en arranque de las esquinas (x4) | 2 | 12 | 2,26 | 0,48 | 0,849 |
| 13<br>Longitudinal superior de solera | 6 | 12 | 6,79 | 4,34 | 23,119 |
| 14<br>Longitudinal inferior de solera | 6 | 12 | 6,79 | 4,34 | 23,119 |
| **Peso Total de Armadura (Kg):** | | | | | **508,781** |

# 5. ALIVIADERO Nº1 DE CUEVAS DEL VALLE Y ALIVIADERO Nº2 DE SANTA CRUZ DEL VALLE

## 5.1. Acciones y esfuerzos

Peso del Material (kN): 54,95
Peso de la Solera (kN): 29,06
Peso de las Paredes (kN): 77,70
Presión media sobre el terreno (N/mm$^2$): 0,03

### 5.1.1. Paredes

**Acciones y Esfuerzos producidos por el Empuje del Material sobre las Secciones de Cálculo de Paredes**

| Sección de Cálculo | Empuje (kN/m) | N (kN/m) | T (kN/m) | Mvm (kN•m/m) | Mhm (kN•m/m) | Mve (kN•m/m) | Mhe (kN•m/m) | Vmax (kN/m) | Fmax (mm) |
|---|---|---|---|---|---|---|---|---|---|
| Pared Transversal | 17,11 | 9,25 | 6,47 | -0,63 | -0,82 | 2,22 | 1,90 | 10,10 | 0,01 |
| Pared Longitudinal | 17,11 | 9,25 | 4,37 | -0,78 | -1,36 | 4,24 | 2,82 | 13,68 | 0,04 |

Ver gráficas 1.a – 1.b

**Acciones y Esfuerzos producidos por el Empuje de Tierras sobre las Secciones de Cálculo de Paredes**

| Sección de Cálculo | Empuje (kN/m) | N (kN/m) | T (kN/m) | Mvm (kN•m/m) | Mhm (kN•m/m) | Mve (kN•m/m) | Mhe (kN•m/m) | Vmax (kN/m) | Fmax (mm) |
|---|---|---|---|---|---|---|---|---|---|
| Pared Transversal | 16,78 | 9,25 | 6,47 | -0,62 | -0,81 | 2,17 | 1,86 | 9,90 | 0,01 |

| | | | | | | | | | |
|---|---|---|---|---|---|---|---|---|---|
| Pared Longitudinal | 16,78 | 9,25 | 4,37 | -0,77 | -1,33 | 4,16 | 2,76 | 13,42 | 0,04 |

Ver gráficas 2.a – 2.b

### 5.1.2. Solera

| Acciones y Esfuerzos sobre la Solera | | | |
|---|---|---|---|
| **Sección de Cálculo** | **T (kN/m)** | **Mi (kN•m/m)** | **Ms (kN•m/m)** |
| Sección Longitudinal de Solera | 8,85 | 4,16 | 4,24 |
| Sección Transversal de Solera | 6,85 | 2,17 | 2,22 |

Ver gráfica 3.a

## 5.2. Datos geométricos

Sección en Planta: Rectangular
Posición: Enterrado
Tipo: A

### 5.2.1. Dimensiones

a (m): 2,70
b (m): 1,10
h (m): 1,85

### 5.2.2. Espesores

Ea (m): 0,20
Eb (m): 0,20
Espesor Solera (m): 0,25

## 5.3. Comprobación - EHE

### 5.3.1. Cálculo de armadura

| Tipo | Nd (kN/m) | Md (kN·m/m) | AANecFlex ($cm^2$) | Td (kN/m) | AANec Trac ($cm^2$) | AAR ($cm^2$) |
|---|---|---|---|---|---|---|
| 1 Vertical exterior de alzado pared longitudinal (x2) | 4,62 | 1,18 | 0,14 | 0,00 | 0,00 | 4,52 |
| 1H Horizontal exterior de alzado pared longitudinal (x2) | 0,00 | 4,22 | 0,81 | 6,56 | 0,08 | 4,52 |
| 2 Vertical interior de alzado pared longitudinal (x2) | 4,62 | 1,18 | 0,14 | 0,00 | 0,00 | 4,52 |
| 2H Horizontal interior de alzado pared longitudinal (x2) | 0,00 | 4,22 | 0,81 | 6,56 | 0,08 | 4,52 |
| 3 Vertical interior de arranque pared longitudinal (x2) | 9,25 | 6,36 | 1,04 | 0,00 | 0,00 | 4,52 |

| | | | | | | |
|---|---|---|---|---|---|---|
| 3H<br>Horizontal interior de arranque pared longitudinal (x2) | 0,00 | 4,22 | 0,81 | 6,56 | 0,08 | 4,52 |
| 4<br>Vertical exterior de arranque pared longitudinal (x2) | 9,25 | 6,36 | 1,04 | 0,00 | 0,00 | 4,52 |
| 4H<br>Horizontal exterior de arranque pared longitudinal (x2) | 0,00 | 4,22 | 0,81 | 6,56 | 0,08 | 4,52 |
| 5<br>Transversal inferior de solera | 0,00 | 6,36 | 0,88 | 13,28 | 0,15 | 4,52 |
| 6<br>Transversal superior de solera | 0,00 | 6,36 | 0,88 | 13,28 | 0,15 | 4,52 |
| 7<br>Vertical exterior de alzado pared transversal (x2) | 4,62 | 0,95 | 0,09 | 0,00 | 0,00 | 4,52 |
| 7H<br>Horizontal exterior de alzado pared transversal (x2) | 0,00 | 2,85 | 0,54 | 9,71 | 0,11 | 4,52 |
| 8<br>Vertical interior de alzado pared transversal (x2) | 4,62 | 0,95 | 0,09 | 0,00 | 0,00 | 4,52 |
| 8H<br>Horizontal interior de alzado pared transversal (x2) | 0,00 | 2,85 | 0,54 | 9,71 | 0,11 | 4,52 |
| 9<br>Vertical interior de arranque pared transversal (x2) | 9,25 | 3,32 | 0,46 | 0,00 | 0,00 | 4,52 |
| 9H<br>Horizontal interior de arranque pared transversal (x2) | 0,00 | 2,85 | 0,54 | 9,71 | 0,11 | 4,52 |
| 10<br>Vertical exterior de arranque pared transversal (x2) | 9,25 | 3,32 | 0,46 | 0,00 | 0,00 | 4,52 |
| 10H<br>Horizontal exterior de arranque pared transversal (x2) | 0,00 | 2,85 | 0,54 | 9,71 | 0,11 | 4,52 |
| 13<br>Longitudinal superior de solera | 0,00 | 3,32 | 0,46 | 10,27 | 0,12 | 4,52 |
| 14<br>Longitudinal inferior de solera | 0,00 | 3,32 | 0,46 | 10,27 | 0,12 | 4,52 |

### 5.3.2. Cuantías de armadura

| Tipo | AAMec Comp ($cm^2$) | AAMecTrac ($cm^2$) | AAMecFlex ($cm^2$) | AAGeom Trac ($cm^2$) | AAGeom Com ($cm^2$) | AAR (cm2) |
|---|---|---|---|---|---|---|
| 1<br>Vertical exterior de alzado pared longitudinal (x2) | 0,00 | 0,00 | 0,20 | 1,80 | 0,00 | 4,52 |
| 1H<br>Horizontal exterior de alzado pared longitudinal (x2) | 0,00 | 0,00 | 1,12 | 1,60 | 0,00 | 4,52 |
| 2<br>Vertical interior de alzado pared longitudinal (x2) | 0,00 | 0,00 | 0,20 | 1,80 | 0,00 | 4,52 |
| 2H<br>Horizontal interior de alzado pared longitudinal (x2) | 0,00 | 0,00 | 1,12 | 1,60 | 0,00 | 4,52 |
| 3<br>Vertical interior de arranque pared longitudinal (x2) | 0,00 | 0,00 | 1,42 | 1,80 | 0,00 | 4,52 |
| 3H<br>Horizontal interior de arranque pared longitudinal (x2) | 0,00 | 0,00 | 1,12 | 1,60 | 0,00 | 4,52 |
| 4<br>Vertical exterior de arranque pared longitudinal (x2) | 0,00 | 0,00 | 1,42 | 1,80 | 0,00 | 4,52 |
| 4H<br>Horizontal exterior de arranque pared longitudinal (x2) | 0,00 | 0,00 | 1,12 | 1,60 | 0,00 | 4,52 |
| 5<br>Transversal inferior de solera | 0,00 | 0,00 | 1,23 | 2,25 | 2,25 | 4,52 |

| | | | | | | |
|---|---|---|---|---|---|---|
| 6<br>Transversal superior de solera | 0,00 | 0,00 | 1,23 | 2,25 | 2,25 | 4,52 |
| 7<br>Vertical exterior de alzado pared transversal (x2) | 0,00 | 0,00 | 0,14 | 1,80 | 0,00 | 4,52 |
| 7H<br>Horizontal exterior de alzado pared transversal (x2) | 0,00 | 0,00 | 0,77 | 1,60 | 0,00 | 4,52 |
| 8<br>Vertical interior de alzado pared transversal (x2) | 0,00 | 0,00 | 0,14 | 1,80 | 0,00 | 4,52 |
| 8H<br>Horizontal interior de alzado pared transversal (x2) | 0,00 | 0,00 | 0,77 | 1,60 | 0,00 | 4,52 |
| 9<br>Vertical interior de arranque pared transversal (x2) | 0,00 | 0,00 | 0,66 | 1,80 | 0,00 | 4,52 |
| 9H<br>Horizontal interior de arranque pared transversal (x2) | 0,00 | 0,00 | 0,77 | 1,60 | 0,00 | 4,52 |
| 10<br>Vertical exterior de arranque pared transversal (x2) | 0,00 | 0,00 | 0,66 | 1,80 | 0,00 | 4,52 |
| 10H<br>Horizontal exterior de arranque pared transversal (x2) | 0,00 | 0,00 | 0,77 | 1,60 | 0,00 | 4,52 |
| 13<br>Longitudinal superior de solera | 0,00 | 0,00 | 0,66 | 2,25 | 2,25 | 4,52 |
| 14<br>Longitudinal inferior de solera | 0,00 | 0,00 | 0,66 | 2,25 | 2,25 | 4,52 |

### 5.3.3. Comprobación a fisuración

| Tipo | Nd (kN/m) | Md (kN·m/m) | MFis (kN·m/m) | WkFlex (mm) | Td (kN/m) | σSTrac (N/mm²) | WkTrac (mm) | WAdm (mm) |
|---|---|---|---|---|---|---|---|---|
| 1<br>Vertical exterior de alzado pared longitudinal (x2) | 4,62 | 0,78 | 19,36 | 0,00 | 0,00 | 0,00 | 0,00 | 0,10 |
| 1H<br>Horizontal exterior de alzado pared longitudinal (x2) | 0,00 | 2,82 | 19,36 | 0,00 | 4,37 | 19,32 | 0,02 | 0,10 |
| 2<br>Vertical interior de alzado pared longitudinal (x2) | 4,62 | 0,78 | 19,36 | 0,00 | 0,00 | 0,00 | 0,00 | 0,10 |
| 2H<br>Horizontal interior de alzado pared longitudinal (x2) | 0,00 | 2,82 | 19,36 | 0,00 | 4,37 | 19,32 | 0,02 | 0,10 |
| 3<br>Vertical interior de arranque pared longitudinal (x2) | 9,25 | 4,24 | 19,36 | 0,00 | 0,00 | 0,00 | 0,00 | 0,10 |
| 3H<br>Horizontal interior de arranque pared longitudinal (x2) | 0,00 | 2,82 | 19,36 | 0,00 | 4,37 | 19,32 | 0,02 | 0,10 |
| 4<br>Vertical exterior de arranque pared longitudinal (x2) | 9,25 | 4,24 | 19,36 | 0,00 | 0,00 | 0,00 | 0,00 | 0,10 |
| 4H<br>Horizontal exterior de arranque pared longitudinal (x2) | 0,00 | 2,82 | 19,36 | 0,00 | 4,37 | 19,32 | 0,02 | 0,10 |
| 5<br>Transversal inferior de solera | 0,00 | 4,24 | 30,29 | 0,00 | 8,85 | 39,13 | 0,07 | 0,10 |
| 6<br>Transversal superior de solera | 0,00 | 4,24 | 30,29 | 0,00 | 8,85 | 39,13 | 0,07 | 0,10 |

| | | | | | | | | |
|---|---|---|---|---|---|---|---|---|
| 7<br>Vertical exterior de alzado pared transversal<br>(x2) | 4,62 | 0,63 | 19,36 | 0,00 | 0,00 | 0,00 | 0,00 | 0,10 |
| 7H<br>Horizontal exterior de alzado pared transversal<br>(x2) | 0,00 | 1,90 | 19,36 | 0,00 | 6,47 | 28,63 | 0,04 | 0,10 |
| 8<br>Vertical interior de alzado pared transversal<br>(x2) | 4,62 | 0,63 | 19,36 | 0,00 | 0,00 | 0,00 | 0,00 | 0,10 |
| 8H<br>Horizontal interior de alzado pared transversal<br>(x2) | 0,00 | 1,90 | 19,36 | 0,00 | 6,47 | 28,63 | 0,04 | 0,10 |
| 9<br>Vertical interior de arranque pared transversal<br>(x2) | 9,25 | 2,22 | 19,36 | 0,00 | 0,00 | 0,00 | 0,00 | 0,10 |
| 9H<br>Horizontal interior de arranque pared transversal<br>(x2) | 0,00 | 1,90 | 19,36 | 0,00 | 6,47 | 28,63 | 0,04 | 0,10 |
| 10<br>Vertical exterior de arranque pared transversal<br>(x2) | 9,25 | 2,22 | 19,36 | 0,00 | 0,00 | 0,00 | 0,00 | 0,10 |
| 10H<br>Horizontal exterior de arranque pared transversal<br>(x2) | 0,00 | 1,90 | 19,36 | 0,00 | 6,47 | 28,63 | 0,04 | 0,10 |
| 13<br>Longitudinal superior de solera | 0,00 | 2,22 | 30,29 | 0,00 | 6,85 | 30,26 | 0,05 | 0,10 |
| 14<br>Longitudinal inferior de solera | 0,00 | 2,22 | 30,29 | 0,00 | 6,85 | 30,26 | 0,05 | 0,10 |

### 5.3.4. Comprobación a cortante

| Tipo | $N_{Qd1}$ (kN/m) | Qd1 (kN/m) | Vu1 (kN/m) | $N_{Qd2}$ (kN/m) | Qd2 (kN/m) | Vu2 (kN/m) |
|---|---|---|---|---|---|---|
| 1<br>Vertical exterior de alzado pared longitudinal<br>(x2) | 4,62 | 6,84 | 792,00 | 4,62 | 6,84 | 61,45 |
| 1H<br>Horizontal exterior de alzado pared longitudinal<br>(x2) | -4,37 | 13,68 | 792,00 | -6,56 | 13,68 | 60,34 |
| 2<br>Vertical interior de alzado pared longitudinal<br>(x2) | 4,62 | 6,84 | 792,00 | 4,62 | 6,84 | 61,45 |
| 2H<br>Horizontal interior de alzado pared longitudinal<br>(x2) | -4,37 | 13,68 | 792,00 | -6,56 | 13,68 | 60,34 |
| 3<br>Vertical interior de arranque pared longitudinal<br>(x2) | 9,25 | 13,68 | 792,00 | 9,25 | 13,68 | 61,90 |
| 3H<br>Horizontal interior de arranque pared longitudinal<br>(x2) | -4,37 | 13,68 | 792,00 | -6,56 | 13,68 | 60,34 |
| 4<br>Vertical exterior de arranque pared longitudinal<br>(x2) | 9,25 | 13,68 | 792,00 | 9,25 | 13,68 | 61,90 |
| 4H<br>Horizontal exterior de arranque pared longitudinal<br>(x2) | -4,37 | 13,68 | 792,00 | -6,56 | 13,68 | 60,34 |
| 5<br>Transversal inferior de solera | -8,85 | 2,87 | 1092,00 | -13,28 | 2,87 | 67,92 |
| 6<br>Transversal superior de solera | -8,85 | 2,87 | 1092,00 | -13,28 | 2,87 | 67,92 |
| 7<br>Vertical exterior de alzado pared transversal<br>(x2) | 4,62 | 5,05 | 792,00 | 4,62 | 5,05 | 61,45 |

| | | | | | | |
|---|---|---|---|---|---|---|
| 7H<br>Horizontal exterior de alzado pared transversal (x2) | -6,47 | 10,10 | 792,00 | -9,71 | 10,10 | 60,03 |
| 8<br>Vertical interior de alzado pared transversal (x2) | 4,62 | 5,05 | 792,00 | 4,62 | 5,05 | 61,45 |
| 8H<br>Horizontal interior de alzado pared transversal (x2) | -6,47 | 10,10 | 792,00 | -9,71 | 10,10 | 60,03 |
| 9<br>Vertical interior de arranque pared transversal (x2) | 9,25 | 10,10 | 792,00 | 9,25 | 10,10 | 61,90 |
| 9H<br>Horizontal interior de arranque pared transversal (x2) | -6,47 | 10,10 | 792,00 | -9,71 | 10,10 | 60,03 |
| 10<br>Vertical exterior de arranque pared transversal (x2) | 9,25 | 10,10 | 792,00 | 9,25 | 10,10 | 61,90 |
| 10H<br>Horizontal exterior de arranque pared transversal (x2) | -6,47 | 10,10 | 792,00 | -9,71 | 10,10 | 60,03 |
| 13<br>Longitudinal superior de solera | -6,85 | 2,87 | 1092,00 | -10,27 | 2,87 | 68,25 |
| 14<br>Longitudinal inferior de solera | -6,85 | 2,87 | 1092,00 | -10,27 | 2,87 | 68,25 |

## 5.4. Armadura

| Tipo | Nº Red./m | ø (mm) | Separación (m) | Area (cm²/m) | Longitud (m) |
|---|---|---|---|---|---|
| 1<br>Vertical exterior de alzado pared longitudinal | 4 | 12 | 0,25 | 4,52 | 1,89 |
| 1H<br>Horizontal exterior de alzado pared longitudinal | 4 | 12 | 0,25 | 4,52 | 2,92 |
| 2<br>Vertical interior de alzado pared longitudinal | 4 | 12 | 0,25 | 4,52 | 1,84 |
| 2H<br>Horizontal interior de alzado pared longitudinal | 4 | 12 | 0,25 | 4,52 | 3,39 |
| 3<br>Vertical interior de arranque pared longitudinal | 4 | 12 | 0,25 | 4,52 | 0,78 |
| 3H<br>Horizontal interior de arranque pared longitudinal | 4 | 12 | 0,25 | 4,52 | 3,39 |
| 4<br>Vertical exterior de arranque pared longitudinal | 4 | 12 | 0,25 | 4,52 | 0,67 |
| 4H<br>Horizontal exterior de arranque pared longitudinal | 4 | 12 | 0,25 | 4,52 | 2,92 |
| 5<br>Transversal inferior de solera | 4 | 12 | 0,25 | 4,52 | 1,34 |
| 6<br>Transversal superior de solera | 4 | 12 | 0,25 | 4,52 | 1,34 |
| 7<br>Vertical exterior de alzado pared transversal | 4 | 12 | 0,25 | 4,52 | 1,89 |
| 7H<br>Horizontal exterior de alzado pared transversal | 4 | 12 | 0,25 | 4,52 | 1,32 |
| 8<br>Vertical interior de alzado pared transversal | 4 | 12 | 0,25 | 4,52 | 1,84 |
| 8H<br>Horizontal interior de alzado pared transversal | 4 | 12 | 0,25 | 4,52 | 1,79 |
| 9<br>Vertical interior de arranque pared transversal | 4 | 12 | 0,25 | 4,52 | 0,78 |
| 9H<br>Horizontal interior de arranque pared transversal | 4 | 12 | 0,25 | 4,52 | 1,79 |
| 10<br>Vertical exterior de arranque pared transversal | 4 | 12 | 0,25 | 4,52 | 0,67 |
| 10H<br>Horizontal exterior de arranque pared transversal | 4 | 12 | 0,25 | 4,52 | 1,32 |
| 11H<br>Refuerzo horizontal en alzado de las esquinas | 4 | 12 | 0,25 | 4,52 | 0,48 |
| 12H<br>Refuerzo horizontal en arranque de las esquinas | 4 | 12 | 0,25 | 4,52 | 0,48 |
| 13<br>Longitudinal superior de solera | 4 | 12 | 0,25 | 4,52 | 2,94 |
| 14<br>Longitudinal inferior de solera | 4 | 12 | 0,25 | 4,52 | 2,94 |

## 5.5. Mediciones del aliviadero

### 5.5.1. Hormigón

**Paredes:**

| Pared | Espesor (m) | Longitud (m) | Altura (m) | Volumen de hormigón ($m^3$) |
|---|---|---|---|---|
| 2 x Transversal | 0,20 | 1,30 | 1,85 | 0,481 |
| 2 x Longitudinal | 0,20 | 2,90 | 1,85 | 1,073 |
| **Volumen total de hormigón en Paredes ($m^3$):** | | | | **3,108** |

**Solera:**

| Zona | Espesor (m) | Longitud (m) | Ancho (m) | Volumen de hormigón ($m^3$) |
|---|---|---|---|---|
| Solera | 0,25 | 3,10 | 1,50 | 1,162 |
| **Medición total Solera:** | | | | **1,162** |

### 5.5.2. Hormigón de limpieza

| Zona | Espesor (m) | Longitud (m) | Ancho (m) | Superficie de hormigón ($m^2$) |
|---|---|---|---|---|
| Solera | 0,10 | 3,10 | 1,50 | 4,650 |
| **Medición total:** | | | | **4,650** |

### 5.5.3. Acero

| Tipo | Nº Red.Total | ø (mm) | Area Total ($cm^2$) | Longitud (m) | Peso de Armadura (Kg) |
|---|---|---|---|---|---|
| 1<br>Vertical exterior de alzado pared longitudinal (x2) | 12 | 12 | 13,57 | 1,89 | 20,114 |
| 1H<br>Horizontal exterior de alzado pared longitudinal (x2) | 6 | 12 | 6,79 | 2,92 | 15,533 |
| 2<br>Vertical interior de alzado pared longitudinal (x2) | 12 | 12 | 13,57 | 1,84 | 19,603 |
| 2H<br>Horizontal interior de alzado pared longitudinal (x2) | 6 | 12 | 6,79 | 3,39 | 18,079 |
| 3<br>Vertical interior de arranque pared longitudinal (x2) | 12 | 12 | 13,57 | 0,78 | 8,337 |
| 3H<br>Horizontal interior de arranque pared longitudinal (x2) | 3 | 12 | 3,39 | 3,39 | 9,040 |
| 4<br>Vertical exterior de arranque pared longitudinal (x2) | 12 | 12 | 13,57 | 0,67 | 7,159 |
| 4H<br>Horizontal exterior de arranque pared longitudinal (x2) | 2 | 12 | 2,26 | 2,92 | 5,178 |
| 5<br>Transversal inferior de solera | 12 | 12 | 13,57 | 1,34 | 14,276 |
| 6<br>Transversal superior de solera | 12 | 12 | 13,57 | 1,34 | 14,276 |
| 7<br>Vertical exterior de alzado pared transversal | 6 | 12 | 6,79 | 1,89 | 10,057 |

| | | | | | |
|---|---|---|---|---|---|
| (x2) | | | | | |
| 7H<br>Horizontal exterior de alzado pared transversal<br>(x2) | 6 | 12 | 6,79 | 1,32 | 7,010 |
| 8<br>Vertical interior de alzado pared transversal<br>(x2) | 6 | 12 | 6,79 | 1,84 | 9,801 |
| 8H<br>Horizontal interior de alzado pared transversal<br>(x2) | 6 | 12 | 6,79 | 1,79 | 9,556 |
| 9<br>Vertical interior de arranque pared transversal<br>(x2) | 6 | 12 | 6,79 | 0,78 | 4,168 |
| 9H<br>Horizontal interior de arranque pared transversal<br>(x2) | 3 | 12 | 3,39 | 1,79 | 4,778 |
| 10<br>Vertical exterior de arranque pared transversal<br>(x2) | 6 | 12 | 6,79 | 0,67 | 3,580 |
| 10H<br>Horizontal exterior de arranque pared transversal<br>(x2) | 2 | 12 | 2,26 | 1,32 | 2,337 |
| 11H<br>Refuerzo horizontal en alzado de las esquinas<br>(x4) | 6 | 12 | 6,79 | 0,48 | 2,546 |
| 12H<br>Refuerzo horizontal en arranque de las esquinas<br>(x4) | 2 | 12 | 2,26 | 0,48 | 0,849 |
| 13<br>Longitudinal superior de solera | 6 | 12 | 6,79 | 2,94 | 15,661 |
| 14<br>Longitudinal inferior de solera | 6 | 12 | 6,79 | 2,94 | 15,661 |
| **Peso Total de Armadura (Kg):** | | | | | **382,117** |

# 6. ALIVIADERO Nº2 DE CUEVAS DEL VALLE Y ALIVIADERO DE SAN ESTEBAN DEL VALLE

## 6.1. Acciones y esfuerzos

Peso del Material (kN): 73,26
Peso de la Solera (kN): 37,50
Peso de las Paredes (kN): 94,35
Presión media sobre el terreno (N/mm$^2$): 0,03

### 6.1.1. Paredes

**Acciones y Esfuerzos producidos por el Empuje del Material sobre las Secciones de Cálculo de Paredes**

| Sección de Cálculo | Empuje (kN/m) | N (kN/m) | T (kN/m) | Mvm (kN•m/m) | Mhm (kN•m/m) | Mve (kN•m/m) | Mhe (kN•m/m) | Vmax (kN/m) | Fmax (mm) |
|---|---|---|---|---|---|---|---|---|---|
| Pared Transversal | 17,11 | 9,25 | 6,80 | -0,63 | -0,82 | 2,22 | 1,90 | 10,10 | 0,01 |
| Pared Longitudinal | 17,11 | 9,25 | 4,37 | -0,46 | -1,79 | 6,02 | 3,20 | 14,81 | 0,09 |

Ver gráficas 1.a – 1.b

**Acciones y Esfuerzos producidos por el Empuje de Tierras sobre las Secciones de Cálculo de Paredes**

| Sección de Cálculo | Empuje (kN/m) | N (kN/m) | T (kN/m) | Mvm (kN•m/m) | Mhm (kN•m/m) | Mve (kN•m/m) | Mhe (kN•m/m) | Vmax (kN/m) | Fmax (mm) |
|---|---|---|---|---|---|---|---|---|---|

| | | | | | | | | | |
|---|---|---|---|---|---|---|---|---|---|
| Pared Transversal | 16,78 | 9,25 | 6,80 | -0,62 | -0,81 | 2,17 | 1,86 | 9,90 | 0,01 |
| Pared Longitudinal | 16,78 | 9,25 | 4,37 | -0,46 | -1,75 | 5,90 | 3,14 | 14,52 | 0,08 |

Ver gráficas 2.a – 2.b

### 6.1.2. Solera

| Acciones y Esfuerzos sobre la Solera | | | |
|---|---|---|---|
| **Sección de Cálculo** | **T (kN/m)** | **Mi (kN•m/m)** | **Ms (kN•m/m)** |
| Sección Longitudinal de Solera | 10,49 | 5,90 | 6,02 |
| Sección Transversal de Solera | 6,85 | 2,17 | 2,22 |

Ver gráfica 3.a

## 6.2. Datos geométricos

Sección en Planta: Rectangular
Posición: Enterrado
Tipo: A

### 6.2.1. Dimensiones

a (m): 3,60
b (m): 1,10
h (m): 1,85

### 6.2.2. Espesores

Ea (m): 0,20
Eb (m): 0,20
Espesor Solera (m): 0,25

## 6.3. Comprobación - EHE

### 6.3.1. Cálculo de armadura

| Tipo | Nd (kN/m) | Md (kN·m/m) | AANecFlex ($cm^2$) | Td (kN/m) | AANec Trac ($cm^2$) | AAR ($cm^2$) |
|---|---|---|---|---|---|---|
| 1 Vertical exterior de alzado pared longitudinal (x2) | 4,62 | 0,70 | 0,04 | 0,00 | 0,00 | 4,52 |
| 1H Horizontal exterior de alzado pared longitudinal (x2) | 0,00 | 4,80 | 0,92 | 6,56 | 0,08 | 4,52 |
| 2 Vertical interior de alzado pared longitudinal (x2) | 4,62 | 0,70 | 0,04 | 0,00 | 0,00 | 4,52 |
| 2H Horizontal interior de alzado pared longitudinal (x2) | 0,00 | 4,80 | 0,92 | 6,56 | 0,08 | 4,52 |
| 3 Vertical interior de arranque pared longitudinal (x2) | 9,25 | 9,03 | 1,56 | 0,00 | 0,00 | 4,52 |
| 3H Horizontal interior de arranque pared longitudinal (x2) | 0,00 | 4,80 | 0,92 | 6,56 | 0,08 | 4,52 |

| | | | | | | |
|---|---|---|---|---|---|---|
| 4<br>Vertical exterior de arranque pared longitudinal (x2) | 9,25 | 9,03 | 1,56 | 0,00 | 0,00 | 4,52 |
| 4H<br>Horizontal exterior de arranque pared longitudinal (x2) | 0,00 | 4,80 | 0,92 | 6,56 | 0,08 | 4,52 |
| 5<br>Transversal inferior de solera | 0,00 | 9,03 | 1,25 | 15,74 | 0,18 | 4,52 |
| 6<br>Transversal superior de solera | 0,00 | 9,03 | 1,25 | 15,74 | 0,18 | 4,52 |
| 7<br>Vertical exterior de alzado pared transversal (x2) | 4,62 | 0,95 | 0,09 | 0,00 | 0,00 | 4,52 |
| 7H<br>Horizontal exterior de alzado pared transversal (x2) | 0,00 | 2,85 | 0,54 | 10,20 | 0,12 | 4,52 |
| 8<br>Vertical interior de alzado pared transversal (x2) | 4,62 | 0,95 | 0,09 | 0,00 | 0,00 | 4,52 |
| 8H<br>Horizontal interior de alzado pared transversal (x2) | 0,00 | 2,85 | 0,54 | 10,20 | 0,12 | 4,52 |
| 9<br>Vertical interior de arranque pared transversal (x2) | 9,25 | 3,32 | 0,46 | 0,00 | 0,00 | 4,52 |
| 9H<br>Horizontal interior de arranque pared transversal (x2) | 0,00 | 2,85 | 0,54 | 10,20 | 0,12 | 4,52 |
| 10<br>Vertical exterior de arranque pared transversal (x2) | 9,25 | 3,32 | 0,46 | 0,00 | 0,00 | 4,52 |
| 10H<br>Horizontal exterior de arranque pared transversal (x2) | 0,00 | 2,85 | 0,54 | 10,20 | 0,12 | 4,52 |
| 13<br>Longitudinal superior de solera | 0,00 | 3,32 | 0,46 | 10,27 | 0,12 | 4,52 |
| 14<br>Longitudinal inferior de solera | 0,00 | 3,32 | 0,46 | 10,27 | 0,12 | 4,52 |

### 6.3.2. Cuantías de armadura

| Tipo | AAMec Comp ($cm^2$) | AAMecTrac ($cm^2$) | AAMecFlex ($cm^2$) | AAGeom Trac ($cm^2$) | AAGeom Com ($cm^2$) | AAR (cm2) |
|---|---|---|---|---|---|---|
| 1<br>Vertical exterior de alzado pared longitudinal (x2) | 0,00 | 0,00 | 0,07 | 1,80 | 0,00 | 4,52 |
| 1H<br>Horizontal exterior de alzado pared longitudinal (x2) | 0,00 | 0,00 | 1,26 | 1,60 | 0,00 | 4,52 |
| 2<br>Vertical interior de alzado pared longitudinal (x2) | 0,00 | 0,00 | 0,07 | 1,80 | 0,00 | 4,52 |
| 2H<br>Horizontal interior de alzado pared longitudinal (x2) | 0,00 | 0,00 | 1,26 | 1,60 | 0,00 | 4,52 |
| 3<br>Vertical interior de arranque pared longitudinal (x2) | 0,00 | 0,00 | 2,01 | 1,80 | 0,00 | 4,52 |
| 3H<br>Horizontal interior de arranque pared longitudinal (x2) | 0,00 | 0,00 | 1,26 | 1,60 | 0,00 | 4,52 |
| 4<br>Vertical exterior de arranque pared longitudinal (x2) | 0,00 | 0,00 | 2,01 | 1,80 | 0,00 | 4,52 |
| 4H<br>Horizontal exterior de arranque pared longitudinal (x2) | 0,00 | 0,00 | 1,26 | 1,60 | 0,00 | 4,52 |
| 5<br>Transversal inferior de solera | 0,00 | 0,00 | 1,70 | 2,25 | 2,25 | 4,52 |
| 6<br>Transversal superior de solera | 0,00 | 0,00 | 1,70 | 2,25 | 2,25 | 4,52 |

| | | | | | | |
|---|---|---|---|---|---|---|
| 7<br>Vertical exterior de alzado pared transversal (x2) | 0,00 | 0,00 | 0,14 | 1,80 | 0,00 | 4,52 |
| 7H<br>Horizontal exterior de alzado pared transversal (x2) | 0,00 | 0,00 | 0,77 | 1,60 | 0,00 | 4,52 |
| 8<br>Vertical interior de alzado pared transversal (x2) | 0,00 | 0,00 | 0,14 | 1,80 | 0,00 | 4,52 |
| 8H<br>Horizontal interior de alzado pared transversal (x2) | 0,00 | 0,00 | 0,77 | 1,60 | 0,00 | 4,52 |
| 9<br>Vertical interior de arranque pared transversal (x2) | 0,00 | 0,00 | 0,66 | 1,80 | 0,00 | 4,52 |
| 9H<br>Horizontal interior de arranque pared transversal (x2) | 0,00 | 0,00 | 0,77 | 1,60 | 0,00 | 4,52 |
| 10<br>Vertical exterior de arranque pared transversal (x2) | 0,00 | 0,00 | 0,66 | 1,80 | 0,00 | 4,52 |
| 10H<br>Horizontal exterior de arranque pared transversal (x2) | 0,00 | 0,00 | 0,77 | 1,60 | 0,00 | 4,52 |
| 13<br>Longitudinal superior de solera | 0,00 | 0,00 | 0,66 | 2,25 | 2,25 | 4,52 |
| 14<br>Longitudinal inferior de solera | 0,00 | 0,00 | 0,66 | 2,25 | 2,25 | 4,52 |

### 6.3.3. Comprobación a fisuración

| Tipo | Nd (kN/m) | Md (kN·m/m) | $M_{Fis}$ (kN·m/m) | $W_{kFlex}$ (mm) | Td (kN/m) | $\sigma_{STrac}$ (N/mm$^2$) | $W_{kTrac}$ (mm) | $W_{Adm}$ (mm) |
|---|---|---|---|---|---|---|---|---|
| 1<br>Vertical exterior de alzado pared longitudinal (x2) | 4,62 | 0,46 | 19,36 | 0,00 | 0,00 | 0,00 | 0,00 | 0,10 |
| 1H<br>Horizontal exterior de alzado pared longitudinal (x2) | 0,00 | 3,20 | 19,36 | 0,00 | 4,37 | 19,32 | 0,02 | 0,10 |
| 2<br>Vertical interior de alzado pared longitudinal (x2) | 4,62 | 0,46 | 19,36 | 0,00 | 0,00 | 0,00 | 0,00 | 0,10 |
| 2H<br>Horizontal interior de alzado pared longitudinal (x2) | 0,00 | 3,20 | 19,36 | 0,00 | 4,37 | 19,32 | 0,02 | 0,10 |
| 3<br>Vertical interior de arranque pared longitudinal (x2) | 9,25 | 6,02 | 19,40 | 0,00 | 0,00 | 0,00 | 0,00 | 0,10 |
| 3H<br>Horizontal interior de arranque pared longitudinal (x2) | 0,00 | 3,20 | 19,36 | 0,00 | 4,37 | 19,32 | 0,02 | 0,10 |
| 4<br>Vertical exterior de arranque pared longitudinal (x2) | 9,25 | 6,02 | 19,40 | 0,00 | 0,00 | 0,00 | 0,00 | 0,10 |
| 4H<br>Horizontal exterior de arranque pared longitudinal (x2) | 0,00 | 3,20 | 19,36 | 0,00 | 4,37 | 19,32 | 0,02 | 0,10 |
| 5<br>Transversal inferior de solera | 0,00 | 6,02 | 30,41 | 0,00 | 10,49 | 46,39 | 0,09 | 0,10 |
| 6<br>Transversal superior de solera | 0,00 | 6,02 | 30,41 | 0,00 | 10,49 | 46,39 | 0,09 | 0,10 |
| 7<br>Vertical exterior de alzado pared transversal (x2) | 4,62 | 0,63 | 19,36 | 0,00 | 0,00 | 0,00 | 0,00 | 0,10 |

| | | | | | | | | |
|---|---|---|---|---|---|---|---|---|
| 7H<br>Horizontal exterior de alzado pared transversal<br>(x2) | 0,00 | 1,90 | 19,36 | 0,00 | 6,80 | 30,06 | 0,05 | 0,10 |
| 8<br>Vertical interior de alzado pared transversal<br>(x2) | 4,62 | 0,63 | 19,36 | 0,00 | 0,00 | 0,00 | 0,00 | 0,10 |
| 8H<br>Horizontal interior de alzado pared transversal<br>(x2) | 0,00 | 1,90 | 19,36 | 0,00 | 6,80 | 30,06 | 0,05 | 0,10 |
| 9<br>Vertical interior de arranque pared transversal<br>(x2) | 9,25 | 2,22 | 19,36 | 0,00 | 0,00 | 0,00 | 0,00 | 0,10 |
| 9H<br>Horizontal interior de arranque pared transversal<br>(x2) | 0,00 | 1,90 | 19,36 | 0,00 | 6,80 | 30,06 | 0,05 | 0,10 |
| 10<br>Vertical exterior de arranque pared transversal<br>(x2) | 9,25 | 2,22 | 19,36 | 0,00 | 0,00 | 0,00 | 0,00 | 0,10 |
| 10H<br>Horizontal exterior de arranque pared transversal<br>(x2) | 0,00 | 1,90 | 19,36 | 0,00 | 6,80 | 30,06 | 0,05 | 0,10 |
| 13<br>Longitudinal superior de solera | 0,00 | 2,22 | 30,29 | 0,00 | 6,85 | 30,26 | 0,05 | 0,10 |
| 14<br>Longitudinal inferior de solera | 0,00 | 2,22 | 30,29 | 0,00 | 6,85 | 30,26 | 0,05 | 0,10 |

### 6.3.4. Comprobación a cortante

| Tipo | $N_{Qd1}$ (kN/m) | Qd1 (kN/m) | Vu1 (kN/m) | $N_{Qd2}$ (kN/m) | Qd2 (kN/m) | Vu2 (kN/m) |
|---|---|---|---|---|---|---|
| 1<br>Vertical exterior de alzado pared longitudinal<br>(x2) | 4,62 | 7,40 | 792,00 | 4,62 | 7,40 | 61,45 |
| 1H<br>Horizontal exterior de alzado pared longitudinal<br>(x2) | -4,37 | 14,81 | 792,00 | -6,56 | 14,81 | 60,34 |
| 2<br>Vertical interior de alzado pared longitudinal<br>(x2) | 4,62 | 7,40 | 792,00 | 4,62 | 7,40 | 61,45 |
| 2H<br>Horizontal interior de alzado pared longitudinal<br>(x2) | -4,37 | 14,81 | 792,00 | -6,56 | 14,81 | 60,34 |
| 3<br>Vertical interior de arranque pared longitudinal<br>(x2) | 9,25 | 14,81 | 792,00 | 9,25 | 14,81 | 61,90 |
| 3H<br>Horizontal interior de arranque pared longitudinal<br>(x2) | -4,37 | 14,81 | 792,00 | -6,56 | 14,81 | 60,34 |
| 4<br>Vertical exterior de arranque pared longitudinal<br>(x2) | 9,25 | 14,81 | 792,00 | 9,25 | 14,81 | 61,90 |
| 4H<br>Horizontal exterior de arranque pared longitudinal<br>(x2) | -4,37 | 14,81 | 792,00 | -6,56 | 14,81 | 60,34 |
| 5<br>Transversal inferior de solera | -10,49 | 3,24 | 1092,00 | -15,74 | 3,24 | 77,69 |
| 6<br>Transversal superior de solera | -10,49 | 3,24 | 1092,00 | -15,74 | 3,24 | 77,69 |
| 7<br>Vertical exterior de alzado pared transversal<br>(x2) | 4,62 | 5,05 | 792,00 | 4,62 | 5,05 | 61,45 |
| 7H<br>Horizontal exterior de alzado pared transversal<br>(x2) | -6,80 | 10,10 | 792,00 | -10,20 | 10,10 | 59,98 |
| 8<br>Vertical interior de alzado pared transversal<br>(x2) | 4,62 | 5,05 | 792,00 | 4,62 | 5,05 | 61,45 |

| | | | | | | |
|---|---|---|---|---|---|---|
| 8H<br>Horizontal interior de alzado pared transversal (x2) | -6,80 | 10,10 | 792,00 | -10,20 | 10,10 | 59,98 |
| 9<br>Vertical interior de arranque pared transversal (x2) | 9,25 | 10,10 | 792,00 | 9,25 | 10,10 | 61,90 |
| 9H<br>Horizontal interior de arranque pared transversal (x2) | -6,80 | 10,10 | 792,00 | -10,20 | 10,10 | 59,98 |
| 10<br>Vertical exterior de arranque pared transversal (x2) | 9,25 | 10,10 | 792,00 | 9,25 | 10,10 | 61,90 |
| 10H<br>Horizontal exterior de arranque pared transversal (x2) | -6,80 | 10,10 | 792,00 | -10,20 | 10,10 | 59,98 |
| 13<br>Longitudinal superior de solera | -6,85 | 3,24 | 1092,00 | -10,27 | 3,24 | 68,25 |
| 14<br>Longitudinal inferior de solera | -6,85 | 3,24 | 1092,00 | -10,27 | 3,24 | 68,25 |

## 6.4. Armadura

| Tipo | Nº Red./m | ø (mm) | Separación (m) | Area ($cm^2$/m) | Longitud (m) |
|---|---|---|---|---|---|
| 1<br>Vertical exterior de alzado pared longitudinal | 4 | 12 | 0,25 | 4,52 | 1,89 |
| 1H<br>Horizontal exterior de alzado pared longitudinal | 4 | 12 | 0,25 | 4,52 | 3,82 |
| 2<br>Vertical interior de alzado pared longitudinal | 4 | 12 | 0,25 | 4,52 | 1,84 |
| 2H<br>Horizontal interior de alzado pared longitudinal | 4 | 12 | 0,25 | 4,52 | 4,29 |
| 3<br>Vertical interior de arranque pared longitudinal | 4 | 12 | 0,25 | 4,52 | 0,78 |
| 3H<br>Horizontal interior de arranque pared longitudinal | 4 | 12 | 0,25 | 4,52 | 4,29 |
| 4<br>Vertical exterior de arranque pared longitudinal | 4 | 12 | 0,25 | 4,52 | 0,67 |
| 4H<br>Horizontal exterior de arranque pared longitudinal | 4 | 12 | 0,25 | 4,52 | 3,82 |
| 5<br>Transversal inferior de solera | 4 | 12 | 0,25 | 4,52 | 1,34 |
| 6<br>Transversal superior de solera | 4 | 12 | 0,25 | 4,52 | 1,34 |
| 7<br>Vertical exterior de alzado pared transversal | 4 | 12 | 0,25 | 4,52 | 1,89 |
| 7H<br>Horizontal exterior de alzado pared transversal | 4 | 12 | 0,25 | 4,52 | 1,32 |
| 8<br>Vertical interior de alzado pared transversal | 4 | 12 | 0,25 | 4,52 | 1,84 |
| 8H<br>Horizontal interior de alzado pared transversal | 4 | 12 | 0,25 | 4,52 | 1,79 |
| 9<br>Vertical interior de arranque pared transversal | 4 | 12 | 0,25 | 4,52 | 0,78 |
| 9H<br>Horizontal interior de arranque pared transversal | 4 | 12 | 0,25 | 4,52 | 1,79 |
| 10<br>Vertical exterior de arranque pared transversal | 4 | 12 | 0,25 | 4,52 | 0,67 |
| 10H<br>Horizontal exterior de arranque pared transversal | 4 | 12 | 0,25 | 4,52 | 1,32 |
| 11H<br>Refuerzo horizontal en alzado de las esquinas | 4 | 12 | 0,25 | 4,52 | 0,48 |
| 12H<br>Refuerzo horizontal en arranque de las esquinas | 4 | 12 | 0,25 | 4,52 | 0,48 |
| 13<br>Longitudinal superior de solera | 4 | 12 | 0,25 | 4,52 | 3,84 |
| 14<br>Longitudinal inferior de solera | 4 | 12 | 0,25 | 4,52 | 3,84 |

## 6.5. Mediciones del aliviadero

### 6.5.1. Hormigón

**Paredes:**

| Pared | Espesor (m) | Longitud (m) | Altura (m) | Volumen de hormigón ($m^3$) |
|---|---|---|---|---|
| 2 x Transversal | 0,20 | 1,30 | 1,85 | 0,481 |
| 2 x Longitudinal | 0,20 | 3,80 | 1,85 | 1,406 |
| **Volumen total de hormigón en Paredes ($m^3$):** | | | | **3,774** |

**Solera:**

| Zona | Espesor (m) | Longitud (m) | Ancho (m) | Volumen de hormigón ($m^3$) |
|---|---|---|---|---|
| Solera | 0,25 | 4,00 | 1,50 | 1,500 |
| **Medición total Solera:** | | | | **1,500** |

### 6.5.2. Hormigón de limpieza

| Zona | Espesor (m) | Longitud (m) | Ancho (m) | Superficie de hormigón ($m^2$) |
|---|---|---|---|---|
| Solera | 0,10 | 4,00 | 1,50 | 6,000 |
| **Medición total:** | | | | **6,000** |

### 6.5.3. Acero

| Tipo | Nº Red.Total | ø (mm) | Area Total ($cm^2$) | Longitud (m) | Peso de Armadura (Kg) |
|---|---|---|---|---|---|
| 1<br>Vertical exterior de alzado pared longitudinal (x2) | 16 | 12 | 18,10 | 1,89 | 26,819 |
| 1H<br>Horizontal exterior de alzado pared longitudinal (x2) | 6 | 12 | 6,79 | 3,82 | 20,327 |
| 2<br>Vertical interior de alzado pared longitudinal (x2) | 16 | 12 | 18,10 | 1,84 | 26,137 |
| 2H<br>Horizontal interior de alzado pared longitudinal (x2) | 6 | 12 | 6,79 | 4,29 | 22,874 |
| 3<br>Vertical interior de arranque pared longitudinal (x2) | 16 | 12 | 18,10 | 0,78 | 11,115 |
| 3H<br>Horizontal interior de arranque pared longitudinal (x2) | 3 | 12 | 3,39 | 4,29 | 11,437 |
| 4<br>Vertical exterior de arranque pared longitudinal (x2) | 16 | 12 | 18,10 | 0,67 | 9,546 |
| 4H<br>Horizontal exterior de arranque pared longitudinal (x2) | 2 | 12 | 2,26 | 3,82 | 6,776 |
| 5<br>Transversal inferior de solera | 16 | 12 | 18,10 | 1,34 | 19,035 |
| 6<br>Transversal superior de solera | 16 | 12 | 18,10 | 1,34 | 19,035 |
| 7<br>Vertical exterior de alzado pared transversal (x2) | 6 | 12 | 6,79 | 1,89 | 10,057 |
| 7H<br>Horizontal exterior de alzado pared transversal (x2) | 6 | 12 | 6,79 | 1,32 | 7,010 |

| | | | | | |
|---|---|---|---|---|---|
| 8<br>Vertical interior de alzado pared transversal (x2) | 6 | 12 | 6,79 | 1,84 | 9,801 |
| 8H<br>Horizontal interior de alzado pared transversal (x2) | 6 | 12 | 6,79 | 1,79 | 9,556 |
| 9<br>Vertical interior de arranque pared transversal (x2) | 6 | 12 | 6,79 | 0,78 | 4,168 |
| 9H<br>Horizontal interior de arranque pared transversal (x2) | 3 | 12 | 3,39 | 1,79 | 4,778 |
| 10<br>Vertical exterior de arranque pared transversal (x2) | 6 | 12 | 6,79 | 0,67 | 3,580 |
| 10H<br>Horizontal exterior de arranque pared transversal (x2) | 2 | 12 | 2,26 | 1,32 | 2,337 |
| 11H<br>Refuerzo horizontal en alzado de las esquinas (x4) | 6 | 12 | 6,79 | 0,48 | 2,546 |
| 12H<br>Refuerzo horizontal en arranque de las esquinas (x4) | 2 | 12 | 2,26 | 0,48 | 0,849 |
| 13<br>Longitudinal superior de solera | 6 | 12 | 6,79 | 3,84 | 20,455 |
| 14<br>Longitudinal inferior de solera | 6 | 12 | 6,79 | 3,84 | 20,455 |
| **Peso Total de Armadura (Kg):** | | | | | **465,199** |

# 7. ALIVIADERO DE MOMBELTRÁN

## 7.1. Acciones y esfuerzos

Peso del Material (kN): 157,25
Peso de la Solera (kN): 70,87
Peso de las Paredes (kN): 131,35
Presión media sobre el terreno (N/mm$^2$): 0,03

### 7.1.1. Paredes

**Acciones y Esfuerzos producidos por el Empuje del Material sobre las Secciones de Cálculo de Paredes**

| Sección de Cálculo | Empuje (kN/m) | N (kN/m) | T (kN/m) | Mvm (kN•m/m) | Mhm (kN•m/m) | Mve (kN•m/m) | Mhe (kN•m/m) | Vmax (kN/m) | Fmax (mm) |
|---|---|---|---|---|---|---|---|---|---|
| Pared Transversal | 17,11 | 9,25 | 6,15 | -0,65 | -0,86 | 2,28 | 1,97 | 10,32 | 0,01 |
| Pared Longitudinal | 17,11 | 9,25 | 5,23 | 0,15 | -1,82 | 7,90 | 3,59 | 15,70 | 0,18 |

Ver gráficas 1.a – 1.b

**Acciones y Esfuerzos producidos por el Empuje de Tierras sobre las Secciones de Cálculo de Paredes**

| Sección de Cálculo | Empuje (kN/m) | N (kN/m) | T (kN/m) | Mvm (kN•m/m) | Mhm (kN•m/m) | Mve (kN•m/m) | Mhe (kN•m/m) | Vmax (kN/m) | Fmax (mm) |
|---|---|---|---|---|---|---|---|---|---|
| Pared Transversal | 16,78 | 9,25 | 6,15 | -0,64 | -0,84 | 2,24 | 1,93 | 10,12 | 0,01 |
| Pared Longitudinal | 16,78 | 9,25 | 5,23 | 0,14 | -1,78 | 7,74 | 3,52 | 15,40 | 0,17 |

Ver gráficas 2.a – 2.b

### 7.1.2. Solera

| Acciones y Esfuerzos sobre la Solera | | | |
|---|---|---|---|
| **Sección de Cálculo** | **T (kN/m)** | **Mi (kN•m/m)** | **Ms (kN•m/m)** |
| Sección Longitudinal de Solera | 12,74 | 7,74 | 7,90 |
| Sección Transversal de Solera | 6,94 | 2,78 | 2,28 |

Ver gráfica 3.a

## 7.2. Datos geométricos

Sección en Planta: Rectangular
Posición: Enterrado
Tipo: A

### 7.2.1. Dimensiones

a (m): 5,00
b (m): 1,70
h (m): 1,85

### 7.2.2. Espesores

Ea (m): 0,20
Eb (m): 0,20
Espesor Solera (m): 0,25

## 7.3. Comprobación - EHE

### 7.3.1. Cálculo de armadura

| Tipo | Nd (kN/m) | Md (kN·m/m) | AANecFlex ($cm^2$) | Td (kN/m) | AANec Trac ($cm^2$) | AAR ($cm^2$) |
|---|---|---|---|---|---|---|
| 1<br>Vertical exterior de alzado pared longitudinal (x2) | 4,62 | 0,22 | 0,00 | 0,00 | 0,00 | 4,52 |
| 1H<br>Horizontal exterior de alzado pared longitudinal (x2) | 0,00 | 5,38 | 1,03 | 7,84 | 0,09 | 4,52 |
| 2<br>Vertical interior de alzado pared longitudinal (x2) | 4,62 | 0,22 | 0,00 | 0,00 | 0,00 | 4,52 |
| 2H<br>Horizontal interior de alzado pared longitudinal (x2) | 0,00 | 5,38 | 1,03 | 7,84 | 0,09 | 4,52 |
| 3<br>Vertical interior de arranque pared longitudinal (x2) | 9,25 | 11,85 | 2,12 | 0,00 | 0,00 | 4,52 |
| 3H<br>Horizontal interior de arranque pared longitudinal (x2) | 0,00 | 5,38 | 1,03 | 7,84 | 0,09 | 4,52 |

| | | | | | | |
|---|---|---|---|---|---|---|
| 4 Vertical exterior de arranque pared longitudinal (x2) | 9,25 | 11,85 | 2,12 | 0,00 | 0,00 | 4,52 |
| 4H Horizontal exterior de arranque pared longitudinal (x2) | 0,00 | 5,38 | 1,03 | 7,84 | 0,09 | 4,52 |
| 5 Transversal inferior de solera | 0,00 | 11,85 | 1,64 | 19,10 | 0,22 | 4,52 |
| 6 Transversal superior de solera | 0,00 | 11,85 | 1,64 | 19,10 | 0,22 | 4,52 |
| 7 Vertical exterior de alzado pared transversal (x2) | 4,62 | 0,97 | 0,10 | 0,00 | 0,00 | 4,52 |
| 7H Horizontal exterior de alzado pared transversal (x2) | 0,00 | 2,95 | 0,56 | 9,23 | 0,11 | 4,52 |
| 8 Vertical interior de alzado pared transversal (x2) | 4,62 | 0,97 | 0,10 | 0,00 | 0,00 | 4,52 |
| 8H Horizontal interior de alzado pared transversal (x2) | 0,00 | 2,95 | 0,56 | 9,23 | 0,11 | 4,52 |
| 9 Vertical interior de arranque pared transversal (x2) | 9,25 | 3,42 | 0,48 | 0,00 | 0,00 | 4,52 |
| 9H Horizontal interior de arranque pared transversal (x2) | 0,00 | 2,95 | 0,56 | 9,23 | 0,11 | 4,52 |
| 10 Vertical exterior de arranque pared transversal (x2) | 9,25 | 3,42 | 0,48 | 0,00 | 0,00 | 4,52 |
| 10H Horizontal exterior de arranque pared transversal (x2) | 0,00 | 2,95 | 0,56 | 9,23 | 0,11 | 4,52 |
| 13 Longitudinal superior de solera | 0,00 | 4,18 | 0,58 | 10,40 | 0,12 | 4,52 |
| 14 Longitudinal inferior de solera | 0,00 | 4,18 | 0,58 | 10,40 | 0,12 | 4,52 |

### 7.3.2. Cuantías de armadura

| Tipo | AAMec Comp ($cm^2$) | AAMecTrac ($cm^2$) | AAMecFlex ($cm^2$) | AAGeom Trac ($cm^2$) | AAGeom Com ($cm^2$) | AAR (cm2) |
|---|---|---|---|---|---|---|
| 1 Vertical exterior de alzado pared longitudinal (x2) | 0,01 | 0,00 | 0,00 | 1,80 | 0,00 | 4,52 |
| 1H Horizontal exterior de alzado pared longitudinal (x2) | 0,00 | 0,00 | 1,40 | 1,60 | 0,00 | 4,52 |
| 2 Vertical interior de alzado pared longitudinal (x2) | 0,01 | 0,00 | 0,00 | 1,80 | 0,00 | 4,52 |
| 2H Horizontal interior de alzado pared longitudinal (x2) | 0,00 | 0,00 | 1,40 | 1,60 | 0,00 | 4,52 |
| 3 Vertical interior de arranque pared longitudinal (x2) | 0,00 | 0,00 | 2,57 | 1,80 | 0,00 | 4,52 |
| 3H Horizontal interior de arranque pared longitudinal (x2) | 0,00 | 0,00 | 1,40 | 1,60 | 0,00 | 4,52 |
| 4 Vertical exterior de arranque pared longitudinal (x2) | 0,00 | 0,00 | 2,57 | 1,80 | 0,00 | 4,52 |
| 4H Horizontal exterior de arranque pared longitudinal (x2) | 0,00 | 0,00 | 1,40 | 1,60 | 0,00 | 4,52 |
| 5 Transversal inferior de solera | 0,00 | 0,00 | 2,17 | 2,25 | 2,25 | 4,52 |
| 6 Transversal superior de solera | 0,00 | 0,00 | 2,17 | 2,25 | 2,25 | 4,52 |

| | | | | | | |
|---|---|---|---|---|---|---|
| 7<br>Vertical exterior de alzado pared transversal (x2) | 0,00 | 0,00 | 0,14 | 1,80 | 0,00 | 4,52 |
| 7H<br>Horizontal exterior de alzado pared transversal (x2) | 0,00 | 0,00 | 0,80 | 1,60 | 0,00 | 4,52 |
| 8<br>Vertical interior de alzado pared transversal (x2) | 0,00 | 0,00 | 0,14 | 1,80 | 0,00 | 4,52 |
| 8H<br>Horizontal interior de alzado pared transversal (x2) | 0,00 | 0,00 | 0,80 | 1,60 | 0,00 | 4,52 |
| 9<br>Vertical interior de arranque pared transversal (x2) | 0,00 | 0,00 | 0,69 | 1,80 | 0,00 | 4,52 |
| 9H<br>Horizontal interior de arranque pared transversal (x2) | 0,00 | 0,00 | 0,80 | 1,60 | 0,00 | 4,52 |
| 10<br>Vertical exterior de arranque pared transversal (x2) | 0,00 | 0,00 | 0,69 | 1,80 | 0,00 | 4,52 |
| 10H<br>Horizontal exterior de arranque pared transversal (x2) | 0,00 | 0,00 | 0,80 | 1,60 | 0,00 | 4,52 |
| 13<br>Longitudinal superior de solera | 0,00 | 0,00 | 0,83 | 2,25 | 2,25 | 4,52 |
| 14<br>Longitudinal inferior de solera | 0,00 | 0,00 | 0,83 | 2,25 | 2,25 | 4,52 |

### 7.3.3. Comprobación a fisuración

| Tipo | Nd (kN/m) | Md (kN·m/m) | MFis (kN·m/m) | WkFlex (mm) | Td (kN/m) | σSTrac (N/mm²) | WkTrac (mm) | WAdm (mm) |
|---|---|---|---|---|---|---|---|---|
| 1<br>Vertical exterior de alzado pared longitudinal (x2) | 4,62 | 0,15 | 19,36 | 0,00 | 0,00 | 0,00 | 0,00 | 0,10 |
| 1H<br>Horizontal exterior de alzado pared longitudinal (x2) | 0,00 | 3,59 | 19,36 | 0,00 | 5,23 | 23,11 | 0,03 | 0,10 |
| 2<br>Vertical interior de alzado pared longitudinal (x2) | 4,62 | 0,15 | 19,36 | 0,00 | 0,00 | 0,00 | 0,00 | 0,10 |
| 2H<br>Horizontal interior de alzado pared longitudinal (x2) | 0,00 | 3,59 | 19,36 | 0,00 | 5,23 | 23,11 | 0,03 | 0,10 |
| 3<br>Vertical interior de arranque pared longitudinal (x2) | 9,25 | 7,90 | 19,40 | 0,00 | 0,00 | 0,00 | 0,00 | 0,10 |
| 3H<br>Horizontal interior de arranque pared longitudinal (x2) | 0,00 | 3,59 | 19,36 | 0,00 | 5,23 | 23,11 | 0,03 | 0,10 |
| 4<br>Vertical exterior de arranque pared longitudinal (x2) | 9,25 | 7,90 | 19,40 | 0,00 | 0,00 | 0,00 | 0,00 | 0,10 |
| 4H<br>Horizontal exterior de arranque pared longitudinal (x2) | 0,00 | 3,59 | 19,36 | 0,00 | 5,23 | 23,11 | 0,03 | 0,10 |
| 5<br>Transversal inferior de solera | 0,00 | 7,90 | 30,41 | 0,00 | 12,74 | 28,15 | 0,05 | 0,10 |
| 6<br>Transversal superior de solera | 0,00 | 7,90 | 30,41 | 0,00 | 12,74 | 28,15 | 0,05 | 0,10 |
| 7<br>Vertical exterior de alzado pared transversal (x2) | 4,62 | 0,65 | 19,36 | 0,00 | 0,00 | 0,00 | 0,00 | 0,10 |

| | | | | | | | | |
|---|---|---|---|---|---|---|---|---|
| 7H<br>Horizontal exterior de alzado pared transversal<br>(x2) | 0,00 | 1,97 | 19,36 | 0,00 | 6,15 | 27,19 | 0,04 | 0,10 |
| 8<br>Vertical interior de alzado pared transversal<br>(x2) | 4,62 | 0,65 | 19,36 | 0,00 | 0,00 | 0,00 | 0,00 | 0,10 |
| 8H<br>Horizontal interior de alzado pared transversal<br>(x2) | 0,00 | 1,97 | 19,36 | 0,00 | 6,15 | 27,19 | 0,04 | 0,10 |
| 9<br>Vertical interior de arranque pared transversal<br>(x2) | 9,25 | 2,22 | 19,36 | 0,00 | 0,00 | 0,00 | 0,00 | 0,10 |
| 9H<br>Horizontal interior de arranque pared transversal<br>(x2) | 9,25 | 2,28 | 19,36 | 0,00 | 0,00 | 0,00 | 0,00 | 0,10 |
| 10<br>Vertical exterior de arranque pared transversal<br>(x2) | 0,00 | 1,97 | 19,36 | 0,00 | 6,15 | 27,19 | 0,04 | 0,10 |
| 10H<br>Horizontal exterior de arranque pared transversal<br>(x2) | 9,25 | 2,28 | 19,36 | 0,00 | 0,00 | 0,00 | 0,00 | 0,10 |
| 13<br>Longitudinal superior de solera | 0,00 | 1,97 | 19,36 | 0,00 | 6,15 | 27,19 | 0,04 | 0,10 |
| 14<br>Longitudinal inferior de solera | 0,00 | 2,78 | 30,29 | 0,00 | 6,94 | 30,66 | 0,05 | 0,10 |

### 7.3.4. Comprobación a cortante

| Tipo | $N_{Qd1}$ (kN/m) | Qd1 (kN/m) | Vu1 (kN/m) | $N_{Qd2}$ (kN/m) | Qd2 (kN/m) | Vu2 (kN/m) |
|---|---|---|---|---|---|---|
| 1<br>Vertical exterior de alzado pared longitudinal<br>(x2) | 4,62 | 7,85 | 792,00 | 4,62 | 7,85 | 61,45 |
| 1H<br>Horizontal exterior de alzado pared longitudinal<br>(x2) | -5,23 | 15,70 | 792,00 | -7,84 | 15,70 | 60,21 |
| 2<br>Vertical interior de alzado pared longitudinal<br>(x2) | 4,62 | 7,85 | 792,00 | 4,62 | 7,85 | 61,45 |
| 2H<br>Horizontal interior de alzado pared longitudinal<br>(x2) | -5,23 | 15,70 | 792,00 | -7,84 | 15,70 | 60,21 |
| 3<br>Vertical interior de arranque pared longitudinal<br>(x2) | 9,25 | 15,70 | 792,00 | 9,25 | 15,70 | 70,73 |
| 3H<br>Horizontal interior de arranque pared longitudinal<br>(x2) | -5,23 | 15,70 | 792,00 | -7,84 | 15,70 | 60,21 |
| 4<br>Vertical exterior de arranque pared longitudinal<br>(x2) | 9,25 | 15,70 | 792,00 | 9,25 | 15,70 | 70,73 |
| 4H<br>Horizontal exterior de arranque pared longitudinal<br>(x2) | -5,23 | 15,70 | 792,00 | -7,84 | 15,70 | 60,21 |
| 5<br>Transversal inferior de solera | -12,74 | 4,83 | 1092,00 | -19,10 | 4,83 | 85,31 |
| 6<br>Transversal superior de solera | -12,74 | 4,83 | 1092,00 | -19,10 | 4,83 | 85,31 |
| 7<br>Vertical exterior de alzado pared transversal<br>(x2) | 4,62 | 5,16 | 792,00 | 4,62 | 5,16 | 61,45 |
| 7H<br>Horizontal exterior de alzado pared transversal<br>(x2) | -6,15 | 10,32 | 792,00 | -9,23 | 10,32 | 60,08 |
| 8<br>Vertical interior de alzado pared transversal<br>(x2) | 4,62 | 5,16 | 792,00 | 4,62 | 5,16 | 61,45 |

| | | | | | | |
|---|---|---|---|---|---|---|
| 8H<br>Horizontal interior de alzado pared transversal (x2) | -6,15 | 10,32 | 792,00 | -9,23 | 10,32 | 60,08 |
| 9<br>Vertical interior de arranque pared transversal (x2) | 9,25 | 10,32 | 792,00 | 9,25 | 10,32 | 61,90 |
| 9H<br>Horizontal interior de arranque pared transversal (x2) | -6,15 | 10,32 | 792,00 | -9,23 | 10,32 | 60,08 |
| 10<br>Vertical exterior de arranque pared transversal (x2) | 9,25 | 10,32 | 792,00 | 9,25 | 10,32 | 61,90 |
| 10H<br>Horizontal exterior de arranque pared transversal (x2) | -6,15 | 10,32 | 792,00 | -9,23 | 10,32 | 60,08 |
| 13<br>Longitudinal superior de solera | -6,94 | 4,83 | 1092,00 | -10,40 | 4,83 | 68,23 |
| 14<br>Longitudinal inferior de solera | -6,94 | 4,83 | 1092,00 | -10,40 | 4,83 | 68,23 |

## 7.4. Armadura

| Tipo | Nº Red./m | ø (mm) | Separación (m) | Area (cm²/m) | Longitud (m) |
|---|---|---|---|---|---|
| 1<br>Vertical exterior de alzado pared longitudinal | 4 | 12 | 0,25 | 4,52 | 1,89 |
| 1H<br>Horizontal exterior de alzado pared longitudinal | 4 | 12 | 0,25 | 4,52 | 5,22 |
| 2<br>Vertical interior de alzado pared longitudinal | 4 | 12 | 0,25 | 4,52 | 1,84 |
| 2H<br>Horizontal interior de alzado pared longitudinal | 4 | 12 | 0,25 | 4,52 | 5,69 |
| 3<br>Vertical interior de arranque pared longitudinal | 4 | 12 | 0,25 | 4,52 | 0,78 |
| 3H<br>Horizontal interior de arranque pared longitudinal | 4 | 12 | 0,25 | 4,52 | 5,69 |
| 4<br>Vertical exterior de arranque pared longitudinal | 4 | 12 | 0,25 | 4,52 | 0,67 |
| 4H<br>Horizontal exterior de arranque pared longitudinal | 4 | 12 | 0,25 | 4,52 | 5,22 |
| 5<br>Transversal inferior de solera | 4 | 12 | 0,25 | 4,52 | 1,94 |
| 6<br>Transversal superior de solera | 4 | 12 | 0,25 | 4,52 | 1,94 |
| 7<br>Vertical exterior de alzado pared transversal | 4 | 12 | 0,25 | 4,52 | 1,89 |
| 7H<br>Horizontal exterior de alzado pared transversal | 4 | 12 | 0,25 | 4,52 | 1,92 |
| 8<br>Vertical interior de alzado pared transversal | 4 | 12 | 0,25 | 4,52 | 1,84 |
| 8H<br>Horizontal interior de alzado pared transversal | 4 | 12 | 0,25 | 4,52 | 2,39 |
| 9<br>Vertical interior de arranque pared transversal | 4 | 12 | 0,25 | 4,52 | 0,78 |
| 9H<br>Horizontal interior de arranque pared transversal | 4 | 12 | 0,25 | 4,52 | 2,39 |
| 10<br>Vertical exterior de arranque pared transversal | 4 | 12 | 0,25 | 4,52 | 0,67 |
| 10H<br>Horizontal exterior de arranque pared transversal | 4 | 12 | 0,25 | 4,52 | 1,92 |
| 11H<br>Refuerzo horizontal en alzado de las esquinas | 4 | 12 | 0,25 | 4,52 | 0,48 |
| 12H<br>Refuerzo horizontal en arranque de las esquinas | 4 | 12 | 0,25 | 4,52 | 0,48 |
| 13<br>Longitudinal superior de solera | 4 | 12 | 0,25 | 4,52 | 5,24 |
| 14<br>Longitudinal inferior de solera | 4 | 12 | 0,25 | 4,52 | 5,24 |

## 7.5. Mediciones del aliviadero

### 7.5.1. Hormigón

**Paredes:**

| Pared | Espesor (m) | Longitud (m) | Altura (m) | Volumen de hormigón ($m^3$) |
|---|---|---|---|---|
| 2 x Transversal | 0,20 | 1,90 | 1,85 | 0,703 |
| 2 x Longitudinal | 0,20 | 5,20 | 1,85 | 1,924 |
| **Volumen total de hormigón en Paredes ($m^3$):** | | | | **5,254** |

**Solera:**

| Zona | Espesor (m) | Longitud (m) | Ancho (m) | Volumen de hormigón ($m^3$) |
|---|---|---|---|---|
| Solera | 0,25 | 5,40 | 2,10 | 2,835 |
| **Medición total Solera:** | | | | **2,835** |

### 7.5.2. Hormigón de limpieza

| Zona | Espesor (m) | Longitud (m) | Ancho (m) | Superficie de hormigón ($m^2$) |
|---|---|---|---|---|
| Solera | 0,10 | 5,40 | 2,10 | 11,340 |
| **Medición total:** | | | | **11,340** |

### 7.5.3. Acero

| Tipo | Nº Red.Total | ø (mm) | Area Total ($cm^2$) | Longitud (m) | Peso de Armadura (Kg) |
|---|---|---|---|---|---|
| 1<br>Vertical exterior de alzado pared longitudinal (x2) | 21 | 12 | 23,75 | 1,89 | 35,200 |
| 1H<br>Horizontal exterior de alzado pared longitudinal (x2) | 6 | 12 | 6,79 | 5,22 | 27,785 |
| 2<br>Vertical interior de alzado pared longitudinal (x2) | 21 | 12 | 23,75 | 1,84 | 34,305 |
| 2H<br>Horizontal interior de alzado pared longitudinal (x2) | 6 | 12 | 6,79 | 5,69 | 30,331 |
| 3<br>Vertical interior de arranque pared longitudinal (x2) | 21 | 12 | 23,75 | 0,78 | 14,589 |
| 3H<br>Horizontal interior de arranque pared longitudinal (x2) | 3 | 12 | 3,39 | 5,69 | 15,166 |
| 4<br>Vertical exterior de arranque pared longitudinal (x2) | 21 | 12 | 23,75 | 0,67 | 12,529 |
| 4H<br>Horizontal exterior de arranque pared longitudinal (x2) | 2 | 12 | 2,26 | 5,22 | 9,262 |
| 5<br>Transversal inferior de solera | 21 | 12 | 23,75 | 1,94 | 36,170 |
| 6<br>Transversal superior de solera | 21 | 12 | 23,75 | 1,94 | 36,170 |
| 7<br>Vertical exterior de alzado pared transversal (x2) | 8 | 12 | 9,05 | 1,89 | 13,410 |

| | | | | | |
|---|---|---|---|---|---|
| 7H<br>Horizontal exterior de alzado pared transversal (x2) | 6 | 12 | 6,79 | 1,92 | 10,206 |
| 8<br>Vertical interior de alzado pared transversal (x2) | 8 | 12 | 9,05 | 1,84 | 13,069 |
| 8H<br>Horizontal interior de alzado pared transversal (x2) | 6 | 12 | 6,79 | 2,39 | 12,753 |
| 9<br>Vertical interior de arranque pared transversal (x2) | 8 | 12 | 9,05 | 0,78 | 5,558 |
| 9H<br>Horizontal interior de arranque pared transversal (x2) | 3 | 12 | 3,39 | 2,39 | 6,376 |
| 10<br>Vertical exterior de arranque pared transversal (x2) | 8 | 12 | 9,05 | 0,67 | 4,773 |
| 10H<br>Horizontal exterior de arranque pared transversal (x2) | 2 | 12 | 2,26 | 1,92 | 3,402 |
| 11H<br>Refuerzo horizontal en alzado de las esquinas (x4) | 6 | 12 | 6,79 | 0,48 | 2,546 |
| 12H<br>Refuerzo horizontal en arranque de las esquinas (x4) | 2 | 12 | 2,26 | 0,48 | 0,849 |
| 13<br>Longitudinal superior de solera | 8 | 12 | 9,05 | 5,24 | 37,217 |
| 14<br>Longitudinal inferior de solera | 8 | 12 | 9,05 | 5,24 | 37,217 |
| **Peso Total de Armadura (Kg):** | | | | | **657,779** |

# 14.- POZO DE BOMBEO (SANTA CRUZ DEL VALLE)

ÍNDICE

1. MÉTODO DE CÁLCULO ..... 1
1.1. Modelo y campo de aplicación ..... 1
1.2. Hipótesis de cálculo ..... 1
1.3. Gráficas de acciones y esfuerzos ..... 2
2. CÁLCULOS ESTRUCTURALES POZO DE BOMBEO ..... 3
2.1. Características generales ..... 3
2.1.1. Coeficientes de seguridad ..... 3
2.1.2. Materiales ..... 3
2.1.3. Terreno ..... 3
2.1.4. Características del contenido del elemento ..... 4
2.2. Acciones y esfuerzos ..... 4
2.2.1. Paredes ..... 4
2.2.2. Solera ..... 5
2.3. Datos geométricos ..... 5
2.3.1. Dimensiones ..... 5
2.3.2. Espesores ..... 5
2.4. Comprobación – EHE ..... 5
2.4.1. Cálculo de armadura ..... 5
2.4.2. Cuantías de armadura ..... 6
2.4.3. Comprobación a fisuración ..... 7
2.4.4. Comprobación a cortante ..... 8
2.5. Armadura ..... 9
2.6. Mediciones del elemento ..... 10
2.6.1. Hormigón ..... 10

2.6.2. Hormigón de limpieza (capa 10 cm de espesor) ..... 10
2.6.3. Acero ..... 11
3. CÁLCULOS ESTRUCTURALES CÁMARA DE LLAVES ..... 12
3.1. Características generales ..... 12
3.1.1. Coeficientes de seguridad ..... 12
3.1.2. Materiales ..... 12
3.1.3. Terreno ..... 12
3.1.4. Características del contenido del elemento ..... 13
3.2. Acciones y esfuerzos ..... 13
3.2.1. Paredes ..... 13
3.2.2. Solera ..... 14
3.3. Datos geométricos ..... 14
3.3.1. Dimensiones ..... 14
3.3.2. Espesores ..... 14
3.4. Comprobación – EHE ..... 14
3.4.1. Cálculo de armadura ..... 14
3.4.2. Cuantías de armadura ..... 15
3.4.3. Comprobación a fisuración ..... 16
3.4.4. Comprobación a cortante ..... 17
3.5. Armadura ..... 18
3.6. Mediciones del elemento ..... 19
3.6.1. Hormigón ..... 19
3.6.2. Acero ..... 19

# 1. MÉTODO DE CÁLCULO

## 1.1. Modelo y campo de aplicación

El programa DPwinEHE está indicado para el cálculo de pequeños o medianos depósitos, los cuales se pueden ejecutar con continuidad entre la solera y las paredes, sin necesidad de disponer juntas que independicen la solera de las paredes (facilidad de ejecución).

El cálculo de esfuerzos en las paredes se hace, considerando estas como placas con un extremo libre y los otros tres empotrados. Mientras el cálculo de la solera se hace asimilando esta a una losa empotrada en sus cuatro extremos.

Al no existir juntas que independicen las paredes y la solera entre sí, el empuje del contenido del depósito sobre una pared determinada induce tracciones en las paredes contiguas y en la solera que son tenidas en cuenta por el programa. Estas tracciones deben ser resistidas por la armadura de la solera y la armadura horizontal de las paredes del depósito; provocando un aumento de la cuantía de dicha armadura.

Para el diseño de las arquetas, este programa emplea como parámetros iniciales las dimensiones interiores de la misma, siendo la armadura y el espesor de los muros y la solera el resultado del cálculo. Cabe aclarar que estas dimensiones interiores son las que aparecen en la memoria de cálculo, siendo las dimensiones geométricas finales la suma de éstas más el espesor de muros y solera.

## 1.2. Hipótesis de cálculo

Para el cálculo de esfuerzos sobre las paredes del depósito, se van a utilizar las siguientes hipótesis de cálculo:

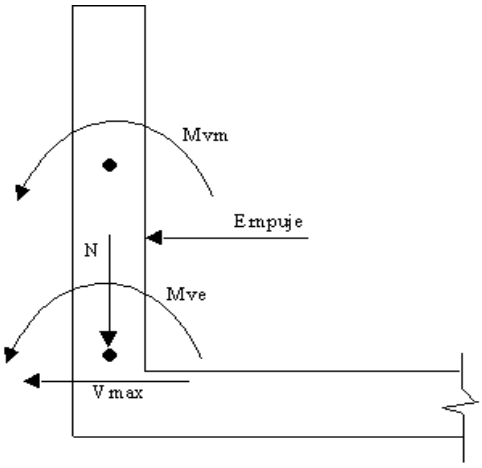
1º Considerando el empuje del material contenido en el depósito, sin considerar las tierras.

2º Considerando el empuje de tierras con el depósito vacío.

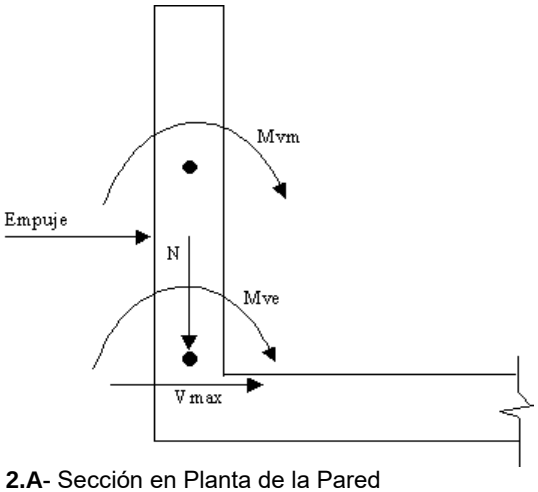
Para el cálculo de esfuerzos sobre la solera se considerará la presión del terreno de cimentación con el depósito vacío, considerando la solera como una losa empotrada en sus cuatro extremos; y considerando además los esfuerzos que producen las paredes del depósito sobre la solera (momento en el arranque de la pared y tracción debida al empuje del material contenido en el depósito).

Una vez calculados los esfuerzos que solicitan las paredes y la solera del depósito se determinará la armadura necesaria para resistirlos y se comprobará que cumple la sección resultante, las condiciones impuestas por la EHE en cuanto a cuantías mínimas de armadura, separaciones, estados límites últimos y de servicio; en especial el estado límite de fisuración y el de cortante.

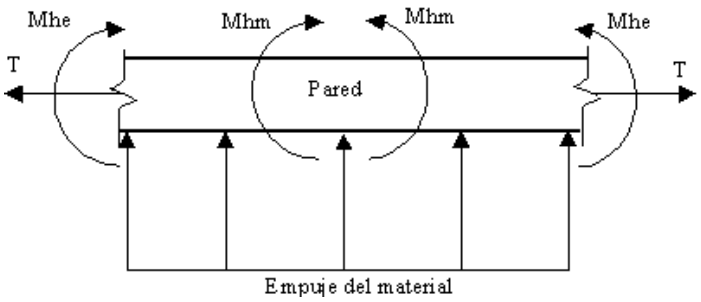
## 1.3. Gráficas de acciones y esfuerzos



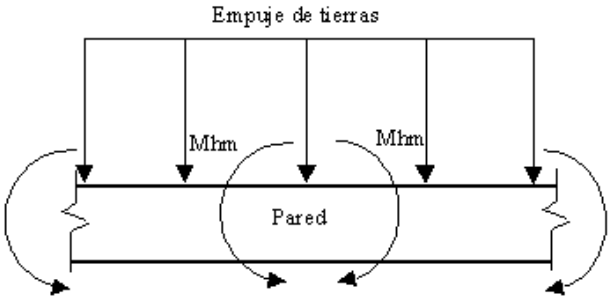

**1.A-** Sección Transversal de la Pared.
Empuje del material contenido en el depósito



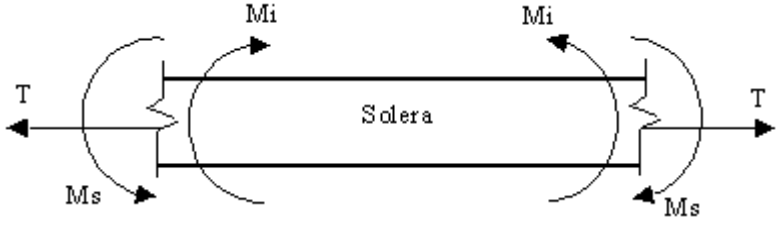

**2.A-** Sección en Planta de la Pared
Empuje del terreno sobre el depósito




**1.B-** Sección en Planta de la Pared.
Empuje del material contenido en el depósito




**2.B-** Sección en Planta de la Pared.
Empuje del terreno sobre el depósito




**3.A-** Sección Transversal de la Solera del Depósito.

# 2. CÁLCULOS ESTRUCTURALES POZO DE BOMBEO

## 2.1. Características generales

### 2.1.1. Coeficientes de seguridad

| | |
|---|---|
| Nivel de control de ejecución: | Normal |
| Situación de proyecto: | Persistente o transitoria |
| Sobre las acciones: | 1,50 |
| Sobre el acero: | 1,15 |
| Sobre el hormigón: | 1,50 |

### 2.1.2. Materiales

| | |
|---|---|
| **Tipo de Hormigón:** | HA-30 / P / 20 / IIa+□b |
| Resistencia característica (N/mm□): | 30 |
| Tipo de consistencia: | Plástica |
| Diámetro máximo del árido (mm): | 20 |
| **Ambiente:** | |
| Tipo de Ambiente: | IIa+□b |
| Ancho máximo de fisura (mm): | 0,10 |
| Recubrimiento nominal (mm): | 50 |
| **Tipo de Acero:** | B500S |
| Resistencia característica (N/mm□) | 500 |

### 2.1.3. Terreno

**Características del Terreno de Cimentación:**

| | |
|---|---|
| Naturaleza: | Terrenos sin cohesión |
| Característica: | Graveras |
| Presión admisible (N/mm□): | 0,15 |

**Características del Terreno Lateral:**

| | |
|---|---|
| Característica: | Graveras |
| Clase: | Grava y arena suelta |
| Peso Específico (kN/m3): | 17,00 |
| □ngulo de Rozamiento Interno (º): | 30,0 |
| Talud del Terreno (º): | 0,0 |
| Coeficiente de Empuje Activo: | 0,33 |

### 2.1.4. Características del contenido del elemento

| | |
|---|---|
| Clasificación: | Líquidos |
| Tipo: | Agua |
| Peso Específico (kN/m3): | 10,00 |
| Ángulo de Rozamiento Interno (º): | 0,0 |
| Ángulo en Reposo (º): | 0,0 |
| Coeficiente de Empuje Activo: | 1,00 |

## 2.2. Acciones y esfuerzos

| | |
|---|---|
| Peso del Material (kN): | 33,60 |
| Peso de la Solera (kN): | 17,50 |
| Peso de las Paredes (kN): | 63,00 |
| Presión media sobre el terreno (N/mm$^2$): | 0,04 |

### 2.2.1. Paredes

**Acciones y Esfuerzos producidos por el Empuje del Material sobre las Secciones de Cálculo de Paredes**

| Sección de Cálculo | Empuje (kN/m) | N (kN/m) | T (kN/m) | Mvm (kN•m/m) | Mhm (kN•m/m) | Mve (kN•m/m) | Mhe (kN•m/m) | Vmax (kN/m) | Fmax (mm) |
|---|---|---|---|---|---|---|---|---|---|
| Pared Transversal | 22,05 | 10,50 | 5,20 | -0,93 | -1,20 | 3,24 | 2,78 | 13,01 | 0,02 |
| Pared Longitudinal | 22,05 | 10,50 | 6,14 | -0,93 | -1,20 | 3,24 | 2,78 | 13,01 | 0,02 |

Ver gráficas 1.a – 1.b

**Acciones y Esfuerzos producidos por el Empuje de Tierras sobre las Secciones de Cálculo de Paredes**

| Sección de Cálculo | Empuje (kN/m) | N (kN/m) | T (kN/m) | Mvm (kN•m/m) | Mhm (kN•m/m) | Mve (kN•m/m) | Mhe (kN•m/m) | Vmax (kN/m) | Fmax (mm) |
|---|---|---|---|---|---|---|---|---|---|
| Pared Transversal | 12,49 | 10,50 | 5,20 | -0,52 | -0,68 | 1,84 | 1,57 | 7,37 | 0,01 |
| Pared Longitudinal | 12,49 | 10,50 | 6,14 | -0,52 | -0,68 | 1,84 | 1,57 | 7,37 | 0,01 |

Ver gráficas 2.a – 2.b

### 2.2.2. Solera

| Acciones y Esfuerzos sobre la Solera | | | |
|---|---|---|---|
| **Sección de Cálculo** | **T (kN/m)** | **Mi (kN•m/m)** | **Ms (kN•m/m)** |
| Sección Longitudinal de Solera | 8,82 | 2,44 | 3,24 |
| Sección Transversal de Solera | 8,82 | 3,38 | 3,24 |

Ver gráfica 3.a

## 2.3. Datos geométricos

Sección en Planta: Rectangular
Posición: Enterrado
Tipo: A

### 2.3.1. Dimensiones

a (m): 1,00
b (m): 1,60
h (m): 2,10

### 2.3.2. Espesores

Ea (m): 0,20
Eb (m): 0,20
Espesor Solera (m): 0,25

## 2.4. Comprobación – EHE

### 2.4.1. Cálculo de armadura

| Tipo | Nd (kN/m) | Md (kN·m/m) | AANecFlex ($cm^2$) | Td (kN/m) | AANec Trac ($cm^2$) | AAR ($cm^2$) |
|---|---|---|---|---|---|---|
| 1 Vertical exterior de alzado pared longitudinal (x2) | 5,25 | 1,39 | 0,16 | 0,00 | 0,00 | 4,52 |
| 1H Horizontal exterior de alzado pared longitudinal (x2) | 0,00 | 4,17 | 0,79 | 9,21 | 0,11 | 4,52 |
| 2 Vertical interior de alzado pared longitudinal (x2) | 5,25 | 1,39 | 0,16 | 0,00 | 0,00 | 4,52 |

| | | | | | | |
|---|---|---|---|---|---|---|
| 2H<br>Horizontal interior de alzado pared longitudinal (x2) | 0,00 | 4,17 | 0,79 | 9,21 | 0,11 | 4,52 |
| 3<br>Vertical interior de arranque pared longitudinal (x2) | 10,50 | 4,86 | 0,73 | 0,00 | 0,00 | 4,52 |
| 3H<br>Horizontal interior de arranque pared longitudinal (x2) | 0,00 | 4,17 | 0,79 | 9,21 | 0,11 | 4,52 |
| 4<br>Vertical exterior de arranque pared longitudinal (x2) | 10,50 | 4,86 | 0,73 | 0,00 | 0,00 | 4,52 |
| 4H<br>Horizontal exterior de arranque pared longitudinal (x2) | 0,00 | 4,17 | 0,79 | 9,21 | 0,11 | 4,52 |
| 5<br>Transversal inferior de solera | 0,00 | 4,86 | 0,67 | 13,23 | 0,15 | 4,52 |
| 6<br>Transversal superior de solera | 0,00 | 4,86 | 0,67 | 13,23 | 0,15 | 4,52 |
| 7<br>Vertical exterior de alzado pared transversal (x2) | 5,25 | 1,39 | 0,16 | 0,00 | 0,00 | 4,52 |
| 7H<br>Horizontal exterior de alzado pared transversal (x2) | 0,00 | 4,17 | 0,79 | 7,80 | 0,09 | 4,52 |
| 8<br>Vertical interior de alzado pared transversal (x2) | 5,25 | 1,39 | 0,16 | 0,00 | 0,00 | 4,52 |
| 8H<br>Horizontal interior de alzado pared transversal (x2) | 0,00 | 4,17 | 0,79 | 7,80 | 0,09 | 4,52 |
| 9<br>Vertical interior de arranque pared transversal (x2) | 10,50 | 4,86 | 0,73 | 0,00 | 0,00 | 4,52 |
| 9H<br>Horizontal interior de arranque pared transversal (x2) | 0,00 | 4,17 | 0,79 | 7,80 | 0,09 | 4,52 |
| 10<br>Vertical exterior de arranque pared transversal (x2) | 10,50 | 4,86 | 0,73 | 0,00 | 0,00 | 4,52 |
| 10H<br>Horizontal exterior de arranque pared transversal (x2) | 0,00 | 4,17 | 0,79 | 7,80 | 0,09 | 4,52 |
| 13<br>Longitudinal superior de solera | 0,00 | 5,07 | 0,70 | 13,23 | 0,15 | 4,52 |
| 14<br>Longitudinal inferior de solera | 0,00 | 5,07 | 0,70 | 13,23 | 0,15 | 4,52 |

### 2.4.2. Cuantías de armadura

| Tipo | AAMec Comp ($cm^2$) | AAMecTrac ($cm^2$) | AAMecFlex ($cm^2$) | AAGeom Trac ($cm^2$) | AAGeom Com ($cm^2$) | AAR (cm2) |
|---|---|---|---|---|---|---|
| 1<br>Vertical exterior de alzado pared longitudinal (x2) | 0,00 | 0,00 | 0,24 | 1,80 | 0,00 | 4,52 |
| 1H<br>Horizontal exterior de alzado pared longitudinal (x2) | 0,00 | 0,00 | 1,11 | 1,60 | 0,00 | 4,52 |
| 2<br>Vertical interior de alzado pared longitudinal (x2) | 0,00 | 0,00 | 0,24 | 1,80 | 0,00 | 4,52 |
| 2H<br>Horizontal interior de alzado pared longitudinal (x2) | 0,00 | 0,00 | 1,11 | 1,60 | 0,00 | 4,52 |
| 3<br>Vertical interior de arranque pared longitudinal (x2) | 0,00 | 0,00 | 1,02 | 1,80 | 0,00 | 4,52 |
| 3H<br>Horizontal interior de arranque pared longitudinal (x2) | 0,00 | 0,00 | 1,11 | 1,60 | 0,00 | 4,52 |

| | | | | | | |
|---|---|---|---|---|---|---|
| 4<br>Vertical exterior de arranque pared longitudinal (x2) | 0,00 | 0,00 | 1,02 | 1,80 | 0,00 | 4,52 |
| 4H<br>Horizontal exterior de arranque pared longitudinal (x2) | 0,00 | 0,00 | 1,11 | 1,60 | 0,00 | 4,52 |
| 5<br>Transversal inferior de solera | 0,00 | 0,00 | 0,96 | 2,25 | 2,25 | 4,52 |
| 6<br>Transversal superior de solera | 0,00 | 0,00 | 0,96 | 2,25 | 2,25 | 4,52 |
| 7<br>Vertical exterior de alzado pared transversal (x2) | 0,00 | 0,00 | 0,24 | 1,80 | 0,00 | 4,52 |
| 7H<br>Horizontal exterior de alzado pared transversal (x2) | 0,00 | 0,00 | 1,11 | 1,60 | 0,00 | 4,52 |
| 8<br>Vertical interior de alzado pared transversal (x2) | 0,00 | 0,00 | 0,24 | 1,80 | 0,00 | 4,52 |
| 8H<br>Horizontal interior de alzado pared transversal (x2) | 0,00 | 0,00 | 1,11 | 1,60 | 0,00 | 4,52 |
| 9<br>Vertical interior de arranque pared transversal (x2) | 0,00 | 0,00 | 1,02 | 1,80 | 0,00 | 4,52 |
| 9H<br>Horizontal interior de arranque pared transversal (x2) | 0,00 | 0,00 | 1,11 | 1,60 | 0,00 | 4,52 |
| 10<br>Vertical exterior de arranque pared transversal (x2) | 0,00 | 0,00 | 1,02 | 1,80 | 0,00 | 4,52 |
| 10H<br>Horizontal exterior de arranque pared transversal (x2) | 0,00 | 0,00 | 1,11 | 1,60 | 0,00 | 4,52 |
| 13<br>Longitudinal superior de solera | 0,00 | 0,00 | 1,00 | 2,25 | 2,25 | 4,52 |
| 14<br>Longitudinal inferior de solera | 0,00 | 0,00 | 1,00 | 2,25 | 2,25 | 4,52 |

### 2.4.3. Comprobación a fisuración

| Tipo | Nd (kN/m) | Md (kN·m/m) | $M_{Fis}$ (kN·m/m) | $W_{kFlex}$ (mm) | Td (kN/m) | $\sigma_{STrac}$ (N/mm$^2$) | $W_{kTrac}$ (mm) | $W_{Adm}$ (mm) |
|---|---|---|---|---|---|---|---|---|
| 1<br>Vertical exterior de alzado pared longitudinal (x2) | 5,25 | 0,93 | 19,36 | 0,00 | 0,00 | 0,00 | 0,00 | 0,10 |
| 1H<br>Horizontal exterior de alzado pared longitudinal (x2) | 0,00 | 2,78 | 19,36 | 0,00 | 6,14 | 27,16 | 0,04 | 0,10 |
| 2<br>Vertical interior de alzado pared longitudinal (x2) | 5,25 | 0,93 | 19,36 | 0,00 | 0,00 | 0,00 | 0,00 | 0,10 |
| 2H<br>Horizontal interior de alzado pared longitudinal (x2) | 0,00 | 2,78 | 19,36 | 0,00 | 6,14 | 27,16 | 0,04 | 0,10 |
| 3<br>Vertical interior de arranque pared longitudinal (x2) | 10,50 | 3,24 | 19,36 | 0,00 | 0,00 | 0,00 | 0,00 | 0,10 |
| 3H<br>Horizontal interior de arranque pared longitudinal (x2) | 0,00 | 2,78 | 19,36 | 0,00 | 6,14 | 27,16 | 0,04 | 0,10 |
| 4<br>Vertical exterior de arranque pared longitudinal (x2) | 10,50 | 3,24 | 19,36 | 0,00 | 0,00 | 0,00 | 0,00 | 0,10 |

| | | | | | | | | |
|---|---|---|---|---|---|---|---|---|
| 4H<br>Horizontal exterior de arranque pared longitudinal<br>(x2) | 0,00 | 2,78 | 19,36 | 0,00 | 6,14 | 27,16 | 0,04 | 0,10 |
| 5<br>Transversal inferior de solera | 0,00 | 3,24 | 30,29 | 0,00 | 8,82 | 38,99 | 0,07 | 0,10 |
| 6<br>Transversal superior de solera | 0,00 | 3,24 | 30,29 | 0,00 | 8,82 | 38,99 | 0,07 | 0,10 |
| 7<br>Vertical exterior de alzado pared transversal<br>(x2) | 5,25 | 0,93 | 19,36 | 0,00 | 0,00 | 0,00 | 0,00 | 0,10 |
| 7H<br>Horizontal exterior de alzado pared transversal<br>(x2) | 0,00 | 2,78 | 19,36 | 0,00 | 5,20 | 22,98 | 0,03 | 0,10 |
| 8<br>Vertical interior de alzado pared transversal<br>(x2) | 5,25 | 0,93 | 19,36 | 0,00 | 0,00 | 0,00 | 0,00 | 0,10 |
| 8H<br>Horizontal interior de alzado pared transversal<br>(x2) | 0,00 | 2,78 | 19,36 | 0,00 | 5,20 | 22,98 | 0,03 | 0,10 |
| 9<br>Vertical interior de arranque pared transversal<br>(x2) | 10,50 | 3,24 | 19,36 | 0,00 | 0,00 | 0,00 | 0,00 | 0,10 |
| 9H<br>Horizontal interior de arranque pared transversal<br>(x2) | 0,00 | 2,78 | 19,36 | 0,00 | 5,20 | 22,98 | 0,03 | 0,10 |
| 10<br>Vertical exterior de arranque pared transversal<br>(x2) | 10,50 | 3,24 | 19,36 | 0,00 | 0,00 | 0,00 | 0,00 | 0,10 |
| 10H<br>Horizontal exterior de arranque pared transversal<br>(x2) | 0,00 | 2,78 | 19,36 | 0,00 | 5,20 | 22,98 | 0,03 | 0,10 |
| 13<br>Longitudinal superior de solera | 0,00 | 3,38 | 30,29 | 0,00 | 8,82 | 38,99 | 0,07 | 0,10 |
| 14<br>Longitudinal inferior de solera | 0,00 | 3,38 | 30,29 | 0,00 | 8,82 | 38,99 | 0,07 | 0,10 |

### 2.4.4. Comprobación a cortante

| Tipo | $N_{Qd1}$ (kN/m) | Qd1 (kN/m) | Vu1 (kN/m) | $N_{Qd2}$ (kN/m) | Qd2 (kN/m) | Vu2 (kN/m) |
|---|---|---|---|---|---|---|
| 1<br>Vertical exterior de alzado pared longitudinal<br>(x2) | 5,25 | 6,50 | 792,00 | 5,25 | 6,50 | 61,51 |
| 1H<br>Horizontal exterior de alzado pared longitudinal<br>(x2) | -6,14 | 13,01 | 792,00 | -9,21 | 13,01 | 60,08 |
| 2<br>Vertical interior de alzado pared longitudinal<br>(x2) | 5,25 | 6,50 | 792,00 | 5,25 | 6,50 | 61,51 |
| 2H<br>Horizontal interior de alzado pared longitudinal<br>(x2) | -6,14 | 13,01 | 792,00 | -9,21 | 13,01 | 60,08 |
| 3<br>Vertical interior de arranque pared longitudinal<br>(x2) | 10,50 | 13,01 | 792,00 | 10,50 | 13,01 | 62,03 |
| 3H<br>Horizontal interior de arranque pared longitudinal<br>(x2) | -6,14 | 13,01 | 792,00 | -9,21 | 13,01 | 60,08 |
| 4<br>Vertical exterior de arranque pared longitudinal<br>(x2) | 10,50 | 13,01 | 792,00 | 10,50 | 13,01 | 62,03 |

| | | | | | | |
|---|---|---|---|---|---|---|
| 4H<br>Horizontal exterior de arranque pared longitudinal (x2) | -6,14 | 13,01 | 792,00 | -9,21 | 13,01 | 60,08 |
| 5<br>Transversal inferior de solera | -8,82 | 1,91 | 1092,00 | -13,23 | 1,91 | 67,92 |
| 6<br>Transversal superior de solera | -8,82 | 1,91 | 1092,00 | -13,23 | 1,91 | 67,92 |
| 7<br>Vertical exterior de alzado pared transversal (x2) | 5,25 | 6,50 | 792,00 | 5,25 | 6,50 | 61,51 |
| 7H<br>Horizontal exterior de alzado pared transversal (x2) | -5,20 | 13,01 | 792,00 | -7,80 | 13,01 | 60,22 |
| 8<br>Vertical interior de alzado pared transversal (x2) | 5,25 | 6,50 | 792,00 | 5,25 | 6,50 | 61,51 |
| 8H<br>Horizontal interior de alzado pared transversal (x2) | -5,20 | 13,01 | 792,00 | -7,80 | 13,01 | 60,22 |
| 9<br>Vertical interior de arranque pared transversal (x2) | 10,50 | 13,01 | 792,00 | 10,50 | 13,01 | 62,03 |
| 9H<br>Horizontal interior de arranque pared transversal (x2) | -5,20 | 13,01 | 792,00 | -7,80 | 13,01 | 60,22 |
| 10<br>Vertical exterior de arranque pared transversal (x2) | 10,50 | 13,01 | 792,00 | 10,50 | 13,01 | 62,03 |
| 10H<br>Horizontal exterior de arranque pared transversal (x2) | -5,20 | 13,01 | 792,00 | -7,80 | 13,01 | 60,22 |
| 13<br>Longitudinal superior de solera | -8,82 | 1,91 | 1092,00 | -13,23 | 1,91 | 67,92 |
| 14<br>Longitudinal inferior de solera | -8,82 | 1,91 | 1092,00 | -13,23 | 1,91 | 67,92 |

## 2.5. Armadura

| Tipo | Nº Red./m | ø (mm) | Separación (m) | Area ($cm^2$/m) | Longitud (m) |
|---|---|---|---|---|---|
| 1<br>Vertical exterior de alzado pared longitudinal | 4 | 12 | 0,25 | 4,52 | 2,14 |
| 1H<br>Horizontal exterior de alzado pared longitudinal | 4 | 12 | 0,25 | 4,52 | 1,22 |
| 2<br>Vertical interior de alzado pared longitudinal | 4 | 12 | 0,25 | 4,52 | 2,09 |
| 2H<br>Horizontal interior de alzado pared longitudinal | 4 | 12 | 0,25 | 4,52 | 1,69 |
| 3<br>Vertical interior de arranque pared longitudinal | 4 | 12 | 0,25 | 4,52 | 0,84 |
| 3H<br>Horizontal interior de arranque pared longitudinal | 4 | 12 | 0,25 | 4,52 | 1,69 |
| 4<br>Vertical exterior de arranque pared longitudinal | 4 | 12 | 0,25 | 4,52 | 0,67 |
| 4H<br>Horizontal exterior de arranque pared longitudinal | 4 | 12 | 0,25 | 4,52 | 1,22 |
| 5<br>Transversal inferior de solera | 4 | 12 | 0,25 | 4,52 | 1,84 |
| 6<br>Transversal superior de solera | 4 | 12 | 0,25 | 4,52 | 1,84 |
| 7<br>Vertical exterior de alzado pared transversal | 4 | 12 | 0,25 | 4,52 | 2,14 |
| 7H<br>Horizontal exterior de alzado pared transversal | 4 | 12 | 0,25 | 4,52 | 1,82 |

| | | | | | |
|---|---|---|---|---|---|
| 8<br>Vertical interior de alzado pared transversal | 4 | 12 | 0,25 | 4,52 | 2,09 |
| 8H<br>Horizontal interior de alzado pared transversal | 4 | 12 | 0,25 | 4,52 | 2,29 |
| 9<br>Vertical interior de arranque pared transversal | 4 | 12 | 0,25 | 4,52 | 0,84 |
| 9H<br>Horizontal interior de arranque pared transversal | 4 | 12 | 0,25 | 4,52 | 2,29 |
| 10<br>Vertical exterior de arranque pared transversal | 4 | 12 | 0,25 | 4,52 | 0,67 |
| 10H<br>Horizontal exterior de arranque pared transversal | 4 | 12 | 0,25 | 4,52 | 1,82 |
| 11H<br>Refuerzo horizontal en alzado de las esquinas | 4 | 12 | 0,25 | 4,52 | 0,48 |
| 12H<br>Refuerzo horizontal en arranque de las esquinas | 4 | 12 | 0,25 | 4,52 | 0,48 |
| 13<br>Longitudinal superior de solera | 4 | 12 | 0,25 | 4,52 | 1,24 |
| 14<br>Longitudinal inferior de solera | 4 | 12 | 0,25 | 4,52 | 1,24 |

## 2.6. Mediciones del elemento

### 2.6.1. Hormigón

**Paredes**

| Pared | Espesor (m) | Longitud (m) | Altura (m) | Volumen de hormigón ($m^3$) |
|---|---|---|---|---|
| 2 x Transversal | 0,20 | 1,80 | 2,10 | 0,756 |
| 2 x Longitudinal | 0,20 | 1,20 | 2,10 | 0,504 |
| **Volumen total de hormigón en Paredes ($m^3$):** | | | | **2,520** |

**Solera**

| Zona | Espesor (m) | Longitud (m) | Ancho (m) | Volumen de hormigón ($m^3$) |
|---|---|---|---|---|
| Solera | 0,25 | 1,40 | 2,00 | 0,700 |
| **Medición total Solera:** | | | | **0,700** |

### 2.6.2. Hormigón de limpieza (capa 10 cm de espesor)

| Zona | Espesor (m) | Longitud (m) | Ancho (m) | Superficie de hormigón ($m^2$) |
|---|---|---|---|---|
| Solera | 0,10 | 1,40 | 2,00 | 2,800 |
| **Medición total:** | | | | **2,800** |

### 2.6.3. Acero

| Tipo | Nº Red.Total | ø (mm) | Area Total ($cm^2$) | Longitud (m) | Peso de Armadura (Kg) |
|---|---|---|---|---|---|
| 1<br>Vertical exterior de alzado pared longitudinal (x2) | 5 | 12 | 5,65 | 2,14 | 9,491 |
| 1H<br>Horizontal exterior de alzado pared longitudinal (x2) | 7 | 12 | 7,92 | 1,22 | 7,557 |
| 2<br>Vertical interior de alzado pared longitudinal (x2) | 5 | 12 | 5,65 | 2,09 | 9,278 |
| 2H<br>Horizontal interior de alzado pared longitudinal (x2) | 6 | 12 | 6,79 | 1,69 | 9,024 |
| 3<br>Vertical interior de arranque pared longitudinal (x2) | 5 | 12 | 5,65 | 0,84 | 3,751 |
| 3H<br>Horizontal interior de arranque pared longitudinal (x2) | 3 | 12 | 3,39 | 1,69 | 4,512 |
| 4<br>Vertical exterior de arranque pared longitudinal (x2) | 5 | 12 | 5,65 | 0,67 | 2,983 |
| 4H<br>Horizontal exterior de arranque pared longitudinal (x2) | 2 | 12 | 2,26 | 1,22 | 2,159 |
| 5<br>Transversal inferior de solera | 5 | 12 | 5,65 | 1,84 | 8,168 |
| 6<br>Transversal superior de solera | 5 | 12 | 5,65 | 1,84 | 8,168 |
| 7<br>Vertical exterior de alzado pared transversal (x2) | 8 | 12 | 9,05 | 2,14 | 15,185 |
| 7H<br>Horizontal exterior de alzado pared transversal (x2) | 7 | 12 | 7,92 | 1,82 | 11,286 |
| 8<br>Vertical interior de alzado pared transversal (x2) | 8 | 12 | 9,05 | 2,09 | 14,844 |
| 8H<br>Horizontal interior de alzado pared transversal (x2) | 6 | 12 | 6,79 | 2,29 | 12,220 |
| 9<br>Vertical interior de arranque pared transversal (x2) | 8 | 12 | 9,05 | 0,84 | 6,002 |
| 9H<br>Horizontal interior de arranque pared transversal (x2) | 3 | 12 | 3,39 | 2,29 | 6,110 |
| 10<br>Vertical exterior de arranque pared transversal (x2) | 8 | 12 | 9,05 | 0,67 | 4,773 |
| 10H<br>Horizontal exterior de arranque pared transversal (x2) | 2 | 12 | 2,26 | 1,82 | 3,225 |
| 11H<br>Refuerzo horizontal en alzado de las esquinas (x4) | 7 | 12 | 7,92 | 0,48 | 2,971 |

| | | | | | |
|---|---|---|---|---|---|
| 12H<br>Refuerzo horizontal en arranque de las esquinas (x4) | 2 | 12 | 2,26 | 0,48 | 0,849 |
| 13<br>Longitudinal superior de solera | 8 | 12 | 9,05 | 1,24 | 8,807 |
| 14<br>Longitudinal inferior de solera | 8 | 12 | 9,05 | 1,24 | 8,807 |
| **Peso Total de Armadura (Kg):** | | | | | **294,025** |

# 3. CÁLCULOS ESTRUCTURALES CÁMARA DE LLAVES

## 3.1. Características generales

### 3.1.1. Coeficientes de seguridad

| | |
|---|---|
| Nivel de control de ejecución: | Normal |
| Situación de proyecto: | Persistente o transitoria |
| Sobre las acciones: | 1,50 |
| Sobre el acero: | 1,15 |
| Sobre el hormigón: | 1,50 |

### 3.1.2. Materiales

**Tipo de Hormigón**: HA-30 / P / 20 / IIa +□b

| | |
|---|---|
| Resistencia característica (N/mm□): | 30 |
| Tipo de consistencia: | Plástica |
| Diámetro máximo del árido (mm): | 20 |

**Ambiente:**

| | |
|---|---|
| Tipo de Ambiente: | IIa+□b |
| Ancho máximo de fisura (mm): | 0,10 |
| Recubrimiento nominal (mm): | 50 |

**Tipo de Acero:** B500S

| | |
|---|---|
| Resistencia característica (N/mm□) | 500 |

### 3.1.3. Terreno

**Características del Terreno de Cimentación:**

| | |
|---|---|
| Naturaleza: | Terrenos sin cohesión |
| Característica: | Graveras |
| Presión admisible (N/mm□): | 0,15 |

**Características del Terreno Lateral:**

| | |
|---|---|
| Característica: | Graveras |
| Clase: | Grava y arena suelta |
| Peso Específico (kN/m$^3$): | 17,00 |
| Ángulo de Rozamiento Interno (º): | 30,0 |
| Talud del Terreno (º): | 0,0 |
| Coeficiente de Empuje Activo: | 0,33 |

### 3.1.4. Características del contenido del elemento

| | |
|---|---|
| Clasificación: | Líquidos |
| Tipo: | Agua |
| Peso Específico (kN/m$^3$): | 10,00 |
| Ángulo de Rozamiento Interno (º): | 0,0 |
| Ángulo en Reposo (º): | 0,0 |
| Coeficiente de Empuje Activo: | 1,00 |

## 3.2. Acciones y esfuerzos

| | |
|---|---|
| Peso del Material (kN): | 10,00 |
| Peso de la Solera (kN): | 12,25 |
| Peso de las Paredes (kN): | 24,00 |
| Presión media sobre el terreno (N/mm$^2$): | 0,02 |

### 3.2.1. Paredes

**Acciones y Esfuerzos producidos por el Empuje del Material sobre las Secciones de Cálculo de Paredes**

| Sección de Cálculo | Empuje (kN/m) | N (kN/m) | T (kN/m) | Mvm (kN•m/m) | Mhm (kN•m/m) | Mve (kN•m/m) | Mhe (kN•m/m) | Vmax (kN/m) | Fmax (mm) |
|---|---|---|---|---|---|---|---|---|---|
| Pared Transversal | 5,00 | 5,00 | 1,68 | -0,12 | -0,16 | 0,44 | 0,37 | 3,33 | 0,00 |
| Pared Longitudinal | 5,00 | 5,00 | 1,68 | -0,12 | -0,16 | 0,44 | 0,37 | 3,33 | 0,00 |

Ver gráficas 1.a – 1.b

| Acciones y Esfuerzos producidos por el Empuje de Tierras sobre las Secciones de Cálculo de Paredes | | | | | | | | | |
|---|---|---|---|---|---|---|---|---|---|
| **Sección de Cálculo** | **Empuje (kN/m)** | **N (kN/m)** | **T (kN/m)** | **Mvm (kN•m/m)** | **Mhm (kN•m/m)** | **Mve (kN•m/m)** | **Mhe (kN•m/m)** | **Vmax (kN/m)** | **Fmax (mm)** |
| Pared Transversal | 2,83 | 5,00 | 1,68 | -0,07 | -0,09 | 0,25 | 0,21 | 1,89 | 0,00 |
| Pared Longitudinal | 2,83 | 5,00 | 1,68 | -0,07 | -0,09 | 0,25 | 0,21 | 1,89 | 0,00 |

Ver gráficas 2.a – 2.b

### 3.2.2. Solera

| Acciones y Esfuerzos sobre la Solera | | | |
|---|---|---|---|
| **Sección de Cálculo** | **T (kN/m)** | **Mi (kN•m/m)** | **Ms (kN•m/m)** |
| Sección Longitudinal de Solera | 2,20 | 1,39 | 0,60 |
| Sección Transversal de Solera | 2,20 | 1,39 | 0,60 |

Ver gráfica 3.a

## 3.3. Datos geométricos

Sección en Planta: Rectangular

Posición: Enterrado

Tipo: A

### 3.3.1. Dimensiones

a (m): 1,00

b (m): 1,00

h (m): 1,00

### 3.3.2. Espesores

Ea (m): 0,20

Eb (m): 0,20

Espesor Solera (m): 0,25

## 3.4. Comprobación – EHE

### 3.4.1. Cálculo de armadura

| Tipo | Nd (kN/m) | Md (kN·m/m) | AANec Flex ($cm^2$) | Td (kN/m) | AANec Trac ($cm^2$) | AAR ($cm^2$) |
|---|---|---|---|---|---|---|
| 1<br>Vertical exterior de alzado pared longitudinal (x2) | 2,50 | 0,19 | 0,00 | 0,00 | 0,00 | 4,52 |

| | | | | | | |
|---|---|---|---|---|---|---|
| 1H<br>Horizontal exterior de alzado pared longitudinal (x2) | 0,00 | 0,55 | 0,10 | 2,52 | 0,03 | 4,52 |
| 2<br>Vertical interior de alzado pared longitudinal (x2) | 2,50 | 0,19 | 0,00 | 0,00 | 0,00 | 4,52 |
| 2H<br>Horizontal interior de alzado pared longitudinal (x2) | 0,00 | 0,55 | 0,10 | 2,52 | 0,03 | 4,52 |
| 3<br>Vertical interior de arranque pared longitudinal (x2) | 5,00 | 0,65 | 0,03 | 0,00 | 0,00 | 4,52 |
| 3H<br>Horizontal interior de arranque pared longitudinal (x2) | 0,00 | 0,55 | 0,10 | 2,52 | 0,03 | 4,52 |
| 4<br>Vertical exterior de arranque pared longitudinal (x2) | 5,00 | 0,65 | 0,03 | 0,00 | 0,00 | 4,52 |
| 4H<br>Horizontal exterior de arranque pared longitudinal (x2) | 0,00 | 0,55 | 0,10 | 2,52 | 0,03 | 4,52 |
| 5<br>Transversal inferior de solera | 0,00 | 2,09 | 0,29 | 3,30 | 0,04 | 4,52 |
| 6<br>Transversal superior de solera | 0,00 | 2,09 | 0,29 | 3,30 | 0,04 | 4,52 |
| 7<br>Vertical exterior de alzado pared transversal | 2,50 | 0,19 | 0,00 | 0,00 | 0,00 | 4,52 |
| 7H<br>Horizontal exterior de alzado pared transversal | 0,00 | 0,55 | 0,10 | 2,52 | 0,03 | 4,52 |
| 8<br>Vertical interior de alzado pared transversal | 2,50 | 0,19 | 0,00 | 0,00 | 0,00 | 4,52 |
| 8H<br>Horizontal interior de alzado pared transversal | 0,00 | 0,55 | 0,10 | 2,52 | 0,03 | 4,52 |
| 9<br>Vertical interior de arranque pared transversal | 5,00 | 0,65 | 0,03 | 0,00 | 0,00 | 4,52 |
| 9H<br>Horizontal interior de arranque pared transversal | 0,00 | 0,55 | 0,10 | 2,52 | 0,03 | 4,52 |
| 10<br>Vertical exterior de arranque pared transversal | 5,00 | 0,65 | 0,03 | 0,00 | 0,00 | 4,52 |
| 10H<br>Horizontal exterior de arranque pared transversal | 0,00 | 0,55 | 0,10 | 2,52 | 0,03 | 4,52 |
| 13<br>Longitudinal superior de solera | 0,00 | 2,09 | 0,29 | 3,30 | 0,04 | 4,52 |
| 14<br>Longitudinal inferior de solera | 0,00 | 2,09 | 0,29 | 3,30 | 0,04 | 4,52 |

### 3.4.2. Cuantías de armadura

| Tipo | AAMec Comp ($cm^2$) | AAMec Trac ($cm^2$) | AAMec Flex ($cm^2$) | AAGeom Trac ($cm^2$) | AAGeom Com ($cm^2$) | AAR cm2) |
|---|---|---|---|---|---|---|
| 1<br>Vertical exterior de alzado pared longitudinal (x2) | 0,00 | 0,00 | 0,00 | 1,80 | 0,00 | 4,52 |
| 1H<br>Horizontal exterior de alzado pared longitudinal (x2) | 0,00 | 0,00 | 0,15 | 1,60 | 0,00 | 4,52 |
| 2<br>Vertical interior de alzado pared longitudinal (x2) | 0,00 | 0,00 | 0,00 | 1,80 | 0,00 | 4,52 |
| 2H<br>Horizontal interior de alzado pared longitudinal (x2) | 0,00 | 0,00 | 0,15 | 1,60 | 0,00 | 4,52 |
| 3<br>Vertical interior de arranque pared longitudinal (x2) | 0,00 | 0,00 | 0,04 | 1,80 | 0,00 | 4,52 |
| 3H<br>Horizontal interior de arranque pared longitudinal (x2) | 0,00 | 0,00 | 0,15 | 1,60 | 0,00 | 4,52 |
| 4<br>Vertical exterior de arranque pared longitudinal (x2) | 0,00 | 0,00 | 0,04 | 1,80 | 0,00 | 4,52 |

| | | | | | | |
|---|---|---|---|---|---|---|
| 4H<br>Horizontal exterior de arranque pared longitudinal (x2) | 0,00 | 0,00 | 0,15 | 1,60 | 0,00 | 4,52 |
| 5<br>Transversal inferior de solera | 0,00 | 0,00 | 0,42 | 2,25 | 2,25 | 4,52 |
| 6<br>Transversal superior de solera | 0,00 | 0,00 | 0,42 | 2,25 | 2,25 | 4,52 |
| 7<br>Vertical exterior de alzado pared transversal | 0,00 | 0,00 | 0,00 | 1,80 | 0,00 | 4,52 |
| 7H<br>Horizontal exterior de alzado pared transversal | 0,00 | 0,00 | 0,15 | 1,60 | 0,00 | 4,52 |
| 8<br>Vertical interior de alzado pared transversal | 0,00 | 0,00 | 0,00 | 1,80 | 0,00 | 4,52 |
| 8H<br>Horizontal interior de alzado pared transversal | 0,00 | 0,00 | 0,15 | 1,60 | 0,00 | 4,52 |
| 9<br>Vertical interior de arranque pared transversal | 0,00 | 0,00 | 0,04 | 1,80 | 0,00 | 4,52 |
| 9H<br>Horizontal interior de arranque pared transversal | 0,00 | 0,00 | 0,15 | 1,60 | 0,00 | 4,52 |
| 10<br>Vertical exterior de arranque pared transversal | 0,00 | 0,00 | 0,04 | 1,80 | 0,00 | 4,52 |
| 10H<br>Horizontal exterior de arranque pared transversal | 0,00 | 0,00 | 0,15 | 1,60 | 0,00 | 4,52 |
| 13<br>Longitudinal superior de solera | 0,00 | 0,00 | 0,42 | 2,25 | 2,25 | 4,52 |
| 14<br>Longitudinal inferior de solera | 0,00 | 0,00 | 0,42 | 2,25 | 2,25 | 4,52 |

### 3.4.3. Comprobación a fisuración

| Tipo | Nd (kN/m) | Md (kN·m/m) | MFis (kN·m/m) | WkFlex (mm) | Td (kN/m) | σSTrac (N/mm²) | WkTrac (mm) | WAdm (mm) |
|---|---|---|---|---|---|---|---|---|
| 1<br>Vertical exterior de alzado pared longitudinal (x2) | 2,50 | 0,12 | 19,36 | 0,00 | 0,00 | 0,00 | 0,00 | 0,10 |
| 1H<br>Horizontal exterior de alzado pared longitudinal (x2) | 0,00 | 0,37 | 19,36 | 0,00 | 1,68 | 7,43 | 0,01 | 0,10 |
| 2<br>Vertical interior de alzado pared longitudinal (x2) | 2,50 | 0,12 | 19,36 | 0,00 | 0,00 | 0,00 | 0,00 | 0,10 |
| 2H<br>Horizontal interior de alzado pared longitudinal (x2) | 0,00 | 0,37 | 19,36 | 0,00 | 1,68 | 7,43 | 0,01 | 0,10 |
| 3<br>Vertical interior de arranque pared longitudinal (x2) | 5,00 | 0,44 | 19,36 | 0,00 | 0,00 | 0,00 | 0,00 | 0,10 |
| 3H<br>Horizontal interior de arranque pared longitudinal (x2) | 0,00 | 0,37 | 19,36 | 0,00 | 1,68 | 7,43 | 0,01 | 0,10 |
| 4<br>Vertical exterior de arranque pared longitudinal (x2) | 5,00 | 0,44 | 19,36 | 0,00 | 0,00 | 0,00 | 0,00 | 0,10 |
| 4H<br>Horizontal exterior de arranque pared longitudinal (x2) | 0,00 | 0,37 | 19,36 | 0,00 | 1,68 | 7,43 | 0,01 | 0,10 |
| 5<br>Transversal inferior de solera | 0,00 | 1,39 | 30,29 | 0,00 | 2,20 | 9,73 | 0,01 | 0,10 |
| 6<br>Transversal superior de solera | 0,00 | 1,39 | 30,29 | 0,00 | 2,20 | 9,73 | 0,01 | 0,10 |
| 7<br>Vertical exterior de alzado pared transversal | 2,50 | 0,12 | 19,36 | 0,00 | 0,00 | 0,00 | 0,00 | 0,10 |

| | | | | | | | | |
|---|---|---|---|---|---|---|---|---|
| 7H<br>Horizontal exterior de alzado pared transversal | 0,00 | 0,37 | 19,36 | 0,00 | 1,68 | 7,43 | 0,01 | 0,10 |
| 8<br>Vertical interior de alzado pared transversal | 2,50 | 0,12 | 19,36 | 0,00 | 0,00 | 0,00 | 0,00 | 0,10 |
| 8H<br>Horizontal interior de alzado pared transversal | 0,00 | 0,37 | 19,36 | 0,00 | 1,68 | 7,43 | 0,01 | 0,10 |
| 9<br>Vertical interior de arranque pared transversal | 5,00 | 0,44 | 19,36 | 0,00 | 0,00 | 0,00 | 0,00 | 0,10 |
| 9H<br>Horizontal interior de arranque pared transversal | 0,00 | 0,37 | 19,36 | 0,00 | 1,68 | 7,43 | 0,01 | 0,10 |
| 10<br>Vertical exterior de arranque pared transversal | 5,00 | 0,44 | 19,36 | 0,00 | 0,00 | 0,00 | 0,00 | 0,10 |
| 10H<br>Horizontal exterior de arranque pared transversal | 0,00 | 0,37 | 19,36 | 0,00 | 1,68 | 7,43 | 0,01 | 0,10 |
| 13<br>Longitudinal superior de solera | 0,00 | 1,39 | 30,29 | 0,00 | 2,20 | 9,73 | 0,01 | 0,10 |
| 14<br>Longitudinal inferior de solera | 0,00 | 1,39 | 30,29 | 0,00 | 2,20 | 9,73 | 0,01 | 0,10 |

### 3.4.4. Comprobación a cortante

| Tipo | $N_{Qd1}$ (kN/m) | Qd1 (kN/m) | Vu1 (kN/m) | $N_{Qd2}$ (kN/m) | Qd2 (kN/m) | Vu2 (kN/m) |
|---|---|---|---|---|---|---|
| 1<br>Vertical exterior de alzado pared longitudinal (x2) | 2,50 | 1,67 | 792,00 | 2,50 | 1,67 | 61,24 |
| 1H<br>Horizontal exterior de alzado pared longitudinal (x2) | -1,68 | 3,33 | 792,00 | -2,52 | 3,33 | 60,74 |
| 2<br>Vertical interior de alzado pared longitudinal (x2) | 2,50 | 1,67 | 792,00 | 2,50 | 1,67 | 61,24 |
| 2H<br>Horizontal interior de alzado pared longitudinal (x2) | -1,68 | 3,33 | 792,00 | -2,52 | 3,33 | 60,74 |
| 3<br>Vertical interior de arranque pared longitudinal (x2) | 5,00 | 3,33 | 792,00 | 5,00 | 3,33 | 61,48 |
| 3H<br>Horizontal interior de arranque pared longitudinal (x2) | -1,68 | 3,33 | 792,00 | -2,52 | 3,33 | 60,74 |
| 4<br>Vertical exterior de arranque pared longitudinal (x2) | 5,00 | 3,33 | 792,00 | 5,00 | 3,33 | 61,48 |
| 4H<br>Horizontal exterior de arranque pared longitudinal (x2) | -1,68 | 3,33 | 792,00 | -2,52 | 3,33 | 60,74 |
| 5<br>Transversal inferior de solera | -2,20 | 0,32 | 1092,00 | -3,30 | 0,32 | 69,01 |
| 6<br>Transversal superior de solera | -2,20 | 0,32 | 1092,00 | -3,30 | 0,32 | 69,01 |
| 7<br>Vertical exterior de alzado pared transversal | 2,50 | 1,67 | 792,00 | 2,50 | 1,67 | 61,24 |
| 7H<br>Horizontal exterior de alzado pared transversal | -1,68 | 3,33 | 792,00 | -2,52 | 3,33 | 60,74 |
| 8<br>Vertical interior de alzado pared transversal | 2,50 | 1,67 | 792,00 | 2,50 | 1,67 | 61,24 |

| | | | | | | |
|---|---|---|---|---|---|---|
| 8H<br>Horizontal interior de alzado pared transversal | -1,68 | 3,33 | 792,00 | -2,52 | 3,33 | 60,74 |
| 9<br>Vertical interior de arranque pared transversal | 5,00 | 3,33 | 792,00 | 5,00 | 3,33 | 61,48 |
| 9H<br>Horizontal interior de arranque pared transversal | -1,68 | 3,33 | 792,00 | -2,52 | 3,33 | 60,74 |
| 10<br>Vertical exterior de arranque pared transversal | 5,00 | 3,33 | 792,00 | 5,00 | 3,33 | 61,48 |
| 10H<br>Horizontal exterior de arranque pared transversal | -1,68 | 3,33 | 792,00 | -2,52 | 3,33 | 60,74 |
| 13<br>Longitudinal superior de solera | -2,20 | 0,32 | 1092,00 | -3,30 | 0,32 | 69,01 |
| 14<br>Longitudinal inferior de solera | -2,20 | 0,32 | 1092,00 | -3,30 | 0,32 | 69,01 |

## 3.5. Armadura

| Tipo | Nº Red./m | ø (mm) | Separación (m) | Area ($cm^2$/m) | Longitud (m) |
|---|---|---|---|---|---|
| 1<br>Vertical exterior de alzado pared longitudinal | 4 | 12 | 0,25 | 4,52 | 1,04 |
| 1H<br>Horizontal exterior de alzado pared longitudinal | 4 | 12 | 0,25 | 4,52 | 1,22 |
| 2<br>Vertical interior de alzado pared longitudinal | 4 | 12 | 0,25 | 4,52 | 0,99 |
| 2H<br>Horizontal interior de alzado pared longitudinal | 4 | 12 | 0,25 | 4,52 | 1,69 |
| 3<br>Vertical interior de arranque pared longitudinal | 4 | 12 | 0,25 | 4,52 | 0,60 |
| 3H<br>Horizontal interior de arranque pared longitudinal | 4 | 12 | 0,25 | 4,52 | 1,69 |
| 4<br>Vertical exterior de arranque pared longitudinal | 4 | 12 | 0,25 | 4,52 | 0,67 |
| 4H<br>Horizontal exterior de arranque pared longitudinal | 4 | 12 | 0,25 | 4,52 | 1,22 |
| 5<br>Transversal inferior de solera | 4 | 12 | 0,25 | 4,52 | 1,24 |
| 6<br>Transversal superior de solera | 4 | 12 | 0,25 | 4,52 | 1,24 |
| 7<br>Vertical exterior de alzado pared transversal | 4 | 12 | 0,25 | 4,52 | 1,04 |
| 7H<br>Horizontal exterior de alzado pared transversal | 4 | 12 | 0,25 | 4,52 | 1,22 |
| 8<br>Vertical interior de alzado pared transversal | 4 | 12 | 0,25 | 4,52 | 0,99 |
| 8H<br>Horizontal interior de alzado pared transversal | 4 | 12 | 0,25 | 4,52 | 1,69 |
| 9<br>Vertical interior de arranque pared transversal | 4 | 12 | 0,25 | 4,52 | 0,60 |
| 9H<br>Horizontal interior de arranque pared transversal | 4 | 12 | 0,25 | 4,52 | 1,69 |
| 10<br>Vertical exterior de arranque pared transversal | 4 | 12 | 0,25 | 4,52 | 0,67 |
| 10H<br>Horizontal exterior de arranque pared transversal | 4 | 12 | 0,25 | 4,52 | 1,22 |
| 11H<br>Refuerzo horizontal en alzado de las esquinas | 4 | 12 | 0,25 | 4,52 | 0,48 |
| 12H<br>Refuerzo horizontal en arranque de las esquinas | 4 | 12 | 0,25 | 4,52 | 0,48 |
| 13<br>Longitudinal superior de solera | 4 | 12 | 0,25 | 4,52 | 1,24 |
| 14<br>Longitudinal inferior de solera | 4 | 12 | 0,25 | 4,52 | 1,24 |

## 3.6. Mediciones del elemento

### 3.6.1. Hormigón

#### Paredes

| Pared | Espesor (m) | Longitud (m) | Altura (m) | Volumen de hormigón ($m^3$) |
|---|---|---|---|---|
| 1 x Transversal | 0,20 | 1,40 | 1,00 | 0,280 |
| 2 x Longitudinal | 0,20 | 1,00 | 1,00 | 0,200 |
| **Volumen total de hormigón en Paredes ($m^3$):** | | | | **0,680** |

#### Solera

| Zona | Espesor (m) | Longitud (m) | Ancho (m) | Volumen de hormigón ($m^3$) |
|---|---|---|---|---|
| Solera | 0,25 | 1,20 | 1,40 | 0,420 |
| **Medición total Solera:** | | | | **0,420** |

### 3.6.2. Acero

| Tipo | Nº Red.Total | ø (mm) | Area Total ($cm^2$) | Longitud (m) | Peso de Armadura (Kg) |
|---|---|---|---|---|---|
| 1<br>Vertical exterior de alzado pared longitudinal (x2) | 5 | 12 | 5,65 | 1,04 | 4,608 |
| 1H<br>Horizontal exterior de alzado pared longitudinal (x2) | 3 | 12 | 3,39 | 1,22 | 3,239 |
| 2<br>Vertical interior de alzado pared longitudinal (x2) | 5 | 12 | 5,65 | 0,99 | 4,395 |
| 2H<br>Horizontal interior de alzado pared longitudinal (x2) | 3 | 12 | 3,39 | 1,69 | 4,512 |
| 3<br>Vertical interior de arranque pared longitudinal (x2) | 5 | 12 | 5,65 | 0,60 | 2,677 |
| 3H<br>Horizontal interior de arranque pared longitudinal (x2) | 2 | 12 | 2,26 | 1,69 | 3,008 |
| 4<br>Vertical exterior de arranque pared longitudinal (x2) | 5 | 12 | 5,65 | 0,67 | 2,983 |
| 4H<br>Horizontal exterior de arranque pared longitudinal (x2) | 2 | 12 | 2,26 | 1,22 | 2,159 |
| 5<br>Transversal inferior de solera | 5 | 12 | 5,65 | 1,24 | 5,504 |
| 6<br>Transversal superior de solera | 5 | 12 | 5,65 | 1,24 | 5,504 |
| 7<br>Vertical exterior de alzado pared transversal | 5 | 12 | 5,65 | 1,04 | 4,608 |
| 7H<br>Horizontal exterior de alzado pared transversal | 3 | 12 | 3,39 | 1,22 | 3,239 |
| 8<br>Vertical interior de alzado pared transversal | 5 | 12 | 5,65 | 0,99 | 4,395 |
| 8H<br>Horizontal interior de alzado pared transversal | 3 | 12 | 3,39 | 1,69 | 4,512 |
| 9<br>Vertical interior de arranque pared transversal | 5 | 12 | 5,65 | 0,60 | 2,677 |
| 9H<br>Horizontal interior de arranque pared transversal | 2 | 12 | 2,26 | 1,69 | 3,008 |

| | | | | | |
|---|---|---|---|---|---|
| 10<br>Vertical exterior de arranque pared transversal | 5 | 12 | 5,65 | 0,67 | 2,983 |
| 10H<br>Horizontal exterior de arranque pared transversal | 2 | 12 | 2,26 | 1,22 | 2,159 |
| 11H<br>Refuerzo horizontal en alzado de las esquinas (x2) | 3 | 12 | 3,39 | 0,48 | 1,273 |
| 12H<br>Refuerzo horizontal en arranque de las esquinas (x2) | 2 | 12 | 2,26 | 0,48 | 0,849 |
| 13<br>Longitudinal superior de solera | 5 | 12 | 5,65 | 1,24 | 5,504 |
| 14<br>Longitudinal inferior de solera | 5 | 12 | 5,65 | 1,24 | 5,504 |
| **Peso Total de Armadura (Kg):** | | | | | **109,003** |

# ANEJO DE CÁLCULO

# 15.- ANCLAJE DE CONDUCCIÓN EN EL PUENTE DE LA CARRETERA N-502

# 1. CONSIDERACIONES INICIALES

## 1.1. INTRODUCCIÓN

La presente nota de cálculo surge de la necesidad de estudiar el paso de dos tuberías de 200 y 300 mm de diámetro con apoyos en el puente de la carretera N-502, en Cuevas del Valle.

Las conducciones son de fundición dúctil. La tubería de 300 mm de diámetro irá anclada al paramento aguas arriba y la de 200 mm al paramento aguas abajo.

El puente es una antigua obra de fábrica que se ha ampliado, en ambos sentidos, con 4 vigas prefabricadas de hormigón, tipo doble T, cuando se ejecutó la nueva carretera.

Las vigas van apoyadas en unos estribos de hormigón armado, anclados a los existentes. Los nuevos estribos, de sección trapecial y 0.80 m de espesor, están apoyados en roca.

Las aletas son de mampostería y hormigón ciclópeo.

## 1.2. DATOS DE PARTIDA

Como datos de partida se cuenta con la siguiente información:

- Planos de la ampliación
- Memoria de cálculo de la ampliación.

# 2. SOLUCIÓN PLANTEADA

## 2.1. DESCRIPCIÓN

La solución planteada consiste en salvar la luz del vano, unos 14,00 m, con apoyos metálicos tipo ménsula sobre los que se fija la tubería. Estas ménsulas tendrán en un extremo una chapa, la cual se anclará a la ampliación del estribo, apoyado en roca.

En los tramos de mampostería se decide disminuir la luz ya que el material base, mampostería. La luz de cálculo entre apoyos será de 5.25 m, con la intención de disponer un anclaje en la entrada y otro en un punto central de la misma.

A continuación, se adjuntan los cálculos de esfuerzos en los apoyos, en función de la luz considerada y el diámetro de la tubería en estudio.

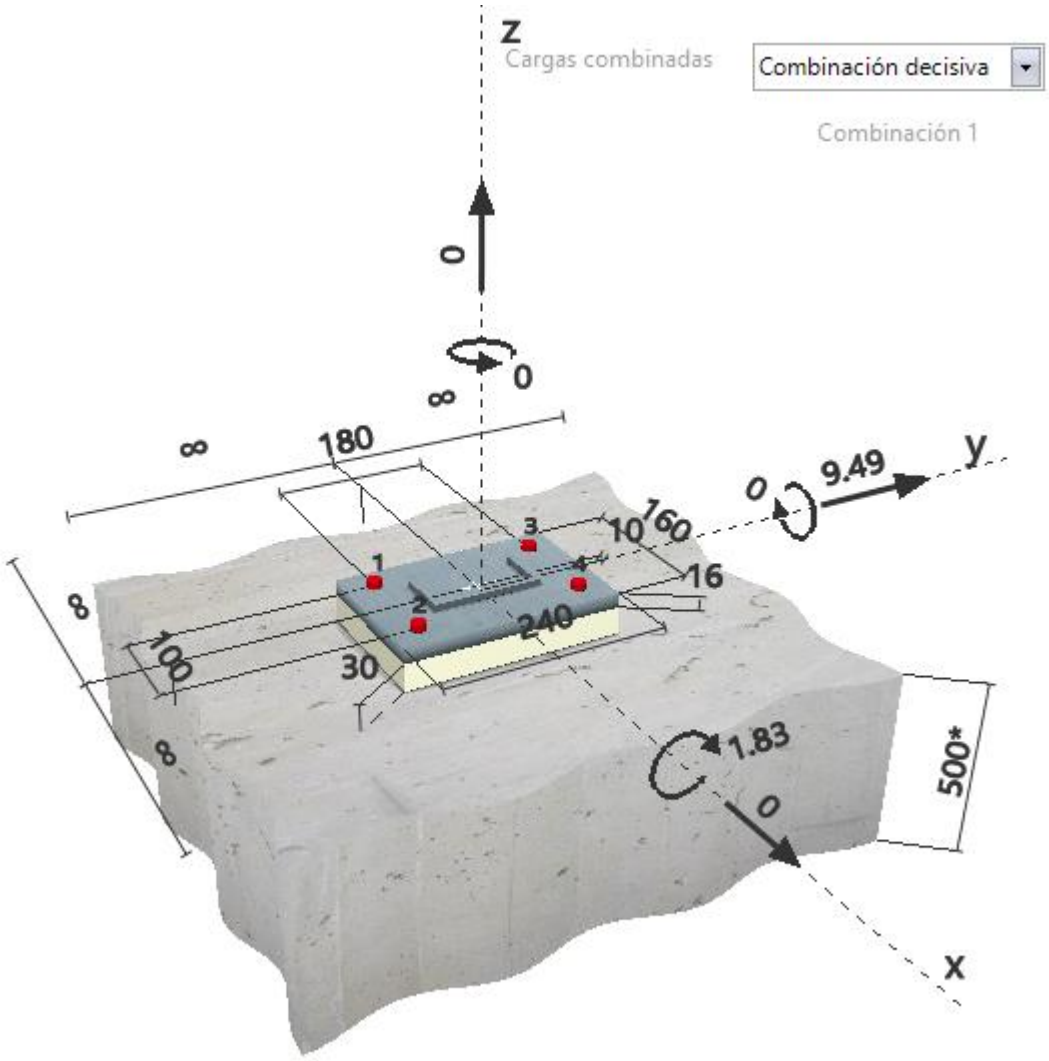
## 2.2. CÁLCULOS

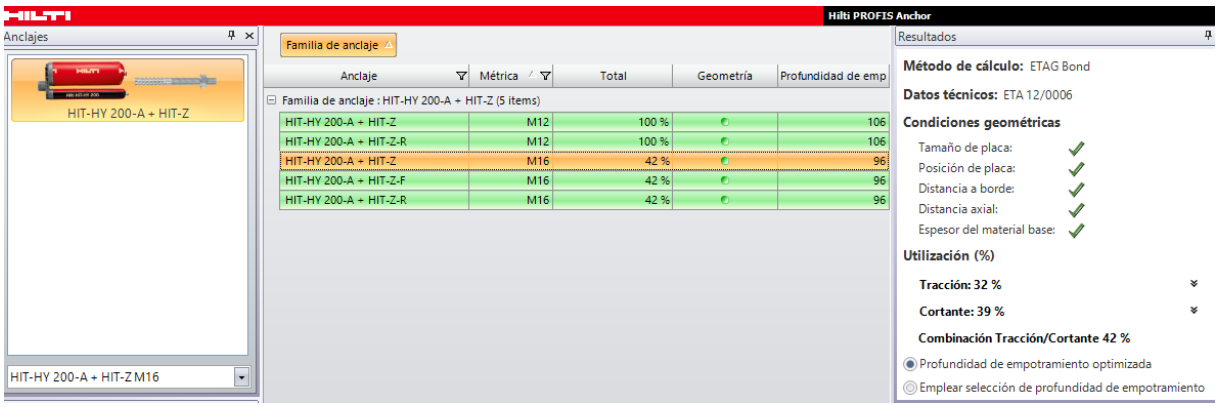
### 2.2.1. TUBERÍA DE 200 MM Y LUZ DE 14.00 M

| | | |
|---|---|---|
| Diámetro de la tuberia: | 0.20 | m |
| | 200 | mm |
| Espesor estimado del tubo: | 0.003 | m |
| | 3 | mm |
| Longitud del tramo de tubo: | 14.00 | m |
| Sección interior del tubo: | 0.031 | m2 |
| Sección de tubo: | 0.002 | m2 |
| Peso del agua: | 4.40 | kN |
| Peso del tubo: | 2.10 | kN |
| Peso en el apoyo: | 6.50 | kN |
| Longitud de la ménsula: | 0.40 | m |
| Distancia del apoyo a la placa base: | 0.20 | m |

| | h x b x s x t (mm) | Peso (kg/ml) | Área (cm2) | ey (cm) | Ix (cm4) | Wx (cm3) | Iy (cm4) | Wy (cm3) |
|---|---|---|---|---|---|---|---|---|
| Perfil elegido: | 120 x 60 x 6 x 6 | 10.90 | 13.80 | 1.69 | 300.00 | 50.00 | 45.60 | 10.60 |

| | | | | |
|---|---|---|---|---|
| Peso del perfil: | 0.04 | kN | 4.36 | kg |
| Cortante mayorado en la placa: | 9.49 | kN | 949.48 | kg |
| Momento sin mayorar en la placa: | 1.31 | kNm | 13088.94 | kg cm |
| Momento mayorado en la placa: | 1.83 | kNm | 18300.86 | kg cm |
| Tensión debida al momento: | | | 366.02 | kg / $cm^2$ |
| Tensión debida al cortante: | | | 131.87 | kg / $cm^2$ |
| Tensión: | | | 431.44 | kg / $cm^2$ |
| Tensión de comparación: | | | 2000.00 | kg / $cm^2$ |

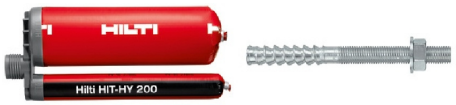

z
Cargas combinadas
Combinación decisiva
Combinación 1
0
0
8
180
8
9.49
y
0
160
10
16
3
1
4
2
240
8
100
30
8
1.83
0
500*
x


Hilti PROFIS Anchor
Anclajes
HIT-HY 200-A + HIT-Z
HIT-HY 200-A + HIT-Z M16
Familia de anclaje
Anclaje
Métrica
Total
Geometría
Profundidad de emp
Familia de anclaje : HIT-HY 200-A + HIT-Z (5 items)
HIT-HY 200-A + HIT-Z M12 100 % 106
HIT-HY 200-A + HIT-Z-R M12 100 % 106
HIT-HY 200-A + HIT-Z M16 42 % 96
HIT-HY 200-A + HIT-Z-F M16 42 % 96
HIT-HY 200-A + HIT-Z-R M16 42 % 96
Resultados
Método de cálculo: ETAG Bond
Datos técnicos: ETA 12/0006
Condiciones geométricas
Tamaño de placa:
Posición de placa:
Distancia a borde:
Distancia axial:
Espesor del material base:
Utilización (%)
Tracción: 32 %
Cortante: 39 %
Combinación Tracción/Cortante 42 %
Profundidad de empotramiento optimizada
Emplear selección de profundidad de empotramiento

| | | | |
|---|---|---|---|
| Empresa: | | Página: | 1 |
| Proyectista: | | Proyecto: | |
| Dirección: | | Sub Proyecto I Pos. No.: | |
| Teléfono I Fax: | \| | Fecha: | 04/12/2017 |
| E-mail: | | | |

**Comentarios del proyectista :**

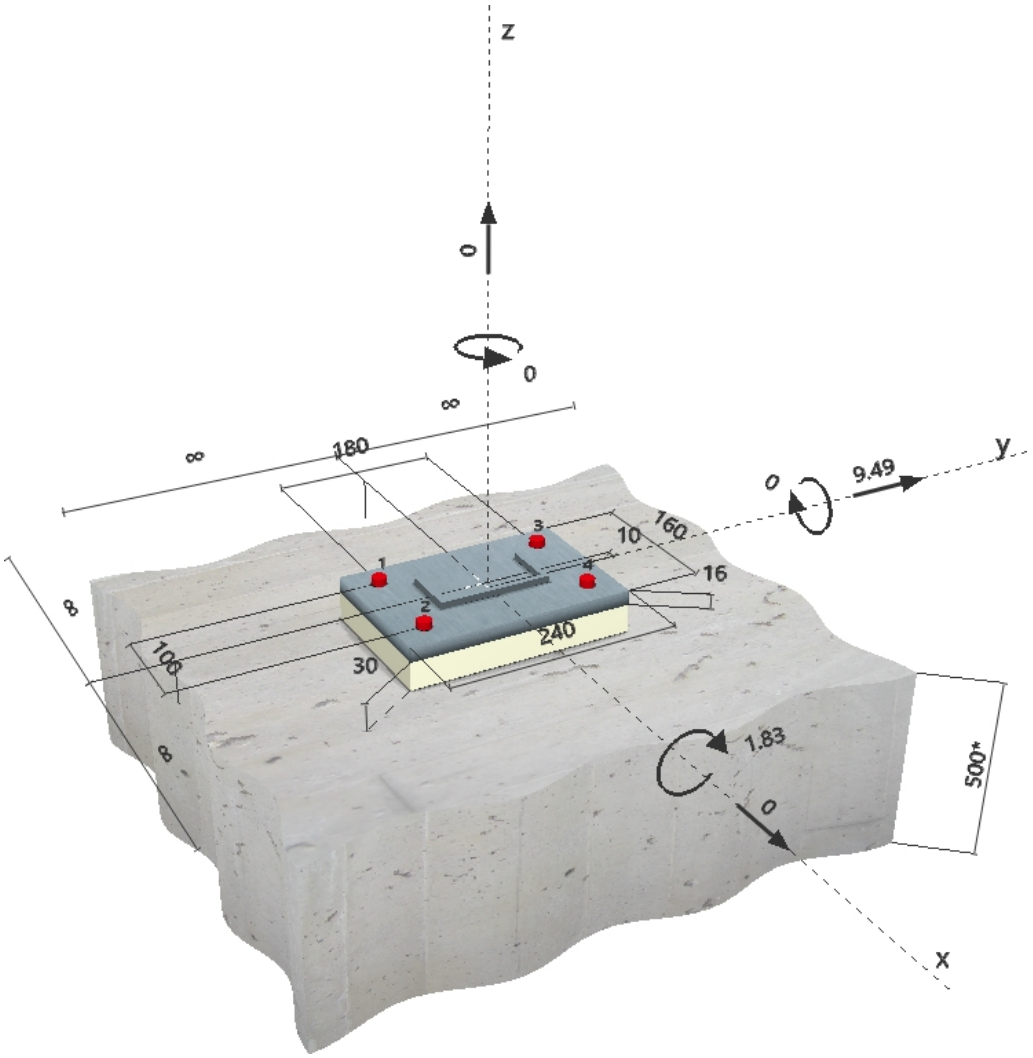
## 1 Insertar datos




SAFE-SET

| | |
|---|---|
| **Tipo y tamaño de anclaje:** | **HIT-HY 200-A + HIT-Z M16** |
| Profundidad efectiva de anclaje: | $h_{ef,opti}$ = 96 mm ($h_{ef,limit}$ = 192 mm) |
| Material: | DIN EN ISO 4042 |
| Homologación Nº.: | ETA 12/0006 |
| Establecidos I Válidos: | 30/05/2017 \| - |
| Prueba: | método de cálculo ETAG BOND (EOTA TR029) |
| Fijación a distancia: | sin Empotramiento (anclaje); Nivel de restricción (placa de anclaje): 2.00; $e_b$ = 30 mm; t = 16 mm |
| | Mortero Hilti: , multiuso, $f_{c,Grout}$ = 30.00 N/mm$^2$ |
| Placa de anclaje: | $l_x$ x $l_y$ x t = 160 mm x 240 mm x 16 mm; (Espesor de placa recomendado: no calculado |
| Perfil: | Perfil U; (L x W x T x FT) = 120 mm x 60 mm x 6 mm x 6 mm |
| Material Base: | fisurado hormigón, C20/25, $f_{c,cube}$ = 25.00 N/mm$^2$; h = 500 mm, Temp. corto/largo: 0/0 °C |
| **Instalación:** | **taladro hecho con martillo, Condición de instalación: seco** |
| Armadura: | sin armadura |
| | sin armadura de borde longitudinal |

**Geometría [mm] & Carga [kN, kNm]**



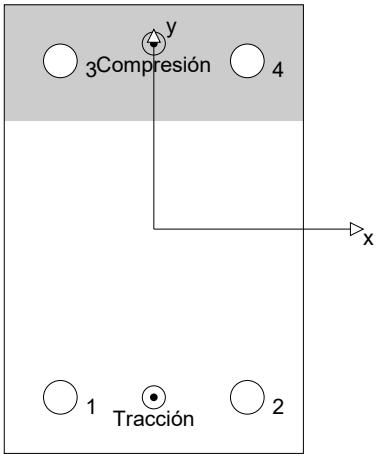

¡La introducción de datos y resultados deben verificarse, asegurando su correspondencia con las condiciones existentes y asegurando su verosimilitud!
PROFIS Anchor (c) 2003-2009, Hilti AG, FL-9494 Schaan. Hilti es una marca registrada de Hilti AG, Schaan

Empresa:
Proyectista:
Dirección:
Teléfono I Fax: |
E-mail:

Página: 2
Proyecto:
Sub Proyecto I Pos. No.:
Fecha: 04/12/2017

## 2 Caso de carga/Resultante de cargas

Caso de carga: Cargas de diseño




**Reacciones en el anclaje [kN]**
Carga a tracción: (+Tracción, -Compresión)

| Anclaje | Carga a tracción | Carga a cortante | Cortante en x | Cortante en y |
|---|---|---|---|---|
| 1 | 4.834 | 2.270 | 0.201 | 2.261 |
| 2 | 4.834 | 2.493 | 0.201 | 2.484 |
| 3 | 0.000 | 2.270 | -0.201 | 2.261 |
| 4 | 0.000 | 2.493 | -0.201 | 2.484 |

Máxima extensión del hormigón a compresión: 0.06 [‰]
Máxima tensión del hormigón a compresión: 1.94 [N/mm$^2$]
Tracción resultante en (x/y)=(0/-90): 9.669 [kN]
Compresión resultante en (x/y)=(0/99): 9.669 [kN]

## 3 Carga a tracción (EOTA TR 029, Sección 5.2.2)

| | Carga [kN] | Capacidad [kN] | Utilización $\beta_N$ [%] | Resultado |
|---|---|---|---|---|
| Fallo por Acero* | 4.834 | 64.000 | 8 | OK |
| Rotura combinada por (extracción) pull-out - cono de hormigón** | 9.669 | 95.348 | 11 | OK |
| Rotura por cono de hormigón** | 9.669 | 30.413 | 32 | OK |
| Fallo por fisuración (Splitting)** | N/A | N/A | N/A | N/A |

* anclaje más solicitado **grupo de anclajes (anclajes en tracción)

### 3.1 Fallo por Acero

| $N_{Rk,s}$ [kN] | $\gamma_{M,s}$ | $N_{Rd,s}$ [kN] | $N_{Sd}$ [kN] |
|---|---|---|---|
| 96.000 | 1.500 | 64.000 | 4.834 |

### 3.2 Rotura combinada por (extracción) pull-out - cono de hormigón

| $A_{p,N}$ [mm$^2$] | $A^0_{p,N}$ [mm$^2$] | $\tau_{Rk,ucr,25}$ [N/mm$^2$] | $s_{cr,Np}$ [mm] | $c_{cr,Np}$ [mm] | $c_{min}$ [mm] |
|---|---|---|---|---|---|
| 111744 | 82944 | 24.00 | 288 | 144 | ∞ |
| $h_{ef,Helix}$ [mm] | $\psi_c$ | $\tau_{Rk,cr}$ [N/mm$^2$] | k | $\psi^0_{g,Np}$ | $\psi_{g,Np}$ |
| 96 | 1.000 | 22.00 | 2.300 | 1.000 | 1.000 |
| $e_{c1,N}$ [mm] | $\psi_{ec1,Np}$ | $e_{c2,N}$ [mm] | $\psi_{ec2,Np}$ | $\psi_{s,Np}$ | $\psi_{re,Np}$ |
| 0 | 1.000 | 0 | 1.000 | 1.000 | 1.000 |
| $N^0_{Rk,p}$ [kN] | $N_{Rk,p}$ [kN] | $\gamma_{M,p}$ | $N_{Rd,p}$ [kN] | $N_{Sd}$ [kN] | |
| 106.161 | 143.022 | 1.500 | 95.348 | 9.669 | |

### 3.3 Rotura por cono de hormigón

| $A_{c,N}$ [mm$^2$] | $A^0_{c,N}$ [mm$^2$] | $c_{cr,N}$ [mm] | $s_{cr,N}$ [mm] | | |
|---|---|---|---|---|---|
| 111744 | 82944 | 144 | 288 | | |
| $e_{c1,N}$ [mm] | $\psi_{ec1,N}$ | $e_{c2,N}$ [mm] | $\psi_{ec2,N}$ | $\psi_{s,N}$ | $\psi_{re,N}$ |
| 0 | 1.000 | 0 | 1.000 | 1.000 | 1.000 |
| $k_1$ | $N^0_{Rk,c}$ [kN] | $\gamma_{M,c}$ | $N_{Rd,c}$ [kN] | $N_{Sd}$ [kN] | |
| 7.200 | 33.862 | 1.500 | 30.413 | 9.669 | |

¡La introducción de datos y resultados deben verificarse, asegurando su correspondencia con las condiciones existentes y asegurando su verosimilitud!
PROFIS Anchor (c) 2003-2009, Hilti AG, FL-9494 Schaan. Hilti es una marca registrada de Hilti AG, Schaan

Empresa:
Proyectista:
Dirección:
Teléfono I Fax: |
E-mail:



## 4 Cortante (EOTA TR 029, Sección 5.2.3)

| | Carga [kN] | Capacidad [kN] | Utilización $\beta_V$ [%] | Resultado |
|---|---|---|---|---|
| Fallo por Acero (sin brazo de palanca)* | N/A | N/A | N/A | N/A |
| Fallo por Acero (con brazo de palanca)* | 2.493 | 6.528 | 39 | OK |
| Fallo por desconchamiento** | 9.490 | 92.424 | 11 | OK |
| Rotura de borde de hormigón en dirección ** | N/A | N/A | N/A | N/A |

* anclaje más solicitado **grupo de anclajes (anclajes relevantes)

### 4.1 Fallo por Acero (con brazo de palanca)

| l [mm] | $\alpha_M$ |
|---|---|
| 46 | 2.00 |

| $N_{Sd} / N_{Rd,s}$ | $1 - N_{Sd} / N_{Rd,s}$ | $M^0_{Rk,s}$ [kNm] | $M_{Rk,s} = M^0_{Rk,s} (1 - N_{Sd}/N_{Rd,s})$ [kNm] |
|---|---|---|---|
| 0.076 | 0.924 | 0.203 | 0.188 |

| $V^M_{Rk,s} = \alpha_M * M_{Rk,s} / l$ [kN] | $\gamma_{Ms,b,V}$ | $V^M_{Rd,s}$ [kN] | $V_{Sd}$ [kN] |
|---|---|---|---|
| 8.159 | 1.250 | 6.528 | 2.493 |

### 4.2 Fallo por desconchamiento (cono de hormigón)

| $A_{c,N}$ [mm²] | $A^0_{c,N}$ [mm²] | $c_{cr,N}$ [mm] | $s_{cr,N}$ [mm] | k-factor | $k_1$ |
|---|---|---|---|---|---|
| 181584 | 82944 | 144 | 288 | 2.000 | 7.200 |

| $e_{c1,V}$ [mm] | $\psi_{ec1,N}$ | $e_{c2,V}$ [mm] | $\psi_{ec2,N}$ | $\psi_{s,N}$ | $\psi_{re,N}$ |
|---|---|---|---|---|---|
| 10 | 0.935 | 0 | 1.000 | 1.000 | 1.000 |

| $N^0_{Rk,c}$ [kN] | $\gamma_{M,c,p}$ | $V_{Rd,cp}$ [kN] | $V_{Sd}$ [kN] |
|---|---|---|---|
| 33.862 | 1.500 | 92.424 | 9.490 |

## 5 Cargas combinadas de tracción y cortante (EOTA TR 029, Sección 5.2.4)

| $\beta_N$ | $\beta_V$ | $\alpha$ | Utilización $\beta_{N,V}$ [%] | Resultado |
|---|---|---|---|---|
| 0.318 | 0.382 | 1.500 | 42 | OK |

$\beta_N^\alpha + \beta_V^\alpha \leq 1.0$

## 6 Desplazamientos (anclaje más solicitado)

Cargas de corto plazo:

$N_{Sk}$ = 3.581 [kN] $\quad \delta_N$ = 0.067 [mm]

$V_{Sk}$ = 1.846 [kN] $\quad \delta_V$ = 0.074 [mm]

$\delta_{NV}$ = 0.100 [mm]

Carga de largo plazo:

$N_{Sk}$ = 3.581 [kN] $\quad \delta_N$ = 0.156 [mm]

$V_{Sk}$ = 1.846 [kN] $\quad \delta_V$ = 0.111 [mm]

$\delta_{NV}$ = 0.191 [mm]

Comentarios: Desplazamientos a tracción son válidos con la mitad del par de apriete requerido no fisurado ¡Hormigón! Los desplazamientos son validos sin rozamiento entre el hormigón y la placa de anclaje! La holgura entre el taladro en el hormigón y en la placa no son considerados en este cálculo.

¡Los desplazamientos aceptables en los anclajes dependen del tipo de construcción de la fijación y deben ser definidos por el proyectista!

¡La introducción de datos y resultados deben verificarse, asegurando su correspondencia con las condiciones existentes y asegurando su verosimilitud!
PROFIS Anchor (c) 2003-2009, Hilti AG, FL-9494 Schaan. Hilti es una marca registrada de Hilti AG, Schaan

Empresa:
Proyectista:
Dirección:
Teléfono I Fax: |
E-mail:



## 7 Avisos

- Los métodos de diseño de anclajes en PROFIS Anchor requieren placas de anclaje rígidas según las normas vigentes (ETAG 001 / Anexo C, EOTA TR029, etc.). Esto significa que no se considera la re-distribución de la carga en los anclajes debido a deformaciones elásticas de la placa de anclaje - se supone que la placa de anclaje es suficientemente rígida para no deformarse cuando se somete a la carga de diseño. PROFIS Anchor calcula el espesor de placa de anclaje mínimo requerido con MEF (Métodod de Elementos Finitos) para limitar la tensión de la placa de anclaje en base a los supuestos explicados anteriormente. La prueba de que la suposición de la placa base rígida es válida no es llevada a cabo por PROFIS Anchor. Los datos de entrada y los resultados deben ser verificados de acuerdo a las condiciones existentes!
- La verificación de la transferencia de cargas al material base debe ser verificada de acuerdo EOTA TR 029 Section 7!
- El diseño, es sólo válido si el espacio libre, en la perforación, no es mayor que el dado en la tabla 4.1. de la EOTA TR029. Para diámetros mayores, de espacio libre de perforación, ver el capítulo 1.1. de EOTA TR029.
- La lista de accesorios en este informe es sólo para información del usuario. En cualquier caso, las instrucciones para el uso, mostrados en el producto, deben ser seguidas para asegurar una correcta instalación.
- La tensión de adherencia característica depende de las temperaturas de corto y largo plazo
- No es requerida armadura de borde para evitar rotura por splitting

## ¡La fijación cumple los criterios de diseño!

¡La introducción de datos y resultados deben verificarse, asegurando su correspondencia con las condiciones existentes y asegurando su verosimilitud!
PROFIS Anchor (c) 2003-2009, Hilti AG, FL-9494 Schaan. Hilti es una marca registrada de Hilti AG, Schaan

Empresa:
Proyectista:
Dirección:
Teléfono I Fax: |
E-mail:

Página: 5
Proyecto:
Sub Proyecto I Pos. No.:
Fecha: 04/12/2017

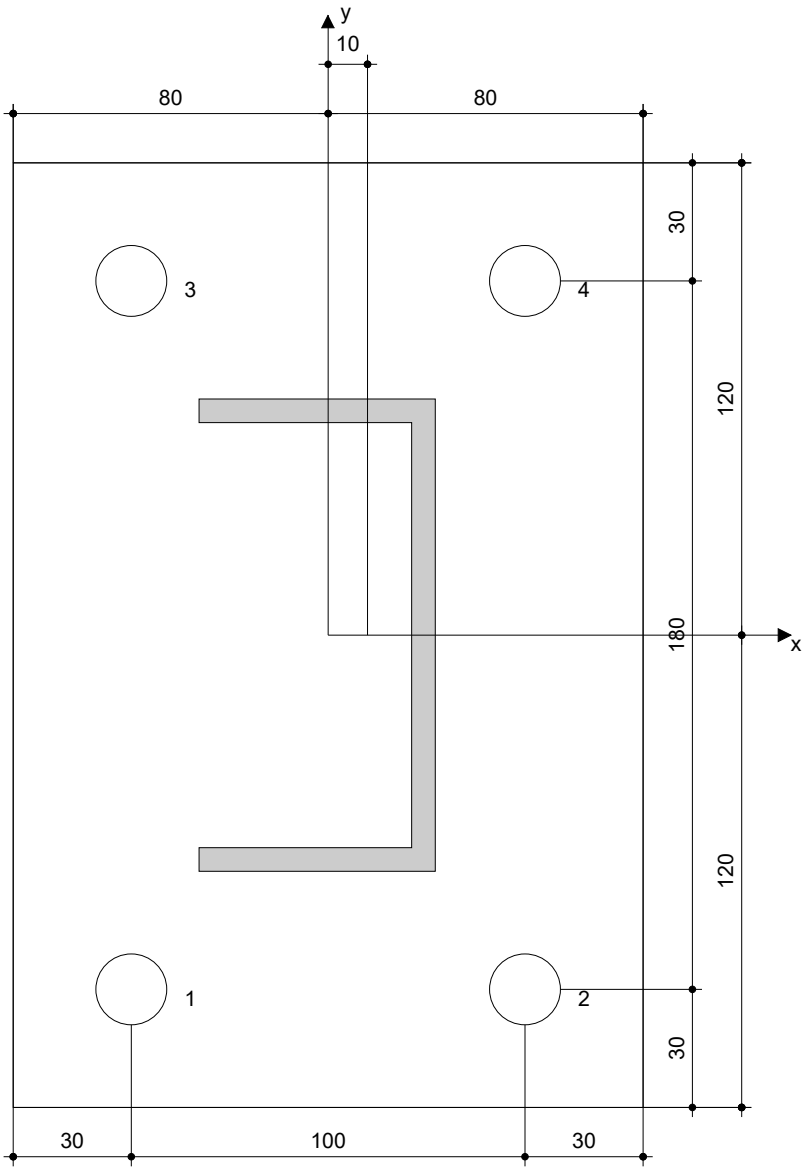
# 8 Datos de instalación

Placa de anclaje, acero: -
Perfil: Perfil U; 120 x 60 x 6 x 6 mm
Diámetro de taladro en chapa: $d_f$ = 18 mm
Espesor de placa (introducir): 16 mm
Espesor de placa recomendado: no calculado
Método de perforación: Martillo perforador
Limpieza: No se requiere limpieza de taladro

Tipo y tamaño de anclaje: HIT-HY 200-A + HIT-Z M16
Par de apriete de instalación: 0.080 kNm
Diámetro de taladro en material base: 18 mm
Profundidad de taladro (min/max): 160 mm
Mínimo espesor del material base: 196 mm

## 8.1 Accesorios recomendados

| Taladro | Limpieza | Instalación |
|---|---|---|
| • Rotopercusión | • No requiere accesorios | • El sistema de inyección incluye el mezclador |
| • Tamaño adecuado de broca | | • Llave dinamométrica |




**Coordenadas del anclaje [mm]**

| Anclaje | x | y | $c_{-x}$ | $c_{+x}$ | $c_{-y}$ | $c_{+y}$ |
|---|---|---|---|---|---|---|
| 1 | -50 | -90 | - | - | - | - |
| 2 | 50 | -90 | - | - | - | - |
| 3 | -50 | 90 | - | - | - | - |
| 4 | 50 | 90 | - | - | - | - |

¡La introducción de datos y resultados deben verificarse, asegurando su correspondencia con las condiciones existentes y asegurando su verosimilitud!
PROFIS Anchor (c) 2003-2009, Hilti AG, FL-9494 Schaan. Hilti es una marca registrada de Hilti AG, Schaan

| | | | |
|---|---|---|---|
| Empresa: | | Página: | 6 |
| Proyectista: | | Proyecto: | |
| Dirección: | | Sub Proyecto I Pos. No.: | |
| Teléfono I Fax: | \| | Fecha: | 04/12/2017 |
| E-mail: | | | |

## 9 Observaciones;comentarios

- Toda la información y todos los datos contenidos en el software sólo se refieren a la utilización de los productos Hilti y están fundados en principios, fórmulas y normativas de seguridad conformes a las consignas técnicas de Hilti y en instrucciones de operación, montaje, ensamblaje, etc., que el usuario debe seguir exhaustivamente. Todas las cifras que en ellos constan son medias; por lo tanto, se deben realizar pruebas específicas de utilización antes de la utilización del producto Hilti aplicable. Los resultados de los cálculos ejecutados mediante el software reposan básicamente en los datos que usted introduce en el mismo. Por lo tanto, es usted el único responsable de la inexistencia de errores, de le exhaustividad y la pertinencia de los datos introducidos por usted mismo. Asimismo, es usted el único responsable de la verificación de los resultados del cálculo y de la validación de los mismos por un experto, en especial en lo referente al cumplimiento de las normas y permisos aplicables previamente a su utilización, en particular para su aplicación. El software sólo sirve de ayuda para la interpretación de las normas y permisos sin ninguna garantía con respecto a la ausencia de errores, la exactitud y la pertinencia de los resultados o su adaptación a una determinada aplicación.
- Debe usted tomar todas las medidas necesarias y razonables para impedir o limitar los daños causados por el software. En especial, debe usted tomar sus disposiciones para efectuar regularmente una salvaguarda de los programas y de los datos y, de ser aplicable, ejecutar las actualizaciones regularmente facilitadas por Hilti. Si no utiliza la función AutoUpdate del software, debe usted comprobar que en cada caso usted utiliza la versión actual y puesta al día del software, ejecutando actualizaciones manuales a través del Sitio Web Hilti. Hilti no será considerada como responsable por cualquier consecuencia, tal y como la necesidad de recuperar necesidades o programas perdidos o dañados, que se deriven de un incumplimiento, por su parte, de sus obligaciones.

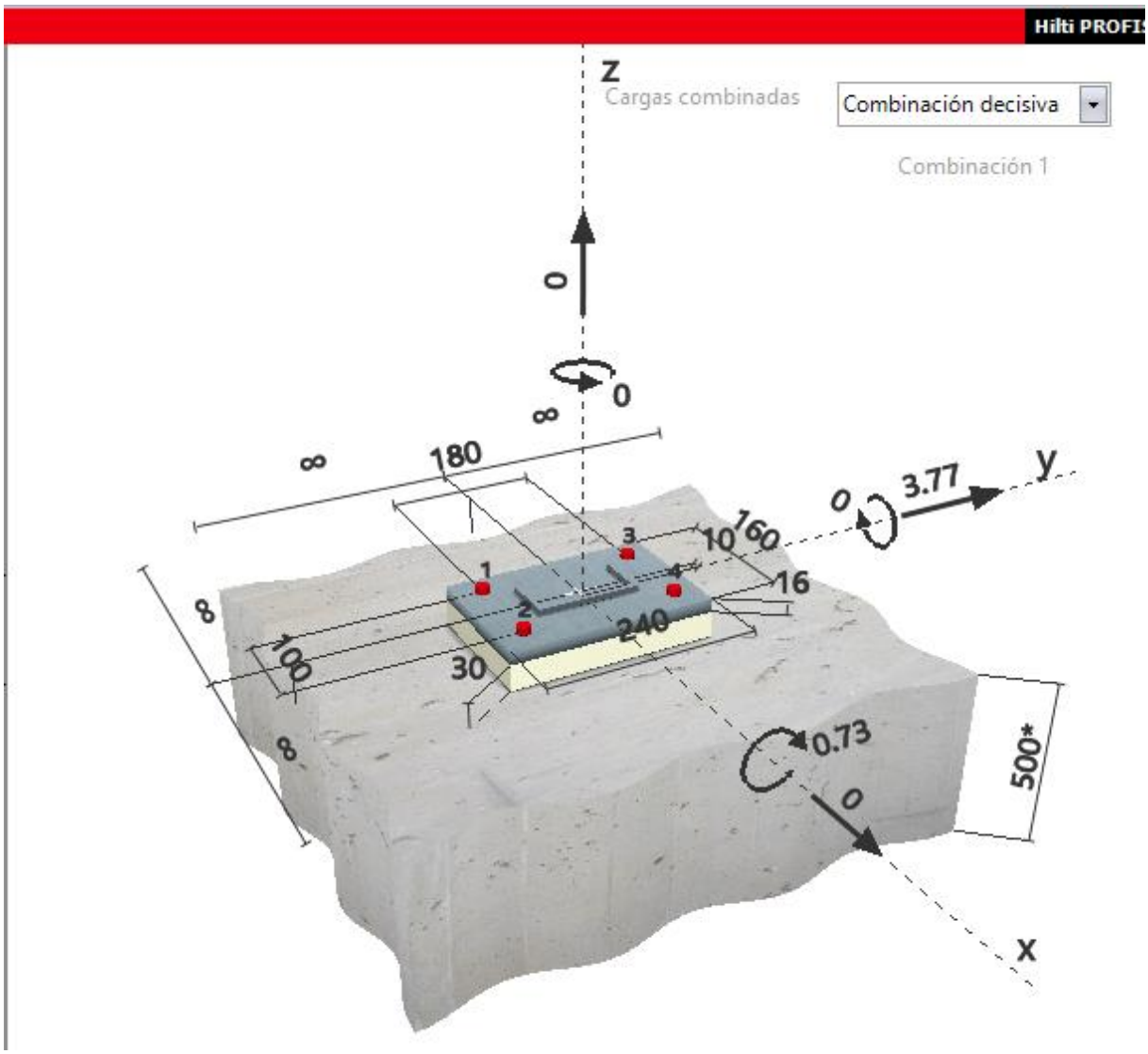
¡La introducción de datos y resultados deben verificarse, asegurando su correspondencia con las condiciones existentes y asegurando su verosimilitud!
PROFIS Anchor (c) 2003-2009, Hilti AG, FL-9494 Schaan. Hilti es una marca registrada de Hilti AG, Schaan

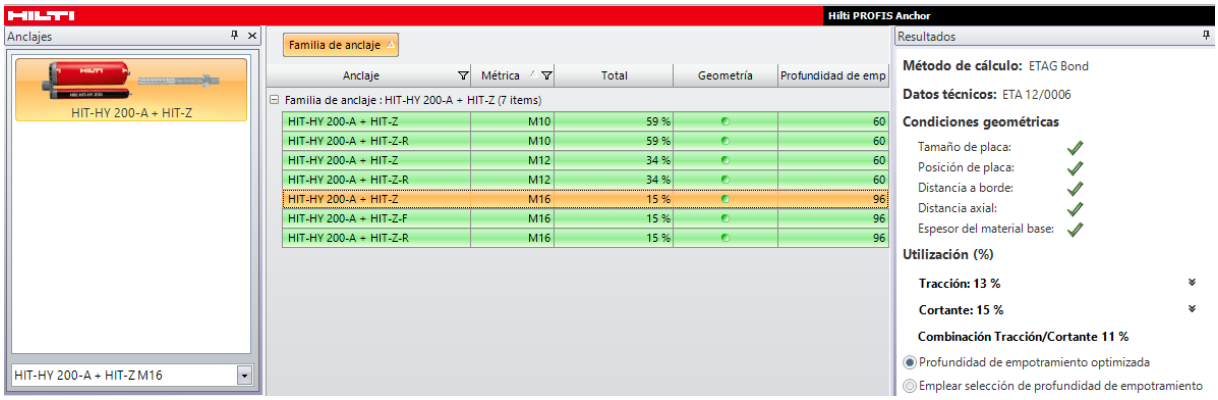
### 2.2.2. TUBERÍA DE 200 MM Y LUZ DE 5.50 M

| | | |
|---|---|---|
| Diámetro de la tuberia: | 0.20 | m |
| | 200 | mm |
| Espesor estimado del tubo: | 0.003 | m |
| | 3 | mm |
| Longitud del tramo de tubo: | 5.50 | m |
| Sección interior del tubo: | 0.031 | m2 |
| Sección de tubo: | 0.002 | m2 |
| Peso del agua: | 1.73 | kN |
| Peso del tubo: | 0.83 | kN |
| Peso en el apoyo: | 2.55 | kN |
| Longitud de la ménsula: | 0.40 | m |
| Distancia del apoyo a la placa base: | 0.20 | m |

| | h x b x s x t (mm) | Peso (kg/ml) | Área (cm2) | ey (cm) | Ix (cm4) | Wx (cm3) | Iy (cm4) | Wy (cm3) |
|---|---|---|---|---|---|---|---|---|
| Perfil elegido: | 120 x 60 x 6 x 6 | 10.90 | 13.80 | 1.69 | 300.00 | 50.00 | 45.60 | 10.60 |

| | | | | |
|---|---|---|---|---|
| Peso del perfil: | 0.04 | kN | 4.36 | kg |
| Cortante mayorado en la placa: | 3.77 | kN | 376.58 | kg |
| Momento sin mayorar en la placa: | 0.52 | kNm | 5195.03 | kg cm |
| Momento mayorado en la placa: | 0.73 | kNm | 7261.10 | kg cm |
| Tensión debida al momento: | | | 145.22 | kg / $cm^2$ |
| Tensión debida al cortante: | | | 52.30 | kg / $cm^2$ |
| Tensión: | | | 171.16 | kg / $cm^2$ |
| Tensión de comparación: | | | 2000.00 | kg / $cm^2$ |

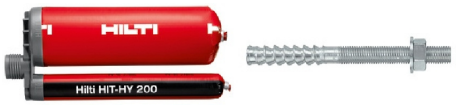

Hilti PROFIS
Z
Cargas combinadas
Combinación decisiva
Combinación 1
0
0
8
180
8
3.77
y
0
160
10
16
1
2
3
4
240
30
100
8
0.73
0
500*
X


Hilti PROFIS Anchor
Anclajes
HIT-HY 200-A + HIT-Z
HIT-HY 200-A + HIT-Z M16
Familia de anclaje
Anclaje
Métrica
Total
Geometría
Profundidad de emp
Familia de anclaje : HIT-HY 200-A + HIT-Z (7 ítems)
HIT-HY 200-A + HIT-Z M10 59 % 60
HIT-HY 200-A + HIT-Z-R M10 59 % 60
HIT-HY 200-A + HIT-Z M12 34 % 60
HIT-HY 200-A + HIT-Z-R M12 34 % 60
HIT-HY 200-A + HIT-Z M16 15 % 96
HIT-HY 200-A + HIT-Z-F M16 15 % 96
HIT-HY 200-A + HIT-Z-R M16 15 % 96
Resultados
Método de cálculo: ETAG Bond
Datos técnicos: ETA 12/0006
Condiciones geométricas
Tamaño de placa:
Posición de placa:
Distancia a borde:
Distancia axial:
Espesor del material base:
Utilización (%)
Tracción: 13 %
Cortante: 15 %
Combinación Tracción/Cortante 11 %
Profundidad de empotramiento optimizada
Emplear selección de profundidad de empotramiento

| | | | |
|---|---|---|---|
| Empresa: | | Página: | 1 |
| Proyectista: | | Proyecto: | |
| Dirección: | | Sub Proyecto I Pos. No.: | |
| Teléfono I Fax: | \| | Fecha: | 04/12/2017 |
| E-mail: | | | |

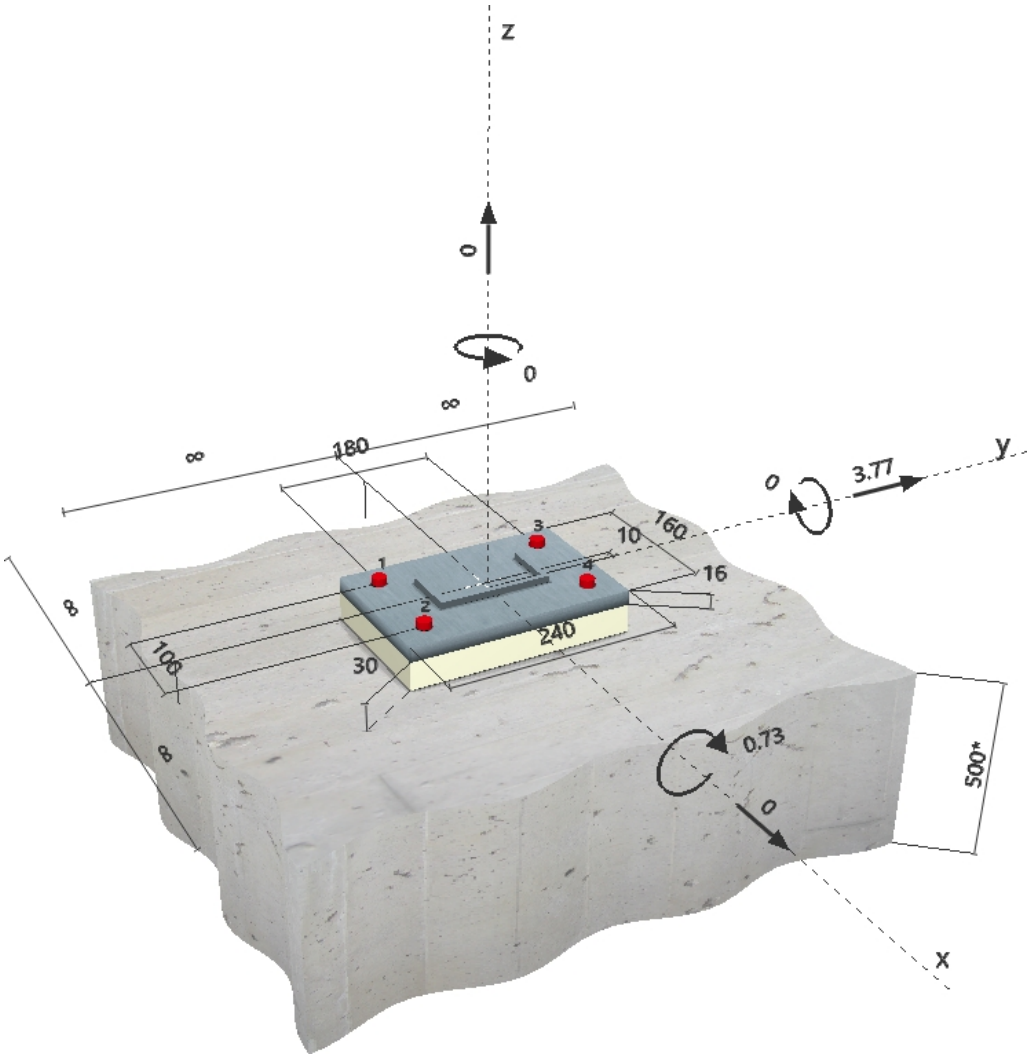
**Comentarios del proyectista :**

## 1 Insertar datos




| | |
|---|---|
| **Tipo y tamaño de anclaje:** | **HIT-HY 200-A + HIT-Z M16** |
| Profundidad efectiva de anclaje: | $h_{ef,opti}$ = 96 mm ($h_{ef,limit}$ = 192 mm) |
| Material: | DIN EN ISO 4042 |
| Homologación Nº.: | ETA 12/0006 |
| Establecidos I Válidos: | 30/05/2017 \| - |
| Prueba: | método de cálculo ETAG BOND (EOTA TR029) |
| Fijación a distancia: | sin Empotramiento (anclaje); Nivel de restricción (placa de anclaje): 2.00; $e_b$ = 30 mm; t = 16 mm |
| | Mortero Hilti: , multiuso, $f_{c,Grout}$ = 30.00 N/mm$^2$ |
| Placa de anclaje: | $l_x$ x $l_y$ x t = 160 mm x 240 mm x 16 mm; (Espesor de placa recomendado: no calculado |
| Perfil: | Perfil U; (L x W x T x FT) = 120 mm x 60 mm x 6 mm x 6 mm |
| Material Base: | fisurado hormigón, C20/25, $f_{c,cube}$ = 25.00 N/mm$^2$; h = 500 mm, Temp. corto/largo: 0/0 °C |
| **Instalación:** | **taladro hecho con martillo, Condición de instalación: seco** |
| Armadura: | sin armadura |
| | sin armadura de borde longitudinal |

**Geometría [mm] & Carga [kN, kNm]**



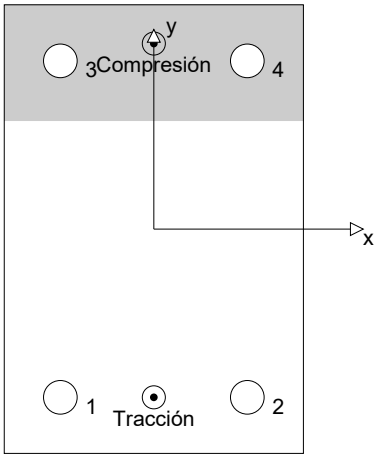

¡La introducción de datos y resultados deben verificarse, asegurando su correspondencia con las condiciones existentes y asegurando su verosimilitud!
PROFIS Anchor (c) 2003-2009, Hilti AG, FL-9494 Schaan. Hilti es una marca registrada de Hilti AG, Schaan

Empresa:
Proyectista:
Dirección:
Teléfono I Fax: |
E-mail:

Página: 2
Proyecto:
Sub Proyecto I Pos. No.:
Fecha: 04/12/2017

## 2 Caso de carga/Resultante de cargas

Caso de carga: Cargas de diseño




**Reacciones en el anclaje [kN]**
Carga a tracción: (+Tracción, -Compresión)

| Anclaje | Carga a tracción | Carga a cortante | Cortante en x | Cortante en y |
|---|---|---|---|---|
| 1 | 1.928 | 0.902 | 0.080 | 0.898 |
| 2 | 1.928 | 0.990 | 0.080 | 0.987 |
| 3 | 0.000 | 0.902 | -0.080 | 0.898 |
| 4 | 0.000 | 0.990 | -0.080 | 0.987 |

Máxima extensión del hormigón a compresión: 0.03 [‰]
Máxima tensión del hormigón a compresión: 0.78 [N/mm$^2$]
Tracción resultante en (x/y)=(0/-90): 3.857 [kN]
Compresión resultante en (x/y)=(0/99): 3.857 [kN]

## 3 Carga a tracción (EOTA TR 029, Sección 5.2.2)

| | Carga [kN] | Capacidad [kN] | Utilización $\beta_N$ [%] | Resultado |
|---|---|---|---|---|
| Fallo por Acero* | 1.928 | 64.000 | 4 | OK |
| Rotura combinada por (extracción) pull-out - cono de hormigón** | 3.857 | 95.348 | 5 | OK |
| Rotura por cono de hormigón** | 3.857 | 30.413 | 13 | OK |
| Fallo por fisuración (Splitting)** | N/A | N/A | N/A | N/A |

* anclaje más solicitado **grupo de anclajes (anclajes en tracción)

### 3.1 Fallo por Acero

| $N_{Rk,s}$ [kN] | $\gamma_{M,s}$ | $N_{Rd,s}$ [kN] | $N_{Sd}$ [kN] |
|---|---|---|---|
| 96.000 | 1.500 | 64.000 | 1.928 |

### 3.2 Rotura combinada por (extracción) pull-out - cono de hormigón

| $A_{p,N}$ [mm$^2$] | $A^0_{p,N}$ [mm$^2$] | $\tau_{Rk,ucr,25}$ [N/mm$^2$] | $s_{cr,Np}$ [mm] | $c_{cr,Np}$ [mm] | $c_{min}$ [mm] |
|---|---|---|---|---|---|
| 111744 | 82944 | 24.00 | 288 | 144 | ∞ |
| $h_{ef,Helix}$ [mm] | $\psi_c$ | $\tau_{Rk,cr}$ [N/mm$^2$] | k | $\psi^0_{g,Np}$ | $\psi_{g,Np}$ |
| 96 | 1.000 | 22.00 | 2.300 | 1.000 | 1.000 |
| $e_{c1,N}$ [mm] | $\psi_{ec1,Np}$ | $e_{c2,N}$ [mm] | $\psi_{ec2,Np}$ | $\psi_{s,Np}$ | $\psi_{re,Np}$ |
| 0 | 1.000 | 0 | 1.000 | 1.000 | 1.000 |
| $N^0_{Rk,p}$ [kN] | $N_{Rk,p}$ [kN] | $\gamma_{M,p}$ | $N_{Rd,p}$ [kN] | $N_{Sd}$ [kN] | |
| 106.161 | 143.022 | 1.500 | 95.348 | 3.857 | |

### 3.3 Rotura por cono de hormigón

| $A_{c,N}$ [mm$^2$] | $A^0_{c,N}$ [mm$^2$] | $c_{cr,N}$ [mm] | $s_{cr,N}$ [mm] | | |
|---|---|---|---|---|---|
| 111744 | 82944 | 144 | 288 | | |
| $e_{c1,N}$ [mm] | $\psi_{ec1,N}$ | $e_{c2,N}$ [mm] | $\psi_{ec2,N}$ | $\psi_{s,N}$ | $\psi_{re,N}$ |
| 0 | 1.000 | 0 | 1.000 | 1.000 | 1.000 |
| $k_1$ | $N^0_{Rk,c}$ [kN] | $\gamma_{M,c}$ | $N_{Rd,c}$ [kN] | $N_{Sd}$ [kN] | |
| 7.200 | 33.862 | 1.500 | 30.413 | 3.857 | |

¡La introducción de datos y resultados deben verificarse, asegurando su correspondencia con las condiciones existentes y asegurando su verosimilitud!
PROFIS Anchor (c) 2003-2009, Hilti AG, FL-9494 Schaan. Hilti es una marca registrada de Hilti AG, Schaan

Empresa:
Proyectista:
Dirección:
Teléfono I Fax: |
E-mail:



# 4 Cortante (EOTA TR 029, Sección 5.2.3)

| | Carga [kN] | Capacidad [kN] | Utilización $\beta_V$ [%] | Resultado |
|---|---|---|---|---|
| Fallo por Acero (sin brazo de palanca)* | N/A | N/A | N/A | N/A |
| Fallo por Acero (con brazo de palanca)* | 0.990 | 6.848 | 15 | OK |
| Fallo por desconchamiento** | 3.770 | 92.424 | 5 | OK |
| Rotura de borde de hormigón en dirección ** | N/A | N/A | N/A | N/A |

* anclaje más solicitado **grupo de anclajes (anclajes relevantes)

### 4.1 Fallo por Acero (con brazo de palanca)

| l [mm] | $\alpha_M$ |
|---|---|
| 46 | 2.00 |

| $N_{Sd} / N_{Rd,s}$ | $1 - N_{Sd} / N_{Rd,s}$ | $M^0_{Rk,s}$ [kNm] | $M_{Rk,s} = M^0_{Rk,s} (1 - N_{Sd}/N_{Rd,s})$ [kNm] |
|---|---|---|---|
| 0.030 | 0.970 | 0.203 | 0.197 |

| $V^M_{Rk,s} = \alpha_M * M_{Rk,s} / l$ [kN] | $\gamma_{Ms,b,V}$ | $V^M_{Rd,s}$ [kN] | $V_{Sd}$ [kN] |
|---|---|---|---|
| 8.560 | 1.250 | 6.848 | 0.990 |

### 4.2 Fallo por desconchamiento (cono de hormigón)

| $A_{c,N}$ [mm²] | $A^0_{c,N}$ [mm²] | $c_{cr,N}$ [mm] | $s_{cr,N}$ [mm] | k-factor | $k_1$ |
|---|---|---|---|---|---|
| 181584 | 82944 | 144 | 288 | 2.000 | 7.200 |

| $e_{c1,V}$ [mm] | $\psi_{ec1,N}$ | $e_{c2,V}$ [mm] | $\psi_{ec2,N}$ | $\psi_{s,N}$ | $\psi_{re,N}$ |
|---|---|---|---|---|---|
| 10 | 0.935 | 0 | 1.000 | 1.000 | 1.000 |

| $N^0_{Rk,c}$ [kN] | $\gamma_{M,c,p}$ | $V_{Rd,cp}$ [kN] | $V_{Sd}$ [kN] |
|---|---|---|---|
| 33.862 | 1.500 | 92.424 | 3.770 |

# 5 Cargas combinadas de tracción y cortante (EOTA TR 029, Sección 5.2.4)

| $\beta_N$ | $\beta_V$ | $\alpha$ | Utilización $\beta_{N,V}$ [%] | Resultado |
|---|---|---|---|---|
| 0.127 | 0.145 | 1.500 | 11 | OK |

$\beta_N^\alpha + \beta_V^\alpha \leq 1.0$

# 6 Desplazamientos (anclaje más solicitado)

Cargas de corto plazo:

$N_{Sk}$ = 1.428 [kN]
$V_{Sk}$ = 0.733 [kN]

$\delta_N$ = 0.027 [mm]
$\delta_V$ = 0.029 [mm]
$\delta_{NV}$ = 0.040 [mm]

Carga de largo plazo:

$N_{Sk}$ = 1.428 [kN]
$V_{Sk}$ = 0.733 [kN]

$\delta_N$ = 0.062 [mm]
$\delta_V$ = 0.044 [mm]
$\delta_{NV}$ = 0.076 [mm]

Comentarios: Desplazamientos a tracción son válidos con la mitad del par de apriete requerido no fisurado ¡Hormigón! Los desplazamientos son validos sin rozamiento entre el hormigón y la placa de anclaje! La holgura entre el taladro en el hormigón y en la placa no son considerados en este cálculo.

¡Los desplazamientos aceptables en los anclajes dependen del tipo de construcción de la fijación y deben ser definidos por el proyectista!

¡La introducción de datos y resultados deben verificarse, asegurando su correspondencia con las condiciones existentes y asegurando su verosimilitud!
PROFIS Anchor (c) 2003-2009, Hilti AG, FL-9494 Schaan. Hilti es una marca registrada de Hilti AG, Schaan

Empresa:
Proyectista:
Dirección:
Teléfono I Fax: |
E-mail:



## 7 Avisos

- Los métodos de diseño de anclajes en PROFIS Anchor requieren placas de anclaje rígidas según las normas vigentes (ETAG 001 / Anexo C, EOTA TR029, etc.). Esto significa que no se considera la re-distribución de la carga en los anclajes debido a deformaciones elásticas de la placa de anclaje - se supone que la placa de anclaje es suficientemente rígida para no deformarse cuando se somete a la carga de diseño. PROFIS Anchor calcula el espesor de placa de anclaje mínimo requerido con MEF (Métodod de Elementos Finitos) para limitar la tensión de la placa de anclaje en base a los supuestos explicados anteriormente. La prueba de que la suposición de la placa base rígida es válida no es llevada a cabo por PROFIS Anchor. Los datos de entrada y los resultados deben ser verificados de acuerdo a las condiciones existentes!
- La verificación de la transferencia de cargas al material base debe ser verificada de acuerdo EOTA TR 029 Section 7!
- El diseño, es sólo válido si el espacio libre, en la perforación, no es mayor que el dado en la tabla 4.1. de la EOTA TR029. Para diámetros mayores, de espacio libre de perforación, ver el capítulo 1.1. de EOTA TR029.
- La lista de accesorios en este informe es sólo para información del usuario. En cualquier caso, las instrucciones para el uso, mostrados en el producto, deben ser seguidas para asegurar una correcta instalación.
- La tensión de adherencia característica depende de las temperaturas de corto y largo plazo
- No es requerida armadura de borde para evitar rotura por splitting

## ¡La fijación cumple los criterios de diseño!

¡La introducción de datos y resultados deben verificarse, asegurando su correspondencia con las condiciones existentes y asegurando su verosimilitud!
PROFIS Anchor (c) 2003-2009, Hilti AG, FL-9494 Schaan. Hilti es una marca registrada de Hilti AG, Schaan

Empresa:
Proyectista:
Dirección:
Teléfono I Fax: |
E-mail:

Página: 5
Proyecto:
Sub Proyecto I Pos. No.:
Fecha: 04/12/2017

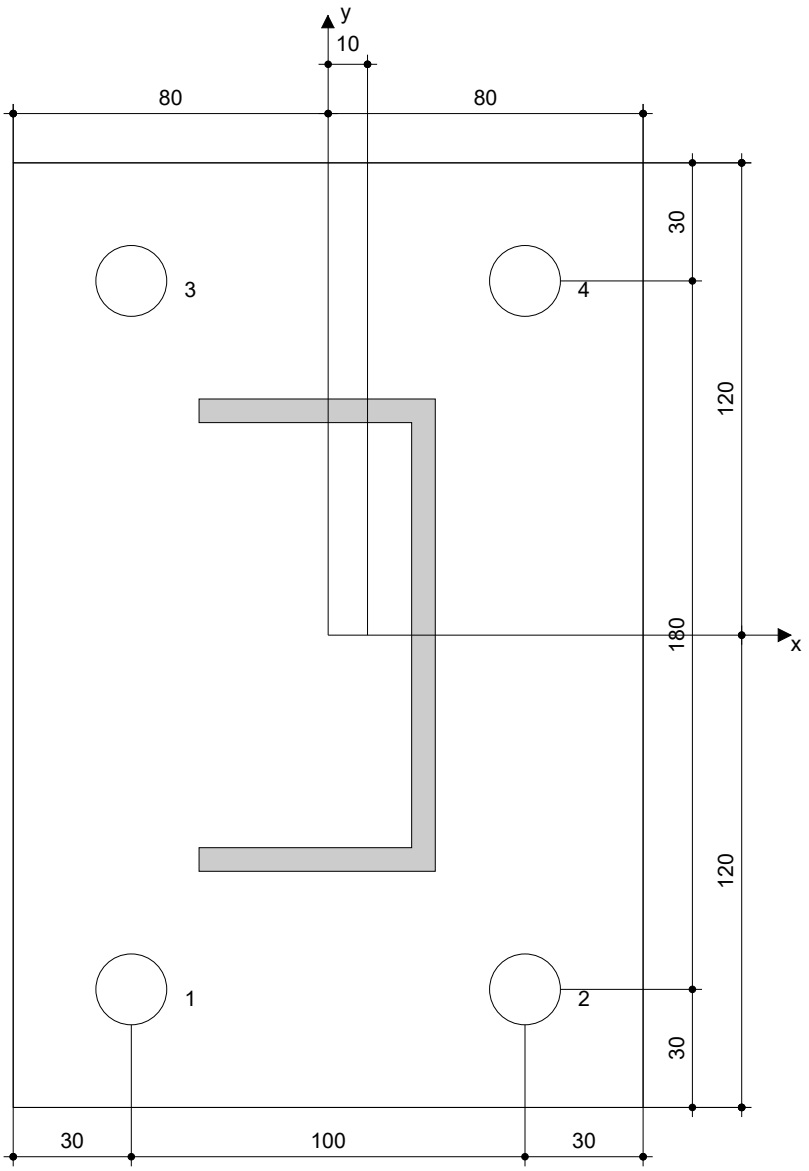
# 8 Datos de instalación

Placa de anclaje, acero: -
Perfil: Perfil U; 120 x 60 x 6 x 6 mm
Diámetro de taladro en chapa: $d_f$ = 18 mm
Espesor de placa (introducir): 16 mm
Espesor de placa recomendado: no calculado
Método de perforación: Martillo perforador
Limpieza: No se requiere limpieza de taladro

Tipo y tamaño de anclaje: HIT-HY 200-A + HIT-Z M16
Par de apriete de instalación: 0.080 kNm
Diámetro de taladro en material base: 18 mm
Profundidad de taladro (min/max): 160 mm
Mínimo espesor del material base: 196 mm

## 8.1 Accesorios recomendados

| Taladro | Limpieza | Instalación |
|---|---|---|
| • Rotopercusión | • No requiere accesorios | • El sistema de inyección incluye el mezclador |
| • Tamaño adecuado de broca | | • Llave dinamométrica |




**Coordenadas del anclaje [mm]**

| Anclaje | x | y | $c_{-x}$ | $c_{+x}$ | $c_{-y}$ | $c_{+y}$ |
|---|---|---|---|---|---|---|
| 1 | -50 | -90 | - | - | - | - |
| 2 | 50 | -90 | - | - | - | - |
| 3 | -50 | 90 | - | - | - | - |
| 4 | 50 | 90 | - | - | - | - |

¡La introducción de datos y resultados deben verificarse, asegurando su correspondencia con las condiciones existentes y asegurando su verosimilitud!
PROFIS Anchor (c) 2003-2009, Hilti AG, FL-9494 Schaan. Hilti es una marca registrada de Hilti AG, Schaan

| | | | |
|---|---|---|---|
| Empresa: | | Página: | 6 |
| Proyectista: | | Proyecto: | |
| Dirección: | | Sub Proyecto I Pos. No.: | |
| Teléfono I Fax: | \| | Fecha: | 04/12/2017 |
| E-mail: | | | |

## 9 Observaciones;comentarios

- Toda la información y todos los datos contenidos en el software sólo se refieren a la utilización de los productos Hilti y están fundados en principios, fórmulas y normativas de seguridad conformes a las consignas técnicas de Hilti y en instrucciones de operación, montaje, ensamblaje, etc., que el usuario debe seguir exhaustivamente. Todas las cifras que en ellos constan son medias; por lo tanto, se deben realizar pruebas específicas de utilización antes de la utilización del producto Hilti aplicable. Los resultados de los cálculos ejecutados mediante el software reposan básicamente en los datos que usted introduce en el mismo. Por lo tanto, es usted el único responsable de la inexistencia de errores, de le exhaustividad y la pertinencia de los datos introducidos por usted mismo. Asimismo, es usted el único responsable de la verificación de los resultados del cálculo y de la validación de los mismos por un experto, en especial en lo referente al cumplimiento de las normas y permisos aplicables previamente a su utilización, en particular para su aplicación. El software sólo sirve de ayuda para la interpretación de las normas y permisos sin ninguna garantía con respecto a la ausencia de errores, la exactitud y la pertinencia de los resultados o su adaptación a una determinada aplicación.
- Debe usted tomar todas las medidas necesarias y razonables para impedir o limitar los daños causados por el software. En especial, debe usted tomar sus disposiciones para efectuar regularmente una salvaguarda de los programas y de los datos y, de ser aplicable, ejecutar las actualizaciones regularmente facilitadas por Hilti. Si no utiliza la función AutoUpdate del software, debe usted comprobar que en cada caso usted utiliza la versión actual y puesta al día del software, ejecutando actualizaciones manuales a través del Sitio Web Hilti. Hilti no será considerada como responsable por cualquier consecuencia, tal y como la necesidad de recuperar necesidades o programas perdidos o dañados, que se deriven de un incumplimiento, por su parte, de sus obligaciones.

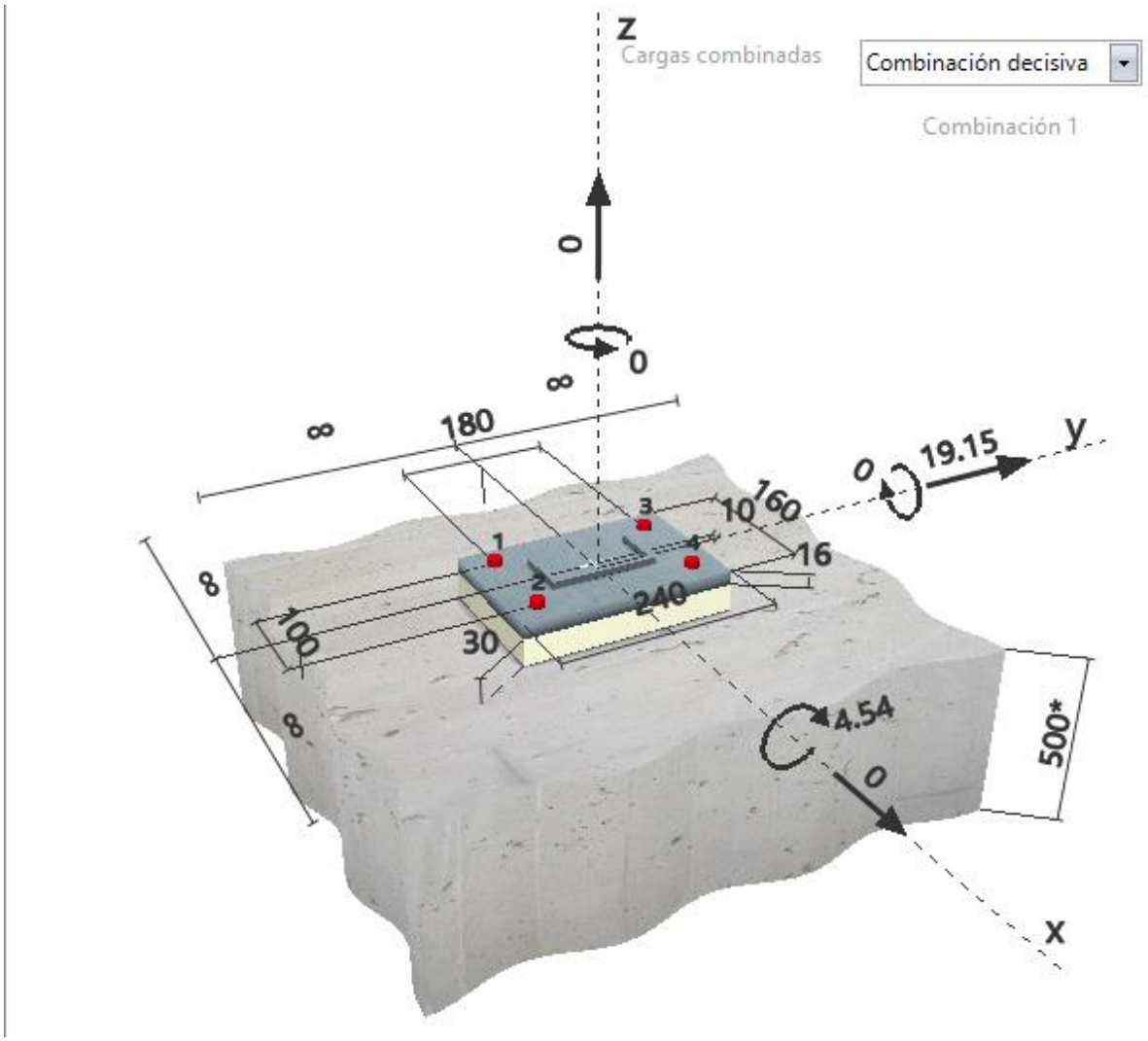
¡La introducción de datos y resultados deben verificarse, asegurando su correspondencia con las condiciones existentes y asegurando su verosimilitud!
PROFIS Anchor (c) 2003-2009, Hilti AG, FL-9494 Schaan. Hilti es una marca registrada de Hilti AG, Schaan

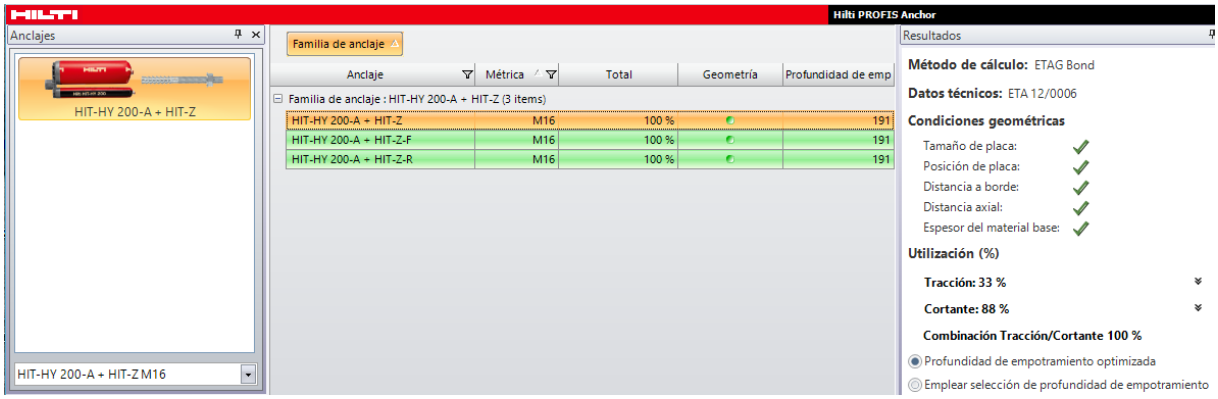
### 2.2.3. TUBERÍA DE 300 MM Y LUZ DE 14.00 M

| | | |
|---|---|---|
| Diámetro de la tuberia: | 0.30 | m |
| | 300 | mm |
| Espesor estimado del tubo: | 0.003 | m |
| | 3 | mm |
| Longitud del tramo de tubo: | 14.00 | m |
| Sección interior del tubo: | 0.071 | m2 |
| Sección de tubo: | 0.003 | m2 |
| Peso del agua: | 9.90 | kN |
| Peso del tubo: | 3.14 | kN |
| Peso en el apoyo: | 13.03 | kN |
| Longitud de la ménsula: | 0.50 | m |
| Distancia del apoyo a la placa base: | 0.25 | m |

| | h x b x s x t (mm) | Peso (kg/ml) | Área (cm2) | ey (cm) | Ix (cm4) | Wx (cm3) | Iy (cm4) | Wy (cm3) |
|---|---|---|---|---|---|---|---|---|
| Perfil elegido: | 120 x 60 x 6 x 6 | 10.90 | 13.80 | 1.69 | 300.00 | 50.00 | 45.60 | 10.60 |

| | | | | |
|---|---|---|---|---|
| Peso del perfil: | 0.05 | kN | 5.45 | kg |
| Cortante mayorado en la placa: | 19.15 | kN | 1915.45 | kg |
| Momento sin mayorar en la placa: | 3.27 | kNm | 32722.35 | kg cm |
| Momento mayorado en la placa: | 4.54 | kNm | 45352.08 | kg cm |
| Tensión debida al momento: | | | 907.04 | kg / $cm^2$ |
| Tensión debida al cortante: | | | 266.03 | kg / $cm^2$ |
| Tensión: | | | 1017.37 | kg / $cm^2$ |
| Tensión de comparación: | | | 2000.00 | kg / $cm^2$ |

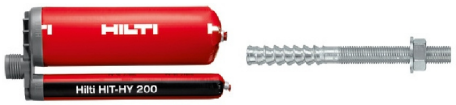

Z
Cargas combinadas
Combinación decisiva
Combinación 1
0
0
8
180
8
19.15
y
0
160
10
16
1
2
3
4
240
30
100
8
4.54
0
500*
x


Hilti PROFIS Anchor
Anclajes
HIT-HY 200-A + HIT-Z
HIT-HY 200-A + HIT-Z M16
Familia de anclaje
Anclaje
Métrica
Total
Geometría
Profundidad de emp
Familia de anclaje : HIT-HY 200-A + HIT-Z (3 items)
HIT-HY 200-A + HIT-Z M16 100 % 191
HIT-HY 200-A + HIT-Z-F M16 100 % 191
HIT-HY 200-A + HIT-Z-R M16 100 % 191
Resultados
Método de cálculo: ETAG Bond
Datos técnicos: ETA 12/0006
Condiciones geométricas
Tamaño de placa:
Posición de placa:
Distancia a borde:
Distancia axial:
Espesor del material base:
Utilización (%)
Tracción: 33 %
Cortante: 88 %
Combinación Tracción/Cortante 100 %
Profundidad de empotramiento optimizada
Emplear selección de profundidad de empotramiento

| | | | |
|---|---|---|---|
| Empresa: | | Página: | 1 |
| Proyectista: | | Proyecto: | |
| Dirección: | | Sub Proyecto I Pos. No.: | |
| Teléfono I Fax: | \| | Fecha: | 04/12/2017 |
| E-mail: | | | |

**Comentarios del proyectista :**

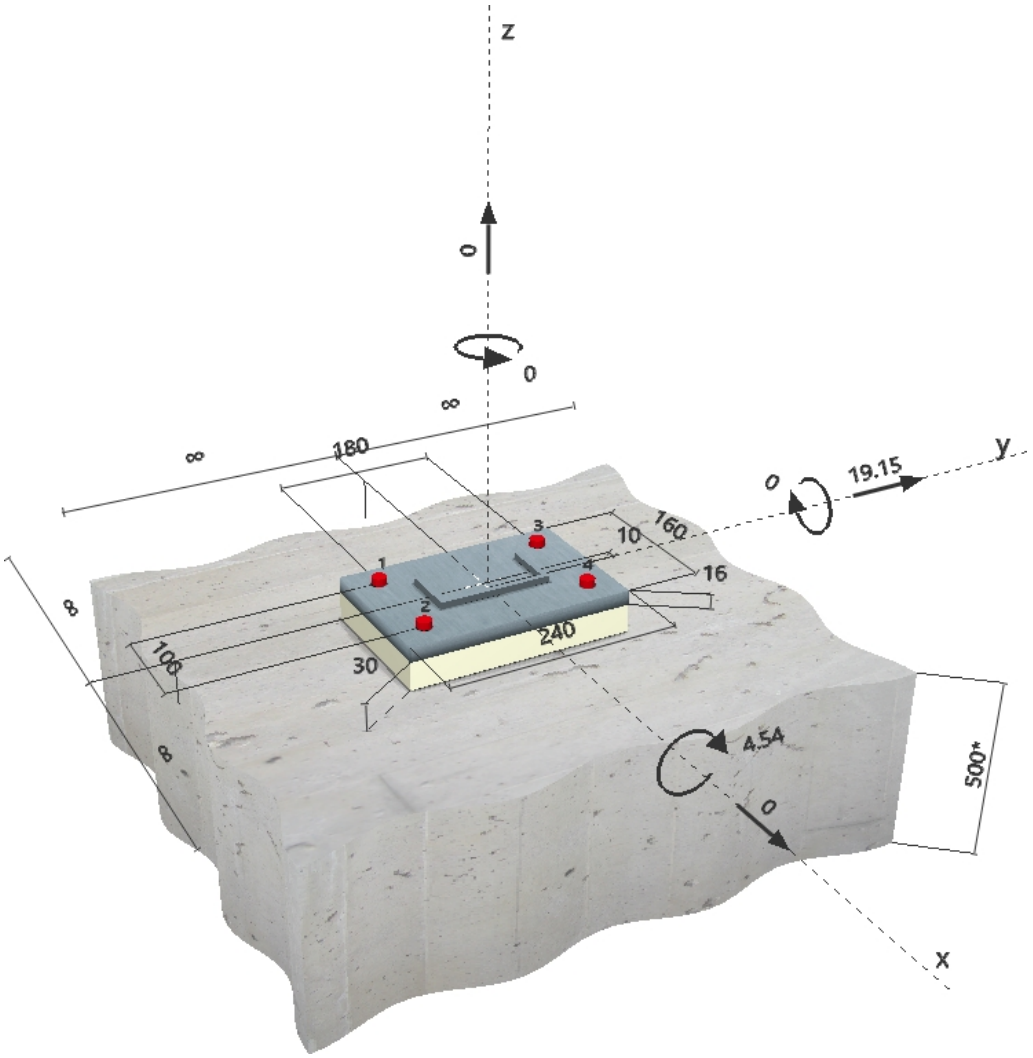
## 1 Insertar datos




SAFE-SET

| | |
|---|---|
| **Tipo y tamaño de anclaje:** | **HIT-HY 200-A + HIT-Z M16** |
| Profundidad efectiva de anclaje: | $h_{ef,opti}$ = 191 mm ($h_{ef,limit}$ = 192 mm) |
| Material: | DIN EN ISO 4042 |
| Homologación Nº.: | ETA 12/0006 |
| Establecidos I Válidos: | 30/05/2017 \| - |
| Prueba: | método de cálculo ETAG BOND (EOTA TR029) |
| Fijación a distancia: | sin Empotramiento (anclaje); Nivel de restricción (placa de anclaje): 2.00; $e_b$ = 30 mm; t = 16 mm |
| | Mortero Hilti: , multiuso, $f_{c,Grout}$ = 30.00 N/mm$^2$ |
| Placa de anclaje: | $l_x$ x $l_y$ x t = 160 mm x 240 mm x 16 mm; (Espesor de placa recomendado: no calculado |
| Perfil: | Perfil U; (L x W x T x FT) = 120 mm x 60 mm x 6 mm x 6 mm |
| Material Base: | fisurado hormigón, C20/25, $f_{c,cube}$ = 25.00 N/mm$^2$; h = 500 mm, Temp. corto/largo: 0/0 °C |
| **Instalación:** | **taladro hecho con martillo, Condición de instalación: seco** |
| Armadura: | sin armadura |
| | sin armadura de borde longitudinal |

**Geometría [mm] & Carga [kN, kNm]**



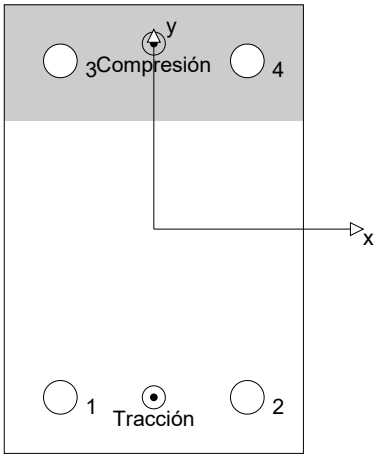

¡La introducción de datos y resultados deben verificarse, asegurando su correspondencia con las condiciones existentes y asegurando su verosimilitud!
PROFIS Anchor (c) 2003-2009, Hilti AG, FL-9494 Schaan. Hilti es una marca registrada de Hilti AG, Schaan

Empresa:
Proyectista:
Dirección:
Teléfono I Fax: |
E-mail:



## 2 Caso de carga/Resultante de cargas

Caso de carga: Cargas de diseño




**Reacciones en el anclaje [kN]**
Carga a tracción: (+Tracción, -Compresión)

| Anclaje | Carga a tracción | Carga a cortante | Cortante en x | Cortante en y |
|---|---|---|---|---|
| 1 | 11.993 | 4.580 | 0.406 | 4.562 |
| 2 | 11.993 | 5.030 | 0.406 | 5.013 |
| 3 | 0.000 | 4.580 | -0.406 | 4.562 |
| 4 | 0.000 | 5.030 | -0.406 | 5.013 |

Máxima extensión del hormigón a compresión: 0.16 [‰]
Máxima tensión del hormigón a compresión: 4.82 [N/mm$^2$]
Tracción resultante en (x/y)=(0/-90): 23.987 [kN]
Compresión resultante en (x/y)=(0/99): 23.987 [kN]

## 3 Carga a tracción (EOTA TR 029, Sección 5.2.2)

| | Carga [kN] | Capacidad [kN] | Utilización $\beta_N$ [%] | Resultado |
|---|---|---|---|---|
| Fallo por Acero* | 11.993 | 64.000 | 19 | OK |
| Rotura combinada por (extracción) pull-out - cono de hormigón** | 23.987 | 95.348 | 26 | OK |
| Rotura por cono de hormigón** | 23.987 | 74.408 | 33 | OK |
| Fallo por fisuración (Splitting)** | 23.987 | 89.208 | 27 | OK |

* anclaje más solicitado **grupo de anclajes (anclajes en tracción)

### 3.1 Fallo por Acero

| $N_{Rk,s}$ [kN] | $\gamma_{M,s}$ | $N_{Rd,s}$ [kN] | $N_{Sd}$ [kN] |
|---|---|---|---|
| 96.000 | 1.500 | 64.000 | 11.993 |

### 3.2 Rotura combinada por (extracción) pull-out - cono de hormigón

| $A_{p,N}$ [mm$^2$] | $A^0_{p,N}$ [mm$^2$] | $\tau_{Rk,ucr,25}$ [N/mm$^2$] | $s_{cr,Np}$ [mm] | $c_{cr,Np}$ [mm] | $c_{min}$ [mm] |
|---|---|---|---|---|---|
| 111744 | 82944 | 24.00 | 288 | 144 | ∞ |
| $h_{ef,Helix}$ [mm] | $\psi_c$ | $\tau_{Rk,cr}$ [N/mm$^2$] | k | $\psi^0_{g,Np}$ | $\psi_{g,Np}$ |
| 96 | 1.000 | 22.00 | 2.300 | 1.000 | 1.000 |
| $e_{c1,N}$ [mm] | $\psi_{ec1,Np}$ | $e_{c2,N}$ [mm] | $\psi_{ec2,Np}$ | $\psi_{s,Np}$ | $\psi_{re,Np}$ |
| 0 | 1.000 | 0 | 1.000 | 1.000 | 1.000 |
| $N^0_{Rk,p}$ [kN] | $N_{Rk,p}$ [kN] | $\gamma_{M,p}$ | $N_{Rd,p}$ [kN] | $N_{Sd}$ [kN] | |
| 106.161 | 143.022 | 1.500 | 95.348 | 23.987 | |

### 3.3 Rotura por cono de hormigón

| $A_{c,N}$ [mm$^2$] | $A^0_{c,N}$ [mm$^2$] | $c_{cr,N}$ [mm] | $s_{cr,N}$ [mm] | | |
|---|---|---|---|---|---|
| 385629 | 328329 | 287 | 573 | | |
| $e_{c1,N}$ [mm] | $\psi_{ec1,N}$ | $e_{c2,N}$ [mm] | $\psi_{ec2,N}$ | $\psi_{s,N}$ | $\psi_{re,N}$ |
| 0 | 1.000 | 0 | 1.000 | 1.000 | 1.000 |
| $k_1$ | $N^0_{Rk,c}$ [kN] | $\gamma_{M,c}$ | $N_{Rd,c}$ [kN] | $N_{Sd}$ [kN] | |
| 7.200 | 95.028 | 1.500 | 74.408 | 23.987 | |

### 3.4 Fallo por fisuración (Splitting)

| $A_{c,N}$ [mm$^2$] | $A^0_{c,N}$ [mm$^2$] | $c_{cr,sp}$ [mm] | $s_{cr,sp}$ [mm] | $\psi_{h,sp}$ | | |
|---|---|---|---|---|---|---|
| 385629 | 328329 | 287 | 573 | 1.199 | | |
| $e_{c1,N}$ [mm] | $\psi_{ec1,N}$ | $e_{c2,N}$ [mm] | $\psi_{ec2,N}$ | $\psi_{s,N}$ | $\psi_{re,N}$ | $k_1$ |
| 0 | 1.000 | 0 | 1.000 | 1.000 | 1.000 | 7.200 |
| $N^0_{Rk,c}$ [kN] | $\gamma_{M,sp}$ | $N_{Rd,sp}$ [kN] | $N_{Sd}$ [kN] | | | |
| 95.028 | 1.500 | 89.208 | 23.987 | | | |

¡La introducción de datos y resultados deben verificarse, asegurando su correspondencia con las condiciones existentes y asegurando su verosimilitud!
PROFIS Anchor (c) 2003-2009, Hilti AG, FL-9494 Schaan. Hilti es una marca registrada de Hilti AG, Schaan

Empresa:
Proyectista:
Dirección:
Teléfono I Fax: |
E-mail:



# 4 Cortante (EOTA TR 029, Sección 5.2.3)

| | Carga [kN] | Capacidad [kN] | Utilización $\beta_V$ [%] | Resultado |
|---|---|---|---|---|
| Fallo por Acero (sin brazo de palanca)* | N/A | N/A | N/A | N/A |
| Fallo por Acero (con brazo de palanca)* | 5.030 | 5.738 | 88 | OK |
| Fallo por desconchamiento** | 19.150 | 188.970 | 11 | OK |
| Rotura de borde de hormigón en dirección ** | N/A | N/A | N/A | N/A |

* anclaje más solicitado **grupo de anclajes (anclajes relevantes)

### 4.1 Fallo por Acero (con brazo de palanca)

| l [mm] | $\alpha_M$ |
|---|---|
| 46 | 2.00 |

| $N_{Sd} / N_{Rd,s}$ | $1 - N_{Sd} / N_{Rd,s}$ | $M^0_{Rk,s}$ [kNm] | $M_{Rk,s} = M^0_{Rk,s} (1 - N_{Sd}/N_{Rd,s})$ [kNm] |
|---|---|---|---|
| 0.187 | 0.813 | 0.203 | 0.165 |

| $V^M_{Rk,s} = \alpha_M * M_{Rk,s} / l$ [kN] | $\gamma_{Ms,b,V}$ | $V^M_{Rd,s}$ [kN] | $V_{Sd}$ [kN] |
|---|---|---|---|
| 7.172 | 1.250 | 5.738 | 5.030 |

### 4.2 Fallo por desconchamiento (cono de hormigón)

| $A_{c,N}$ [mm²] | $A^0_{c,N}$ [mm²] | $c_{cr,N}$ [mm] | $s_{cr,N}$ [mm] | k-factor | $k_1$ |
|---|---|---|---|---|---|
| 506769 | 328329 | 287 | 573 | 2.000 | 7.200 |

| $e_{c1,V}$ [mm] | $\psi_{ec1,N}$ | $e_{c2,V}$ [mm] | $\psi_{ec2,N}$ | $\psi_{s,N}$ | $\psi_{re,N}$ |
|---|---|---|---|---|---|
| 10 | 0.966 | 0 | 1.000 | 1.000 | 1.000 |

| $N^0_{Rk,c}$ [kN] | $\gamma_{M,c,p}$ | $V_{Rd,cp}$ [kN] | $V_{Sd}$ [kN] |
|---|---|---|---|
| 95.028 | 1.500 | 188.970 | 19.150 |

# 5 Cargas combinadas de tracción y cortante (EOTA TR 029, Sección 5.2.4)

| $\beta_N$ | $\beta_V$ | $\alpha$ | Utilización $\beta_{N,V}$ [%] | Resultado |
|---|---|---|---|---|
| 0.322 | 0.877 | 1.000 | 100 | OK |

$(\beta_N + \beta_V) / 1.2 \leq 1.0$

# 6 Desplazamientos (anclaje más solicitado)

Cargas de corto plazo:

$N_{Sk}$ = 8.884 [kN]
$V_{Sk}$ = 3.726 [kN]

$\delta_N$ = 0.083 [mm]
$\delta_V$ = 0.149 [mm]
$\delta_{NV}$ = 0.171 [mm]

Carga de largo plazo:

$N_{Sk}$ = 8.884 [kN]
$V_{Sk}$ = 3.726 [kN]

$\delta_N$ = 0.194 [mm]
$\delta_V$ = 0.224 [mm]
$\delta_{NV}$ = 0.296 [mm]

Comentarios: Desplazamientos a tracción son válidos con la mitad del par de apriete requerido no fisurado ¡Hormigón! Los desplazamientos son validos sin rozamiento entre el hormigón y la placa de anclaje! La holgura entre el taladro en el hormigón y en la placa no son considerados en este cálculo.

¡Los desplazamientos aceptables en los anclajes dependen del tipo de construcción de la fijación y deben ser definidos por el proyectista!

¡La introducción de datos y resultados deben verificarse, asegurando su correspondencia con las condiciones existentes y asegurando su verosimilitud!
PROFIS Anchor (c) 2003-2009, Hilti AG, FL-9494 Schaan. Hilti es una marca registrada de Hilti AG, Schaan

Empresa:
Proyectista:
Dirección:
Teléfono I Fax: |
E-mail:



## 7 Avisos

- Los métodos de diseño de anclajes en PROFIS Anchor requieren placas de anclaje rígidas según las normas vigentes (ETAG 001 / Anexo C, EOTA TR029, etc.). Esto significa que no se considera la re-distribución de la carga en los anclajes debido a deformaciones elásticas de la placa de anclaje - se supone que la placa de anclaje es suficientemente rígida para no deformarse cuando se somete a la carga de diseño. PROFIS Anchor calcula el espesor de placa de anclaje mínimo requerido con MEF (Métodod de Elementos Finitos) para limitar la tensión de la placa de anclaje en base a los supuestos explicados anteriormente. La prueba de que la suposición de la placa base rígida es válida no es llevada a cabo por PROFIS Anchor. Los datos de entrada y los resultados deben ser verificados de acuerdo a las condiciones existentes!
- La verificación de la transferencia de cargas al material base debe ser verificada de acuerdo EOTA TR 029 Section 7!
- El diseño, es sólo válido si el espacio libre, en la perforación, no es mayor que el dado en la tabla 4.1. de la EOTA TR029. Para diámetros mayores, de espacio libre de perforación, ver el capítulo 1.1. de EOTA TR029.
- La lista de accesorios en este informe es sólo para información del usuario. En cualquier caso, las instrucciones para el uso, mostrados en el producto, deben ser seguidas para asegurar una correcta instalación.
- La tensión de adherencia característica depende de las temperaturas de corto y largo plazo
- No es requerida armadura de borde para evitar rotura por splitting

## ¡La fijación cumple los criterios de diseño!

¡La introducción de datos y resultados deben verificarse, asegurando su correspondencia con las condiciones existentes y asegurando su verosimilitud!
PROFIS Anchor (c) 2003-2009, Hilti AG, FL-9494 Schaan. Hilti es una marca registrada de Hilti AG, Schaan

Empresa:
Proyectista:
Dirección:
Teléfono I Fax: |
E-mail:

Página: 5
Proyecto:
Sub Proyecto I Pos. No.:
Fecha: 04/12/2017

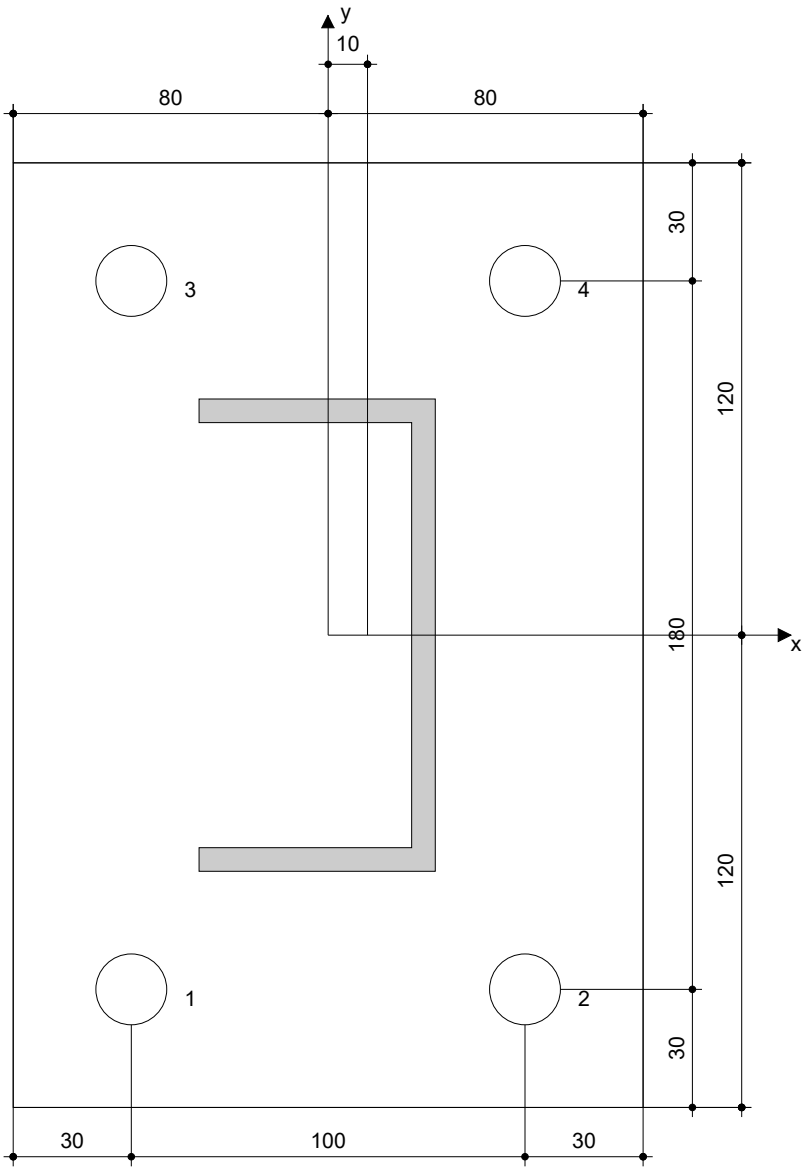
# 8 Datos de instalación

Placa de anclaje, acero: -
Perfil: Perfil U; 120 x 60 x 6 x 6 mm
Diámetro de taladro en chapa: $d_f$ = 18 mm
Espesor de placa (introducir): 16 mm
Espesor de placa recomendado: no calculado
Método de perforación: Martillo perforador
Limpieza: No se requiere limpieza de taladro

Tipo y tamaño de anclaje: HIT-HY 200-A + HIT-Z M16
Par de apriete de instalación: 0.080 kNm
Diámetro de taladro en material base: 18 mm
Profundidad de taladro (min/max): 255 mm
Mínimo espesor del material base: 291 mm

## 8.1 Accesorios recomendados

| Taladro | Limpieza | Instalación |
|---|---|---|
| • Rotopercusión | • No requiere accesorios | • El sistema de inyección incluye el mezclador |
| • Tamaño adecuado de broca | | • Llave dinamométrica |




**Coordenadas del anclaje [mm]**

| Anclaje | x | y | $c_{-x}$ | $c_{+x}$ | $c_{-y}$ | $c_{+y}$ |
|---|---|---|---|---|---|---|
| 1 | -50 | -90 | - | - | - | - |
| 2 | 50 | -90 | - | - | - | - |
| 3 | -50 | 90 | - | - | - | - |
| 4 | 50 | 90 | - | - | - | - |

¡La introducción de datos y resultados deben verificarse, asegurando su correspondencia con las condiciones existentes y asegurando su verosimilitud!
PROFIS Anchor (c) 2003-2009, Hilti AG, FL-9494 Schaan. Hilti es una marca registrada de Hilti AG, Schaan

| | | | |
|---|---|---|---|
| Empresa: | | Página: | 6 |
| Proyectista: | | Proyecto: | |
| Dirección: | | Sub Proyecto I Pos. No.: | |
| Teléfono I Fax: | \| | Fecha: | 04/12/2017 |
| E-mail: | | | |

## 9 Observaciones;comentarios

- Toda la información y todos los datos contenidos en el software sólo se refieren a la utilización de los productos Hilti y están fundados en principios, fórmulas y normativas de seguridad conformes a las consignas técnicas de Hilti y en instrucciones de operación, montaje, ensamblaje, etc., que el usuario debe seguir exhaustivamente. Todas las cifras que en ellos constan son medias; por lo tanto, se deben realizar pruebas específicas de utilización antes de la utilización del producto Hilti aplicable. Los resultados de los cálculos ejecutados mediante el software reposan básicamente en los datos que usted introduce en el mismo. Por lo tanto, es usted el único responsable de la inexistencia de errores, de le exhaustividad y la pertinencia de los datos introducidos por usted mismo. Asimismo, es usted el único responsable de la verificación de los resultados del cálculo y de la validación de los mismos por un experto, en especial en lo referente al cumplimiento de las normas y permisos aplicables previamente a su utilización, en particular para su aplicación. El software sólo sirve de ayuda para la interpretación de las normas y permisos sin ninguna garantía con respecto a la ausencia de errores, la exactitud y la pertinencia de los resultados o su adaptación a una determinada aplicación.
- Debe usted tomar todas las medidas necesarias y razonables para impedir o limitar los daños causados por el software. En especial, debe usted tomar sus disposiciones para efectuar regularmente una salvaguarda de los programas y de los datos y, de ser aplicable, ejecutar las actualizaciones regularmente facilitadas por Hilti. Si no utiliza la función AutoUpdate del software, debe usted comprobar que en cada caso usted utiliza la versión actual y puesta al día del software, ejecutando actualizaciones manuales a través del Sitio Web Hilti. Hilti no será considerada como responsable por cualquier consecuencia, tal y como la necesidad de recuperar necesidades o programas perdidos o dañados, que se deriven de un incumplimiento, por su parte, de sus obligaciones.

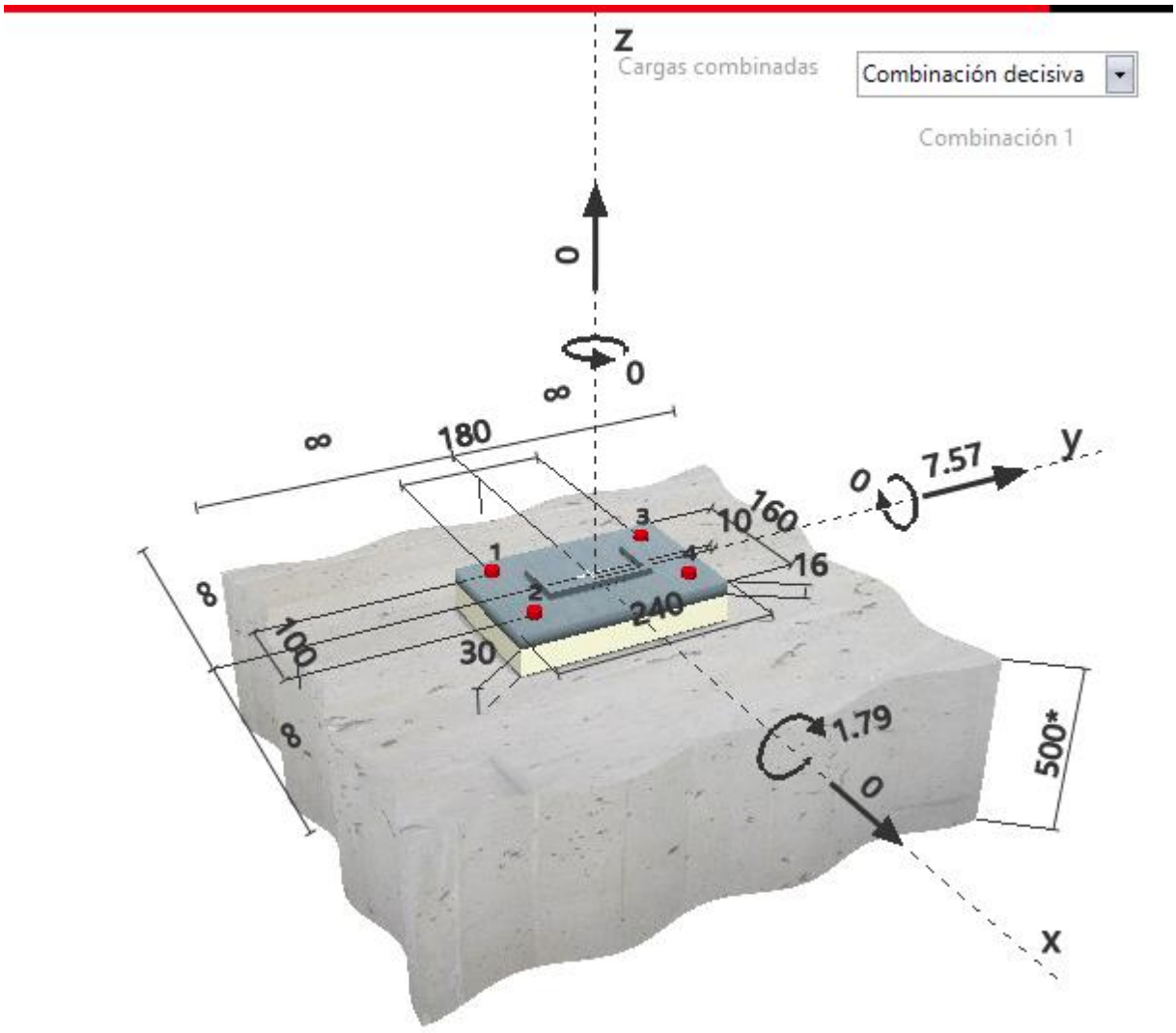
¡La introducción de datos y resultados deben verificarse, asegurando su correspondencia con las condiciones existentes y asegurando su verosimilitud!
PROFIS Anchor (c) 2003-2009, Hilti AG, FL-9494 Schaan. Hilti es una marca registrada de Hilti AG, Schaan

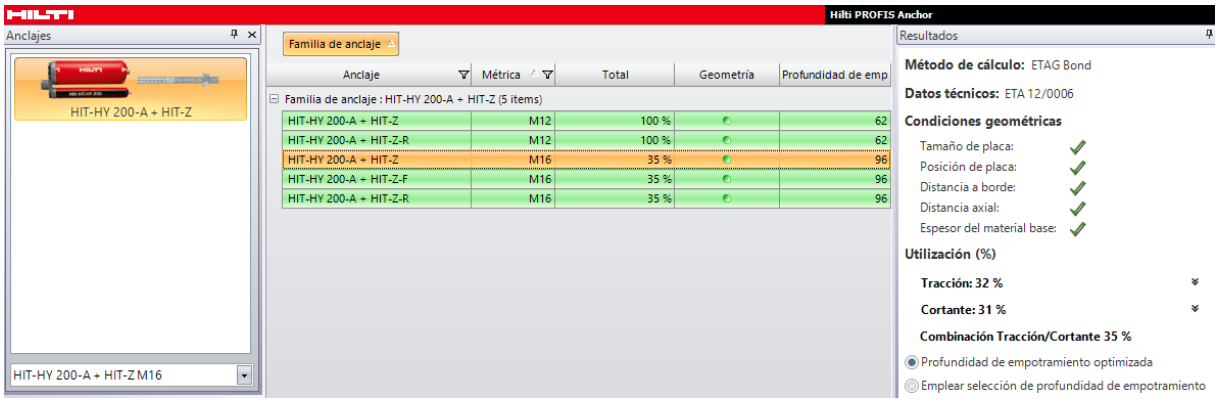
### 2.2.4. TUBERÍA DE 300 MM Y LUZ DE 5.50 M

| | | | |
|---|---|---|---|
| Diámetro de la tuberia: | 0.30 | m | |
| | 300 | mm | |
| Espesor estimado del tubo: | 0.003 | m | |
| | 3 | mm | |
| Longitud del tramo de tubo: | 5.50 | m | |
| Sección interior del tubo: | 0.071 | m2 | |
| Sección de tubo: | 0.003 | m2 | |
| Peso del agua: | 3.89 | kN | |
| Peso del tubo: | 1.23 | kN | |
| Peso en el apoyo: | 5.12 | kN | |
| Longitud de la ménsula: | 0.50 | m | |
| Distancia del apoyo a la placa base: | 0.25 | m | |

| | h x b x s x t (mm) | Peso (kg/ml) | Área (cm2) | ey (cm) | Ix (cm4) | Wx (cm3) | Iy (cm4) | Wy (cm3) |
|---|---|---|---|---|---|---|---|---|
| Perfil elegido: | 120 x 60 x 6 x 6 | 10.90 | 13.80 | 1.69 | 300.00 | 50.00 | 45.60 | 10.60 |

| | | | | |
|---|---|---|---|---|
| Peso del perfil: | 0.05 | kN | 5.45 | kg |
| Cortante mayorado en la placa: | 7.57 | kN | 756.96 | kg |
| Momento sin mayorar en la placa: | 1.29 | kNm | 12937.93 | kg cm |
| Momento mayorado en la placa: | 1.79 | kNm | 17928.56 | kg cm |
| Tensión debida al momento: | | | 358.57 | kg / cm$^2$ |
| Tensión debida al cortante: | | | 105.13 | kg / cm$^2$ |
| Tensión: | | | 402.16 | kg / cm$^2$ |
| Tensión de comparación: | | | 2000.00 | kg / cm$^2$ |

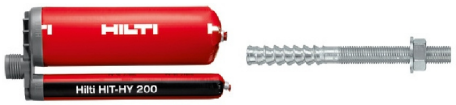

Z
Cargas combinadas
Combinación decisiva
Combinación 1
0
0
8
180
8
7.57
y
0
160
10
3
1
4
16
2
240
8
100
30
1.79
0
500*
x


Hilti PROFIS Anchor
Anclajes
HIT-HY 200-A + HIT-Z
HIT-HY 200-A + HIT-Z M16
Familia de anclaje
Anclaje
Métrica
Total
Geometría
Profundidad de emp
Familia de anclaje : HIT-HY 200-A + HIT-Z (5 items)
HIT-HY 200-A + HIT-Z M12 100 % 62
HIT-HY 200-A + HIT-Z-R M12 100 % 62
HIT-HY 200-A + HIT-Z M16 35 % 96
HIT-HY 200-A + HIT-Z-F M16 35 % 96
HIT-HY 200-A + HIT-Z-R M16 35 % 96
Resultados
Método de cálculo: ETAG Bond
Datos técnicos: ETA 12/0006
Condiciones geométricas
Tamaño de placa:
Posición de placa:
Distancia a borde:
Distancia axial:
Espesor del material base:
Utilización (%)
Tracción: 32 %
Cortante: 31 %
Combinación Tracción/Cortante 35 %
Profundidad de empotramiento optimizada
Emplear selección de profundidad de empotramiento

| | | | |
|---|---|---|---|
| Empresa: | | Página: | 1 |
| Proyectista: | | Proyecto: | |
| Dirección: | | Sub Proyecto I Pos. No.: | |
| Teléfono I Fax: | \| | Fecha: | 04/12/2017 |
| E-mail: | | | |

**Comentarios del proyectista :**

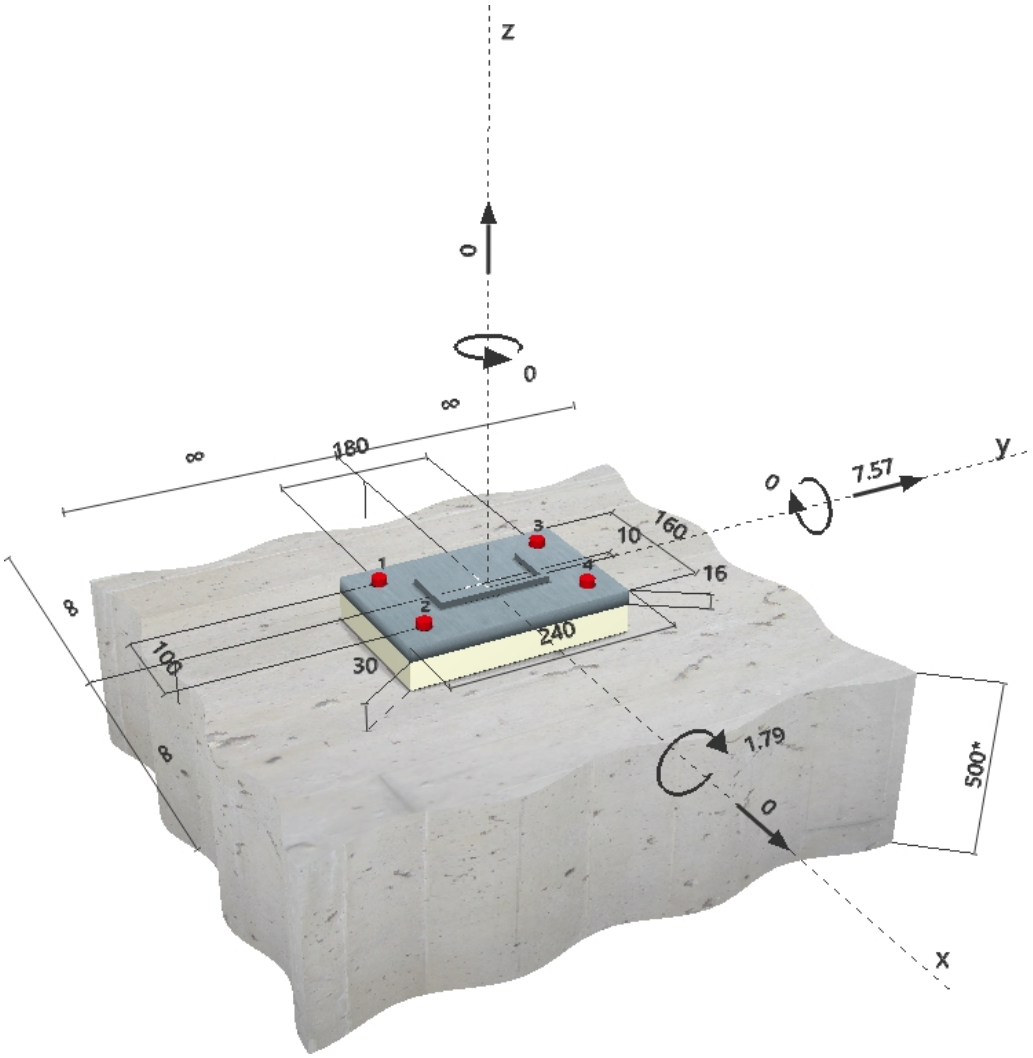
## 1 Insertar datos




SAFE-SET

| | |
|---|---|
| **Tipo y tamaño de anclaje:** | **HIT-HY 200-A + HIT-Z M16** |
| Profundidad efectiva de anclaje: | $h_{ef,opti}$ = 96 mm ($h_{ef,limit}$ = 192 mm) |
| Material: | DIN EN ISO 4042 |
| Homologación Nº.: | ETA 12/0006 |
| Establecidos I Válidos: | 30/05/2017 \| - |
| Prueba: | método de cálculo ETAG BOND (EOTA TR029) |
| Fijación a distancia: | sin Empotramiento (anclaje); Nivel de restricción (placa de anclaje): 2.00; $e_b$ = 30 mm; t = 16 mm |
| | Mortero Hilti: , multiuso, $f_{c,Grout}$ = 30.00 N/mm$^2$ |
| Placa de anclaje: | $l_x$ x $l_y$ x t = 160 mm x 240 mm x 16 mm; (Espesor de placa recomendado: no calculado |
| Perfil: | Perfil U; (L x W x T x FT) = 120 mm x 60 mm x 6 mm x 6 mm |
| Material Base: | fisurado hormigón, C20/25, $f_{c,cube}$ = 25.00 N/mm$^2$; h = 500 mm, Temp. corto/largo: 0/0 °C |
| **Instalación:** | **taladro hecho con martillo, Condición de instalación: seco** |
| Armadura: | sin armadura |
| | sin armadura de borde longitudinal |

**Geometría [mm] & Carga [kN, kNm]**



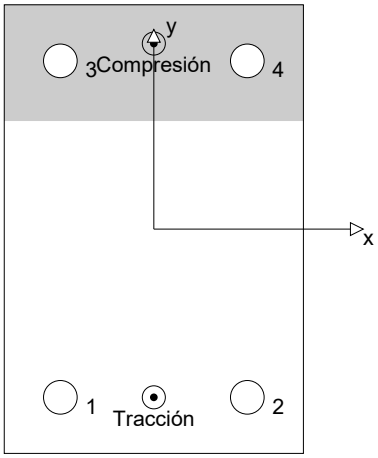

¡La introducción de datos y resultados deben verificarse, asegurando su correspondencia con las condiciones existentes y asegurando su verosimilitud!
PROFIS Anchor (c) 2003-2009, Hilti AG, FL-9494 Schaan. Hilti es una marca registrada de Hilti AG, Schaan

Empresa:
Proyectista:
Dirección:
Teléfono I Fax: |
E-mail:



## 2 Caso de carga/Resultante de cargas

Caso de carga: Cargas de diseño




**Reacciones en el anclaje [kN]**
Carga a tracción: (+Tracción, -Compresión)

| Anclaje | Carga a tracción | Carga a cortante | Cortante en x | Cortante en y |
|---|---|---|---|---|
| 1 | 4.729 | 1.810 | 0.161 | 1.803 |
| 2 | 4.729 | 1.988 | 0.161 | 1.982 |
| 3 | 0.000 | 1.810 | -0.161 | 1.803 |
| 4 | 0.000 | 1.988 | -0.161 | 1.982 |

Máxima extensión del hormigón a compresión: 0.06 [‰]
Máxima tensión del hormigón a compresión: 1.90 [N/mm$^2$]
Tracción resultante en (x/y)=(0/-90): 9.457 [kN]
Compresión resultante en (x/y)=(0/99): 9.457 [kN]

## 3 Carga a tracción (EOTA TR 029, Sección 5.2.2)

| | Carga [kN] | Capacidad [kN] | Utilización $\beta_N$ [%] | Resultado |
|---|---|---|---|---|
| Fallo por Acero* | 4.729 | 64.000 | 8 | OK |
| Rotura combinada por (extracción) pull-out - cono de hormigón** | 9.457 | 95.348 | 10 | OK |
| Rotura por cono de hormigón** | 9.457 | 30.413 | 32 | OK |
| Fallo por fisuración (Splitting)** | N/A | N/A | N/A | N/A |

* anclaje más solicitado **grupo de anclajes (anclajes en tracción)

### 3.1 Fallo por Acero

| $N_{Rk,s}$ [kN] | $\gamma_{M,s}$ | $N_{Rd,s}$ [kN] | $N_{Sd}$ [kN] |
|---|---|---|---|
| 96.000 | 1.500 | 64.000 | 4.729 |

### 3.2 Rotura combinada por (extracción) pull-out - cono de hormigón

| $A_{p,N}$ [mm$^2$] | $A^0_{p,N}$ [mm$^2$] | $\tau_{Rk,ucr,25}$ [N/mm$^2$] | $s_{cr,Np}$ [mm] | $c_{cr,Np}$ [mm] | $c_{min}$ [mm] |
|---|---|---|---|---|---|
| 111744 | 82944 | 24.00 | 288 | 144 | ∞ |
| $h_{ef,Helix}$ [mm] | $\psi_c$ | $\tau_{Rk,cr}$ [N/mm$^2$] | k | $\psi^0_{g,Np}$ | $\psi_{g,Np}$ |
| 96 | 1.000 | 22.00 | 2.300 | 1.000 | 1.000 |
| $e_{c1,N}$ [mm] | $\psi_{ec1,Np}$ | $e_{c2,N}$ [mm] | $\psi_{ec2,Np}$ | $\psi_{s,Np}$ | $\psi_{re,Np}$ |
| 0 | 1.000 | 0 | 1.000 | 1.000 | 1.000 |
| $N^0_{Rk,p}$ [kN] | $N_{Rk,p}$ [kN] | $\gamma_{M,p}$ | $N_{Rd,p}$ [kN] | $N_{Sd}$ [kN] | |
| 106.161 | 143.022 | 1.500 | 95.348 | 9.457 | |

### 3.3 Rotura por cono de hormigón

| $A_{c,N}$ [mm$^2$] | $A^0_{c,N}$ [mm$^2$] | $c_{cr,N}$ [mm] | $s_{cr,N}$ [mm] | | |
|---|---|---|---|---|---|
| 111744 | 82944 | 144 | 288 | | |
| $e_{c1,N}$ [mm] | $\psi_{ec1,N}$ | $e_{c2,N}$ [mm] | $\psi_{ec2,N}$ | $\psi_{s,N}$ | $\psi_{re,N}$ |
| 0 | 1.000 | 0 | 1.000 | 1.000 | 1.000 |
| $k_1$ | $N^0_{Rk,c}$ [kN] | $\gamma_{M,c}$ | $N_{Rd,c}$ [kN] | $N_{Sd}$ [kN] | |
| 7.200 | 33.862 | 1.500 | 30.413 | 9.457 | |

¡La introducción de datos y resultados deben verificarse, asegurando su correspondencia con las condiciones existentes y asegurando su verosimilitud!
PROFIS Anchor (c) 2003-2009, Hilti AG, FL-9494 Schaan. Hilti es una marca registrada de Hilti AG, Schaan

Empresa:
Proyectista:
Dirección:
Teléfono I Fax: |
E-mail:



## 4 Cortante (EOTA TR 029, Sección 5.2.3)

| | Carga [kN] | Capacidad [kN] | Utilización $\beta_V$ [%] | Resultado |
|---|---|---|---|---|
| Fallo por Acero (sin brazo de palanca)* | N/A | N/A | N/A | N/A |
| Fallo por Acero (con brazo de palanca)* | 1.988 | 6.539 | 31 | OK |
| Fallo por desconchamiento** | 7.570 | 92.424 | 9 | OK |
| Rotura de borde de hormigón en dirección ** | N/A | N/A | N/A | N/A |

* anclaje más solicitado **grupo de anclajes (anclajes relevantes)

### 4.1 Fallo por Acero (con brazo de palanca)

| l [mm] | $\alpha_M$ |
|---|---|
| 46 | 2.00 |

| $N_{Sd} / N_{Rd,s}$ | $1 - N_{Sd} / N_{Rd,s}$ | $M^0_{Rk,s}$ [kNm] | $M_{Rk,s} = M^0_{Rk,s} (1 - N_{Sd}/N_{Rd,s})$ [kNm] |
|---|---|---|---|
| 0.074 | 0.926 | 0.203 | 0.188 |

| $V^M_{Rk,s} = \alpha_M * M_{Rk,s} / l$ [kN] | $\gamma_{Ms,b,V}$ | $V^M_{Rd,s}$ [kN] | $V_{Sd}$ [kN] |
|---|---|---|---|
| 8.174 | 1.250 | 6.539 | 1.988 |

### 4.2 Fallo por desconchamiento (cono de hormigón)

| $A_{c,N}$ [mm²] | $A^0_{c,N}$ [mm²] | $c_{cr,N}$ [mm] | $s_{cr,N}$ [mm] | k-factor | $k_1$ |
|---|---|---|---|---|---|
| 181584 | 82944 | 144 | 288 | 2.000 | 7.200 |

| $e_{c1,V}$ [mm] | $\psi_{ec1,N}$ | $e_{c2,V}$ [mm] | $\psi_{ec2,N}$ | $\psi_{s,N}$ | $\psi_{re,N}$ |
|---|---|---|---|---|---|
| 10 | 0.935 | 0 | 1.000 | 1.000 | 1.000 |

| $N^0_{Rk,c}$ [kN] | $\gamma_{M,c,p}$ | $V_{Rd,cp}$ [kN] | $V_{Sd}$ [kN] |
|---|---|---|---|
| 33.862 | 1.500 | 92.424 | 7.570 |

## 5 Cargas combinadas de tracción y cortante (EOTA TR 029, Sección 5.2.4)

| $\beta_N$ | $\beta_V$ | $\alpha$ | Utilización $\beta_{N,V}$ [%] | Resultado |
|---|---|---|---|---|
| 0.311 | 0.304 | 1.500 | 35 | OK |

$\beta_N^\alpha + \beta_V^\alpha \leq 1.0$

## 6 Desplazamientos (anclaje más solicitado)

Cargas de corto plazo:

$N_{Sk}$ = 3.503 [kN]
$V_{Sk}$ = 1.473 [kN]

$\delta_N$ = 0.065 [mm]
$\delta_V$ = 0.059 [mm]
$\delta_{NV}$ = 0.088 [mm]

Carga de largo plazo:

$N_{Sk}$ = 3.503 [kN]
$V_{Sk}$ = 1.473 [kN]

$\delta_N$ = 0.152 [mm]
$\delta_V$ = 0.088 [mm]
$\delta_{NV}$ = 0.176 [mm]

Comentarios: Desplazamientos a tracción son válidos con la mitad del par de apriete requerido no fisurado ¡Hormigón! Los desplazamientos son validos sin rozamiento entre el hormigón y la placa de anclaje! La holgura entre el taladro en el hormigón y en la placa no son considerados en este cálculo.

¡Los desplazamientos aceptables en los anclajes dependen del tipo de construcción de la fijación y deben ser definidos por el proyectista!

¡La introducción de datos y resultados deben verificarse, asegurando su correspondencia con las condiciones existentes y asegurando su verosimilitud!
PROFIS Anchor (c) 2003-2009, Hilti AG, FL-9494 Schaan. Hilti es una marca registrada de Hilti AG, Schaan

Empresa:
Proyectista:
Dirección:
Teléfono I Fax: |
E-mail:



## 7 Avisos

- Los métodos de diseño de anclajes en PROFIS Anchor requieren placas de anclaje rígidas según las normas vigentes (ETAG 001 / Anexo C, EOTA TR029, etc.). Esto significa que no se considera la re-distribución de la carga en los anclajes debido a deformaciones elásticas de la placa de anclaje - se supone que la placa de anclaje es suficientemente rígida para no deformarse cuando se somete a la carga de diseño. PROFIS Anchor calcula el espesor de placa de anclaje mínimo requerido con MEF (Métodod de Elementos Finitos) para limitar la tensión de la placa de anclaje en base a los supuestos explicados anteriormente. La prueba de que la suposición de la placa base rígida es válida no es llevada a cabo por PROFIS Anchor. Los datos de entrada y los resultados deben ser verificados de acuerdo a las condiciones existentes!
- La verificación de la transferencia de cargas al material base debe ser verificada de acuerdo EOTA TR 029 Section 7!
- El diseño, es sólo válido si el espacio libre, en la perforación, no es mayor que el dado en la tabla 4.1. de la EOTA TR029. Para diámetros mayores, de espacio libre de perforación, ver el capítulo 1.1. de EOTA TR029.
- La lista de accesorios en este informe es sólo para información del usuario. En cualquier caso, las instrucciones para el uso, mostrados en el producto, deben ser seguidas para asegurar una correcta instalación.
- La tensión de adherencia característica depende de las temperaturas de corto y largo plazo
- No es requerida armadura de borde para evitar rotura por splitting

## ¡La fijación cumple los criterios de diseño!

¡La introducción de datos y resultados deben verificarse, asegurando su correspondencia con las condiciones existentes y asegurando su verosimilitud!
PROFIS Anchor (c) 2003-2009, Hilti AG, FL-9494 Schaan. Hilti es una marca registrada de Hilti AG, Schaan

Empresa:
Proyectista:
Dirección:
Teléfono I Fax: |
E-mail:

Página: 5
Proyecto:
Sub Proyecto I Pos. No.:
Fecha: 04/12/2017

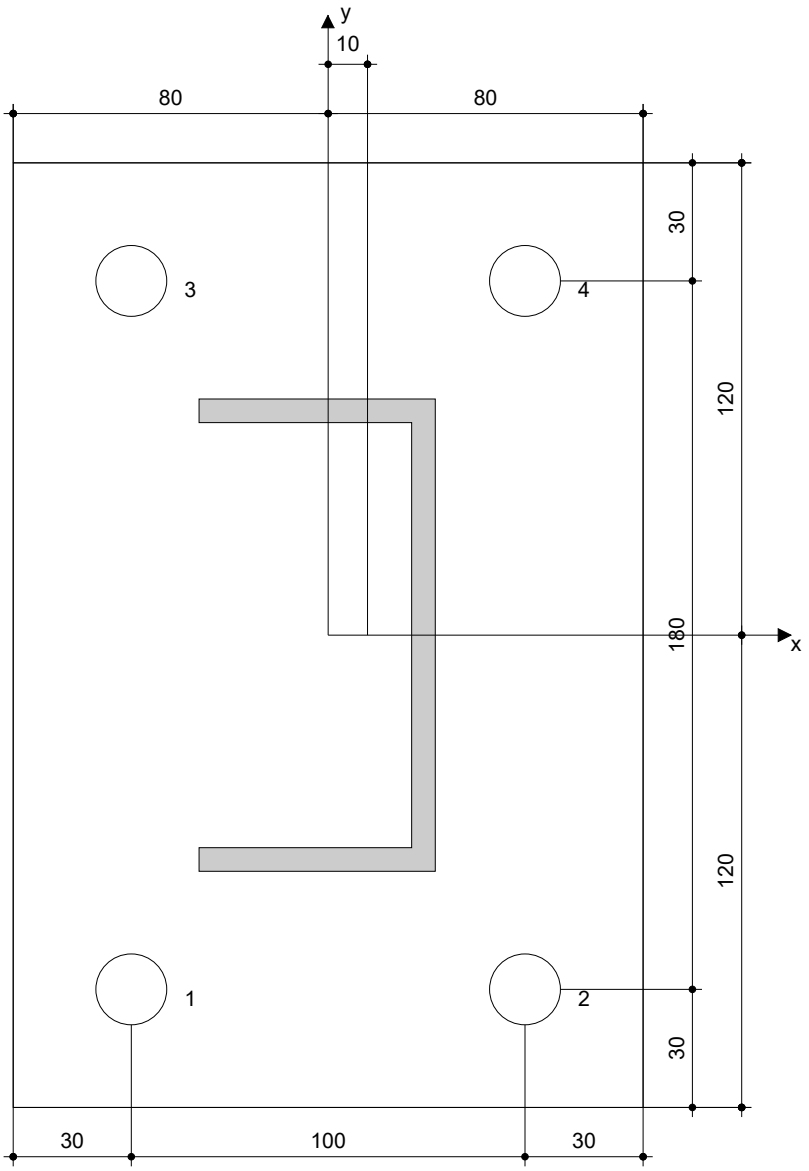
# 8 Datos de instalación

Placa de anclaje, acero: -
Perfil: Perfil U; 120 x 60 x 6 x 6 mm
Diámetro de taladro en chapa: $d_f$ = 18 mm
Espesor de placa (introducir): 16 mm
Espesor de placa recomendado: no calculado
Método de perforación: Martillo perforador
Limpieza: No se requiere limpieza de taladro

Tipo y tamaño de anclaje: HIT-HY 200-A + HIT-Z M16
Par de apriete de instalación: 0.080 kNm
Diámetro de taladro en material base: 18 mm
Profundidad de taladro (min/max): 160 mm
Mínimo espesor del material base: 196 mm

## 8.1 Accesorios recomendados

| Taladro | Limpieza | Instalación |
|---|---|---|
| • Rotopercusión | • No requiere accesorios | • El sistema de inyección incluye el mezclador |
| • Tamaño adecuado de broca | | • Llave dinamométrica |




**Coordenadas del anclaje [mm]**

| Anclaje | x | y | $c_{-x}$ | $c_{+x}$ | $c_{-y}$ | $c_{+y}$ |
|---|---|---|---|---|---|---|
| 1 | -50 | -90 | - | - | - | - |
| 2 | 50 | -90 | - | - | - | - |
| 3 | -50 | 90 | - | - | - | - |
| 4 | 50 | 90 | - | - | - | - |

¡La introducción de datos y resultados deben verificarse, asegurando su correspondencia con las condiciones existentes y asegurando su verosimilitud!
PROFIS Anchor (c) 2003-2009, Hilti AG, FL-9494 Schaan. Hilti es una marca registrada de Hilti AG, Schaan

| | | | |
|---|---|---|---|
| Empresa: | | Página: | 6 |
| Proyectista: | | Proyecto: | |
| Dirección: | | Sub Proyecto I Pos. No.: | |
| Teléfono I Fax: | \| | Fecha: | 04/12/2017 |
| E-mail: | | | |

## 9 Observaciones;comentarios

- Toda la información y todos los datos contenidos en el software sólo se refieren a la utilización de los productos Hilti y están fundados en principios, fórmulas y normativas de seguridad conformes a las consignas técnicas de Hilti y en instrucciones de operación, montaje, ensamblaje, etc., que el usuario debe seguir exhaustivamente. Todas las cifras que en ellos constan son medias; por lo tanto, se deben realizar pruebas específicas de utilización antes de la utilización del producto Hilti aplicable. Los resultados de los cálculos ejecutados mediante el software reposan básicamente en los datos que usted introduce en el mismo. Por lo tanto, es usted el único responsable de la inexistencia de errores, de le exhaustividad y la pertinencia de los datos introducidos por usted mismo. Asimismo, es usted el único responsable de la verificación de los resultados del cálculo y de la validación de los mismos por un experto, en especial en lo referente al cumplimiento de las normas y permisos aplicables previamente a su utilización, en particular para su aplicación. El software sólo sirve de ayuda para la interpretación de las normas y permisos sin ninguna garantía con respecto a la ausencia de errores, la exactitud y la pertinencia de los resultados o su adaptación a una determinada aplicación.
- Debe usted tomar todas las medidas necesarias y razonables para impedir o limitar los daños causados por el software. En especial, debe usted tomar sus disposiciones para efectuar regularmente una salvaguarda de los programas y de los datos y, de ser aplicable, ejecutar las actualizaciones regularmente facilitadas por Hilti. Si no utiliza la función AutoUpdate del software, debe usted comprobar que en cada caso usted utiliza la versión actual y puesta al día del software, ejecutando actualizaciones manuales a través del Sitio Web Hilti. Hilti no será considerada como responsable por cualquier consecuencia, tal y como la necesidad de recuperar necesidades o programas perdidos o dañados, que se deriven de un incumplimiento, por su parte, de sus obligaciones.

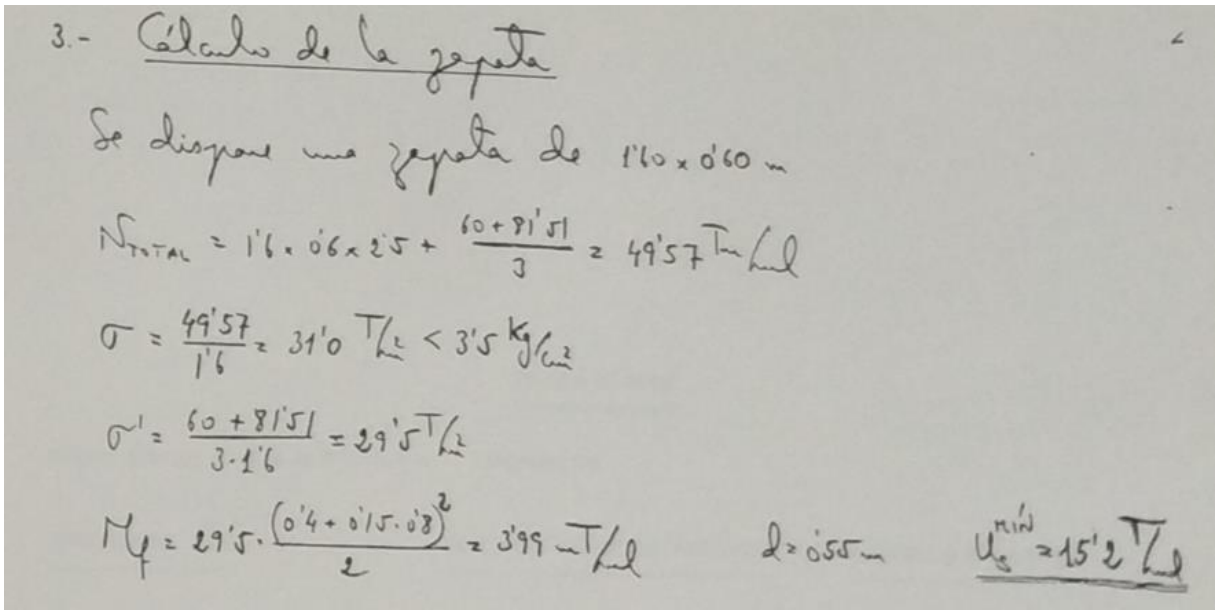
¡La introducción de datos y resultados deben verificarse, asegurando su correspondencia con las condiciones existentes y asegurando su verosimilitud!
PROFIS Anchor (c) 2003-2009, Hilti AG, FL-9494 Schaan. Hilti es una marca registrada de Hilti AG, Schaan

## 2.3. EFECTO DE LA TUBERÍA SOBRE LA ESTRUCTURA EXISTENTE

De acuerdo con lo anterior, el anclaje de la tubería sobre la estructura existente introduce los siguientes esfuerzos en la misma:

- Reacción debida al peso de la tubería en el apoyo: la pero situación corresponde al tramo de tubería de 300 mm. Si, ante la incertidumbre de donde se posicionarán los apoyos sobre la aleta, adoptamos una longitud tributaria de 14,00 m, el valor de la reacción vertical trasmitida al estribo es de: 13,03 kN = 1,30 T.

- De acuerdo con el anejo de cálculo del proyecto de ampliación, la tensión en la zapata del estribo sobre la que apoyaría la tubería es de 31,0 T/$m^2$ = 3,1 kg/$cm^2$, inferior a los 3,5 kg/$cm^2$ establecidos en el cálculo como tensión admisible en el apoyo en roca.


3.- Cálculo de la zapata

Se dispone una zapata de 1'60 x 0'60 m

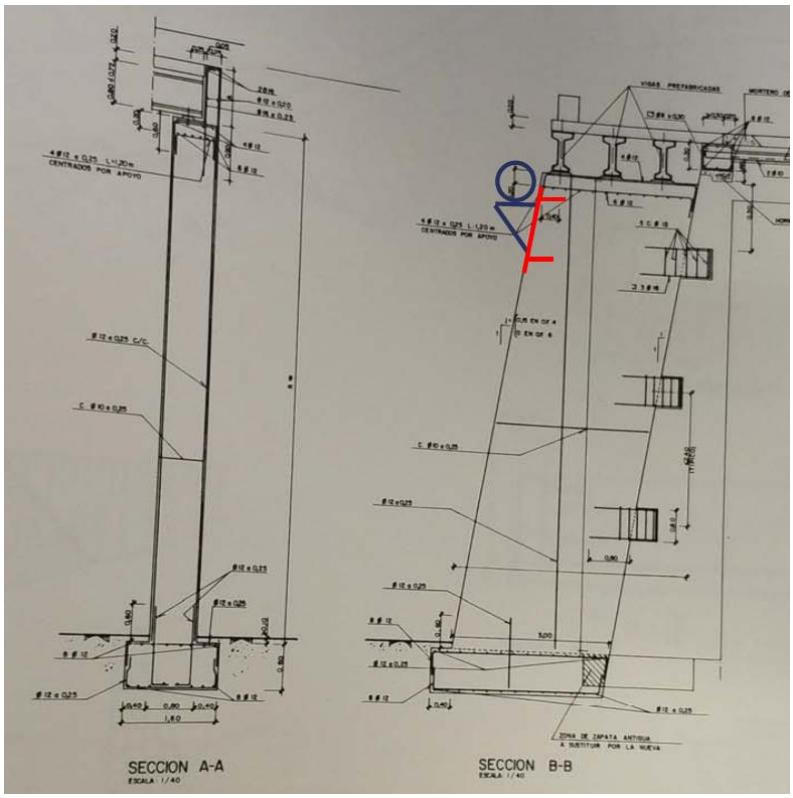
$N_{TOTAL} = 1'6 \times 0'6 \times 2'5 + \frac{60 + 81'51}{3} = 49'57$ T/ml

$\sigma = \frac{49'57}{1'6} = 31'0$ T/$m^2$ < 3'5 kg/$cm^2$

$\sigma' = \frac{60 + 81'51}{3 \cdot 1'6} = 29'5$ T/$m^2$

$M_y = 29'5 \cdot \frac{(0'4 + 0'15 \cdot 0'8)^2}{2} = 3'99$ mT/ml  $l = 0'55$ m  $U_s^{min} = 15'2$ T/ml

- Si aplicamos el valor de la reacción de la tubería el incremento de tensión en el terreno es: 1,3 / 1,6 = 0,81 T/ $m^2$, es decir, supone un incremento de 0,08 kg/$cm^2$, y, por tanto, la nueva tensión sería de 3,18 kg/$cm^2$, inferior a los 3,5 kg/$cm^2$ establecidos en el cálculo como tensión admisible en el apoyo en roca. (Además, debemos tener en cuenta que estamos repartiendo la carga de la tubería en 1,00 m de ancho, cuando realmente la carga se "abrirá", repartiéndose en los 3,00 m de ancho que tiene la zapata).




En cuanto al valor de los momentos introducidos por la carga de la tubería, son despreciables y de signo contrario a los generados por las reacciones de las vigas doble T, por tanto, de efecto favorable, por lo que no introducen esfuerzos adicionales sobre el nuevo estribo existente.